



نظرية الآلات

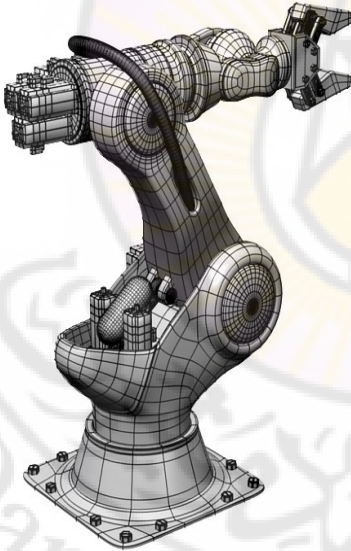


السنة : الثالثة
القسم : هندسة الميكانيك العام
هندسة التصميم الميكانيكي
هندسة السيارات والآليات الثقيلة



منشورات جامعة دمشق
كلية الهندسة الميكانيكية والكهربائية
جامعة دمشق

نظرية الآلات



الدكتور سيمون عبيد

أستاذ في قسم هندسة الميكانيك العام

الدكتور إسكندر عمجة

أستاذ في قسم هندسة الميكانيك العام

الدكتور أيمن الخباز

مدرس في قسم هندسة الميكانيك العام

1436-1437 هـ

جامعة دمشق

2015-2016 م



الفهرس Table of Contents

الفصل الأول

تعاريف ومفاهيم أساسية	Definitions and Basic Concepts	
-1-1	المقدمة	21 Introduction
-2-1	درجات الطلاقة	22 Degrees of Freedom
-3-1	الوصلة	24 Link
-4-1	الازدواج الحركي	27 Kinematic Pair
-1-4-1	تصنيف الازدواجات الحركية	29 Kinematic Pairs Classification
-5-1	السلسلة الحركية	35 Kinematic Chain
-6-1	التركيبية الآلية	37 Mechanism
-1-6-1	أنواع التركيبات الآلية	41 Types of Mechanisms
-7-1	الآلة	41 Machine
-8-1	درجات طلاقة السلاسل الحركية	43 Kinematic Chain Degrees of Freedom
-1-8-1	تركيبات آلية ذات ازدواجات دورانية وانزلاقية	43 Turning and Sliding Pair Mechanisms
-2-8-1	تركيبات آلية ذات ازدواجات علوية	45 Higher Pairing Mechanisms
-9-1	المخطط الحركي	47 Kinematic Diagram

الفصل الثاني

تركيبات آلية مرفقية	Linkage Mechanisms	
-1-2	المقدمة	51 Introduction
-2-2	أنماط حركة تركيبية مرفقية	52 Linkage Mechanisms Motion Types
-3-2	تركيبية رباعية القضبان	53 Four-Bar Mechanism
-4-2	تركيبية المنزلقة والمرفق	59 Slider-Crank Mechanism

62	تركيبة المنزلقتين والمرفق	-5-2
	<i>Double Slider-Crank Mechanism</i>	
64	قارنة أولد هام	-1-5-2
	<i>Oldham Coupling</i>	
65	راسم القطع الناقص	-2-5-2
	<i>Elliptical Trammel</i>	
66	تركيبات الحركة المستقيمة	-6-2
	<i>Straight-Line Mechanisms</i>	
66	تركيبة بوسوليه	-1-6-2
	<i>Peaucellier Mechanism</i>	
68	تركيبة وات	-2-6-2
	<i>Watt Mechanism</i>	
69	تركيبة تشيشف	-3-6-2
	<i>Tchebyshev Mechanism</i>	
70	تركيبات الحركة سريعة الارتداد	-7-2
	<i>Quick-Return Mechanism</i>	
71	تركيبة المرفق والذراع المشقوق	-1-7-2
	<i>Crank Shaper Mechanism</i>	
73	تركيبة ويت وورث	-2-7-2
	<i>Whitworth Mechanism</i>	
74	تركيبة السحب أو الجر	-3-7-2
	<i>Drag-Link Mechanism</i>	
75	تركيبات الحركة المنقطعة	-8-2
	<i>Intermittent-Motion Mechanisms</i>	
75	تركيبة دولاب جينيفا	-1-8-2
	<i>Geneva Wheel Mechanism</i>	
77	تركيبة السقاطة	-2-8-2
	<i>Ratchet Mechanism</i>	
78	تركيبات آلية ذات تطبيقات خاصة	-9-2
	<i>Special Applications Mechanisms</i>	
78	آلية المنساح	-1-9-2
	<i>Pantograph Mechanism</i>	
80	الآلية الركبية	-2-9-2
	<i>Toggle Mechanism</i>	
81	تركيبات توجيه السيارة	-10-2
	<i>Car Steering Mechanisms</i>	
82	تركيبة ديفيس	-1-10-2
	<i>Davis Mechanism</i>	
84	تركيبة آكرمان	-2-10-2
	<i>Ackerman Mechanism</i>	
86	تركيبة المنظم	-11-2
	<i>Governor Mechanism</i>	
87	منظمات بالطرد المركزي	-1-11-2
	<i>Centrifugal Governors</i>	
91	منظمات بالقصور الذاتي	-2-11-2
	<i>Inertia Governors</i>	
93	المفاهيم الأساسية للمنظمات	-3-11-2
	<i>Basic Concepts of Governors</i>	
97	مسائل غير محلولة	
	<i>Problems</i>	

الفصل الثالث

حركة التركيبات الآلية *Kinematics of Mechanisms*

103	<i>Introduction</i>	مقدمة	-1-3
104	<i>Kinematic Analysis Methods</i>	طرائق التحليل الحركي	-2-3
106		التمثيل التخطيطي لمعادلات الحركة النسبية	-3-3
	<i>Vector Diagram for Equations of Relative Motion</i>		
108		الحركة النسبية بين نقطتين على وصلة	-4-3
	<i>Relative Motion Between Two Points of Link</i>		
108	<i>Link Velocity Diagram</i>	مخطط السرعة لوصلة	-1-4-3
113	<i>Link Acceleration Diagram</i>	مخطط التسارع لوصلة	-2-4-3
118		تطبيق على تركيبة رباعية القضبان	-3-4-3
	<i>Four-Bar Mechanism Application</i>		
130		الحركة النسبية بين نقطتين متطابقتين على وصلتين متحركتين	-5-3
	<i>Relative Motion Between Two Coincident Points of Links</i>		
134		تطبيق على تركيبة المرفق والذراع المشقوق	-1-5-3
	<i>Crank Shaper Mechanism Application</i>		
147		الحركة النسبية عند نقاط تماس تدحرج صرف	-6-3
	<i>Relative Motion at Contact Points in Rolling</i>		
158	<i>Instantaneous Velocity Centre</i>	المركز اللحظي للسرعات	-7-3
160		نظرية استقامة ثلاثة مراكز لحظية	-8-3
	<i>Three Instantaneous Centers in Line Theorem</i>		
161		المراكز اللحظية الابتدائية	-9-3
	<i>Primary Instantaneous Centers</i>		
161	<i>Turning Pair</i>	الازدواج الدوراني	-1-9-3
161	<i>Sliding Pair</i>	الازدواج الانزلاقي	-2-9-3
162	<i>Direct Contact Pair</i>	الازدواج بتماس مباشر	-3-9-3
165		تعيين المراكز اللحظية للتركيبات الآلية	-10-3
	<i>Instantaneous Centre Determination in Mechanisms</i>		
167		تحديد السرعة باستخدام المراكز اللحظية	-11-3
	<i>Velocity Determination by Instantaneous Centre</i>		

168	طريقة خط المراكز اللحظية	-1-11-3
	<i>Instantaneous Centre Line Method</i>	
170	طريقة الانتقال من وصلة إلى وصلة	-2-11-3
	<i>Link to Link Method</i>	
172	طريقة مباشرة	-3-11-3
	<i>Direct Method</i>	
183	مسائل غير محلولة	
	<i>Problems</i>	

الفصل الرابع

تحليل حركة التركيبات الآلية بواسطة الحاسوب

Computer Aided Kinematic Analysis of Mechanisms

197	مقدمة	-1-4
	<i>Introduction</i>	
198	تحليل معادلات الحركة بتطبيق علاقات النسب المثلثية	-2-4
	<i>Equations of Motion Analysis by Trigonometry</i>	
198	تطبيق على تركيبة المنزلقة والمرفق	-1-2-4
	<i>Slider-Crank Mechanism Application</i>	
200	تحليل متجهات الحركة بتطبيق علاقات الأعداد المركبة	-3-4
	<i>Vectors of Motion Analysis by Complex Numbers Relations</i>	
201	تحليل متجهات حركة نقطة من وصلة	-1-3-4
	<i>Vectors Analysis of Point Motion of Link</i>	
204	تحليل متجهات حركة نقطتين متطابقتين	-2-3-4
	<i>Vectors Analysis of Motion of Two Coincident Points</i>	
206	تحليل متجهات حركة تركيبة رباعية القضبان	-3-3-4
	<i>Vectors Analysis of Motion in Four-Bar Mechanism</i>	
210	تحليل متجهات حركة تركيبة المنزلقة والمرفق	-4-3-4
	<i>Vectors Analysis of Motion of Slider-Crank Mechanism</i>	
216	تحليل أوضاع الحركة بدلالة زاوية الدخل	-4-4
	<i>Position Analysis of Motion by Grank Angle</i>	
217	تحليل أوضاع الحركة في تركيبة رباعية القضبان	-1-4-4
	<i>Position Analysis of Motion in Four-Bar Mechanism</i>	
230	تحليل أوضاع الحركة في تركيبة المنزلقة والمرفق	-2-4-4
	<i>Position Analysis of Motion in Slider-Crank Mechanism</i>	

238	منحنيات الوصل للآليات المرفقية	-5-4
	<i>Coupler Curves in Linkage Mechanisms</i>	
240	منحنيات الوصل في تركيبة رباعية القضبان	-1-5-4
	<i>Coupler Curves in Four-Bar Mechanism</i>	
241	منحنيات الوصل في تركيبة المنزلقة والمرفق	-2-5-4
	<i>Coupler Curves in Slider-Crank Mechanism</i>	
243	مسائل غير محلولة	
	<i>Problems</i>	

الفصل الخامس

تحريك التركيبات الآلية *Kinetics of Mechanisms*

251	مقدمة	-1-5
	<i>Introduction</i>	
252	تحليل القوى الاستاتيكية	-2-5
	<i>Static Forces Analysis</i>	
258	تحليل القوى الاستاتيكية في تركيبة المنزلقة والمرفق	-1-2-5
	<i>Static Forces Analysis in the Slider-Crank Mechanism</i>	
264	تحليل القوى الاستاتيكية في تركيبة رباعية القضبان	-2-2-5
	<i>Static Forces Analysis in the Four Bar Linkage</i>	
268	تحليل قوى العطالة	-3-5
	<i>Inertia Forces Analysis</i>	
272	تحليل قوى العطالة في تركيبة رباعية القضبان	-1-3-5
	<i>Inertia Forces Analysis in the Four Bar Linkage</i>	
276	قوة الارتجاج	-4-5
	<i>Shaking Force</i>	
278	تحليل القوى الاستاتيكية والعطالية في تركيبة آلية	-5-5
	<i>Inertia and Static Forces Analysis in a Mechanism</i>	
278	تحليل القوى الاستاتيكية والعطالية في تركيبة المنزلقة والمرفق	-1-5-5
	<i>Inertia and Static Forces Analysis in the Slider-Crank Mechanism</i>	
289	تحليل القوى في المنظمات	-6-5
	<i>Forces Analysis in Governors</i>	
312	توزيع الكتل	-7-5
	<i>Distribution of Mass</i>	
313	الجُمل المكافئة ديناميكياً	-1-7-5
	<i>Equivalent Dynamical Systems</i>	
317	مركز كتل جسم صلب	-2-7-5
	<i>Center of Mass of Rigid Bodies</i>	
319	عزم عطالة جسم صلب	-3-7-5
	<i>Mass Moment of Inertia of Rigid Body</i>	

324	<i>Turning Moment Diagram</i>	مخطط عزم الدوران	-8-5
328	<i>Fluctuation of Energy</i>	تراوح القدرة	-1-8-5
330	<i>Fluctuation of Speed</i>	تراوح السرعة	-2-8-5
331	<i>Maximum and Minimum Energy</i>	القدرة العظمى والصغرى	-3-8-5
333	<i>Flywheel</i>	الدولاب المعدل	-4-8-5
346	<i>Flywheel Applications</i>	تطبيقات الدولاب المعدل	-5-8-5
355	<i>Flywheel Design</i>	تصميم الدولاب المعدل	-6-8-5
361	<i>Problems</i>	مسائل غير محلولة	

الفصل السادس

الكامات Cams

379	<i>Introduction</i>	مقدمة	-1-6
379	<i>Types of Cams</i>	أنواع الكامات	-2-6
380	<i>Plane Cams</i>	الكامات المستوية	-1-2-6
382	<i>Space Cams</i>	الكامات الفراغية	-2-2-6
383	<i>Types of Followers</i>	أنواع التوابع	-3-6
384	<i>Basic Variables of Cam Mechanism</i>	المتغيرات الأساسية لتركيب الكامة	-4-6
389	<i>Basic Follower Motions</i>	الحركات الأساسية لتابع	-5-6
390	<i>Constant Velocity Motion</i>	حركة ذات سرعة منتظمة	-1-5-6
391	<i>Constant Acceleration and Deceleration Motion</i>	حركة ذات تسارع منتظم وتباطؤ منتظم	-2-5-6
398	<i>Simple Harmonic Motion</i>	حركة توافقية بسيطة	-3-5-6
401	<i>Cycloidal Motion</i>	حركة دويرية	-4-5-6
404	<i>Follower Motion Choice</i>	اختيار حركة تابع	-6-6
408	<i>Disk Cam Profile Construction</i>	الإنشاء التخطيطي لجانبية كامة قرصية	-7-6
409	<i>Disk Cam with Knife-Edge Follower</i>	كامة قرصية ذات تابع مدبب ترددي قطري	-1-7-6

411	كامة قرصية ذات تابع دحروجي ترددي قطري	-2-7-6
	<i>Disk Cam with Roller Follower</i>	
413	كامة قرصية ذات تابع دحروجي ترددي مجنب	-3-7-6
	<i>Disk Cam with Offset Roller Follower</i>	
414	كامة قرصية ذات تابع دحروجي تأرجحي	-4-7-6
	<i>Disk Cam with Pivoted Roller Follower</i>	
416	كامة قرصية ذات تابع ابتدائي وثانوي	-5-7-6
	<i>Disk Cam with Primary and Secondary Follower</i>	
418	كامة قرصية ذات تابع مسطح ترددي قطري	-6-7-6
	<i>Disk Cam with Flat-Faced Follower</i>	
420	كامة قرصية ذات تابع مسطح متأرجح	-7-7-6
	<i>Disk Cam with Pivoted Flat-Faced Follower</i>	
421	الحدود العملية لتصميم جانبية الكامنة	-8-6
	<i>Practical Limits of Cam Profile Design</i>	
423	زاوية الضغط	-9-6
	<i>Pressure Angle</i>	
427	التصميم التحليلي لجانبية الكامنة	-10-6
	<i>Analytic Design of Cam Profile</i>	
427	كامة قرصية ذات تابع مسطح ترددي	-1-10-6
	<i>Disk Cam with Flat-Faced Follower</i>	
433	كامة قرصية ذات تابع دحروجي ترددي	-2-10-6
	<i>Disk Cam with Roller Follower</i>	
442	كامات ذات جانبية محددة	-11-6
	<i>Cams with Specified Contours</i>	
442	كامة مكونة من أقواس دائرية وخطوط مستقيمة	-1-11-6
	<i>Tangent Cam</i>	
450	كامة مكونة من أقواس دائرية	-2-11-6
	<i>Circular-Arc Cam</i>	
456	كامة دائرية	-3-11-6
	<i>Eccentric-Circle Cam</i>	
463	كامات صمامات محرك سيارة	-12-6
	<i>Automobile-Engine Valve Cams</i>	
464	القوى المؤثرة في تركيب كامنة قرصية	-13-6
	<i>Effective Forces in a Disk Cam</i>	
495	الكامات ذات الحركة الإيجابية	-14-6
	<i>Positive-Motion Cams</i>	
495	الكامة الانتقالية	-1-14-6
	<i>Translation Cam</i>	

496	<i>Disk Cam</i>	الكامة القرصية	-2-14-6
500	<i>Cylindrical Cam</i>	الكامة الاسطوانية	-3-14-6
502	<i>Inverse Cam</i>	الكامة العكسية	-4-14-6
503		نظرية التركيبات الآلية المكافئة	-15-6
	<i>Equivalent Mechanisms Theorem</i>		
506	<i>Equivalent Mechanisms</i>	التركيبات الآلية المكافئة	-16-6
511	<i>Problems</i>	مسائل غير محلولة	

الفصل السابع

المسِنَّات Gears

520	<i>Introduction</i>	مقدمة	-1-7
521	<i>Classification of Gears</i>	تصنيف المسِنَّات	-2-7
522	<i>Spur Gears</i>	المسِنَّات العدلة	-1-2-7
522	<i>Helical Gears</i>	المسِنَّات الحلزونية	-2-2-7
525	<i>Bevel Gears</i>	المسِنَّات المخروطية	-3-2-7
527	<i>Worm Gears</i>	المسِنَّات الدودية	-4-2-7
528	<i>Fundamental Law of Gearing</i>	القانون الأساسي للمسِنَّات	-3-7
529	<i>Principal Terms</i>	المصطلحات الأساسية	-4-7
534		إنشاء أسنان المسِنَّات العدلة	-5-7
	<i>Spur Gears Teeth Construction</i>		
535	<i>Involute Teeth Construction</i>	إنشاء الأسنان الأنفلويوتية	-1-5-7
537		ميزات الأسنان الأنفلويوتية	-2-5-7
	<i>Involute Gear Teeth Characteristics</i>		
539		تحليل حركة المسِنَّات العدلة الأنفلويوتية	-6-7
	<i>Motion Analysis of Involute Spur Gears</i>		
542		المقومات الحركية للمسِنَّات العدلة الأنفلويوتية	-1-6-7
	<i>Motion Features of Involute Spur Gears</i>		
547		تداخل أسنان المسِنَّات العدلة الأنفلويوتية	-2-6-7
	<i>Involute Spur Gear Teeth Interference</i>		

550	الحد الأدنى لعدد الأسنان دون تداخل	-3-6-7
	<i>Minimum Teeth Number without Interference</i>	
555	طرائق تلافي التداخل بين الأسنان	-4-6-7
	<i>Methods of Interference Prevention</i>	
559	إنشاء أسنان المسننات الحلزونية الأنقليوتية	-7-7
	<i>Construction of Involute Helical Gear Teeth</i>	
560	تحليل حركة المسننات الحلزونية المتوازية	-1-7-7
	<i>Motion Analysis of Parallel Helical Gears</i>	
563	تحليل حركة المسننات الحلزونية المتصالبة	-2-7-7
	<i>Motion Analysis of Crossed Helical Gears</i>	
566	تشكيل أسنان المسننات الحلزونية وتداخلها	-3-7-7
	<i>Forming and Interference of Helical Gear Teeth</i>	
569	إنشاء المسننات المخروطية	-8-7
	<i>Construction of Bevel Gears</i>	
571	تحليل حركة المسننات المخروطية	-1-8-7
	<i>Motion Analysis of Bevel Gears</i>	
575	إنشاء المسننات الدودية	-9-7
	<i>Construction of Worm Gears</i>	
579	القوى المؤثرة في أسنان المسننات	-10-7
	<i>Effective Forces in Gears Teeth</i>	
579	المسننات العدلة	-1-10-7
	<i>Spur Gears</i>	
581	المسننات الحلزونية المتوازية	-2-10-7
	<i>Parallel Helical Gears</i>	
587	المسننات المخروطية المستقيمة	-3-10-7
	<i>Straight Bevel Gears</i>	
592	المسننات الدودية	-4-10-7
	<i>Worm Gears</i>	
595	مسائل غير محلولة	
	<i>Problems</i>	

الفصل الثامن

	<i>Gears Trains</i>	مجموعات المسننات	
602	<i>Introduction</i>	مقدمة	-1-8
602	<i>Simple Gear Trains</i>	مجموعة المسننات البسيطة	-2-8
604	<i>Compound Gear Trains</i>	مجموعة المسننات المركبة	-3-8

609	مجموعة المسننات ذات المحاور غير المتوازية	-4-8
	<i>Non-Parallel Axes Gear Trains</i>	
611	مجموعة المسننات الكوكبية	-5-8
612	المجموعات الكوكبية البسيطة	-1-5-8
615	المجموعات الكوكبية المركبة	-2-5-8
	<i>Compound Planetary Trains</i>	
617	المجموعات الكوكبية التفاضلية	-3-5-8
	<i>Planetary Differential Trains</i>	
623	مسائل غير محلولة	
	<i>Problems</i>	

الفصل التاسع

إنشاء التركيبات الآلية *Mechanism Synthesis*

628	مقدمة	-1-9
	<i>Introduction</i>	
629	مفهوم نقاط الدقة	-2-9
	<i>Concept of Accuracy Points</i>	
631	إنشاء تركيبة رباعية القضبان لقيم أنية للسرعة والتسارع	-3-9
	<i>Synthesis of Four-bar Mechanism for Instantaneous Values of Speed and Acceleration</i>	
636	إنشاء تركيبة رباعية القضبان لتوليد تابع ما	-4-9
	<i>Synthesis of Four-bar Mechanism to Generate a Function</i>	
641	نظرية القيم العظمى والصغرى	-5-9
	<i>Maxima and Minima Theorem</i>	
645	إنشاء تركيبة ذات تماس مباشر تدرجي	-6-9
	<i>Synthesis of Rolling Contact Mechanism</i>	
649	مسائل غير محلولة	
	<i>Problems</i>	
651	المراجع العلمية	
	<i>References</i>	
655	دليل المصطلحات العلمية	
	<i>Scientific Terms Dictionary</i>	

مقدمة Introduction

يعد علم نظرية الآلات علماً راسخاً متكاملًا متصله بالعلوم الهندسية الأخرى روابط متينة ؛ لذا فهو يشكل حلقة رئيسة في خطة تأهيل مهندس الميكانيك ، وركيزة أساسية يعتمدون عليها في دروب العمل الهندسي المبدع ، ولا عجب من ذلك ، إذ يتضمن هذا العلم الأسس اللازمة لتخطيط منهج تصميم آلة ما ، انطلاقاً من التحليل الحركي والديناميكي لأنظمة تحويل الحركة ونقلها ، إضافة إلى طرائق إنشاء تركيبات آلية تحقق حركة مطلوبة ما .

لقد أسهم التطور العلمي والتقني في إحداث تقدم هائل وسريع في مجال تطوير الآلات ؛ وبخاصة أنظمة الأتمتة والتحكم التي تستلزم توافقاً حركياً بين العناصر المكونة لها .

يتلقى الطلاب في السنة الأولى والثانية محاضرات في الميكانيك الهندسي بعلم التوازن وعلم الحركة وعلم التحريك ، ويتلقون في السنة الثالثة محاضرات بعلم نظرية الآلات الذي هو علم هندسي يطبق فيه طلاب الهندسة ما سبق أن درسوه من مبادئ الميكانيك على الآلات الميكانيكية ؛ لذا فقد رأينا تعديل كتاب نظرية الآلات الذي صدرت طبعته الأولى عام 1981 ، وتعديله مرة ثانية الذي صدرت طبعته عام 1988 ، وليس الكتاب الحالي تأليفاً حقاً ، شأنه في ذلك شأن الكثير من الكتب العلمية والهندسية العربية ، ولكنه منقول بشيء من التعديل عن الطبعة الأخيرة من كتاب نظرية الآلات بالدرجة الأولى ، وعن مصادر علمية عدة متخصصة بعلم نظرية الآلات ؛ بالإضافة إلى خبرتنا التدريسية السابقة ، كما أننا أضفنا بحثاً يتضمن تحليل الحركة في التركيبات الآلية بواسطة الحاسوب ، وبعض الموضوعات المتطورة الأخرى بشكل يواكب التطور ، ويؤهل القارئ للتعلم في دراسة الأبحاث المستجدة التي تساعده على الإبداع والابتكار ، وبحيث يمكن استخدامه كمقرر دراسي ومرجع علمي في الآن ذاته .

يحتوي هذا الكتاب تسعة فصول ، عرضنا من خلالها المفاهيم الأساسية لعلم نظرية الآلات بطريقة منهجية ، وبأسلوب مترابط رصين يتميز بالصياغة اللغوية السهلة والواضحة قدر الإمكان ، تقود القارئ تدريجياً وبسهولة إلى استيعاب طرائق التحليل الحركي والإنشاء ، بحيث تتكون لديه القاعدة العلمية اللازمة لاختيار الحل الأمثل والمنطقي للنظام الحركي المطلوب .

استهل الكتاب في الفصل الأول تعريف العناصر المكونة للمفهوم الحركي للآلة ، يلي ذلك الفصل الثاني بإعطاء وصف وجيز ، لا يعدم الوضوح والترابط لأهم التركيبات الآلية البسيطة التي تشغل حيزاً مهماً من أركان هذا العلم ، مع بيان الأسس المتبعة في تطويرها لتوسيع مجالات تطبيقاتها .

ومن ثم انتقلنا إلى الفصل الثالث لتوضيح طرائق التحليل الحركي ، وذلك من خلال دراسة بعض التراكيبات النموذجية . وتبعه الفصل الرابع المتضمن الطرق الرياضية لتحليل حركة التراكيبات الآلية وبعض التطبيقات الخاصة ، والتركيز على وضع الهيكل الرياضي اللازم لاستخدام الحاسوب في هذا المجال . بينما اهتم الفصل الخامس بشرح طرائق التحليل الديناميكي .

ونظراً لأن الحركات أو ما يعرف بالكامات ، والمسندات التي هي عناصر رئيسة في أنظمة نقل الحركة في معظم الآلات ، فقد أفردنا لدراسة كل منها فصلاً مستقلاً أوضحنا من خلاله أسس تحليلها وإنشائها ، كما أتبعنا بعد ذلك الفصل الثامن الذي يبحث في الميزات الحركية لمجموعات المسندات والآليات المسننة الكوكبية الأكثر استعمالاً في التطبيقات العملية . أما الفصل التاسع والأخير فإنه يشكل مدخلاً إلى إنشاء التراكيبات الآلية ، بالطرق التخطيطية والتحليلية .

ولقد رأينا من المناسب أن يتضمن كل فصل عدة تطبيقات وأمثلة محلولة تساعد على استيعاب الأسس النظرية ، كما أضفنا عدداً من التمارين غير المحلولة في نهاية كل فصل ، مما يتيح للقارئ أن يختبر إمكانياته الذاتية على فهم الأبحاث ومدى تمكنه منها ؛ معتمدين في ذلك على الجملة الدولية لوحدات القياس ، وكذلك فقد حرصنا قدر الإمكان على استيعاب الرموز الفيزيائية المصطلح عليها دولياً ، مع تعريف كل منها عند وروده ضمن سياق النص ؛ مما يسهل على القارئ تتبع الموضوع بشكل سلس وواضح .

توجهنّا إلى اعتماد المصطلحات الهندسية العربية والمعتمدة في أهم المعاجم والمصادر العربية ، إضافة إلى إسهامات متواضعة من قبلنا في تعريف بعض المصطلحات الجديدة ، وقد كتبت باللغتين العربية والإنكليزية ، كما أوردنا في نهاية الكتاب قائمة بمعاني الكلمات والمصطلحات الإنكليزية المستخدمة .

لقد توخينا من هذا الكتاب الذي لا يمثل سوى حصيلة مقتضبة لعلم رحيب أن يكون مرشداً للطالب في دراسته ، وعوناً للمهندس الممارس على طريق العلم والبحث والإنتاج ، فنرجو أن نكون قد وفقنا في تحقيق بعض ما هدفنا إليه ، ونتوجه بالشكر إلى كل من أسهم في إصدار وطباعة هذا الكتاب .

دمشق - حزيران 2015

د أيمن الخباز - أ د اسكندر عمجة - أ د سيمون عبيد

تمهيد Preface

إن لعلم نظرية الآلات (*Theory of Machines*) أو علم ميكانيك الآلات (*Mechanics of Machinery*) منزلة خاصة بين العلوم الهندسية ، ويعد من أوسع العلوم الهندسية انتشاراً نتيجة للتطور الفني الذي طرأ في هذا العصر ، ويشغل حيزاً كبيراً مهماً في الصناعات الخفيفة والثقيلة وفي الطب والفضاء الخارجي ، وهو في تطور مستمر ، ويعد الركيزة الأولى من مراحل تصميم الآلات . فمن أجل تصميم آلة ما لابد من معرفة طبيعة حركتها أولاً ثم دراسة هذه الحركة لتحديد الخواص الحركية من سرعات وتسارعات لعناصر التركيبات المكونة لها ، وتحديد القوى والعزوم المؤثرة في وصلات هذه الآلة ، وما ينتج عنهم من إجهادات ديناميكية واهتزازات ؛ وبالتالي فإن علم نظرية الآلات يتناول دراسة الحركة والقوى والاهتزازات في أنواع التركيبات الآلية المختلفة ، كما يتناول دراسة بنى أنواع التركيبات الآلية المختلفة ؛ بغية تصنيفها وإنشائها وتطويرها وفق تركيبها البنوي . ولا يتناول دراسة تأثير المرونة والتغير الحاصل في شكل أجزاء الآلية بسبب القوى المؤثرة عليها ؛ لأن هذا البحث يدخل في موضوع علم مقاومة المواد (*Strength of Materials*) ، كما أن البحث لا يتناول تعيين حجم أجزاء التركيبات الآلية وشكلها لحمل ثقل معين أو لنقل قوى معينة ؛ لأن ذلك يدخل في موضوع تصميم الآلات (*Machine Design*) .

استعملت التركيبات الآلية أو الآليات من أجل توليد الحركة في العصور الأولى لوجود الإنسان ، وقد بدأت باختراع العتلة والقرص المتدحرج ومن ثم الدولاب ، وبمزيد من التطوير والتعديل ولدت التركيبات الآلية والآلة وتطورت وتنوعت ، حتى عصر ليوناردو دافنشي (1452-1519) كانت أنواع التركيبات الآلية جميعها معلومة بأنواعها وأشكالها شتى تقريباً ، وأخذ علم نظرية الآلات يتبلور ، ويتجسد تدريجياً مع تطور علوم الرياضيات والميكانيك النظري ، حتى أصبح علماً راسخاً متكافلاً ، اتصله بالعلوم الهندسية الأخرى روابط متينة ، وقوية ذات معالم واضحة .

تتواجد التركيبات الآلية في الآلات والأجهزة الميكانيكية المختلفة التي تقوم بتنفيذ وظائف حركية معينة أو عمليات تقنية محددة ، وبغض النظر عن ماهية العملية التقنية المنفذة فعلياً ، فإنه يلاحظ أنه للتركيبات الآلية جميعها وظيفة رئيسية ، وبنية أساسية مشتركتين ؛ مما يمكن منها تعريف التركيبة الآلية كالآتي:

التركيبة الآلية هي منظومة ميكانيكية لنقل كل من الحركة والقوى وتحويلها ، أو لتوجيه حركة نقاط جسم ما على مسارات معينة ، وتتكون من وصلات متحركة ومتصلة بعضها ببعض بوسيلة ربط بحيث تتحدد إمكانات حركاتها المتبادلة بنوع المفاصل . وإن أقل عدد ممكن للوصلات يساوي ثلاثة بما في ذلك الوصلة الثابتة أي الهيكل .

يمكن تصنيف التركيبات الآلية حسب وظيفتها إلى نوعين أساسيين:

- تركيبات آلية لنقل الحركة أو القدرة ؛ وتدعى اختصاراً بـ آليات النقل ، وهي تركيبات يتم فيها نقل الحركة والقوى وتحويلها.
- تركيبات آلية لتوجيه جسم ما أو نقطة ما ؛ وتدعى اختصاراً بـ آليات التوجيه ، وهي تركيبات يتم فيها توجيه وصلة ما بحيث تشغل وضعيات معينة ، أو تقوم نقاطها برسم مسارات معينة .

لكن التطور الذي حصل لتقنية التركيبات الآلية لم يكن عن طريق تكوين مخططات وخطط جديدة ؛ بل كان عن طريق إعطائها وإكسابها نوعية حديثة ، حيث نذكر على سبيل المثال:

§ التركيبات الآلية التي حلت محل يد الإنسان في تنفيذ الأعمال الآلية المؤتمتة كالمفاعلات النووية والتركيبات الآلية المستخدمة في الصناعات الكيميائية .

§ التركيبات الآلية المتغيرة ذاتياً التي تتغير بها معادلات الحركة بشكل آلي كتغيير عدد دورات محرك .

§ التركيبات الآلية الطبية التي تقوم بالوظائف الفيزيولوجية لأعضاء جسم الإنسان كالقلب الاصطناعي ، والرئة ، والكلية الاصطناعية .

مما تقدم نلاحظ أنه ليس بالإمكان أن نحصى جميع التركيبات الآلية ذات التقنية الحديثة ، ولكن المفهوم هو ليس فقط حل المعضلات الجديدة للتقنية ؛ بل بقدر ما نحسن من نوعية التقنية الحديثة .

وأصبحت مسائل نظرية الآلات متعددة ومختلفة ، ولكن الأهم فيها أن نقسمها إلى ثلاث مجموعات:

1. تحليل التركيبات الآلية *Mechanisms Analysis*

يتم في تحليل التركيبات الآلية دراسة التركيبات ذات الأبعاد المعلومة ضمن المجالات الثلاثة الآتية:

- تصنيف التركيبات الآلية
يتم في هذا المجال تصنيف التركيبات الآلية وفقاً لمنطلقات مختلفة كالبنية الإنشائية للتركيبية وللوصلات المكونة لها ، أو حسب وظيفتها ، أو نوع تحويل الحركة وطبيعتها وغير ذلك من العوامل .
- التحليل الحركي للتركيبات الآلية
يتم في هذا المجال دراسة الحركة في التركيبات الآلية لتعيين الخواص الحركية كالإزاحة والسرعة والتسارعات الخطية والزوايا للوصلات المكونة لها .
- التحليل التحريكي للتركيبات الآلية
يتم في هذا المجال تحليل القوى بأنواعها المختلفة ودراستها ، والعزوم المؤثرة في وصلات التركيبات المكونة لها .

2. إنشاء التركيبات الآلية *Mechanism Synthesis*

يعدّ إنشاء التركيبات الآلية عملية معاكسة لتحليل التركيبات الآلية ؛ إذ يتناول الأول البحث في تعيين بنية التركيبية الآلية وأبعادها التي تلبي شروط حركية ما ، وتدخل هنا أيضاً مسائل موازنة الكتل والاستطاعة . ويلاحظ أن مسائل إنشاء التركيبات الآلية أكثر تعقيداً ، وتحتاج إلى جهد أكبر من مسائل تحليل التركيبات ، ويتطلب إنجازها في كثير من الحالات تدخل الحاسوب .

هنالك مسائل في إنشاء التركيبات الآلية يحتاج حلها إلى استعمال بعض الأساليب الرياضية الخاصة ، مثل التحسين بواسطة الحاسوب ، حيث تعتمد هذه الطريقة على التحليل المتكرر للآلية مع تغيير أبعادها بشكل دوري حتى الحصول على الأبعاد اللازمة لتحقيق الشروط المفروضة ، وتدعى مثل هذه العملية: الإنشاء بواسطة التحليل المتكرر .

أصبح هذا التطور الأخير يبين العلاقة الوثيقة بين مجالي تحليل التركيبات الآلية وإنشائها بحيث يصبح الفصل بينهما غير ذي فائدة عملياً .

3. نظرية الآلات لتركيبات آلية ذاتية الحركة

يرتبط تطور نظرية الآلات لتركيبات آلية ذاتية الحركة بتحديث طرق بناء مخططات دارات القيادة والتحكم المحددة وتطويرها لتوافق حركة وصلات التركيبات الآلية .

وكما هو الحال في علم مقاومة المواد وعلم المعادن وميكانيك السوائل ، يتداخل علم نظرية الآلات في جميع أركان التقنية ، ويمثل بالتالي إحدى دعائم العلوم التقنية ، ويشمل مجال تطبيقها نواحي الميكانيك والأجهزة الدقيقة كافة ؛ ولذا فإن الحركات المتشابهة في أنوال النسيج ، والعمليات التحكمية في محرك ما ، وآليات المسننات الكوكبية ، وطرق توجيه الحركة في الإنسان الآلي وغيرها تشكل موضوعات متنوعة من علم نظرية الآلات .

تشاهد التركيبات الآلية المتنوعة في آلات المكاتب والآلات الزراعية والنسجية وآلات التعليب والتعليف والرفع وآلات التشغيل الميكانيكي ، كما تستخدم أيضاً في الأجهزة الطبية والأجهزة الميكانيكية في الطائرات والأقمار الصناعية والمركبات الفضائية .

لاشك في أنه من المهم في النشاط العملي للمهندس الانطلاق من الأسس العلمية للمنظومات التقنية بهدف إيجاد الحلول المثلى . هذا يعني أن على المهندس أن يسعى ، ويحاول حل المسائل التقنية ليس بواسطة تركيبات آلية ميكانيكية فقط ؛ بل عن طريق استخدام عناصر كهربائية ، هيدروليكية ، هوائية أو غيرها من التركيبات المشتركة .

على سبيل المثال يمكن من أجل توليد حركة مستقيمة ترددية لأداة عمل ما في وضعيات معينة استخدام المحركات الخطية ، المغناطيس ، المحركات الخطية ذات الحركة المنقطعة أو العناصر الهيدروليكية أو الهوائية إلى جانب الآليات الميكانيكية .

الفصل الأول

تعريف ومفاهيم أساسية Definitions and Basic Concepts

Introduction

1-1- المقدمة

تكمن الغاية من التحليل الميكانيكي للآلات في دراسة حركات أجزائها المختلفة ، وتحديد القوى المؤثرة فيها من دون التطرق إلى دراسة تأثير المرونة والتغيرات الحاصلة في شكل هذه الأجزاء بسبب القوى المطبقة عليها ؛ إذ إن هذه الدراسة هي مجال بحث مقاومة المواد (*Strength of Materials*) . كما أن تعيين حجم أجزاء الآلة اللازمة وأشكالها لتحمل القوى المطبقة عليها أو نقلها يدخل في موضوع تصميم الآلات (*Machine Design*) .

يقتصر البحث هنا على دراسة الحركة المستوية للجسم الصلب ، حيث تتحرك نقاط الجسم جميعها في مستويات متوازية أو منطبق بعضها على بعضها ، أي: تُهمل سماكة الأجزاء العمودية على مستوي الحركة ؛ مما يبسط الدراسة ، ولا يقلل من قيمة المعلومات التي يتم الحصول عليها ؛ لأن النقاط جميعها على أي عمود على مستوي الحركة تتحرك بطريق مماثلة ، مع الإشارة إلى أن أغلب الأسس والمفاهيم المعتمدة في دراسة الحركة المستوية ، هي ذات فائدة كبيرة في تحليل أنماط الحركة الفراغية ، وبخاصة اللولبية والكروية منها ، حيث يمكن دراسة هذه الحركة انطلاقاً من إسقاط مركباتها في مستويين أو أكثر ، ومن ثم تحليل الحركة الفعلية لهذه المركبات ، كما هو الحال في دراسة حركة بعض أنواع المسننات ، والمساند ، والمحامل التدريجية ، والوصلات الكروية .

من الضروري قبل التطرق إلى بحث الوسائل المستخدمة في التحليل الميكانيكي للآلات وبيان تطبيقاتها المختلفة إعطاء فكرة موجزة عن أهم المفاهيم المتعلقة بالمكونات الحركية للآلات ، من حيث تحديد أوضاعها الهندسية وأشكال الاتصال فيما بينها لتأمين حركة ما .

2-1- درجات الطلاقة

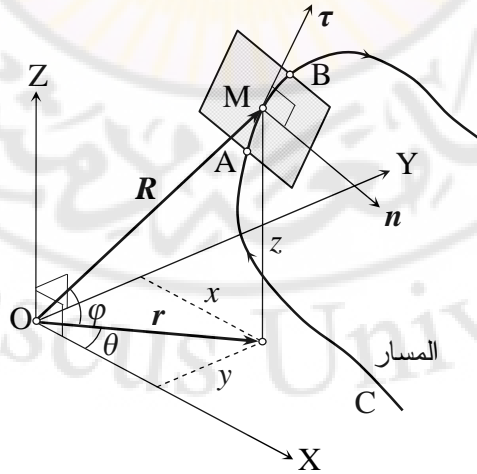
Degrees of Freedom

إن مفهوم درجات الطلاقة ذو فائدة كبيرة في التعبير عن الأبعاد أو الإحداثيات اللازمة لتوصيف مواضع الأجسام المتحركة جميعها ؛ إذ إن عدد الإحداثيات المستقلة عن بعضها عن بعض ، واللازمة لتحديد وضع نظام ميكانيكي في أي لحظة يساوي عدد درجات الطلاقة لهذا النظام ، تسمى هذه الإحداثيات المستقلة بالإحداثيات المكانية ، ويساوي عددها العدد الكلي للإحداثيات مطروحاً منه عدد العلاقات الهندسية التي تربط بينها .

يلاحظ من (الشكل-1-1) أن وضع نقطة M تتحرك بطلاقة في الفراغ ، تتحدد بثلاث قيم جبرية مستقل بعضها عن بعض ، تمثل إحداثيات هذه النقطة بالنسبة إلى جملة محاور إحداثية ثابتة . يمكن أن تكون هذه الإحداثيات ديكارتية x, y, z أو أسطوانية r, θ, z أو أي إحداثيات أخرى . إذن للنقطة طليقة الحركة في الفراغ ثلاث درجات طلاقة .

لكن إذا قيدت النقطة بالحركة على سطح أو بشكل خاص في مستوى ، فإنه توجد بين الإحداثيات الثلاثة علاقة هندسية هي تابع السطح المقيد للحركة ؛ وبالتالي فإن وضع النقطة يحدد عندئذ بإحداثيين مستقلين فقط ، أي: إن لها درجتين طلاقة .

أما إذا قيدت النقطة بمنحن فإنه يبقى إحداثي مكاني واحد فقط ؛ لأن المنحني بشكل عام ، هو خط تقاطع سطحين ، وهذا يعني أن للنقطة في هذه الحالة درجة طلاقة واحدة .

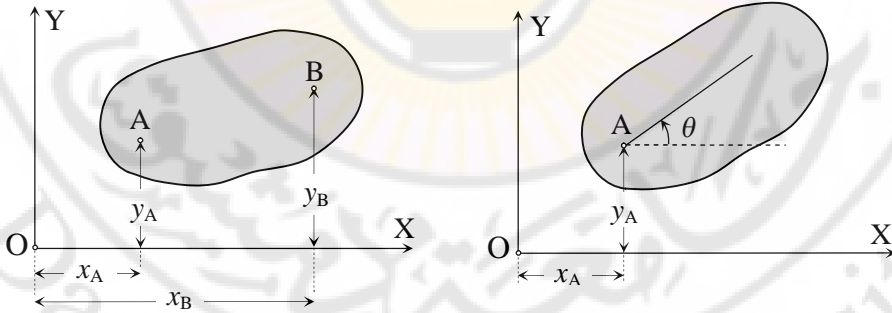


(الشكل-1-1) وضع نقطة M تتحرك بطلاقة في الفراغ .

أما في حالة جسم صلب عندما يتحرك بطلاقة في الفراغ بالنسبة إلى محاور ثابتة ، فإن وضعه يتعين بشكل كامل بوضع ثلاث نقاط منه لا تقع على استقامة واحدة ؛ إذ إن وضع أي نقطة إضافية من الجسم يحدد بالاستناد إلى أن بعدها عن النقاط الثلاث ثابت لا يتغير كيفما تحرك الجسم ؛ إضافةً إلى كون الأبعاد بين النقاط ثابتة أيضاً .

يتضح من ذلك أن الإحداثيات التسعة اللازمة لتعيين وضع النقاط الثلاث من الجسم ليست مستقلة عن بعضها بعضاً ؛ إذ إنها ترتبط فيما بينها بثلاث علاقات للأبعاد الثابتة بين هذه النقاط ؛ وبالتالي فإنه يبقى ست قيم مستقلة تمثل الإحداثيات المكانية للجسم ، أي: إن للجسم الصلب الطليق في الفراغ ست درجات طلاقة .

لكن إذا تحرك جسم صلب بحركة مستوية طليقة ، فإن وضعه يتعين بالنسبة إلى المستوي الثابت بإحداثيات نقطتين منه A و B ، كما هو مبين في المخطط a في (الشكل-2-1) ؛ لأن حركة الجسم في هذه الحالة هي دوماً موازية للمستوي الثابت OXY . يتحدد وضع النقطة A بالإحداثيين x_A و y_A ، بينما يتحدد وضع النقطة B بالإحداثيين x_B و y_B ؛ وبالتالي فإن وضع الجسم يعين في المستوي بأربعة إحداثيات ، لكن هذه الإحداثيات ليست مستقلة تماماً ، إنما توجد بينها علاقة: هي البعد الثابت بين النقطتين A و B .



b- تعيين الجسم بإحداثيات نقطة وميل خط مار منها. a- تعيين الجسم بإحداثيات نقطتين.

(الشكل-2-1) تعيين جسم صلب يتحرك بحركة مستوية طليقة .

كما يمكن تحديد وضع الجسم في المستوي بـ x_A و y_A إحداثيي النقطة A ، والزاوية θ ميل الخط AB على المحور OX ، حيث تكون الإحداثيات θ و x_A و y_A مستقلة تماماً ، كما هو مبين في المخطط b في (الشكل-2-1) .

3-1- الوصلة

Link

هي أي جزء من آلة يربط بين الأجزاء الأخرى ، ويتحرك بالنسبة إليها ، يمكن للوصلة أن تكون ثابتة لتشكل هيكل الآلة الذي تتحرك بالنسبة إليه بقية الأجزاء ، أو أن تكون دليلاً للحركة أو ناقلاً لها ، أو للقيام بهذه الأوضاع معاً مجتمعة .

ليس من الضروري أن تتكوّن الوصلة من قطعة واحدة ؛ وإنما يمكن أن تتكوّن من قطع عدة من مواد مختلفة جمعت بشكل وثيق لكي تتحرك كوحدة واحدة متماسكة . مثال ذلك ذراع التوصيل في محرك الاحتراق الداخلي الذي يتكوّن من مجموعة قطع صنعت منفصلة ، لكنها بعد تجميعها في الآلة تعدّ وصلة واحدة لانعدام الحركة النسبية بين مكوناتها المختلفة ، من الواضح أنه يمكن للوصلة أن تتصل بأي عدد من الوصلات الأخرى شريطة وجود حركة نسبية بين الوصلات المختلفة .

يمكن أن تكون الوصلة جسماً صلباً وتأخذ أشكالاً تصميمية مختلفة ، فقد تكون بشكل قضيب أو قرص أو مسنن أو حذبة أو منزلقة وغير ذلك . ويجب أن تتميز الوصلة الصلبة بمقاومة كافية للقوى والإجهاد المتولد في أثناء الحركة ، مثل إجهاد الشد والضغط واللي والثني ، ويفترض بالتالي عند دراسة الآليات إهمال التشوهات الصغيرة في الوصلات الصلبة الناتجة عن الانفعالات ، حيث يفترض أن التغيرات العظمى للأبعاد تكون بحدود 0.001 من طول الوصلة .

كما أنه ليس من الضروري أن تكون الوصلة جسماً صلباً ؛ إنما يجب أن تكون جسماً مقاوماً قادراً على نقل الحركة دون تغير ملحوظ في أبعاده ، فالوصلة الصلبة (*Rigid Link*) هي قادرة على نقل قوى الشد أو الضغط أو كليهما معاً كذراع التوصيل المذكور سابقاً ، أما الوصلة المرنة (*Flexible Link*) أو الطليقة فهي تبدي مقاومة وتقل الحركة بطريقة معينة واحدة فقط . فمنها الوصلات الشدية (*Tension Links*) كالسيور والسلاسل والحبال التي تتقل قوى الشد لكنها لا تقاوم قوى الضغط . في حين تنقل الوصلات الضغطية (*Pressure Links*) قوى الضغط فقط كالسوائل غير القابلة للانضغاط المستعملة في المكابس والمكابح والروافع الهيدروليكية . أما الوصلات النابضية فهي تتقل قوى الشد أو الضغط بحسب نوعها وطريقة تصميمها حيث تصنف كنوابض شد أو نوابض انضغاط ، وتعمل بالتالي على تأمين الانغلاق بين الوصلات لنقل الحركة بشكل مستمر .

تجدر الإشارة إلى أننا في مجال بحثنا سنستعمل تعبير الوصلة للدلالة على الوصلات الصلبة حصراً مع التتويه ، حيث يلزم ، عن الأنواع الأخرى من الوصلات .

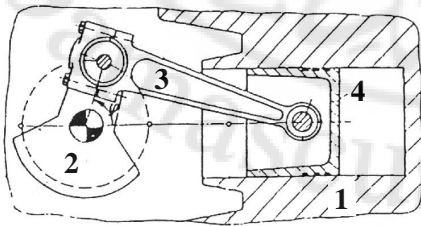
قبل الاستفاضة في البحث لا بد من تعريف الوظائف الحركية لوصلات التركيبية الآلية وتمييزها ، وتتلخص هذه الوظائف وفق إمكانياتها في نقل الحركات المختلفة وتحويلها ، فالحركة المتولدة عند الوصلة القائمة تنتقل بواسطة ذراع التوصيل مثلاً إلى الوصلة المقودة ، عبر وصلات التركيبية التي تؤدي خلالها حركات محددة متكررة وقسرية بسبب الأبعاد والازدواجات الحركية لتلك الوصلات ، بالنتيجة تحصل التغيرات في خواص الحركة المنقولة ، فقد يتغير نوع الحركة من دورانية إلى انشحابية ، وقد يتغير مقدار السرعة زيادة أو نقصاناً . وتبعاً لوظائف الوصلات تستخدم التسميات الآتية:

• الوصلة الثابتة *Fixed Link*

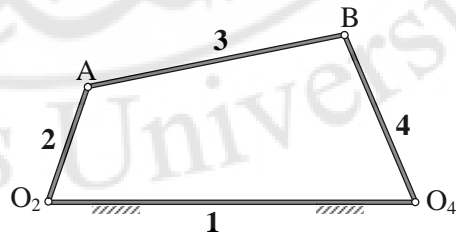
أو الهيكل (*Structure*) ، وهي تلك الوصلة التي تُعد ثابتة في التركيبية الآلية ، وتقاس بالتالي حركة باقي الوصلات بالنسبة لها حتى ولو كانت هي نفسها متحركة أي منتمة لجملة متحركة كهيكل السيارة مثلاً ، أو كالوصلة رقم 1 ، كما في المخطط a في (الشكل-3-1) . وفي المخطط b في (الشكل-3-1) .

• الوصلة القائمة *Driving Link*

أو المرفق (*Crank*) ، وهي وصلة الدخول في التركيبية الآلية مثل عمود المرفق رقم 2 في تركيبية المنزلقة والمرفق ، كما في المخطط a في (الشكل-3-1) ، وفي رباعية القضبان ، كما في المخطط b في (الشكل-3-1) ، وهي الوصلة التي تتلقى الحركة التي تتحول إلى الحركة التي على التركيبية تحويلها ، ويكون عمل القوى الخارجية المطبق عليها موجباً .



a- تركيبية المنزلقة والمرفق .



b- تركيبية رباعية القضبان .

(الشكل-3-1)

• الوصلة الناقلة للحركة Coupler Link

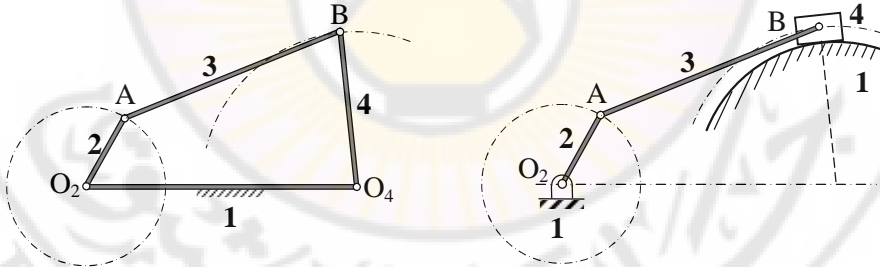
أو ذراع التوصيل (Connecting Rod) ، وهي الوصلة التي تنقل الحركة وتربط بين الوصلات المتحركة في الترتيب الآلية ، وليس لها اتصال مباشر مع الهيكل . مثل ذراع توصيل الحركة رقم 3 في تركيبية المنزلقة والمرفق ، كما في المخطط a في (الشكل-3-1) ، والوصلة رقم 3 في تركيبية رباعية القضبان ، كما في المخطط b في (الشكل-3-1) .

• الذراع Lever

وهو وصلة على شكل قضيب يهتز في زاوية ، ويغير اتجاه حركته في فترات معينة ، كالوصلة رقم 4 في تركيبية رباعية القضبان ، كما في المخطط a في (الشكل-4-1) .

• المنزلقة Slider

وهي وصلة على شكل قضيب أو كتلة تنزلق على سطح وصلة أخرى ، وقد تتحرك على خط مستقيم كالرأس المنزلق (Crosshead) رقم 4 في آلية المنزلقة والمرفق ، كما في المخطط a في (الشكل-3-1) ، أو قد يتحرك على منحني ، كما تفعل الكتلة رقم 4 المبينة في المخطط b في (الشكل-4-1) .



a- الذراع رقم 4 في تركيبية رباعية القضبان .
b- منزلقة رقم 4 تتحرك على منحني .
(الشكل-4-1)

• الوصلة المقودة Driven Link

هي وصلة الخرج في الترتيب الآلية ، وهي التي تقوم بالحركة التي خصصت للتركيبية من أجل الحصول عليها ، ويكون عمل القوى الخارجية المطبق عليها سالباً أو مساوياً للصفر . مثل المنزلقة رقم 4 في تركيبية المنزلقة والمرفق ، كما في المخطط a في (الشكل-3-1) ، أو كالوصلة رقم 4 في تركيبية رباعية الوصلات كما في المخطط a في (الشكل-4-1) .

4-1- الأزواج الحركي

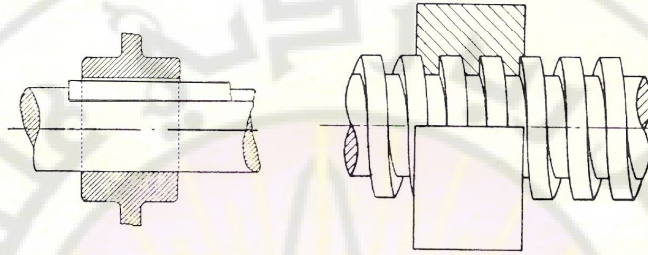
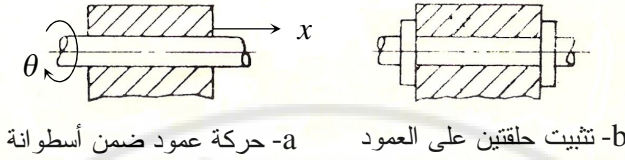
Kinematic Pair

إذا وصلنا وصلتين بعضهما ببعض بحيث تكون الحركة النسبية بينهما مقيدة تقيداً تاماً فإننا نحصل على ازدواج حركي . هذا يعني أن الحركة النسبية المستوية بين الوصلتين يجب أن تكون ذات درجة طلاقة واحدة ، أي: إنها تُحدّد بإحداثي مستقل واحد فقط ، وبما أن للوصلة الطليقة التي تتحرك حركة مستوية بالنسبة لوصلة أخرى ثلاث درجات طلاقة ، كما ورد سابقاً في الفقرة (1-2) ، فإنه يجب - لتحقيق ازدواج حركي - تقييد حركة كل من الوصلتين بشكل يؤمن بينهما حركة نسبية ذات درجة طلاقة واحدة .

بالنسبة للوصلات التي تدخل في ازدواج حركي يكون عدد درجات الطلاقة أقل من ست درجات طلاقة ؛ بسبب شرط التماس والوصل الدائم لوصلات الأزواج الذي يخفض من عدد الانتقالات الممكنة ، ويمكن تقسيم الأزواج الحركية بالنسبة لعدد درجات الطلاقة بأنها أحادية ، وثنائية ، وثلاثية ، ورباعية ، وخماسية . وإن عدد درجات الطلاقة وعدد درجات التقييد يساوي الستة دائماً أي: إنه يساوي عدد درجات الطلاقة لجسم يتحرك في الفراغ .

لفهم المقصود من الحركة النسبية المقيدة تقيداً تاماً ، ندرس حركة عمود ضمن أسطوانة ثابتة بينهما توافق دقيق ، كما في (الشكل-1-5) . نلاحظ في الحالة a في (الشكل-1-5) أنه يمكن تحريك العمود بالنسبة للأسطوانة بإحدى الحركات الآتية : دوران ، أو انزلاق ، أو دوران مع انزلاق ؛ وبالتالي فإن الحركة النسبية بينهما ليست مقيدة تقيداً تاماً ؛ إذ إن التماس المغلق بين سطحي العمود والأسطوانة قد ألغى درجة طلاقة واحدة للعمود ؛ لأن درجة طلاقة الأسطوانة تساوي الصفر لكونها ثابتة ؛ إذ من الواضح أنه يلزم - بشكل عام - إحداثيان مستقلان x, θ لتحديد وضع العمود بالنسبة للأسطوانة في أية لحظة ، ولا يمكن ، من حيث الشكل الهندسي للازدواج الحركي بين الوصلتين ، تحديد حدوث أية من الحركات المذكورة سابقاً بشكل قاطع .

لكن إذا رغبتنا أن تكون الحركة بين العمود والأسطوانة مقيدة تقيداً تاماً ، فعلينا عندئذ إدخال بعض التعديلات على هذا الشكل بحيث تؤمن قيداً إضافياً يلغي إحدى درجتي الطلاقة للعمود . يمكن على سبيل المثال ، إما:



(الشكل-5-1) الحركة بين العمود والأسطوانة .

- تثبيت حلقتين على العمود ، كما في الحالة b في (الشكل-5-1) ، بحيث تصبح حركة العمود بالنسبة للأسطوانة حركة دورانية فقط .
- أو تثبيت خابور غاطس في الأسطوانة ، كما في الحالة c في (الشكل-5-1) ، يشكل مع مجرى ملائم في العمود توافقاً انزلاقياً بحيث يسمح للعمود بالانزلاق فقط .
- أو لولبة سطحي تماس كل من العمود والأسطوانة ، كما في الحالة d في (الشكل-5-1) ، وتكون الحركة الناتجة مقيدة تقيداً تاماً رغم وجود دوران وانزلاق بأن واحد ؛ إذ إنه لكل دورة هناك انزلاقاً محدد القيمة بخطوة اللولب .

تجدر الإشارة إلى أن التحليل السابق لمفهوم التقييد التام للحركة بين وصلتين يبقى صحيحاً فيما لو كانت الأسطوانة غير ثابتة ؛ إذ إن الحركة النسبية بين الوصلتين لن تتغير ؛ وبالتالي فإن تثبيت إحدى الوصلتين أو تحريكها لا يغير نوعية الازدواج الحركي بينهما ؛ لأنه يتحدد بطبيعة الحركة النسبية فقط دون غيرها .

لما كانت الغاية من الوصلات المشكلة لآلة ما هي أداء حركة معينة يملئها العمل الذي صممت هذه الآلة من أجله ، فإنه من الواضح أن الازدواجات الحركية جميعها بين هذه الوصلات يجب أن تكون مقيدة تقيداً تاماً ؛ وبالتالي فإن تعبير ازدواج أيما ورد يعني ازدواجاً حركياً ما لم يُذكر خلاف ذلك .

1-4-1- تصنيف الازدواج الحركية Kinematic Pair Classification

نظراً لتباين أنماط الأداء في الآلات ، ولتنوع التقنيات المستخدمة في تحقيق حركة ما ، فإنه من الصعب تصنيف الازدواج ضمن مجموعات محددة مستقلة لا تداخل بينها ؛ وبالتالي فإن هذا التصنيف يتم وفق منطلقات مختلفة ، نبين أهمها في الآتي:

1. وفق طبيعة الحركة النسبية According to Relative Motion

بما أن للحركة النسبية أهمية خاصة في تحديد مفهوم الازدواج الحركي ، فإنه من الطبيعي تصنيف الازدواج تبعاً لنوع هذه الحركة بين وصلتي الازدواج . نميز في هذا المجال أربعة أنواع ، وهي:

• ازدواج حركي دوراني Turning Pair

حيث تقيد نقاط إحدى الوصلتين بالدوران على مسارات دائرية حول محور ثابت يمر في الوصلة الأخرى . مثال ذلك الحالة b في (الشكل-1-5) ، والمفاصل الدورانية والمحامل الارتكازية .

• ازدواج حركي انزلاقي Sliding Pair

حيث تكون الحركة النسبية بين نقاط تماس الوصلتين انزلاقية . يمكن للانزلاق أن يتم على مسارات مستقيمة ، مثال ذلك الحالة c في (الشكل-1-5) ، مكبس وأسطوانة ، منزلقة ومجرى مستقيم ، أو يمكن أن تنزلق إحدى الوصلتين على مسارات منحنية محددة في الوصلة الأخرى كما في حالة منزلقة ضمن مجرى منحن ، أو تابع مسطح وكامة قرصية .

• ازدواج حركي لولبي Screw Pair

حيث الحركة النسبية لولبية ، أي: إنها دوران بحت حول محور يرافقه انزلاق بحت مواز للمحور نفسه مع وجود علاقة محددة بين الدوران والانزلاق . مثال ذلك الحالة d في (الشكل-1-5) .

• ازدواج حركي تدرجي Rolling Pair

إذا تحركت وصلة على وصلة أخرى بحيث لا تماس نقطة من إحدهما نقطتين متتابعتين على الأخرى ، فإن الحركة الناتجة هي تدرج صرف ، والازدواج الحركي بينهما هو ازدواج حركي تدرجي ، يعني ذلك أن شرط حدوث الحركة التدرجية هو عدم وجود سرعة نسبية عند نقاط تماس الوصلتين . مثال ذلك تدرج قرص على مستقيم أو على قرص آخر ، محامل الكرات (Rolling Balls) ، ومحامل الدحاريج ، وتعشيق زوج من أسنان مسننين .

2. وفق طبيعة التقييد التام للحركة

According to Complete Constraint of Motion

نميز في هذا المجال نوعين من الازدواجات ، وهما:

• ازدواج حركي مغلق ذاتياً *Self-Closed Kinematic Pair*

حيث يكون الشكل الهندسي للازدواج بين الوصلتين كافياً لتقييد الحركة بشكل تام ، ويتم تأمين الاتصال الدائم بواسطة تشكيل عناصر الازدواج الحركي ، بحيث لا يسمح إلا لنوع واحد من الحركة النسبية بالحدوث بين الوصلتين ، كما في الازدواجات الدورانية والانزلاقية واللولبية المبينة في الحالات b, c, d في (الشكل-1-5) ، فهي مغلقة ذاتياً حيث يحيط عنصر إحدى الوصلات بالأخرى . كذلك الأمر بالنسبة للكامات ذات الحركة الإيجابية ، ولمنزلة تتحرك ضمن مجرى محدد وغيرها .

• ازدواج حركي مغلق قسرياً *Force-Closed Kinematic Pair*

يلاحظ في الكثير من الآلات أن شكل الازدواج لا يؤمن حركة مقيدة تماماً ، لكن ينتج تقييد تام للحركة من تأثير قوى خارجية ، يقال عن ازدواج من هذا النوع: إنه مغلق قسرياً ، وهناك وسائل عدة لغلق الازدواج ، وهي:

- الازدواجات الحركية المغلقة بقوى الثقالة

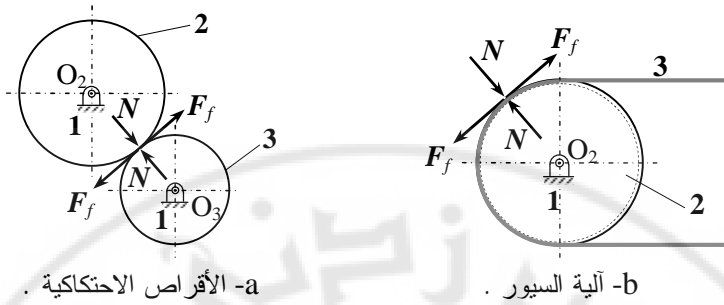
Kinematic Pairs Closed by Gravity Force

كما في حالة العنفات الشاقولية ، حيث لا يمنع الازدواج بين العمود ومحمل الدفع الحركة إلى الأعلى ، إلا أن وزن العنفة الكبير نسبياً يمنع إمكان حدوث هذه الحركة .

- الازدواجات الحركية المغلقة بقوى الاحتكاك

Kinematic Pairs Closed by Friction Force

يتم نقل الحركة من وصلة لأخرى عن طريق قوى الاحتكاك التي تؤثر في سطوح التماس ، مثل: الأقراص الاحتكاكية 2 و 3 الموضحة في المخطط a في (الشكل-1-6) ، حيث تتولد قوى الاحتكاك F_f بين هذه الأقراص ، وآلية السيور حيث تتولد قوى الاحتكاك F_f بين السير 3 والبكرة 2 الموضحة في المخطط b في (الشكل-1-6) .

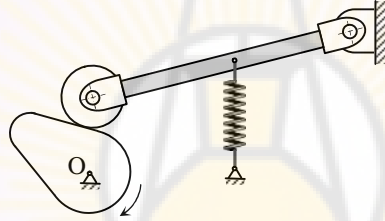


(الشكل-6-1) ازدواجات حركية مغلقة بقوى الاحتكاك

- الازدواجات الحركية المغلقة بقوة نابض

Kinematic Pairs Closed by Spring Force

يمكن أن تكون القوى الخارجية المقيدة للحركة نابضية ، كما في حالة تابع وكامة قرصية ، كما في (الشكل-7-1)



(الشكل-7-1) ازدواج حركي مغلق بقوة نابض .

- الازدواجات الحركية المغلقة بسبب الأوضاع النسبية للوصلات

Closed Kinematic Pairs by Relative Position of Links

يتم في بعض الحالات إغلاق الازدواج الحركي قسرياً بسبب الأوضاع النسبية للوصلات أو ازدواجات أخرى . مثال ذلك الازدواج الحاصل بين المكبس والأسطوانة في محرك الاحتراق الداخلي كما في المخطط a في (الشكل-3-1) حيث الحركة النسبية غير مقيدة تماماً ، لكن بسبب وجود ذراع التوصيل ، فإن محوري إصبع المكبس ووتد المرفق متوازيان دوماً ؛ وبالتالي فإن الحركة النسبية بين الأسطوانة والمكبس هي حركة انزلاقية فقط .

من الواضح أن تأمين ازدواجات مغلقة ذاتياً يستوجب دقة عالية في تشغيل سطوح تماس الوصلات وإنهائها ؛ لذا فإن التصميم الحركي للازدواجات يتم عادة بالاعتماد على إحدى وسائل الإغلاق القسري منعاً لحدوث انحرافات في الحركة النسبية بين الوصلات ؛ لأنه لا يمكن إنهاء سطوح التماس إلا ضمن حدود تفاوت معينة .

3. وفق شكل التماس According to Contact Form

تصنف الازدواجات من حيث شكل تماس الوصلتين في نوعين:

• ازدواج حركي سفلي Lower Pairing

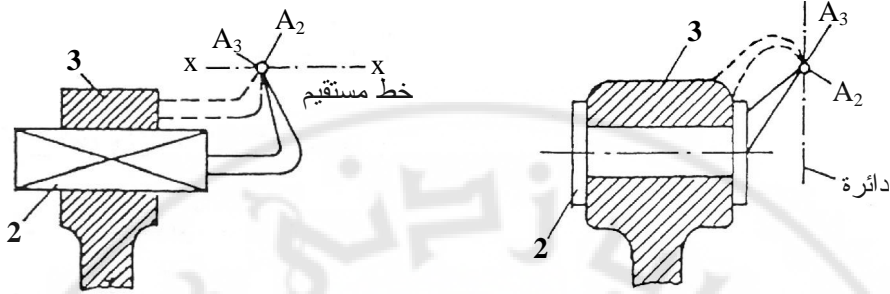
هو الازدواج الذي تتم الحركة النسبية بين وصلاته عن طريق التماس بين سطوحه ، ويكون تماس الوصلتين عبر سطحي تماس متطابقين هندسياً ، ويغلف أحدهما الآخر كلياً . والأمثلة من هذا النوع كثيرة ، نذكر منها مفصلاً دورانياً ، مكبساً وأسطوانة ، منزلقة ومجرى ، ولولباً مع عزقة . من الواضح أن للازدواج السفلي في الحركة المستوية درجة طلاقة واحدة ، بينما يكون له في الحركة الفراغية ثلاث درجات طلاقة ، كما في المفصل الكروي .

• ازدواج حركي علوي Higher Pairing

هي تلك الازدواجات التي تتم الحركة النسبية بين وصلاتها عن طريق التماس في نقاط معينة أو خطوط مستقيمة أو منحنية ، كما في حالة التوابع والكامات ، والمحامل ذات الكرات والدحارج ، وتعشيق أسنان المسننات وغيرها . يلاحظ في هذه الازدواجات - بشكل عام - أن إحدى الوصلتين لا تغلف تماماً الوصلة الأخرى ؛ إضافة إلى أنه لا يوجد بينهما تطابق تام بالشكل الهندسي ؛ لذا فإنه يلزم عادة تطبيق إغلاق قسري لتقييد الحركة النسبية تقييداً تاماً ، أو على الأقل ، لحفظ التماس بين الوصلتين .

من الواضح أن الازدواج العلوي ، بحد ذاته يلغي درجة طلاقة واحدة فقط ، وهي التي في اتجاه الناظم المشترك للوصلتين عند التماس . ينتج من ذلك أن للازدواج العلوي في الحركة المستوية درجتَي طلاقة ، بينما يكون له في الحركة الفراغية خمس درجات طلاقة ، كما في حالة تدحرج مخروطين بعضهما على بعض ؛ لذا يتم عملياً تطبيق إغلاق قسري لتحقيق حركة معينة ما .

كما أن هناك فرقاً أساسياً بين هذين النوعين من الازدواجات ، وهو أن السطوح المتماسية في الازدواجات السفلية متطابقة هندسياً ، حيث تسري خاصية قابلية التعاكس الحركي بين الوصلات . هذا يعني أنه عند الحركة النسبية للوصلتين المتمفصلتين 2 و 3 ترسم مثلاً النقطة A_2 أو A_3 المسار نفسه ، كما هو مبين في (الشكل-1-8) سواء كانت تابعة للوصلة 2 أو 3 .

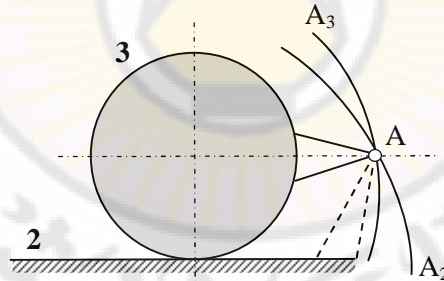


a- ازدواج حركي انزلاقي سفلي .

b- ازدواج حركي دوراني سفلي .

(الشكل-8-1) قابلية التعاكس الحركي في الازدواجات السفلية .

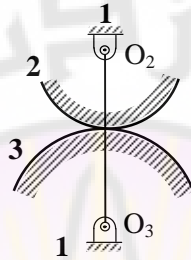
أما الازدواجات العلوية ، فهي عادة غير قابلة للتعاكس كما تبين الدراسات ، فإذا ما تدرجت الوصلة 3 على الوصلة 2 ، فإن النقطة A_3 ترسم منحنيًا دويريًا ، أما إذا تدرجت الوصلة 2 على الوصلة 3 ، فإن النقطة A_2 ترسم انفراد الدائرة أي منحنيًا إنفولوتيًا ، كما هو مبين في (الشكل-9-1) .



(الشكل-9-1) عدم قابلية التعاكس في الازدواجات العلوية .

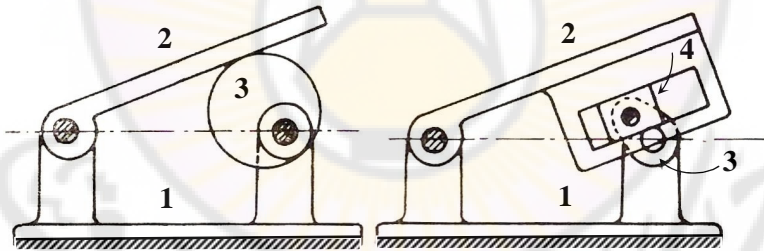
بما أن الازدواجات الحركية السفلية تتم عبر تماس سطوح ، فإن ميزة وصلاتها أنها تتحمل إجهادات ، وتقاوم التآكل أكثر من وصلات الازدواجات الحركية العلوية ؛ أي قدرتها على تقبل نقل وإعادة إعطاء قوى كبيرة بأقل تآكل ممكن ؛ لذا فإنه يفضل قدر الإمكان ، تجنب استعمال الازدواجات العلوية أو الاستعاضة عنها بازدواجات سفلية مكافئة حركيًا ، ويتم ذلك عادة باستعمال وصلة إضافية ذات ازدواجين سفليين .

يبين (الشكل-10-1) مثلاً يوضح عملية الاستعاضة عن الازدواج العلوي بقضيب ومفصلين دورانيين حيث توضع المفاصل الدورانية في مراكز تقوس المنحنيات المتماسة ، ويتم وصل بعضها ببعض بواسطة وصلة جديدة طولها يساوي مجموع نصفَي قطري تقوس المنحنيين .



(الشكل-10-1) الاستعاضة عن الازدواج العلوي بقضيب ومفصلين دورانيين .

ويبين (الشكل-11-1) مثلاً يوضح عملية الاستعاضة عن الازدواج العلوي في المخطط a بازدواجين سفليين في المخطط b .



a- الازدواج العلوي .

b- ازدواجان سفليان .

(الشكل-11-1) الاستعاضة عن الازدواج العلوي في a بازدواجين سفليين في b .

إن التماس المباشر في الحالة a في (الشكل-11-1) بين الوصلتين 2 و 3 يشكل ازدواجاً علوياً لأنه يتم خطياً ، أما في الحالة b في (الشكل-11-1) فقد أضيفت الوصلة 4 التي تتصل من جهة ، بالوصلة 3 بازدواج سفلي دوراني ، بينما تتصل من جهة أخرى ، بالوصلة 2 عبر ازدواج سفلي انزلاقي .

من الواضح أن هذا الاستبدال لم يغير طبيعة الحركة الأصلية حيث دوران الوصلة 3 مثلاً يؤدي إلى حركة تأرجحية للوصلة 2 في كلتا الحالتين ، أي: إنهما متكافئتان حركياً .

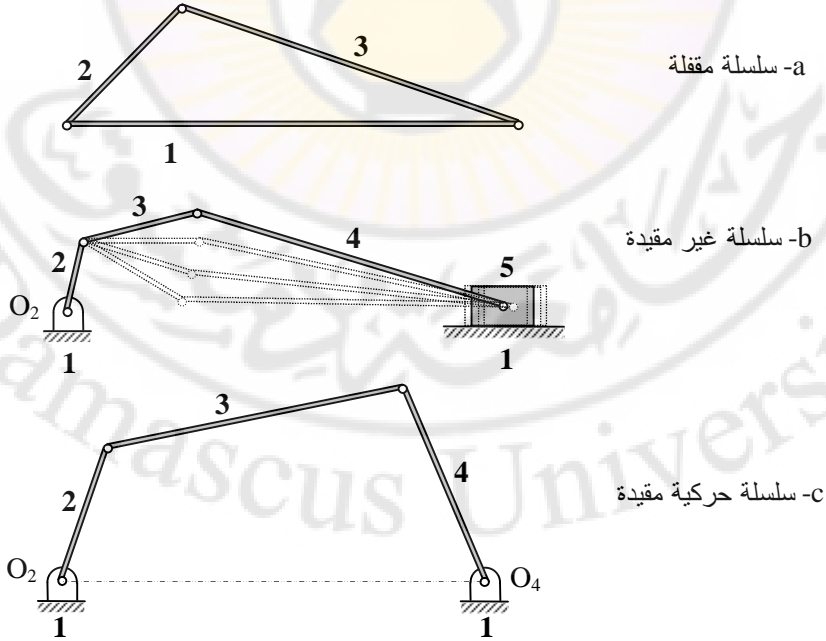
يتضح مما سبق أنه من الصعب بوجه عام إعطاء أفضل طريقة لتصنيف الازدواج الحركية على أخرى ؛ نظراً لوجود تداخل بينها . مثال ذلك الازدواج الحاصل بين تابع مسطح وكامة قرصية هو ازدواج علوي - انزلاقي - مغلق قسرياً ، بينما الازدواج في حالة منزلقة تتحرك ضمن مجرى هو ازدواج سفلي - انزلاقي - مغلق ذاتياً ، أما الازدواج عند تدحرج قرصي احتكاك فهو علوي - تدحرجي - مغلق قسرياً ؛ أي: إن التسمية المتكاملة لازدواج ما تشمل عادة نوعين أو أكثر من الأنواع المختلفة المذكورة آنفاً . إلا أننا في مجال بحثنا سنستعمل - بشكل رئيس - التسمية وفق طبيعة الحركة النسبية ؛ لاهتمامنا بالتحليل الميكانيكي للآلات دون التطرق إلى النواحي التصميمية والإنتاجية .

Kinematic Chain

5-1- السلسلة الحركية

تتكون السلسلة الحركية من مجموعة ازدواجات حركية مرتبطة بعضها ببعض ، حيث كل وصلة فيها جزء في ازدواجين أو أكثر ، والحركة النسبية بين مختلف وصلاتها مقيدة تقييداً تاماً .

يمكن توضيح مفهوم السلسلة الحركية بدراسة المجموعات المبينة في (الشكل-1-12):



(الشكل-1-12) السلسلة الحركية .

تتكون المجموعة a في (الشكل-1-12) ، من ثلاث وصلات ذات ازدواجات دورانية فيما بينها ، حيث يتحقق القسم الأول من تعريف السلسلة الحركية ، لكن من الواضح أنه لا يمكن أن ينتج عنها أية حركة نسبية بين الوصلات الثلاث ؛ وإنما تشكل هيكلاً صلباً يستعاض عنه عند الدراسة الحركية بوصلة واحدة . يسمى هذا النوع من المجموعات بالسلسلة المقفلة ، ودرجة الطلاقة في هذه الحالة تساوي الصفر .

تتكون المجموعة b في (الشكل-1-12) ، من خمس وصلات تصل بينها أربعة ازدواجات دورانية وازدواج انسحابي واحد ، حيث يتحقق هنا أيضاً القسم الأول من التعريف ، لكن الحركة النسبية بين الوصلات غير مقيدة تماماً ، باعتبار أنه إذا ثبتت الوصلة 1 مثلاً وأعطينا حركة محددة للوصلة 2 ، فإن هنالك عدة احتمالات ممكنة لحركة كل من الوصلات 3 ، 4 ، 5 كما هو مبين بالخطوط المتقطعة . يسمى هذا النوع من المجموعات بالسلسلة غير المقيدة ، ويكون لها أكثر من درجة طلاقة واحدة .

أما المجموعة c في (الشكل-1-12) ، فمن الواضح أنها تحقق الشرطين معاً ، من حيث ترابط الوصلات وكون الحركة النسبية بينها مقيدة تقييداً تاماً ، فهي إذن سلسلة حركية ، لأنه إذا ثبتت الوصلة 1 مثلاً ، وأعطينا حركة معينة للوصلة 2 فإن كلاً من الوصلتين 3 ، 4 تتحرك بحركة محددة وحيدة . أي: إن الحركات النسبية بين وصلات سلسلة حركية تحدد ببساطة مستقل واحد ، هو مثلاً الزاوية بين وصلتين ؛ وبالتالي فإن لها درجة طلاقة واحدة فقط .

يقال عن وصلة في سلسلة حركية إنها بسيطة أو ثنائية إذا اتصلت بازدواجين فقط ، وتكون الوصلة مركبة إذا اتصلت بأكثر من ازدواجين ، وتسمى عندئذ وصلة ثلاثية ، أو رباعية ، بحسب عدد الازدواجات المتصلة بها ؛ وبالتالي تكون السلسلة بسيطة إذا تكونت من وصلات بسيطة فقط ، وإلا فهي سلسلة مركبة .

من الواضح أنه يمكن للسلسلة الحركية أن تتكون من أي عدد من الوصلات تتصل فيما بينها بأي نوع من الازدواجات ، شرط أن تحقق هذه المجموعة من الوصلات والازدواجات سلسلة مستمرة مغلقة لها حركة نسبية مقيدة تماماً . كما يمكن أن يكون فيها بدلاً من الازدواجات البسيطة والتي تربط بين وصلتين ، ازدواجات مضاعفة تربط بين ثلاث وصلات أو أكثر ، وتسمى السلسلة مستوية إذا وقعت مسارات الحركات النسبية للوصلات جميعها في مستويات متوازية ، وإلا فهي فراغية . سنتطرق في دراستنا بوجه عام إلى السلاسل المستوية ، مع الإشارة - حيث يلزم - إلى السلاسل الفراغية . ستوضح الأمثلة اللاحقة مجمل هذه المفاهيم .

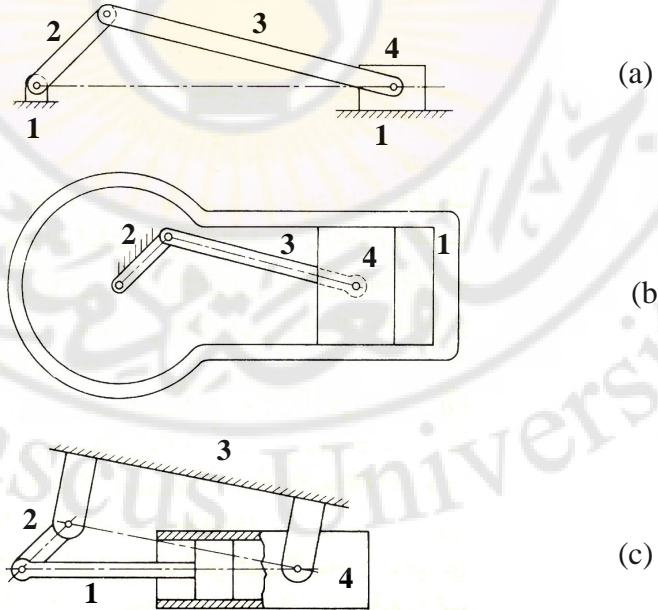
Mechanism

6-1- التركيبية الآلية

إذا ثبتت إحدى وصلات سلسلة حركية فإنه ينتج لدينا ما يسمى بالتركيبية الآلية أو الآلية ، ويمكن عندئذ استعمال المجموعة في نقل الحركة أو تحويلها ، وعندما نتحدث عن الآلية فإننا نفكر في الوسيلة التي نحصل بها على حركات ميكانيكية معينة ، ولا يهمنا البحث في مقدرة هذه الوسيلة على القيام بأي عمل مفيد .

نلاحظ أنه يمكن الحصول على تركيبات آلية مختلفة من سلسلة حركية واحدة حسب الوصلة المثبتة ، وإن عدد هذه التركيبات يساوي عدد الوصلات المكونة للسلسلة ، لكن ليس من الضروري أن تكون كلها ذات فائدة أو تطبيقات عملية ، وتسمى كل تركيبية من هذه التركيبات بالتركيبية العكسية أو متحول الآلية (*Inversion of a Mechanism*) للسلسلة الأصلية .

ويمكن توضيح مفهوم التركيبية العكسية بدراسة التركيبات الناتجة من سلسلة المنزلقة والمرفق المكونة من أربع وصلات ، بينها ثلاثة ازدواجات دورانية وازدواج انزلاقي كما هو مبين في (الشكل-13-1) .



(الشكل-13-1) التركيبات الناتجة من سلسلة المنزلقة والمرفق .

تعد التركيبة الآلية المبينة في المخطط a في (الشكل-13-1) حيث تثبت الوصلة 1 من أهم تطبيقات هذه السلسلة ؛ لأنها أساس التصميم الحركي للآلات الترددية كمحركات الاحتراق الداخلي ، والضواغط .

إذا استعضنا عن ذلك بتثبيت الوصلة 2 ، فإننا نحصل على تركيبة ويت وورث (Whitworth) المبينة في المخطط b في (الشكل-13-1) ، وهي تستعمل في المقاشط وبعض آلات قطع المعادن لتأمين الحركة سريعة الارتداد التي سنتطرق إليها لاحقاً .

أما التركيبة الآلية المبينة في المخطط c في (الشكل-13-1) فإنها تنتج من تثبيت الوصلة 3 ، حيث يؤدي دوران الوصلة 2 إلى حركة ترددية للوصلة 1 ضمن الوصلة 4 المتأرجحة حول المفصل الدوراني بينها والوصلة الثابتة 3 . تستعمل هذه التركيبة كأساس في المحرك متأرجح الأسطوانة ، وكذلك في تركيبة المرفق والذراع المشقوق لتأمين حركة سريعة الارتداد مشابهة للحالة b في (الشكل-13-1) .

أما المتحول الرابع الذي ينتج من تثبيت الوصلة المنزلقة 4 فلن نتطرق إليه نظراً لتضائل تطبيقاته العملية حالياً ، بعد أن كان يستعمل في المضخات اليدوية الترددية النطاحة وفي المضخات النواصة .

تجدر الإشارة إلى أنه أياً كانت الوصلة الثابتة ، فإن الحركة النسبية بين الوصلات كما هي دون تغيير ، أي إن لجميع متحولات سلسلة حركية ما الحركات النسبية نفسها ، بينما تتغير الحركات المطلقة لوصلاتها . يبقى هذا صحيحاً رغم أننا نضطر غالباً ، عند تطبيق متحول ما عملياً ، إلى تغيير شكل بعض الازدواجات أو وظيفتها ، أو تغيير نسب أبعاد بعض الوصلات بما يلائم المتطلبات العملية ؛ لأن أي متحول هو مشتق أساساً من سلسلة حركية مقيدة الحركة تقيداً تاماً .

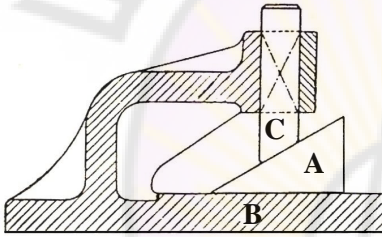
يتضح من تعريف السلسلة الحركية الوارد في الفقرة (1-5) أن توصيف حركة وصلة واحدة منها يحدد حركة بقية الوصلات ؛ وبالتالي فإن التركيبات الآلية المشتقة منها هي ذات درجة طلاقة واحدة ، وتسمى الوصلة التي تحدد حركة تركيبة ما بالوصلة القائدة . لكن هذا لا يعني بالضرورة أنه لا يمكن إنشاء تركيبات آلية ذات تطبيقات عملية انطلاقاً من سلاسل غير مقيدة . إلا أنه يجب في هذه الحالة توصيف حركة وصلتين أو أكثر ، وفق عدد درجات طلاقة السلسلة الأصلية ، لكي تحدد حركة بقية الوصلات . مثال ذلك ، التركيبية التفاضلية المستعملة في السيارات هي أساساً سلسلة ذات درجتَي طلاقة ؛ وبالتالي يجب عند تصميمها حركياً توصيف حركة وصلتين فيها سرعة دوران عجلتين مثلاً ؛ لتحديد حركة بقية الوصلات .

تستعمل التركيبات ذات درجات الطلاقة المتعددة في عدة تطبيقات عملية ، منها دارات التحكم وأنظمة توليد التوابع الرياضية ، حيث تحدد الحركة عادة بأكثر من متغير مستقل واحد .

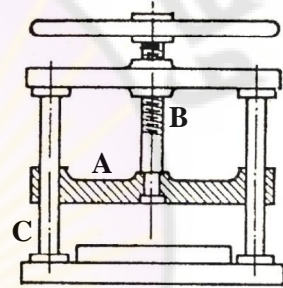
يجب إذن عند دراسة تركيبة ما تعيين عدد درجات طلاقها ؛ وبالتالي تحديد الشروط التي ينبغي تحققها كي تكون هذه التركيبية قابلة للتطبيق عملياً . لقد تم إيجاد عدة علاقات لتعيين درجة طلاقة تركيبة ما بحسب عدد الوصلات المكونة لها عدد الازدواجات وعدد درجات الطلاقة التي يسمح بها كل من هذه الازدواجات ، لكن لكل من هذه العلاقات شروطاً محددة لتطبيقها بحيث لا يمكن - بوجه عام - اعتماد علاقة معينة لتشمل الحالات جميعها . تعد طريقة الإنشاء العددي التي وضعها الباحث كروبلير (*Grubler*) من أهم الطرائق المطبقة في هذا المجال نظراً لكونها الأكثر شمولية ، وبخاصة في دراسة تركيبات الحركة المستوية .

بينا في الفقرة (5-1) أن ثلاث وصلات بينها ازدواجات دورانية لا تشكل سلسلة حركية ؛ وإنما تكافئ وصلة صلبة واحدة . لكن يجب ألا يفهم من ذلك عدم وجود سلاسل حركية ؛ وبالتالي تركيبات آلية ، مكونة من ثلاث وصلات أو وصلتين فقط .

يبين (الشكل-14-1) مثالين لتركيبات آلية ذات ثلاث وصلات ، ففي الحالة a في (الشكل-14-1) لدينا ثلاثة ازدواجات انزلاقية بين الوصلات A , B , C ، بحيث إذا ثبتت الوصلة B وأعطيت إزاحة معينة للوصلة A فإن الوصلة C تتحرك بإزاحة محددة تتناسب مع الإزاحة المعطاة ، وتسمى هذه التركيبات الإسفين .



(a)



(b)

a- ثلاث وصلات تشكل ثلاثة ازدواجات انزلاقية .

b- ثلاث وصلات تشكل ازدواجاً دورانياً ، وانزلاقياً ، وازدواجاً لولبياً .

(الشكل-14-1) تركيبات آلية ذات ثلاث وصلات .

أما الحالة b في (الشكل-14-1) فيمثل تخطيطاً لتركيبات مكبس يدوي لولبي حيث الازدواج A-B دوراني ، الازدواج A-C انزلاقي ، والازدواج B-C لولبي . إذا ثبتت الوصلة C وتم تدوير الوصلة B حول محورها ، فإن إزاحة الوصلة A بالنسبة إلى الوصلة C تتناسب مع دوران B .

كما يمكن لوصلتين بينهما ازدواج دوراني أن تشكلا تركيبات كالمفاف ، أو الرافعة البسيطة والمقص . أما إذا كان بينهما ازدواج انزلاقي ، فنحصل على المستوي المائل مثلاً ، وفي حالة ازدواج لولبي بين الوصلتين نحصل على تركيبات المرفاع اللولبي المستعمل لرفع السيارات .

Types of Mechanisms

1-6-1- أنواع التركيبات الآلية

يفضل عادة تقسيم التركيبات الآلية وفق نمط حركتها:

• التركيبات الآلية المستوية *Plane mechanisms*

تتميز التركيبات الآلية المستوية بأن المحاور الدورانية جميعها فيها تكون متوازية ، وتتحرك كل نقاط التركيبات الآلية في مستويات متوازية ، وبشكل عام يمكن وصف حركة كل وصلة بأنها ذات بعدين .

• التركيبات الآلية الفراغية *Spatial mechanisms*

عندما لا تتم الحركة في مستويات متوازية ، فإنها تدعى بالحركة الفراغية وهي الحالة الأكثر عمومية ، وتكون المحاور الدورانية متصالبة . وتسمى التركيبات الآلية عندئذ بالآلية الفراغية أو الآلية ثلاثية الأبعاد . فالإنسان الآلي الصناعي هو آلية فراغية . وهناك حالة خاصة للآليات الفراغية تدعى بالآليات الكروية التي تتميز بأن كل محاورها الدورانية تتقاطع في نقطة واحدة .

سنقتصر في هذا الفصل على دراسة الآليات المستوية ، لأن هذا النوع هو الأكثر استعمالاً في التطبيقات الميكانيكية والآلات المختلفة .

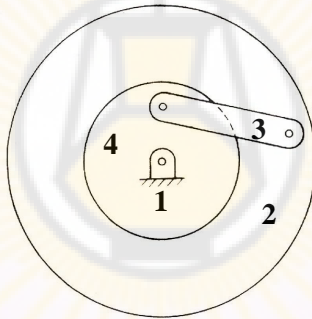
Machine

7-1- الآلة

تتألف الآلة من تركيبة آلية واحدة أو مجموعة تركيبات آلية ، قادرة على نقل الطاقة أو تحويلها من مصدر الطاقة إلى المقاومة المراد التغلب عليها بغية أداء عمل معين . وبالتالي فإن الآلة يجب أن تقوم بنقل حركة نسبية محددة ، وبنقل الطاقة التي تزود بها من مصدر خارجي ، وفائدتها محصورة في قدرتها على تغيير الطاقة المعطاة لها ، وجعلها صالحة للقيام بغرض معين ، بينما في التركيبات الآلية نهتم فقط بقدرتها على نقل حركة معينة ، وقد لا تنقل كمية محسوسة من الطاقة ، بينما الآلة يجب أن تنقل كمية محسوسة منها ، فالآلة إذن هي التنفيذ العملي للتركيبات الآلية .

فالتركيبة الآلية المبينة في المخطط a في (الشكل-1-13) تحول الحركة الترددية للمكبس إلى حركة دورانية للمرفق ، لكنها تصبح آلة محرك الاحتراق الداخلي ، عندما تقوم بتحويل طاقة الضغط في الغازات الناتجة من الاحتراق إلى عمل ميكانيكي مفيد ينتقل بواسطة عمود المرفق . يتم ذلك نتيجة تأثير ضغط الغازات على المكبس بقوة تنتقل خلال ذراع التوصيل والمرفق لتدوير عمود المرفق بعزم يستفاد منه في أداء عمل معين .

قد يتساءل بعضهم عما إذا كان المحرك الكهربائي هو آلة من خلال المفهوم السابق ذكره ، في الواقع إنه يمثل حركياً تركيبة رباعية الوصلات تكافئ تلك المبينة في (الشكل-1-15) ، حيث يدور القرصان 2 و 4 حول محور مشترك ، ويتصل بعضهما ببعض عبر الوصلة القارئة 3 . في المحرك الكهربائي ، تماثل القطبية الدوارة في ملف التحريض القرص 2 ، بينما يعمل المجال المغناطيسي عمل الوصلة 3 ، ويكافئ المتحرض حركياً القرص المقود 4 .



(الشكل-1-15) تمثيل المحرك الكهربائي حركياً بتركيبة رباعية الوصلات .

من الواضح أن كل الآلات هي أساساً تركيبات آلية ، لكن العكس ليس من الضروري ؛ إذ إن بعض الأجهزة الدقيقة كالساعات والأجزاء الميكانيكية في أجهزة القياس والآلات الكاتبة وغيرها ، تقع وفقاً للتعريف على الحد الفاصل بين الآلات والتركيبات الآلية . لكنه من الأكثر ملاءمة تصنيف هذه الأجهزة كتركيبات آلية ؛ لأنها تنقل طاقة صغيرة جداً تكفي فقط للتغلب على الاحتكاك ، ولإعطاء الحركة النسبية المطلوبة ، أي: إن العمل المفيد هو تغيير الأوضاع النسبية للأجزاء دون الحاجة إلى أداء عمل خارجي . فالآلة إذن ، بمفهومها العملي ، يجب أن تنقل كمية محسوسة من الطاقة كافية لأداء عمل خارجي معين ، وللتغلب على المقاومات المؤثرة في أجزائها المتحركة .

8-1- درجات طلاقة السلاسل الحركية Kinematic Chain Degrees of Freedom

يمكن توضيح الأسس المتبعة في تحديد عدد درجات طلاقة سلسلة حركية ؛ وبالتالي تركيبية آلية ، استناداً إلى كون درجة طلاقة مجموعة ما من الازدواجات الحركية تساوي عدد الإحداثيات المكانية المستقلة التي تحدد وضع المجموعة المتكاملة بالنسبة إلى جملة إحداثيات ثابتة تمثل مستوى الإسناد الثابت .

إذا كان عدد الأجسام الصلبة أو الوصلات المكونة للمجموعة الحركية هو n ، فإنه يكون لكل جسم منها لو فرضنا أنه يتحرك حركة طليقة b درجة طلاقة ، حيث b هو عدد الإحداثيات التي تحدد وضع الجسم وهو في حالة الحركة الفراغية ($b = 6$) ، وفي الحركة المستوية ($b = 3$) كما ورد في الفقرة (2-1) . ينتج من ذلك أن درجة طلاقة مجموعة أجسام تتحرك جميعها بطلاقة هي $(b \cdot n)$.

إلا أنه في حالة سلسلة تحوي ازدواجات أو وسائل تربط هذه الأجسام بعضها بعضاً ؛ وبالتالي تفقد هذه الازدواجات حركة السلسلة بحيث ينقص عدد درجات الطلاقة تبعاً لعدد القيود الحركية عند كل ازدواج C_i ، ويصبح عدد درجات طلاقة السلسلة F ، هو :

$$F = b \cdot n - \sum C_i \quad (1-1)$$

أي بمعنى آخر تصبح درجة طلاقة كل ازدواج f_i مساوية عدد الإحداثيات في الحركة الطليقة مطروحاً منه عدد القيود الحركية عند كل ازدواج C_i ، ومنه فإن :

$$f_i = b - C_i \quad \Rightarrow \quad C_i = b - f_i \quad (2-1)$$

وفي حالة تثبيت إحدى وصلات السلسلة فإن عدد الوصلات المتحركة عبر الازدواجات يصبح $(n - 1)$ ، حيث يمكن كتابة العلاقة التالية عندئذ :

$$F = b(n - 1) - \sum (b - f_i) \quad (3-1)$$

إن العلاقة (3-1) صحيحة في حالة كون درجة طلاقة الازدواجات مستقل بعضها عن بعض ، إلا أنه يحدث أحياناً وجود شروط خاصة لحركة السلسلة بحيث تصبح درجة طلاقة السلسلة أو التركيبية الآلية غير مستقلة تماماً . يمكن أن يتم ذلك عند :

1. انطباق درجات الطلاقة عند الازدواجات بعضها على بعض .
2. وجود أوضاع خاصة لمحاور الازدواجات .
3. وجود أبعاد خاصة للوصلات .

يجب في هذه الحالة إنقاص عدد درجات الطلاقة F للسلسلة تبعاً لعدد هذه الشروط الخاصة وليكن F_d ، حيث يصبح عدد درجات الطلاقة المستقلة $(F - F_d)$.

استناداً إلى هذا التحليل استنتج الباحث كروبلير (Grubler) علاقات عددية لتعيين درجة طلاقة التركيبات الآلية ، حيث تعد هذه العلاقات من أهم الأسس المستعملة في الإنشاء العددي (Number Synthesis) للحصول على تركيبات مقيدة تقيداً تاماً ، أو بمعنى آخر تحديد عدد الوصلات التي يلزم تصميم التركيبية على أساسها تبعاً لعدد المعطيات الحركية .

سنبين هنا هذه العلاقات في حالة تركيبات ذات ازدواجات دورانية وانزلاقية فقط ، أي ازدواجات سفلية ، وفي حالة وجود ازدواجات عليا في التركيبية .

1-8-1- تركيبات آلية ذات ازدواجات دورانية وانزلاقية

Turning and Sliding Pair Mechanisms

نعلم أن تقيد الحركة المستوية بازدواج دوراني أو انزلاقي يبقي على درجة طلاقة $(f_i = 1)$ للازدواج ، حيث تعين الحركة عندئذ بإحداثي مكاني واحد فقط ، دوران أو انزلاق . فإذا كان عدد الازدواجات الدورانية والانزلاقية معا هو p ، فإنه ينتج من المعادلة (3-1) أن درجة طلاقة التركيبية في هذه الحالة ، هي:

$$F = 3(n - 1) - 2p \quad (4-1)$$

على أساس أن حركة التركيبية مستوية $(b = 3)$. أما في حالة التركيبات الفراغية $(b = 6)$ فإن عدد درجات طلاقة الازدواجات الكروية هو $(f_i = 3)$ ، ويمكن حساب درجة طلاقة تركيبية فراغية عندئذ بالتعويض من قيم b, f_i في المعادلة (3-1) .

يمكن تطبيق المعادلة (4-1) مباشرة في تركيبية مستوية عند عدم وجود ازدواجات مضاعفة ، أي عدم وجود أكثر من وصلتين يتصل بهما ببعض عند كل ازدواج . إن وجود ازدواج مضاعف يضع قيداً أو قيوداً ، بحسب عدد الوصلات المتصلة به ، يجب حسابها عند تعيين F .

يكافئ الازدواج المضاعف وجود شروط خاصة يجب تعيينها . إلا أن أبسط طريقة لتعيين درجة طلاقة التركيبية F في مثل هذه الحالة هي تطبيق المعادلة (4-1) مع الانتباه إلى أن العدد p هو العدد الفعلي للازدواجات البسيطة ، وليس العدد الظاهري في المخطط الحركي . ينتج من ذلك أن ازدواجاً مضاعفاً يصل بين ثلاث وصلات هو في الواقع ازدواجان بسيطان منطبقان ، بينما في حالة أربع وصلات فهو ثلاثة ازدواجات بسيطة .

مثال ذلك إذا أردنا تعيين درجة طلاقة تركيبة بوسوليه (Peaucellier) لتوليد حركة مستقيمة صحيحة المبينة لاحقاً في (الشكل-2-16) ، فإننا نجد أن $(n = 8)$ ، أما عدد الازدواج البسيطة فهو 2 ، بينما عدد الازدواج المضاعفة التي يصل كل منها بين ثلاث وصلات فهو 4 ، أي: إنه يكافئ عدد 8 ازدواج بسيطة بحيث يصبح العدد $(p = 10)$ عند تطبيق المعادلة (4-1) ، ونحصل على:

$$F = 3(8 - 1) - 2 \times 10 = 1$$

وهذا متوقع لأن هذه التركيبة تنتج من سلسلة مقيدة تقيداً تاماً $(F = 1)$. أما في حالة آلية المنساح المبين لاحقاً في (الشكل-2-24) ، فإن عدد الازدواج البسيطة المكافئ هو $(p = 8)$ وعدد الوصلات $(n = 5)$ بحيث ينتج أن $(F = 2)$. إلا أنه يجب الانتباه إلى تقييد إضافي عند التطبيق العملي لهذه التركيبة ، وهو تحديد إحدى النقطتين D أو F بالتحرك على مسار معين ؛ مما يؤدي إلى $(F = 1)$.

تجدر الإشارة إلى أن التركيبات الآلية التي سيتم التعرض إليها من خلال مجمل الفصول اللاحقة هي بشكل عام ذات درجة طلاقة واحدة . أما التركيبات التفاضلية فهي تصمم أساساً للمفاضلة بين قيمتين ، أي: إن استثمارها عملياً يستلزم $(F = 2)$.

2-8-1- تركيبات آلية ذات ازدواج علوية Higher Pairing Mechanisms

نعلم أن الازدواج العلوي يقيد بشكل عام إحداثياً واحداً للحركة ، وبالتالي فإن أغلب أشكال هذه الازدواج ذات $(f_i = 2)$ ، كما أننا أوضحنا ضرورة تطبيق إغلاق قسري للحفاظ على التماس بين الوصلتين في أغلب التطبيقات العملية لهذه الازدواج . وبالتالي فإن الازدواج العلوية تحسب عند تعيين درجات الطلاقة على أساس أن درجة طاققتها $(f_i = 2)$ ، إضافة إلى إنقاص عدد الشروط الخاصة F_d ، اللازمة لتحقيق الحركة الصحيحة إن وجدت ، من العدد F المحسوب وفقاً للمعادلة (3-1) ، أي: إن في الحركة المستوية:

$$F = 3(n - 1) - 2p_1 - p_2 - F_d \quad (5-1)$$

حيث :

p_1 تمثل عدد الازدواج الدورانية والانزلاقية في التركيبة .

p_2 تمثل عدد الازدواج العلوية .

يلاحظ عند تطبيق المعادلة (5-1) على كامة قرصية ذات تابع دحروجي المبينة لاحقاً في الفقرة (1-11-6) أن عدد الوصلات ($n = 4$) وهي الهيكل ، والكامة ، والدحروج ، والتابع ، وأن ($p_1 = 3$) و ($p_2 = 1$) ، أما ($F_d = 1$) ؛ لأن الدحروج مقيد بالدوران حول محوره دوماً ، حيث ينتج في هذه الحالة أن:

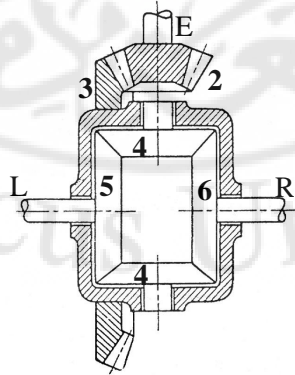
$$F = 3(4 - 1) - 2 \times 3 - 1 - 1 = 1$$

لتفادي الخطأ أو السهو عند تحديد F_d ، يفضل عادة ، تعيين درجة طلاقة تركيبة ذات ازدواج علوي انطلاقاً من التركيبة المكافئة لها حركياً ، والتي تحوي ازدواجات دورانية وانزلاقية فقط وفق الفقرة (16-6) .

إن تحليل الباحث كروبلير (*Grobler*) والعلاقات التي استنتجها تخضع عند تطبيقها إلى شروط تتعلق ببنية التركيبة ، حيث يجب حساب الوصلات الحركية فقط ، أي تلك اللازمة لأداء الحركة وإهمال الوصلات والازدواجات التي قد تضاف لتأمين متانة للمجموعة مثلاً ، كما في حالة الجهاز التفاضلي المبين في (الشكل-16-1) حيث يجب إهمال أحد المسننين 4 والازدواجات المتصلة به ؛ إضافة إلى إهمال ازدواج الذراع 3 مع أحد المحورين R ، أو L لعدم الضرورة الحركية لهذه الإضافات ؛ وبالتالي فإن درجة طلاقة الجهاز التفاضلي في (الشكل-16-1) ، هي:

$$F = 3(6 - 1) - 2 \times 5 - 1 \times 3 = 2$$

وهذا متوقع لأنه تركيبة تفاضلية فيها ($n = 6$) ، ($p_1 = 5$) ، ($p_2 = 3$) ، حيث الازدواجات الدورانية هي بين (1-5 ، 3-5 ، 1-6 ، 3-4 ، 1-2) ، والازدواجات العلوية هي بين المسننات (2-3 ، 4-5 ، 4-6) ، ولا توجد شروط خاصة .



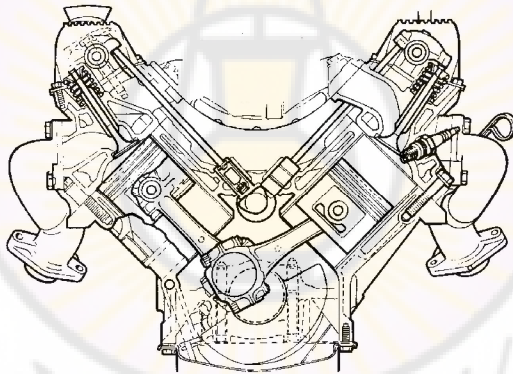
(الشكل-16-1) جهاز تفاضلي يستعمل في المركبات الآلية .

يتضح مما تقدم أنه رغم بساطة العلاقات ، إلا أنه يجب تطبيقها بحذر وبعد دراسة جيدة لحركة التركيبية لتدارك أية شروط تقييد خاصة ممكنة ، ولتحديد درجة طلاقة كل ازدواج بخاصة في حالة الازدواجات العلوية .

Kinematic Diagram

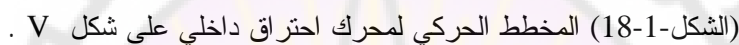
9-1- المخطط الحركي

يبين (الشكل-1-17) مقطعاً رأسياً في محرك احتراق داخلي على شكل V . يلاحظ من هذا الشكل وجود عدة أجزاء في هذا المحرك لا تؤثر في تحليل الحركة الدورانية لعمود المرفق الناتجة من الحركة الترددية للمكبس ؛ لذا يفضل غالباً عند دراسة حركة آلة ما ، تمثيل أجزائها تخطيطياً على مخطط يبين المعلومات الهندسية اللازمة جميعها لتحديد الحركات النسبية بين هذه الأجزاء التي هي ، في الواقع وصلات التركيبية المستخدمة في تحقيق عمل الآلة . يسمى هذا المخطط بـ المخطط الحركي ، أو كما تسميه بعض المراجع بـ المخطط الهيكل (Skeleton Diagram) .



(الشكل-1-17) مقطع رأسي في محرك احتراق داخلي على شكل V .

يمكن إذن - استناداً إلى مفهوم المخطط الحركي - تحليل حركة المحرك المبين في (الشكل-1-17) عن طريق مخطط بسيط وواضح يتم في البداية ترقيم وصلات المحرك كما في (الشكل-1-18) ، حيث تمثل الأجزاء الثابتة في المحرك كافة ، مثال ذلك جسم الأسطوانات وحوض عمود المرفق ، بالوصلة 1 المرقنة عرضياً أي المهشرة . أما الوصلة 2 فإنها تمثل عمود المرفق حيث الطول O_2B هو طول المرفق ، بينما يمثل الذراع التوصيل بالوصلة 3 والمكبس بالوصلة 4 ، آخذين بالحسبان أن البعد BC يساوي طول ذراع التوصيل . يستكمل المخطط برسم الوصلة 5 لتمثل ذراع التوصيل الآخر حيث $(BC = BC')$ ، وكذلك الوصلة 6 التي تمثل المكبس الآخر .

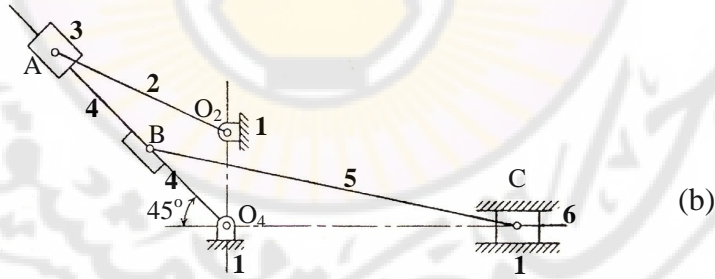
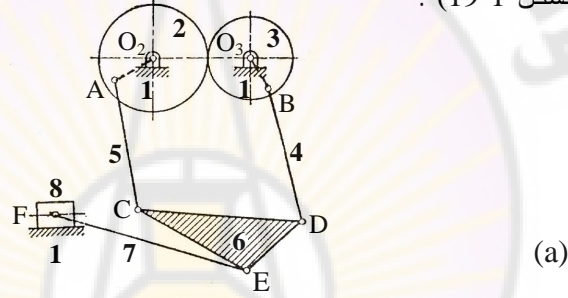


يحدد وضع المرفق 2 ، في كل وضع من الأوضاع المراد دراستها ، بزاوية ميله على محور إحدى الأسطوانتين ؛ إذ إن الزاوية بين محوري الأسطوانتين ثابتة أساساً ولا تتغير خلال كامل مجال الحركة . يكفي بعدئذ معرفة طول كل من المرفق وذراع التوصيل لرسم المخطط الحركي للمحرك عند أي وضع من أوضاع المرفق .

يلاحظ من ذلك أننا لا نحتاج إلى أية معلومات أخرى من حيث حجم الأسطوانة وشكلها أو أية أبعاد أخرى ؛ إضافة إلى عدم حاجتنا إلى الدخول في تفاصيل أوضاع الأجزاء الثابتة وأبعادها المتصلة بها كافة .

48

يمكن توضيح أغلب الرموز في إنشاء المخطط الحركي لآلة من خلال المخططين a و b المبينين في (الشكل-19-1). ليس من الضروري تمثيل الوصلة الثابتة إلا بجوار الازدواج المتصلة بها ، حيث يكفي برسم خط مستقيم قصير وترقين أي تهشير عرضي ، كما هو مبين في حالة الوصلة 1 . إذا اتصلت الوصلة الثابتة بازدواج دوراني ، فإنها تمثل كما في O_2 , O_3 , O_4 ، بينما إذا اتصلت بازدواج انزلاقي فإنه يكفي بالخط المرقن ، أو يرسم خطان متوازيان مع ترقيين ، كما عند C في المخطط الحركي b . تمثل الوصلة المتصلة بازدواجين دورانيين بخط مستقيم يصل بين محوري الازدواجين ، مثال ذلك الوصلات 4 , 5 , 7 في المخطط الحركي a ، والوصلتين 2 , 5 في المخطط الحركي b في (الشكل-19-1) .



(الشكل-19-1) مخططات حركية لتركيبات آلية .

أما الوصلة المنزلقة ، فإنها تمثل بمستطيل صغير ينطبق طوله على الازدواج الانزلاقي أو يوازيه كالوصلة 8 في المخطط الحركي a ، والوصلتين 3 , 6 في المخطط الحركي b في (الشكل-19-1) . لكن إذا اتصلت وصلة بثلاثة ازدواجات أو أكثر ، ليست على استقامة واحدة ، وتدعى بالوصلة المركبة ، فإنها تمثل بالشكل الهندسي الناتج من وصل محاور الازدواجات ؛ إضافة إلى ترقيين السطح الممثل للوصلة عرضياً ، كما في حالة الوصلة 6 في المخطط الحركي a في (الشكل-19-1) .

أما إذا كانت الازدواجات المرتبطة بالوصلة المركبة على استقامة واحدة ، فإنها تمثل كالوصلة 4 في المخطط الحركي b في (الشكل-1-19) ، حيث يشير المستطيل الصغير B إلى استمرار كون الوصلة 4 وصلة واحدة ، رغم اتصالها بازدواج دوراني مع الوصلة 5 .

أما الوصلات التي تحوي ازدواجات عليا ، فإنها تمثل عادةً في المخطط الحركي بإسقاط شكلها الحقيقي على مستوى الحركة ؛ وبخاصة في حالة الكامات وتوابعها . إلا أن المسننات تمثل في أغلب الحالات بمسقط دوائر الخطوة العائدة لها على مستوى الحركة ، مثال ذلك المسننات 2 , 3 في المخطط الحركي a في (الشكل-1-19) . يجب الانتباه إلى أن كلاً من الخططين المتقطعين O_2A , O_3B في المخطط الحركي a لا يمثل أية وصلة إضافية ؛ وإنما يفيد فقط في تعيين أوضاع الازدواجات عند رسم المخطط الحركي .

تجدر الإشارة إلى أننا قد بينا هنا مجمل وسائل التمثيل الحركي للمكونات التي تصادف في أغلب التطبيقات ، آخذين بالحسبان أن الفقرات اللاحقة ستتيح التعرف إلى نماذج أخرى من المخططات الحركية .

يتضح لنا من هذا العرض الموجز لأهم المفاهيم المؤثرة في التحليل الميكانيكي للآلات أن حركات أجزاء الآلة المختلفة ؛ وبالتالي القوى المؤثرة فيها ، يتعلق كلياً بالأوضاع النسبية للازدواجات ، ولا تأثير مطلقاً لحجم الوصلات المكونة لها وأشكالها ؛ إذ إن هذه الازدواجات ، هي التي يتم بواسطتها نقل الحركات والقوى أو تحويلها من مصدر الطاقة الخارجي إلى مأخذ العمل المطلوب تنفيذه ؛ لذا فإننا عند تحليل الحركات والقوى في الآلات ، نكتفي بالمخطط الحركي للأجزاء دون الاهتمام بمسائل تصميم أجزاء الآلة وتصنيعها .

إن مفهوم التركيبة العكسية أو المتحول لسلسلة حركية ذو أهمية بالغة في التحليل الميكانيكي ؛ إذ إن معرفة العلاقات الحركية بين وصلات سلسلة ما تحدد بشكل كامل حركات المتحولات جميعها الناتجة منها ؛ لأن انعكاس التركيبة لا يغير على الإطلاق الحركات النسبية بين وصلات السلسلة الأصلية . كما أن مفهوم التكافؤ الحركي - أي تساوي ميزات حركة وصلتين أو تركيبتين مختلفتين - يساعد كثيراً في تحليل بعض الآلات المعقدة .

لذا فإن تطبيق هذه المفاهيم يبسط الدراسة جداً ، ويوفر الوقت المهدور في دراسة تركيبات عدة متكافئة حركياً ؛ إذ ليس من الضروري عندئذ تكرار التحليل ؛ وإنما يكفي فقط تحليل السلسلة الأصلية لهذه التركيبات .

الفصل الثاني

تركيبات آلية مرفقية Linkage Mechanisms

Introduction

1-2- المقدمة

إن الغاية من أية تركيبة آلية أو مجموعة تركيبات آلية - هي بوجه عام - الحصول على حركة محددة للوصلة المقودة نتيجة حركة معينة تعطى للوصلة القائدة . يمكن أن يتم نقل الحركة أو تحويلها في التركيبات الآلية ، إما:

1. باستعمال وصلات صلبة كالأذرع والقضبان والمنزلاقات ، تصل بينها بشكل عام ازدواجات دورانية وانزلاقية ، وتسمى التركيبات المرفقية (Linkage Mechanisms) .
2. بالتماس المباشر للوصلتين القائدة والمقودة ، كما في حالة كل من تركيبات الكامات والمسننات .

3. باستعمال وصلات مرنة كالسيور والحبال والجنائزير في تركيبات الشد ، والسوائل غير القابلة للانضغاط في تركيبات الضغط .

من المفيد - قبل التطرق إلى بحث طرائق تحليل حركة التركيبات وتحديد القوى المؤثرة في وصلاتها المختلفة - التعرف إلى بعض التركيبات المرفقية النموذجية وبيان بعض من تطبيقاتها العملية . أما دراسة تركيبات الكامات والمسننات فإنها ستتم لاحقاً نظراً لكون كل منها يشكل بحثاً متكاملاً وظيفياً وحركياً وتحريكياً . بينما لن نتطرق إلى التركيبات ذات الوصلات المرنة ؛ إذ إنها تبحث عادة في موضوع تصميم الآلات ؛ إضافة إلى أن أغلبها يكافئ حركياً تركيبات مرفقية بسيطة .

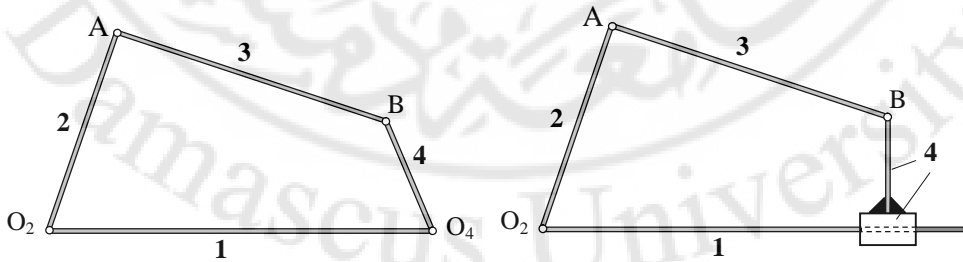
إن التركيبات التي سيتم بحثها هي عموماً ذات درجة طلاقة واحدة ، أي تحدد حركتها الوصلة القائدة فقط ، مع الإشارة ، حيث يلزم إلى بعض التطبيقات لتركيبات ذات درجتين طلاقة .

2-2- أنماط حركة تركيبة مرفقية Linkage Mechanisms Motion Types

يمكن في تركيبة مرفقية الحصول على حركة دورانية ، تأرجحية أو ترددية نتيجة دوران الوصلة القائدة ، تسمى عادة مرفقاً ، أو العكس بالعكس . يعني ذلك أنه يمكن للتركيبة أن تقوم بتحويل الحركة وفقاً لأحد الأنماط الآتية:

1. من حركة دورانية مستمرة إلى حركة دورانية مستمرة .
 2. من حركة دورانية مستمرة إلى حركة تأرجحية أو ترددية أو العكس بالعكس .
 3. من حركة تأرجحية إلى حركة تأرجحية ، أو من حركة ترددية إلى حركة ترددية .
- وفي الحالات كلها يمكن لنسبة سرعتي الوصلتين اللتين يتم نقل الحركة بينهما أن تكون ثابتة أو متغيرة .

إن أبسط التركيبات القادرة على تحقيق مجمل أنماط الحركة المذكورة أعلاه تنتج من السلسلة رباعية الوصلات (Four-Link Chain) . تتألف هذه السلسلة من أربعة ازدواجات سطحية التماس ؛ أي ازدواجات سفلية ، حيث يمكن أن تكون الازدواجات كافة دورانية أو يكون بعضها دورانياً والآخر انزلاقياً ؛ وبالتالي يمكن الحصول على الكثير من التركيبات العملية بإدخال بعض التعديلات على هذه السلسلة كتغيير طبيعة بعض الازدواجات ، ونسب أبعاد الوصلات وغيرها ، فمثلاً باستبدال المفصل الدوراني O_4 في السلسلة الموضحة في المخطط a في (الشكل 1-2) بآخر انسحابي نحصل على سلسلة مرفقية ترددية أي سلسلة المنزلقة والمرفق المبينة في المخطط b في (الشكل 1-2) .



a- سلسلة بأربع ازدواجات دورانية . b- سلسلة مرفقية ترددية .

(الشكل 1-2) سلسلة رباعية الوصلات .

إن الكثير من الآلات المعقدة تتكون أساساً من مجموعة من هذه التركيبات البسيطة أو من متحولاتها التي سندرس بعضاً منها في الفقرات التالية .

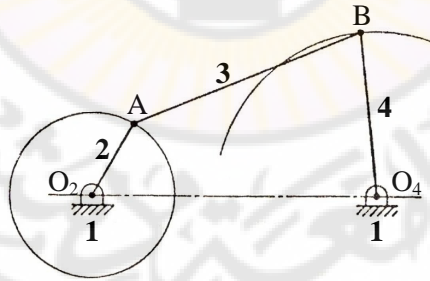
تجدر الإشارة إلى أنه سيتم - إلى حد ما - تصنيف التركيبات الآلية تبعاً لتطبيقاتها ، مع التنويه حيث يلزم ، عن المتحولات التي تصادف في تطبيقات مختلفة .

Four-Bar Mechanism

3-2- تركيبية رباعية القضبان

تنتج هذه التركيبية من سلسلة رباعية الوصلات مؤلفة من أربعة ازدواجات دورانية تربط وصلاتها الأربع . تبين التركيبية a في (الشكل-2-1) التركيبية الأساسية الناتجة من تثبيت الوصلة 1 التي تمثل عملياً هيكل الآلة ، وتمثل الوصلة 3 القارئة التي تنقل الحركة من الوصلة القائدة 2 إلى الوصلة المقودة أو التابع 4 .

توجد إمكانيتان لحركة كل من الوصلتين 2 و 4 المتصلتين بالهيكل . عندما تؤدي الوصلة حركة دورانية مستمرة فإنها تسمى بالمرفق ، أما إذا كانت حركتها اهتزازية بين وضعين حديين ذهاباً وإياباً على قوس دائري ؛ فتسمى حينئذ بالمتأرجحة ، مثال ذلك : لدينا في (الشكل-2-2) مرفق قائد وتابع متأرجح .



(الشكل-2-2) مرفق قائد وتابع متأرجح .

يمكن تصميم تركيبات ذات أنماط حركة مختلفة استناداً إلى السلسلة رباعية القضبان .
وتتم عادة تسمية التركيبات من منطلق تحويل الحركة وفقاً للآتي:

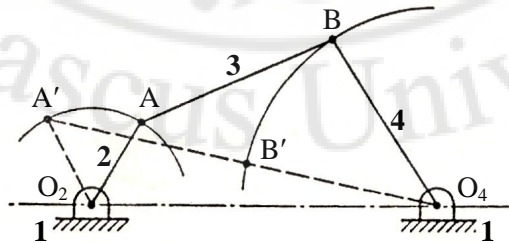
1. الوصلتان 2 و 4 تدوران كلياً نحصل على تركيبة آلية المرفق المضاعف ، حيث يتم تحويل الحركة الدورانية إلى حركة دورانية ، كما في التركيبة b في (الشكل-2-6) ، وفي التركيبة a في (الشكل-2-7) .

2. الوصلة 2 تدور كلياً والوصلة 4 تتأرجح ذهاباً وإياباً نحصل على تركيبة آلية المرفق المتأرجح ، حيث يتم تحويل الحركة الدورانية إلى حركة تأرجحية وبالعكس ، كما في (الشكل-2-5) ، وفي (الشكل-2-5) .

3. الوصلتان 2 و 4 تقومان بحركة تأرجحية نحصل على تركيبة آلية المتأرجح المضاعف ، حيث يتم تحويل الحركة التأرجحية إلى حركة تأرجحية ، كما هو مبين في تركيبة وات (Watt Mechanism) للخط المستقيم الميمنة في (الشكل-2-17) .

إن حدوث هذه الحالات يعتمد على أطوال وصلات السلسلة الرباعية ، وبما أن ازدواجات السلسلة الأصلية جميعها هي من طبيعة واحدة دورانية ، فإن تغيير الوصلة الثابتة للحصول على متحولات هذه السلسلة ، يكافئ في الواقع ، تغيير نسب أطوال الوصلات وأوضاعها النسبية مع المحافظة على الوصلة 1 ثابتة . يمكن إذن باختيار مناسب لأطوال الوصلات ولأوضاعها النسبية ، أن تحقق التركيبة الأساسية أغلب أنماط الحركة النسبية المذكورة . إلا أنه يجب الانتباه - عند إجراء هذه التغييرات - إلى تجنب حدوث نقاط ميتة خلال حركة التركيبة . تحدث هذه النقاط الميتة عندما تصبح الوصلتان 3 و 4 على استقامة واحدة ، كما هو مبين في (الشكل-2-3) .

من الواضح في هذه الحالة أن خط عمل القوة المنقلة من الوصلة القائدة 2 عبر القارنة 3 إلى الوصلة المقودة 4 ينطبق على هذه الوصلة ؛ وبالتالي يجب تطبيق قوة خارجية لكي تتمكن الوصلة من تجاوز هذه النقطة الميتة ، يتم ذلك عادة بتركيب حذافة مناسبة ؛ أي دولاب معدل .



(الشكل-2-3) الوصلتان 3 و 4 على استقامة واحدة .

لقد استنتج الباحث غراسهوف (Grashoff) طريقة لتحديد نوع التركيبة حركياً . تعتمد هذه الطريقة على العلاقات الممكن وجودها بين أطوال وصلاتها الأربع ، حيث تميز الحالات الآتية:

a. مجموع طولي أقصر وصلة وأطول وصلة أصغر من مجموع طولي الوصلتين الآخرين . يمكن عندئذ تشكيل التركيبات الآتية:

1. مرفق متأرجح *Rocker Crank*
أقصر وصلة هي المرفق القائد وإحدى الوصلتين المجاورتين لها هي الوصلة الثابتة . يلاحظ وجود تركيبتين مختلفتين من هذا النوع بحسب الوصلة الثابتة .

2. مرفق مضاعف *Double Crank*
أقصر وصلة هي الوصلة الثابتة .

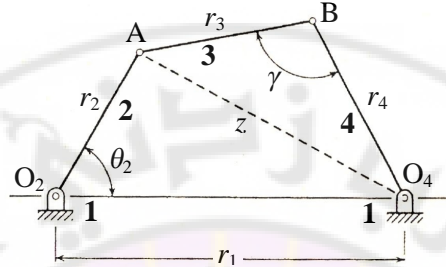
3. متأرجح مضاعف *Double Rocker*
الوصلة المقابلة لأقصر وصلة هي الوصلة الثابتة .

b. مجموع طولي أقصر وصلة وأطول وصلة يساوي مجموع طولي الوصلتين الآخرين .

يمكن عندئذ تشكيل تركيبات مماثلة لتلك المذكورة في (1 , 2 , 3) أعلاه . إن التركيبة b في (الشكل-2-6) هي حالة خاصة عندما تشكل الوصلات متوازي أضلاع . يجب الانتباه إلى إمكانية حدوث نقاط تبديل اتجاه دوران الوصلة المقودة عندما تمر التركيبة بوضع تصبح فيه محاور الازدواج على استقامة واحدة ؛ لذا يجب تأمين وسيلة عند تصميم التركيبات الناتجة تضمن تقييد الحركة بالاتجاه المطلوب ، يتم ذلك عادة بتركيب حذافة مناسبة .

c. مجموع طولي أقصر وصلة وأطول وصلة أكبر من مجموع طولي الوصلتين الآخرين . تنتج عندئذ تركيبات من نوع متأرجح مضاعف فقط .

كما أن لزاوية النقل تأثيراً كبيراً في تأمين أداء سلس للتركيبة ، تعرف زاوية النقل بالزاوية بين القارئة والوصلة المقودة ، كما في (الشكل-2-4) ، ويرمز لها عادة بالرمز γ .



(الشكل-2-4) تعيين زاوية النقل حسابياً .

من استخدام قانون التجيب في المثلث المشكل من القطر z والوصلتين 1 و 2 ، ينتج أن طول القطر z :

$$z^2 = r_1^2 + r_2^2 - 2r_1 \cdot r_2 \cdot \cos q_2$$

وبتطبيق قانون التجيب مرة أخرى في المثلث المشكل من z والوصلتين 3 و 4 ، ينتج أن:

$$z^2 = r_3^2 + r_4^2 - 2r_3 \cdot r_4 \cdot \cos g$$

من تساوي العلاقتين:

$$r_1^2 + r_2^2 - 2r_1 \cdot r_2 \cdot \cos q_2 = r_3^2 + r_4^2 - 2r_3 \cdot r_4 \cdot \cos g$$

نحصل على:

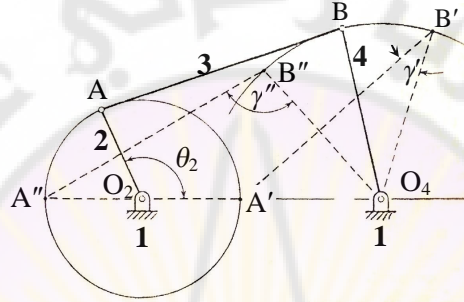
$$g = \cos^{-1} \left[\frac{r_1^2 + r_2^2 - r_3^2 - r_4^2 - 2r_1 \cdot r_2 \cdot \cos q_2}{-2r_3 \cdot r_4} \right] \quad (1-2)$$

تكتب بشكل آخر:

$$g = \cos^{-1} \left[\frac{z^2 - r_3^2 - r_4^2}{-2r_3 \cdot r_4} \right] \quad (2-2)$$

يفضل أن يحدد مجال عمل التركيبة بحيث تبقى قيمة زاوية النقل محصورة بين $(40^\circ < \gamma < 140^\circ)$ ؛ وبخاصة عند استعمالها في نقل قوى كبيرة نسبياً . يؤدي كون الزاوية خارج مجال هاتين القيمتين إلى إعاقه حركة التركيبة بسبب الاحتكاك في الازدواجات ؛ إضافة إلى احتمال حدوث نقاط ميتة ؛ نظراً لاقتراب الوصلتين 3 و 4 من حالة كونهما على استقامة واحدة .

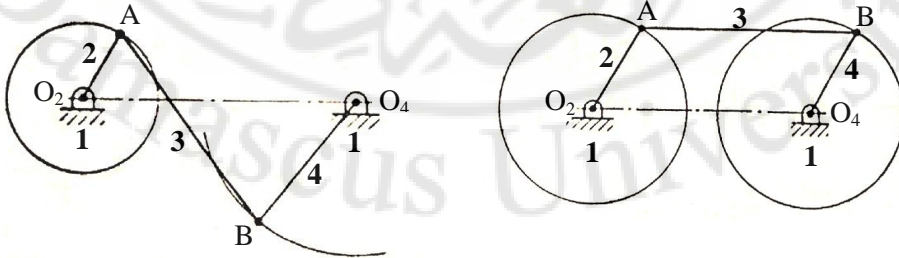
يلاحظ من العلاقة (1-2) أن قيمة زاوية النقل تتعلق في تركيبة معينة بالوضع النسبي بين الوصلة القائدة والهيكل ، يعين هذا الوضع في أي لحظة بالزاوية θ_2 ؛ وبالتالي فإن زاوية النقل سيكون لها ضمن مجال حركة التركيبة قيمة صغرى γ' ، وأخرى عظمى γ'' ، كما هو مبين في (الشكل-2-5) ، حالة تركيبة ذات مرفق قائد يدور دورانياً كاملاً مستمراً ليحرك تابعاً بحركة تأرجحية .



(الشكل-2-5) القيمة الصغرى والعظمى لزاوية النقل .

ذكرنا سابقاً أنه يمكن للتركيبة الأساسية في a في (الشكل-2-1) أن تأخذ عدة أشكال لأداء أنماط مختلفة من الحركة. يبين (الشكل-2-6) و (الشكل-2-7) بعضاً من أهم متحولات التركيبة من الناحية التطبيقية .

تسمى الحالة a في (الشكل-2-6) التركيبة المتصالبة حيث تكون حركة الوصلة 4 تأرجحية مهما كانت حركة الوصلة القائدة دورانية مستمرة أو تأرجحية ، ويبين الشكل حالة تحويل الدوران إلى تأرجح ، أما حالة تحويل التأرجح إلى تأرجح ، فإننا سنتطرق إليها في فقرة لاحقة بتركيبة وات (Watt Mechanism) .



a- التركيبة المتصالبة .

b- تركيبة تدوير عجلات القاطرة البخارية .

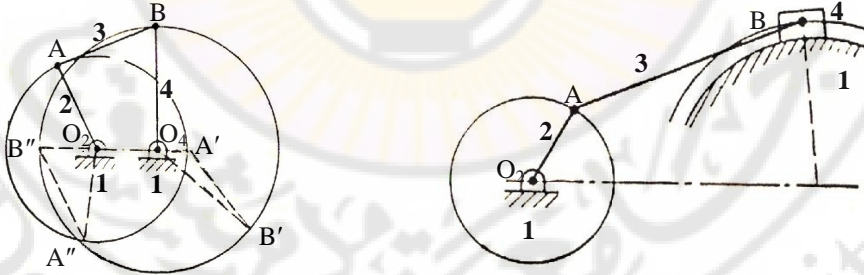
(الشكل-2-6)

أما الحالة b في (الشكل-2-6) فإنها تبين التركيبة التي تميزت بها آلية تدوير عجلات القاطرة البخارية ، حيث تشكل الوصلات الأربع متوازي أضلاع ، وأحد طوليه هو الهيكل . إن الحركة الناتجة هي دوران كل من المرفقين بالسرعة الزاوية نفسها . بينما تتحرك القارئة بحركة انتقالية موازية لنفسها . إن لهذه التركيبة المتوازية عدة تطبيقات في آلات تصنيع الحبال ، في الموازين الميكانيكية كميزان روبرفال ، وفي تجهيزات آلات النسخ .

وتبين الحالة a في (الشكل-2-7) تركيبة السحب أو الجر المستعملة في الحصول على حركة ترددية سريعة الارتداد كما سنبين لاحقاً . تكون الوصلة الثابتة في هذه التركيبة هي أقصر الوصلات وينتج من ذلك ، أنه عند دوران أحد المرفقين بسرعة ثابتة فإن المرفق الآخر يدور بالاتجاه نفسه لكن بسرعة متغيرة ، بحيث يؤدي كل منهما دورة واحدة بالزمن نفسه . ولضمان حركة جيدة لهذه التركيبة دون حدوث نقاط ميتة ، يجب أن تحقق أطوال وصلاتها المترابحين التاليين معاً:

$$\begin{aligned} AB &> O_2O_4 + O_4B - O_2A \\ AB &< O_2A + O_4B - O_2O_4 \end{aligned} \quad (3-2)$$

تستنتج هاتان العلاقتان من المثلثين $O_2A'B'$ و $O_2A''B''$ مع ملاحظة أن مجموع ضلعين في مثلث يجب أن يكون أكبر من الضلع الثالث .



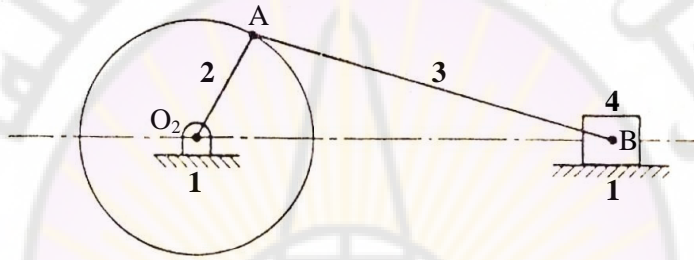
a-تركيبة السحب أو الجر. b-الاستعاضة عن الوصلة المتأرجحة بكتلة منزلقة. (الشكل-2-7)

أما الحالة b في (الشكل-2-7) فإنها تبين تركيبة تكافئ حركياً التركيبة الأساسية التي سبق توضيحها في b في (الشكل-1-2) ، حيث استعويض عن الوصلة المتأرجحة 4 بكتلة منزلقة ضمن مجرى نصف قطره يساوي طول هذه الوصلة ومركزه O_4 . يستعمل هذا التصميم عادة عندما يكون طول الوصلة المتأرجحة كبيراً نسبياً .

Slider-Crank Mechanism

4-2- تركيبية المنزلقة والمرفق

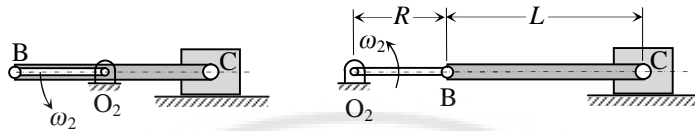
تنتج هذه التركيبية من سلسلة رباعية الوصلات ذات ثلاثة ازدواجات دورانية وازدواج انزلاقي . يبين (الشكل-2-8) المخطط الحركي لتركيبية المنزلقة والمرفق الأساسية حيث تمثل الوصلة 1 الهيكل ، الوصلة 2 المرفق ، الوصلة 3 ذراع التوصيل ، والوصلة 4 المنزلقة أو المكبس . ويلاحظ أنها تكافئ حركياً التركيبية b في (الشكل-2-7) عندما تصبح الوصلة 4 لا نهائية الطول .



(الشكل-2-8) المخطط الحركي لتركيبية المنزلقة والمرفق (Slider-Crank Mechanism).

تستعمل هذه التركيبية عموماً لتحويل الحركة الدورانية لعمود المرفق إلى حركة ترددية انزلاقية للمكبس وبالعكس . ففي الضواغط الترددية تنتقل حركة المرفق الدورانية عبر ذراع التوصيل إلى المكبس الذي يتحرك حركة ترددية . أما في محركات الاحتراق الداخلي ، فإن الحركة الترددية للمكبس تنتقل عبر ذراع التوصيل إلى المرفق الذي يدور دورانياً مستمراً . لكن يلاحظ في هذه الحالة وجود نقطتين ميتتين خلال كل دورة كاملة للمرفق . يمكن تدوير المرفق عبر هذين الوضعين بتركيب حذافة مناسبة على عمود المرفق .

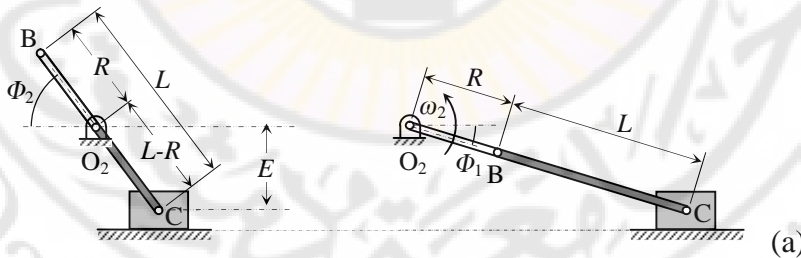
في النسب العادية لأطوال الوصلات لمثل هذه التركيبية الآلية ، أي عندما يكون ذراع التوصيل أكبر طولاً من المرفق ، يوجد وضعان حديان ، وهما يظهران عندما تكون المنزلقة في وضعيها النهائيين الأيمن والأيسر ، أي عندما يصبح المرفق وذراع التوصيل على استقامة واحدة ، سواء كانت الآلية مركزية حيث يمر خط عمل المنزلقة C من مركز دوران المرفق O_2 ، كما في (الشكل-2-9) ، أو ذات إزاحة لا مركزية E تساوي بعد مركز دوران المرفق O_2 عن خط عمل المنزلقة C ، كما في المخطط a في (الشكل-2-10) .



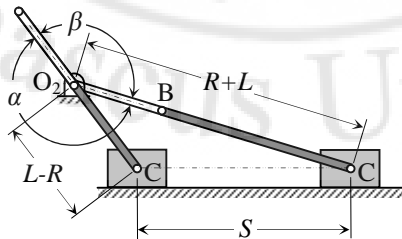
(الشكل-9-2) تركيبة المنزلقة والمرفق المركزية وأوضاعها الحدية .

إن الأوضاع الحدية للتركيبة الآلية لها أهمية خاصة لعدة أسباب ، فهي التي تحدد شوط المكبس . كذلك تتعدى سرعة المكبس في اللحظة التي يبلغ فيها أحد وضعيه الحديين ، من ناحية أخرى يزداد مقدار تسارع المكبس ، وبالتالي قوة عطالته في تلك اللحظة ، ولا يمكن أن نقاد آلية المنزلقة والمرفق إلا بتطبيق قوة ما من جهة المكبس عند الوضعية الحدية .

في التركيبة الآلية ذات المكبس الواحد تساعد قوى العطالة للمرفق على تجاوز الأوضاع الحدية إذا كان المكبس هو الوصلة القائدة فيها . إن الشوط ؛ أي مدى الحركة للمكبس في التركيبة المركزية يساوي $2R$ أي ضعف طول المرفق . فالمرفق يدور 180° بينما يتحرك المكبس من اليسار إلى اليمين ثم يدور 180° ليعود المكبس إلى اليسار . وإذا دار المرفق بسرعة زاوية ثابتة ، فإن المرفق يستغرق الوقت نفسه اللازم للحركة من اليسار إلى اليمين والعودة إلى اليسار .



(a)



(b)

(الشكل-10-2) تركيبة المنزلقة والمرفق اللامركزية وأوضاعها الحدية .

أما الأوضاع الحدية للمكبس ذات السرعة المدومة في تركيبة المنزلقة والمرفق اللامركزية المبينة في المخطط b في (الشكل-2-10) ، فإن الزوايا التي يقطعها المرفق بين الأوضاع الحدية تكون غير متساوية . فإذا دار المرفق باتجاه عكس دوران عقارب الساعة ، فإنه يقطع زاوية أكبر من 180° ، بينما يتحرك المكبس من اليسار إلى اليمين ، ويقطع زاوية أصغر من 180° حينما يعود إلى اليسار . فإذا كان المرفق يدور بسرعة زاوية ثابتة باتجاه معاكس لدوران عقارب الساعة ، فإن المكبس يستغرق وقتاً أطول في شوطه نحو اليمين من الوقت اللازم لعودته نحو اليسار . فمن وضعه الحدي يساراً إلى وضعه الحدي يميناً يدور المرفق بزاوية:

$$a = 180^\circ + f_1 - f_2$$

ويقطع المرفق خلال شوط العودة زاوية:

$$b = 180^\circ - f_1 + f_2$$

حيث:

$$f_1 = \sin^{-1} \frac{E}{L-R} , \quad f_2 = \sin^{-1} \frac{E}{L+R}$$

مع افتراض أن طول المرفق و L طول ذراع التوصيل و $(E < L-R)$ البعد اللامركزي يكون طول الشوط:

$$S = \sqrt{(L+R)^2 - E^2} - \sqrt{(L-R)^2 - E^2}$$

برسم الأوضاع الحدية للتركيبة مع بعض ، يتشكل مثلث ، كما في المخطط b من (الشكل-2-10) ، وباستخدام عدم المساواة في المثلث بأن مجموع أي ضلعين فيه أكبر طولاً من الضلع الثالث ، ينتج:

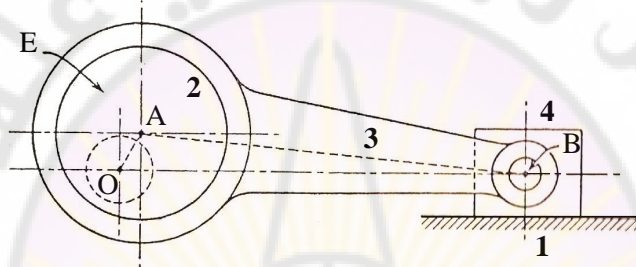
$$L-R+S > L+R \Rightarrow S > 2R$$

أي أن طول الشوط سيكون دائماً أكبر من $2R$ في حال وجود اللامركزية E . وتسري العلاقات السابقة إذا تحقق الشرطان التاليان:

$$E < L-R \Rightarrow R < L$$

كذلك يمكن إيجاد الزوايا α و β ببساطة من خلال رسم الأوضاع الحدية للتركيبة وقياس الزوايا من الشكل . ويستخدم هذا الحل التخطيطي للتحقق من الحل التحليلي ، أو كما هو الأمر غالباً تكون دقة الحل التخطيطي كافية .

إن بعض التطبيقات العملية لهذه التركيبة تستلزم أحياناً تعديل أبعاد الازدواج ؛ مما يؤدي ظاهرياً إلى تغيير الشكل الهندسي للتركيبة دون أن يؤثر ذلك في الحركة النسبية بين وصلاتها . يمكن توضيح ذلك استناداً إلى (الشكل-2-11) حيث تم توسيع الازدواج بين المرفق وذراع التوصيل بشكل يغلف عمود الدوران الذي محوره O . يكافئ هذا التعديل الاستعاضة عن المرفق بقرص لا مركزي E يبعد مركزه الهندسي A عن محور الدوران مسافة OA تساوي طول المرفق . من الواضح أن التركيبة في هذه الحالة تكافئ حركياً التركيبة الأساسية المبينة بالخطوط المتقطعة .



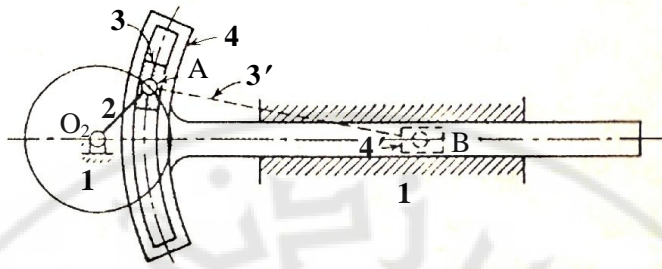
(الشكل-2-11) ذراع التوصيل 3 يغلف عمود الدوران الذي محوره O .

يستعمل هذا التعديل في بعض الآلات كالمطارق الميكانيكية ومكابس التخریم والتشكيل اللامركزية . إلا أن من سينات هذا التصميم ضرورة تأمين تزييت فاعل عند الازدواج بين القرص والذراع ؛ مما يحد من كمية الطاقة التي يمكن نقلها . تجدر الإشارة إلى أن لتركيبة المنزلقة والمرفق ثلاثة متحولات نوهنا عنها بإيجاز في الفقرة (1-6) ؛ إضافة إلى أن أهم تطبيقات بعض منها ستبين لاحقاً .

5-2- تركيبة المنزلقتين والمرفق Double Slider-Crank Mechanism

إذا تم في تركيبة المنزلقة والمرفق - المبينة سابقاً في (الشكل-2-8) - توسيع الازدواج عند B ليغلف الازدواج A ، فإن ذلك يكافئ حركياً الاستعاضة عن ذراع التوصيل ، بكتلة منزلقة ضمن مجرى منحن نصف قطره يساوي طول هذا الذراع ، ومركزه B ، كما هو مبين في (الشكل-2-12).

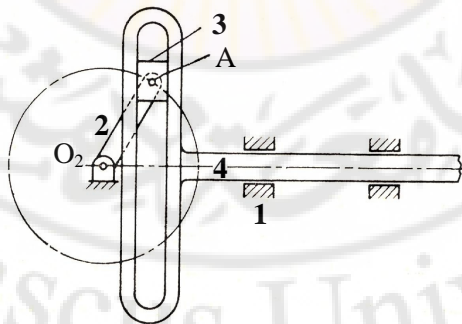
في حال ازداد طول ذراع التوصيل ليصبح لا نهائياً ، فإن المجرى المنحني يتحول إلى مجرى مستقيم ، وتنتج تركيبة المنزلقتين والمرفق المؤلفة من ازدواجين دورانيين وازدواجين انزلاقيين . يجب الانتباه إلى أن هذه التركيبة ليست متحولاً للتركيبة السابقة ، إذ إنه حصل تعديل طبيعة أحد الازدواج دون تغيير الوصلة الثابتة 1 .



(الشكل-12-2) الاستعاضة عن ذراع التوصيل 3' بكتلة منزلقة 3 ضمن مجرى منحني .

يبين (الشكل-13-2) المخطط الحركي للتركيبية الأساسية التي تسمى أحياناً (Scotch Yoke) ، وتتألف من ازدواجين دورانيين وازدواجين انزلاقيين ، حيث تتصل الوصلة الثابتة 1 بازدواج دوراني من جهة ، وبآخر انزلاقي من الجهة الأخرى ، فإذا دار المرفق 2 بسرعة زاوية منتظمة ، فإن المنزلقة 4 تتحرك حركة توافقية بسيطة .

يمكن البرهان على ذلك بالرجوع إلى النظرية التي نصها: إذا تحرك جسيم مادي على محيط دائرة بسرعة زاوية منتظمة ، فإن حركة مسقطه على أي من محوري الإحداثيات هي حركة توافقية بسيطة . وبما أنه يلاحظ في (الشكل-13-2) أن حركة المنزلقة 4 مماثلة لحركة مسقط الجسيم A على المحور الأفقي ، فإن حركة هذه المنزلقة هي توافقية بسيطة عندما يدور المرفق 2 بسرعة زاوية منتظمة .



(الشكل-13-2) تركيبية المنزلقتين والمرفق (Scotch Yoke) .

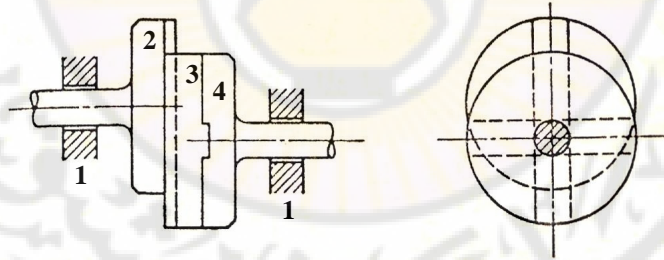
تستخدم هذه الآلية في آلات الاختبار لتوليد اهتزازات توافقية بسيطة ، وكذلك كمولد حركة جيبية - تجيبية صحيحة في عناصر الحاسبات التمثيلية الميكانيكية .

إن المتحول الناتج من تثبيت المنزلقة 3 والسماح للوصلة 1 بالحركة في (الشكل-2-13) ، يعطي للمنزلقة 4 حركة توافقية بسيطة في اتجاه عمودي على الحركة الأولى - شاقولي في هذه الحالة - عند دوران المرفق بسرعة زاوية منتظمة . إضافة إلى ذلك فإن لمتحولات هذه التركيبية الأساسية عدة متحولات ذات تطبيقات عملية من أهمها قارنة أولد هام ورسم القطع الناقص .

Oldham Coupling

1-5-2- قارنة أولد هام

تستعمل هذه القارنة لوصل عمودين متوازيين غير متسامتين . يبين (الشكل-2-14) المخطط الحركي لهذه القارنة حيث تتصل الوصلة الثابتة 1 بازدواجين دورانيين من كلتا جهتيها ، وبالمقارنة مع (الشكل-2-13) فإن هذه التركيبية تنتج من تثبيت المرفق 2 في التركيبية الأساسية للمنزلقتين والمرفق . إن للقرص 3 لسيناً من كل جهة ، يتعامد هذان اللسينان فيما بينهما ، وينزلقان بتوافق دقيق في مجريين مناسبين في العمودين 2 و 4 ، كما يمكن في بعض الحالات أن تكون الوصلة 3 كتلة ذات مقطع مربع تنزلق ضمن مجريين مناسبين في العمودين .



(الشكل-2-14) قارنة أولد هام (Oldham Coupling) .

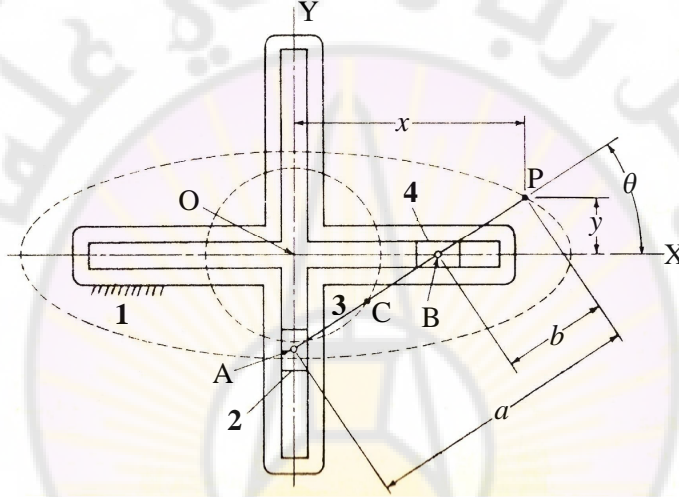
بما أنه لا يوجد أية حركة دورانية نسبية بين الوصلات 2 ، 3 و 4 ، فإن هذه القارنة ستنتقل الحركة من العمود القائد إلى العمود المقاد بالسرعة الزاوية نفسها ؛ أي: إن نسبة سرعتي العمودين تساوي الواحد .

من الواضح أن استخدام هذه القارنة ممكن عملياً عندما يكون عدم التسامت بين العمودين صغيراً ، وإلا فإن أقراص الوصل اللازمة تصبح كبيرة الحجم وكذلك قوى التحاك ، ومن المفضل عندئذ استعمال وسيلة أخرى كالسيور أو المسننات .

2-5-2- راسم القطع الناقص

Elliptical Trammel

يبين (الشكل-2-15) المخطط الحركي للتركيبة المستعملة لرسم القطوع الناقصة ، حيث الوصلة الثابتة 1 تتصل بازدواجين انزلاقيين من كلتا جهتيها ، بينما الوصلة 3 فهي متمفصلة مع هاتين المنزلقتين . من الواضح أن ذلك يكافئ تثبيت الوصلة المشقوقة 4 في التركيبة المبينة في (الشكل-2-13) ؛ أي: إنها متحول لها .



(الشكل-2-15) راسم القطع الناقص (Elliptical Trammel) .

يمكن البرهان أنه عند انزلاق الوصلتين 2 و 4 ، فإن النقطة P الواقعة على الوصلة 3 أو امتدادها ترسم قطعاً ناقصاً ؛ إذ يمكن كتابة المعادلات الآتية:

$$x = a \cdot \cos q \quad , \quad y = b \cdot \sin q$$

ومنه:

$$\cos^2 q + \sin^2 q = \frac{x^2}{a^2} + \frac{y^2}{b^2} = 1 \quad (4-2)$$

وهي معادلة قطع ناقص مركزه في O ، طول محوره الأكبر 2a ، وطول محوره الأصغر 2b . يلاحظ أنه يمكن الحصول على عدة قطوع ناقصة بتغيير وضع P ، وفي حالة كون هذه النقطة في منتصف المسافة AB ، فإن المعادلة (4-2) تصبح:

$$x^2 + y^2 = a^2$$

وهي معادلة دائرة مركزها O ، ونصف قطرها a يساوي نصف الطول AB .

Straight-Line Mechanisms

6-2- تركيبات الحركة المستقيمة

تصمم هذه التركيبات بحيث تتحرك نقطة من إحدى وصلاتها حركة مستقيمة ضمن مجال حركة التركيبة ، من الواضح أنه يمكن الحصول على ذلك بالتحكم بحركة وصلة منزلة بين دليلين مستقيمين . مثال ذلك حركة المكبس في تركيبة المنزلقة والمرفق . لكن نظراً لكبر حجم الدليلين عموماً ، ونتيجة للاحتكاك والتآكل السريع الحاصل في الوصلة المنزلقة ، فمن المحبذ الحصول على حركة مستقيمة باستعمال ازدواجات دورانية فقط .

لقد صُمم الكثير من هذه التركيبات ، حيث حقق عدد قليل منها حركة مستقيمة تماماً ، بينما يعطي معظمها حركة مستقيمة تقريبية ضمن مجال محدد ، كتركيبة وات ، وتركيبة تشبيشيف وتركيبة هوكس ، وبالمقابل هناك تركيبات آلية مرفقية أكثر تعقيداً تولد مساراً مستقيماً دقيقاً ، كتركيبة بوسوليه ، وتركيبة هارت ، وتركيبة سكوت روسل ، وسنبين هنا بعضاً منها .

Peaucellier Mechanism

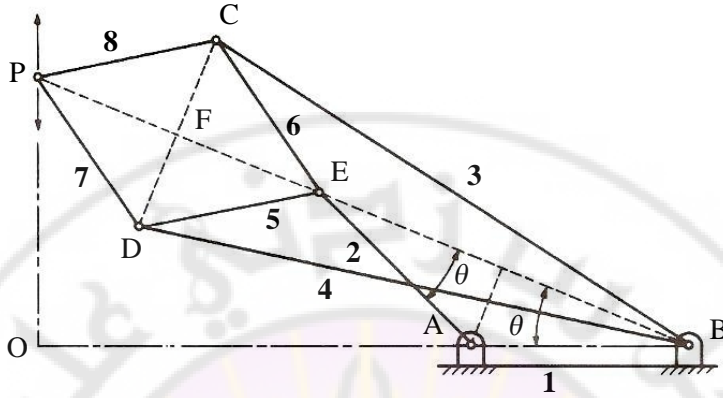
6-2-1- تركيبة بوسوليه

لقد أوجد بوسوليه التركيبة الشهيرة باسمه للحصول على حركة مستقيمة صحيحة تماماً ، وهي تتألف من ثماني وصلات ذات ازدواجات دورانية فيما بينها .

يبين (الشكل-2-16) المخطط الحركي لتركيبة بوسوليه ، حيث الأبعاد فيها:

$$AB = AE \quad , \quad BC = BD \quad , \quad PC = PD = CE = DE$$

يلاحظ من الشكل أن الوصلة الدوارة EA والوصلة الثابتة BA لهما الطول نفسه ، ويقع المفصلان E و P على زاويتين متقابلتين من سلسلة رباعية ذات الوصلات متساوية الطول EC , CP , PD , DE ، والمفصلان D و C يتصلان بالمفصل الثابت B بواسطة الوصلتين CB و DB المتساويتين طولاً ، بحيث يبقى مسقط المفصل P على الخط المار من AB هو نقطة ثابتة O ، ويمكن إثبات ذلك على النحو الآتي .



المخطط الحركي لتركيبه بوسوليه (Peaucellier Mechanism) للخط المستقيم .
(الشكل-2-16)

لنكن F نقطة تقاطع قطري السلسلة الرباعية ECPD ، ومن المثلثين القائمين BFC و EFC ، لدينا:

$$\overline{BF}^2 = \overline{BC}^2 - \overline{CF}^2 , \quad \overline{EF}^2 = \overline{CE}^2 - \overline{CF}^2$$

وبطرح العلاقتين نجد:

$$\overline{BF}^2 - \overline{EF}^2 = \overline{BC}^2 - \overline{CE}^2$$

$$(\overline{BF} + \overline{EF})(\overline{BF} - \overline{EF}) = \overline{BC}^2 - \overline{CE}^2$$

لكن:

$$\overline{BF} + \overline{EF} = \frac{\overline{OB}}{\cos q} , \quad \overline{BF} - \overline{EF} = 2\overline{AB} \cdot \cos q$$

إذن:

$$\frac{\overline{OB}}{\cos q} \cdot 2\overline{AB} \cdot \cos q = \overline{BC}^2 - \overline{CE}^2$$

$$\overline{OB} = \frac{\overline{BC}^2 - \overline{CE}^2}{2\overline{AB}} = \text{const.}$$

أي إن مسقط المفصل P على الخط المار من AB هو نقطة ثابتة O ؛ وبالتالي فإن المفصل P يتحرك دوماً على الخط المستقيم OP العمودي على AB .

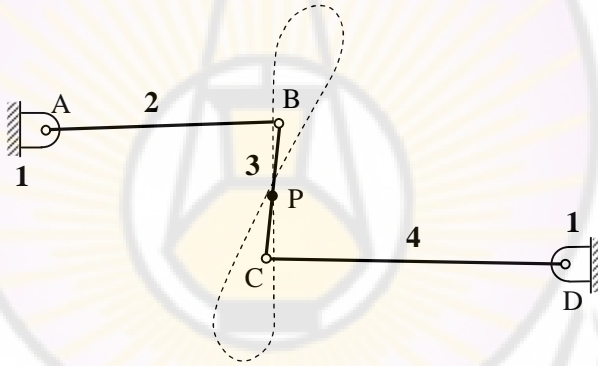
Watt Mechanism

2-6-2- تركيبية وات

تعدّ تركيبية وات الشكل النموذجي من الآليات التي استخدمها العالم وات للقيام بعمل دليل لمكبس آله البخارية في بداية اختراعاته ، وتستعمل لتوليد حركة مستقيمة تقريبية .

يبين (الشكل-2-17) المخطط الحركي لتركيبية وات ، وهي عبارة عن تركيبية متصالبة رباعية القضبان ذات متأرجح مضاعف ، حيث تتحرك كل من الوصلتين CD و AB حركة تأرجحية . تصمم هذه التركيبية بحيث تكون هاتان الوصلتان متوازيتين عند الوضع الوسطي ، بينما تكون الوصلة BC متعامدة معهما ، وتقسم النقطة P هذه الوصلة بحيث إن:

$$BP/PC = CD/AB$$



المخطط الحركي لتركيبية وات (Watt Mechanism) للخط المستقيم .
(الشكل-2-17)

وجد عملياً أن النقطة P ترسم المسار المنقط الذي هو في جزء كبير منه خط مستقيم دقيق نسبياً ، فيما لو تأرجحت الوصلة CD بزاوية صغيرة حول الوضع الوسطي لا تزيد على 14° من كل جهة .

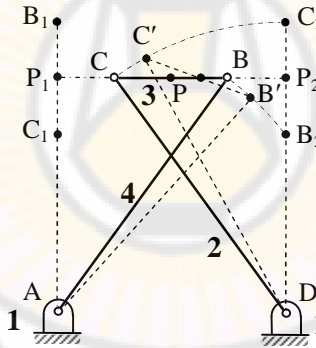
3-6-2- تركيبة تشبيشيف

Tchebyshev Mechanism

تعدّ تركيبة تشبيشيف من أكثر التركيبات استعمالاً لتوليد حركة مستقيمة تقريبية .
يبين (الشكل-2-18) المخطط الحركي لتركيب تشبيشيف ، وهي عبارة عن رباعي قضبان متصالب فيه الوصلتان AB و CD متساويتان . وتقع النقطة p في منتصف الوصلة BC ، وترسم خلال الحركة مساراً مستقيماً تقريباً على امتداد هذه الوصلة موازياً للهيكل AD ، إذا تحققت الأطوال النسبية الآتية:

$$AD = 2 BC \quad , \quad AB = CD = 1.25 AD$$

إن طول المسار المستقيم الممكن رسمه P_1P_2 يساوي البعد بين المفصلين الدورانيين A و D . يبين التحليل الرياضي بأن الاختلاف الأعظمي عن الخط المستقيم عندئذ يساوي فقط 0.24% من هذا البعد . من الواضح أن الوضع الحدي P_1 يوافق الوضع الشاقولي للوصلة AB ، بينما ينتج الوضع الحدي P_2 عندما تصبح الوصلة DC شاقولية .



المخطط الحركي لتركيب تشبيشيف (Tchebyshev Mechanism) للخط المستقيم .

(الشكل-2-18)

يمكن الحصول على متحول لهذه التركيب بتثبيت النقطة P ، وتدوير المرفق BC حولها بزاوية بحدود 180° ؛ مما يعطي للوصلة AD حركة سلسلة مستقيمة تقريباً لا يزيد الخطأ فيها على 0.25% من طول الخط المستقيم ، أي يمكن إهماله في أغلب التطبيقات العملية . تستعمل هذه الطريقة في تحويل حركة زاوية إلى حركة خطية تناسبية أو العكس بالعكس ؛ إذ إنها طريقة أبسط وأرخص من استعمال تريس وجريدة مسننة ؛ إضافة إلى تحقيق توزيع ملائم للقوى ، وعدم وجود دفع جانبي على الدليل عند التأثير بقوة محورية .

Quick-Return Mechanism

7-2- تركيبات الحركة سريعة الارتداد

تستعمل هذه التركيبات في بعض آلات التشغيل كالمقاشط والمناشير الآلية ، وكذلك في الكثير من العمليات التكنولوجية المتكررة ، مثل دفع أجزاء ما على امتداد خط التجميع ، وتثبيت قطعتين معدنيتين مع بعض ريشما يتم لحامهما ، أو ثني علب الكرتون في آلات الرزم والتعبئة الآلية .

في مثل هذه العمليات المتكررة تكون التركيبية الآلية عادة خلال جزء من دورة العمل تحت الحمل ، وهذا يدعى وفق عمل التركيبية بشوط التقدم ، شوط العمل أو شوط التشغيل ، وفي الجزء الآخر من دورة العمل الذي يسمى شوط العودة ، الرجوع أو الارتداد فلا تبذل التركيبية الآلية عملاً ؛ ولكن تعود ببساطة لتكرار العملية .

ففي آلات التشغيل مثلاً تعطى عدة القطع حركة بطيئة خلال شوط التشغيل ، وحركة سريعة خلال شوط الارتداد بينما يدور المرفق القائد بسرعة زاوية ثابتة . إن نسبة الزمن اللازم لشوط التشغيل إلى زمن شوط الارتداد تسمى النسبة الزمنية (*Carnal ratio*) ، ويرمز لها بـ C_R :

$$C_R = \frac{\text{زمن شوط التشغيل}}{\text{زمن شوط الارتداد}} \quad (5-2)$$

ويجب أن تكون قيمة C_R أكبر من الواحد لكي يتحقق الغرض المطلوب من الآلية ؛ ولذلك فإن جميع الآليات التي تعطي قيمة لـ C_R أكبر من الواحد تدعى آليات الرجوع السريع .

بما أن المرفق يدور بسرعة منتظمة ، فمن السهل تعيين النسبة الزمنية ، حيث نعين أولاً الأوضاع الحدية للمرفق - كما في (الشكل-2-10) - التي تحدد بداية شوط العمل ونهايته ، بعد ذلك ومع الأخذ بالحسبان اتجاه دوران المرفق ، نقيس زاوية المرفق α المقطوعة خلال شوط العمل ، وتكون الزاوية المتبقية β هي زاوية المرفق خلال شوط الرجوع .

إذا كان τ هو دور مرفق المحرك ينتج أن:

$$(a/2p)t = \text{زمن شوط العمل} \quad (6-2)$$

$$(b/2p)t = \text{زمن شوط الرجوع} \quad (7-2)$$

بتعويض العلاقتين (6-2) و (7-2) في العلاقة (5-2) نحصل على:

$$C_R = \frac{a}{b} \quad (8-2)$$

ومن الملاحظ أن النسبة الزمنية لا تتعلق بمقدار العمل المبذول أو سرعة المرفق القائد فهي خاصية حركية للتركيبة الآلية ذاتها ، ويمكن تعيينها من الأبعاد الهندسية لها ، ويلاحظ أيضاً من ناحية أخرى أنه يوجد اتجاه مناسب ، واتجاه غير مناسب لدوران مثل هذه التركيبات .

فإذا دار المرفق باتجاه دوران عقارب الساعة في التركيبة المبينة في (الشكل-2-10) ، فإن أدوار الزوايا α و β تتعكس ، وتصبح النسبة الزمنية أقل من الواحد ؛ بالتالي يجب أن يدور المرفق باتجاه معاكس لدوران عقارب الساعة في هذا المثال لكي نحصل على خاصية الرجوع السريع .

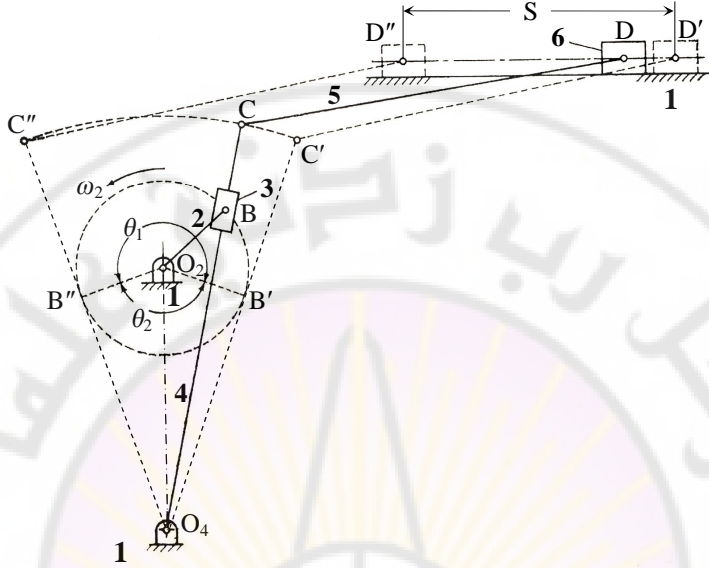
يوجد أنواع كثيرة من الآليات تتمتع بهذه الخاصية ، ولكل نوع طريقة مختلفة لإيجاد نسبته الزمنية ، ولكن العلاقة (8-2) تسري في الحالات كلها ، واستخدام التركيبات التي تحوي أكثر من 4 وصلات ، تتيح مجالاً أوسع في قيمة النسبة الزمنية ؛ إضافة إلى إمكانية التحكم في مقدار الشوط الكلي حسب اللزوم .

سندرس فيما يلي أهم التركيبات المطبقة عملياً في توليد الحركة سريعة الارتداد .

1-7-2- تركيبة المرفق والذراع المشقوق *Crank Shaper Mechanism*

هي تركيبة تنتج استناداً إلى متحول التركيبة الأساسية للمنزلة والمرفق الناتج من تثبيت ذراع التوصيل .

يبين (الشكل-2-19) المخطط الحركي لهذه التركيبة ، حيث يدور المرفق 2 بسرعة زاوية منتظمة باتجاه عكس دوران عقارب الساعة ؛ مما يؤدي إلى تأرجح الوصلة المشقوقة 4 ؛ وبالتالي انتقال الحركة إلى المنزلقة 6 عبر الوصلة 5 ، وتتحرك المنزلقة في هذه الحالة ببطء نحو اليسار ثم تعود وترتد بسرعة نحو اليمين ، حيث النسبة الزمنية تساوي إلى $(C_R = q_1 / q_2)$ والشوط S .



المخطط الحركي لتركيبية المرفق والذراع المشقوق (Crank Shaper Mechanism) .
(الشكل 2-19)

يلاحظ من الشكل أن الشوط يساوي طول الوتر $C'C''$ ؛ إذ إن المنزلقة التي تحمل عدة القطع مقيدة بالحركة على مسار عمودي على امتداد الخط O_2O_4 ؛ وبالتالي يمكن البرهان بسهولة أن:

$$S = 2 O_4C \frac{O_2B}{O_2O_4}$$

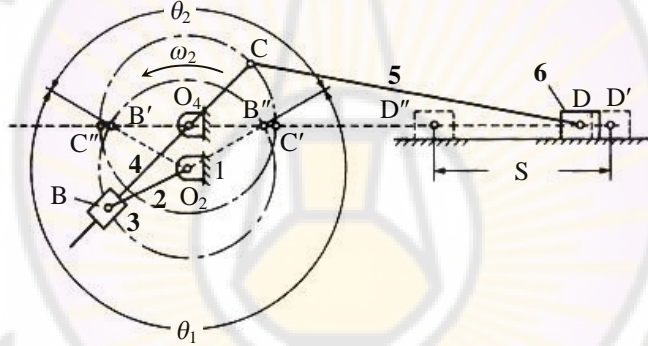
يمكن إذن تغيير الشوط من خلال تعديل هذه الأبعاد ، إلا أنه في التطبيقات العملية يتم ذلك عادة بتعديل طول المرفق O_2B عن طريق تغيير وضع الوتر B . يجب الانتباه إلى أن تغيير طول المرفق يؤدي إلى تغيير النسبة الزمنية عند المحافظة على بقية الأبعاد الثابتة ، كما أن تصغير المرفق ينتج منه نقصان الشوط ، لكن زيادة الزاوية θ_2 ؛ وبالتالي انخفاض قيمة النسبة الزمنية ، والعكس بالعكس ؛ لذلك فإنه يفضل استعمال هذه التركيبية في الحالات التي تستلزم شوطاً طويلاً نسبياً كالمقاشط الأفقية مثلاً .

Whitworth Mechanism

2-7-2- تركيبة ويت وورث

هي تركيبة تنتج استناداً إلى متحول التركيب الأساسية للمنزلة والمرفق الناتج من تثبيت المرفق ؛ وبالتالي فهي تشابه تركيبة المرفق والذراع المشقوق مع جعل المسافة بين المركزين الثابتين O_2 و O_4 أقل من طول المرفق O_2B ؛ مما يؤدي إلى دوران كلتا الوصلتين 2 و 4 دوراناً كاملاً .

يبين (الشكل-2-20) المخطط الحركي لهذه التركيب ، حيث يدور المرفق القائد 2 بسرعة زاوية ثابتة عكس اتجاه دوران عقارب الساعة ؛ بالتالي فإن الوصلة المشقوقة 4 تدور بسرعة زاوية متغيرة بالاتجاه نفسه ، بينما تتحرك المنزلقة 6 ببطء نحو اليسار ثم تعود وترتد بسرعة نحو اليمين .



(الشكل-2-20) المخطط الحركي لتركيب ويت وورث (Whitworth Mechanism) .

يحدد شوط حركة المنزلقة بالوضعين C' و C'' ؛ أي عندما تصبح الوصلتان على استقامة واحدة ، وبالتالي فإن طول الشوط هو :

$$S = 2 O_4 C$$

أي إن طول الشوط لا يتعلق بطول المرفق القائد ، ويمكن تغييره فقط من خلال تغيير وضع الوتد C بالنسبة للمركز الثابت O_4 .

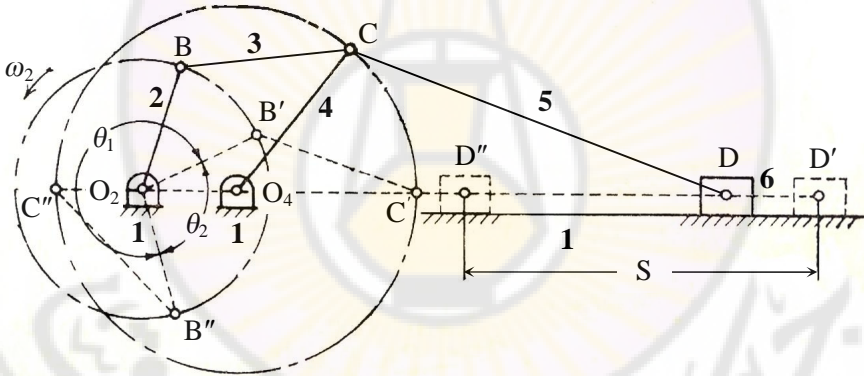
أما النسبة الزمنية فتساوي $(C_R = q_1 / q_2)$ ، فهي لا تتأثر بطول الشوط بخلاف ما يبناه في تركيبة المرفق والذراع المشقوق ؛ لذلك فإن هذه التركيب هي أكثر ملاءمة للمقاشط الرأسية المستعملة في قطع الأخاديد ؛ إذ إن الشوط المطلوب في هذه الحالات يكون عادةً قصيراً نسبياً .

Drag-Link Mechanism

3-7-2- تركيبية السحب أو الجر

هي تركيبية تعتمد في مبدئها على التركيبية رباعية القضبان عندما تكون الوصلة الثابتة هي أقصر الوصلات ، بشرط أن تحقق أطوال وصلاتها المتراجحتين (3-2) اللتين سبق ذكرهما .

يبين (الشكل-21-2) المخطط الحركي لهذه التركيبية ، حيث يدور المرفق القائد 2 بسرعة زاوية ثابتة عكس اتجاه دوران عقارب الساعة ، وتنتقل الحركة عبر وصلة السحب 3 إلى الوصلة 4 التي تدور بالاتجاه نفسه ، لكن بسرعة زاوية متغيرة ، لتحرك المنزلقة عبر الوصلة 5 ببطء نحو اليسار خلال شوط التشغيل ، ومن ثم تعود وترتد بسرعة نحو اليمين .



(الشكل-21-2) المخطط الحركي لتركيبية السحب أو الجر (Drag-Link) .

يحدد شوط حركة المنزلقة بالوضعين بدلالة طول الوصلة 4 ، حيث:

$$S = 2 O_4 C$$

أما النسبة الزمنية فتساوي $(C_R = q_1 / q_2)$ ، وتكون في أغلب الحالات بحدود 2 : 1 ، كما أن حركة المنزلقة خلال معظم شوط القطع هي حركة منتظمة تقريباً ، وتستعمل هذه التركيبية في المقاشط الصغيرة ؛ وبخاصة آلات تشكيل مجاري الخوابير .

Intermittent-Motion Mechanisms

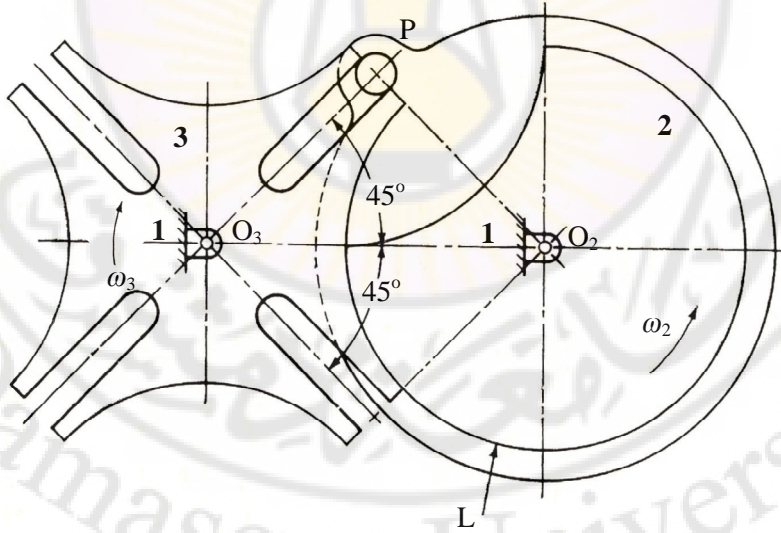
8-2- تركيبات الحركة المتقطعة

هي تركيبات آلية تحول الحركة المستمرة إلى حركة متقطعة ، وتستخدم بشكل عام في آلات التشغيل لوضع القطع المراد تشغيلها أمام عدة القطع ، أو في إجراء عمليات التعليم أو التقسيم أو التفريز .

Geneva Wheel Mechanism

8-2-1- تركيبية دولاب جينيفا

يبين (الشكل-2-22) المخطط الحركي لهذه التركيبة المفيدة جداً في توليد حركة متقطعة ، حيث الدولاب القائد 2 يحوي مسماراً P يعشق بالشقوق المفتوحة في الدولاب المقود 3 . إذا دار الدولاب 2 بسرعة زاوية منتظمة حول محوره ، فإن حركة المسمار في الشق تعمل على دوران الدولاب 3 بسرعة زاوية متغيرة حتى لحظة خروج المسمار من هذا الشق . يبقى الدولاب المقود بعد ذلك متوقفاً ، بينما يتابع الدولاب القائد دورانه حتى يعشق المسمار في الشق الثاني ، وتكرر الحركة المتقطعة .



المخطط الحركي لتركيبة دولاب جينيفا (Geneva Wheel Mechanism) .

(الشكل-2-22)

توضع الشقوق بحيث يدخل المسمار إليها ، ويخرج منها مماسياً ؛ أي تكون الزاوية O_2PO_3 عندئذ قائمة ، وهذا يعطي هذه الآلية ميزة التقطيع أو التقسيم دون حمل صدم عملياً ؛ لذا فهي تستعمل بشكل واسع في الآلات عالية السرعة ؛ إضافة إلى الآلات ذات السرعة المنخفضة .

في الحالة المبينة في (الشكل-2-22) يحوي الدولاب المقود أربعة شقوق ؛ وبالتالي فإنه يدور ربع دورة لكل دورة كاملة يؤديها الدولاب القائد 2 ، إلا أنه يمكن تصميم آليات مشابهة ذات نسب تقطيع مختلفة تبعاً لعدد الشقوق التي توزع بانتظام على محيط الدولاب . فإذا كان عدد الشقوق N فإن نسبة التقطيع تساوي $1/N$ ، وتكون الزاوية بين محوري كل شقين متتاليين $360/N$.

يبين الشكل وضع الآلية لحظة دخول المسمار في أحد الشقوق ، حيث يدور الدولاب القائد بسرعة زاوية ثابتة ω_2 عكس اتجاه دوران عقارب الساعة . ينتج من ذلك أن يبدأ الدولاب 3 بالدوران باتجاه دوران عقارب الساعة بسرعة زاوية متغيرة ω_3 ، تزداد قيمة هذه السرعة من صفر في الوضع المبين ، حتى قيمة عظمى عندما يصبح المسمار على الخط بين المركزين O_2O_3 ، ثم تتناقص حتى تعود إلى الصفر عند خروج المسمار من الشق . يؤدي هذا التغير في السرعة إلى ظهور تسارع زاوي وبالتالي قوى عطالة ، يجب أخذها في الحسبان عند التصميم منعاً لتآكل جانبي الشقوق بسرعة . يتم ذلك عادةً بواسطة تعديل مسار المسمار بشكل يخفف من قيم التسارع الزاوي الناتج . مثال ذلك الاستعاضة عن الدولاب القائد بتركيبة رباعية القضبان ، حيث يوضع المسمار على الوصلة القارئة فيها ؛ وبالتالي يكون مسار حركته منحنياً مغلقاً .

إن لوحة الإحكام L المثبتة إلى الدولاب القائد تمنع الوصلة المقودة من الدوران خارج فترة التقسيم ، ويتم ذلك بجعل هذه اللوحة تتزاح بتوافق دقيق مع الوصلة المقودة ، كما في الشكل ، مع قطع تجويف فيها يحصر زاوية تساوي ضعف الزاوية O_3O_2P ليسمح بدوران الدولاب 3 خلال فترة العمل .

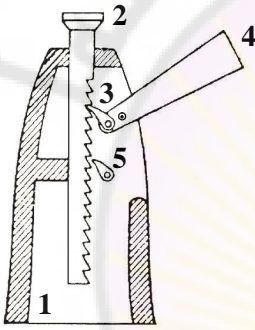
إذا أغلق أحد شقوق الدولاب 3 ، فإنه يمكن للدولاب 2 أن يدور عدداً محدوداً من الدورات قبل أن يصدم المسمار P هذا الشق المغلق ، وعندئذ تتوقف الحركة . يسمى هذا التعديل آلية إيقاف جينيفا ، ويستعمل في الساعات وما شابهها لمنع اللف الزائد للنوابض .

2-8-2- تركيبية السقاطة

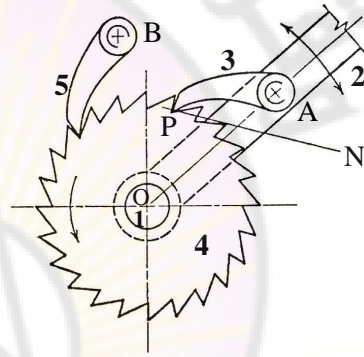
Ratchet Mechanism

وهي تركيبات تستعمل في تحويل حركة انسحابية أو تأرجحية إلى حركة متقطعة دورانية أو انسحابية .

تبين التركيبية a في (الشكل-2-23) آلية مرفاع السيارة ، حيث يمكننا بتخفيض الوصلة 4 تعشيق اللسين 3 مع السن على الوصلة 2 ؛ مما يؤدي إلى رفع هذه الوصلة بشكل متقطع ، وأما لسين الإيقاف 5 ، فإنه يمنع الحركة العكسية للوصلة 2 خلال فترة التعشيق .



a- تركيبية آلية مرفاع السيارة .



b- تركيبية آلية حركة متقطعة .

(الشكل-2-23)

أما التركيبية b في (الشكل-2-23) ، فإنه يبين نوعاً آخر يؤدي فيها تأرجح الذراع 2 الذي يحمل اللسين القائد 3 إلى حدوث حركة دورانية متقطعة للدولاب 4 باتجاه عكس دوران عقارب الساعة ، وإن لسين الإيقاف 5 يمنع الحركة العكسية للدولاب خلال فترة التعشيق .

إن الناظم المشترك أو خط العمل PN للسين القائد والسن ، يجب أن يمر بين المركزين A , O ، كما هو مبين في b في (الشكل-2-23) ؛ لكي يحافظ على التماس بين اللسين والسن ، كما أن خط العمل للسين الإيقاف والسن يجب أن يمر بين المركزين B , O .

تصمم تركيبات السقاطة بأشكال متنوعة لتناسب التطبيقات العملية الكثيرة ، إذ نجدها في آلات الرفع ، وآليات التغذية والإيقاف في آلات التشغيل ، ووسائط التغذية في السيور الناقلة وأجهزة القياس وغيرها .

9-2- تركيبات آلية ذات تطبيقات خاصة

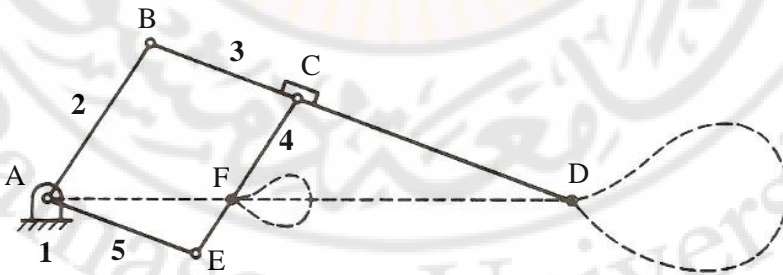
من الجدير بالاهتمام إعطاء لمحة عن مميزات بعض التركيبات المستخدمة بشكل عام قبل البدء بتحليل الآليات وتركيبها . يلزم عملياً في أثناء تصميم آلة ما جمع تركيبات بسيطة وأجزاء من آلات أخرى للحصول على العلاقة المطلوبة بين الدخل والخرج . وعلى المصمم أن يكون على دراية بمختلف أشكال الآليات والتركيبات المستخدمة عموماً ، وكذلك أجزاء الآلات المتاحة للاستخدام . عندها يمكن للمصمم القيام بتجميع بعضها للحصول على أفضل النتائج ، ويتم الحصول على هذه المعرفة لمختلف أنواع الآليات المستخدمة من خلال الاطلاع على كتب تصميم الآلات والآليات .

Pantograph Mechanism

1-9-2- آلية المنساح

تُعد آلية المنساح أو البانتوغراف التركيبية الأساسية في مجموعة التركيبات الآلية الناسخة التي تستعمل في الحصول على حركة موازية لحركة معينة ، ويستخدم في نسخ الأشكال بمقياس مصغر أو مكبر .

يبين (الشكل-24-2) المخطط الحركي لآلية المنساح ، حيث تشكل الوصلات 1, 2, 3, 4, 5 متوازي أضلاع والازدواج فيما بينها دورانية . أحدها ازدواج مضاعف يربط الوصلات الثلاث 1, 2, 5 .



المخطط الحركي لآلية المنساح - البانتوغراف (Pantograph Mechanism) .
(الشكل-24-2)

تمدد الوصلة 3 بحيث تحوي النقطة D ، بينما تمثل F نقطة تقاطع الخطين AD و CE . إذا ما تحركت النقطة D على مسار معين فإن النقطة F ترسم مساراً بمقياس مصغر ، كما يمكن أن يتم العكس عند تحريك F على المسار ، فترسم D مساراً مماثلاً بمقياس مكبر .

يلاحظ أن الشرط اللازم لتكون حركتا النقطتين D و F متوازيتين هو :

$$AD / AF = \text{const.}$$

ويمكن لهذه التركيبة تحقيق ذلك ، إذ إنه للأوضاع كافة لدينا من تشابه المثلثين ABD و FCD :

$$AD / FD = BD / CD = \text{const.} \quad (9-2)$$

ومن تشابه المثلثين AEF و DCF :

$$AF / FD = AE / CD = \text{const.} \quad (10-2)$$

ومنه بقسمة العلاقتين (9-2) و (10-2) ينتج:

$$AD / AF = BD / AE = \text{const.}$$

إذن يمكن اختيار أطوال مناسبة AE و BD للحصول على مقياس تكبير أو تصغير مطلوب حيث:

$$\frac{AD}{AF} = \frac{\text{مقياس المسار عند D}}{\text{مقياس المسار عند F}} \quad (11-2)$$

بينما تحدد أطوال بقية الوصلات مجال عمل تركيبة المنساخ .

يستخدم المنساخ في مجالات عدة منها: تكبير أو تصغير المصورات ، أو كدليل على عدد القطع في الآلات لنسخ الأشكال المعقدة ، كما يعد التركيبة الأساسية في تصميم راسم منحنى المحرك . قد يكون المخطط الحركي في بعض الحالات التطبيقية مختلفاً عما هو عليه في (الشكل-2-24) ، لكن يبقى التحليل الحركي المذكور هو الأساس في الدراسة .

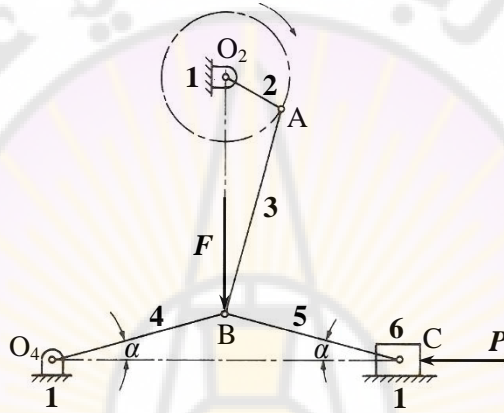
تجدر الإشارة إلى أن التركيبات الناسخة هي - بوجه عام - ذات درجتي طلاقة استناداً إلى عدد وصلاتها وازدواجاتها ، إلا أنها تصبح عند استعمالها في نسخ مسار معين ، ذات درجة طلاقة واحدة بسبب تقييد نقطة من أحد وصلاتها بالحركة على هذا المسار .

2-9-2- الآلية الركببة

Toggle Mechanism

تستخدم الآلية الركببة أو المفصلية عندما يكون المطلوب التغلب على مقاومة كبيرة P لمسافة قصيرة نتيجة تطبيق عزم صغير نسبياً على المرفق .

يبين (الشكل-2-25) المخطط الحركي للآلية الركببة ، حيث الوصلتان 4 و 5 متساويتان بالطول وتميل كل منهما بزاوية α على مسار المنزلقة C .



(الشكل-2-25) المخطط الحركي للآلية الركببة (Toggle Mechanism) .

ينتج من تطبيق عزم دوران على المرفق 2 قوة تنتقل عبر الوصلة 3 إلى المفصل المضاعف B . إذا كانت المركبة العمودية لهذه القوة هي F ، فإن القوة المنتقلة على طول الوصلة 5 إلى المنزلقة تساوي $(F/2 \sin \alpha)$ ؛ وبالتالي فإن تحليل القوى المؤثرة في المنزلقة عندما تصبح الزاوية α صغيرة يعطي العلاقة:

$$P = (F / 2) \tan \alpha$$

أي إنه عندما تتناقص الزاوية α تقترب الوصلتان 4 و 5 كونهما على استقامة واحدة ، فإننا نحصل لقيمة معينة للمركبة F ، على قيمة متزايدة بسرعة للقوة المقاومة P .

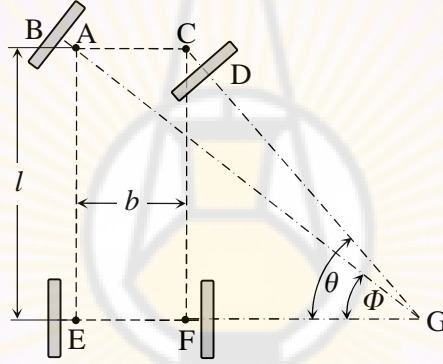
إن لهذه الآلية تطبيقات عملية كثيرة إذ نجدها في المماسك المفصلية ، وآلات التبشيم ، ومكابس التخريم ، وكسارات الصخور .

Car Steering Mechanisms

10-2- تركيبات توجيه السيارة

إن تركيبات التوجيه أو القيادة في السيارة تقوم عادة بتغيير اتجاه محوري العجلتين الأماميتين بالنسبة للهيكل ، بينما يبقى المحور المشترك للعجلتين الخلفيتين ثابتاً في الاتجاه .

يشترط في مثل هذه التركيبات الآلية أن تكون حركة العجلات بالنسبة للأرض حركة تدحرج صرف ، أي دون انزلاق بين الإطارات والطريق في أثناء تحرك السيارة على منح . لتحقيق هذا الشرط ، يجب أن تتحرك العجلتان الأماميتان على مسارين دائريين متحدي المركز في G على امتداد المحور الخلفي المشترك ، كما يجب أن يدور محور العجلة الداخلية بالنسبة لمنحني الدوران ، زاوية θ أكبر من الزاوية Φ التي يدورها محور العجلة الخارجية . يوضح (الشكل-2-26) تخطيطاً لمبدأ عمل هذه التركيبات الآلية .



(الشكل-2-26) تركيبات التوجيه في السيارة .

نلاحظ من الشكل أن:

$$\cot q = GF/FC , \quad \cot f = GE/EA = GE/FC$$

ومنه:

$$\cot f - \cot q = (GE - GF)/FC = EF/FC$$

أي:

$$\cot f - \cot q = b/l \quad (12-2)$$

وبالتالي فإن آلية التوجيه يجب أن تحقق العلاقة (12-2) ؛ لضمان توجيه صحيح

دون انزلاق العجلات مهما كان نصف قطر المسار المنحني الذي تتحرك عليه السيارة ، وسيتم فيما يلي شرح آليتين مختلفتين من حيث التصميم والأداء .

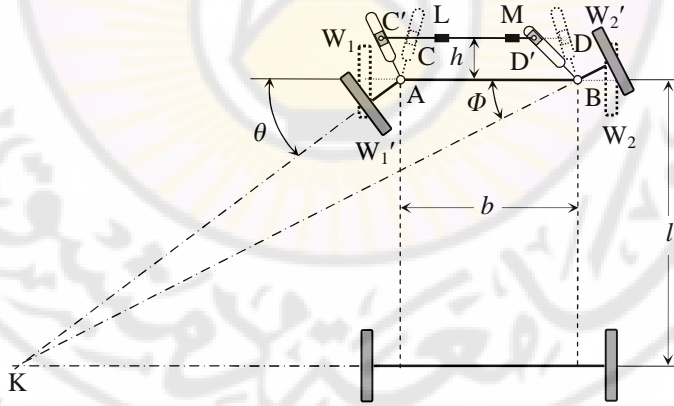
Davis Mechanism

1-10-2- تركيبة ديفيس

هي تصميم لتركيبية آلية تؤدي حركة توجيه صحيحة تحقق شرط اتحاد مركز مساري الدوران المذكور أعلاه .

يبين (الشكل-2-27) المخطط الحركي لهذه الآلية ، حيث إن كلاً من الذراعين المشقوقين AC و BD يشكل مع كل من محوري العجلتين الأماميتين W_1 و W_2 رافعة مرفقية متمفصلة عند A و B على التوالي ، وبحيث إن الزاويتين W_1AC و W_2BD متساويتان . إن الوصلة CD توازي AB ومقيدة الحركة طولياً بالمنزلقتين عند L و M ، بينما تتصل نهايتها بالذراعين AC و BD عبر ازدواج دوراني ، وآخر انزلاقي عند كل من نهايتها ، وتتحرك السيارة على مسار مستقيم عندما تكون العجلتان الأماميتان في وضعهما الوسطي المبين بالخطوط المنقطعة ، بحيث إن الرباعي ABDC يشكل شبه منحرف متساوي الساقين فيه:

$$CAB = DBA = a$$



(الشكل-2-27) تركيبة ديفيس (Davis Mechanism) لتوجيه السيارة .

يتم توجيه السيارة بتحريك الوصلة CD إلى يمين الوضع الوسطي أو يساره المبين بالخطوط المنقطعة ، ويبين الشكل الوضع CD' لدوران نحو اليسار مما يؤدي إلى دوران المحور W₁ بالزاوية θ ، ودوران المحور W₂ بالزاوية Φ ، حيث يمكن كتابة العلاقتين الآتيتين:

$$D'D = x = h \cdot \cot(a - f) - h \cdot \cot a \quad (13-2)$$

$$C'C = x = h \cdot \cot a - h \cdot \cot(a + q) \quad (14-2)$$

باستعمال العلاقات المثلثية والاختصار ينتج من (13-2) أن:

$$\cot f = \frac{1}{\sin^2 a} \left(\frac{h}{x} + \sin a \cdot \cos a \right) \quad (15-2)$$

وكذلك ينتج من (14-2) أن:

$$\cot q = \frac{1}{\sin^2 a} \left(\frac{h}{x} - \sin a \cdot \cos a \right) \quad (16-2)$$

ومنه:

$$\cot f - \cot q = 2 \cot a \quad (17-2)$$

بمقارنة (17-2) مع (12-2) ينتج أنه لكي تؤدي هذه الآلية توجيهاً صحيحاً في أوضاعها كافة ، يجب أن تتحقق العلاقة:

$$\cot a = b / 2l \quad (18-2)$$

أي إنه يجب عند الوضع الوسطي أن يتقاطع الذراعان AC , BD في نقطة تقع على بعد يساوي h أمام الوصلة AB . يمكن تحقيق ذلك باختيار مناسب للأبعاد الوصلات وزواياها التي تتألف منها هذه الآلية .

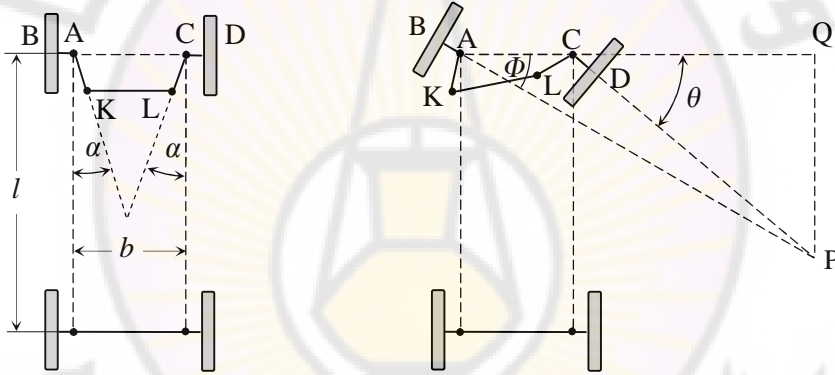
رغم أن هذه الآلية صحيحة التوجيه نظرياً ، إلا أن وجود عدة ازدواجات منزلقة في تصميم هذه الآلية يؤدي إلى تآكل سطوح التماس بسرعة ؛ وبالتالي إلى انهيار سريع لدقة أدائها مما يجعلها غير صحيحة عملياً ، ويحد من تطبيقاتها العملية .

2-10-2- تركيبة آكرمان

Ackerman Mechanism

هذه الآلية أبسط كثيراً من حيث التصميم من الآلية السابقة إذ تتكون فقط من ازدواجات دورانية .

يبين (الشكل-2-28) المخطط الحركي لهذه التركيبة الآلية ، حيث AKLC سلسلة رباعية الوصلات فيها ($AK = CL$) ، بينما الوصلتان AC و KL متوازيتان في الوضع الوسطي للآلية ، أي عندما تتحرك السيارة على مسار مستقيم . تشكل كل من الوصلتين AK و CL مع كل من محوري العجلتين الأماميتين وصلة مرفقية ، كما في آلية ديفيس ، وتميل كل منهما بزاوية α بالنسبة للمحور الطولي للسيارة .



(الشكل-2-28) تركيبة آكرمان (Ackerman Mechanism) لتوجيه السيارة .

تختلف هذه التركيبة عن سابقتها بأنها لا تحقق شرط التوجيه الصحيح إلا في وضعين فقط ؛ إضافة إلى الحركة على مسار مستقيم ، إذ يمكن برسم الآلية في عدة أوضاع دوران نحو اليمين أن نلاحظ وجود قيمة واحدة للزاوية θ تحقق شرط التوجيه الصحيح دون انزلاق ، أي تقاطع محوري العجلتين الأماميتين AB ، CD في نقطة تقع على امتداد المحور المشترك للعجلتين الخلفيتين ، كذلك الأمر عند الدوران نحو اليسار ينتج وضع واحد للزاوية θ نفسها لكن في الجهة المناظرة بالنسبة للمحور الطولي للسيارة . أما في بقية الأوضاع ، فإن مركز دوران العجلتين الأماميتين P سيكون خارج امتداد هذا المحور ، كما هو مبين في (الشكل-2-28) ، ولن تحقق عندئذ الزاويتان θ و Φ العلاقة (2-12) التي تحدد شرط التوجيه الصحيح .

يمكن توضيح ذلك بفرض تركيبة آلية معينة فيها:

$$AC / AK = 8.5 \quad , \quad b/l = 0.4 \quad , \quad a = 18^\circ$$

حيث هذه القيم تساوي تقريباً تلك المعتمدة في أغلب التطبيقات العملية .

يمكن بالتحليل الرياضي أو بالرسم التخطيطي للتركيبة عند أوضاع مختلفة للزاوية

θ تعيين قيم الزاوية Φ الموافقة ، وتنظيم الجدول الآتي:

θ	10°	20°	30°	40°
Φ	$9^\circ 25'$	$17^\circ 43'$	$24^\circ 49'$	$30^\circ 34'$
$\cot f - \cot q$	0.356	0.383	0.431	0.501
Φ_c	$9^\circ 21'$	$17^\circ 38'$	$25^\circ 8'$	$32^\circ 8'$

حيث:

$$\cot f - \cot q = AC / QP$$

أما Φ_c فهي تساوي قيمة Φ اللازمة للتوجيه الصحيح وفق العلاقة (12-2).

نستنتج من هذا الجدول:

- عندما تكون الزاوية θ صغيرة ، فإن الخطأ في قيم الزاوية Φ صغير جداً ، ويمكن إهماله .
- عندما تكون الزاوية θ كبيرة ، فإن الخطأ كبير نسبياً ، مما يؤدي إلى انزلاق بين الإطارات والطريق ، لكن في هذه الحالة من الضروري عادة تخفيف سرعة السيارة ؛ وبالتالي فإن الضرر الناتج من هذا الانزلاق يكون قليلاً ، ولن يؤثر كثيراً في تآكل الإطارات .
- إن هناك قيمة واحدة لـ $(\theta = 24^\circ)$ تتحقق عندها العلاقة (12-2)، أي في المثال أعلاه:

$$\cot f - \cot q = b/l = 0.4$$

نلاحظ أخيراً أننا نحصل على أحسن النتائج فيما لو كانت نقطة تقاطع الضلعين AK و CL في الوضع الوسطي (مسار مستقيم) تقع على مسافة من AC تساوي تقريباً 0.7 l ، كما وأن زيادة هذه المسافة تزيد من قيمة θ التي تعطي توجيهاً صحيحاً دون انزلاق .

لا بد من الإشارة إلى أن هذه الآلية تخضع من الناحية التطبيقية إلى بعض التعديلات بما يلائم المؤثرات المختلفة في التوجيه كالسرعة ، ونوع الإطارات ، وكيفية توزيع وزن السيارة ، ونوع آلية التعليق ، وغيرها .

11-2- تركيبة المنظم

Governor Mechanism

يعرف المنظم بأنه وسيلة تنظيم آلي للقدرة الناتجة من آلة بما يلائم تغيرات الحمل أو العزم المقاوم المطبق عليها . يعدّ المنظم حركياً تركيبة مرفقية بين وصلاتها ازدواجات دورانية وانزلاقية يختلف عددها بحسب نوع المنظم . إذا كان الحمل ثابتاً فمن البديهي أن السرعة الوسطية للآلة تبقى ثابتة ، بينما في حال تغير الحمل ، فإن هذه السرعة ستتغير إلا إذا تم تعديل القدرة الناتجة من الآلة بما يناسب التغير الحاصل في الحمل . يقوم المنظم بإجراء هذا التعديل في القدرة آلياً من خلال تحسس تغير السرعة الوسطية . يسبب هذا التغير في السرعة تغيراً موافقاً في الأوضاع النسبية لوصلات المنظم ؛ مما يؤدي إلى انتقال حركة محددة إلى نظام التحكم الذي يعدل القدرة المبذولة في الآلة ؛ وبالتالي القدرة الناتجة منها ، بما يناسب الحمل المؤثر فيها .

يلاحظ من ذلك أنه من الضروري أن يتم التغير في السرعة قبل إمكان إجراء التعديل الآلي اللازم في القدرة ؛ مما ينتج منه أن السرعة الوسطية ستجنح إلى الزيادة أو النقصان تبعاً لنقصان الحمل أو زيادته ؛ لذا يجب تصميم تركيبة المنظم بحيث يكون التغير في السرعة الوسطية أصغر ما يمكن ؛ إضافة إلى ذلك فإنه لا بد أيضاً من حدوث تأخر في استجابة تغير القدرة الناتجة من الآلة بالنسبة للتغير الحاصل في الحمل .

تجدر الإشارة إلى ضرورة التمييز بين وظيفة كل من المنظم والحذافة حيث يتحكم المنظم في السرعة الوسطية لعمود الدوران ، بينما تتحكم الحذافة في التراوح الدوري للسرعة خلال كل دورة عمل ، كما سنبين لاحقاً في الفصل الخامس . كما أن عمل المنظم يتم بشكل متقطع بينما تؤدي الحذافة عملها بشكل مستمر .

تصنف المنظمات - بشكل عام - حسب مبدأ عملها في نوعين:

1- منظمات بالطرد المركزي .

2- منظمات بالقصور الذاتي .

سنبين فيما يأتي بعضاً من النماذج التطبيقية لكل من هذين النوعين .

Centrifugal Governors

1-11-2- منظمات بالطرد المركزي

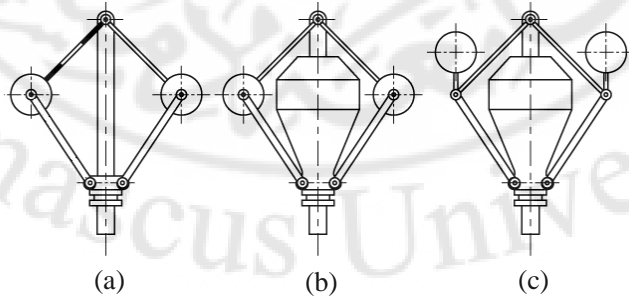
يعمل هذا النوع بتأثير موازنة القوى النابذة الناتجة من دوران كرتين أو أكثر حول محور المنظم ؛ لذا غالباً ما تسمى بـ المنظمات النابذة . يتصل محور المنظم عادة بعمود دوران المحرك المراد تنظيم سرعته بوساطة جملة مسننات ملائمة ، بينما تتصل كرات المنظم - عبر وصلات مناسبة - بمحور المنظم من جهة ، وبجلبة منزلقة من جهة أخرى ، بحيث تدور الكرات في مستو عمودي على المحور .

يتغير نصف قطر دوران الكرات حول المحور وفقاً لتغيرات سرعة المحرك ؛ مما ينتج منه انزلاق الجلبة بالنسبة للمحور بحركة تحدد قيمة واتجاهاً من المعطيات التصميمية للمنظم . تؤثر حركة هذه الجلبة في الأوضاع النسبية لوصلات تركيبية آلية بحيث تعدل القدرة المبذولة في المحرك بما يناسب الحمل المؤثرة فيه .

رغم أن هذه المنظمات تشترك مبدئياً في مفهوم عملها تحت تأثير تغير سرعة الدوران ، إلا أنها تختلف من حيث الوسيلة المستخدمة في موازنة القوى النابذة المؤثرة في الكرات إذ يمكن تقسيمها وفقاً لذلك إلى ثلاثة أنواع:

1. منظمات محملة بحمل ميت Gravity-Controlled Governors

وتسمى أحياناً بـ المنظمات ثقالية التحكم . يبين (الشكل-2-29) ثلاثة نماذج تخطيطية لهذا النوع حيث تتم موازنة القوة النابذة تحت تأثير القوى الناتجة في وصلات المنظم ، نتيجة وزن الجلبة المنزلقة ، وما يتصل بها من أحمال ميتة .



منظم برويل (Proell) ، منظم بورتر (Porter) ، منظم وات (Watt)

(الشكل-2-29) منظمات محملة بحمل ميت .

يمثل النموذج a من (الشكل-2-29) المنظم البدائي الذي استعمله وات (Watt) للتحكم بالآلات البخارية ورغم أنه قد أهمل عملياً إلا أن هذا المنظم يعد أساساً لتصميم الكثير من المنظمات ، حيث الكرات متصلة من الأعلى بذراعين متمفصلين مع محور ، بينما من الأسفل متصلة بمنزلة أسطوانية حرة الحركة على المحور .

يمكن تحسين أداء منظم وات ، من حيث الحساسية ومجال سرعات الاتزان ، بزيادة وزن الجلبة لينتج منظم بورتر (Porter Governor) المبين في النموذج b من (الشكل-2-29) ، والذي يعدّ مناسباً فقط لمدى سرعات تتراوح بين (60-80 r.p.m) ، وللسرعات الأكبر من ذلك ، فإنه من الضروري إضافة كتلة إلى الجلبة لزيادة مجال السرعات لمدى محدد من نصف قطر دوران الكرتين .

أما النموذج c من (الشكل-2-29) فإنه يمثل منظم برويل (Proell Governor) الذي يختلف عن النوع السابق في وضع الكرتين حيث تتصل كل كرة بالجلبة عبر وصلة مرفقية منفرجة الزاوية . يؤدي هذا التغيير في وضع كل من الكرتين إلى تخفيض مقدار التغير اللازم في السرعة لإكساب الجلبة الأسطوانية إزاحة معينة ؛ أي تحسين الحساسية عما كانت عليه في منظم بورتر .

2. منظمات محملة بنابض Spring-Controlled Governors

يتضح من تحليل المنظمات المحملة بحمل ميت أنه لا يمكن تحقيق حساسية مقبولة إلا بزيادة قيمة الحمل الميت ؛ أي بزيادة حجم الحيز الذي يشغله المنظم . قد لا يسمح تصميم المحرك وطبيعة عمله بتوفير الحيز اللازم ؛ وخاصة في حال سرعات دوران عالية ؛ لذا يفضل استخدام النابض للحصول على القوة المنظمة اللازمة لأداء جيد للمنظم .

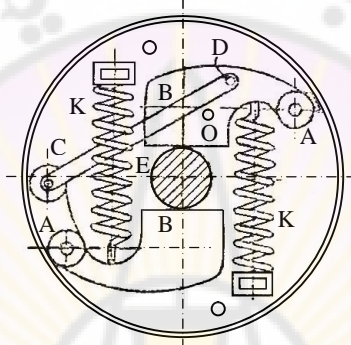
يتم التحكم بعمل المنظمات المحملة بنابض باستعمال نابض انضغاط أو شد ينظم مقدار الانتقال في الكرات الناتج عن قوى العطالة ، وعبر وصلات خاصة يتم تغيير كمية القدرة المبذولة إلى المحرك . من الواضح أن المنظمات المحملة بنابض تمتاز عن المنظمات المحملة بحمل ميت بإمكانية التحكم بسرعات الاتزان خلال عمل المنظم ؛ وبالتالي تحسين أدائها من حيث الحساسية والاستقرار وسرعة الاستجابة لتغيرات الحمل .

A schematic diagram of a mechanical system. On the left, a vertical spring is attached to a fixed support at the top and a lever arm at the bottom. The lever arm is pivoted at its right end to a fixed support. A horizontal handle is attached to the lever arm. A vertical rod passes through the center of the lever arm, with a cylindrical component at the top and a rectangular component at the bottom. A spring is attached to the lever arm and the vertical rod. The lever arm is labeled with 'H' at the handle, 'G' at the pivot, 'F' at the lever arm, and 'Q' at the spring. The vertical rod is labeled with 'E' at the top, 'S' at the pivot, 'B' at the rectangular component, 'L' at the lever arm, 'K' at the spring, and 'D' at the bottom. The spring is labeled with 'O' at the lever arm and 'O' at the vertical rod.

(الشكل-2-30) منظمات محملة بنايوس .

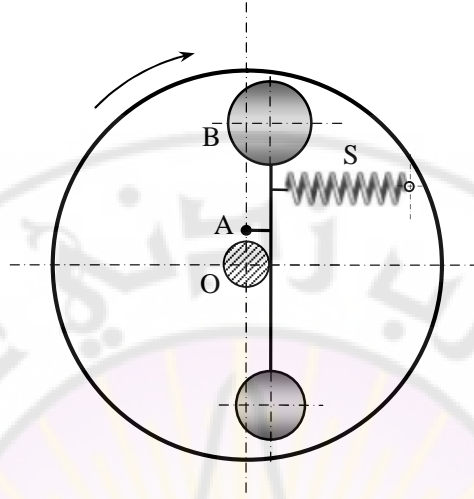
89

يلاحظ في النموذجين السابقين أن نقاط الارتكاز O للوصلات الحاملة للكرات لا تقع في مستوي دوران الكرات ؛ مما يحد أحياناً من القدرة التي يمكن للمنظم أن ينقلها إلى آلية التحكم بالآلة المراد تنظيم سرعتها . يفضل عندئذ تصميم المنظم بحيث تقع نقاط الارتكاز في مستوي دوران الكرات ، كما هو مبين في (الشكل-2-31) . يركب المنظم في هذه الحالة على عمود الدوران مباشرة ؛ وبخاصة عمود المرفق في الآلات الترددية ؛ لذا فإنه يسمى بـ المنظم النابذ المرفقي (Shaft Governor) .



(الشكل-2-31) منظم النابذ المرفقي (Shaft Governor) .

ترتكز كل من الكتلتين B إلى هيكل المنظم عند A ، وتصل بينهما عادة وصلة قارنة CD . إن الهيكل مثبت إلى عمود الدوران E ويدور معه ، وتكون نقطتا الارتكاز على محيطه الخارجي أو قريبة جداً منه . يتم التحكم بوضع الكتلتين بواسطة نابضي شد S ، تثبت نهاية كل منهما بنقطة على الهيكل ، بينما تتصل النهاية الأخرى بكل من الكتلتين . يبين (الشكل-2-31) وضع المنظم عند أصغر سرعة اتزان ، بحيث إذا ازدادت السرعة بسبب تغير الحمل على الآلة ، فإن الكتلتين تتحركان نحو المحيط الخارجي للهيكل ؛ مما يؤدي إلى انتقال الحركة إلى آلية التحكم المتصلة بالمنظم عند النقطة K ، (هذه الآلية غير مبينة بشكل) . من الواضح أن حركة الكتل أو الكرات الدوارة في أنواع المنظمات النابذة جميعها ، تنتج من تغير السرعة الذي يؤدي إلى تغير قيمة التسارع الجاذب لمراكز ثقل هذه الكتل ، ينشأ عن هذا التغير قوة نابذة باتجاه نصف قطر الدوران ، وبما أن مراكز ثقل الكتل الدوارة تتحرك تقريباً باتجاه نصف قطر الدوران خلال تغير السرعة ، فإن القوى الفاعلة في تحريك آلية التحكم هي قوى نابذة . أما تأثير مركبة التسارع المماسي الناتج من تغير السرعة ، فهو مهمل إن لم يكن معدوماً .



(الشكل-2-33) منظم عطالي (Inertia Governor) .

يبين (الشكل-2-33) تخطيطاً مبسطاً لمنظم عطالي مؤلف من وصلة صلبة ذات كتلتين B ، حيث إن مركز ثقلها قريب جداً من مركز الدوران O . تمثل A نقطة ارتكاز الوصلة على هيكل المنظم ، بينما تتصل إحدى نهايتي نابض الشد S بالوصلة الصلبة ، وتثبت نهايته الأخرى بالهيكل الدوار .

إذا تغيرت سرعة الدوران ، فإن تأثير القوة النابذة صغير بسبب كون المرنكز A قريباً جداً من O . يؤثر التسارع الزاوي لعمود الدوران في ظهور قوة عطالة بالاتجاه المماسي لمسار الكتلتين . تؤدي هذه القوة إلى تأخر الكتلتين عن اللحاق بالوضع الجديد للهيكل ؛ وبالتالي تحدث حركة نسبية بين الهيكل والوصلة B . تنتقل هذه الحركة عبر آلية التحكم لتعدل مقدار القدرة المبذولة في الآلة المراد تنظيمها تبعاً لتغير السرعة .

من الواضح أن المنظمات العطالية تمتاز عن المنظمات النابذة بسرعة الاستجابة لتغيرات الحمل ، لأن عملها يعتمد على معدل تغير سرعة الدوران عوضاً عن مقدار التغير الفعلي لهذه السرعة ، كما هو الحال في المنظمات النابذة . إلا أن هذه الميزة تعاكسها صعوبة التحقيق العملي لموازنة تامة للأجزاء المتحركة في جملة المنظم وآلية التحكم ؛ لذا يتم عند تصميمها اختيار الأوضاع والأطوال النسبية بحيث تؤمن استجابة سريعة بتأثير قوى العطالة ، إلى جانب الحفاظ على تأثير معين للقوى النابذة بما يكفي لتحقيق استقرار المنظم .

2-11-3- المفاهيم الأساسية للمنظمات Basic Concepts of Governors

لإجراء التحليل الحركي والديناميكي على تركيبة المنظم ، لا بد من تعريف بعض المفاهيم الأساسية المتعلقة بالمنظمات:

• سرعة الاتزان *Balance Velocity*

هي كل سرعة لمحور المنظم يكون عندها نصف قطر دوران الكرات ثابتاً بحيث يحقق الاتزان . ينتج من ذلك أن لكل منظم عدة سرعات اتزان تحدد مجال عمله ، وتسمى السرعة الوسطية التي يقوم المنظم بالتحكم بها بـ سرعة الاتزان الوسطية .

• الاستقرار *Stability*

يعدّ المنظم مستقراً إذا زاد نصف قطر دائرة دوران الكرة كلما زادت السرعة وبالعكس ، وإذا كان لكل سرعة دوران وضع اتزان واحد للمنظم عند إهمال الاحتكاك بين مختلف وصلاته ، أما إذا لم يتحقق هذان الشرطان ، فيعد المنظم غير مستقر .

• الحساسية *Sensitiveness*

للحفاظ على سرعة متوسطة ثابتة للمنظم بقدر الإمكان مهما كان الحمل على المحرك ، فمن الواضح أن يكون انتقال الجلبة أكبر ما يمكن ، وأن يكون التغير في سرعة الاتزان أقل ما يمكن . وبقدر ما يقل تغير السرعة الجزئي ، وهو نسبة تغير السرعة على السرعة الوسطية لانتقال معين للجلبة ، أو يكبر هذا الانتقال لتغير معين في السرعة ، بقدر ما تكون حساسية المنظم كبيرة .

هذا التعريف صحيح تماماً كون المنظم تركيبة آلية مستقلة بحد ذاتها ، أما عندما يكون متصلاً بالمحرك فيكفي أن يكون التغير في سرعة الاتزان بين الحمل الكامل وعدم التحميل أصغر ما يمكن . إن الانتقال الفعلي للجلبة غير مهم طالما يعمل على تغيير القدرة المبذولة للمحرك بالكمية المطلوبة .

لذلك تعرف الحساسية μ_s بأنها النسبة بين سرعة الاتزان الوسطية ω_{av} وفرق سرعة الاتزان العظمى ω_{max} الموافقة لحالة الحمل الكامل على المحرك ، وسرعة الاتزان الصغرى ω_{min} الموافقة لحالة اللاحمل على المحرك ، أي:

$$m_s = \frac{\omega_{av.}}{\omega_{max.} - \omega_{min.}} \quad (19-2)$$

• ثبات السرعة *Isochronism*

يقال عن منظم إنه ثابت السرعة أو وحيد السرعة ، عندما تكون سرعة الاتزان لكل أنصاف أقطار الدوران ضمن الحدود العملية للمحرك ثابتة ، ينتج عن ذلك ، بالاستناد لتعريف الحساسية السابق أن منظم وحيد السرعة عبارة عن منظم لا نهائي الحساسية . إلا أنه عديم الاستخدام عملياً لأن أي تغيير ضئيل في سرعة الاتزان ينشأ عنه انزلاق الجلبة إلى أحد وضعيها الحديين . إذ تبقى الجلبة في وضعها السفلي حتى تبلغ السرعة سرعة الاتزان ، وعندما تزداد هذه السرعة بمقدار جزئي ترتفع كرنا المنظم مباشرة إلى نصف قطرها الأعظمي محركة الجلبة إلى وضعها العلوي . ينتج من التحرك المستمر للجلبة من أخفض إلى أعلى وضع ، عدم اتزان المنظم ، إذ ما إن تنزلق الجلبة إلى أحد هذين الوضعين إلا وتكون جملة التحكم قد أثرت في قدرة المحرك بحيث تتغير سرعته ؛ مما يؤدي إلى انزلاق الجلبة إلى الوضع الحدي الآخر . تستمر هذه الحركة دون حدوث التنظيم الفعلي المطلوب للمحرك .

• القوة المنظمة *Controlling Force*

عندما تكون سرعة الدوران منتظمة فإن كل كرة تخضع مباشرة أو غير مباشرة إلى قوة جذب نحو الداخل . هذه القوة تمثل محصلة القوى الخارجية المؤثرة في الكرة التي تعاكس وتساوي القوة النابذة الناتجة من دوران المحور . يسمى هذا الجذب بالقوة المنظمة . يختلف منشأ القوة المنظمة باختلاف وسيلة تحميل المنظم ، فإما أنها تنتج من تأثير حمل ميت أو من نوابض تتحكم بعمل المنظم ، كما سبق وبيننا سابقاً .

• جهد المنظم *Governor Effort*

يمثل جهد المنظم Q القوة التي يمكنه أن يؤثر بها عند الجلبة - لتغير جزئي معين في السرعة - على تركيبة التحكم الآلية التي تتحكم بالطاقة المبذولة للمحرك ، فعندما تكون سرعة الاتزان ثابتة يكون الجهد معدوماً . لكن إذا ما حدث تغير مفاجئ في السرعة يؤدي إلى انزلاق الجلبة إلى وضع توازنها الجديد ، تنشأ عندئذ قوة آنية Q_m تؤثر في تركيبة التحكم الآلية . هذه القوة تتناقص تدريجياً إلى الصفر بينما الجلبة تتحرك إلى وضع توازنها الموافق للسرعة الجديدة . متوسط القوة الآنية خلال هذا التغير يسمى الجهد ، أي:

$$Q = Q_m / 2 \quad (20-2)$$

• قدرة المنظم Governor Power

تعرف قدرة المنظم بمقدار العمل الناتج من المنظم خلال انزلاق الجلبة الموافق لتغيير معين في السرعة ، وأنه يساوي إلى جداء جهد المنظم في انتقال الجلبة . من الواضح أن القدرة اللازمة تتعلق بشكل تركيبة التحكم الآلية المتصلة بالمنظم . فعندما تكون القدرة اللازمة كبيرة ، فغالباً ما يستعمل الهواء أو الزيت المضغوط لتحريك صمام أو صمامات التحكم في الطاقة المبذولة للمحرك . عندئذ يعمل المنظم على تحريك صمام صغير لإدخال الهواء أو الزيت المضغوط إلى أسطوانة ، يتردد داخلها مكبس متصل بصمامات المحرك عبر وصلات مناسبة .

• الشطط Hunting

أو الاهتزاز المستمر ، وتطلق هذه الخاصية على الحالة التي يكون فيها سرعة المحرك المتصل به المنظم مستمرة الاهتزاز أو التغيير فوق وتحت السرعة الوسطية . يحصل هذا في منظم عالي الحساسية ؛ مما يؤدي إلى تغيير القدرة المبذولة بمقدار كبير عندما تتغير سرعة الدوران بكمية صغيرة . كما أنه يؤدي إلى تغير السرعة باستمرار مع ثبات الحمل ، ولا يتحكم المنظم عندئذ إلا بالقدرة العظمى أو الصغرى للمحرك دون إمكانية التحكم بالقدرة فيما بين هذين الحدين .

مثال على ذلك نختار الحالة الحدية لمنظم وحيد السرعة متصل بمحرك محمل بحمل ميت . إذا ما ازداد الحمل قليلاً نقصت سرعة الدوران ، وانزلقت جلبة المنظم إلى أخفض وضع لها ؛ مما يسبب فتح صمام التحكم على مداه ، وعليه تكون كمية القدرة المبذولة أكبر من المطلوب ؛ مما ينتج عنه ارتفاع الجلبة إلى أعلى وضع لها . نتيجة لذلك يغلق الصمام كلياً وتنقص القدرة المبذولة فتتخفض السرعة ثانية ، وتكرر الدورة بصورة لا نهائية . مثل هذا المنظم يعطي أعظم أو أقل قدرة ، ولا يمكنه أن يعطي أية كمية قدرة بينهما . بسبب ذلك يحصل الاهتزاز المستمر في السرعة ، أو بمعنى آخر يكون المنظم في حالة شطط أو تأرجح .

• الاحتكاك Friction

مهما فرض أن المنظم عديم الاحتكاك ، فالحالة الواقعية لا تخلو من وجود الاحتكاك في مفاصل المنظم وتركيبية التحكم الآلية التي يحركها . حيث إن قوة الاحتكاك تعاكس دوماً اتجاه الحركة ، من الواضح إذن أن الاحتكاك يمنع حركة الجلبة إلى أعلى ، والكرات إلى الخارج عند ازدياد السرعة وبالعكس عند نقصانها .

يتضح لنا جلياً تأثير الاحتكاك في حركة الجلبة ، فعندما يدور المنظم بسرعة زاوية ω ، تكون كل كرة متزنة بالنسبة للمستوي الرأسي عند نصف قطر الدوران r ، فإذا زادت السرعة زيادة بسيطة نسبياً ، فإن الجلبة لن تتحرك إلا عندما تصبح سرعة المنظم ω'' عند نصف القطر r نفسه ، ثم بعد ذلك تتحرك الجلبة ، ويزداد نصف القطر تبعاً لزيادة السرعة ، أما إذا انخفضت السرعة بمقدار بسيط فإن الجلبة لن تتحرك أيضاً ، ويستمر انخفاض السرعة بدون تحرك الجلبة من موضعها حتى تصل السرعة إلى ω' ، فإذا انخفضت السرعة بعد ذلك تتحرك الجلبة إلى أسفل ، ويقل نصف القطر تبعاً لانخفاض السرعة .

• عدم الحساسية *Insensitiveness*

يلاحظ من تأثير الاحتكاك في حركة الجلبة ، أنه عند كل نصف قطر r توجد سرعتان ω'' و ω' لا يشعر بينهما المنظم بالتغير في السرعة ، وذلك نتيجة لقوى الاحتكاك بين الازدواجات الحركية المختلفة ؛ بالتالي يحدد معامل عدم الحساسية μ_n بالعلاقة:

$$m_n = \frac{W' - W''}{W_{av}} \quad (21-2)$$

حيث W_{av} تمثل السرعة المتوسطة عند نصف القطر r وتعطى بالعلاقة:

$$W_{av} = \frac{W' + W''}{2} \quad (22-2)$$

كما يمكن تحديد معامل عدم الحساسية بنسبة قوة الاحتكاك على القوة المنظمة ، ويجب ألا يقل عن معامل تغير السرعة خلال الدورة ، وإلا يصبح المنظم في حالة اهتزاز مستمر .

تجدر الإشارة إلى أن ما أوردناه هو أمثلة لأهم التركيبات شائعة الاستعمال في الكثير من التطبيقات الميكانيكية ؛ بخاصة آلات التشغيل والمحركات . كما حاولنا قدر الإمكان توضيح كيفية الانتقال من بنية معينة لتركيبية إلى تركيبية أخرى مختلفة عن الأولى شكلاً ووظيفة ، وذلك باستعمال مفهوم توسيع الازدواجات الذي يساعد كثيراً في إنشاء تركيبات متباينة عملياً لكن متكافئة حركياً . لقد تم التركيز على دراسة التركيبية رباعية الوصلات ؛ لأنها تشكل مع متحولاتها المختلفة الركيزة الأساسية للكثير من التركيبات المعقدة التي تنتج ببساطة من تجميع أو تداخل وصلات تركيبيتين أو أكثر من هذا النوع . لا يعني ذلك بأي حال من الأحوال عدم وجود عدة تركيبات أخرى لكل حركة أو تصميم وظيفي تطرقنا إليه ، إضافة إلى الأبحاث المستمرة دوماً لإيجاد تركيبات جديدة بغية تحسين أداء آليات معروفة وتخفيض تكاليفها أو تحقيق أنماط حركية جديدة تواكب التطور التكنولوجي المتزايد بسرعة .

مسائل غير محلولة Problems

م-2-1

تعطى أطوال وصلات تركيبية آلية رباعية القضبان كما يأتي:

المرفق $l_2 = 100 \text{ mm}$. ذراع الوصل $l_3 = 200 \text{ mm}$. الوصلة التابعة $l_4 = 300 \text{ mm}$.

المطلوب إيجاد مجال قيم طول الهيكل l_1 في كل من الحالات الآتية:

1. التركيبية الآلية خاضعة لقانون غراسهوف .
2. تركيبية آلية المرفق المتأرجح .
3. تركيبية آلية المرفق المضاعف .
4. تركيبية آلية تأرجحية .

*

م-2-2

المطلوب تصميم تركيبية آلية الرجوع السريع ، آلية المقشطة ، إذا كانت النسبة

الزمنية تساوي 2 ، بحيث يكون مقدار الشوط أعظمية ضمن المجال:

من 75 mm وحتى 200 mm

*

م-2-3

تعطى أطوال تركيبية آلية المرفق المتأرجح كما يأتي:

الهيكل 100 mm ، المرفق 25 mm ، ذراع الوصل 90 mm ، المتأرجح 75 mm .

المطلوب:

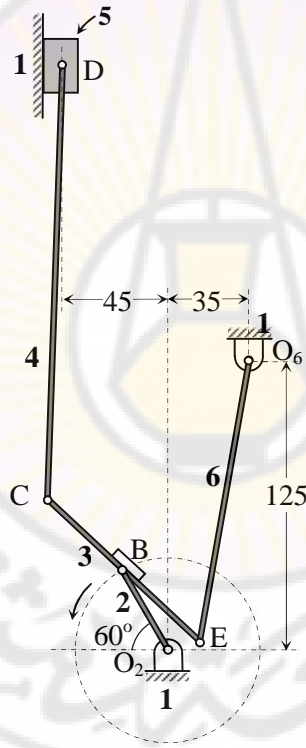
1. رسم التركيبية الآلية ، وإيجاد القيم العظمى والصغرى لزاوية النقل .
2. رسم الأوضاع الحدية للتركيبية الآلية ، وإيجاد قيم زاوية النقل الموافقة .
3. رسم المسار التام للنقطة C الواقعة في منتصف ذراع الوصل .

م-4-2

يبين الشكل (م-4-2) المخطط الحركي لتركيبية مضخة هوائية تحقق للمكبس شوطاً يساوي أربعة أمثال طول المرفق O_2B .

المطلوب تعيين مسار كل من النقطتين E, C ، ورسم مخطط إزاحة المكبس D وذلك عند 12 وضعاً للمرفق .
علماً أن:

$$O_2B = 40 \text{ mm} , BC = BE = 45 \text{ mm} , O_6E = 125 \text{ mm} , DC = 190 \text{ mm}$$



المخطط الحركي لتركيبية مضخة هوائية .
الشكل (م-4-2)

م-2-5

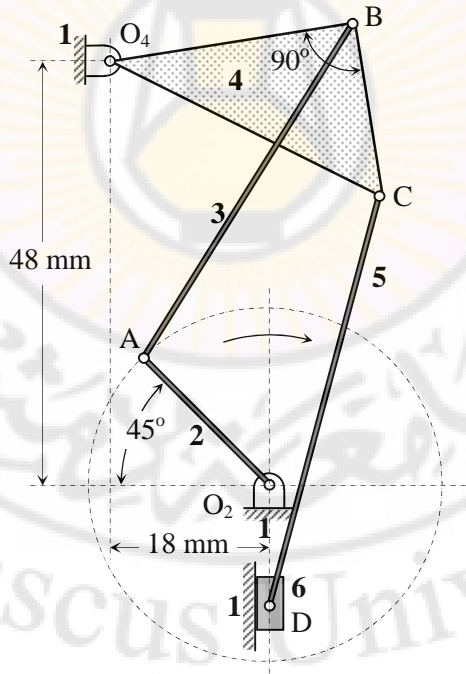
يبين الشكل (م-2-5) المخطط الحركي للتركيبة المستعملة في آلة خياطة لتحريك الساق الحاملة للإبرة . يدور المرفق القائد 2 باتجاه عقارب الساعة ليعطي الوصلة 6 حركة ترددية .

المطلوب بعد رسم المخطط الحركي بمقياس 1 : 2 في الوضع المبين في الشكل:

- 1- رسم مخطط إزاحة للنقطة D بدءاً من أخفض وضع لها وباستعمال 16 وضعاً للمرفق .
- 2- تحديد عدد أشواط النقطة D خلال دورة عمل كاملة للإبرة وطول كل منها .
علماً أن:

$$O_2A = BC = 20 \text{ mm}$$

$$AB = 45 \text{ mm} , O_4B = 28 \text{ mm} , CD = 48 \text{ mm}$$



المخطط الحركي للتركيبة المستعملة في آلة خياطة .

الشكل (م-2-5)

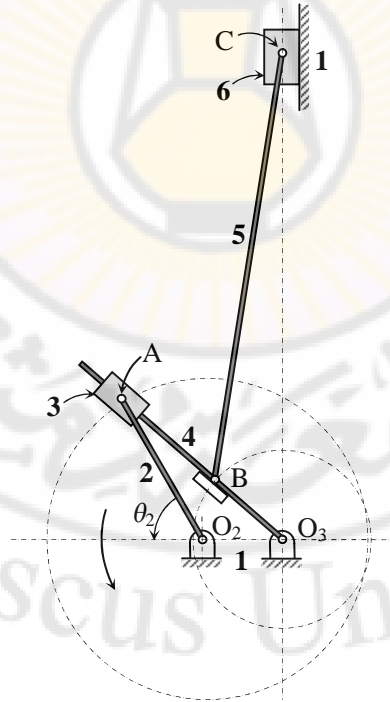
م-2-6

يبين الشكل (م-2-6) المخطط الحركي لتركيبية ويت وورث (Whitworth) ، المستعملة في الحصول على حركة سريعة الارتداد لعدة القطع في مقشطة صغيرة . المطلوب:

- 1- رسم مخطط يبين تغيرات إزاحة المنزلقة C بالنسبة لإزاحات زاوية متساوية للوصلة القائدة 2 ، ومن ثم تعيين طول الشوط .
 - 2- تحديد النسبة الزمنية لهذه التركيبية .
- علماً أن الوصلة 2 تصنع زاوية ($\theta_2 = 60^\circ$) مع المحور الأفقي O_2O_3 في الوضع المبين في الشكل ، وأن:

$$O_2O_3 = 90 \text{ mm} , \quad O_2A = 180 \text{ mm}$$

$$O_3B = 96 \text{ mm} , \quad BC = 490 \text{ mm}$$



المخطط الحركي لتركيبية ويت وورث (Whitworth) .
الشكل (م-2-6)

م-2-7

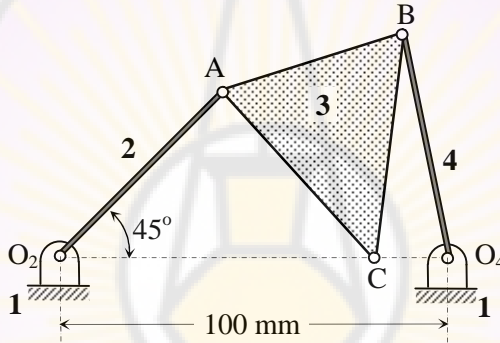
يبين الشكل (م-2-7) المخطط الحركي لتركيب روبر (Roberts) للحصول على حركة مستقيمة تقريبية للنقطة C .

المطلوب بعد رسم المخطط الحركي بمقياس مناسب:

- 1- تعيين المسار الكامل الحقيقي للنقطة C ، وتعيين الوضعين الحديين لها .
- 2- تحديد قيمة الخطأ النسبي الأعظمي وموقع حدوثه .

علماً أن:

$$O_2A = AC = BC = O_4B = 60 \text{ mm} , \quad AB = 50 \text{ mm}$$



الشكل (م-2-7) المخطط الحركي لتركيب روبر (Roberts) .

*

م-2-8

يبين الشكل (م-2-8) المخطط الحركي لتركيب تشغيل قاطع كهربائي زيتي ، حيث تتحرك النقطة C على خط مستقيم خلال مجال عملها .

المطلوب بعد اختيار مقياس رسم مناسب:

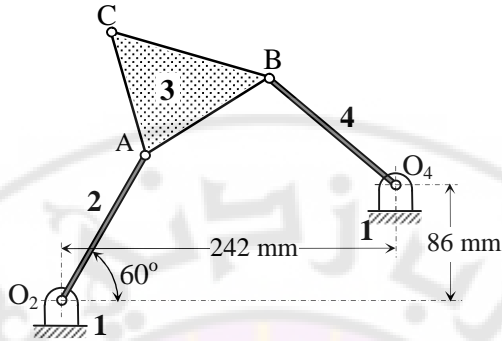
- 1- رسم مسار كل من النقاط A , B , C بدءاً من الوضع المبين في الشكل ، وبالتالي تعيين المسار الحقيقي الكامل للنقطة C الذي هو منحن مغلق .

- 2- تعيين مواقع النقاط الميتة عندما يكون 2 هو المرفق القائد والوصلة 4 هي المقودة .

علماً أن:

$$O_2A = O_4B = 124 \text{ mm}$$

$$AB = 106 \text{ mm} , \quad AC = 93 \text{ mm} , \quad BC = 119 \text{ mm}$$



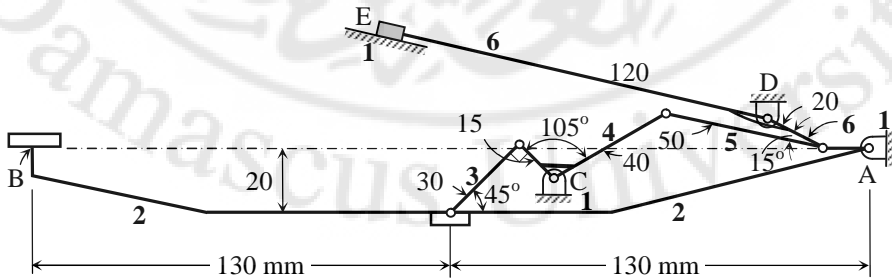
الشكل (م-2-8) المخطط الحركي لتركيبية تشغيل قاطع كهربائي زيتي .

*

م-2-9

يبين الشكل (م-2-9) المخطط الحركي لتركيبية آلة كاتبة يدوية تتكون من ست وصلات وفقاً للأبعاد المبينة في الشكل . الوصلة 4 مرفقية زاويتها 105° وتتأرجح حول المفصل C ، كما أن الوصلة 6 هي مرفقية أيضاً حيث ذراعها DE توازي الوصلة 5 وتتأرجح حول المفصل D . يجب أن تدور ذراع الوصلة 6 الحاملة لحرف الطباعة زاوية 90° باتجاه دوران عقارب الساعة .

المطلوب تعيين المسافة اللازم أن تتحركها النقطة B لتحقيق ذلك . علماً أن الأبعاد المبينة في الشكل هي بالمليمتر .



الشكل (م-2-9) المخطط الحركي لتركيبية آلة كاتبة يدوية .

الفصل الثالث

حركة التركيبات الآلية Kinematics of Mechanisms

Introduction

1-3- مقدمة

يمكن تصنيف مراحل تصميم آلة ما على الشكل الآتي:

- § تحديد الخواص الحركية للتركيبات المكونة لها .
- § تحديد القوى و العزوم المؤثرة في وصلات هذه الآلة .
- § تحديد الأبعاد النسبية لمختلف أجزاء الآلة .

قد لا تكون هذه المراحل الثلاث مستقلة بعضها عن بعض دوماً ؛ إذ إن كتل الأجزاء المتحركة تؤثر مثلاً في تعيين قوى العطالة ؛ مما قد ينتج منه أحياناً ضرورة تعديل المخطط الحركي للآلة بغية تخفيض قيم التسارعات ، لكن من الأنسب عادة دراسة المرحلتين الأولى والثانية بشكل مستقل ، ومن ثم استعمال النتائج في تحديد الأبعاد اللازمة لأجزاء الآلة . إن هذه المرحلة الثالثة تدخل في نطاق دراسة مقاومة المواد وتصميم عناصر الآلات ، ولن نتطرق إليها في بحثنا ، بينما سنبحث من خلال هذا الفصل في تحديد الخواص الحركية للتركيبات الآلية بشكل مستقل عن القوى والعزوم المؤثرة في وصلاتها التي ستبحث في فصل لاحق ، آخذين في الحسبان أن القارئ لم يلم إماماً جيداً بالمفاهيم الأساسية لعلم الحركة .

يشمل التحليل الحركي لتركيبية آلية دراسة حركة نقطة أو أكثر من نقاط الوصلات المكونة لها ، أي تعيين المميزات الأساسية لهذه الحركة ، وهي الإزاحة أو الانتقال الخطي ، والسرعة والتسارع الخطي لها ؛ بالإضافة إلى دراسة حركة وصلة أو أكثر من الوصلات المكونة لهذه التركيبية الآلية ، أي تعيين المميزات الأساسية لهذه الحركة ، وهي الإزاحة أو الانتقال الزاوي ، والسرعة والتسارع الزاوي لها .

سقتصر هذه الدراسة على التركيبات الآلية ذات الحركة المستوية ؛ أي تلك التي تتحرك نقاطها كافة في مستويات موازية لمستوي إرجاع ثابت يسمى مستوى الحركة ، وذلك لكون حركات وصلات معظم الآلات هي من هذا النوع . يمكن لهذه الحركة أن تكون انسحابية أو دورانية أو مستوية عامة . كما سيفترض أن وصلات التركيبية الآلية كافة هي أجسام صلبة ؛ أي إن المسافة بين أي نقطتين على أية وصلة متحركة تبقى ثابتة .

لقد تبين في الفصل الأول أن الحركة النسبية بين وصلات تركيبة آلية هي مقيدة تقييداً تاماً ؛ لذا فإن إزاحة وصلة ما من هذه التركيبية بحركة معينة تنتج منها إزاحات متناسبة للوصلات الأخرى ، وعليه فإن كل نقطة من كل وصلة ستتحرك على مسار محدد . يعبر عن حركة كل من وصلات التركيبية بدلالة الإزاحات والسرعات والتسارعات الخطية للنقاط المكونة للوصلة ، كما يمكن توصيف حركة الوصلات التي تتحرك حركة دورانية أو مستوية عامة بدلالة الإزاحات والسرعات والتسارعات الزاوية لهذه الوصلات بالنسبة للوصلة الثابتة .

هناك طرائق عدة لتحليل حركة التركيبات الآلية ، أهمها هي الآتية:

1. التفاضل البياني لمنحنيات الحركة بالنسبة للزمن .
2. التحليل الرياضي لمعادلات الحركة بالنسبة لجملة محاور إحداثية ثابتة .
3. تحليل معادلات الحركة بتطبيق علاقات النسب المثلثية .
4. تحليل متجهات الحركة بتطبيق علاقات الأعداد المركبة .
5. تحليل أوضاع الحركة بدلالة زاوية الدخل .
6. التمثيل التخطيطي لمعادلات الحركة النسبية .
7. تطبيق مفهوم المركز اللحظي ، أي الآني في تحديد السرعات .

من الواضح أن تطبيق طرائق التحليل الحركي يعتمد على كون مميزات الحركة لوصلة في التركيبية ، تسمى عادة الوصلة القائدة ، محددة كلياً قيمة واتجاهاً . يمكن أن تعطى حركة هذه الوصلة بمميزات الزاوية أو من خلال المميزات الخطية لحركة نقطة منها تبعاً لطبيعة حركة الوصلة وللاستثمار العملي للتركيبية . تعين مميزات حركة بقية النقاط والوصلات المختلفة انطلاقاً من المميزات المعلومة للوصلة القائدة ؛ إذ يتم تطبيق إحدى طرائق التحليل في الانتقال تدريجياً من وصلة إلى أخرى .

تعتمد الطريقة الأولى على إنشاء منحني بياني للإزاحة بالنسبة للزمن ، ومن ثم استنتاج منحني السرعة بالنسبة للزمن باعتبار أنه تفاضل منحني الإزاحة ، حيث إن السرعة هي معدل تغير الإزاحة بالنسبة للزمن ؛ وذلك بتعيين ميل المماس لمنحني الإزاحة عند نقاط متعددة . كذلك الأمر بالنسبة لإنشاء منحني التسارع من تفاضل منحني السرعة بالنسبة للزمن .

إنها طريقة بسيطة ، حتى عند كون التركيبة معقدة ، لكن بما أن مسارات حركة نقاط بعض الوصلات أو كلها في الحالة العامة هي مسارات منحنية ، فإن شعاع السرعة عندئذ يكون متغير القيمة والاتجاه ، كما أن شعاع التسارع ينتج له مركبتان إحداها مماسية للمسار ، والأخرى ناظرية باتجاه مركز الانحناء ، بينما يمثل تفاضل المنحنيات بهذه الطريقة قيم كل من السرعة والتسارع المماسي فقط دون تحديد الاتجاه ؛ بالتالي تعد هذه الطريقة سهلة ومقبولة في حال كون مسار الحركة مستقيماً ، أو عندما لا نهتم بتأثير تغير اتجاه الإزاحة في كل من السرعة والتسارع ؛ إضافة إلى ذلك فإن دقة نتائج هذه الطريقة تعتمد إلى حد كبير على دقة رسم المماسات عند نقاط منحنى الإزاحة ، وعلى مقدار تباعد هذه النقاط على المنحني ، مع ملاحظة كون الخطأ النسبي من رسم منحنٍ إلى آخر هو تراكمي يصل في الحالات العادية من الدقة إلى حدود 20% .

أما الطريقة الثانية ، فإنها تقوم على تحليل معادلات حركة عناصر التركيبات الآلية رباعية الوصلات بطريقة تحليلية . حيث يتم الحصول على مميزات حركة كل نقطة من نقاط الوصلات المكونة لهذه التركيبة عند وضع زوايا للوصلة القائدة ، من إسقاط معادلات السرعة والتسارع الموافقة لها على محورين متعامدين للحصول على معادلتين يُحدد بهما مميزات حركة كل من النقطة والوصلة التي تنتمي إليها . تم توضيح هذه الطريقة عند دراسة الحركة في محاضرات الميكانيك الهندسي - علم الحركة . تعد هذه الطريقة الأكثر دقة وشمولية لدراسة حركة التركيبات الآلية .

أما الطريقة الثالثة ، فإنها تقوم على كتابة معادلات الإزاحة لمختلف نقاط المخطط الحركي للتركيبة الآلية ، وذلك باستعمال علاقات الهندسة المستوية والنسب المثلثية . يمكن توضيح هذه الطريقة عند دراسة الحالة المبينة في الفصل الرابع الفقرة (4-2) .

أما الطريقة الرابعة ، فإنها تعتمد على علاقات الأعداد المركبة ، وتساعد في تبسيط تحليل الحركة في الآليات المعقدة ، وكذلك في وضع الهيكل الرياضي اللازم لإعداده للحاسوب . يمكن توضيح هذه الطريقة التحليلية عند دراسة الحالة المبينة في الفصل الرابع الفقرة (4-3) .

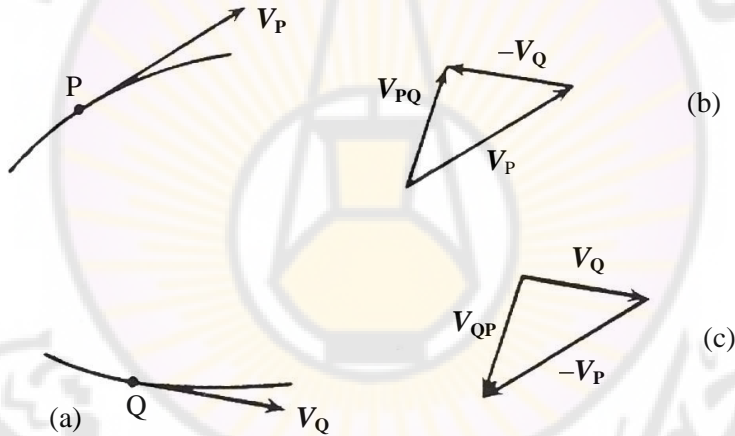
أما الطريقة الخامسة ، وهي طريقة تحليل أوضاع الحركة بدلالة زوايا الدخول ، فإنها تعتمد على إيجاد العلاقات التي تربط زوايا وأطوال الوصلات مع زاوية الدخول ؛ أي زاوية المرفق تساعد هذه الطريقة في صياغة برنامج للحاسوب . يمكن توضيح هذه الطريقة أيضاً عند دراسة الحالة المبينة في الفصل الرابع الفقرة (4-4) .

3-3- التمثيل التخطيطي لمعادلات الحركة النسبية

Vector Diagram For Equations of Relative Motion

تسمى أحياناً بـ طريقة الحركة النسبية ؛ نظراً لاعتمادها على دراسة الحركة النسبية بين نقطتين على وصلة في تعيين حركة نقاط هذه الوصلة ، من المفيد قبل البدء بدراسة هذه الطريقة أن نوضح المفهوم العام للحركة النسبية .

يبين المخطط a في (الشكل-1-3) نقطتين P , Q تتحركان على مسارين مطلقين مختلفين ، بالنسبة لمستوى إسناد ثابت بسرعتين V_P , V_Q على التوالي ، والمطلوب تعيين السرعة النسبية (Relative Velocity) بينهما V_{PQ} .



(الشكل-1-3) التمثيل التخطيطي لمعادلات الحركة النسبية .

إن التأثير بسرعة $(-V_Q)$ مساوية ومعاكسة بالاتجاه لسرعة النقطة Q في كل من النقطتين لن يغير من السرعة النسبية بينهما ، لكن تصبح النقطة Q ثابتة بينما تصبح سرعة النقطة P المطلقة $(V_P - V_Q)$ هي السرعة النسبية ، كما هو مبين على المخطط الشعاعي b في (الشكل-1-3) ، حيث يمكن كتابة المعادلة الشعاعية:

$$V_{PQ} = V_P - V_Q \quad (1-3)$$

يمكن تعيين السرعة النسبية V_{QP} بطريقة مماثلة كما هو مبين على المخطط الشعاعي c في (الشكل-3-1) ، حيث تنتج المعادلة الشعاعية:

$$V_{QP} = V_Q - V_P = -V_{PQ} \quad (2-3)$$

كما أن تحليل التسارع النسبي (*Relative Acceleration*) بطريقة مماثلة يؤدي إلى المعادلة الشعاعية:

$$A_{PQ} = A_P - A_Q = -A_{QP} \quad (3-3)$$

كذلك الأمر عند دراسة الحركة الزاوية لوصلة 2 بالنسبة لوصلة أخرى 3 ، فإنه يمكن البرهان بسهولة على أن السرعة الزاوية النسبية (*Relative Angular Velocity*) بينهما ، هي الفرق الشعاعي بين السرعتين الزاويتين المطلقتين لكل منهما بالنسبة لمستوى إسناد ثابت ؛ أي إن:

$$\Omega_{32} = \Omega_3 - \Omega_2 \quad (4-3)$$

كما أن التسارع الزاوي النسبي (*Relative Angular Acceleration*) هو الفرق الشعاعي بين التسارعين الزاويين المطلقين لكل من الوصلتين ؛ أي:

$$E_{32} = E_3 - E_2 \quad (5-3)$$

رغم ما ذكرناه سابقاً من أن الطريقة التحليلية هي الأكثر دقة وشمولية في دراسة حركة التركيبات الآلية وتصميمها ؛ إذ إنها تبين بوضوح تأثير مختلف البارامترات ، كأطوال الوصلات وأوضاعها الزاوية مثلاً ، في الأداء الحركي للتركيبة ، إلا أن طريقة الحركة النسبية تعد من أكثر طرائق التحليل الحركي استخداماً .

تسمح هذه الطريقة التخطيطية بدراسة حركة الكثير من التركيبات المعقدة بشكل سهل وسريع وبدقة مقبولة عملياً ؛ بخاصة عندما يكون الاهتمام مركزاً على تعيين حركة نقاط التركيبة في أوضاع محددة للوصلات ، حيث يكفي عندئذ رسم المخطط الحركي للتركيبة في هذه الأوضاع لتعيين مسارات الإزاحة لمختلف النقاط بيانياً ، ومن ثم رسم كل من مخططات السرعة والتسارع للتركيبة في كل وضع على حدة .

تبين لنا في الفصل الأول ، أن شكل الازدواجات الحركية بين وصلات تركيبية يؤثر في طبيعة الحركة النسبية عند نقاط الازدواج ؛ لذا فإنه من الطبيعي أن يعتمد تحليل حركة التركيبات - استناداً إلى مفهوم الحركة النسبية - على دراسة خصائص هذه الحركة . نميز في مجال الحركة النسبية بين نقطتين ثلاث حالات رئيسة هي:

§ الحركة النسبية بين نقطتين على وصلة واحدة .

§ الحركة النسبية بين نقطتين متطابقتين على وصلتين متحركتين .

§ الحركة النسبية عند نقطة تماس تدحرج صرف .

سنبين في الفقرات الآتية الخصائص الحركية المميزة لكل من هذه الحالات ؛ إضافة إلى توضيح كيفية تطبيقها في التحليل الحركي للتركيبات ، من خلال دراسة بعض التطبيقات النموذجية .

4-3- الحركة النسبية بين نقطتين على وصلة واحدة

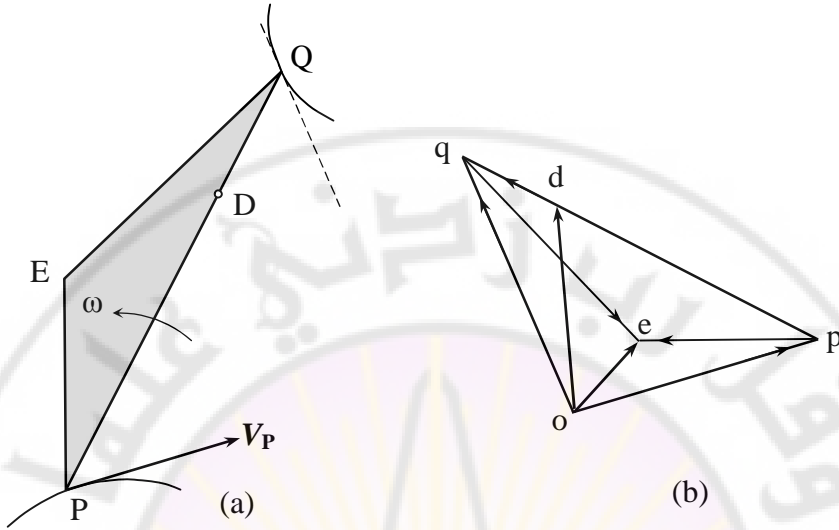
Relative Motion between Two Points of Link

يعد تحليل الحركة النسبية بين نقطتين على وصلة واحدة أساساً لتعيين حركة نقاط ووصلات تركيبية ما ؛ إذ يمكن بسهولة تطبيق نتائج هذا التحليل على الوصلات جميعها التي تتكون منها التركيبية ، بخلاف تلك التي تؤدي طبيعة تقييد الحركة فيها إلى نشوء نقاط متطابقة ، إلا أن هذه الحالة تحدث عادة عند نقطة معينة في التركيبية ، كما سيتضح لاحقاً .

Link Velocity Diagram

1-4-3- مخطط السرعة لوصلة

سنبين الآن كيف يمكن باستعمال مفهوم الحركة النسبية تعيين سرعة كل من نقاط وصلة صلبة تخطيطاً من دون الحاجة إلى تحليل رياضي معقد . لنفرض أن P , Q هما نقطتان على وصلة متحركة صلبة ، المسافة بينهما ثابتة بينما تتحرك كل من النقطتين على مسار معين ، كما في المخطط a في (الشكل 3-2) ، لا يمكن عندئذ إعطاؤهما معاً سرعتين اختيارية قيمة واتجاهاً ؛ نظراً لكون المسافة PQ ثابتة دوماً ؛ أي إن النقطة Q تتحرك دوماً بالنسبة إلى النقطة P على مسار دائري مركزه النقطة P ، ونصف قطره PQ ، وعليه فإن السرعة النسبية V_{QP} عمودية دوماً على الوصلة .



(الشكل-2-3) مخطط السرعة لوصلة .

يمكن تمثيل المعادلة الشعاعية (2-3) بالمخطط b في (الشكل-2-3)، فيما لو حددت السرعة المطلقة V_P قيمة واتجاهاً ؛ إضافة إلى معرفة منحى السرعة المطلقة V_Q ، وهو المماس لمسار الحركة المطلقة، وذلك باتباع الخطوات التالية:

1. نختار في مستوي الوصلة نقطة o تسمى القطب، لتمثل نقاط مستوي الإسناد الثابت كافة، والتي سرعتها صفر .
2. نرسم من القطب o الشعاع op بمقياس رسم مناسب، ليمثل السرعة المطلقة V_P .
3. نرسم من النقطة p خطاً عمودياً على الوصلة PQ، ليمثل منحى السرعة النسبية V_{QP} .
4. نرسم من القطب o خطاً موازياً لمنحى السرعة المطلقة V_Q ، أي موازياً للمماس لمسار الحركة عند النقطة Q .

يتقاطع هذان الخطان في النقطة q، حيث ينتج بعد قياس أطوال الأشعة وتحويلها إلى قيم حقيقية بدلالة مقياس رسم المخطط، أن:

$$V_{QP} \equiv pq \quad , \quad V_Q \equiv oq \quad , \quad V_P \equiv op \quad , \quad w = V_{QP}/PQ$$

وبالاتجاهات المبينة في المخطط b في (الشكل-2-3) .

يسمى المثلث Δopq في المخطط b في (الشكل-3-2) بمخطط سرعة الوصلة ، بينما يسمى الخط pq خيال سرعة الوصلة (*Velocity Image*) ؛ إذ يمكن من خلاله - وبالاستناد إلى مفهوم السرعة النسبية - إيجاد سرعة أية نقطة من نقاط الوصلة PQ ؛ نظراً لأن السرعة الزاوية المطلقة للوصلة تبقى ثابتة في هذه اللحظة لنقاط الوصلة كافة ، يمكن لهذه النقاط أن تقع على الخط الواصل بين النقطتين P ، Q ، أو خارجه لأن الوصلة عملياً هي جسم صلب ذو أبعاد ، وليست خطاً بسيطاً .

إذا كان المطلوب تعيين سرعة نقطة E في الوصلة لا تقع على الخط PQ ، فإن قيمة سرعة هذه النقطة بالنسبة للنقطة P ، هي:

$$V_{EP} = w \cdot EP$$

ومنحائها عمودي على الخط EP . وقيمة سرعة هذه النقطة بالنسبة للنقطة Q ، هي:

$$V_{EQ} = w \cdot EQ$$

ومنحائها عمودي على الخط EQ .

يكفي عندئذ - في مخطط السرعة - إنشاء خط عمودي على الخط PE من النقطة p ، وخط آخر عمودي على الخط EQ من النقطة q ليتقاطع هذان الخطان في النقطة e ، حيث السرعة النسبية V_{EP} تمثل على مخطط السرعة بالشعاع pe ، والسرعة النسبية V_{EQ} تمثل على مخطط السرعة بالشعاع qe ، وينتج بدلالة مقياس رسم المخطط أن:

$$pe \equiv V_{EP} = w \cdot PE \quad , \quad qe \equiv V_{EQ} = w \cdot QE$$

وبما أن لدينا:

$$pq \equiv V_{QP} = w \cdot PQ$$

ومنه يمكن أن نكتب:

$$\frac{pe}{PE} = \frac{qe}{QE} = \frac{pq}{PQ} = w \quad (6-3)$$

ومنه نستنتج أن:

§ المثلث Δepq في مخطط السرعة يشابه المثلث ΔEPQ في الوصلة ونسبة التشابه w ، وأضلاعه تعامد على الترتيب أضلاع المثلث ΔEPQ في اتجاه دوري .

§ اتجاه دوران قراءة المثلث Δepq في مخطط السرعة هو باتجاه دوران قراءة المثلث ΔEPQ في الوصلة .

أما السرعة المطلقة للنقطة E فتنتج من إحدى العلاقتين الشعاعيتين:

$$V_E = V_P + V_{EP} \equiv op + pe = oe$$

$$V_E = V_Q + V_{EQ} \equiv oq + qe = oe$$

وذلك بعد تحويل أطوال الأشعة في مخطط السرعة بدلالة مقياس رسم هذا المخطط .

أما إذا كان المطلوب تعيين سرعة نقطة D في الوصلة تقع على الخط PQ ، فإن قيمة سرعة هذه النقطة بالنسبة للنقطة P ، هي:

$$V_{DP} = w . DP$$

ومنحناها عمودي على الخط DP المنطبق على الخط PQ ، وبالتالي فإن هذه السرعة النسبية V_{DP} تمثل على مخطط السرعة بالشعاع pd الذي ينطبق اتجاهه على الشعاع pq ، وينتج بدلالة مقياس رسم المخطط أن:

$$pd \equiv V_{DP} = w . PD$$

وبما أن لدينا:

$$pq \equiv V_{QP} = w . PQ$$

فإنه يكفي عندئذ تعيين النقطة d على مخطط السرعة ، بحيث تقسم الشعاع وفق التناسب:

$$\frac{pd}{pq} = \frac{PD}{PQ}$$

أما السرعة المطلقة للنقطة D فتنتج من العلاقة الشعاعية:

$$V_D = V_P + V_{DP} \equiv op + pd = od$$

وذلك بعد تحويل أطوال الأشعة في مخطط السرعة بدلالة مقياس رسم هذا المخطط .

من الواضح أن علاقة التناسب تبقى صحيحة في حال كون النقطة D على امتداد الخط PQ ، مع الانتباه إلى وضع هذه النقطة بالنسبة إلى كل من النقطتين P , Q ، بحيث يبقى تتابع النقاط الثلاث D , Q , P نفسه في كل من الوصلة والمخطط p , q , d .

يمكن توضيح هذا الإنشاء استناداً إلى مفهوم السرعة النسبية الذي يتضمن الآتي:

1. إن منحى السرعة النسبية بين أي نقطتين على وصلة صلبة تتحرك بسرعة زاوية مطلقة ما - في لحظة معينة - هو عمودي على الخط الواصل بينهما ، وقيمتها تساوي حاصل جداء قيمة هذه السرعة الزاوية في المسافة بين النقطتين ، أما اتجاهها فيحدد بما يتفق واتجاه السرعة الزاوية لهذه الوصلة . تمثل هذه السرعة النسبية ، في مخطط السرعة بالشعاع المنطلق من النقطة الثانية إلى النقطة الأولى ؛ أي من النقطة المنسوب لها الحركة إلى النقطة المطلوب إيجاد سرعتها ، مثال ذلك $(V_{dp} \equiv pd)$.

2. بما أن السرعة المطلقة لنقطة هي في الواقع سرعتها بالنسبة إلى مستوى إسناد ثابت ، سرعته صفر ، فإنها تمثل على مخطط السرعة بالشعاع المنطلق من القطب إلى النقطة الموافقة لها على هذا المخطط ، مثال ذلك $(V_E \equiv oe)$.

3. إن السرعة المطلقة لنقطة هي حاصل الجمع الشعاعي للسرعة المطلقة لنقطة أخرى ، والسرعة النسبية بين هاتين النقطتين ، مثال ذلك $(V_E = V_P + V_{EP})$.

يجب الانتباه إلى أنه في حالة كون السرعة الزاوية المطلقة للوصلة معدومة ، تساوي الصفر ، فإن السرعة النسبية بين أي نقطتين على الوصلة هي معدومة ؛ أي إن نقاط الوصلة جميعها تتحرك بسرعة مطلقة واحدة هي سرعة إحدى نقاطها ، وهي حالة وصلة تتحرك حركة انحرابية مستقيمة صرفة .

نلاحظ مما تقدم أنه يمكن - تأسيساً على مخطط سرعة وصلة - رسم مخطط سرعة لكل من الوصلات المكونة لتركيبية آلية وبشكل متتال ، انطلاقاً من الحركة المعلومة لإحدى وصلاتها ، الوصلة القائدة مثلاً ، للحصول على مخطط سرعة متكامل يستعمل في تعيين سرعة أية نقطة من نقاط التركيبية ، إضافة إلى تعيين السرعات الزاوية لوصلاتها . يعتمد إنشاء هذا المخطط - بوجه عام - على أن حركة مختلف وصلات التركيبية مقيدة ، بحيث إن السرعة المطلقة للنقطة التي تربط وصلتين أو أكثر ، هي نفسها فيما لو عدت هذه النقطة على أية من هذه الوصلات . تحقق الازدواجات الدورانية عموماً هذا الشكل من تقييد الحركة بين وصلتين متحركتين أو أكثر .

Link Acceleration Diagram

2-4-3- مخطط التسارع لوصلة

تبين لنا في الفقرة السابقة أن مسار الحركة النسبية بين نقطتين على وصلة صلبة واحدة هو مسار دائري نصف قطره يساوي البعد الثابت بين النقطتين ، ومركزه النقطة التي تنسب إليها الحركة ، وبما أن الوصلة في الحالة العامة تتحرك بسرعة زاوية متغيرة ، فإن السرعة النسبية بين أي نقطتين منها هي متغيرة بالقيمة والاتجاه ؛ إذ إن قيمتها تتغير وفقاً لقيمة السرعة الزاوية ، واتجاهها يتغير بحيث يبقى مماسياً للمسار أي عمودياً على الخط الواصل بين النقطتين . يؤدي ذلك إلى نشوء مركبتين للتسارع النسبي A_r بين كل نقطتين من الوصلة هما:

- مركبة ناظرية للتسارع (Normal acceleration)

تتشأ بسبب تغير اتجاه السرعة النسبية ، وتتحه دوماً نحو مركز المسار الدائري للحركة النسبية ، يرمز لها بـ A_r^n وقيمتها تساوي $(A_r^n = l \cdot \omega^2)$.

- مركبة مماسية للتسارع (Tangential Acceleration)

تتشأ بسبب تغير قيمة السرعة النسبية ويكون مماسياً للمسار الدائري ؛ أي عمودياً على الخط الواصل بين النقطتين ، وباتجاه يوافق اتجاه التسارع الزاوي للوصلة ، يرمز لها بـ A_r^t وقيمتها تساوي $(A_r^t = l \cdot \epsilon)$.

حيث:

l تمثل البعد بين النقطتين على الوصلة .

ω تمثل السرعة الزاوية (Angular Velocity) للوصلة .

ϵ تمثل التسارع الزاوي (Angular Acceleration) للوصلة .

أما التسارع النسبي الكلي بين النقطتين ، فهو المجموع الشعاعي لهاتين المركبتين ، وقيمته العددية:

$$A_r = [(A_r^n)^2 + (A_r^t)^2]^{1/2} = PQ(\omega^4 + \epsilon^2)^{1/2} \quad (7-3)$$

ويميل على نصف قطر الدوران PQ بزاوية α باتجاه دوران التسارع الزاوي ϵ :

$$a = \arctg |e|/\omega^2 \quad (8-3)$$

يمكن توضيح الطريقة التخطيطية لتعيين تسارع نقاط وصلة - استناداً إلى مفهوم التسارع النسبي بين نقطتين - بدراسة المخطط a في (الشكل-3-3) الذي يبين نقطتين P , Q على وصلة تتحرك بسرعة زاوية ω وتسارع زاوي ε . لنفرض أن التسارع المطلق للنقطة P بالنسبة لمستوى إسناد ثابت هو A_P ، محدد القيمة والاتجاه ، كما في المخطط a في (الشكل-3-3) ، بما أن البعد PQ ثابت خلال حركة الوصلة ، فإن تسارع النقطة Q بالنسبة إلى النقطة P يتألف من مركبتين ، هما:

- المركبة النازمية A_{QP}''

تنطبق على الوصلة PQ وتتجه من النقطة Q إلى النقطة P ، وقيمتها العددية $(A_{QP}'' = PQ \cdot \omega^2)$.

- المركبة المماسية A_{QP}^t

هي عمودية على الوصلة PQ باتجاه التسارع الزاوي ε ، وقيمتها العددية $(A_{QP}^t = PQ \cdot \varepsilon)$.

أما التسارع النسبي الكلي بين النقطتين فهو المجموع الشعاعي لهاتين المركبتين:

$$A_{QP} = A_{QP}'' + A_{QP}^t \quad (9-3)$$

وبالتالي ينتج من المعادلة الشعاعية (3-3) ، أن:

$$A_Q = A_P + A_{QP} = A_P + A_{QP}'' + A_{QP}^t \quad (10-3)$$

يمكن تمثيل المعادلة (10-3) بالمخطط b في (الشكل-3-3) على الشكل الآتي:

1. نختار في مستوي الوصلة القطب O' ، ليمثل نقاط المستوي الثابت كافة والتي تسارعها صفر .

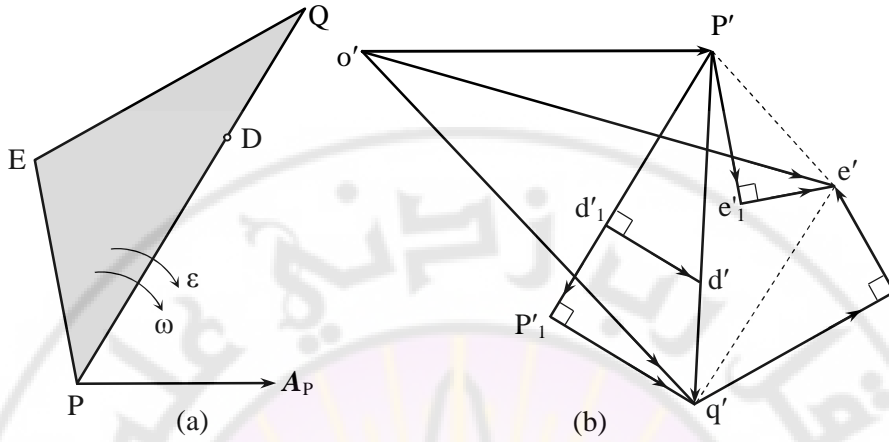
2. نرسم من القطب O' الشعاع $O'p'$ بمقياس رسم ، ليمثل التسارع المطلق A_P .

3. نرسم من النقطة P' الشعاع $P'p_1$ بالاتجاه من النقطة Q إلى النقطة P ، ليمثل التسارع النازمي النسبي A_{QP}'' .

4. نرسم من النقطة P_1 الشعاع p_1q' عمودياً على الوصلة PQ ، وباتجاه التسارع الزاوي ε ، ليمثل التسارع المماسي النسبي A_{QP}^t .

5. نصل $p'q'$ وكذلك $O'q'$ ، حيث ينتج بقياس أطوال الأشعة ، وتحويلها إلى قيم حقيقية بدلالة مقياس رسم المخطط أن:

$$A_Q \equiv O'q' \quad , \quad A_{QP} \equiv p'q'$$



(الشكل-3-3) مخطط التسارع لوصلة .

يسمى المثلث $\Delta o'p'q'$ في المخطط b في (الشكل-3-3) بـ مخطط تسارع الوصلة ، بينما يسمى الخط $p'q'$ بخيال تسارع الوصلة (*Acceleration Image*) ؛ إذ يمكن بواسطته إيجاد تسارع أية نقطة على هذه الوصلة ؛ لأن قيمة كل من ω ، ε تبقى ثابتة في هذه اللحظة لنقاط الوصلة كافة .

إذا كان المطلوب تعيين تسارع نقطة E في الوصلة لا تقع على الخط PQ ، فإن تسارعها يعين باتباع الخطوات السابقة لرسم مركبات التسارع ، بحيث يحقق المعادلتين الشعاعيتين:

$$A_E = A_P + A_{EP} = A_P + A_{EP}'' + A_{EP}^r$$

$$A_E = A_Q + A_{EQ} = A_Q + A_{EQ}'' + A_{EQ}^t$$

يكفي عندئذ تمثيل إحدى هاتين العلاقتين تخطيطاً ، كما هو موضح على مخطط التسارع . ففي العلاقة الأولى ترسم المركبة الناعظمية انطلاقاً من النقطة p' وبتأجاه من النقطة E إلى النقطة P ، ومن ثم المركبة المماسية بتأجاه عمودي عليها لتحدد النقطة e' ، علماً أن طول كل من المركبتين يتناسب مع البعد PE . يمكن رسم العلاقة الثانية بالطريقة نفسها ، لكن انطلاقاً من النقطة q' . ينتج من استعمال مقياس رسم المخطط أن:

$$A_{EQ} \equiv q'e' , \quad A_{EP} \equiv p'e' , \quad A_E \equiv o'e'$$

يمثل التسارع النسبي الكلي ، في مخطط التسارع بالشعاع المنطلق من النقطة الثانية إلى النقطة الأولى ، أي من النقطة المنسوب لها الحركة إلى النقطة المطلوب إيجاد تسارعها ، مثال ذلك $(A_{QP} \equiv p'q')$ ، وقيمتها العددية وفق العلاقة (7-3) تكافئ طول الشعاع $p'q'$:

$$p'q' \equiv A_{QP} = PQ(w^4 + e^2)^{1/2}$$

بالتالي:

$$p'c = A_{EP}PE(w^4 + e^2)^{1/2} , \quad q'e' = QE(w^4 + e^2)^{1/2}$$

ومنه يمكن أن نكتب:

$$\frac{p'e'}{PE} = \frac{q'e'}{QE} = \frac{p'q'}{PQ} = (w^4 + e^2)^{1/2} \quad (12-3)$$

ومنه نستنتج أن:

§ المثلث $\Delta e'p'q'$ في مخطط التسارع يشابه المثلث ΔEPQ في الوصلة ونسبة التشابه $(w^4 + e^2)^{1/2}$ ، وأضلاعه تميل بزاوية α باتجاه دوران التسارع الزاوي ε على أضلاع المثلث ΔEPQ في الوصلة بالترتيب .

§ اتجاه دوران قراءة المثلث $\Delta e'p'q'$ في مخطط التسارع هو باتجاه دوران قراءة المثلث ΔEPQ في الوصلة .

يمكن التحقق من صحة الإنشاء بملاحظة تتابع النقاط المتقابلة على كل من الوصلة ومخطط التسارع ، إن اتجاه هذا التتابع يجب أن يكون نفسه بحيث إذا كانت النقاط P, E, Q تتابع على الوصلة باتجاه عقارب الساعة ، كما في الشكل ، فإن النقاط p, e, q يجب أن تتابع على مخطط التسارع بالاتجاه نفسه .

إذا أردنا مثلاً تعيين تسارع نقطة D تقع على الخط PQ ، فإن تسارعها بالنسبة إلى النقطة P ينتج من رسم شعاعي مركبتيه الناطمية والمماسية انطلاقاً من النقطة P' على مخطط التسارع b في (الشكل-3-3) ، بحيث تعين النقطة d' . بما أن طول هاتين المركبتين يتناسب مع البعد PD ، واتجاه المركبة الناطمية ينطبق على الخط $p'p'_1$ ، أما اتجاه المركبة المماسية فهو يوازي الخط $p'iq'$ ، فإن النقطة d' تقع على الخط $p'q'$ ، وإنه من الواضح أن المثلثين $\Delta p'p'_1q'$ ، $\Delta p'd'd'$ متشابهان لكونهما قائمين فيهما:

$$\frac{p'd'_1}{p'p'_1} = \frac{d'd'}{p'q'} = \frac{PD}{PQ}$$

ومنه ينتج أن:

$$\frac{p'd'}{p'q'} = \frac{PD}{PQ} \quad (11-3)$$

أي:

$$\frac{A_{DP}}{A_{QP}} = \frac{PD}{PQ}$$

وبالتالي فإنه يمكن تعيين النقطة d' على المخطط مباشرة بحيث تقسم الشعاع $p'q'$ بالنسب وفق العلاقة (11-3) ، ويكون لدينا باستعمال مقياس رسم مخطط التسارع:

$$A_{DP} \equiv p'd' , \quad A_D \equiv o'd'$$

من الواضح أن التناسب (11-3) يبقى صحيحاً في حال كون النقطة D تقع على امتداد الخط PQ ، شرط أن يبقى تتابع النقاط الثلاث P , Q , D نفسه في كل من الوصلة ومخطط التسارع p , q , d .

كما ذكرنا في حالة مخطط السرعة ، فإنه يمكن تطوير مخطط التسارع لوصلة للحصول على مخطط متكامل لتركيبية آلية على أساس أنها مكونة من وصلات مقيدة الحركة ، بحيث إن التسارع المطلق للنقطة التي تربط وصلتين أو أكثر ، هو نفسه فيما لو عُدت هذه الوصلة على أية من هذه الوصلات ، تكون هذه النقاط بوجه عام هي مراكز الازدواجات الدورانية بين الوصلات .

من الواضح أن المركبة النازمية للتسارع النسبي بين نقطتين على كل وصلة معلومة قيمة واتجاهاً ؛ لأن السرعة الزاوية للوصلة تعين من مخطط السرعة ؛ وبالتالي تحسب قيمة هذه المركبة بدلالة البعد بين النقطتين ، ويكون اتجاهها دوماً نحو مركز الدوران النسبي . أما المركبة المماسية فإن منحائها عمودي دوماً على المركبة النازمية ، أما قيمتها فهي عادة غير معلومة ؛ وإنما تعين إما بواسطة تحليل حركة وصلة أخرى ، أو بمعرفة منحى التسارع المطلق للنقطة ، يمكن بعدئذ تعيين التسارع الزاوي للوصلة استناداً إلى قيمة المركبة المماسية ، سنوضح ذلك في الفقرة الآتية .

3-4-3- تطبيق على تركيبة رباعية القضبان

Four-Bar Mechanism Application

يمكن توضيح مجمل المفاهيم التي أوردناها في دراسة الحركة النسبية لنقاط وصلة من خلال تحليل حركة التركيبة رباعية القضبان التي تعدّ أساساً للكثير من التطبيقات العملية ، كما بينا في الفصل الثاني . يتم عادة عند تطبيق طريقة التمثيل التخطيطي رسم المخطط الحركي للتركيبة عند وضع معين للوصلة القائدة ذات الحركة المعلومة ، يمكن عندئذ رسم كل من مخططي السرعة والتسارع للتركيبة على التوالي ؛ وبالتالي تعيين السرعات والتسارعات الخطية والزاوية لمختلف نقاط التركيبة ، ووصلاتها عند هذا الوضع للمخطط الحركي .

إذا كان المطلوب دراسة المميزات الحركية للتركيبة عند أوضاع أخرى للوصلة القائدة ، فإنه يتم رسم المخطط الحركي عند كل من هذه الأوضاع وإنشاء مخططي السرعة والتسارع الموافقين لكل وضع منها . تعين مسارات الإزاحة الخطية أو الزاوية لمختلف نقاط التركيبة بيانياً من المخطط الحركي ، أما السرعات والتسارعات ، فإنها تعين في كل وضع من المخططات ، ويمكن بعدئذ تمثيل تغيراتها لنقطة أو أكثر ، بالنسبة لوضع الوصلة القائدة في مخطط بياني .

سنقتصر هنا على تحليل حركة أي من التطبيقات عند وضع معين واحد ؛ إذ إن الأسس المعتمدة في إنشاء المخططات عند هذا الوضع هي نفسها ، ولن يختلف تحليل الحركة في أوضاع أخرى إلا من حيث الأوضاع النسبية للوصلات ؛ وبالتالي تغير أشعة الحركة قيمة واتجاهاً وفقاً لذلك دون حدوث أي تغير في المفاهيم الأساسية للحركة النسبية التي سبق ذكرها .

يبين المخطط a في (الشكل-3-4) ، أحد أنواع تركيبة رباعية القضبان في وضع θ_2 للوصلة القائدة 2 التي تدور في هذه اللحظة بسرعة زاوية معلومة ω_2 وتسارع زاوي معلوم ε_2 بالاتجاهين المبينين على المخطط a في (الشكل-3-4) . تتم دراسة الحركة عند هذا الوضع كما يأتي:

a. المخطط الحركي

يمكن اختيار مقياس مناسب لرسم المخطط الحركي للتركيبة في الوضع المطلوب ، بدلالة أطوال الوصلات وأوضاعها النسبية المعلومة التي تكون كافية لرسم المخطط كاملاً ، إذا احتاج التحليل إلى أية قيمة طولية أو زاوية غير معلومة ، فإنه يمكن قياسها بدقة من المخطط وتحويلها إلى قيمتها الحقيقية بدلالة مقياس الرسم المختار قبل استعمالها في تعيين أية معلومات أخرى . يفضل ترقيم الوصلات بحيث تكون الوصلة الثابتة 1 ، حيث يساعد ذلك في بيان اتجاهات السرعات والتسارعات الزاوية للوصلات على المخطط نفسه .

b. دراسة السرعة بطريقة مخطط السرعة

إن المعادلات الشعاعية لدرجة كل من النقطتين B , C ، هي:

$$V_B = V_A + V_{BA}$$

$$V_C = V_A + V_{CA}$$

$$V_C = V_B + V_{CB}$$

حيث:

V_A تمثل السرعة المطلقة للنقطة A على الوصلة 2 ، معلومة القيمة ($V_A = O_2A \cdot \omega_2$) ، وباتجاه عمودي على الوصلة O_2A يوافق اتجاه دوران ω_2 .

V_B تمثل السرعة المطلقة للنقطة B على الوصلة 4 ، مجهولة القيمة ، وبمنحى عمودي على الوصلة O_4B

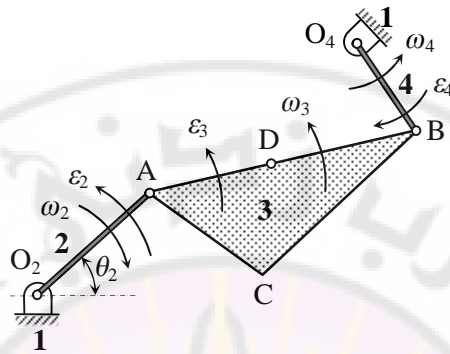
V_{BA} تمثل سرعة النقطة B بالنسبة إلى النقطة A على الوصلة 3 ، مجهولة القيمة ، وبمنحى عمودي على الوصلة AB .

V_C تمثل السرعة المطلقة للنقطة C على الوصلة 3 ، مجهولة القيمة والمنحى والاتجاه .

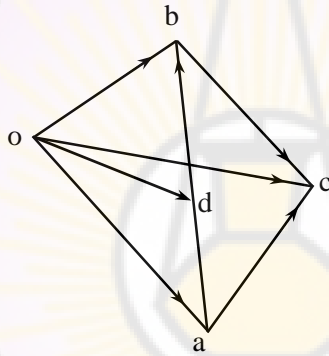
V_{CA} تمثل سرعة النقطة C بالنسبة إلى النقطة A على الوصلة 3 ، مجهولة القيمة ، وبمنحى عمودي على الوصلة AC .

V_{CB} تمثل سرعة النقطة C بالنسبة إلى النقطة B على الوصلة 3 ، مجهولة القيمة ، وبمنحى عمودي على الوصلة BC .

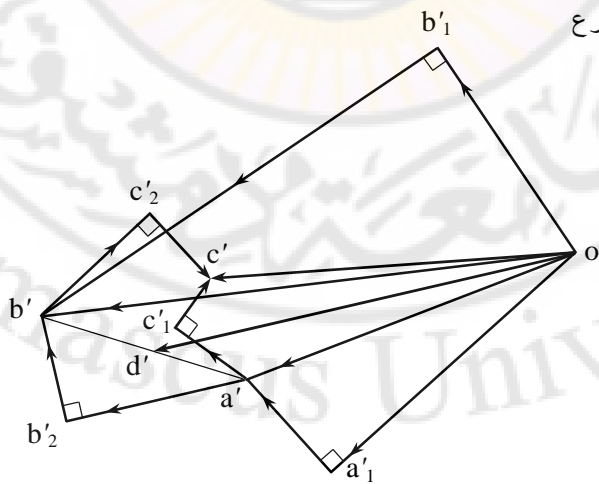
a- المخطط الحركي



b- مخطط السرعة



c- مخطط التسارع



(الشكل-3-4) مخططات الحركة لتركيبية رباعية القضبان .

تجدر الإشارة إلى أن النقطة A هي نقطة مشتركة بين الوصلتين 2 , 3 ؛ وبالتالي فإن سرعتها المطلقة واحدة أينما عدت لانعدام الحركة النسبية فيها ، كذلك الأمر بالنسبة للنقطة B المشتركة بين الوصلتين 3 , 4 ، من هذا المنطلق يمكن رسم مخطط سرعة التركيبية المبين في المخطط b في (الشكل-3-4) ، كما يأتي:

1. نختار مقياس رسم مناسب للسرعات ومن القطب o نرسم شعاعاً oa يمثل السرعة المطلقة V_A .

2. نرسم من القطب o خطاً عمودياً على الوصلة O_4B يمثل منحى السرعة المطلقة V_B ، بينما نرسم من النقطة a خطاً عمودياً على الوصلة AB يمثل منحى السرعة النسبية V_{BA} ، يتقاطع هذان الخطان في النقطة b .

3. نرسم من النقطة b خطاً عمودياً على الوصلة BC يمثل منحى السرعة النسبية V_{CB} ، بينما نرسم من النقطة a خطاً عمودياً على الوصلة AC يمثل منحى السرعة النسبية V_{CA} ، يتقاطع هذان الخطان في النقطة c .

إن المخطط الناتج هو مخطط سرعة التركيبية في هذه الوضعية ؛ إذ يمكن بوساطته تحديد قيم سرعات نقاط مختلف وصلاتها ، وذلك بقياس أطوال الأشعة الممتدة لها ومن ثم تحويل هذه الأطوال إلى قيم حقيقية للسرعات باستعمال مقياس رسم مخطط السرعة ؛ وبالتالي فإن:

$$V_B \equiv ob \quad , \quad V_C \equiv oc \quad , \quad V_{BA} \equiv ab \quad , \quad V_{CA} \equiv ac \quad , \quad V_{CB} \equiv bc$$

وبالاتجاهات المبينة على مخطط السرعة ، إذ إن الأشعة المنطلقة من القطب كافة إلى نقاط على مخطط السرعة تمثل السرعات المطلقة للنقاط الموافقة لها على التركيبية ، بينما يمثل الخط الواصل بين أي نقطتين على المخطط السرعة النسبية لهاتين النقطتين على التركيبية ، بحيث أن الشعاع المتجه من a إلى b مثلاً يمثل سرعة النقطة B بالنسبة إلى النقطة A ، بينما يمثل الشعاع المتجه من b إلى a سرعة النقطة A بالنسبة إلى النقطة B .

كما يمكن استعمال مخطط السرعة في إيجاد سرعة نقطة D تقع على الخط AB في المخطط الحركي للتركيبة ، وذلك بتقسيم الشعاع ab على المخطط ليحقق التناسب:

$$\frac{ad}{ab} = \frac{AD}{AB}$$

حيث تُمثل عندئذ السرعة المطلقة للنقطة D بالشعاع od .

أما قيم السرعات الزاوية للوصلات ، فإنها تعطى بالعلاقات:

$$w_3 = V_{BA} / AB \quad , \quad w_4 = V_B / O_4B$$

وبالاتجاهات المبينة على المخطط الحركي لتتفق مع اتجاهات أشعة السرعة المناسبة .

c. سرعة التحاك

نحتاج عادة في تصميم التركيبات إلى تعيين سرعة التحاك المؤثرة في الازدواج الدوراني بين وصلتين ، لما لهذه السرعة من أثر كبير في تحديد مدى تآكل المحور أو الوتد الواصل بينهما .

تعطى سرعة التحاك بالعلاقة:

$$V_r = r \cdot w_r \quad (13-3)$$

حيث:

r تمثل نصف قطر المحور الواصل بين الوصلتين .
 w_r تمثل السرعة الزاوية النسبية بين الوصلتين .

إن w_r في حالة الازدواج بين الوصلتين 2 , 3 تعطى بالعلاقة الشعاعية:

$$\Omega_{32} = \Omega_3 - \Omega_2$$

أي إن قيمة w_{32} الفعلية في حالتنا هذه ، هي مجموع السرعتين الزاويتين w_2 ، w_3 ؛ نظراً لكونهما متعاكستين بالاتجاه ، كما هو مبين على المخطط الحركي (الشكل-3-4) ، أما قيمة w_{43} فإنها تساوي حاصل طرح w_3 ، w_4 كونهما باتجاه واحد .

من الواضح - في حالة الازدواج الدورانية مع الوصلة الثابتة - أن السرعة

الزاوية النسبية w_r تساوي السرعة الزاوية للوصلة المتحركة ، كما في الازدواج عند O_2 حيث تساوي w_2 ، وعند O_4 حيث تساوي w_4 .

d. دراسة التسارع بطريقة مخطط التسارع

إن المعادلات الشعاعية لتسارع نقاط التركيبة المبينة في (الشكل-3-4) ، هي مماثلة لمعادلات السرعة، حيث:

$$A_B = A_A + A_{BA}$$

$$A_C = A_A + A_{CA}$$

$$A_C = A_B + A_{CB}$$

مع ملاحظة أن لكل شعاع تسارع في هذه المعادلات مركبتين فقط ، ناظرية ومماسية حسب ما بينا سابقاً في الفقرة (2-4-3) ؛ وذلك نظراً لعدم وجود نقاط متطابقة ؛ أي إن:

$$A_i^n = l_i \cdot \omega_i^2 \quad , \quad A_i^t = l_i \cdot \varepsilon_i$$

حيث:

A_i^n المركبة الناطمية لنقطة على الوصلة i .

A_i^t المركبة المماسية لنقطة على الوصلة i .

l البعد بين النقطة ومركز الدوران المطلق أو النسبي .

ω_i السرعة الزاوية للوصلة .

ε_i التسارع الزاوي للوصلة .

تتجه المركبة الناطمية دوماً من النقطة إلى مركز الدوران المطلق أو النسبي ، بينما تكون المركبة المماسية عمودية على الوصلة ، وباتجاه التسارع الزاوي . ينتج من ذلك أنه بعد تحديد السرعات الزاوية للوصلات من مخطط السرعة ، كما بينا في الفقرة **b** . يمكننا تعيين المركبات الناطمية الآتية قيمة واتجاهاً:

$$(A_A^n = O_2 A \cdot \omega_2^2) \quad , \quad \text{باتجاه من النقطة } A \text{ إلى المسند الثابت } O_2 .$$

$$(A_{BA}^n = AB \cdot \omega_3^2) \quad , \quad \text{باتجاه من النقطة } B \text{ إلى النقطة } A .$$

$$(A_B^n = O_4 B \cdot \omega_4^2) \quad , \quad \text{باتجاه من النقطة } B \text{ إلى المسند الثابت } O_4 .$$

$$(A_{CA}^n = AC \cdot \omega_3^2) \quad , \quad \text{باتجاه من النقطة } C \text{ إلى النقطة } A .$$

$$(A_{CB}^n = BC \cdot \omega_3^2) \quad , \quad \text{باتجاه من النقطة } C \text{ إلى النقطة } B .$$

وكذلك المركبة المماسية للنقطة A على الوصلة O_2A :

$$(A_A^t = O_2A \cdot e_2) \text{ عمودياً على الوصلة } O_2A \text{ وباتجاه التسارع الزاوي } \varepsilon_2 .$$

أما بقية المركبات المماسية ، فإنها مجهولة القيمة ، لكن منحائها عمودي على الوصلات المناظرة لها ، يمكن من ذلك رسم مخطط تسارع التركيبية المبين في c في (الشكل-3-4) ، كما يلي:

1. نختار مقياس رسم مناسب للتسارعات ، ومن القطب o' نرسم شعاعاً $o'a'_1$

يمثل التسارع الناظمي A_A'' ، ومن النقطة a'_1 نرسم شعاعاً a'_1a'' يمثل التسارع المماسي A_A^t ، ومنه فإن الشعاع $o'a''$ يمثل التسارع المطلق A_A .

2. نرسم من القطب o' شعاعاً $o'b'_1$ يمثل التسارع الناظمي A_B'' ، ومن النقطة a'_1 شعاعاً $a'_1b'_2$ يمثل التسارع الناظمي النسبي A_{BA}'' . ومن ثم نرسم من النقطة b'_2 خطاً عمودياً على الوصلة AB ، يمثل منحى التسارع المماسي النسبي A_{BA}^t ، ومن النقطة b'_1 خطاً عمودياً على الوصلة O_4B يمثل منحى التسارع المماسي A_B^t ، يتقاطع هذان الخطان في النقطة b' .

3. نرسم من النقطة a' شعاعاً $a'c'_1$ يمثل التسارع الناظمي النسبي A_{CA}'' ، ومن النقطة b' شعاعاً $b'c'_2$ يمثل التسارع الناظمي النسبي A_{CB}'' . من ثم نرسم من النقطة c'_1 خطاً عمودياً على الوصلة AC يمثل منحى التسارع المماسي النسبي A_{CA}^t ، ومن النقطة c'_2 خطاً عمودياً على الوصلة BC يمثل منحى التسارع المماسي النسبي A_{CB}^t ، يتقاطع هذان الخطان في النقطة c' .

إن المخطط الناتج المبين في c في (الشكل-3-4) ، هو مخطط تسارع التركيبية في هذه الوضعية ؛ إذ يمكن استخدامه في تحديد قيم تسارعات نقاط مختلف وصلاتها ، وذلك بقياس أطوال الأشعة الممتدة لها ، ومن ثم تحويل هذه الأطوال إلى قيم حقيقية للتسارعات باستعمال مقياس رسم المخطط ، حيث:

$$A_B \equiv o'b' , \quad A_C \equiv o'c' , \quad A_{BA} \equiv a'b' , \quad A_{CA} \equiv a'c' , \quad A_{CB} \equiv b'c'$$

وبالاتجاهات المبينة على مخطط التسارع ، بحيث تحقق المعادلات الشعاعية للتسارعات .

أما المركبات المماسية لهذه التسارعات فإنها ممثلة بالأشعة:

$$A_B^r \equiv b_1'b' , \quad A_{BA}^r \equiv b_2'b' , \quad A_{CA}^r \equiv c_1'c' , \quad A_{CB}^r \equiv c_2'c'$$

يمكن من ذلك تعيين التسارعات الزاوية للوصلات من العلاقات الآتية:

$$\varepsilon_3 = A_{BA}^t / AB , \quad \varepsilon_4 = A_B^t / O_4B$$

وبالاتجاهات المبينة على المخطط الحركي ، لتتفق مع اتجاهات أشعة المركبات المماسية المناسبة .

يمكن إيجاد تسارع نقطة D تقع على الخط AB بسهولة ؛ إذ يكفي تقسيم شعاع التسارع النسبي $a'b'$ على مخطط التسارع بحيث يتحقق التناسب:

$$\frac{a'd'}{a'b'} = \frac{AD}{AB}$$

حيث يمثل الشعاع $o'd'$ التسارع المطلق للنقطة D .

مسألة-3-1

يبين (الشكل-3-5) تركيبة آلية ، حيث يدور المرفق O_2A بسرعة زاوية ثابتة $(\omega_2 = 10 \text{ rad/sec})$ باتجاه دوران عقارب الساعة .

المطلوب عند الوضع $(\theta_2 = 30^\circ)$ الآتي:

1. رسم المخطط الحركي بمقياس مناسب ، حيث:
 $O_2A = 15 \text{ cm} , \quad AB = 45 \text{ cm} , \quad O_4B = O_4C = 30 \text{ cm} , \quad CD = 37 \text{ cm}$
2. تعيين السرعات الخطية والزاوية لنقاط التركيبة ووصلاتها على التوالي باستخدام مخطط السرعة .
3. تعيين التسارعات الخطية والزاوية لنقاط التركيبة ، ووصلاتها على التوالي باستخدام مخطط التسارع .
4. تعيين سرعة التحاك عند كل من الازدواجات O_2 , B , D , C إذا كان نصف قطر مسمار الربط لكل منها هو $(r = 5 \text{ mm})$.

الحل:

1. المخطط الحركي

يرسم المخطط الحركي استناداً إلى أطوال الوصلات بمقياس 1/10 ، كما في a في (الشكل-3-5) .

2. تعيين السرعات الخطية والزاوية

بما أن الوصلة 2 تتحرك حركة دورانية حول المسند الثابت O_2 ، فإن السرعة المطلقة للنقطة A هي:

$$V_A = O_2A \cdot \omega_2 = 150 \text{ cm/sec}$$

أما الوصلة 3 فإنها تتحرك حركة مستوية عامة ، حيث تنتج العلاقة الشعاعية:

$$V_B = V_A + V_{BA}$$

استناداً إلى قيمة السرعة V_A يمكن اختيار مقياس مناسب لرسم مخطط السرعة ، ليكن $(50 \text{ cm/sec} \equiv 1 \text{ cm})$.

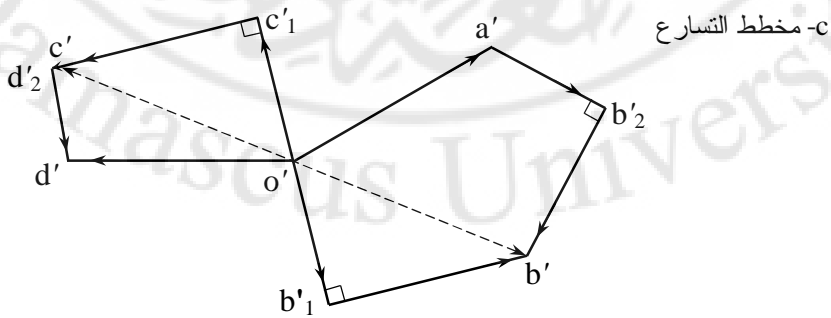
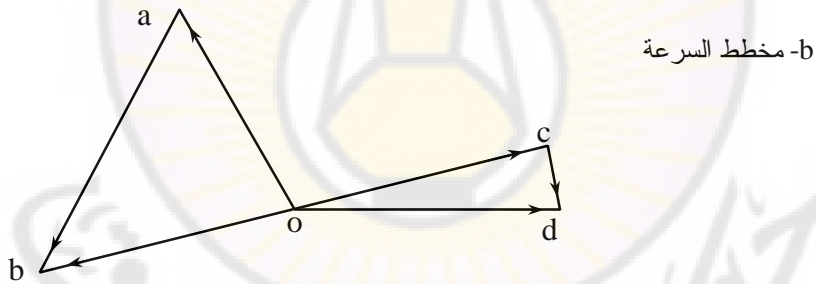
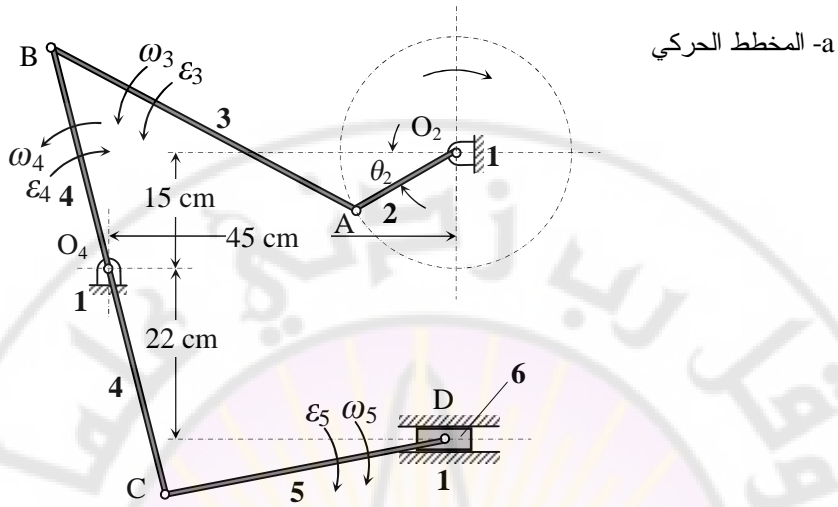
يمكن عندئذ البدء برسم مخطط السرعة باتباع الأسس المبينة في الفقرات السابقة ، علماً أن منحى السرعة المطلقة للنقطة B على الوصلة 4 هو معلوم لكونه عمودياً على الوصلة O_4B . ينتج من إجراء القياسات على مخطط السرعة b في (الشكل-3-5) وتحويلها إلى قيم حقيقية بدلالة مقياس رسم المخطط ، أن:

$$V_B = 170 \text{ cm/sec} , \quad V_{BA} = 194 \text{ cm/sec}$$

وبالاتجاهات المبينة على مخطط السرعة . يمكن عندئذ تعيين السرعة الزاوية لكل من الوصلتين 3 ، 4 ، حيث:

$$w_4 = \frac{V_B}{O_4B} = 5.66 \text{ rad/sec - ccw} , \quad w_3 = \frac{V_{BA}}{AB} = 4.31 \text{ rad/sec - ccw}$$

وبالاتجاهات المبينة على المخطط الحركي لتتفق مع اتجاهات أشعة السرعة المناسبة .



(الشكل-3-5) مخططات حركة تركيبية آلية .

بما أن الوصلة 4 تتحرك حركة دورانية حول المسند الثابت O_4 ، فإن قيمة السرعة المطلقة للنقطة C هي:

$$V_C = O_4 C \cdot \omega_4 = 170 \text{ cm/sec}$$

ومن الواضح أن اتجاه هذه السرعة هو عكس اتجاه السرعة V_B ، كما في مخطط السرعة b في (الشكل-3-5).

تتحرك الوصلة 5 حركة مستوية عامة ، حيث تنتج العلاقة الشعاعية:

$$V_D = V_C + V_{DC}$$

علماً أن النقطة D تتحرك حركة انسحابية ضمن مجرى المنزلقة 6 ؛ وبالتالي فإنه يمكن تمثيل العلاقة الشعاعية على مخطط السرعة والحصول على:

$$V_{DC} = 43 \text{ cm/sec} , \quad V_D = 173 \text{ cm/sec}$$

وبالاتجاهات المبينة على مخطط السرعة .

أما السرعة الزاوية للوصلة 5 ، فهي:

$$\omega_5 = \frac{V_{DC}}{DC} = 1.16 \text{ rad/sec} - \text{cw}$$

وبالاتجاه المبين على المخطط الحركي .

أما المنزلقة 6 فإن نقاطها جميعها تتحرك انسحابياً بسرعة النقطة D نفسها .

3. تعيين التسارعات الخطية والزاوية

بما أن السرعة الزاوية للوصلة 2 ثابتة ($\omega_2 = \text{const.}$) ؛ أي أن التسارع الزاوي ($\varepsilon_2 = 0$) لها معدوم ، والتسارع المماسي للنقطة A معدوم ($A_A^t = 0$) ؛ وبالتالي التسارع المطلق للنقطة A هو ناظمي فقط ، ويتجه من النقطة A إلى المسند الثابت O_2 ، حيث:

$$A_A = A_A^n = O_2 A \cdot \omega_2^2 = 1500 \text{ cm/sec}^2$$

أما النقطة B ، فهي مشتركة بين الوصلتين 3 ، 4 ، حيث تنتج العلاقة الشعاعية:

$$A_B^n + A_B^t = A_A + A_{BA}^n + A_{BA}^t$$

كما بينا في الفقرات السابقة ، فإن المركبات النازمية للتسارع معلومة قيمة واتجاهاً ،

حيث:

$$A_B'' = O_4B \cdot w_4^2 = 961 \text{ cm/sec}^2 \text{ ، باتجاه من النقطة B إلى المسند الثابت } O_4 .$$

$$A_{BA}'' = AB \cdot w_3^2 = 836 \text{ cm/sec}^2 \text{ ، باتجاه من النقطة B إلى النقطة A .}$$

استناداً إلى هذه القيم يمكن اختيار مقياس مناسب لرسم مخطط التسارع ، وليكن:

$$(500 \text{ cm/sec}^2 \equiv 1 \text{ cm}) .$$

تمثل أشعة العلاقة السابقة على مخطط التسارع c في (الشكل-3-5) ، حيث

نحصل بعد تحويل القياسات إلى قيم حقيقية على:

$$A_{BA}^t = 1090 \text{ cm/sec}^2 \text{ ، } A_B^t = 1325 \text{ cm/sec}^2$$

وباتجاهات المبينة على المخطط الحركي ، ومنه فإن:

$$e_3 = \frac{A_{BA}^t}{AB} = 24.22 \text{ rad/sec}^2 - \text{ccw} \text{ ، } e_4 = \frac{A_B^t}{O_4B} = 44.16 \text{ rad/sec}^2 - \text{cw}$$

وباتجاهات المبينة على المخطط الحركي والموافقة مع اتجاهات أشعة التسارع المناسبة .

يعين تسارع النقطة C بدلالة ε_4 ، ω_4 والطول O_4C ، أو مباشرة على أساس

أن هذا التسارع يساوي تسارع النقطة B الممثل بالشعاع o'b' قيمة ويعاكسه اتجاهاً .

أما تسارع النقطة D المشتركة بين الوصلتين 6 ، 5 ، فإنه يعطى بالعلاقة

الشعاعية:

$$A_D = A_C + A_{DC}'' + A_{DC}^r$$

حيث:

$$A_{DC}'' = DC \cdot w_5^2 = 49.8 \text{ cm/sec}^2$$

تمثل أشعة هذه العلاقة على مخطط التسارع c في (الشكل-3-5) ، مع ملاحظة أن

قيمة المركبة النازمية A_{DC}'' صغيرة مقارنة مع قيم مركبات التسارع الأخرى ؛ مما يؤدي

عند تمثيله على مخطط التسارع أن طوله لا يتجاوز 1 mm ؛ لذا يمكن عدّه ممثلاً بنقطة

على مخطط التسارع ، وذلك لا يؤثر على دقة النتائج ، وأن التسارع المطلق للنقطة D هو

انسحابي ، منحاه ينطبق على منحى المنزلة 6 ، ينتج من المخطط أن:

$$A_{DC}^t = 610 \text{ cm/sec}^2 \text{ ، } A_D = 1460 \text{ cm/sec}^2$$

ومنه التسارع الزاوي للوصلة DC :

$$e_5 = \frac{A_{DC}^t}{DC} = 16.48 \text{ rad/sec}^2 - cw$$

وبالاتجاه المبين على المخطط الحركي .

من الواضح أن نقاط المنزلقة 6 جميعها تتحرك بالتسارع نفسه للنقطة D .

4. تعيين سرعة التحاك

استناداً إلى ما ذكرناه سابقاً في الفقرة (3-4-3) ، ومن العلاقة (3-13) ، فإن سرعة التحاك عند الازدواج الدوراني B ، هي:

$$(V_r)_B = r(w_4 - w_3) = 6.75 \text{ mm/sec}$$

أما عند الازدواج O₄ بين الوصلة 4 والوصلة الثابتة 1 ، فإن:

$$(V_r)_{O_4} = r \cdot w_4 = 28.3 \text{ mm/sec}$$

كذلك عند الازدواج الدوراني D بين الوصلتين 5 ، 6 ، حيث ($w_6 = 0$) ، فإن:

$$(V_r)_D = r \cdot w_5 = 5.8 \text{ mm/sec}$$

يلاحظ عند الازدواج C أن سرعتين الزاويتين w_4 , w_5 متعاكستان بالاتجاه ؛ لذا فإن:

$$(V_r)_C = r(w_4 + w_5) = 34.1 \text{ mm/sec}$$

5-3- الحركة النسبية بين نقطتين متطابقتين على وصلتين متحركتين

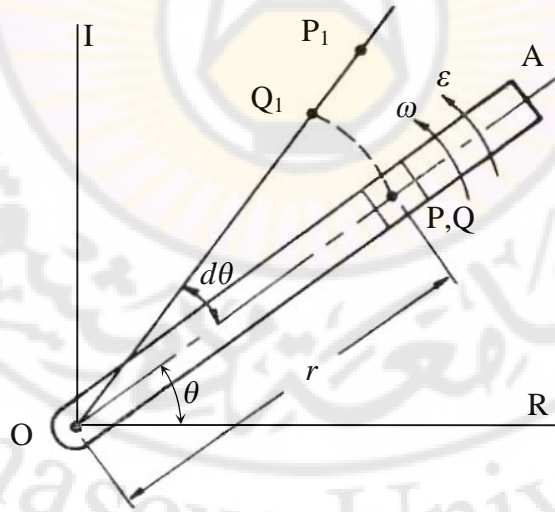
Relative Motion between Two Coincident Points of Links

درسنا في الفقرات السابقة الحركة النسبية بين نقطتين على وصلة صلبة متحركة ، حيث البعد بينهما ثابت دوماً . كما بينا كيفية تمثيل هذه الحركة تخطيطاً والاستفادة من ذلك في تحليل حركة نقاط تركيبية آلية ووصلاتها . يحدث في بعض التركيبات أن يتم تقييد الحركة النسبية بتحرك نقطة ، من وصلة متحركة ، على مسار معين بالنسبة لوصلة متحركة أخرى بواسطة سطح توجيه مستقيم أو منحني . تنشأ عندئذ حركة نسبية بين النقاط المتطابقة على الوصلتين المتحركتين ؛ مما يؤدي إلى ظهور مركبات إضافية لمميزات الحركة عند هذه النقاط .

يمكن توضيح ذلك من خلال دراسة حركة الحالة المبينة في (الشكل-3-6) ، حيث تفيد حركة الوصلة P بالانزلاق ضمن المجرى المستقيم للوصلة OA التي تدور حول المركز الثابت O بسرعة زاوية ω وتسارع زاوي ε وفق الاتجاه المبين في الشكل ، حيث:

$$w = \frac{dq}{dt} , \quad e = \frac{d^2q}{dt^2} \quad (14-3)$$

لنفرض أن النقطة المطابقة للنقطة P على الوصلة OA هي النقطة Q في هذه اللحظة . إذا دارت الوصلة OA زاوية $d\theta$ ، فإن النقطة Q تدور حول المسند الثابت O إلى النقطة Q_1 ، بينما تكون الوصلة P قد انزلقت على الوصلة OA بالنسبة للنقطة Q_1 إلى الوضع P_1 ؛ أي إن النقطة Q كونها مثبتة إلى الوصلة OA تتحرك على مسار دائري مركزه O ، بينما تتحرك النقطة P بالنسبة للمستوى الثابت على مسار منحني ما .



حركة المنزلقة P مقيدة بالانزلاق ضمن مجرى مستقيم في الوصلة OA .
(الشكل-3-6)

يمكن كتابة معادلة إزاحة النقطة P بالشكل:

$$\mathbf{OP}_1 = \mathbf{OQ}_1 + \mathbf{Q}_1\mathbf{P}_1 \quad (15-3)$$

بالاشتقاق بالنسبة للزمن ينتج:

$$\mathbf{V}_P = \mathbf{V}_Q + \mathbf{V}_{PQ} \quad (16-3)$$

حيث:

\mathbf{V}_Q تمثل سرعة النقطة Q بالنسبة إلى المسند الثابت O بمنحى عمودي على الوصلة OA ، وفق دوران ω ، وقيمتها $(V_Q = r \cdot \omega)$.
 \mathbf{V}_{PQ} تمثل سرعة انزلاق الوصلة P بالنسبة إلى النقطة Q على طول الوصلة OA ، وقيمتها $(V_{PQ} = \dots)$.

استناداً لمعادلات الحركة المركبة لجسيم مادي من كتاب الميكانيك الهندسي علم الحركة ، ينتج من اشتقاق المعادلة (16-3) بالنسبة للزمن أن:

$$\mathbf{A}_P = \mathbf{A}_Q'' + \mathbf{A}_Q^r + \mathbf{A}_{PQ}^c + \mathbf{A}_{PQ}^e \quad (17-3)$$

حيث:

\mathbf{A}_Q'' تمثل المركبة الناقضية لتسارع النقطة Q بالنسبة إلى المسند الثابت O ، بالاتجاه من النقطة Q إلى المسند الثابت O ، وقيمتها العددية $(A_Q'' = r \cdot \omega^2)$.
 \mathbf{A}_Q^r تمثل المركبة المماسية لتسارع النقطة Q بالنسبة إلى المسند الثابت O ، باتجاه عمودي على الوصلة OA ، وقيمتها العددية $(A_Q^r = r \cdot \alpha)$.
 \mathbf{A}_{PQ} يمثل التسارع النسبي لانزلاق الوصلة P بالنسبة إلى النقطة Q على طول الوصلة OA ، وقيمتها العددية $(A_{PQ} = \dots)$.
 \mathbf{A}_{PQ}^c يدعى بتسارع كوريوليس أو التسارع المتمم ، ويمثل تسارع النقطة P بالنسبة إلى النقطة Q باتجاه عمودي على الوصلة OA ، وقيمتها العددية $(A_{PQ}^c = 2V_{PQ} \cdot \omega)$.

نلاحظ من المعادلة (17-3) أن تقييد الحركة بواسطة سطح توجيه على وصلة متحركة ، قد نشأ عنه مركبة إضافية للتسارع \mathbf{A}_{PQ}^c .

(الشكل-3-7) المتغيرات الممكنة في اتجاهات السرعة النسبية ، والسرعة الزاوية ، وتساير كوريوليس .

يحدث في بعض التركيبات أن تحدد حركة المنزلقة P على مسار منحني ، كما في (الشكل-3-8) ، حيث تتغير السرعة النسبية V_{PQ} بالقيمة والمنحى ؛ مما تنتج منه مركبتان للتسارع النسبي A_{PQ} ، واحدة مماسية لمسار الانزلاق ، والأخرى ناظرية عليه باتجاه مركز انحناء هذا المسار ، بينما منحى السرعة النسبية V_{PQ} مماسي لمسار الانزلاق . في هذه الحالة تبقى المعادلة (3-16) صحيحة ، بينما يمكن كتابة المعادلة (3-17) بالشكل العام:

133

تعدّ العلاقة الشعاعية (3-18) المعادلة العامة للتسارع في التركيبات الآلية ، حيث يمكن انعدام بعض حدودها وفقاً للحركة النسبية الحاصلة بين مختلف الوصلات المكونة للتركيبة .

يتضح مما تقدم أن الشرط اللازم والكافي لنشوء مركبة تسارع كوريوليس في حركة مستوية ، هو ترافق الحركة النسبية الانزلاقية على مسار معين في وصلة بدوران هذه الوصلة . يجب الانتباه إلى أن السرعة الزاوية المستعملة في تعيين قيمة مركبة التسارع هذه واتجاهها ، هي السرعة الزاوية للوصلة التي تحصل على مسارها السرعة النسبية الانزلاقية .

3-5-1- تطبيق على تركيبة المرفق والذراع المشقوق

Crank-Shaper Mechanism Application

تعدّ تركيبة المرفق والذراع المشقوق مثلاً نموذجياً لدراسة الحركة عند وجود نقاط متطابقة على وصلتين .

a. المخطط الحركي

يبين a في (الشكل-3-9) المخطط الحركي لهذه التركيبة التي سبقت الإشارة إليها في الفقرة (1-7-2) ، حيث يدور المرفق O_2P بسرعة زاوية ثابتة ω_2 ، باتجاه عكس دوران عقارب الساعة ؛ ليعطي المنزلقة D حركة سريعة الارتداد نحو اليمين .

يمكن دراسة الحركة للوضع المبين باتباع خطوات مشابهة ، من حيث المبدأ لما اتبعناه في الفقرة (3-4-3) ، مع ملاحظة أن الوصلة 3 هي منزلقة مقيدة الحركة على مسار مستقيم معين ممثل بسطح توجيه في الوصلة 4 ، الممثلة بالخط المستقيم O_4C والتي تدور في الوقت نفسه حول المركز O_4 .

b. دراسة السرعة بطريقة مخطط السرعة

نلاحظ من الشكل أن النقطتين P , Q متطابقتان حيث P هي النقطة المشتركة بين المرفق والمنزلقة ، الوصلتين 3 , 2 ، بينما Q هي النقطة المطابقة لها في هذه اللحظة على الذراع المشقوق ، الوصلة 4 ، ينتج من ذلك نشوء سرعة نسبية انزلاقية بين النقطتين باتجاه مواز للوصلة 4 .

إن المعادلات الشعاعية للسرعة هي:

$$\begin{aligned} V_P &= V_Q + V_{PQ} \\ V_D &= V_C + V_{DC} \\ V_C &= \frac{O_4C}{O_4Q} V_Q \end{aligned} \quad (19-3)$$

حيث:

V_P تمثل السرعة المطلقة للنقطة P باتجاه عمودي على الوصلة O_2P ، قيمتها تساوي $(V_P = O_2P \cdot \omega_2)$.

V_Q تمثل السرعة المطلقة للنقطة Q باتجاه عمودي على O_4Q ، مجهولة القيمة .

V_{PQ} تمثل السرعة النسبية للنقطة P بالنسبة إلى النقطة Q باتجاه مواز للوصلة O_4C ، مجهولة القيمة .

V_{DC} تمثل السرعة النسبية للنقطة D بالنسبة إلى النقطة C باتجاه عمودي على الوصلة CD ، مجهولة القيمة .

V_D تمثل السرعة المطلقة للنقطة D باتجاه مواز لخط الشوط الأفقي ، مجهولة القيمة .

V_C تمثل السرعة المطلقة للنقطة C باتجاه عمودي على O_4C ، قيمتها متناسبة مع V_Q وفق العلاقة (19-3) .

استناداً إلى هذه المعطيات يمكن تمثيل معادلات السرعة تخطيطياً ، والحصول على مخطط السرعة المبين في b في (الشكل-3-9) ، حيث ينتج بعد تحويل أطوال الأشعة إلى قيم حقيقية بدلالة مقياس رسم المخطط أن:

$$\begin{aligned} V_P &= op \quad , \quad V_{PQ} = qp \quad , \quad V_Q = oq \\ V_C &= oc \quad , \quad V_{DC} = cd \quad , \quad V_D = od \end{aligned}$$

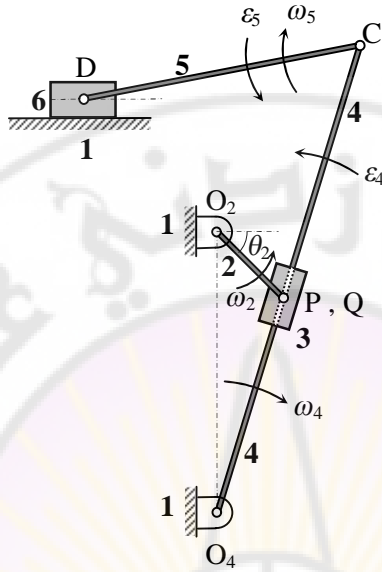
يمكن كذلك تعيين السرعة الزاوية لكل من الوصلتين 4 , 5 ، حيث:

$$w_4 = V_C / O_4C \quad , \quad w_5 = V_{DC} / CD$$

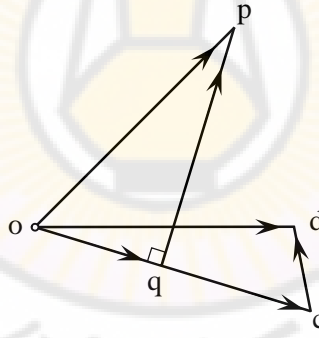
وباتجاه دوران عقارب الساعة ، كما هو مبين على المخطط الحركي .

أما سرعة التحاك في حالة الأزواج الانزلاقي بين الوصلتين 4 , 3 ، فهي السرعة النسبية بين النقطتين المتطابقتين V_{PQ} . من الواضح أنه في حالة كون إحدى الوصلتين ثابتة ، كما في D ، فسرعة التحاك هي السرعة المطلقة للمنزلة نفسها .

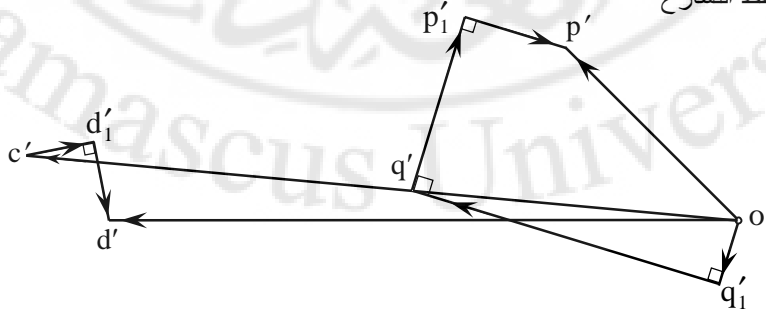
a- المخطط الحركي



b- مخطط السرعة



c- مخطط التسارع



(الشكل-9-3) مخططات حركة تركيبية المرفق والذراع المشقوق .

c. دراسة التسارع بطريقة مخطط التسارع

استناداً للمعادلة (3-18) ، يمكن كتابة المعادلة الشعاعية لتسارع النقطة P على الشكل الآتي:

$$A_P'' + A_P^r = A_Q'' + A_Q^r + A_{PQ}'' + A_{PQ}^r + A_{PQ}^c \quad (20-3)$$

نلاحظ في هذه المعادلة أن المركبة المماسية A_P^r معدومة كون سرعة الوصلة ω_2 ثابتة ، كما أن المركبة النازمية A_{PQ}'' معدومة أيضاً كون الحركة النسبية الانزلاقية مستقيمة على طول الوصلة 4 ، أما المركبات النازمية الباقية ، فإنها معلومة القيمة بدلالة أطوال الوصلات والسرعات الزاوية المناسبة ، وتتجه من النقطة إلى مركز الدوران المناسب . بما أن الوصلة 4 التي تحوي سطح التوجيه ؛ أي التي تحصل على مسارها السرعة النسبية V_{PQ} ، فإنه يمكن تعيين قيمة مركبة تسارع كوريوليس من العلاقة:

$$A_{PQ}^c = 2 V_{PQ} \cdot \omega_4$$

حيث V_{PQ} ، ω_4 معلومتا القيمة والاتجاه من مخطط السرعة ، أما اتجاه هذه المركبة ، فإنه يحدد باتباع طريقة تدوير شعاع السرعة النسبية V_{PQ} زاوية 90° باتجاه ω_4 ، الموضحة في الفقرة (3-5) و (الشكل-3-7) .

أما المركبة المماسية A_Q^r ، فإنها مجهولة القيمة ، لكن منحاه عمودي على O_4Q ، كما أن المركبة المماسية A_{PQ}^r ذات منحى مواز للوصلة O_4Q ، وهي مجهولة القيمة . من هذه المعلومات يمكن تمثيل المعادلة (3-20) تخطيطياً ، كما هو مبين في المخطط c في (الشكل-3-9) ، على الشكل الآتي:

1. نرسم الشعاع $o'p'$ بمقياس رسم مناسب ؛ ليمثل التسارع النازمي A_P'' ، بالاتجاه من النقطة P إلى المركز الثابت O_2 .
 2. نرسم الشعاع $o'q'_1$ بمقياس الرسم ؛ ليمثل التسارع النازمي A_Q'' ، بالاتجاه من النقطة Q إلى المركز الثابت O_4 .
 3. نرسم من النقطة q'_1 خطاً عمودياً على O_4Q ؛ ليمثل منحى التسارع المماسي A_Q^r .
 4. نرسم عند النقطة p' الشعاع $p'i'p'$ ؛ ليمثل تسارع كوريوليس A_{PQ}^c بالقيمة والاتجاه ، وبحيث إن نهاية هذا الشعاع تنتهي عند نهاية الشعاع $o'p'$.
 5. نرسم من النقطة p'_1 خطاً موازياً للوصلة O_4Q ؛ ليمثل منحى التسارع المماسي A_{PQ}^r .
- يتقاطع الخطان المرسومان وفق (3 و 5) في q' .

نلاحظ أن المضلع الناتج يحقق المعادلة الشعاعية (20-3) وفق اتجاهات الأشعة المبينة على مخطط التسارع ، حيث ينتج بعد التحويل إلى قيم حقيقية أن:

$$\begin{aligned} A_p &= o'p' & , & & A_Q &= o'q' & , & & A_Q'' &= o'q'_I \\ A_Q^t &= q'_I q' & , & & A_{PQ}^r &= q'p'_I & , & & A_{PQ}^c &= p'_I p' \end{aligned}$$

يمكن عندئذ إكمال رسم مخطط التسارع بسهولة ليحقق المعادلات الشعاعية:

$$A_C = \frac{O_4 C}{O_4 Q} A_Q$$

$$A_D = A_C + A_{DC}'' + A_{DC}^r$$

حيث ينتج لدينا أن:

$$A_C = o'c' & , & A_{DC}^t = d'_I d' & , & A_D = o'd'$$

إذ إن المركبة الناعمية A_{DC}'' وتساوي إلى $(A_{DC}'' = CD \cdot w_5^2)$ وباتجاه من النقطة D إلى النقطة C .

كما أن:

$$e_5 = A_{DC}^t / CD & , & e_4 = A_Q^t / O_4 Q$$

وباتجاه عكس دوران عقارب الساعة ، كما هو مبين على المخطط الحركي .

مسألة-3-2

يبين المخطط a في (الشكل-3-10) تركيبة آلية تستعمل للحصول على حركة سريعة الارتداد ، حيث يدور المرفق O_2A حول المسند الثابت O_2 بسرعة زاوية ثابتة قدرها 1.5 rad/sec باتجاه حركة عقارب الساعة ؛ لينقل الحركة إلى الذراع المتأرجح 4 عبر المنزلقة 3 ، ومنه إلى المنزلقة 6 عبر الوصلة 5 .

المطلوب دراسة الحركة لعناصر التركيبية عند الوضع ($\theta_2 = 150^\circ$) ، وذلك بـ:

1. رسم المخطط الحركي بمقياس مناسب ، حيث:
 $O_2A = 20 \text{ cm}$ ، $O_4B = 20 \text{ cm}$ ، $BC = 65 \text{ cm}$ ، $a = 12 \text{ cm}$
2. تعيين السرعات الخطية لنقاط التركيبية ، والزوايا لوصلاتها على التوالي ؛ باستخدام مخطط السرعة .
3. تعيين التسارعات الخطية لنقاط التركيبية ، والزوايا لوصلاتها على التوالي ؛ باستخدام مخطط التسارع .
4. إيجاد سرعة التحاك في المفاصل C ، O_4 ، B ، إذا كان قطر محور الربط يساوي 10 mm .

الحل:

1. المخطط الحركي
يرسم المخطط الحركي استناداً إلى أطوال الوصلات بمقياس $1/10$ ، كما في المخطط a في (الشكل-3-10) .

2. تعيين السرعات الخطية والزوايا
بما أن الوصلة 2 تتحرك حركة دورانية حول O_2 ، فإن السرعة المطلقة للمنزلة A باعتبارها نقطة من الوصلة 2 ، هي:

$$V_{A_2} = O_2A \cdot \omega_2 = 30 \text{ cm/sec}$$

استناداً إلى قيمة السرعة V_{A_2} يمكن اختيار مقياس مناسب لرسم مخطط السرعة ، ليكون $(8 \text{ cm/sec} \equiv 1 \text{ cm})$.

أما المنزلقة A_3 باعتبار أنها نقطة من الوصلة 2 ، يكون:

$$V_{A_3} = V_{A_2} = 30 \text{ cm/sec}$$

وباعتبار أنها نقطة تتحرك على الوصلة 4 ، حيث تنتج العلاقة الشعاعية:

$$V_{A_3} = V_{A_4} + V_{A_3A_4}$$

يمكن عندئذ البدء برسم مخطط السرعة باتباع الأسس المبينة في الفقرات السابقة ،
 علماً أن منحى السرعة المطلقة للنقطة A_4 من الوصلة 4 هو معلوم كونه عمودياً على
 الوصلة O_4A_4 ، ومنحى السرعة النسبية $V_{A_3A_4}$ هو معلوم أيضاً كونه يوازي الوصلة
 O_4A_4 ، ينتج من إجراء القياسات على المخطط b في (الشكل-3-10) ، وتحويلها إلى قيم
 حقيقية بدلالة مقياس رسم المخطط ، أن:

$$V_{A_4} = 28 \text{ cm/sec} , \quad V_{A_3A_4} = 11.2 \text{ cm/sec}$$

وبالاتجاهات المبينة على المخطط . يمكن عندئذ تعيين السرعة الزاوية للوصلة 4 ، حيث:

$$w_4 = \frac{V_{A_4}}{O_4A_4} = 1 \text{ rad/sec - cw}$$

وبالاتجاه المبين على المخطط الحركي ، وبعد إجراء قياس O_4A_4 على المخطط الحركي ،
 وتحويله إلى قيمة حقيقية بدلالة مقياس رسم المخطط ، نتج أن:

$$O_4A_4 = 28 \text{ cm}$$

وكون النقطة B من الوصلة 4 ، فإن قيمة السرعة المطلقة لها تحدد من علاقة

التناسب:

$$V_B = \frac{O_4B}{O_4A_4} V_{A_4} \Rightarrow o_4b = \frac{O_4B}{O_4A_4} o_4a_4 = 2.5 \text{ cm}$$

ينتج بعد إجراء القياسات على مخطط السرعة b في (الشكل-3-10) ، وتحويلها إلى قيم
 حقيقية بدلالة مقياس رسم المخطط ، أن:

$$V_B = 20 \text{ cm/sec}$$

تتحرك الوصلة 5 حركة مستوية عامة ، حيث تنتج العلاقة الشعاعية:

$$V_C = V_B + V_{CB}$$

علماً أن النقطة C تتحرك حركة مستقيمة ضمن مجرى المنزلقة 6 ، وبالتالي فإنه يمكن
 تمثيل العلاقة الشعاعية على المخطط والحصول على:

$$V_{CB} = 12.6 \text{ cm/sec} , \quad V_C = 12.6 \text{ cm/sec}$$

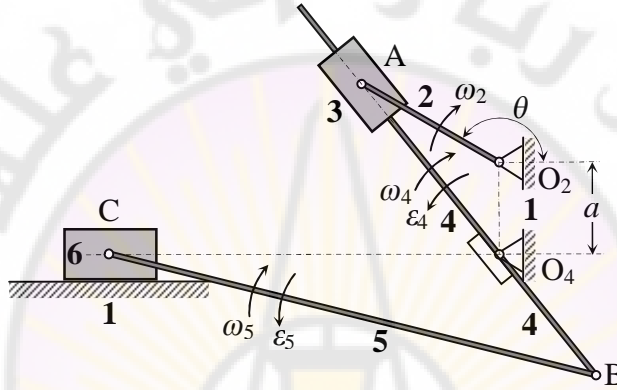
وبالاتجاهات المبينة على مخطط السرعة .

أما السرعة الزاوية للوصلة 5 ، فهي:

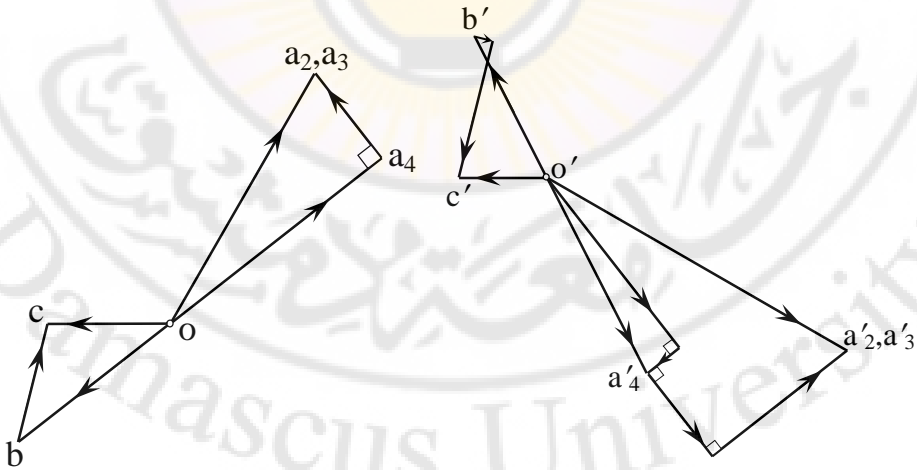
$$w_5 = V_{CB} / CB = 0.2 \text{ rad/sec} - \text{cw}$$

وبالاتجاه المبين على المخطط الحركي .

أما المنزلقة 6 فإن نقاطها جميعها تتحرك انسحابياً بسرعة النقطة C نفسها .



a- المخطط الحركي



b- مخطط السرعة

c- مخطط التسارع

(الشكل-10-3) مخططات حركة تركيبة المرفق ، والذراع المشقوق .

3. تعيين التسارعات الخطية والزاوية

بما أن السرعة الزاوية للوصلة 2 ثابتة ($\omega_2 = \text{const.}$) ؛ أي أن التسارع الزاوي ($\varepsilon_2 = 0$) لها معدوم ، والتسارع المماسي للنقطة A معدوم ($A_A^t = 0$) ؛ وبالتالي التسارع المطلق للنقطة A هو ناظمي فقط ، ويتجه من النقطة A إلى المسند الثابت O_2 ، حيث:

$$A_{A_2} = A_{A_2}^n = O_2A \cdot \omega_2^2 = 45 \text{ cm/sec}^2$$

أما المنزلقة A_3 لأنها نقطة من الوصلة 2 ، يكون:

$$A_{A_3} = A_{A_2} = 45 \text{ cm/sec}^2$$

وباعتبار أنها نقطة تتحرك على الوصلة 4 ، حيث تنتج العلاقة الشعاعية:

$$A_{A_3} = A_{A_4}^n + A_{A_4}^t + A_{A_3A_4} + A_A^c$$

حيث:

$$(A_{A_4}^n = O_4A \cdot \omega_4^2 = 28 \text{ cm/sec}^2) ، \text{ باتجاه من النقطة } A \text{ إلى المسند الثابت } O_4 .$$

$$(A_A^c = 2V_{A_3A_4} \cdot \omega_4 = 22.4 \text{ cm/sec}^2) ، \text{ باتجاه عمودي على } AB .$$

استناداً إلى هذه القيم يمكن اختيار مقياس مناسب لرسم مخطط التسارع ، وليكن:

$$(10 \text{ cm/sec}^2 \equiv 1 \text{ cm}) .$$

يمكن عندئذ البدء برسم مخطط التسارع باتباع الأسس المبينة في الفقرات السابقة ، علماً أن المركبة المماسية $A_{A_4}^t$ ، فإنها مجهولة القيمة لكن منحاًها عمودي على المركبة النازمية $A_{A_4}^n$ ، كما أن $A_{A_3A_4}$ ذات منحى مواز للوصلة O_4A ، وهي مجهولة القيمة . أما اتجاه تسارع كوريوليس ، فإنه يحدد باتباع طريقة تدوير شعاع السرعة النسبية $V_{A_3A_4}$ زاوية 90° باتجاه ω_4 ، ويرسم بحيث يغلق مخطط علاقة التسارع .

نتج بعد إجراء رسم أشعة العلاقة السابقة ، كما في مخطط التسارع c في (الشكل-3-10) ، حيث نحصل بعد تحويل القياسات إلى قيم حقيقية على:

$$A_{A_3A_4} = 13.5 \text{ cm/sec}^2 ، \quad A_{A_4}^t = 5.2 \text{ cm/sec}^2$$

وبالاتجاهات المبينة على المخطط ، ومنه فإن:

$$e_4 = \frac{A_{A_4}^t}{O_4A} = 0.185 \text{ rad/sec}^2 - \text{ccw}$$

وكون النقطة B من الوصلة 4 ، فإن قيمة التسارع المطلقة لها تحدد من علاقة التناسب:

$$A_B = \frac{O_4B}{O_4A_4} A_{A_4} \Rightarrow o'_4b' = \frac{O_4B}{O_4A_4} o'_4a'_4 = 2.04 \text{ cm}$$

ينتج بعد إجراء القياسات على المخطط c في (الشكل-3-10) ، وتحويلها إلى قيم حقيقية بدلالة مقياس رسم المخطط ، أن:

$$A_B = 20.4 \text{ cm/sec}$$

تتحرك الوصلة 5 حركة مستوية عامة ، حيث تنتج العلاقة الشعاعية:

$$A_C = A_B + A_{CB}'' + A_{CB}^t$$

علماً أن النقطة C تتحرك حركة مستقيمة ضمن مجرى المنزلقة 6 ؛ وبالتالي فإنه يمكن تمثيل العلاقة الشعاعية على المخطط والحصول على:

$$A_{CB}^t = 18.2 \text{ cm/sec}^2 , \quad A_C = 11.3 \text{ cm/sec}^2$$

وبالاتجاهات المبينة على المخطط .

أما التسارع الزاوي للوصلة 5 ، فهو:

$$e_5 = \frac{A_{CB}^t}{CB} = 0.28 \text{ rad/sec} - \text{ccw}$$

أما المنزلقة 6 فإن نقاطها جميعها تتحرك انسحابياً بتسارع النقطة C نفسها .

4. تعيين سرع التحاك

استناداً إلى ما ذكرناه سابقاً في الفقرة (3-4-3) ، ومن العلاقة (3-13) ، فإن سرعة التحاك عند الازدواج الدوراني B ، هي:

$$(V_r)_B = r(w_4 - w_5) = 4 \text{ mm/sec}$$

أما عند الازدواج O₄ بين الوصلة 4 والوصلة الثابتة 1 ، فإن:

$$(V_r)_{O_4} = r \cdot w_4 = 5 \text{ mm/sec}$$

كذلك عند الازدواج الدوراني C بين الوصلتين 5 ، 6 ، حيث ($\omega_6 = 0$) ، فإن:

$$(V_r)_C = r \cdot w_5 = 1 \text{ mm/sec}$$

مسألة-3-3

يبين (الشكل-3-11) تركيبة آلية بسيطة ، حيث يدور القرص 2 بسرعة زاوية ثابتة ($\omega_2 = 50 \text{ rad/sec}$) باتجاه دوران عقارب الساعة . تنتقل الحركة من هذا القرص إلى الوصلة 3 عبر مسمار B_2 مثبت إلى القرص . إن هذا المسمار مقيد بالحركة ضمن مجرى منحني في الوصلة 3 التي تتأرجح حول O_3 عند دوران القرص .

فإذا كان نصف قطر انحناء المجرى هو R ، ومركز الانحناء في هذه اللحظة هو C ، المطلوب دراسة الحركة في الوضع المبين في الشكل ، حيث تكون الأبعاد عندئذ:
 $O_2O_3 = 14 \text{ cm}$, $O_2B_2 = 3 \text{ cm}$, $O_3B_3 = 12.5 \text{ cm}$, $R = 19 \text{ cm}$

الحل:

1. المخطط الحركي

يرسم المخطط الحركي بمقياس $1/3$ ، كما في a في (الشكل-3-11) ، بما أن النقطة B_2 من الوصلة 2 هي مقيدة الحركة على وصلة متحركة أخرى 3 ، فإنه تنتج نقطة B_3 منطبقة عليها في الوصلة 3 ؛ وبالتالي فإن بين هاتين النقطتين حركة نسبية على المسار المنحني P .

2. دراسة السرعة

إن سرعة المسمار B_2 كونه نقطة من الوصلة 2 هي سرعة مطلقة قيمتها:

$$V_{B_2} = O_2B_2 \cdot \omega_2 = 150 \text{ cm/sec}$$

وباتجاه عمودي على O_2B_2 ، ويوافق اتجاه دوران ω_2 .

وكونه نقطة تتحرك على الوصلة 3 ، فإن سرعة المسمار B_2 المنطبقة على B_3 من الوصلة 3 تعطى بالعلاقة الشعاعية:

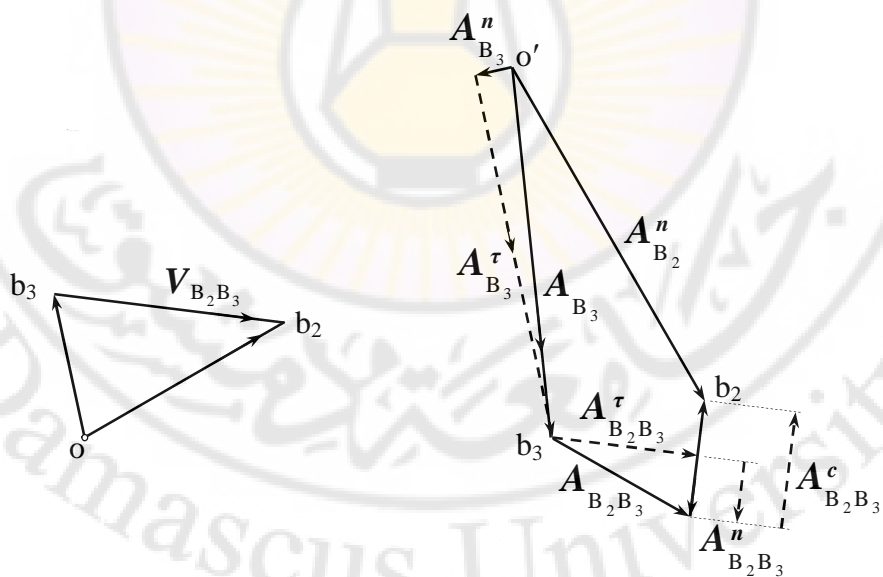
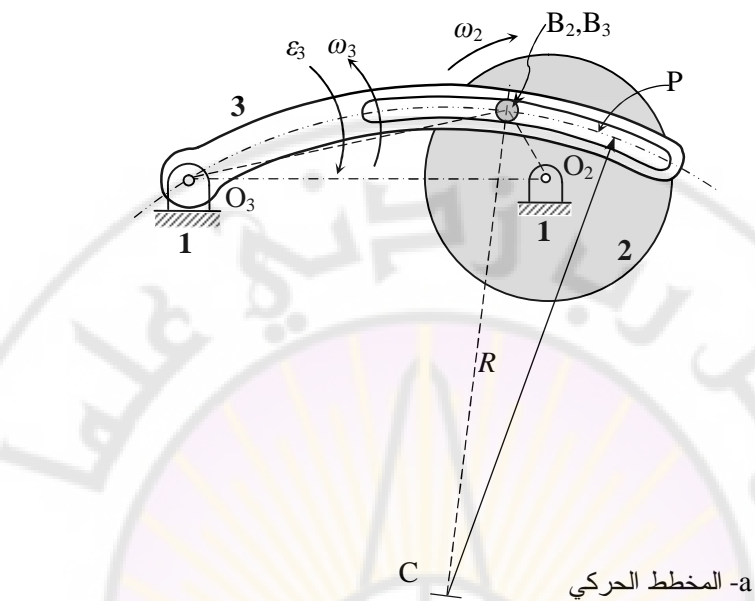
$$V_{B_2} = V_{B_3} + V_{B_2B_3}$$

باختيار مقياس مناسب لرسم مخطط السرعة ($50 \text{ cm/sec} \equiv 1 \text{ cm}$) ، حيث تمثل

العلاقة الشعاعية وفقاً للخطوات المتبعة سابقاً ، مع الإشارة إلى أن:

- منحنى السرعة V_{B_3} عمودي على O_3B_3 .

- منحنى السرعة $V_{B_2B_3}$ مماسي للمسار المنحني P ؛ أي عمودي على CB_3 .



b- مخطط السرعة

c- مخطط التسارع

(الشكل-3-11) مخططات حركة تركيبية آلية بسيطة .

ينتج من إجراء القياسات على مخطط السرعة المبين في b في (الشكل-3-11) ،
وتحويلها إلى قيم حقيقية أن:

$$V_{B_3} = 95 \text{ cm/sec} , \quad V_{B_3B_2} = 150 \text{ cm/sec}$$

وبالاتجاهات المبينة على المخطط ، كما أن السرعة الزاوية للوصلة 3 ، هي:

$$w_3 = V_{B_3} / O_3B_3 = 7.6 \text{ rad/sec} - \text{ccw}$$

3. دراسة التسارع

بما أن السرعة الزاوية للوصلة 2 ثابتة ، فإن المركبة المماسية لتسارع B_2 تساوي الصفر ، وتصبح المعادلة الشعاعية للتسارع استناداً إلى العلاقة:

$$A''_{B_2} = A''_{B_3} + A^{\tau}_{B_3} + A''_{B_2B_3} + A^{\tau}_{B_2B_3} + A^c_{B_2B_3}$$

حيث:

$$. \quad A''_{B_2} = O_2B_2 \cdot w_2^2 = 7500 \text{ cm/sec}^2 , \text{ ويتجه من النقطة } B_2 \text{ إلى المسند الثابت } O_2 .$$

$$. \quad A''_{B_3} = O_3B_3 \cdot w_3^2 = 722 \text{ cm/sec}^2 , \text{ ويتجه من النقطة } B_3 \text{ إلى المسند الثابت } O_3 .$$

$$. \quad A''_{B_2B_3} = V_{B_2B_3}^2 / R = 1184 \text{ cm/sec}^2 , \text{ ويتجه من النقطة } B_2 \text{ إلى مركز الانحناء } C .$$

$$. \quad A^c_{B_2B_3} = 2 w_3 \cdot V_{B_2B_3} = 2280 \text{ cm/sec}^2 , \text{ ويتجه من مركز الانحناء } C \text{ إلى النقطة } B_2 .$$

ينتج اتجاه مركبة تسارع كوريوليس من تدوير شعاع السرعة النسبية $V_{B_2B_3}$ بزاوية 90° باتجاه دوران الوصلة التي يحدث عليها الانزلاق w_3 ، أما المركبة الناعمية للتسارع النسبي ، فهي تتجه من النقطة إلى مركز انحناء المسار المقيد للحركة .

يمكن عندئذ رسم مخطط التسارع المبين في c في (الشكل-3-11) ، باختيار مقياس رسم مناسب ($1500 \text{ cm/sec}^2 \equiv 1 \text{ cm}$) ، علماً أن منحنى المركبة المماسية لتسارع B_3 هو عمودي على O_3B_3 ، بينما منحنى المركبة المماسية للتسارع النسبي هو مماسي لمسار المنحني P . ينتج من مخطط التسارع ، أن:

$$A^t_{B_2B_3} = 2850 \text{ cm/sec}^2 , \quad A^t_{B_3} = 7100 \text{ cm/sec}^2 , \quad A_{B_2} = 7200 \text{ cm/sec}^2$$

بالاتجاهات المبينة على المخطط . أما التسارع الزاوي للوصلة 3 ، فهو:

$$e_3 = A^t_{B_3} / O_3B_3 = 568 \text{ rad/sec}^2 - \text{cw}$$

6-3- الحركة النسبية عند نقاط تماس تدرج صرف

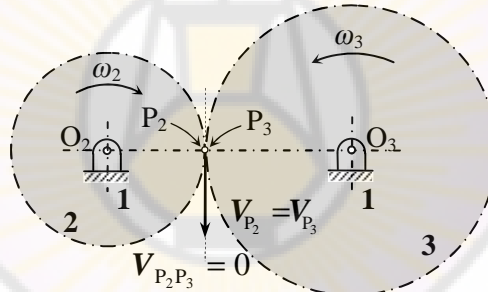
Relative Motion at Contact Points in Rolling

يعد الازدواج التدرجي أحد الوسائل المهمة المستعملة في تقييد الحركة بين وصلتين ؛ نظراً لكونه أساسياً في نقل الحركة بوساطة المسننات . يتم ذلك بتقييد حركة وصلة بالتدرج على وصلة أخرى دون انزلاق نسبي بين سطحي الوصلتين عند نقطة التماس .
يبين (الشكل-3-12) دائرتي الخطوة 3 , 2 لمسننين ، حيث الحركة عند نقطة التماس P هي تدرج صرف ، وتدعى بنقطة التدرج .

ومن الواضح وجود نقطتين متطابقتين عند التماس ، حيث تنطبق P_2 من الوصلة 2 على P_3 من الوصلة 3 ، كما أن نقطة التماس تقع على الخط الواصل بين مركزي الدائرتين O_2O_3 .

يمكن استناداً إلى المفهوم العام للحركة النسبية بين نقطتين كتابة العلاقة الشعاعية:

$$V_{P_2} = V_{P_3} + V_{P_2P_3}$$



(الشكل-3-12) دائرتي الخطوة لمسننين .

لكن بما أن الحركة عند نقطة التماس هي تدرج صرف دون انزلاق ، فإنه لا يمكن حدوث حركة نسبية بين P_2 , P_3 باتجاه المماس المشترك للدائرتين عندهما ؛ إضافة إلى عدم وجود سرعة نسبية باتجاه الناطم المشترك O_2O_3 ؛ لأن الوصلتين صلبتان ، وأي حركة نسبية بهذا الاتجاه تعني فقدان التماس بينهما ، ينتج إذن أن:

$$V_{P_2P_3} = 0 \Rightarrow V_{P_2} = V_{P_3}$$

وبالتالي فإن النقطتين المتطابقتين عند تماس تدرج صرف لهما السرعة نفسها قيمة ، واتجاهاً كما في الشكل ، من الواضح عندئذ أن:

$$\frac{w_2}{w_3} = \frac{O_3P_3}{O_2P_2} \quad (21-3)$$

أما التسارع النسبي بين النقطتين المتطابقتين ، فإنه يمكن تمثيله بمركبتين :

مماسية $A_{P_2P_3}^{\tau}$ باتجاه المماس المشترك لسطحي الوصلتين عند نقطة التماس .

ناظمية $A_{P_2P_3}^n$ باتجاه الناظم المشترك ، أي خط المركزين O_2O_3 المار بنقطة التماس .

لكن يلاحظ من (الشكل-3-13) أن منحنى المركبة المماسية $A_{P_2}^{\tau}$ للتسارع المطلق

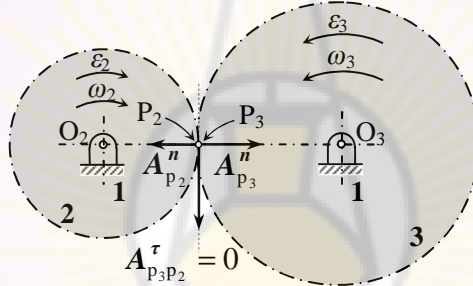
لنقطة P_2 ، هو نفسه منحنى المركبة المماسية $A_{P_3}^{\tau}$ للتسارع المطلق للنقطة P_3 ؛ أي

المماس المشترك ، كما أن منحنى المركبتين الناظمتين $A_{P_2}^n, A_{P_3}^n$ هو نفسه الناظم

المشترك ؛ لذا يمكن كتابة العلاقتين الشعاعيتين:

$$A_{P_2P_3}^{\tau} = A_{P_2}^{\tau} - A_{P_3}^{\tau}$$

$$A_{P_2P_3}^n = A_{P_2}^n - A_{P_3}^n$$



(الشكل-3-13) المركبات المماسية والناظمية عند نقطة التدرج .

بما أن شرط عدم وجود انزلاق يستلزم عدم وجود حركة نسبية بين النقطتين باتجاه

المماس المشترك ، فإن المركبتين $A_{P_2}^{\tau}, A_{P_3}^{\tau}$ متماثلتان قيمةً ، واتجاهاً ؛ وبالتالي المركبة

المماسية للتسارع النسبي معدومة ($A_{P_2P_3}^{\tau} = 0$) .

أما المركبة الناظمية لتسارع النقطة P_2 ؛ فإنها تتجه من النقطة P_2 إلى مركز

الدوران O_2 ، بينما تلك لتسارع النقطة P_3 ، فإنها تتجه من النقطة P_3 إلى مركز

الدوران O_3 ، كما في (الشكل-3-13) . من الواضح أن هاتين المركبتين متعاكستان بالاتجاه

مع كونهما على منحنى واحد O_2O_3 ؛ أي: إن تطبيق العلاقة الشعاعية للمركبات الناظمية

يؤدي إلى أن قيمة المركبة الناظمية للتسارع النسبي $A_{P_2P_3}^n$ هي مجموع قيمتي المركبتين

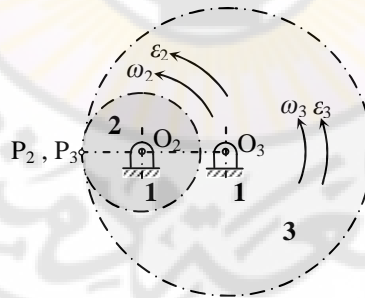
الناظمتين $A_{P_2}^n, A_{P_3}^n$ ، أما اتجاهها فهو من النقطة P_2 إلى مركز الدوران O_2 ،

بينما $A_{P_3P_2}^n$ ، فإنها لها القيمة نفسها ، لكن باتجاه من النقطة P_3 إلى مركز الدوران O_3 .

من المهم إذن الانتباه إلى وجود تسارع نسبي ناظمي رغم أن التسارع النسبي المماسي يساوي الصفر . يلاحظ أنه ليس من الضروري رسم مخطط تسارع عندما يكون المركزان O_2 , O_3 ثابتين ؛ إذ يمكن تعيين التسارعات A_{p_3} و ε_3 بسهولة استناداً إلى التحليل السابق بدلالة المعطيات الحركية للمسنن 2 ، أي ω_2 , ε_2 ، ونسبة طولي قطري المسننين . تعين السرعة الزاوية ω_3 من العلاقة (21-3) ، أما التسارع الزاوي ε_3 فإنه يحسب من $(A_{p_2}^t = A_{p_3}^t)$ ، أو من اشتقاق العلاقة (21-3) . يتم بعدئذ تعيين مركبتي تسارع النقطة P_2 ؛ وبالتالي جمعها شعاعياً للحصول على A_{p_3} .

يلاحظ في الحالة السابقة أن نقطة التماس أي نقطة التدرج وقعت بين مركزي المسننين الثابتين ، مما نتج منه أن المسننين يدوران باتجاهين متعاكسين ؛ بالتالي سرعتان الزاويتان ω_2 و ω_3 متعاكستان بالاتجاه ، وكذلك الأمر بالنسبة للتسارعين الزاويين ε_2 و ε_3 .

أما إذا وقعت نقطة التماس خارج مركزي المسننين الثابتين كما في (الشكل-3-14) ، فإن المسننين سيدوران بجهة واحدة ، وسيكون للسرعتين الزاويتين ω_2 و ω_3 والتسارعين الزاويين ε_2 و ε_3 جهة الدوران نفسها ، كما أن التحليل السابق للسرعة ، والتسارع عند نقطة تماس التدرج الصرف لن يختلف في هذه الحالة .



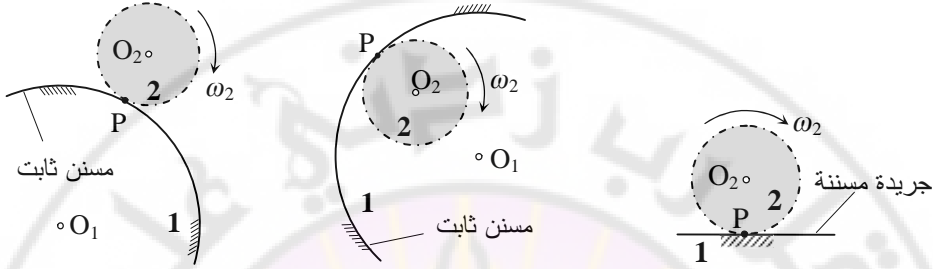
نقطة التماس خارج مركزي المسننين الثابتين .

(الشكل-3-14)

تعدّ الحالتان السابقتان لتدرج مسننين مركزاهما ثابتان الأكثر شيوعاً من الناحية العملية ، إلا أنه يمكن أن تُصادف حالتان خاصتان للنقاط المتطابقة عند نقطة تماس تدرج صرف .

- الحالة الأولى

تدحرج مسنن دائري على جريدة مسننة ثابتة أو مسنن آخر ثابت ، كما في (الشكل-3-15) .

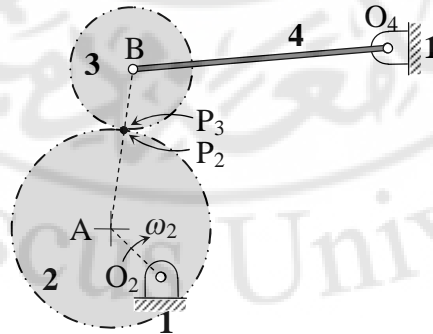


تدحرج مسنن دائري على جريدة مسننة ثابتة أو مسنن آخر ثابت .
(الشكل-3-15)

يلاحظ في هذه الحالة أن نقطة التماس P هي مركز آني للدوران ، وبما أن الحركة هي تدحرج بدون انزلاق ، فإن سرعة هذه النقطة المشتركة بين المسننين 1 و 2 معدومة ($V_p = 0$) كون أحد المسننين ثابتاً . أما التسارع الخطي لهذه النقطة ، فهو غير معدوم ، ويمكن إيجاده بسهولة من دراسة الحركة النسبية بين نقطة التماس P ، ونقطة أخرى نعدّها قطباً مثل مركز المسنن المتدحرج O_2 .

- الحالة الثانية

تدحرج مسننين دائريين على بعضهما ، ومركزاهما متحركان ، كما في (الشكل-3-16) .



تدحرج مسننين دائريين على بعضهما ومركزاهما متحركان .
(الشكل-3-16)

يلاحظ أن هذه الحالة مشابهة من حيث التحليل للحركة بين مسننين مركزاهما ثابتان ؛ إذ إن الحركة عند نقطة التماس هي تدحرج صرف دون انزلاق ؛ أي لا يمكن حدوث حركة نسبية بين النقطتين P_2, P_3 باتجاه المماس المشترك للدائرتين عندهما ؛ إضافة إلى عدم وجود سرعة نسبية باتجاه الناظم المشترك ، لأن الوصلتين صلبتان ، وأي حركة نسبية بهذا الاتجاه تعني فقدان التماس بينهما . ينتج إذن أن:

$$A_{P_2P_3}^r = 0 \quad , \quad V_{P_2P_3} = 0$$

تجدر الإشارة هنا إلى أنه من الضروري رسم مخططي السرعة ، والتسارع لتحديد سرعة ، وتسارع كل من النقطتين P_2 و P_3 ، مع ملاحظة أن المسافة بين مركزي المسننين ثابتة ؛ لأن مجموع نصفي قطريهما يبقى ثابتاً طيلة فترة الحركة .

مسألة-3-4

يبين الرسم التوضيحي a في (الشكل-3-17) المخطط الحركي لتركيبية آلية تفاضلية الشوط . الوصلتان 2 , 3 هما مسننان يتعشقان عند P . فإذا دار المسنن 2 بسرعة زاوية ثابتة قدرها $(\omega_2 = 100 \text{ rad/sec})$ باتجاه حركة عقارب الساعة ، المطلوب دراسة حركة التركيبية عند الوضع المبين في الشكل . علماً أن:

$$O_3C = O_2P = 75 \text{ mm} \quad , \quad O_3P = DE = 100 \text{ mm} \quad , \quad O_2B = 50 \text{ mm} \\ CE = 125 \text{ mm} \quad , \quad BD = 150 \text{ mm} \quad , \quad DG = 200 \text{ mm} \quad , \quad CF = 250 \text{ mm}$$

الحل:

1. المخطط الحركي

يرسم المخطط الحركي استناداً إلى أطوال الوصلات بمقياس $1/5$ ، كما في a في (الشكل-3-17) .

2. دراسة السرعة بطريقة مخطط السرعة

إن سرعة B كنقطة من الوصلة 2 بالنسبة للمركز الثابت O_2 ، هي سرعة مطلقة قيمتها:

$$V_B = O_2B \times \omega_2 = 50 \times 100 = 5000 \text{ mm/sec} \rightarrow$$

وباتجاه عمودي على O_2B ووافق اتجاه ω_2 .

استناداً إلى قيمة V_B يمكن اختيار مقياس مناسب لرسم مخطط السرعة ، وليكن
(2000 mm/sec \equiv 1 cm) ، وذلك كالآتي:

1. باختيار قطب o يمثل النقاط ذات السرعة المعدومة . نرسم شعاعاً ob يمثل
متجه سرعة النقطة B .

2. نحصل على سرعة P كونها نقطة P_2 من الوصلة 2 ، وذلك برسم من
القطب o خط عمودي على O_2P_2 يمثل منحنى السرعة V_{P_2} ، بينما نرسم من
النقطة b خطاً عمودياً على P_2B يمثل منحنى السرعة V_{P_2B} ، يتقاطع هذان
الخطان في النقطة p_2 .

3. كون P نقطة تدرج للوصلتين 2 ، 3 يكون فيها $(V_{P_2} = V_{P_3})$ ؛ بالتالي فإن
النقطة p_3 تنطبق على النقطة p_2 .

4. برسم من القطب o خط عمودي على O_3C يمثل منحنى السرعة V_C ، بينما
نرسم من p_3 خطاً عمودياً على P_3C يمثل منحنى السرعة V_{CP_3} ، يتقاطع هذان
الخطان في النقطة c .

5. برسم من القطب o خط شاقولي يمثل منحنى السرعة V_F ، بينما نرسم من
النقطة c خطاً عمودياً على الوصلة FC يمثل منحنى السرعة V_{FC} ، يتقاطع هذان
الخطان في النقطة f .

6. تحدد النقطة e على الخط cf وفق العلاقة:

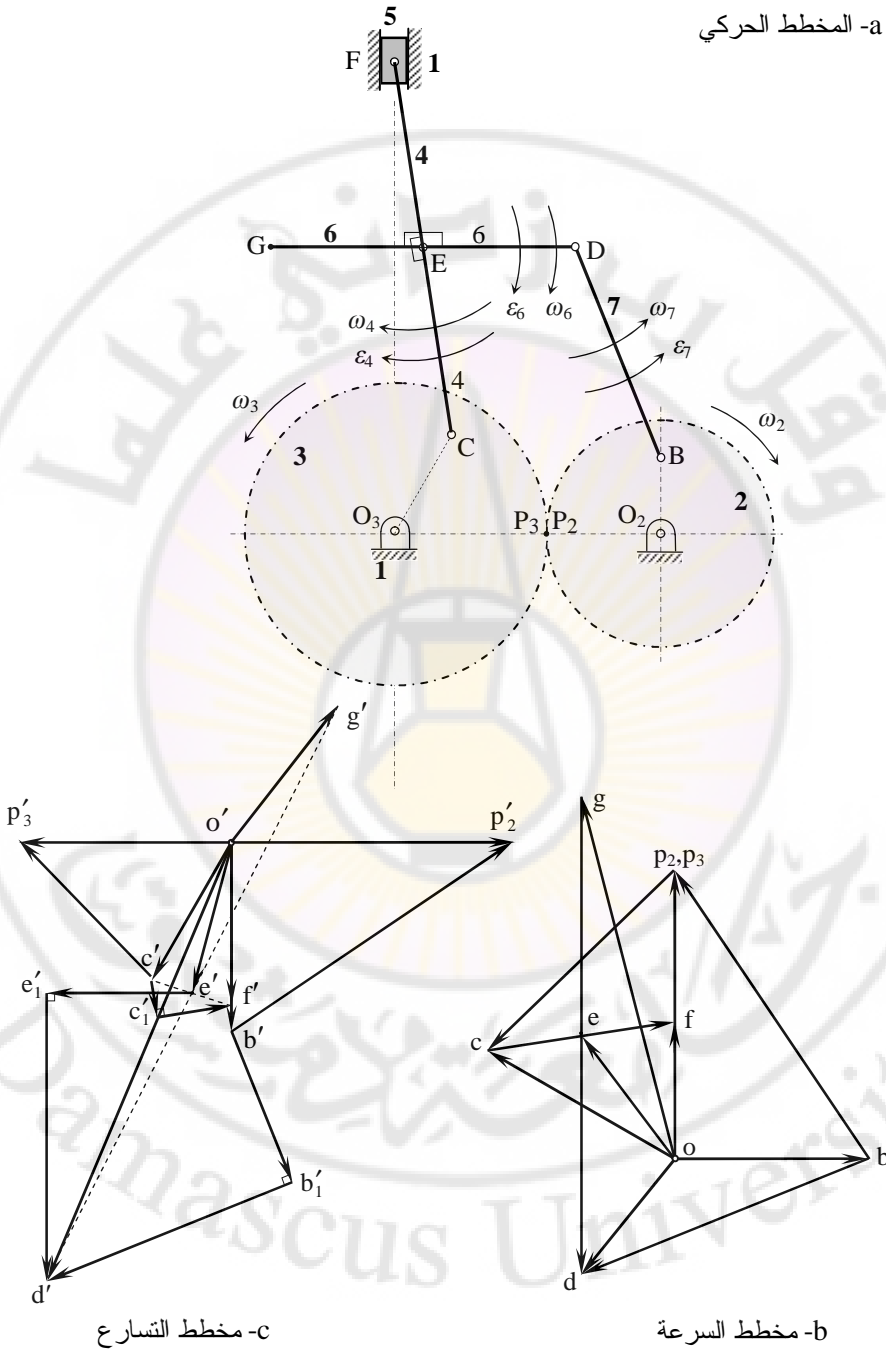
$$ce = \frac{CE}{CF} cf$$

7. برسم من النقطة e خط عمودي على الوصلة ED يمثل منحنى السرعة V_{DE} ،
بينما نرسم من النقطة b خطاً عمودياً على الوصلة BD يمثل منحنى
السرعة V_{DB} ، يتقاطع هذان الخطان في النقطة d .

8. تحدد النقطة g على الخط de وفق العلاقة:

$$gd = \frac{GD}{ED} ed$$

a- المخطط الحركي



(الشكل-3-17) مخططات حركة تركيبية آلية تفاضلية الشوط .

إن المخطط الناتج المبين في b في (الشكل-3-17) ، هو مخطط سرعة التركيبية الآلية في هذه الوضعية ، وإن الأشعة المنطلقة من القطب إلى النقاط على مخطط السرعة تمثل السرعات المطلقة للنقاط الموافقة لها على التركيبية ، بينما الأشعة الواصلة بين أي نقطتين على المخطط السرعة تمثل السرعة النسبية لهاتين النقطتين على التركيبية ، على أن توجه هذه الأشعة بحيث تدل على سرعة نقطة رأس الشعاع بالنسبة لنقطة بدايته ، وهذه الاتجاهات مبينة على المخطط .

9. بقياس أطوال الأشعة ومن ثم تحويل هذه الأطوال إلى قيم حقيقية للسرعات باستعمال مقياس رسم المخطط نحصل على:

$$op \equiv V_p \Rightarrow V_p = op \times 2000 = 3.75 \times 2000 = 7500 \text{ mm/sec}$$

$$oc \equiv V_c \Rightarrow V_c = oc \times 2000 = 2.81 \times 2000 = 5620 \text{ mm/sec}$$

$$of \equiv V_f \Rightarrow V_f = of \times 2000 = 1.8 \times 2000 = 3600 \text{ mm/sec}$$

$$oe \equiv V_e \Rightarrow V_e = oe \times 2000 = 2 \times 2000 = 4000 \text{ mm/sec}$$

$$od \equiv V_d \Rightarrow V_d = od \times 2000 = 1.95 \times 2000 = 3900 \text{ mm/sec}$$

$$og \equiv V_g \Rightarrow V_g = og \times 2000 = 4.85 \times 2000 = 9700 \text{ mm/sec}$$

أما قيم السرعات الزاوية للوصلات فنحصل عليها وفق العلاقات الآتية:

$$\omega_3 = \frac{O_2 P_2}{O_3 P_3} \times \omega_2 = 75 \text{ rad/sec}$$

واتجاهها بعكس اتجاه دوران ω_2 ، لأن نقطة التدرج تقع بين مركزي الدوران O_2 , O_3 .

$$\omega_4 = \omega_{FC} = \frac{V_{FC}}{FC} = \frac{fc \times 2000}{FC} = \frac{2.45 \times 2000}{250} = 19.6 \text{ rad/sec-cw}$$

$$\omega_5 = 0$$

$$\omega_6 = \omega_{ED} = \frac{V_{DE}}{DE} = \frac{de \times 2000}{DE} = \frac{3.1 \times 2000}{100} = 62 \text{ rad/sec-cw}$$

$$\omega_7 = \omega_{DB} = \frac{V_{DB}}{DB} = \frac{db \times 2000}{DB} = \frac{4 \times 2000}{150} = 53.3 \text{ rad/sec-ccw}$$

3. دراسة التسارع بطريقة مخطط التسارع

بما أن السرعة الزاوية للوصلة 2 ثابتة ؛ أي إن التسارع الزاوي ($\varepsilon_2 = 0$) لها معدوم ، والتسارع المماسي للنقطة B معدوم ($A_B^t = 0$) ؛ وبالتالي التسارع المطلق للنقطة B هو ناظمي فقط يتجه من النقطة B إلى مركز الدوران O_2 ، حيث:

$$A_B = A_B^n = O_2B \times \omega_2^2 = 50(100)^2 = 500000 \text{ mm/sec}^2$$

كما يمكننا تعيين المركبات الناظرية الآتية قيمة ، واتجاهاً:

$$A_{P_2}^n = O_2P \times \omega_2^2 = 75(100)^2 = 750000 \text{ mm/sec}^2$$

باتجاه من النقطة P_2 إلى مركز الدوران O_2 .

$$A_{P_3}^n = O_3P \times \omega_3^2 = 100(75)^2 = 562500 \text{ mm/sec}^2$$

باتجاه من النقطة P_3 إلى مركز الدوران O_3 .

$$A_{FC}^n = FC \times \omega_4^2 = 250(19.6)^2 = 96040 \text{ mm/sec}^2$$

باتجاه من النقطة F إلى النقطة C .

$$A_{DE}^n = DE \times \omega_6^2 = 100(62)^2 = 384400 \text{ mm/sec}^2$$

باتجاه من النقطة D إلى النقطة E .

$$A_{DB}^n = DB \times \omega_7^2 = 150(53.3)^2 = 426133 \text{ mm/sec}^2$$

باتجاه من النقطة D إلى النقطة B .

استناداً إلى هذه القيم يمكن اختيار مقياس مناسب لرسم مخطط التسارع ، وليكن $(200000 \text{ mm/sec}^2 \equiv 1 \text{ cm})$ ، وذلك كما يأتي:

1. برسم من القطب o' شعاع $o'b'$ يمثل التسارع ($A_B = A_B^n$) .

2. برسم من القطب o' خط أفقي يوازي O_2P يمثل منحنى التسارع الناظمي $A_{P_2}^n$ ،

بينما نرسم من النقطة b' خطاً موازياً لـ P_2B يمثل منحنى التسارع الناظمي

$A_{P_2B}^n$ ، يتقاطع هذان الخطان في النقطة p'_2 .

3. برسم من النقطة p'_2 خط أفقي يوازي خط المركزين O_2O_3 يمثل منحى التسارع الناظمي النسبي $A_{P_3P_2}^n$ ، ونحدد عليه النقطة p'_3 وفق الطول $p'_2p'_3$ الذي يساوي:

$$p'_2p'_3 = p'_2o'_2 + o'_3p'_3$$

حيث:

$$p'_2o'_2 \equiv A_{P_2}^n \equiv 3.75 \text{ cm} , \quad o'_3p'_3 \equiv A_{P_3}^n \equiv 2.81 \text{ cm}$$

4. برسم من النقطة p'_3 خط يوازي P_3C يمثل منحى التسارع الناظمي النسبي $A_{CP_3}^n$ ، بينما نرسم من القطب o' خطاً موازياً لـ O_3C يمثل منحى التسارع الناظمي النسبي $A_{CO_3}^n$ ، يتقاطع هذان الخطان في النقطة c' .

5. برسم من النقطة c' شعاعاً $c'e'_1$ يمثل التسارع الناظمي النسبي A_{FC}^n ، بحيث يكون موازياً للوصلة FC ، ويتجه من النقطة F إلى النقطة C ، وبطول يكافئ طويلة A_{FC}^n ، ونقيم عليه عموداً من النقطة c'_1 يمثل منحى التسارع المماسي النسبي A_{FC}^t ، بينما نرسم من القطب o' خطاً شاقولياً يوازي مسار المنزلقة F ويمثل منحى التسارع المطلق A_F ، يتقاطع هذان الخطان في النقطة f' .

6. نحدد النقطة e' على الخط $c'f'$ وفق العلاقة:

$$c'e' = \frac{CE}{CF} c'f'$$

7. برسم من النقطة e' شعاعاً $e'e'_1$ يمثل التسارع الناظمي النسبي A_{DE}^n ، بحيث يكون موازياً للوصلة DE ، ويتجه من النقطة D إلى النقطة E ، وبطول يكافئ طويلة التسارع A_{DE}^n ، ونقيم عليه عموداً من النقطة e'_1 يمثل منحى التسارع المماسي النسبي A_{DE}^t ، بينما نرسم من النقطة b' شعاعاً $b'b'_1$ يمثل التسارع الناظمي النسبي A_{DB}^n ، بحيث يكون موازياً للوصلة DB ، ويتجه من النقطة D إلى النقطة B ، وبطول يكافئ طويلة التسارع A_{DB}^n ، ونقيم عليه عموداً من النقطة b'_1 يمثل منحى التسارع المماسي النسبي A_{DB}^t ، يتقاطع هذان العمودان في النقطة d' .

8. نحدد g' على الخط $d'e'$ وفق العلاقة:

$$g'd' = \frac{GD}{ED} e'd'$$

إن المخطط الناتج المبين في c في (الشكل-3-17) ، هو مخطط تسارع التركيبية الآلية في هذه الوضعية ، وإن الأشعة المنطلقة من القطب إلى النقاط المزودة بإشارة فتحة على مخطط التسارع ، تمثل التسارعات المطلقة للنقاط الموافقة لها على التركيبية ، بينما الأشعة الواصلة بين أي نقطتين مزودة بإشارة فتحة على مخطط التسارع تمثل التسارعات النسبية لهاتين النقطتين على التركيبية ، على أن توجه هذه الأشعة بحيث تدل على تسارع نقطة رأس الشعاع بالنسبة لنقطة بدايته ، وهذه الاتجاهات مبينة على المخطط .

9. بقياس أطوال الأشعة الممثلة للتسارعات المطلقة ، ومن ثم تحويل هذه الأطوال إلى قيم حقيقية للتسارعات باستعمال مقياس رسم المخطط ، نحصل على:

$$o'c' \equiv A_c \Rightarrow A_c = o'c' \times 200000 = 2.1 \times 200000 = 420000 \text{ mm/sec}^2$$

$$o'f' \equiv A_f \Rightarrow A_f = o'f' \times 200000 = 2.15 \times 200000 = 430000 \text{ mm/sec}^2$$

$$o'e' \equiv A_e \Rightarrow A_e = o'e' \times 200000 = 2.05 \times 200000 = 410000 \text{ mm/sec}^2$$

$$o'd' \equiv A_d \Rightarrow A_d = o'd' \times 200000 = 6.3 \times 200000 = 1260000 \text{ mm/sec}^2$$

$$o'g' \equiv A_g \Rightarrow A_g = o'g' \times 200000 = 2.3 \times 200000 = 460000 \text{ mm/sec}^2$$

أما المركبات المماسية لهذه التسارعات ، فإنها ممثلة بالأشعة:

$$c_1'f' \equiv A_{FC}^{\tau} \Rightarrow A_{FC}^{\tau} = c_1'f' \times 200000 = 1 \times 200000 = 200000 \text{ mm/sec}^2$$

$$e_1'd' \equiv A_{DE}^{\tau} \Rightarrow A_{DE}^{\tau} = e_1'd' \times 200000 = 3.8 \times 200000 = 760000 \text{ mm/sec}^2$$

$$b_1'd' \equiv A_{DB}^{\tau} \Rightarrow A_{DB}^{\tau} = b_1'd' \times 200000 = 3.5 \times 200000 = 700000 \text{ mm/sec}^2$$

يمكن من ذلك تعيين التسارعات الزاوية للوصلات من العلاقات الآتية:

$$\varepsilon_4 = A_{FC}^{\tau} / FC = 800 \text{ rad/sec}^2 - cw$$

$$\varepsilon_6 = A_{DE}^{\tau} / DE = 7600 \text{ rad/sec}^2 - cw$$

$$\varepsilon_7 = A_{DB}^{\tau} / DB = 4667 \text{ rad/sec}^2 - ccw$$

وبالاتجاهات المبينة على الشكل لتتفق مع اتجاهات أشعة المركبات المماسية المناسبة .

7-3- المركز اللحظي للسرعات

Instantaneous Velocity Centre

نعلم من علم الحركة أنه يمكن عد الحركة العامة لجسم صلب في لحظة ما ، مكافئة لحركة دوران هذا الجسم حول نقطة ثابتة لحظياً في الفراغ . انطلاقاً من هذا المفهوم يمكن تعريف المركز اللحظي للسرعات بأنه:

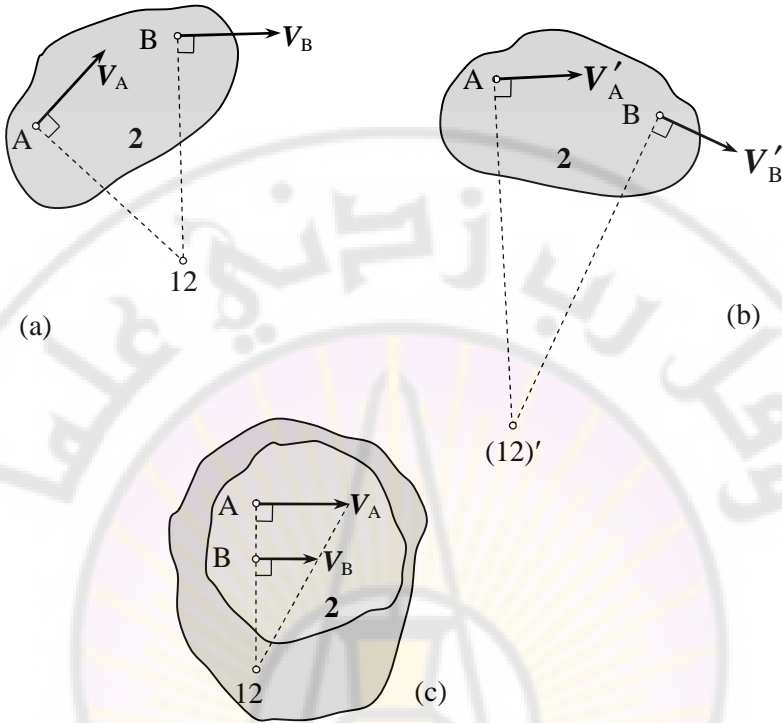
نقطة يدور حولها جسم بالنسبة لجسم آخر إما بشكل دائم أو لحظي ، حيث تكون هذه النقطة مشتركة بين الجسمين ، ولها السرعة الخطية نفسها في كل منهما بالنسبة لأي جسم آخر ؛ أي لا يوجد عندها سرعة نسبية بينهما ، ويمكن لهذه النقطة أن تكون ثابتة أو متحركة .

بينما سابقاً أننا سنقتصر في دراستنا على تحليل الحركة المستوية ؛ وبالتالي فإن المراكز اللحظية كافة تقع في مستوى الحركة . في حال كون المركز اللحظي متحركاً ، فإنه يرسم خلال حركة الجسمين منحنيًا أملس يسمى المحل الهندسي للمركز اللحظي . في حالة دوران جسم صلب يكون منحنى السرعة الخطية لأية نقطة من نقاطه عمودياً على نصف قطر الدوران عند هذه النقطة ؛ لذا ينتج من التعريف السابق أنه يكفي لإيجاد المركز اللحظي بين جسمين معرفة منحنى سرعة نقطتين مختلفتين من أحدهما بالنسبة للآخر .

يمكن توضيح ذلك من خلال (الشكل-3-18) حيث يتحرك الجسم 2 بالنسبة للمستوي الثابت 1 . إذا كانت سرعتا النقطتين A , B من هذا الجسم هما V_A , V_B بالنسبة إلى المستوي 1 ، فإن المركز اللحظي (12) هو نقطة تقاطع الخطين المنشأين عمودياً على منحنى كل من هاتين سرعتين ، كما في المخطط a في (الشكل-3-18) . من الواضح أن موقع المركز اللحظي لا يتأثر باتجاه كل من سرعتين ؛ وإنما فقط بمنحنى كل منهما . ينتج من ذلك أن المركز (12) هو المركز (21) نفسه ؛ إذ لا يحصل تغيير في منحنى السرعات النسبية عند انعكاس الحركة ؛ وإنما يتغير اتجاه هذه السرعات ؛ أي إن:

$$V_{12} = -V_{21}$$

إذا تحرك الجسم 2 إلى الوضع المبين في b في (الشكل-3-18) ، بحيث يتغير منحنى كل من سرعتي النقطتين A , B ، فإن المركز اللحظي يصبح (12)' ؛ أي إن هذا المركز قد غير موقعه خلال حركة الجسم ، فهو إذن مركز لحظي متغير .



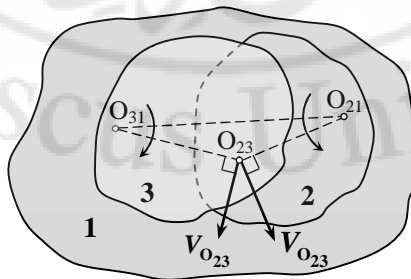
(الشكل-3-18) تحديد المركز اللحظي .

يحدث في بعض الحالات أن يتطابق العمودان المنشآن على كل من شعاعي السرعة عند النقطتين A, B . لا يمكن عندئذ تحديد موقع المركز اللحظي إلا إذا علمت قيمة كل من السرعتين ؛ أي طول كل شعاع سرعة ، حيث يكون المركز اللحظي هو نقطة تقاطع العمود المشترك المنشأ عند النقطتين A, B مع الخط الواصل بين نهايتي شعاعي السرعة ، كما في الحالة c في (الشكل-3-18) .

كما يتضح من (الشكل-3-18) أن مفهوم النقطة المشتركة بين الجسمين الذي ورد في تعريف المركز اللحظي ، لا يعني ضرورة وقوع هذا المركز ضمن الحدود الفيزيائية لأي من الجسمين ؛ إذ يمكن النظر إلى أي جسم ذي حركة مستوية بأنه غير محدود الأبعاد ضمن مستوي الحركة . إن ذلك لا يؤثر على الإطلاق في الحركة النسبية بين الجسمين قيد الدراسة ، مثال ذلك: توسيع الجسم 2 ليشمل المركز (12) لن يغير بأي حال من الأحوال سرعة كل من النقطتين A, B بالنسبة إلى المستوي 1 .

Three Instantaneous Centers in Line Theorem

إن وضع المركز O_{23} على الخط بالنسبة للمركزين يتعلق باتجاه السرعات الزاوية للأجسام 1, 2, 3 ، وقيمتها ، كما تجدر الملاحظة إلى أنه ليس من الضروري أن تكون الأجسام الثلاثة متصلة فيما بينها بأية وسيلة كانت .



160

إن هذه النظرية ذات فائدة كبيرة في تحديد أوضاع المراكز اللحظية للتركيبات الآلية المعقدة التي تتحرك أغلب وصلاتها عادة بحركة عامة ، كما سيتضح لاحقاً .

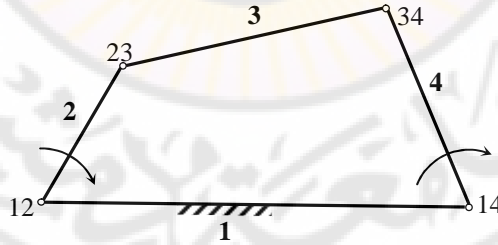
9-3- المراكز اللحظية الابتدائية *Primary Instantaneous Centers*

لما كانت طبيعة الحركة النسبية بين وصلتين في تركيبية آلية هي محددة وفقاً لنوع الأزواج الواصل بينهما ، فإنه من الضروري بيان كيفية تعيين المركز اللحظي لأنواع الأزواج المختلفة قبل البدء في إيجاد المراكز اللحظية للوصلات التي لا يوجد بينها أزواج . إن المراكز اللحظية كافة التي يمكن تحديدها مباشرة استناداً إلى نوع الأزواج بين كل وصلتين تسمى مراكز لحظية ابتدائية أو واضحة .

1-9-3- الأزواج الدوراني *Turning Pair*

في حال وجود أزواج دوراني بين وصلتين 1 ، 2 ، فإن مركز هذا الأزواج ؛ أي نقطة الوصل المشتركة بينهما ، هو مركز لحظي دائم ؛ إذ إن الوصلة 2 ستدور دوماً حول هذه النقطة بالنسبة إلى الوصلة 1 والعكس بالعكس . يمكن لهذا المركز الدائم أن يكون ثابتاً إذا كانت إحدى الوصلتين ثابتة ، أو متحركاً عندما تكون الوصلتان متحركتين .

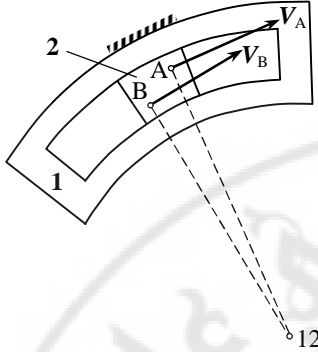
يبين (الشكل-3-20) تركيبية رباعية القضبان حيث (14) ، (12) هما مركزان لحظيان ثابتان ، بينما (34) ، (23) هما مركزان لحظيان متحركان .



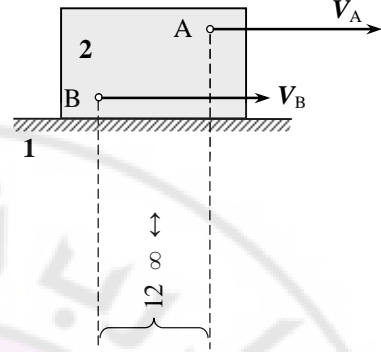
(الشكل-3-20) المراكز اللحظية الابتدائية في الأزواج الدورانية .

2-9-3- الأزواج الانزلاقي *Sliding Pair*

يبين (الشكل-3-21) حالتين لهذا الأزواج حيث تنزلق الوصلة 2 في الحالة a ضمن مجرى دائري في الوصلة 1 ؛ وبالتالي فإن نقاط المنزلقة جميعها تتحرك على مسارات دائرية متحدة في النقطة (12) ؛ أي إنها المركز اللحظي للوصلتين .



a- الانزلاق ضمن مجرى دائري



b- الانزلاق ضمن مجرى مستقيم

(الشكل-3-21) المراكز اللحظية الابتدائية في الازدواج الانزلاقية .

في الحالة b في (الشكل-3-15) تنزلق الوصلة 2 على الوصلة 1 بحركة مستقيمة ، حيث تتحرك نقاط المنزلقة كافة على مسارات مستقيمة وبالسعة نفسها . ينتج من ذلك أن الخطوط العمودية المنشأة على أشعة السرعة هي متوازية فيما بينهما تتلاقى في اللانهاية ، إما فوق المنزلقة أو تحتها ، ومنه فإن الحركة الانتقالية المستقيمة هي حالة خاصة للحركة الدورانية حيث يقع مركز الدوران في اللانهاية ؛ وبالتالي فإنه عندما تتحرك وصلة حركة انزلاقية مستقيمة بالنسبة لوصلة أخرى ، فالمركز اللحظي لهما يقع في اللانهاية على طول أي خط عمودي على مسار الانزلاق .

نلاحظ في كلتا الحالتين أنه يمكن للوصلة 1 أن تكون ثابتة أو متحركة دون التأثير في المركز اللحظي ؛ لأن ذلك لن يغير طبيعة الحركة النسبية بين الوصلتين .

Contact Pair

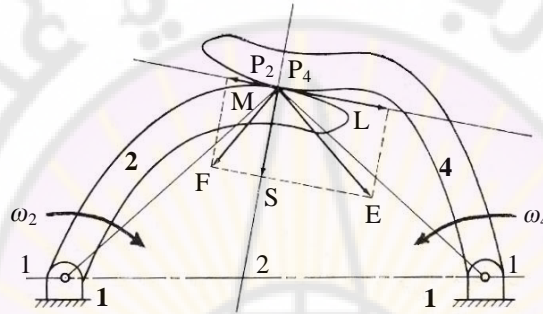
3-9-3- الازدواج بتماس مباشر

يحدث هذا الازدواج عندما تكون الوصلة القائدة بتماس مباشر مع الوصلة المقودة ؛ أي دون وجود وصلة قارئة بينهما تعمل على نقل الحركة ، مثال ذلك: نقل الحركة باستعمال المسننات ، الكامات وتوابعها ، وأقراص الاحتكاك .

في حال وجود وصلة قارئة ، فإن خط نقل الحركة ينطبق على الخط الواصل بين نهايتيها ، بينما في تركيبات التماس المباشر ، فإن خط نقل الحركة هو الناظم المشترك لسطحي الوصلتين عند نقطة التماس . نميز من الوجهة الحركية نوعين من التماس المباشر ، تماس انزلاقي ، و تماس تدرجي صرف .

- تماس انزلاقي Sliding Contact

تكون الحركة النسبية عند نقطة التماس ، في هذه الحالة انزلاقية ، كما في (الشكل-3-22) ، حيث P_2, P_4 نقطتان متطابقتان عند التماس المباشر للوصلتين 2 , 4 . إن الأزواج بين كل من هاتين الوصلتين والوصلة الثابتة 1 هو أزواج دوراني ؛ وبالتالي فإن (12) هو المركز اللحظي للوصلة 2 بالنسبة إلى 1 ، كما أن (14) هو مركز الوصلة 4 بالنسبة إلى 1 .



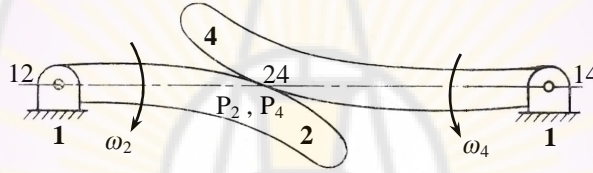
(الشكل-3-22) المراكز اللحظية الابتدائية في الأزواج ذو تماس الانزلاقي .

ينتج من تعريف المركز اللحظي أن سرعة P_2 في الوصلة 2 هي عمودية على الخط (P_2-P_4) ، وممثلة بالشعاع P_2E ، كما أن الشعاع P_4F يمثل سرعة P_4 في الوصلة 4 وهو عمودي على الخط (P_4-P_2) . يمكن تحليل كل من هذين الشعاعين بالاتجاهين الناطمي والمماسي نقطة التماس . يجب أن تكون المركبتان الناطميتان P_2S, P_4S متساويتين بالقيمة ، والاتجاه في الأوضاع كافة للحفاظ على التماس بين الوصلتين 2 , 4 .

يحدث الانزلاق عند عدم تساوي المركبتين المماسيتين P_2L, P_4M مهما كان اتجاههما أو عند تساويهما باتجاهين متعاكسين ، حيث تكون الحركة النسبية الممكنة عندئذ بين الوصلتين 2 , 4 عند نقطة التماس هي حركة انزلاق فقط على طول المماس المشترك بسرعة نسبية قيمتها الفرق الشعاعي للمركبتين المماسيتين . ينتج من ذلك أن المركز اللحظي (24) لهاتين الوصلتين يقع حتماً على طول الناطم المشترك لهما عند نقطة التماس . كما أنه استناداً إلى نظرية الفقرة (3-8) ، فإن المراكز اللحظية الثلاثة (14) ، (24) ، (12) يجب أن تقع على استقامة واحدة ؛ أي: إن المركز اللحظي (24) يحدد مباشرة بتقاطع الناطم المشترك مع الخط الواصل بين المراكز اللحظيين (14) ، (12) ، كما هو مبين في (الشكل-3-22) .

- تماس تدرجي صرف Rolling Contact

يتضح من التحليل السابق أن الشرط اللازم والكافي لحركة تدرج صرف دون انزلاق عند نقطة التماس المباشر ، هو تساوي المركبتين المماسيتين بالقيمة والاتجاه ؛ إضافة إلى تساوي المركبتين النازميتين ، وذلك منعاً لحدوث انزلاق باتجاه المماس المشترك . ينتج من ذلك أنه يجب تطابق سرعتين P_2E , P_4F قيمة ، واتجاهاً وهو ما سبق استنتاجه في الفقرة (3-6) . يلاحظ من (الشكل-3-22) أن تحقيق هذا الشرط يؤدي إلى كون الخطين $(12-P_2)$, $(14-P_4)$ على خط واحد هو الخط الواصل بين المركزين اللحظيين (12) , (14) ؛ وبالتالي يجب أن تقع نقطة التماس على هذا الخط ، كما هو مبين في (الشكل-3-23) . تكون هذه النقطة عندئذ هي المركز اللحظي (24) للوصلتين المتدرجتين استناداً للتعريف الوارد في الفقرة (3-7) ؛ إضافة إلى أنها تحقق نظرية استقامة المراكز الثلاثة .



(الشكل-3-23) المراكز اللحظية الابتدائية في الازدواج ذو تماس تدرجي صرف .

ينتج من ذلك أن في حالة تدرج صرف يكون المركز اللحظي للوصلتين هو نقطة تماسهما في هذه اللحظة . من الواضح أنه يمكن لإحدى الوصلتين أن تكون ثابتة أو متحركة كما يمكن أن تكون مستوية السطح كتدرج قرص على سطح مستو ، أو منحنية السطح كتدرج قرص على قرص آخر ، كما في حالة المسننات في (الشكل-3-12) .

يلاحظ في حالتي التماس المباشر - انزلاقي أو تدرجي - أن السرعات الزاوية تتناسب عكسياً مع الأطوال المحددة على خط المراكز من تقاطع النازم المشترك معه ، كما في (الشكل-3-12):

$$\frac{w_2}{w_4} = \frac{(14 - 24)}{(12 - 24)}$$

وبالتالي فإن شرط الحصول على نسبة ثابتة للسرعتين الزاويتين هو تقاطع النازم المشترك مع خط المراكز في نقطة ثابتة ، ويمكن تحقيق ذلك باختيار منحنيات مناسبة لكل من سطحي التماس .

10-3- تعيين المراكز اللحظية للتركيبات الآلية

Instantaneous Centers Determination in Mechanisms

بينما في الفقرة (7-3) وجود مركز لحظي واحد فقط لكل وصلتين ؛ لذا فإن عدد المراكز اللحظية في تركيبة ما يساوي عدد التوافقيات الحركية الممكنة كافة بين كل وصلتين من وصلاتها ، ومنه فإن:

$$N = \frac{n(n-1)}{2} \quad (22-3)$$

حيث:

N تمثل عدد المراكز اللحظية للتركيبة .

n تمثل عدد الوصلات في التركيبة .

يتم تعيين المراكز اللحظية لتركيبة انطلاقاً من تعيين المراكز اللحظية الابتدائية جميعها وفق ما ورد في الفقرة (9-3) لكل من الازدواجات الدورانية ، الانزلاقية وازدواجات التماس المباشر بنوعيه الانزلاقي والتدحرجي . تحدد مواقع بقية المراكز بتطبيق نظرية استقامة المراكز اللحظية الثلاثة .

يلاحظ من العلاقة (22-3) التي تحدد عدد المراكز اللحظية أن عددها يتزايد بسرعة مع عدد الوصلات ، يصل مثلاً في حالة تركيبة بسيطة ذات سبع وصلات إلى واحد وعشرين مركزاً . تكون عادة المراكز الابتدائية التي يمكن تحديدها مباشرة أقل من نصف العدد الكلي للمراكز اللحظية . يؤدي تطبيق نظرية كينيدي في تحديد بقية المراكز إلى تعقيد الرسم ؛ مما ينتج منه احتمال كبير للخطأ والتداخل ؛ لذا فقد وجدت طريقة تخطيطية بسيطة منهجية تساعد على تحديد المراكز اللحظية المتبقية بشكل تسلسلي ومنطقي ، تسمى هذه الطريقة بـ مخطط الدائرة ، لاعتمادها على رسم دائرة ما يقسم محيطها بعدد وصلات التركيبة ، وترقم النقاط الناتجة بأرقام هذه الوصلات . ليس من الضروري أن يكون التباعد متساوياً بين النقاط المتتالية .

إن الخطوط الممكنة كافة التي تصل بين كل نقطتين من هذه النقاط تمثل المراكز اللحظية . نرسم أولاً خطوطاً متصلة لتمثل المراكز اللحظية الابتدائية المحددة مباشرة من المخطط الحركي ، واستناداً إلى الأسس الواردة سابقاً ، ومن ثم تمثل المراكز اللحظية المتبقية بخطوط متقطعة .

من الضروري عند استعمال هذه الطريقة تحديد المراكز الابتدائية كافة وتمثيلها على الدائرة ، وإلا فإنه يستحيل الاستمرار في تعيين بقية المراكز بإيجاد مثلثين بينهما ضلع مشترك متقطع . كما يحدث أحياناً عند تطبيق طريقة مخطط الدائرة أن نتبع تسلسلاً في إيجاد المراكز يؤدي إلى حالة مستحيلة أو غير منطقية التحقيق ، لكن هذا لا يعني خطأ الطريقة . مثال ذلك وقوع نقطة التقاطع المحددة لأحد المراكز على مستقيمين متطابقين أو متوازيين . يجب عندئذ إدخال تعديل على تسلسل الحل ، ومحاولة تحديد هذا المركز باختيار مثلثين آخرين ، ولا يفهم من ذلك أبداً وجود خطأ في الطريقة أو استحالة الحل .

166

إن المراكز اللحظية (23 , 15 , 45 , 34 , 13 , 12) هي مراكز ابتدائية ترسم كخطوط متصلة على مخطط الدائرة ، مع الانتباه إلى التماس الانزلاقي بين 3 , 2 .

نلاحظ من هذا المخطط أنه يمكن تحديد المركز (14) كنقطة تقاطع الخط (13-34) مع الخط (15-45) على التركيبية ؛ إذ إن الخط المتقطع (1-4) في مخطط الدائرة هو الضلع المشترك للمثلثين $\Delta 134$ و $\Delta 154$. بعد تحديد المركز اللحظي (14) على التركيبية يرسم الخط (1-4) على المخطط كخط متصل ، وهكذا تكرر العملية لتحديد المراكز اللحظية المتبقية (24 , 25 , 35) على التوالي .

11-3- تحديد السرعة باستخدام المراكز اللحظية

Velocity Determination by Instantaneous Centre

- إن المبادئ الأساسية التي يعتمد عليها تعيين السرعة بطريقة المراكز اللحظية هي:
- إن قيم السرعات الخطية لنقاط وصلة دوارة تتناسب مباشرة مع أنصاف أقطار الدوران ، إن نصف قطر دوران نقطة هو البعد بين هذه النقطة ، والمركز اللحظي للوصلة بالنسبة للمستوي الثابت .
 - إن اتجاه السرعة الخطية لنقطة هو عمودي على نصف قطر دوران النقطة .
 - إن المركز اللحظي هو نقطة مشتركة بين الوصلتين لها السرعة الخطية نفسها قيمة ، واتجاهاً في كليهما .

ينتج من ذلك أنه إذا عرفت السرعة الخطية المطلقة لنقطة ما في تركيبية آلية ، فإنه يمكن بهذه الطريقة تعيين سرعة أية نقطة أخرى في هذه التركيبية بالنسبة للمستوي الثابت ؛ إضافة إلى تعيين السرعات الزاوية للوصلات .

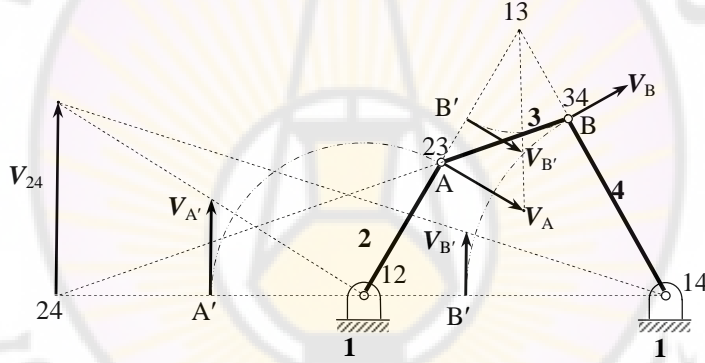
توجد عدة طرائق لتطبيق المبادئ المذكورة أعلاه ، ولكل منها مميزات تطبيقية تختلف باختلاف التركيبات المراد دراسة حركتها ؛ لذا من المفضل أن يلم القارئ بأسس أهم هذه الطرائق ؛ ليتمكن من اختيار الطريقة الملائمة في تحليل حركة معينة ، كما يمكن أحياناً استعمال طريقتين بآن واحد . سنبين هنا طريقتين تخطيطيتين لتعيين سرعات النقاط كافة في تركيبية ؛ إضافة إلى طريقة تحديد سرعة نقطة معينة من هذه النقاط مباشرة . أما طريقة الانتقال من نقطة أو وصلة إلى نقطة أو وصلة أخرى تحليلياً ، فإنه سيتم توضيحها من خلال حل مسألة .

3-11-1- طريقة خط المراكز اللحظية

Instantaneous Centre Line Method

يبين (الشكل-3-25) تركيبة رباعية القضبان حيث تم تعيين مواقع المراكز اللحظية الستة استناداً إلى ما ذكرناه سابقاً . إذا كانت سرعة النقطة A من الوصلة 2 معلومة قيمةً ، واتجاهاً ، فإنه يمكن تعيين سرعة النقطة B ، وفقاً لمفهوم المركز اللحظي .

يما أن المركز (13) هو نقطة مشتركة للوصلتين 3 ، 1 ، فإن سرعته في هذه اللحظة تساوي الصفر ؛ لأن الوصلة 1 ثابتة ؛ وبالتالي هو مركز الدوران اللحظي للوصلة 3 بالنسبة إلى الوصلة 1 عند استعماله لدراسة السرعات . تسمى المراكز المنسوبة إلى الوصلة الثابتة مراكز مسندية (*Pivot Centers*) ؛ لأن سرعتها اللحظية تساوي الصفر بالنسبة إلى مستوي الإسناد ، المراكز (12 ، 13 ، 14) هي إذن مراكز مسندية .



(الشكل-3-25) تحديد السرعة بطريقة خط المراكز اللحظية .

بما أن النقطة A مشتركة في الوصلتين 3 ، 2 ، فإن سرعتها المطلقة المعلومة V_A هي نفسها في أي منهما . ينتج من ذلك أن A ، B هما نقطتان في الوصلة 3 وسرعة كل منهما تتناسب مباشرة مع بعدها ، أي نصف قطر دورانها ، عن المركز المسندي (13) العائد للوصلة 3 ، ومنه فإن:

$$V_A = (13-23) \omega_3 , \quad V_B = (13-34) \omega_3$$

حيث ω_3 تمثل السرعة الزاوية للوصلة 3 حول المركز اللحظي (13) ، ويمكن تعيينها بسهولة من قيمة V_A المعلومة ، وقياس البعد (13-23) ، وتحويله إلى قيمته الحقيقية تبعاً لمقياس رسم المخطط الحركي للتركيبة . ينتج من ذلك أن:

$$\frac{V_A}{(13-23)} = \frac{V_B}{(13-34)} \quad (23-3)$$

يمكن تمثيل هذا التناسب بالخطوط المتقطعة في الشكل ، وإيجاد السرعة V_B قيمةً ، واتجاهاً . يتم ذلك برسم الشعاع V_A المعلوم بمقياس رسم مناسب لقيمة هذه السرعة ، ثم يدور المركز (43) ؛ أي النقطة B حول المركز المسندي (13) حتى B' . يكفي عندئذ رسم الشعاع V_B' ؛ ليحقق التناسب (3-23) ، ومن ثم تدوير هذا الشعاع مرة أخرى حول (13) إلى الوضع المبين V_B حيث يمكن قياس طوله ، وتحويله إلى قيمته الحقيقية بدلالة مقياس رسم سرعة النقطة A .

من الواضح أن التحليل السابق قد اعتمد على استقامة خط المراكز الثلاثة (13 , 23 , 12) ، تسمى المراكز لوصلتين متحركتين التي تستعمل في عملية الإنشاء ، بتدويرها حول المراكز المسندية ، بـ نقاط تحويل (Transfer Points) ، مثال ذلك : المركزان (34) , (23) . كما تسمى هذه الطريقة أحياناً بـ طريقة تدوير نصف القطر .

تبين الخطوط المتقطعة في (الشكل-3-25) إمكان تعيين السرعة V_B باستعمال خط المراكز (24 , 12 , 14) واعتماد الأسس السابقة حيث:

$$\frac{V_{24}}{V_A} = \frac{(12 - 24)}{(12 - 23)}$$

يمكن ، بعد تعيين سرعة النقاط في تركيبة ، حساب السرعة الزاوية المطلقة ω لكل من وصلاتها استناداً إلى العلاقة الأساسية ($\omega = V/R$) ، حيث تمثل V السرعة المطلقة لإحدى نقاط الوصلة ، بينما R تمثل بعد هذه النقطة عن المركز المسندي لهذه الوصلة .

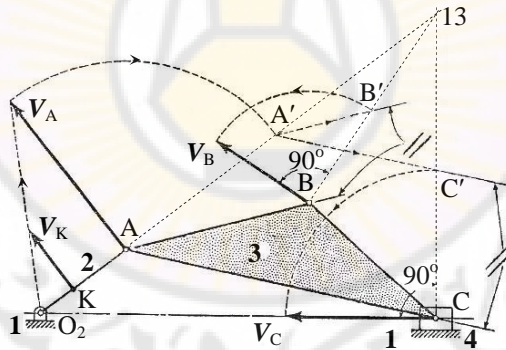
تلخص خطوات طريقة المراكز اللحظية كالآتي:

1. تعين الوصلة التي تحوي النقطة ذات السرعة المعلوم ، والوصلة التي تقع فيها النقطة المراد إيجاد سرعتها إضافة إلى وصلة الإسناد الثابتة .
2. تعين مواقع المراكز اللحظية الثلاثة العائدة للوصلات الثلاث المختارة في البند (1) ، ويرسم خط المراكز اللحظية المار بها .
3. تحدد سرعة المركز المشترك بين الوصلتين المتحركتين كنقطة من الوصلة ذات السرعة المعلوم .
4. بما أن سرعة هذا المركز المشترك هي نفسها في الوصلة المراد تعيين سرعة إحدى نقاطها ، فإنه يكفي تدوير هذه السرعة حول المركز المسندي للوصلة مجهولة السرعة حتى تصبح على خط المراكز .
5. تعين السرعة المجهولة استناداً إلى تناسب الأطوال باستعمال التشابه المثلثات .

2-11-3- طريقة الانتقال من وصلة إلى وصلة Link to Link Method

يتم في هذه الطريقة الانتقال تدريجياً من النقطة ذات السرعة المعلومة إلى الوصلة التي تليها حيث تحدد سرعة نقطة منها ، تستعمل هذه السرعة في الانتقال إلى وصلة أخرى حتى يتم تعيين سرعات النقاط جميعها في الترتيب . يعد تعيين المراكز اللحظية اللازمة لهذه الطريقة أسهل من تلك اللازمة لطريقة خط المراكز ؛ إضافة إلى احتمال وقوع مركز أو أكثر خارج حدود ورقة الرسم ، وبالتالي لا يمكن عندئذ تطبيق الطريقة المبينة في الفقرة (3-11-1).

يبين (الشكل-3-26) تركيبة منزلة ومرفق ، حيث السرعة V_K على المرفق 2 معلومة . يمكن بطريقة الوصلة إلى وصلة تعيين سرعة كل من النقطتين B ، C باستعمال المركز اللحظي (13) فقط ؛ أي بمعنى آخر : النقطة في الوصلة 3 التي سرعتها صفر . بعد رسم المخطط الحركي بمقياس مناسب يرسم الشعاع V_K بمقياس آخر مناسب للسرعات ، استناداً إلى ذلك تعيين السرعة V_A من تشابه المثلثين ، كما في (الشكل-3-26) ، ويمكن إيجاد سرعة النقطة B كالآتي:



(الشكل-3-26) تحديد السرعة بطريقة الانتقال من وصلة إلى وصلة .

يتم تدوير شعاع السرعة V_A حول النقطة A حتى ينطبق على الخط المتجه نحو المركز (13) في A' . يرسم الخط $A'B'$ موازياً للضلع AB حيث يمثل الطول BB' قيمة السرعة V_B . بما أن اتجاه سرعة النقطة B عمودي على نصف قطرها حول المركز اللحظي (13) ، فإنه يكفي عندئذ تدوير الخط BB' حتى يصبح عمودياً على (13-B) باتجاه يتفق واتجاه السرعة V_A بالنسبة لهذا المركز ، تسمى هذه الطريقة أحياناً بـ الخط الموازي لاعتمادها على إنشاء خطوط متوازية فيما بينها .

يمكن البرهان بسهولة على صحة هذا الإنشاء من كتابة نسبة التشابه:

$$\frac{BB'}{AA'} = \frac{(13-B)}{(13-A)}$$

وبما أن قيم السرعات المطلقة للنقاط ، تتناسب مباشرة مع أنصاف الأقطار الموافقة لها بالنسبة للمركز المسندي العائد للوصلة التي تقع عليها هذه النقاط ، ولما كان AA' يمثل قيمة V_A ، فإن BB' يمثل قيمة V_B . يمكن بطريقة مماثلة إيجاد سرعة C .

تبين الخطوط المتقطعة في (الشكل-3-26) تتابع خطوات الإنشاء كاملة . من البديهي ضرورة تحويل أية قياسات إلى القيم الحقيقية لكل منها بدلالة مقياس الرسم الذي تم اختياره للسرعات . كما أن اتجاه التدوير هو بحيث يبقى اتجاه السرعة الزاوية لكل وصلة هو نفسه حول المركز المسندي الموافق لها .

يلاحظ من هذا الإنشاء أنه لا يستلزم تعيين موقع المركز (13) على ورقة الرسم ، لكن يكفي تحديد اتجاه الخطوط المنطلقة من نقاط الوصلة 3 نحو هذا المركز ؛ وبالتالي فإن هذه الطريقة ملائمة للحالات التي تكون فيها بعض المراكز اللحظية خارج حدود الورقة .

أما السرعة الزاوية ω_3 فيمكن تعيينها بسهولة من العلاقة:

$$\omega_3 = \frac{V_B}{(13-B)} = \frac{BB'}{(13-B)} k$$

وفي حال عدم وقوع المركز اللحظي (13) ضمن حدود الرسم ؛ أي لا يمكن قياس البعد (13-B) ، فإنه يمكن البرهان بسهولة من تشابه المثلثات ، وخصائص التناسب أن:

$$\omega_3 = \frac{AB - A'B'}{AB} k = (1 - \frac{A'B'}{AB}) k$$

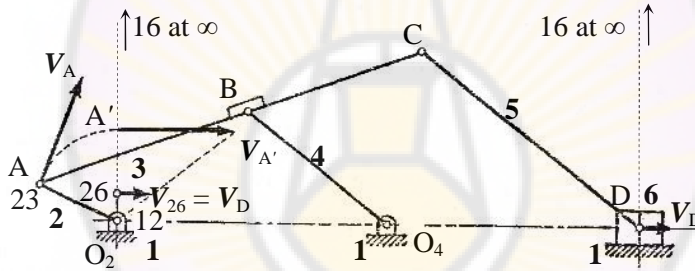
حيث k تمثل نسبة مقياس رسم السرعات إلى مقياس رسم المخطط الحركي .

3-11-3 طريقة مباشرة

Direct Method

يحدث أحياناً أن يكون المطلوب تعيين سرعة نقطة معينة في التركيبة دون الاهتمام بسرعات بقية النقاط . يتم عندئذ الانتقال مباشرة من الوصلة التي تحوي النقطة ذات السرعة المعلومة إلى الوصلة التي تحوي النقطة المراد إيجاد سرعتها . توفر هذه الطريقة الجهد الكبير اللازم في الطريقتين السابقتين ؛ بخاصة عندما تتكون التركيبة من وصلات كثيرة نسبياً ؛ إذ يكفي عندئذ تعيين المركز اللحظي للوصلة المجهولة بالنسبة للوصلة المعلومة ، حيث تمثل السرعة المطلقة لهذا المركز بوجه عام سرعة نقطة من نقاط الوصلة المجهولة .

يمكن توضيح مبدأ تطبيق هذه الطريقة من خلال الإنشاء المبين في (الشكل-3-27) ، حيث سرعة النقطة A من الوصلة 2 معلومة ، والمطلوب تعيين سرعة المنزلقة D ، أي: الوصلة 6 .



(الشكل-3-27) تحديد السرعة بطريقة مباشرة .

يعين المركز اللحظي (26) للوصلتين 2 , 6 باتباع خطوات تعيين المراكز اللحظية . بما أن الوصلة 6 تتحرك حركة انسيابية ، فإن نقاطها جميعها لها السرعة نفسها ، أي: إن سرعة المركز اللحظي (26) بالنسبة للمستوي الثابت 1 تحدد سرعة هذه الوصلة ؛ وبخاصة النقطة D منها ، ومنه:

$$V_{26} = V_D$$

يوضح الشكل الإنشاء التخطيطي استناداً إلى خط المراكز (16 , 26 , 12) وفق ما ذكرنا سابقاً في الفقرة (3-11-1) . يفضل عادة عند تطبيق الطريقة المباشرة اللجوء إلى حساب سرعة المركز اللحظي (26) تحليلياً ، من دون الحاجة إلى الرسم إذ ينتج من كون هذا المركز نقطة في الوصلة 2 أن:

$$V_{26} = (12 - 26) \omega_2 = V_D$$

حيث ω_2 تمثل السرعة الزاوية للوصلة المعلومة 2 ، وهي إما تعطى مباشرة أو تحسب من سرعة النقطة المعطاة V_A على الوصلة 2 . أما البعد (12-26) ، فإنه يقاس من المخطط الحركي ، ويحول إلى قيمته الحقيقية .

يمكن في حالة حركة منحنية عامة للوصلة المجهولة استعمال الإنشاء التخطيطي أو الحساب التحليلي ، حيث تمثل سرعة المركز اللحظي للوصلتين سرعة نقطة من نقاط الوصلة المجهولة . يستفاد من هذه السرعة في تعيين السرعة الزاوية لهذه الوصلة ، ومن ثم يصبح من السهل تحديد سرعة أية نقطة أخرى منها .

مسألة-3-5

يبين (الشكل-3-28) التركيبة التي تمت دراسة حركتها ، في المسألة-3-1 ، بطريقة مخططات الحركة النسبية في (الشكل-3-5) .
والمطلوب تعيين سرعات نقاطها بطريقة المراكز اللحظية .

الحل:

المخطط الحركي

استناداً إلى الأبعاد التي سبق إعطاؤها في المسألة-3-1 ، يرسم المخطط الحركي بمقياس $1/20$ ، كما هو مبين في a في (الشكل-3-28) .

تعيين المراكز اللحظية

يرسم مخطط الدائرة b في (الشكل-3-28) ، حيث المراكز اللحظية الابتدائية المعنية مباشرة هي (12 , 23 , 34 , 41 , 45 , 56 , 61) . إذا لم يطلب تعيين المراكز جميعها ، وعددها في هذه الحالة 15 مركزاً ، فإنه يكفي بإيجاد المراكز اللازمة في الانتقال من الوصلة المعلومة إلى الوصلة التي تليها ، ومن ثم تعيين المراكز تباعاً وفق مقتضيات الدراسة .

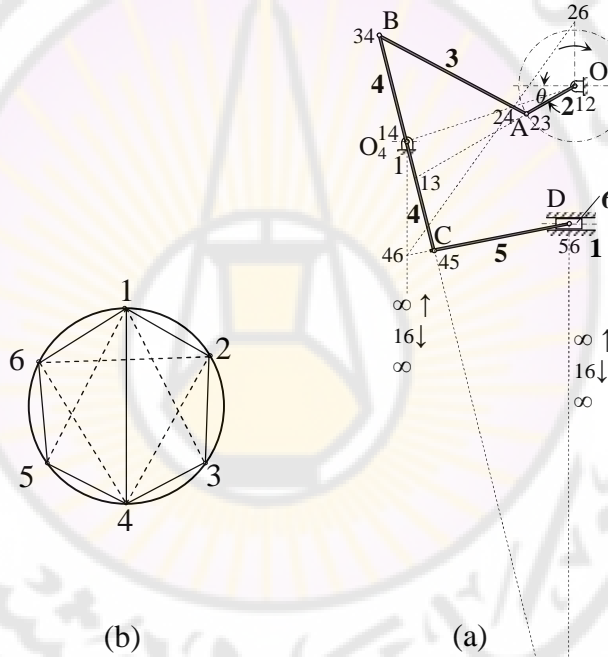
تعيين السرعات

سنتبع في هذا المثال طريقة الانتقال من وصلة إلى وصلة من خلال حساب السرعات الخطية والزاوية لكل منها تحليلياً .

إن سرعة A من الوصلة 2 معلومة من المعطيات السابقة ، وهي:

$$V_A = (12 - A) w_2 = 150 \text{ cm/sec}$$

باتجاه عمودي على خط المراكز (12 , 23 , 13) يتفق واتجاه دوران w_2 .



(الشكل-3-28) تعيين سرعات نقاط تركيبة آلية بطريقة المراكز اللحظية .

تدور الوصلة 3 حول المركز المسندي (13) بسرعة زاوية:

$$w_3 = \frac{V_A}{(13 - A)} = 4.33 \text{ rad/sec} - \text{ccw}$$

حيث تم قياس البعد (A-13) من الشكل وتحويله إلى طوله الحقيقي بدلالة مقياس المخطط الحركي . كما تم تعيين اتجاه السرعة الزاوية وفقاً لاتجاه سرعة النقطة A بالنسبة للمركز اللحظي (13) ، وبما أن B هي نقطة من الوصلة 3 ، فإن:

$$V_B = (13 - B) w_3 = 171 \text{ cm / sec}$$

وباتجاه يوافق اتجاه دوران w_3 حول المركز اللحظي 13 .

بما أن الوصلة 4 تتحرك حركة دورانية حول المركز المسندي (14) ، فإن:

$$w_4 = \frac{V_B}{(14 - B)} = 5.7 \text{ rad/sec} - \text{ccw}$$

وبما أن النقطة C هي نقطة من الوصلة 4 ، فإن:

$$V_C = (14 - C) w_4 = 171 \text{ cm / sec}$$

عكس اتجاه سرعة النقطة B ؛ بسبب التناظر حول المركز اللحظي (14) .

أما الوصلة 5 ، فإنها تدور حول المركز المسندي (15) ؛ إضافة إلى أن C هي نقطة منها وبالتالي:

$$w_5 = \frac{V_C}{(15 - C)} = 1.14 \text{ rad/sec} - \text{cw}$$

وبما أن D هي نقطة من الوصلة 5 ، فإن:

$$V_D = (15 - D) w_5 = 173.3 \text{ cm / sec}$$

باتجاه يوافق اتجاه دوران الوصلة 5 حول المركز اللحظي (15) ، أي: نحو اليمين . تمثل هذه السرعة للنقطة D سرعة الوصلة 6 ؛ لأن نقاطها جميعها تتحرك حركة انسحابية مستقيمة .

$$V_6 = V_D = 173.3 \text{ cm / sec}$$

إذا كان المطلوب إيجاد سرعة المنزلقة فقط دون تعيين بقية السرعات لنقاط التركيبة ووصلاتها ، فإنه يمكن استناداً إلى الطريقة المباشرة تعيين موقع المركز اللحظي (26) ، كما في الشكل ، حيث ينتج أن:

$$V_D = V_{26} = (12 - 26) w_2 = 172 \text{ cm / sec}$$

يلاحظ أنه يجب عند تطبيق طرائق المركز اللحظي في تعيين السرعات أن تقع النقاط المتناسبة على وصلة واحدة ؛ إضافة إلى ضرورة الانتقال من وصلة إلى أخرى عبر نقطة تحويل مشتركة في الوصلتين .

تعد طريقة المراكز اللحظية في الكثير من الحالات من أبسط طرائق التحليل الحركي ، عندما نهتم فقط بدراسة السرعة أو التحقق من نتائج التحليل الرياضي ، لكن مما يحد من استعمالها بالمقارنة مع طريقة السرعة النسبية هو عدم إمكان تعيين التسارع ؛ وبالتالي تحليل القوى العطالية ؛ إنما يمكن أحياناً الاستفادة منها في تعيين السرعات الزاوية للوصلات ومن ثم تم إكمال التحليل برسم مخطط التسارع .

من الصعب - بوجه عام - إعطاء أفضلية مؤكدة لطريقة على أخرى من الطرائق المختلفة التي بحثناها ؛ نظراً لعدم وجود قواعد ثابتة لتحديد هذه الأفضلية ؛ إنما يعود تقدير ذلك في كل حالة على حدة إلى الإدراك الهندسي للمصمم وخبرته في استخدام الطريقة التي تحقق له الغاية من دراسته بشكل يحافظ على التوازن المطلوب بين الكلفة والدقة ؛ إضافة إلى ذلك ، فإننا لم نتطرق للدراسات المتوفرة في مجال التحليل الحركي كلها والتي تتزايد باستمرار لتواكب تطور التركيبات المستخدمة في الآلات الحديثة ؛ وذلك لكون غالبية هذه الدراسات تعتمد أساساً على المفاهيم المبينة من خلال هذا الفصل ، مع تطوير في أساليب التطبيق ؛ لتناسب بعض الحالات الخاصة .

كما تجدر الإشارة إلى أن ما أوردناه من أمثلة تطبيقية ، لم يقصد منه سوى توضيح الأسس المختلفة المتبعة في التحليل الحركي للتركيبات الآلية ، وهذا لا يعني بالضرورة أن الطريقة الموضحة في دراسة كل من هذه التطبيقات هي الحل الأمثل لها .

مسألة-3-6

مسألة امتحان الفصل الأول من العام الدراسي 2012-2013 .

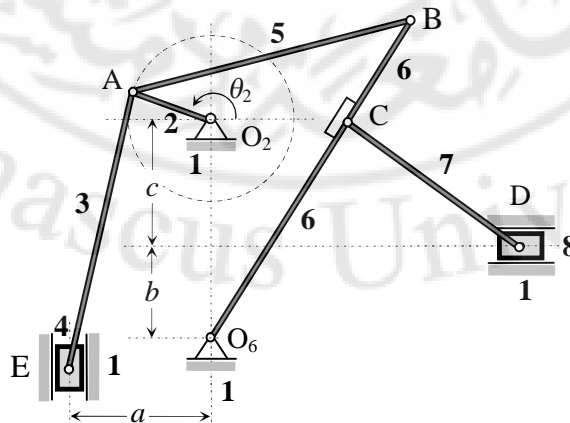
يبين الشكل تركيبة آلية حيث يدور المرفق O_2A فيها حول المسند الثابت O_2 بسرعة زاوية ثابتة قدرها $(\omega_2 = 2 \text{ rad/sec})$ باتجاه عكس دوران عقارب الساعة ؛ لينقل الحركة إلى كل من المنزلقتين 4 و 8 عبر الوصلات 3 و 5 و 6 و 7 .

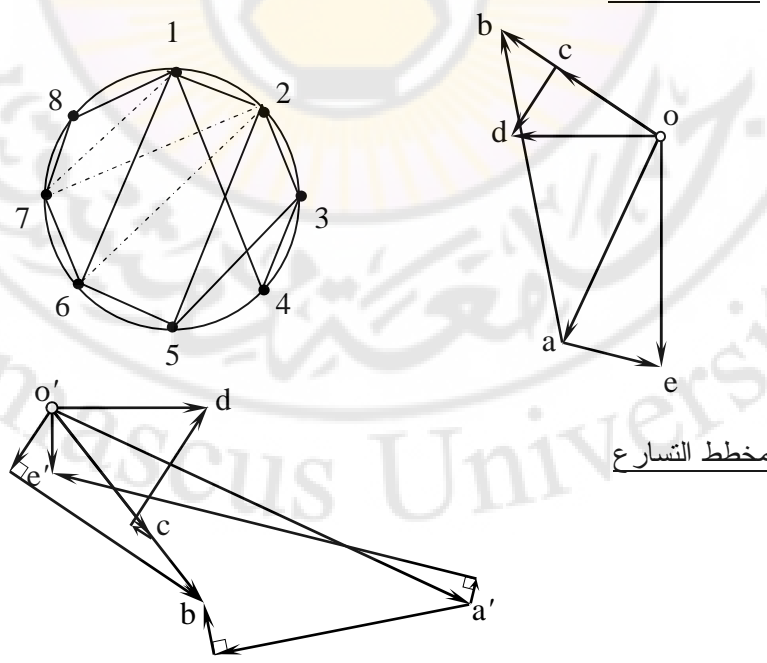
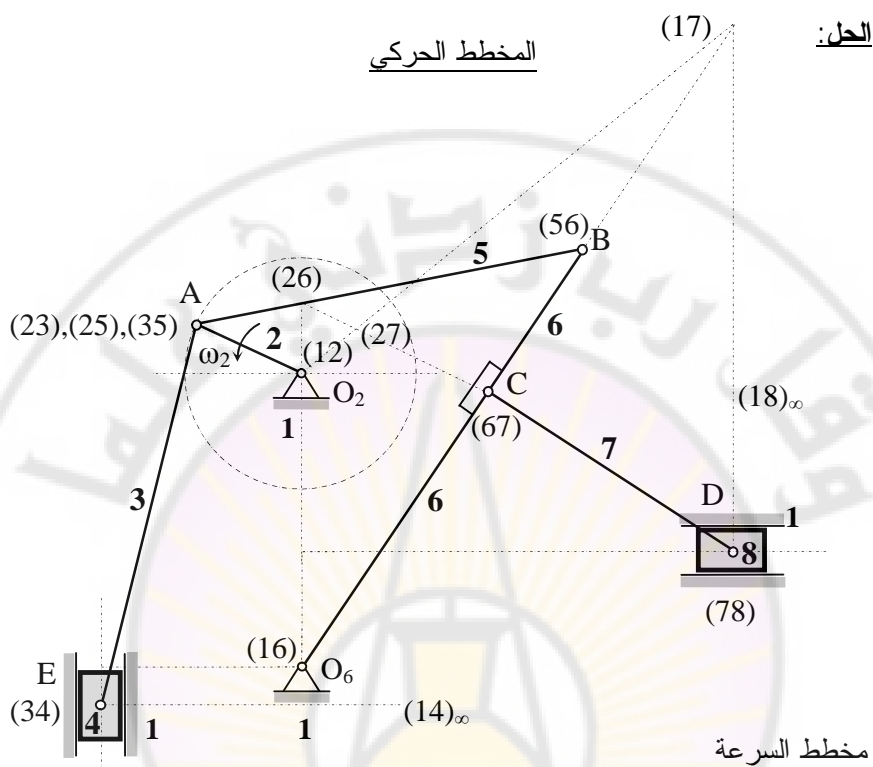
المطلوب: دراسة الحركة لعناصر التركيبة عند الوضع $(\theta_2 = 155^\circ)$ ، وذلك بـ :

1. رسم المخطط الحركي بإتقان ، باستخدام مقياس الرسم :
(كل 10 cm من الأطوال الحقيقية تقابل 1 cm على المخطط).
2. إيجاد المميزات الحركية لوصلات التركيبة من مخططي السرعة والتسارع ، باستخدام المقاييس الآتية:
لمخطط السرعة $(10 \text{ cm/s} \equiv 1 \text{ cm})$ ، ولمخطط التسارع $(10 \text{ cm/s}^2 \equiv 1 \text{ cm})$.
3. التأكد من السرعة الزاوية للوصلة 7 بطريقة مباشرة باستخدام مفهوم المركز اللحظي للسرعة.
4. إيجاد سرعة التآك في المفصل C ، إذا كان قطر محور الربط يساوي 10 mm .

علماً أن :

$O_2A = 15 \text{ cm}$ ، $O_6B = 65 \text{ cm}$ ، $AB = AE = 51 \text{ cm}$
 $BC = 22 \text{ cm}$ ، $CD = 38 \text{ cm}$ ، $a = 26 \text{ cm}$ ، $b = 15 \text{ cm}$ ، $c = 23 \text{ cm}$





ω rad/sec	V cm/sec	ε rad/sec ²	A cm/sec ²
$\omega_2 = 2 \curvearrowright$	$V_A = 30$	$\varepsilon_2 = 0$	$A_A'' = 60$
$\omega_3 = 0.25 \curvearrowright$	$V_E = 30$	$\varepsilon_3 = 1.11 \curvearrowleft$	$A_E = 8.5$
$\omega_4 = 0$	$V_B = 25$	$\varepsilon_4 = 1.11$	$A_B = 31.8$
$\omega_5 = 0.813 \curvearrowright$	$V_C = 16.2$	$\varepsilon_5 = 0.134 \curvearrowright$	$A_C = 21$
$\omega_6 = 0.384 \curvearrowright$	$V_D = 19.3$	$\varepsilon_6 = 0.47 \curvearrowleft$	$A_D = 20.4$
$\omega_7 = 0.28 \curvearrowleft$		$\varepsilon_7 = 0.48 \curvearrowright$	
$\omega_8 = 0$		$\varepsilon_8 = 0$	

3- تحسب السرعة الزاوية للوصلة 7 من العلاقة:

$$\omega_7 = \omega_2(12 - 27)/(17 - 27) = 2 \times 0.9/6.3 = 0.285 \text{ rad/sec} \curvearrowleft$$

وذلك بعد ايجاد المراكز اللحظية الابتدائية ، والمراكز اللحظية (27) ، (26) ، (17) .

4- تحسب سرعة التحاك في المفصل C من العلاقة:

$$(V_r)_C = r (\omega_6 + \omega_7) = 5(0.384+0.28) = 3.32 \text{ mm/sec}$$

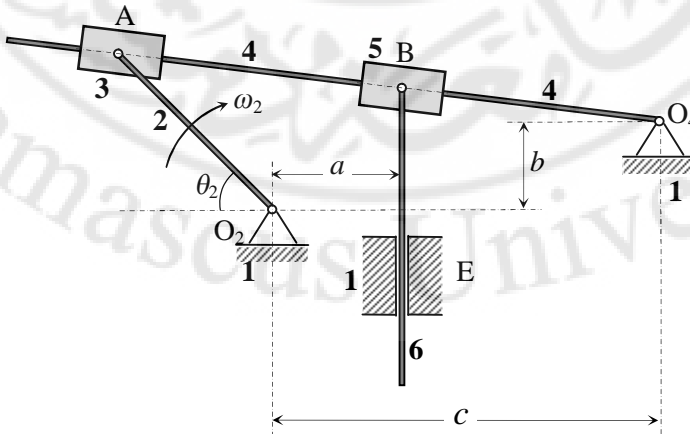
مسألة-3-7

مسألة امتحان الفصل الثاني من العام الدراسي 2012-2013 .

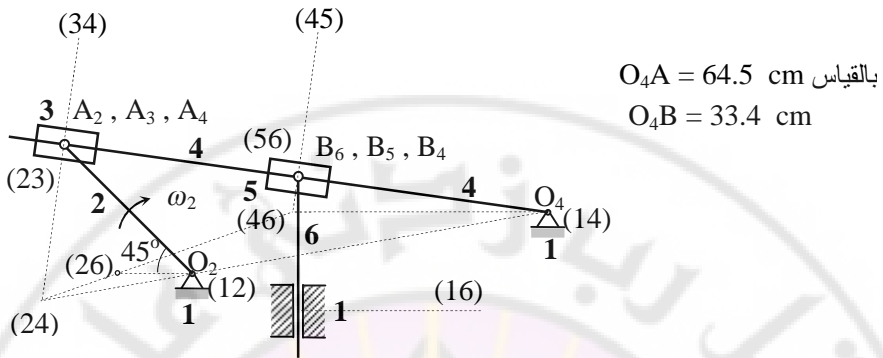
يدور المرفق O_2A في التركيب الآلية المبينة في الشكل حول المسند الثابت O_2 بسرعة زاوية ثابتة قدرها $(\omega_2 = 3 \text{ rad/sec})$ باتجاه حركة عقارب الساعة ، لينقل الحركة إلى الذراع المتأرجح 4 عبر المنزلقة 3 ، ومنه إلى الوصلة 6 التي تنزلق ضمن المجرى الشاقولي E عبر المنزلقة 5 .

المطلوب: دراسة الحركة لعناصر التركيب عند الوضع $(\theta_2 = 45^\circ)$ ، وذلك بـ:

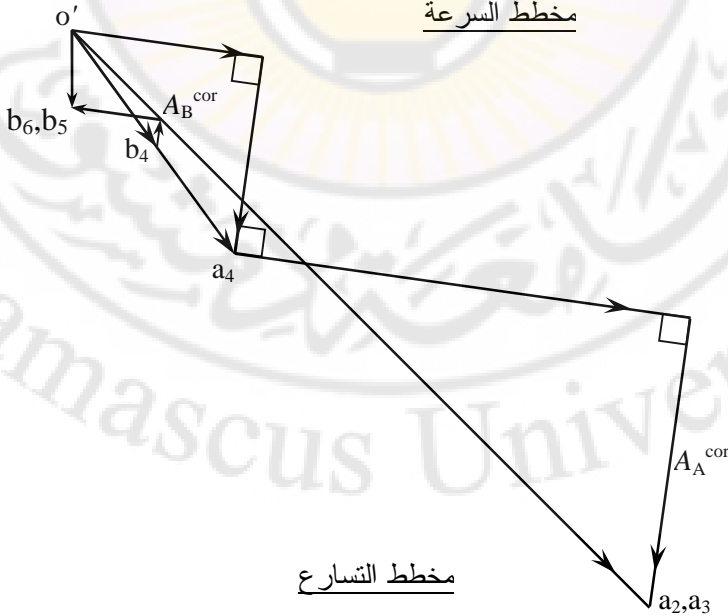
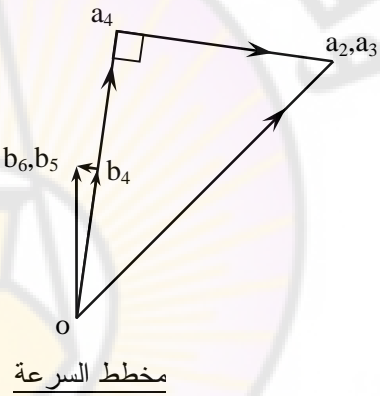
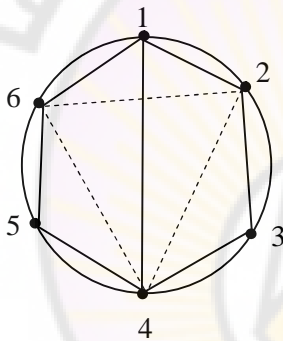
1. رسم المخطط الحركي بإتقان باستخدام مقياس الرسم:
(كل 10 cm من الأطوال الحقيقية تقابل 1 cm على المخطط)
 2. إيجاد المميزات الحركية لوصلات التركيب من مخططي السرعة والتسارع ، باستخدام المقاييس الآتية:
لمخطط السرعة $(15 \text{ cm/s} \equiv 1 \text{ cm})$ ، ولمخطط التسارع $(20 \text{ cm/s}^2 \equiv 1 \text{ cm})$.
 3. التأكد من السرعة الخطية للوصلة 6 ، بطريقة مباشرة باستخدام مفهوم المراكز اللحظية .
 4. إيجاد سرعة التحاك في المفصل O_4 ، إذا كان قطر محور الربط يساوي 10 mm .
- علماً أن:
 $(a = 14 \text{ cm})$ ، $(b = 8 \text{ cm})$ ، $(c = 47 \text{ cm})$ ، $(O_2A = 24 \text{ cm})$



الحل:



المخطط الحركي



ω rad/sec	V cm/sec	ε rad/sec ²	A cm/sec ²
$\omega_2 = 3$ ↙	$V_{A2} = V_{A3} = 72$	$\varepsilon_2 = 0$	$A_{A2}^n = 216$
$\omega_4 = 0.89$ ↘	$V_{A4} = 57.45$	$\varepsilon_4 = 0.818$ ↗	$A_{A4}^n = 51$
	$V_{A3A4} = 43.2$		$A_{A4}^{cor} = 76.9$
	$V_{B4} = 29.7$		$A_{A4} = 73.2$
	$V_{B6} = V_{B5} = 30$		$A_{A3A4} = 121.4$
	$V_{B5B4} = 4.2$		$A_{B4} = 38$
			$A_{B4}^{cor} = 7.47$
			$A_{B5B4} = 24$
			$A_{B6} = 20.6$

3- تحسب السرعة الخطية للوصلة 6 من العلاقة:

$$V_6 = V_{26} = \omega_2 (12 - 26) = 1(10) (3) = 30 \text{ cm/sec}$$

وذلك بعد ايجاد المراكز اللحظية الابتدائية ، والمراكز اللحظية (24) ، (46) ، (26) .

4- تحسب سرعة التحاك في المفصل O_4 من العلاقة:

$$(V_r)_{O4} = (\omega_4) r = 4.45 \text{ mm/sec}$$

مسائل غير محلولة PROBLEMS

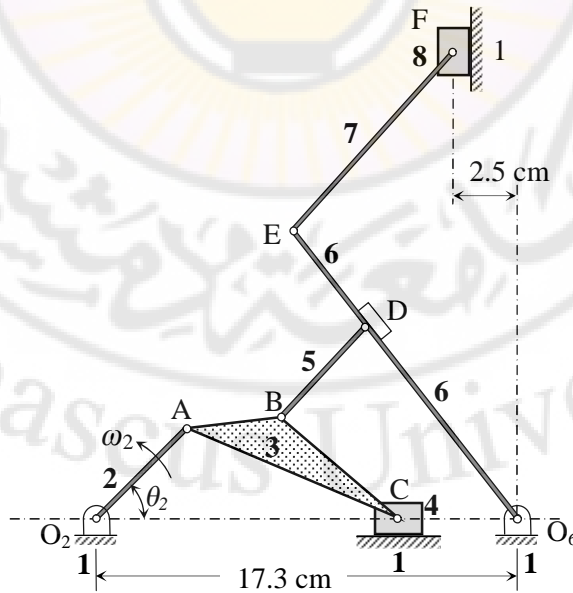
م-3-1

يبين الشكل (م-3-1) المخطط الحركي لتركيبية آلية ، حيث يدور المرفق O_2A بسرعة زاوية ثابتة ($\omega_2 = 1 \text{ rad/sec}$) بعكس اتجاه دوران عقارب الساعة .
المطلوب عند الوضع ($\theta_2 = 45^\circ$) الآتي:

1. دراسة حركة التركيبية بطريقة التمثيل التخطيطي للحركة النسبية .
2. التأكد من السرعة الزاوية للوصلة 7 بطريقة مباشرة باستخدام مفهوم المركز اللحظي للسرعة.
3. حساب سرعة التحاك عند النقاط E, B, C ، إذا كان نصف قطر مسمار الربط عند كل منها يساوي 5 mm .

علماً أن:

$O_2A = 5.1 \text{ cm}$, $AC = 10.2 \text{ cm}$, $AB = 4.5 \text{ cm}$, $BC = 6.4 \text{ cm}$
 $BD = 5.1 \text{ cm}$, $DO_6 = 10.2 \text{ cm}$, $EO_6 = 15.2 \text{ cm}$, $EF = 10.2 \text{ cm}$



الشكل (م-3-1) المخطط الحركي لتركيبية آلية .

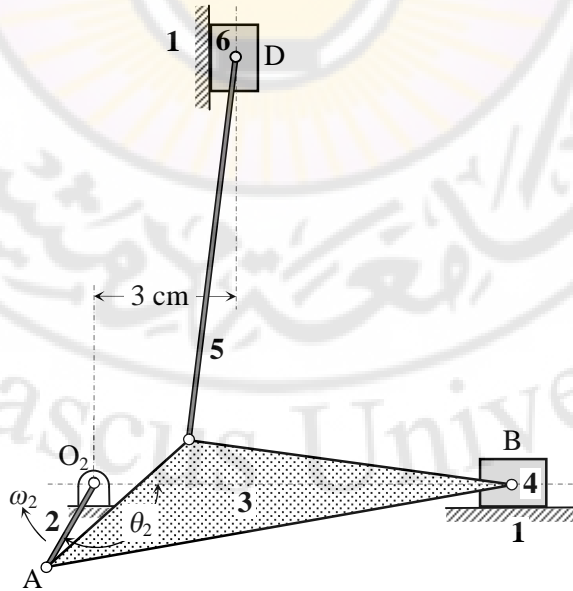
م-3-2

يبين الشكل (م-3-2) المخطط الحركي لتركيبية آلية ، حيث يدور المرفق O_2A بسرعة زاوية ثابتة ($\omega_2 = 40 \text{ rad/sec}$) باتجاه دوران عقارب الساعة ، ليحرك كلاً من الوصلتين 4 , 6 حركة ترددية انسحابية .

المطلوب عند الوضع ($\theta_2 = 120^\circ$) الآتي:

1. دراسة حركة التركيبية بطريقة التمثيل التخطيطي للحركة النسبية .
 2. التأكد من السرعة الخطية لكل من الوصلتين 4 , 6 بطريقة مباشرة باستخدام مفهوم المركز اللحظي للسرعة .
 3. حساب سرعة التحاك ضمن مجرى الوصلتين 4 , 6 .
 4. تعيين سرعة كل من النقاط B , C , D بطريقة خط المراكز .
 5. تعيين سرعة هذه النقاط بطريقة الانتقال من وصلة إلى وصلة تحليلياً وتخطيطياً .
- علماً أن:

$$O_2A = 2 \text{ cm} , AC = 4 \text{ cm} , AB = 10 \text{ cm} \\ BC = 7 \text{ cm} , CD = 8 \text{ cm}$$



الشكل (م-3-2) المخطط الحركي لتركيبية آلية .

م-3-3

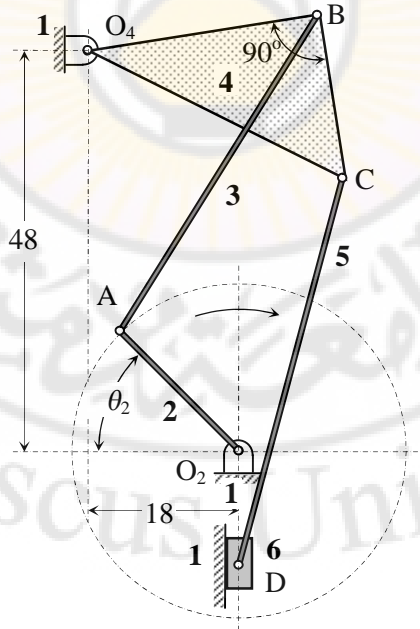
يبين الشكل (م-3-3) المخطط الحركي لتركيبية آلية تستعمل في آلة خياطة لتحريك الساق الحاملة للإبرة ، حيث يدور المرفق 2 بسرعة زاوية ثابتة ($\omega_2 = 30 \text{ rad/sec}$) باتجاه دوران عقارب الساعة ، ليعطي الوصلة 6 حركة ترددية .

المطلوب عند الوضع ($\theta_2 = 45^\circ$) الآتي:

1. دراسة حركة التركيبية بطريقة التمثيل التخطيطي للحركة النسبية .
2. التأكد من السرعة الخطية للوصلة 6 ، والسرعة الزاوية للوصلة 4 ، بطريقة مباشرة باستخدام مفهوم المركز اللحظي للسرعة .
3. حساب سرعة التحاك عند النقاط B , C , D ، إذا كان نصف قطر مسمار الربط عند كل منها يساوي 5 mm .

علماً أن:

$$O_2A = BC = 20 \text{ mm} , AB = 45 \text{ mm} , O_4B = 28 \text{ mm} , CD = 48 \text{ mm}$$



الشكل (م-3-3) المخطط الحركي لتركيبية آلية تستعمل في آلة خياطة .

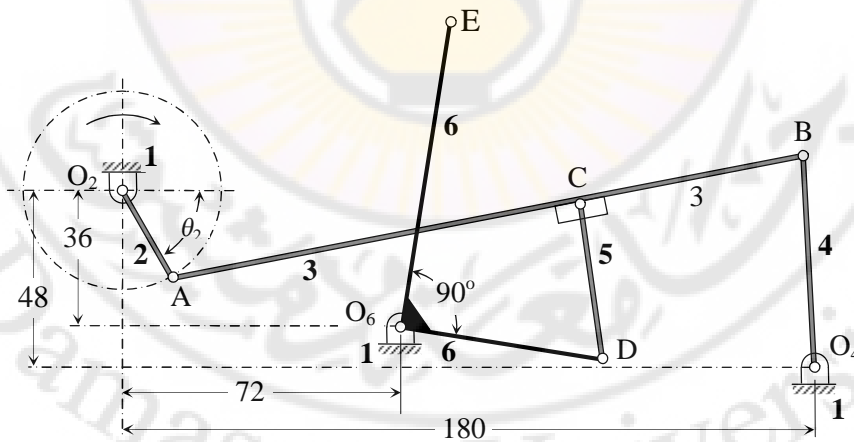
4-3-م

يبين الشكل (م-3-4) المخطط الحركي لتركيبية آلة تغليف ، حيث يدور المرفق O_2A بسرعة زاوية ثابتة ($\omega_2 = 100 \text{ rad/sec}$) باتجاه دوران عقارب الساعة . تنتقل الحركة عبر الذراع ACB إلى الوصلة المرفقية القائمة 6 التي تتأرجح حول O_6 .
المطلوب عند الوضع ($\theta_2 = 60^\circ$) الآتي:

1. دراسة حركة التركيبة بطريقة التمثيل التخطيطي للحركة النسبية .
2. التأكد من السرعة الزاوية للوصلة 6 بطريقة مباشرة باستخدام مفهوم المركز اللحظي للسرعة .
3. حساب سرعة التحاك عند النقاط C , O_6 , O_2 ، إذا كان نصف قطر مسمار الربط عند كل منها يساوي 5 mm .

علمًا أن الأبعاد المبينة في الشكل هي بالميليمتر:

$O_2A = 27 \text{ mm}$, $AB = 168 \text{ mm}$, $CB = 60 \text{ mm}$
 $O_4B = O_6D = 54 \text{ mm}$, $CD = 42 \text{ mm}$, $O_6E = 90 \text{ mm}$



الشكل (م-3-4) المخطط الحركي لتركيبية آلة تغليف .

م-3-5

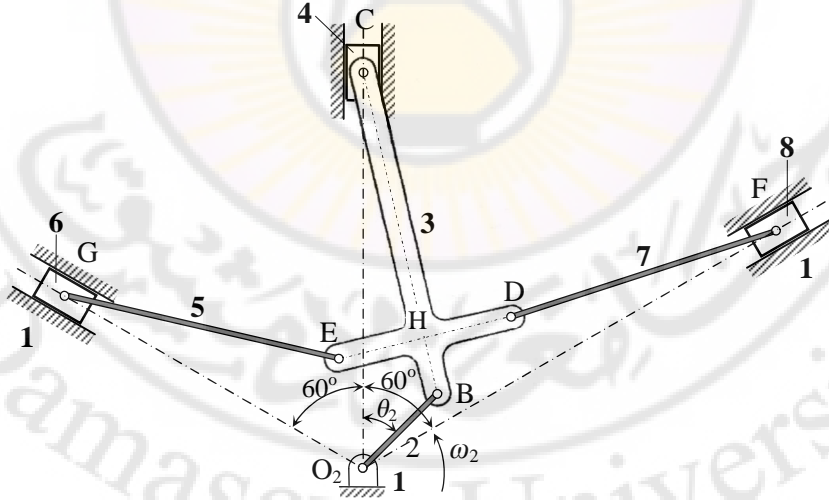
يبين الشكل (م-3-5) المخطط الحركي لمحرك ذي ثلاث أسطوانات ، حيث يدور المرفق المشترك O_2B بسرعة ثابتة 2500 r.p.m ، بعكس اتجاه دوران عقارب الساعة .

المطلوب عند الوضع ($\theta_2 = 45^\circ$) الآتي:

1. دراسة حركة التركيبية بطريقة التمثيل التخطيطي للحركة النسبية .
2. التأكد من السرعة الزاوية للوصلة 6 بطريقة مباشرة باستخدام مفهوم المركز اللحظي للسرعة.
3. حساب سرعة التحاك عند النقاط B, E, D ، إذا كان نصف قطر مسمار الربط عند كل منها يساوي 5 mm .

علماً أن:

$$O_2B = 10 \text{ cm} , \quad BC = 35 \text{ cm} , \quad BH = 5 \text{ cm} \\ EH = HD = 8.5 \text{ cm} , \quad GE = FD = 26 \text{ cm}$$



الشكل (م-3-5) المخطط الحركي لمحرك ذي ثلاث أسطوانات .

م-3-6

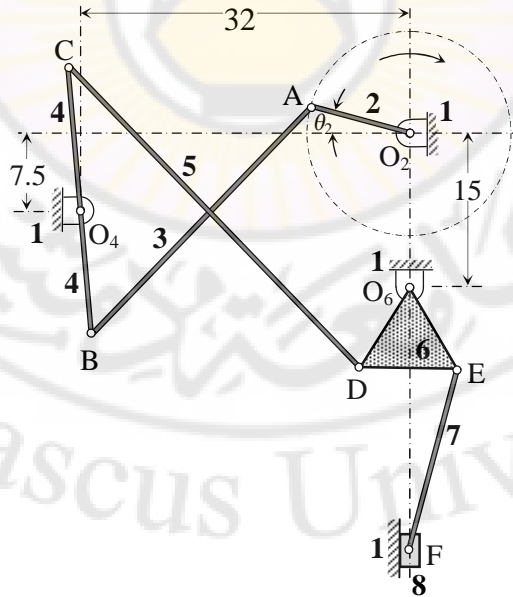
يبين الشكل (م-3-6) المخطط الحركي لتركيبه ركبيه في مكبس تخريم ، حيث تدور الوصلة القائدة 2 بسرعة زاوية ثابتة ($\omega_2 = 50 \text{ rad/sec}$) باتجاه دوران عقارب الساعة ، بينما الوصلة المقودة 8 تمثل ممسك أداة التخريم .

المطلوب عند الوضع ($\theta_2 = 15^\circ$) الآتي:

1. دراسة حركة التركيب بطريقة التمثيل التخطيطي للحركة النسبية .
2. التأكد من السرعة الزاوية للوصلة 7 بطريقة مباشرة باستخدام مفهوم المركز اللحظي للسرعة .
3. حساب سرعة التحاك عند النقاط C , D , E ، إذا كان نصف قطر مسمار الربط عند كل منها يساوي 5 mm .

علماً أن الأبعاد المبينة في الشكل هي بالسنتيمتر:

$O_2A = 10 \text{ cm}$, $AB = 31 \text{ cm}$, $O_4C = 14 \text{ cm}$, $O_4B = 12.5 \text{ cm}$
 $CD = 40.5 \text{ cm}$, $EF = 18 \text{ cm}$, $O_6D = O_6E = 9 \text{ cm}$, $DE = 9.5 \text{ cm}$



الشكل (م-3-6) المخطط الحركي لتركيبه ركبيه في مكبس تخريم .

م-3-7

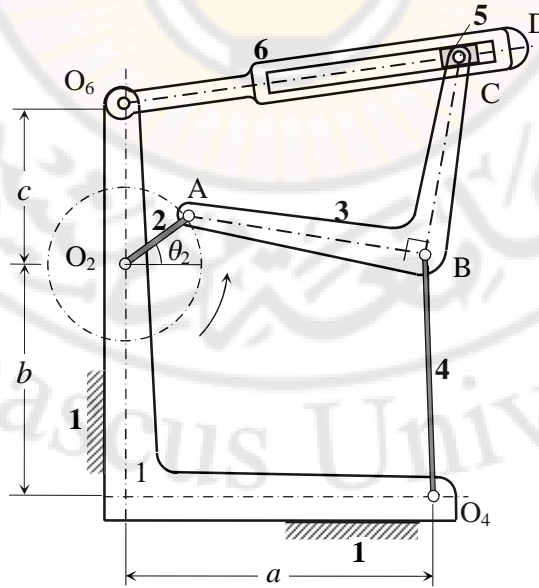
يبين الشكل (م-3-7) المخطط الحركي لتركيبية آلية تدخل في تصميم بعض أجزاء آليات البناء حيث يدور المرفق O_2A بسرعة ثابتة 300 r.p.m بعكس اتجاه دوران عقارب الساعة ؛ ليعطي حركة دورية منحنية للذراع المشقوق O_6D عبر الوصلة المرفقية قائمة الزاوية ABC ، التي تتأرجح حول O_4 ، وعبر المنزلقة 5 .
المطلوب عند الوضع ($\theta = 30^\circ$) الآتي:

1. دراسة حركة التركيبية بطريقة التمثيل التخطيطي للحركة النسبية .
2. التأكد من السرعة الزاوية للوصلة 6 بطريقة مباشرة باستخدام مفهوم المركز اللحظي للسرعة .
3. تعيين سرعة التحاك عند الازدواج B علماً أن قطر محور الربط هو 20 mm ، وكذلك سرعة التحاك ضمن مجرى المنزلقة .

علماً أن:

$$O_2A = 75 \text{ mm} , AB = 225 \text{ mm} , BC = 200 \text{ mm}$$

$$O_4B = 225 \text{ mm} , a = 300 \text{ mm} , b = 225 \text{ mm} , c = 150 \text{ mm}$$



الشكل (م-3-7) المخطط الحركي لتركيبية في آلية بناء .

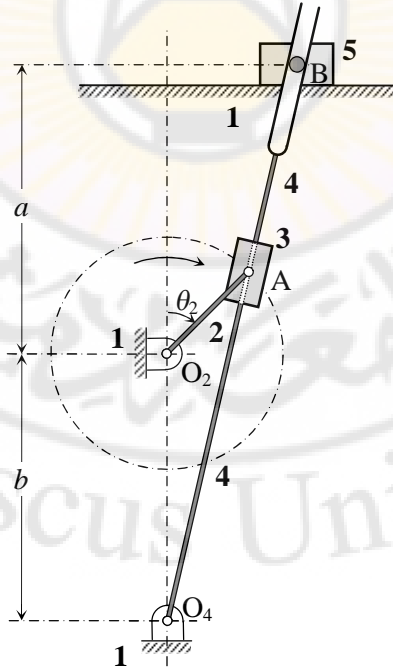
م-3-8

يبين الشكل (م-3-8) تركيبة المرفق ، والذراع المشقوق ؛ لإعطاء حركة سريعة الارتداد للمنزلة 5 . حيث يدور المرفق 2 بسرعة زاوية ثابتة ($\omega_2 = 100 \text{ rad/sec}$) باتجاه دوران عقارب الساعة .

المطلوب عند الوضع ($\theta = 45^\circ$) الآتي:

1. دراسة حركة التركيب بطريقة التمثيل التخطيطي للحركة النسبية .
 2. التأكد من السرعة الزاوية للوصلة 7 بطريقة مباشرة باستخدام مفهوم المركز اللحظي للسرعة .
 3. حساب سرعة التحاك عند النقاط C , D , E ، إذا كان نصف قطر مسمار الربط عند كل منها يساوي 5 mm .
- علماً أن:

$$O_2A = 50 \text{ mm} , a = 125 \text{ mm} , b = 115 \text{ mm}$$



الشكل (م-3-8) المخطط الحركي لتركيب المرفق ، والذراع المشقوق .

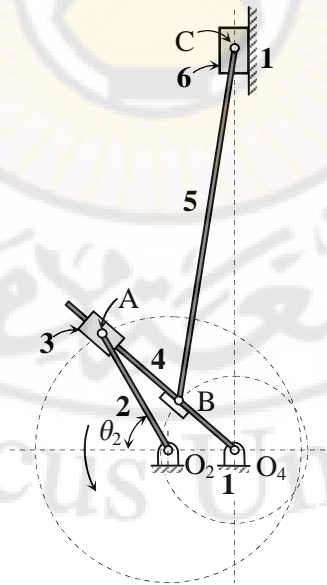
م-3-9

يبين الشكل (م-3-9) المخطط الحركي لتركيبية ويت وورث (Whitworth) المستعملة في الحصول على حركة سريعة الارتداد لعدة القطع في مقشطة صغيرة ، حيث تدور الوصلة القائدة O_2A بسرعة زاوية ثابتة ($\omega_2 = 10 \text{ rad/sec}$) باتجاه عكس دوران عقارب الساعة .

المطلوب عند الوضع ($\theta_2 = 60^\circ$) الآتي:

1. دراسة حركة التركيبية بطريقة التمثيل التخطيطي للحركة النسبية .
 2. التأكد من السرعة الزاوية للوصلة 5 بطريقة مباشرة باستخدام مفهوم المركز اللحظي للسرعة .
 3. تعيين سرعة التحاك عند الازدواج B علماً أن قطر محور الربط هو 20 mm ، وكذلك سرعة التحاك ضمن مجرى المنزلة .
- علماً أن:

$$O_2O_4 = 90 \text{ mm} , O_2A = 180 \text{ mm} , O_4B = 96 \text{ mm} , BC = 490 \text{ mm}$$



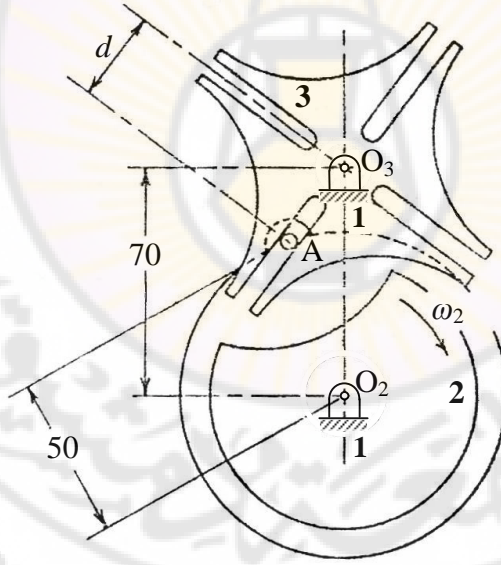
الشكل (م-3-9) المخطط الحركي لتركيبية ويت وورث .

م-3-10

يبين الشكل (م-3-10) المخطط الحركي لتركيبية دولاب جينيفا (Geneva) للحركة المتقطعة ، حيث يدور الدولاب بسرعة زاوية ثابتة ($\omega_2 = 15 \text{ rad/sec}$) باتجاه دوران عقارب الساعة .

المطلوب عند الوضع الذي تكون فيه المسافة ($d = 33 \text{ mm}$) ، الآتي:

1. دراسة حركة التركيبية بطريقة التمثيل التخطيطي للحركة النسبية .
 2. التأكد من السرعة الزاوية للدولاب المخذد 3 بطريقة مباشرة باستخدام مفهوم المركز اللحظي للسرعة .
- علماً أن الأبعاد في الشكل هي بالمليمتر .



الشكل (م-3-10) المخطط الحركي لتركيبية دولاب جينيفا .

11-3-م

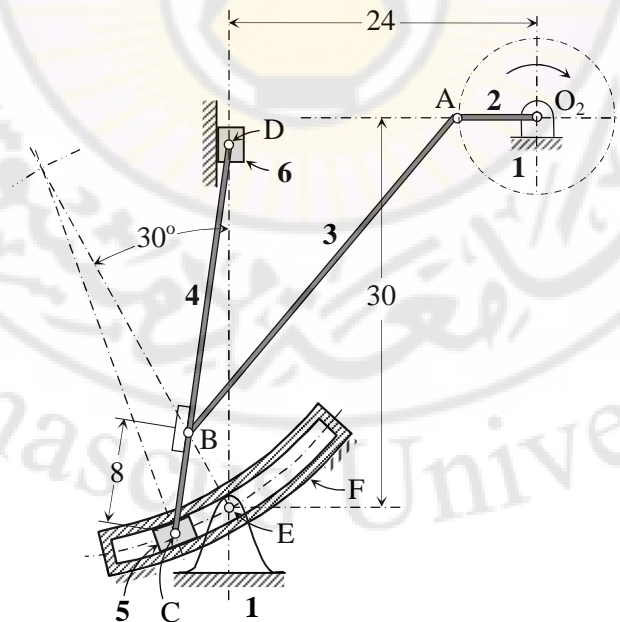
يبين الشكل (م-3-11) تخطيطاً لمضخة تغذية ترددية متغيرة الشوط . تنتقل الحركة من الوصلة القائدة 2 عبر المفصل B إلى ذراع التوصيل CBD الذي تتصل نهايته C بكتلة متمفصلة معه 5 . تتحرك هذه الكتلة ضمن مجرى منحن في الوصلة F المثبتة إلى المسند E . يمكن تغيير شوط المكبس D بتغيير وضع F حول المسند E .

إذا دار المرفق بسرعة ثابتة 500 r.p.m باتجاه دوران عقارب الساعة ، المطلوب في الوضع المبين الآتي:

- 1- دراسة حركة التركيبة بطريقة التمثيل التخطيطي للحركة النسبية .
- 2- التأكد من السرعة الخطية للمكبس 6 بطريقة مباشرة باستخدام مفهوم المركز اللحظي للسرعة .

علماً أن نصف قطر انحناء المجرى يساوي طول الذراع CD ، وأن الأبعاد بالسنتيمتر حيث:

$$O_2A = 6 \text{ cm} , AB = 32 \text{ cm} , CD = 30 \text{ cm}$$



الشكل (م-3-11) المخطط الحركي لمضخة تغذية ترددية متغيرة الشوط .

م-3-12

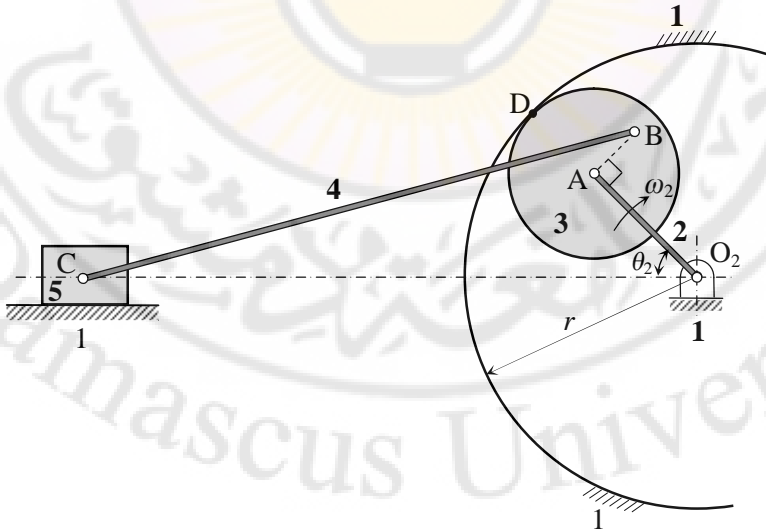
يبين الشكل (م-3-12) تركيبية آلية لتحويل حركة دورانية إلى حركة انزلاقية ترددية عبر مسننين 1 و 3 يتعشقان داخلياً ، حيث المسنن 1 ثابت بينما يدور المسنن 3 لينقل الحركة من المرفق 2 الذي يدور بسرعة زاوية ثابتة ($\omega_2 = 200 \text{ rad/sec}$) إلى المنزلقة 5 عبر ذراع التوصيل 4 .

المطلوب عند الوضع ($\theta_2 = 45^\circ$) الآتي:

1. دراسة حركة التركيبية بطريقة التمثيل التخطيطي للحركة النسبية .
2. التأكد من السرعة الخطية للوصلة 5 بطريقة مباشرة باستخدام مفهوم المركز اللحظي للسرعة .
3. تعيين سرعة التحاك عند الازدواج B علماً أن قطر محور الربط هو 20 mm ، وكذلك سرعة التحاك ضمن مجرى المنزلقة .

علماً أن:

$$r = 200 \text{ mm} , \quad OA = 120 \text{ mm} , \quad AB = 50 \text{ mm} , \quad BC = 500 \text{ mm}$$



المخطط الحركي لتركيبية آلية لتحويل حركة دورانية إلى حركة انزلاقية ترددية .

الشكل (م-3-12)

م-3-13

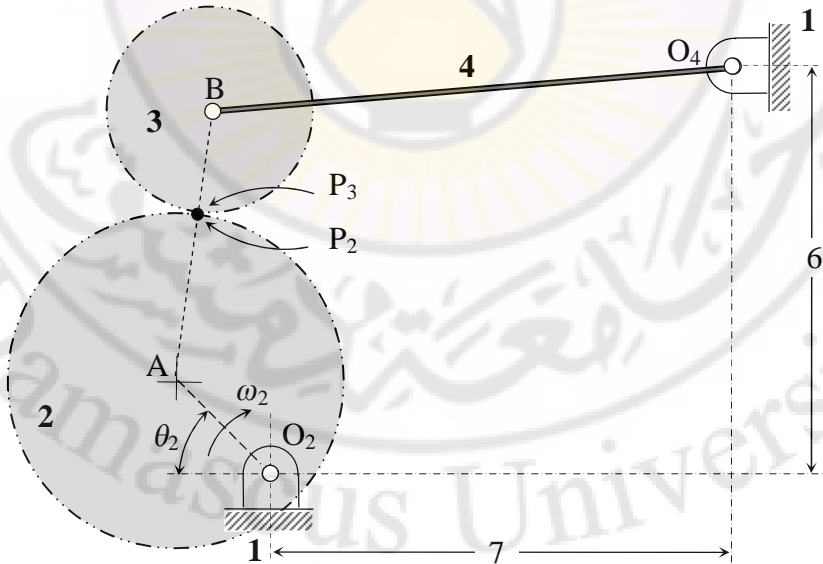
يبين الشكل (م-3-13) تركيبة آلية مسننة ، حيث كل من المسننين 2 ، 3 ممثل بدائرة خطوته . يدور المسنن 2 حول O_2 بسرعة زاوية ثابتة ($\omega_2 = 10 \text{ rad/sec}$) ، بينما يتدحرج المسنن 3 عليه تدحرجاً صرفاً .

المطلوب عند الوضع ($\theta_2 = 45^\circ$) الآتي:

1. دراسة حركة التركيب بطريقة التمثيل التخطيطي للحركة النسبية .
2. التأكد من السرعة الزاوية للوصلة 4 بطريقة مباشرة باستخدام مفهوم المركز اللحظي للسرعة .
3. حساب سرعة التحاك عند الازدواج B ، إذا كان نصف قطر مسمار الربط يساوي 5 mm .

علماً أن الأبعاد المبينة في الشكل هي بالسنتيمتر ، وأن:

$$O_2A = 2 \text{ cm} , AP_2 = 2.5 \text{ cm} , BP_3 = 1.5 \text{ cm} , O_4B = 8 \text{ cm}$$



الشكل (م-3-13) المخطط الحركي لتركيب آلية مسننة .

14-3-م

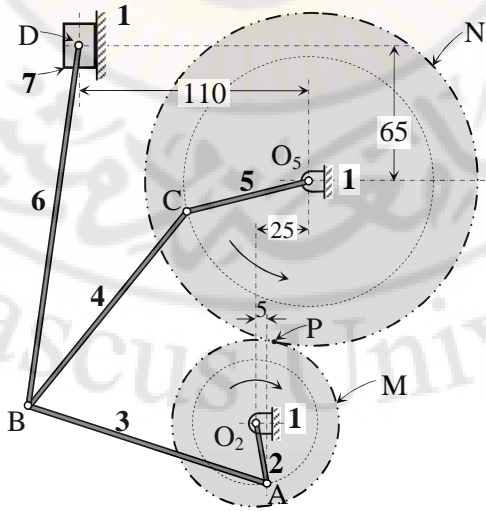
يبين الشكل (م-3-14) المخطط الحركي لآلية آندرو (Andreau) التفاضلية ؛ أي

التي تؤمن للمزلفة الترددية 7 أربعة أشواط متغيرة الطول . تمثل الدائرتان M, N دائرتي الخطوة لمسننين يتعشقان عند P . تتصل الوصلتان 2 , 5 بشكل صلب بالمسننين M, N على التالي .

فإذا دار المرفق O₂A بسرعة زاوية ثابتة 50 rad/sec باتجاه دوران عقارب الساعة . المطلوب في الوضع المبين في الشكل الآتي:

1. دراسة حركة التركيبية بطريقة التمثيل التخطيطي للحركة النسبية .
2. التأكد من السرعة الخطية للمنزلة 7 بطريقة مباشرة باستخدام مفهوم المركز اللحظي للسرعة .
3. حساب سرعة التحاك عند الازدواج B ، إذا كان نصف قطر مسمار الربط يساوي 5 mm .
- علماً أن قطر الدائرة M يساوي 80 mm ، وقطر الدائرة N يساوي 160 mm ، وأن:

$O_2A = 30 \text{ mm}$, $AB = CB = 120 \text{ mm}$, $BD = 175 \text{ mm}$, $O_5C = 60 \text{ mm}$



الشكل (م-3-11) المخطط الحركي لآلية أندرو التفاضلية .

الفصل الرابع

تحليل حركة التركيبات الآلية بواسطة الحاسوب

Computer Aided Kinematic Analysis of Mechanisms

Introduction

1-4- مقدمة

إن الطرق التخطيطية المشروحة في الفصل السابق تعتمد بالخطوة المتعلقة بعملية تعيين الإزاحة ، والسرعة ، والتسارع لأجزاء التركيبات الآلية في وضعية وحيدة محددة ، ولكن تحليل الحركة في وضعية وحيدة للآلية يعطي عادة معلومات ضئيلة جداً لا تقى بما يلزم للمصمم ؛ لأن مثل هذا التحليل يجب أن يتم في وضعيات كثيرة خلال دورة عمل كاملة للتركيبات الآلية ؛ هذا يعني بأن إنشاء مخططات السرعة والتسارع يجب أن يكرر في كل وضعية للآلية لتعيين تغيرات السرعة ، والتسارع بشكل كامل .

إن للطرق التحليلية بعض الميزات الخاصة بالمقارنة مع الطريقة التخطيطية ؛ إذ إنه يمكن اشتقاق علاقات تحليلية لحساب الإزاحة ، والسرعة ، والتسارع بدلالة الوسائط العامة للتركيبات الآلية ، ويتم كخطوة تالية صياغة هيكل رياضي ، ثم إعداد برنامج يقوم الحاسوب بمعالجته والقيام بالعمليات الحسابية اللازمة ، وأخيراً طباعة النتائج ورسم مخططات الحركة على أنواعها ؛ مما يتيح للباحث الإلمام الدقيق بالتغيرات الحركية كافة من إزاحة ، وسرعة ، وتسارع حتى يتمكن من أخذ قرار حول صلاحية الآلية للاستخدام العملي ، أم فيما كان من الضروري إجراء تعديلات في أبعادها الحركية أو غير ذلك .

يتناول هذا الفصل طرائق عدة لتحليل حركة التركيبات الآلية بحيث يمكن تطبيقها في حل أمثلة عملية باستخدام الحاسوب ، وهي الآتية:

- تحليل معادلات الحركة بتطبيق علاقات النسب المثلثية .
- تحليل متجهات الحركة بتطبيق علاقات الأعداد المركبة .
- تحليل أوضاع الحركة بدلالة زاوية الدخل .

2-4- تحليل معادلات الحركة بتطبيق علاقات النسب المثلثية

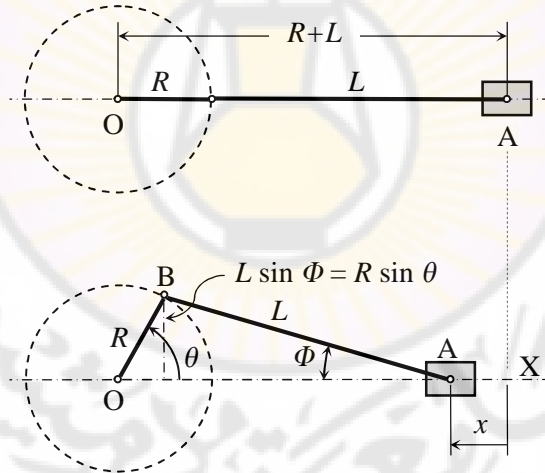
Equations of Motion Analysis by Trigonometry

تعتمد طريقة تحليل معادلات الحركة بتطبيق علاقات النسب المثلثية على كتابة معادلات الإزاحة لمختلف نقاط المخطط الحركي للتركيبة الآلية ؛ وذلك باستعمال علاقات الهندسة المستوية والنسب المثلثية ، يتم الحصول على سرعة كل نقطة من هذه النقاط من اشتقاق معادلة الإزاحة الموافقة لها بالنسبة للزمن ، أما التسارع ، فينتج من اشتقاق معادلة السرعة بالنسبة للزمن .

1-2-4- تطبيق على تركيبة المنزلقة والمرفق

Slider-Crank Mechanism Application

يبين (الشكل-1-4) آلية المنزلقة والمرفق المركزية في وضعها الحدي الخارجي ، وفي وضعية عامة محددة بزاوية الوضع الزاوي للمرفق θ .



(الشكل-1-4) آلية المنزلقة ، والمرفق المركزية في وضعها الحدي الخارجي ، وفي وضعية عامة .

من (الشكل-1-4) يمكن تعيين إزاحة المكبس x عن وضعيته الابتدائية اليمنى بدلالة الوضع الزاوي للمرفق θ :

$$x = (R + L) - (R \cos q + L \cos f)$$

$$x = R(1 - \cos q) + L(1 - \cos f) \quad (1-4)$$

يمكن التعبير عن الزاوية Φ بدلالة الزاوية θ بإنزال عمود من النقطة B على المحور OX ؛ ليشكل مثلثان قائمان ، ويكون طول العمود:

$$R.\sin q = L.\sin f \Rightarrow \sin f = \frac{R}{L}\sin q$$

باستخدام هذه المعادلة والمتطابقة:

$$\cos^2 f = 1 - \sin^2 f = 1 - \left(\frac{R}{L}\right)^2 \sin^2 q$$

نحصل على معادلة إزاحة المنزلقة x بدلالة الزاوية θ فقط:

$$x_q = R(1 - \cos q) + L \left\{ 1 - \left[1 - \left(R/L \right)^2 \sin^2 q \right]^{1/2} \right\} \quad (2-4)$$

بمفاضلة معادلة الإزاحة x بالنسبة للزمن ، تنتج معادلة سرعة المنزلقة ، مع افتراض أن السرعة الزاوية ω هي مشتق زاوية الوضع θ بالنسبة للزمن:

$$V_q = \frac{dx}{dq} \times \frac{dq}{dt} = \omega . R . \sin q \left[1 + \left(\frac{R}{L} \right) \frac{\cos q}{\left[1 - \left(R/L \right)^2 \sin^2 q \right]^{1/2}} \right] \quad (3-4)$$

إذا كانت تركيبة المنزلقة والمرفق تستخدم في محرك مكبسي أو مضخة مكبسية ، فإن نسبة L إلى R تكون كبيرة نسبياً ، ثلاث مرات أو أكثر ، وهذا يؤدي إلى تبسيط شكل المعادلة الأخيرة . وباستخدام نظرية البينومية ذي الحدين في نشر الجذر التربيعي ، وإهمال الحدود التي هي أعلى من الرتبة الثانية ، فإنه يتبقى الحدود التالية فقط في معادلة إزاحة المنزلقة:

$$x_q = R(1 - \cos q) + \frac{R^2}{2L} \sin^2 q \quad (4-4)$$

وفي معادلة السرعة تنتج معادلة السرعة التقريبية للمنزلقة:

$$V_q = \frac{dx_q}{dt} = \omega . R . \sin q \left[1 + \left(\frac{R}{L} \right) \cos q \right] \quad (5-4)$$

بافتراض أن السرعة الزاوية ω ثابتة ، واستبدال الزاوية θ في المعادلة السابقة بالمقدار $\omega . t$ ، وتعويض $(\theta = 0)$ عندما $(t = 0)$.

وبمفاضلة معادلة السرعة التقريبية تنتج معادلة تسارع المنزلقة التقريبي:

$$A_q = \frac{dV_q}{dt} = \omega^2 . R \left[\cos q + \left(\frac{R}{L} \right) \cos 2q \right] \quad (6-4)$$

إن المعادلات السابقة تعطي قيمة موجبة لسرعة المنزلقة وتساوعها إذا كان اتجاههما نحو عمود المرفق ، وقيمة سالبة إذا كان اتجاههما مبتعداً عن عمود المرفق . وتسري هذه المعادلات على آلية المنزلقة ، والمرفق المركزية إذا كانت السرعة الزاوية لعمود المرفق ثابتة ، وإذا كانت النسبة R / L أكبر أو تساوي ثلاثة . وعلى تركيبة المنزلقتين ، والمرفق في الفقرة (5-2) والمبينة في (الشكل-2-13) ، حيث يمكن الحصول على علاقات حركة المنزلقة 4 بعد تعويض $(R / L = 0)$ ، لأن L تساوي لانهاية ، مما ينتج أن:

$$x_q = R(1 - \cos q) \Rightarrow V_q = R.w.\sin q \Rightarrow A_q = R.w^2.\cos q$$

وهي علاقات حركة توافقية بسيطة ؛ لذا فإن من أهم تطبيقاتها توليد اهتزازات توافقية بسيطة في آلات الاختبار ، وكذلك كمولد حركة جيبية - تجيبية صحيحة في عناصر الحاسبات التمثيلية الميكانيكية .

من الواضح عند تطبيق هذه الطريقة ، لا بد من كتابة معادلة إزاحة مستقلة لكل نقطة يراد تعيين حركتها ، وذلك بدلالة الإزاحة المعلومة للوصلة القائدة في التركيب . يمكن لمعادلة الإزاحة أن تكون خطية أو زاوية بحسب طبيعة حركة النقطة أو الوصلة العائدة لها . إنها طريقة سهلة وسريعة عند كون التركيب الآلية بسيطة الشكل ذات عدد قليل من الوصلات ، لكن لما كانت غالبية الآلات مكونة من مجموعة تركيبات متداخلة ، فإن تحليل الحركة بهذه الطريقة يصبح معقداً جداً ؛ بسبب تداخل المتغيرات المؤثرة في تعيين معادلات الإزاحة ؛ إضافة إلى تزايد احتمال حصول أخطاء في كتابة هذه المعادلات من الصعب اكتشافها .

3-4- تحليل متجهات الحركة بتطبيق علاقات الأعداد المركبة

Vectors of Motion Analysis by Complex Numbers Relations

تعتمد طريقة تحليل متجهات الحركة بتطبيق علاقات الأعداد المركبة على كتابة معادلات الإزاحة لمختلف نقاط المخطط الحركي للتركيب الآلية ، وذلك باستعمال علاقات الأعداد المركبة ، يتم الحصول على سرعة كل نقطة من هذه النقاط من اشتقاق معادلة الإزاحة الموافقة لها بالنسبة للزمن ، أما التسارع ، فينتج من اشتقاق معادلة السرعة بالنسبة للزمن .

سنوضح من خلال بعض الأمثلة النموذجية الأسس المتبعة في هذا التحليل والتي يمكن - استناداً إليها - دراسة تحليل متجهات الحركة بتطبيق علاقات الأعداد المركبة في أية تركيبة مهما بلغ عدد وصلاتها .

1-3-4- تحليل متجهات حركة نقطة من وصلة

Vectors Analysis of Point Motion of Link

لتحليل متجهات حركة نقطة من وصلة بتطبيق علاقات الأعداد المركبة ، ندرس الحالة المبينة في المخطط a في (الشكل-4-2) ، حيث تدور الوصلة 2 حول المركز الثابت O_2 بسرعة زاوية ω_2 وتسارع زاوي ε_2 ، عندما تكون الإزاحة الزاوية للوصلة هي θ_2 مقاسه من المحور الموجب وباتجاه عكس دوران عقارب الساعة .

إذا أردنا تعيين حركة النقطة P على هذه الوصلة ، فإن وضع هذه النقطة يمثل بالمتجه R_p ، الذي يمكن التعبير عنه كعدد مركب بإحدى العلاقات الآتية:

$$R_p = r_p \cdot e^{i.q_2} \quad (7-4)$$

$$R_p = r_p (\cos q_2 + i \cdot \sin q_2)$$

علماً أنه بشكل عام:

$$e^{i.q_2} = \cos q_2 + i \cdot \sin q_2$$

تعد العلاقة الأولى من (7-4) أكثر سهولة في تحليل الحركة ، حيث:

r_p تمثل طولاً أو القيمة المطلقة لمتجه الإزاحة . وهي في هذه الحالة ثابتة ، وتساوي O_2P .

$e^{i.q_2}$ تمثل وحدة قياس المتجه باتجاه الإزاحة الزاوية θ_2 مع المحور الأفقي الحقيقي R ، كما في المخطط b في (الشكل-4-2) .

يمكن تعيين متجه سرعة النقطة P باشتقاق العلاقة (7-4) بالنسبة للزمن:

$$V_p = \dot{R}_p = r_p \cdot \dot{q}_2 \cdot i \cdot e^{i.q_2}$$

$$V_p = r_p \cdot \omega_2 \cdot i \cdot e^{i.q_2} \quad (8-4)$$

حيث $(\dot{q}_2 = \omega_2)$ تمثل معدل تغيير الإزاحة الزاوية للوصلة ، أو السرعة الزاوية للوصلة .

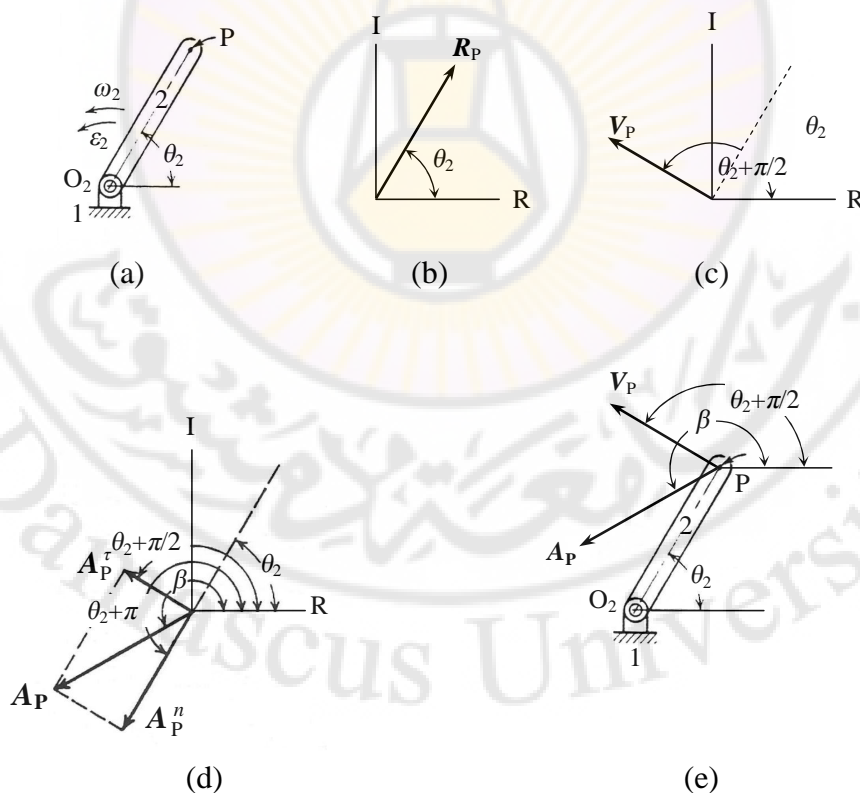
كما يمكن البرهان باستعمال علاقات الأعداد المركبة ، ومفكوك متتالية ماك لوران (Mac-Lauran) ، أن:

$$i.e^{iq_2} = i(\cos q_2 + i.\sin q_2) = e^{i(q_2 + \pi/2)}$$

وبالتعويض تصبح معادلة السرعة (8-4) على الشكل:

$$V_p = r_p \cdot \omega_2 \cdot e^{i(q_2 + \pi/2)} \quad (9-4)$$

كما هو مبين في المخطط c في (الشكل-2-4) ، حيث يتجه متجه السرعة بزاوية $(\theta_2 + \pi/2)$ عكس اتجاه دوران عقارب الساعة مع المحور الحقيقي ، وطول هذا المتجه هو $(r_p \cdot \omega_2)$ ؛ أي: إن جداء وحدة قياس المتجه بالوحدة التخيلية i ، يعمل على تدويره زاوية 90° عكس اتجاه دوران عقارب الساعة عن وضعه السابق .



(الشكل-2-4) تحليل متجهات الحركة كأعداد مركبة لوصلة O_2P تدور حول مركز ثابت O_2 .

نحصل على متجه التسارع باشتقاق معادلة السرعة (8-4) ، كالآتي:

$$A_p = \frac{dV_p}{dt} = r_p \cdot w_2^2 (i^2 \cdot e^{i \cdot q_2}) + r_p \cdot \dot{w}_2 (i \cdot e^{i \cdot q_2})$$

$$A_p = r_p \cdot w_2^2 (i^2 \cdot e^{i \cdot q_2}) + r_p \cdot e_2 (i \cdot e^{i \cdot q_2}) \quad (10-4)$$

حيث $(\dot{q}_2 = \dot{w}_2 = e)$ يمثل معدل تغير السرعة الزاوية للوصلة ، والحد الأول من المعادلة (10-4) يمثل متجه المركبة النازمية للتسارع A_p^n ، أما الحد الثاني ، فإنه يمثل متجه المركبة المماسية A_p^t ، والقيم العددية لهما:

$$A_p^n = r_p \cdot w_2^2 \quad , \quad A_p^t = r_p \cdot e_2$$

وبالاتجاهات المبينة في المخطط d في (الشكل-4-2) ، ويمكن كتابة معادلة التسارع (10-4) على النحو الآتي:

$$A_p = r_p \cdot w_2^2 \cdot e^{i(q_2+p)} + r_p \cdot e_2 \cdot e^{i(q_2+p/2)} \quad (11-4)$$

عادة تكتب العلاقة (11-4) بدلالة الزاوية θ_2 ، وذلك تسهيلاً لإيجاد مركبات تسارع النقاط في التركيبات الآلية ، بحيث تصبح:

$$A_p = -r_p \cdot w_2^2 (\cos q_2 + i \cdot \sin q_2) + r_p \cdot e_2 (i \cdot \cos q_2 - \sin q_2)$$

$$A_p = -(r_p \cdot w_2^2 \cdot \cos q_2 + r_p \cdot e_2 \cdot \sin q_2) + i(-r_p \cdot w_2^2 \cdot \sin q_2 + r_p \cdot e_2 \cdot \cos q_2)$$

ونكتب بالشكل:

$$A_p = a + i \cdot b$$

أي أنه يمكن أيضاً تمثيل التسارع A_p كمحصلة مركبتين اتجاهيتين ، الأولى باتجاه المحور الحقيقي R ، ولتكن قيمتها a ، والأخرى باتجاه المحور التخيلي I ، ولتكن قيمتها b ، وإن القيمة المطلقة لهذا التسارع معطاة بالعلاقة:

$$A_p = (a^2 + b^2)^{1/2} = [(r_p \cdot w_2^2)^2 + (r_p \cdot e_2)^2]^{1/2} \quad (12-4)$$

وباتجاه زاوية β مع المحور الحقيقي كما هو موضح في المخطط e في (الشكل-4-2) ، حيث:

$$\tan \beta = \frac{b}{a} = \frac{(-w_2^2 \cdot \sin q_2 + e_2 \cdot \cos q_2)}{-(w_2^2 \cdot \cos q_2 + e_2 \cdot \sin q_2)} \quad (13-4)$$

يبين المخطط e في (الشكل-4-2) موضع كل من متجهي سرعة النقطة P ، وتسارعها بالنسبة للوصلة 2 ، ويلاحظ من التحليل السابق أنه يمكن تعيين متجهات السرعة ، والتسارع لأي وضع للوصلة خلال دورة كاملة .

2-3-4- تحليل متجهات حركة نقطتين متطابقتين

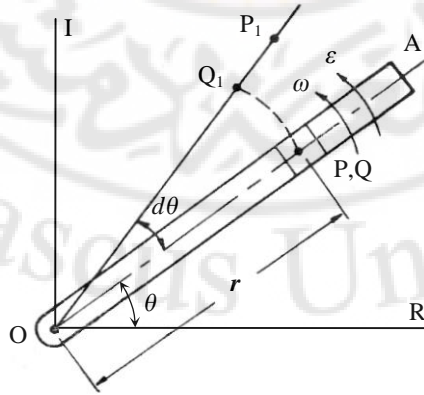
Vectors Analysis of Motion of Two Coincident Points

بينما في الفصل الثالث كيفية تمثيل هذه الحركة تخطيطاً ، والاستفادة من ذلك في تحليل حركة النقاط المتطابقة في تركيبية آلية ووصلاتها ، حيث يتم تقييد الحركة النسبية بتحريك نقطة ، من وصلة متحركة ، على مسار معين بالنسبة لوصلة متحركة أخرى بواسطة سطح توجيه مستقيم أو منحني . تنشأ عندئذ حركة نسبية بين النقاط المتطابقة على الوصلتين المتحركتين ؛ مما يؤدي إلى ظهور مركبات إضافية لمميزات الحركة عند هذه النقاط .

يمكن توضيح ذلك من خلال دراسة حركة الحالة المبينة في (الشكل-3-4) ، حيث تقيّد حركة النقطة من الوصلة P بالانزلاق ضمن المجرى المستقيم للوصلة OA التي تدور حول المركز الثابت O بسرعة زاوية ω وتسارع زاوي ε وفق الاتجاه المبين في (الشكل-3-4) ، حيث:

$$w = \frac{dq}{dt} , \quad e = \frac{d^2q}{dt^2}$$

لنفرض أن النقطة المطابقة للوصلة P على الوصلة OA هي النقطة Q في هذه اللحظة . إذا دارت الوصلة OA زاوية $d\theta$ ، فإن النقطة Q تدور حول المركز الثابت O إلى Q_1 ، بينما تكون الوصلة P قد انزلقت على الوصلة OA بالنسبة لـ Q_1 إلى الوضع P_1 ؛ أي: إن النقطة Q كونها مثبتة إلى الوصلة OA تتحرك على مسار دائري مركّزه O ، بينما تتحرك الوصلة P بالنسبة للمستوى الثابت على مسار منحني ما .



(الشكل-3-4) حركة الوصلة P مقيدة بالانزلاق ضمن المجرى المستقيم للوصلة OA .

يمكن كتابة معادلة إزاحة النقطة أو الوصلة P على شكل عدد مركب:

$$OP = r \cdot e^{iq} \quad (14-4)$$

بالاشتقاق بالنسبة للزمن ينتج معادلة سرعة الوصلة P :

$$V_P = \dot{r} \cdot e^{iq} + r \cdot \dot{q} \cdot e^{iq} \quad (15-4)$$

يمكن كتابة معادلة السرعة (15-4) على شكل المعادلة الشعاعية:

$$V_P = V_Q + V_{PQ} \quad (16-4)$$

حيث:

V_Q تمثل سرعة النقطة Q بالنسبة إلى المركز الثابت O باتجاه عمودي على الوصلة OA ، وقيمتها $(V_Q = r \cdot \dot{q})$.

V_{PQ} تمثل سرعة انزلاق الوصلة P بالنسبة إلى النقطة Q على طول الوصلة OA ، وقيمتها $(V_{PQ} = \dot{r})$.

كما أن معادلة التسارع تنتج من اشتقاق معادلة السرعة (15-4) بالنسبة للزمن:

$$A_P = -r \cdot \dot{q}^2 \cdot e^{iq} + r \cdot \ddot{q} \cdot e^{iq} + \dot{r} \cdot \dot{q} \cdot e^{iq} + 2 \dot{r} \cdot \dot{q} \cdot e^{iq} \quad (17-4)$$

يمكن كتابة معادلة التسارع (17-4) على شكل المعادلة الشعاعية:

$$A_P = A_Q^n + A_Q^t + A_{PQ} + A_{PQ}^c \quad (18-4)$$

حيث:

A_Q^n تمثل المركبة الناعمية لتسارع النقطة Q بالنسبة إلى المركز الثابت O بالاتجاه من Q إلى O ، وقيمتها العددية $(A_Q^n = r \cdot \dot{q}^2)$.

A_Q^t تمثل المركبة المماسية لتسارع النقطة Q بالنسبة إلى المركز الثابت O باتجاه عمودي على الوصلة OA ، وقيمتها العددية $(A_Q^t = r \cdot \ddot{q})$.

A_{PQ} يمثل التسارع النسبي لانزلاق الوصلة P بالنسبة إلى النقطة Q على طول الوصلة OA ، وقيمتها العددية $(A_{PQ} = \ddot{r})$.

A_{PQ}^c يدعى بتسارع كوريوليس أو التسارع المتمم ، ويمثل تسارع كوريوليس للوصلة P بالنسبة إلى النقطة Q باتجاه عمودي على الوصلة OA ، وقيمتها العددية $(A_{PQ}^c = 2V_{PQ} \cdot \dot{q})$.

نلاحظ من المعادلة (4-18) أن تقييد الحركة بواسطة سطح توجيه على وصلة متحركة ، قد نشأ عنه مركبة إضافية للتسارع A_{PQ}^e ، كما يلاحظ أن اتجاه التسارع النسبي الانزلاقي يحدد بمعدل تغير السرعة النسبية متزايداً أو متناقصاً ، بينما يحدد اتجاه تسارع كوريوليس من تدوير شعاع السرعة النسبية حول مبدئه بزاوية 90° باتجاه دوران ω ، كما سبق ، وتم شرحه في الفصل الثالث .

تجدر الإشارة إلى أنه في هذه الحالة قيدت حركة الوصلة P بالانزلاق على مسار مستقيم ؛ مما نتج منه أن السرعة النسبية V_{PQ} متغيرة القيمة ، لكن ثابتة المنحى على طول الوصلة OA ؛ وبالتالي فإن التسارع النسبي A_{PQ} له مركبة واحدة على طول هذه الوصلة ، هي في الواقع المركبة المماسية للتسارع النسبي .

وجدنا أيضاً أنه يحدث في بعض التركيبات أن تحدد حركة المنزلقة على مسار منحني ، حيث تتغير السرعة النسبية V_{PQ} بالقيمة والمنحى ؛ مما تنتج منه مركبتان للتسارع النسبي A_{PQ} ، واحدة مماسية لمسار الانزلاق ، والأخرى ناظرية عليه باتجاه مركز انحناء هذا المسار ، بينما منحى السرعة النسبية V_{PQ} ؛ فهو مماسي لمسار الانزلاق . في هذه الحالة تبقى المعادلة (4-16) صحيحة ، بينما يمكن كتابة المعادلة (4-18) بالشكل العام:

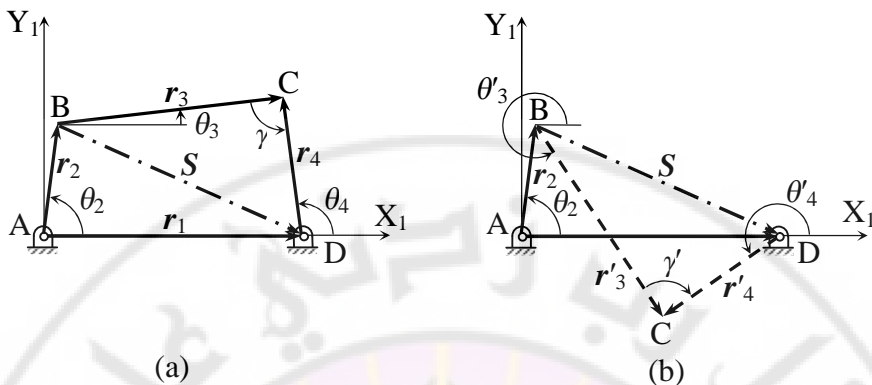
$$A_P = A_Q'' + A_Q^r + A_{PQ}'' + A_{PQ}^r + A_{PQ}^e \quad (19-4)$$

تعّد العلاقة الشعاعية (4-19) المعادلة العامة للتسارع في التركيبات الآلية ، حيث يمكن انعدام بعض حدودها وفقاً للحركة النسبية الحاصلة بين مختلف الوصلات المكونة للتركيبة .

3-3-4- تحليل متجهات حركة تركيبة رباعية القضبان

Vectors Analysis of Motion in Four-Bar Mechanism

بينا في الفقرة 4-3-1- كيفية تعيين سرعة نقطة وتسارعها من وصلة بتطبيق الأعداد المركبة في كتابة معادلات الحركة . سنوضح فيما يلي التطبيق العملي لهذه الطريقة في دراسة حركة تركيبة رباعية القضبان المبينة في (الشكل-4-4) ، حيث يدور المرفق 2 بسرعة زاوية ثابتة ω_2 ، والمطلوب تحليل الحركة في الوضع المبين في المخطط a في (الشكل-4-4) ، عندما يميل المرفق بزاوية θ_2 على خط الشوط ، بينما يبين المخطط b التركيبة رباعية القضبان المتصالبة بأطوال الوصلات بنفسها للتركيبة المجاورة .



(الشكل 4-4) تركيبة رباعية القضبان .

تحليل الأوضاع

كما هو واضح في المخطط a في (الشكل 4-4) ، يمكن كتابة المعادلة الاتجاهية:

$$r_2 + r_3 = r_1 + r_4 \quad (20-4)$$

أو باستعمال نظرية الأعداد المركبة:

$$r_2 \cdot e^{i.q_2} + r_3 \cdot e^{i.q_3} = r_1 + r_4 \cdot e^{i.q_4} \quad (21-4)$$

حيث r_2 تمثل طول الوصلة 2 ؛ أي المرفق .

r_3 تمثل طول الوصلة 3 ؛ أي القارئة .

r_4 تمثل طول الوصلة 4 ؛ أي الوصلة المقودة .

r_1 تمثل طول يعين وضع المركز الثابت D بالنسبة للمركز الثابت A .

$\theta_2, \theta_3, \theta_4$ تمثل الوضع الزاوي لكل من الوصلات 2 و 3 و 4 ، كما هو مبين في

المخطط a من (الشكل 4-4) .

($\theta_1 = 0$) تمثل الوضع الزاوي للوصلة الثابتة 1 ، وهي زاوية ثابتة خلال دورة كاملة للمرفق 2 .

باختيار المحورين X_1 و Y_1 كما في المخطط a ، وبإسقاط المعادلة (20-4)

عليهما نحصل على:

$$r_2 \cdot \cos q_2 + r_3 \cdot \cos q_3 = r_1 + r_4 \cdot \cos q_4 \quad (22-4)$$

$$r_2 \cdot \sin q_2 + r_3 \cdot \sin q_3 = r_4 \cdot \sin q_4 \quad (23-4)$$

حيث الزوايا θ_4, θ_3 مجهولة .

لتعيين المجهول θ_4 يمكن كتابة المعادلتين (22-4) و (23-4) بشكل يتم فيه عزل الحدود التي تحوي θ_3 :

$$r_3 \cdot \cos q_3 = r_4 \cdot \cos q_4 - r_2 \cdot \cos q_2 + r_1$$

$$r_3 \cdot \sin q_3 = r_4 \cdot \sin q_4 - r_2 \cdot \sin q_2$$

بتربيع المعادلتين الأخيرتين وجمعهما:

$$r_3^2 = r_4^2 + r_2^2 + r_1^2 + 2r_1 \cdot r_4 \cdot \cos q_4 - 2r_1 \cdot r_2 \cdot \cos q_2 - 2r_2 \cdot r_4 \cdot \cos(q_4 - q_2) \quad (24-4)$$

بذلك تم حذف المجهول θ_3 .

يمكن ضم بعض القيم المعلومة في المعادلة (24-4) لتبسيطها ، حيث يلاحظ في المخطط a في (الشكل 4-4) أن:

$$S_x = r_1 + r_2 \cdot \cos q_2 \quad (25-4)$$

$$S_y = -r_2 \cdot \sin q_2 \quad (26-4)$$

$$g = \cos^{-1} \left[\frac{r_1^2 + r_2^2 - r_3^2 - r_4^2 - 2r_1 \cdot r_2 \cdot \cos q_2}{-2r_3 \cdot r_4} \right] \quad (27-4)$$

بالتعويض في المعادلة (5-4) والاختصار:

$$S_x \cdot \cos q_4 + S_y \cdot \sin q_4 - r_3 \cdot \cos g + r_4 = 0 \quad (28-4)$$

نلاحظ أن المعادلة (28-4) لا تحتوي على \sin و \cos لنفس الزاوية ، من الملائم عندها استعمال العلاقات المثلثية التالية:

$$\sin q = \frac{2 \tan(q/2)}{1 + \tan^2(q/2)} ; \quad \cos q = \frac{1 - \tan^2(q/2)}{1 + \tan^2(q/2)} \quad (29-4)$$

بتعويض هاتين العلاقتين في المعادلة (9-4) ، نحصل على معادلة من الدرجة الثانية لـ $\tan(\theta_4/2)$:

$$(r_4 - r_3 \cdot \cos g - S_x) \tan^2 \frac{q_4}{2} + 2S_y (r_4 - r_3 \cdot \cos g + S_x) \tan \frac{q_4}{2} = 0 \quad (30-4)$$

بحل هذه المعادلة نحصل على:

$$\tan \frac{q_4}{2} = \frac{-S_y \pm \sqrt{S_y^2 - r_4^2 + 2r_3 \cdot r_4 \cdot \cos g - r_3^2 \cdot \cos^2 g + S_x^2}}{r_4 - r_3 \cdot \cos g - S_x} \quad (31-4)$$

وبالتعويض من المعادلات (25-4)، (26-4)، (27-4) في المعادلة (31-4) ، نحصل على:

$$\tan \frac{q_4}{2} = \frac{-S_y \pm r_3 \sqrt{1 - \cos^2 g}}{r_4 - r_3 \cdot \cos g - S_x} \quad (32-4)$$

منه:

$$q_4 = 2 \tan^{-1} \frac{r_2 \cdot \sin q_2 \pm r_3 \sin g}{r_4 - r_1 + r_2 \cdot \cos q_2 - r_3 \cdot \cos g} \quad (33-4)$$

يمكن بطريقة مماثلة تعيين المجهول θ_3 ، وذلك بعد عزل الحدود التي تحوي θ_4 في المعادلتين (22-4)، (23-4) ، ومن ثم تربيعهما وجمعهما ؛ لنحصل على:

$$q_3 = 2 \tan^{-1} \frac{-r_2 \cdot \sin q_2 \pm r_4 \sin g}{r_4 - r_1 + r_2 \cdot \cos q_2 - r_4 \cdot \cos g} \quad (34-4)$$

تحليل السرعة

يمكن كتابة المعادلة (21-4) بالشكل:

$$r_{BA} \cdot e^{i \cdot q_2} + r_{CB} \cdot e^{i \cdot q_3} = r_{DA} + r_{CD} \cdot e^{i \cdot q_4} \quad (35-4)$$

بالاشتقاق بالنسبة للزمن مع عدّ أن \dot{R} تمثل تغير طولية متجه الموضع R ، وبما أن أطوال الوصلات تبقى ثابتة يكون $(\dot{R} = 0)$ ، و $(\dot{q} = w)$ تمثل تغير زاوية ميل متجه الموضع على المحور الأفقي:

$$i \cdot w_2 \cdot r_{BA} \cdot e^{i \cdot q_2} + i \cdot w_3 \cdot r_{CB} \cdot e^{i \cdot q_3} = i \cdot w_4 \cdot r_{CD} \cdot e^{i \cdot q_4} \quad (36-4)$$

بفصل الأجزاء الحقيقية والتخيلية وترتيب الحدود نحصل على:

$$w_3 \cdot r_{CB} \cdot \sin q_3 - w_4 \cdot r_{CD} \cdot \sin q_4 = -w_2 \cdot r_{BA} \cdot \sin q_2 \quad (37-4)$$

$$w_3 \cdot r_{CB} \cdot \cos q_3 - w_4 \cdot r_{CD} \cdot \cos q_4 = -w_2 \cdot r_{BA} \cdot \cos q_2 \quad (38-4)$$

بالحل المشترك للمعادلتين (18-4) ، (18-4) نحصل على:

$$w_3 = \frac{r_{BA} \cdot \sin(q_2 - q_4)}{r_{CB} \cdot \sin(q_4 - q_3)} w_2 \quad (39-4)$$

$$w_4 = \frac{r_{BA} \cdot \sin(q_2 - q_3)}{r_{CD} \cdot \sin(q_4 - q_3)} w_2 \quad (40-4)$$

تحليل التسارع

باشتقاق المعادلة (4-35) مرتين بالنسبة للزمن مع عدّ أن $(\ddot{q} = e)$ تمثل التغير الثاني لزاوية ميل متجه الموضع على المحور الأفقي:

$$\begin{aligned} & -\ddot{q}_2 \cdot r_{BA} \cdot e^{i.q_2} + i.\ddot{q}_2 \cdot r_{BA} \cdot e^{i.q_2} - \ddot{q}_3 \cdot r_{CB} \cdot e^{i.q_3} + i.\ddot{q}_3 \cdot r_{CB} \cdot e^{i.q_3} \\ & = -\ddot{q}_4 \cdot r_{CD} \cdot e^{i.q_4} + i.\ddot{q}_4 \cdot r_{CD} \cdot e^{i.q_4} \end{aligned} \quad (41-4)$$

بقسمة طرفي العلاقة (4-22) على $e^{i.q_3}$:

$$\begin{aligned} & -\ddot{q}_2 \cdot r_{BA} \cdot e^{i(q_2-q_3)} + i.\ddot{q}_2 \cdot r_{BA} \cdot e^{i(q_2-q_3)} - \ddot{q}_3 \cdot r_{CB} + i.\ddot{q}_3 \cdot r_{CB} \\ & = -\ddot{q}_4 \cdot r_{CD} \cdot e^{i(q_4-q_3)} + i.\ddot{q}_4 \cdot r_{CD} \cdot e^{i(q_4-q_3)} \end{aligned} \quad (42-4)$$

يلاحظ أن الأجزاء الحقيقية من هذه المعادلة لا تحتوي على المجهول \ddot{q}_3 أي:

$$\begin{aligned} & -\ddot{q}_2 \cdot r_{BA} \cdot \cos(q_2 - q_3) + \ddot{q}_2 \cdot r_{BA} \cdot \sin(q_2 - q_3) - \ddot{q}_3 \cdot r_{CB} \\ & = -\ddot{q}_4 \cdot r_{CD} \cdot \cos(q_4 - q_3) + \ddot{q}_4 \cdot r_{CD} \cdot \sin(q_4 - q_3) \end{aligned} \quad (43-4)$$

ومن هنا يمكن الحصول على المجهول \ddot{q}_4 :

$$\ddot{q}_4 = e_4 = \frac{r_{BA} \cdot \sin(q_2 - q_3) \ddot{q}_2 + r_{BA} \cdot \cos(q_2 - q_3) \ddot{q}_3 + r_{CB} \cdot \ddot{q}_3 - r_{CD} \cdot \cos(q_4 - q_3) \ddot{q}_4}{r_{CD} \cdot \sin(q_4 - q_3)} \quad (44-4)$$

وبقسمة المعادلة (41-4) على $e^{i.q_4}$ ، وعدّ الأجزاء الحقيقية نحصل على المجهول \ddot{q}_3 :

$$\ddot{q}_3 = e_3 = \frac{r_{BA} \cdot \sin(q_2 - q_4) \ddot{q}_2 + r_{BA} \cdot \cos(q_2 - q_4) \ddot{q}_2 + r_{CB} \cdot \cos(q_4 - q_3) \ddot{q}_3 - r_{CD} \cdot \ddot{q}_4}{r_{CB} \cdot \sin(q_4 - q_3)} \quad (45-4)$$

4-3-4- تحليل متجهات حركة تركيبة المنزلقة والمرفق

Vectors Analysis of Motion of Slider-Crank Mechanism

يبين (الشكل 4-5) تركيبة المرفق والمنزلة، حيث يدور المرفق 2 بسرعة زاوية ثابتة ω_2 ، والمطلوب تحليل الحركة في الوضع المبين في المخطط a في (الشكل 4-5)، عندما يميل المرفق بزاوية θ_2 على خط الشوط.

كما هو واضح في المخطط b في (الشكل-4-5) ، فإن وضع النقطة B بالنسبة للمركز الثابت O_2 معين بالمتجه r_1 ، حيث يمكن كتابة المعادلة الاتجاهية:

$$r_1 = r_2 + r_3$$

أو باستعمال نظرية الأعداد المركبة:

$$r_1 \cdot e^{i \cdot q_1} = r_2 \cdot e^{i \cdot q_2} + r_3 \cdot e^{i \cdot q_3}$$

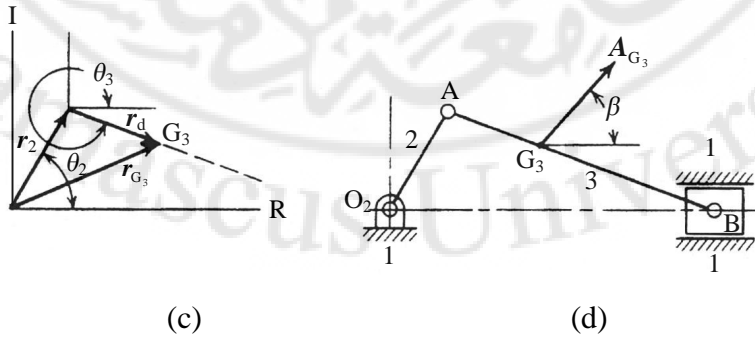
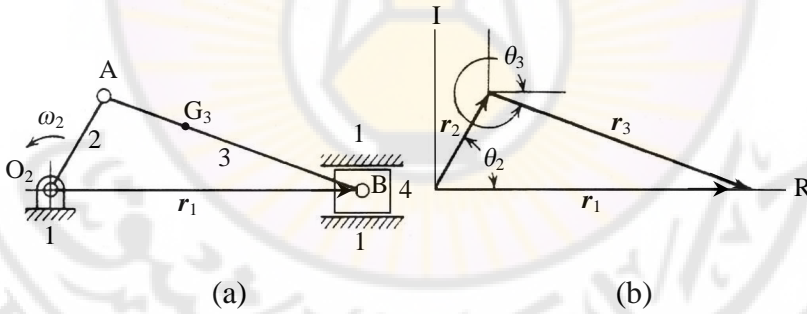
حيث r_2 تمثل طول الوصلة 2 ؛ أي المرفق .

r_3 تمثل طول الوصلة 3 ؛ أي ذراع التوصيل .

r_1 تمثل طول متغير يعين وضع المنزلقة B بالنسبة للمركز الثابت O_2 .

θ_2, θ_3 تمثلان الوضع الزاوي لكل من الوصلتين 2 و 3 ، كما هو مبين في الرسم b من (الشكل-4-5) .

($\theta_1 = 0$) تمثل الوضع الزاوي للوصلة الثابتة 1 وهي زاوية ثابتة خلال دورة كاملة للمرفق 2 .



(الشكل-4-5) تحليل آلية المنزلقة ، والمرفق بطريقة الأعداد المركبة .

ومنه:

$$r_1 = r_2 \cdot e^{i.q_2} + r_3 \cdot e^{i.q_3} \quad (46-4)$$

باشتقاق هذه المعادلة مرتين متتاليتين ، نحصل على المعادلات الاتجاهية:

$$V_B = \dot{r}_1 = r_2 \cdot w_2 (i \cdot e^{i.q_2}) + r_3 \cdot w_3 (i \cdot e^{i.q_3}) \quad (47-4)$$

$$A_B = \ddot{r}_1 = r_2 (i \cdot e_2 - w_2^2) e^{i.q_2} + r_3 (i \cdot e_3 - w_3^2) e^{i.q_3} \quad (48-4)$$

إذ أن:

$$w_2 = \text{const} \Rightarrow e_2 = dw_2 / dt = 0, \quad e_3 = dw_3 / dt$$

يمكن كتابة معادلة التسارع (48-4) بالشكل الآتي:

$$A_B = \ddot{r}_1 = -r_2 \cdot w_2^2 \cdot e^{i.q_2} + r_3 (i \cdot e_3 - w_3^2) e^{i.q_3} \quad (49-4)$$

نلاحظ من هذه المعادلات أن القيم (r_2 , r_3 , θ_2 , w_2) هي قيم معلومة من معطيات التركيب الآلية ، بينما المطلوب تعيين القيم المجهولة (r_1 , V_B , A_B , θ_3 , w_3 , ε_3).

لتعيين r_1 , θ_3 يمكن كتابة المعادلة (46-4) على الشكل الآتي:

$$r_1 = r_2 (\cos q_2 + i \cdot \sin q_2) + r_3 (\cos q_3 + i \cdot \sin q_3) \quad (50-4)$$

وبمساواة الأجزاء التخيلية للطرفين ينتج:

$$0 = r_2 \cdot \sin q_2 + r_3 \cdot \sin q_3 \quad (51-4)$$

ومنه:

$$q_3 = \sin^{-1} \left[-\frac{r_2}{r_3} \sin q_2 \right] \quad (52-4)$$

بينما بمساواة الأجزاء الحقيقية لطرفي المعادلة (50-4) ، فإنه ينتج:

$$r_1 = r_2 \cdot \cos q_2 + r_3 \cdot \cos q_3 \quad (53-4)$$

أي: إنه يمكن تعيين r_1 , θ_3 من المعادلتين (52-4) و (53-4) وذلك بمعلومية القيم الأخرى .

يمكن بطريقة مماثلة تعيين w_3 , V_B من مساواة كل من الأجزاء الحقيقية ،

والتخيلية في طرفي المعادلة (47-4) ، بعد كتابتها بدلالة توابع مثلثية ، والحصول على:

$$w_3 = -w_2 \left[\frac{r_2 \cdot \cos q_2}{r_3 \cdot \cos q_3} \right] \quad (54-4)$$

$$V_B = \dot{r}_1 = -r_2 \cdot w_2 \cdot \sin q_2 - r_3 \cdot w_3 \cdot \sin q_3 \quad (55-4)$$

أما القيمتان e_3 , A_B ، فإنهما تحددان من مساواة كل من الأجزاء الحقيقية ، والتخيلية للمعادلة (49-4) ، حيث ينتج:

$$e_3 = w_2^2 \left[\frac{r_2 \cdot \sin q_2}{r_3 \cdot \cos q_3} \right] + w_3^2 \left[\frac{\sin q_3}{\cos q_3} \right] \quad (56-4)$$

$$A_B = -r_2 \cdot w_2^2 \cdot \cos q_2 - r_3 \cdot w_3^2 \cdot \cos q_3 - r_3 \cdot e_3 \cdot \sin q_3 \quad (57-4)$$

إن المعادلات الست السابقة تعطي المتغيرات الحركية كافة ، والتي تلزم لدراسة حركة هذه التركيبية قيمةً ، واتجاهاً ، مع ملاحظة أن الاتجاه الموجب للقيم الزاوية هو عكس دوران عقارب الساعة ، وللقيم الخطية هو بالاتجاه المعتاد لمحاور الإحداثيات ، كما أن هذه المعادلات صحيحة لقيم θ_2 كافةً من $(0 - 360^\circ)$ ، وكذلك لقيم أخرى للسرعة الزاوية ω_2 ، ولأطوال مختلفة للوصلات ؛ مما يسمح بإجراء دراسة كاملة للحركة لاحتمالات تصميمية عدة ، واختيار التصميم الأفضل لتركيبية معينة .

رغم ما يبدو من ضخامة العمليات الحسابية في هذه الحالة ، إلا أنه يمكن باستخدام الحاسوب تسهيل هذه العمليات ، والوصول إلى أدق النتائج ؛ مما يعطي هذه الطريقة ميزات كبيرة عن بقية طرائق دراسة الحركة ؛ بخاصة عند إنشاء التركيبات الآلية ، أو عندما يكون المطلوب دراسة الحركة على كامل مجال عمل التركيبية .

تجدر الإشارة إلى أنه في بعض الأحيان نهتم بدراسة حركة نقاط أخرى من التركيبية الآلية ، مثال ذلك في حالة آلية المنزلقة ، والمرفق حيث إن تسارع مركز ثقل ذراع التوصيل AB ، ذو أهمية خاصة في تعيين القوى المؤثرة في الآلية ، كما سنوضح ذلك في فصل لاحق . ليكن مركز الثقل هذا G_3 ، فإنه تنتج المعادلات الاتجاهية التالية من توضع متجهات الحركة المبين في المخططات c و d من (الشكل-4-5):

$$r_{G_3} = r_2 + r_d = r_2 \cdot e^{i.q_2} + r_d \cdot e^{i.q_3} \quad (58-4)$$

$$V_{G_3} = \dot{r}_{G_3} = r_2 \cdot w_2 (i \cdot e^{i.q_2}) + r_d \cdot w_3 (i \cdot e^{i.q_3}) \quad (59-4)$$

$$A_{G_3} = \ddot{r}_{G_3} = -r_2 \cdot w_2^2 \cdot e^{i.q_2} + r_d (i \cdot e_3 - w_3^2) e^{i.q_3} \quad (60-4)$$

وتكتب المعادلة (4-60) بدلالة التوابع المثلثية عندما تكون السرعة الزاوية للمرفق ثابتة على الشكل الآتي:

$$\begin{aligned} A_{G_3} &= (-r_2 \cdot \omega_2^2 \cdot \cos q_2 - r_d \cdot e_3 \cdot \sin q_3 - r_d \cdot \omega_3^2 \cdot \cos q_3) \\ &\quad + i(-r_2 \cdot \omega_2^2 \cdot \sin q_2 + r_d \cdot e_3 \cdot \cos q_3 - r_d \cdot \omega_3^2 \cdot \sin q_3) \quad (61-4) \\ &= a_{G_3} + i \cdot b_{G_3} \end{aligned}$$

أي إن متجه تسارع مركز الثقل كما هو مبين في المخطط d ، وقيمتيه العددية:

$$A_{G_3} = [a_{G_3}^2 + b_{G_3}^2]^{1/2}$$

وباتجاه يميل بزاوية β على المحور الحقيقي ، حيث:

$$\tan b = b_{G_3} / a_{G_3}$$

مسألة-4-1

في آلية المنزلقة والمرفق لمحرك احتراق داخلي المبينة في a من (الشكل-4-5) ، يبلغ طول المرفق 50.8 mm ، طول ذراع التوصيل 203.2 mm ، ويبعد مركز كتل ذراع التوصيل عن المفصل A مقدار 50.8 mm .

فإذا كانت السرعة الدورانية لمرفق المحرك ثابتة ($n_2 = 3000$ rpm) . المطلوب عندما زاوية المرفق ($\theta_2 = 30^\circ$) ، الآتي:

1. تعيين متجه تسارع مركز الكتلة A_{G_3} لذراع التوصيل .
2. رسم منحنى تغيرات A_{G_3} بالنسبة لـ θ_2 . ومنحنى الزاوية β التي يحصرها المتجه A_{G_3} مع المحور الحقيقي بالنسبة لـ θ_2 .

الحل:

1. يتم تعيين متجه التسارع A_{G_3} ، باستخدام المعادلة (4-61) ، وبالمعطيات الآتية:

$$r_d = 50.8 \text{ mm} , \quad r_3 = 203.2 \text{ mm} , \quad r_2 = 50.8 \text{ mm}$$

$$\theta_2 = 30^\circ , \quad \omega_2 = 314 \text{ rad / sec}$$

ولكن قبل إجراء الحسابات يجب أولاً تعيين θ_3 ، ω_3 ، ε_3 .

يمكن تعيين زاوية ذراع التوصيل θ_3 من المعادلة (4-52) ، كالآتي:

$$q_3 = \sin^{-1}\left[-\frac{r_2}{r_3} \sin q_2\right] = \sin^{-1}\left[-\frac{50.8}{203.2} \sin 30^\circ\right] = \sin^{-1}(-0.125)$$

$$q_3 = -7.18^\circ , \quad 352.82^\circ$$

يجب ملاحظة أنه يوجد وضعان لذراع التوصيل إما ($\theta_3 = 352.82^\circ$) أو ($\theta_3 = 187.18^\circ$) ، وذلك حسب كون المنزلقة موجودة على يمين مفصل المرفق O_2 أو يساره .

كما يمكن تعيين السرعة الزاوية ω_3 ، والتسارع الزاوي ϵ_3 لذراع التوصيل من المعادلات (4-54) و (4-56) على الترتيب :

$$\begin{aligned} w_3 &= -w_2 \left[\frac{r_2 \cdot \cos q_2}{r_3 \cdot \cos q_3} \right] \\ &= -\frac{314 \times 50.8 \times \cos 30^\circ}{203.2 \times \cos 352.82} = -68.56 \text{ rad/sec} \end{aligned}$$

$$\begin{aligned} e_3 &= w_2^2 \left[\frac{r_2 \cdot \sin q_2}{r_3 \cdot \cos q_3} \right] + w_3^2 \left[\frac{\sin q_3}{\cos q_3} \right] \\ &= (314)^2 \frac{50.8 \sin 30^\circ}{203.2 \cos 352.82} + (68.56)^2 \frac{\sin 352.82}{\cos 352.82} = 11830 \text{ rad/sec}^2 \end{aligned}$$

يصبح الآن بالإمكان تعيين المركبات الحقيقية ، والتخيلية لمتجه التسارع A_{G_3} من المعادلة (4-60) ، كالآتي:

$$\begin{aligned} a_{G_3} &= -r_2 \cdot w_2^2 \cdot \cos q_2 - r_d \cdot e_3 \cdot \sin q_3 - r_d \cdot w_3^2 \cdot \cos q_3 \\ &= -(50.8)(314)^2 (0.866) - 50.8(11830)(-0.125) - 50.8(68.56)^2 (0.992) \\ &= -4500 \times 10^3 \text{ mm/sec}^2 \end{aligned}$$

$$\begin{aligned} b_{G_3} &= -r_2 \cdot w_2^2 \cdot \sin q_2 + r_d \cdot e_3 \cdot \cos q_3 - r_d \cdot w_3^2 \cdot \sin q_3 \\ &= -50.8(314)^2 \sin 30^\circ + 50.8(11830)(0.992) - 50.8(68.56)^2 (-0.125) \\ &= -1888 \times 10^3 \text{ mm/sec}^2 \end{aligned}$$

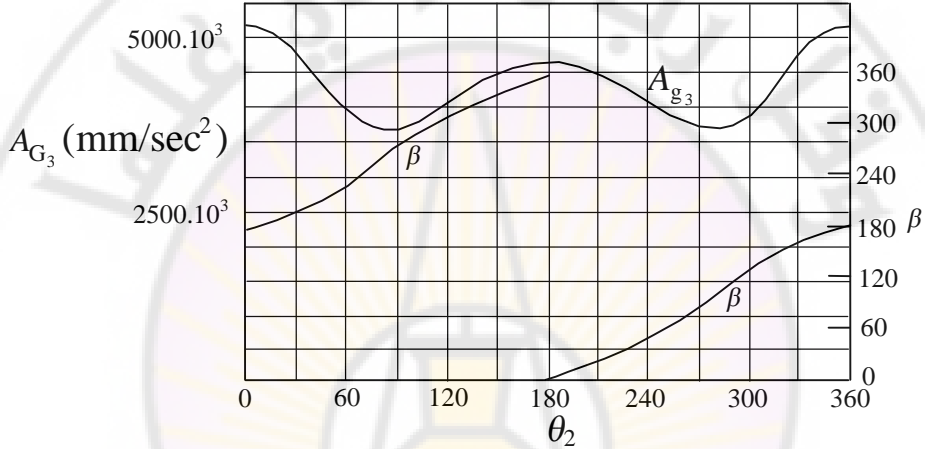
ويكون مقدار التسارع A_{G_3} :

$$\begin{aligned} A_{G_3} &= [a_{G_3}^2 + b_{G_3}^2]^{1/2} = [(4500 \times 10^3)^2 + (1888 \times 10^3)^2]^{1/2} \\ &= 4880 \times 10^3 \text{ mm/sec}^2 \end{aligned}$$

والزاوية β التي يحصرها متجه التسارع الكلي A_{G_3} مع المحور الحقيقي، المحور الأفقي:

$$\tan b = b_{G_3} / a_{G_3} = -1888 / (-4500) = 0.419 \Rightarrow b = 22.7^\circ , 202.7^\circ$$

2. أما المنحنيات المطلوبة لتغيرات التسارع A_{G_3} والزاوية β بالنسبة لـ θ_2 ، فهي ممثلة في (الشكل-4-5).



(الشكل-4-6) منحنيات التسارع A_{G_3} والزاوية β خلال دورة كاملة للمرفق .

4-4- تحليل أوضاع الحركة بدلالة زاوية الدخل

Position Analysis of Motion by Crank Angle

تعتمد طريقة تحليل أوضاع الحركة بدلالة زاوية الدخل على إيجاد العلاقات التي تربط زوايا الوصلات وأطوالها كون الوصلات هي متجهات ، مع زاوية الدخل ؛ أي: زاوية المرفق ، وإن عملية إيجاد الزاوية المتغيرة لوصلة من التركيبية كتابع لزاوية المرفق معروفة باسم تحليل الأوضاع . يتم الحصول على علاقة السرعة الزاوية كتابع لزاوية الدخل لكل وصلة من وصلات التركيبية المكونة لها من اشتقاق معادلة الإزاحة الموافقة لها بالنسبة للزمن ، أما علاقة التسارع الزاوي كتابع لزاوية الدخل ، فتنتج من اشتقاق معادلة السرعة الزاوية بالنسبة للزمن .

سنوضح من خلال مثالين نموذجيين الأسس المتبعة في هذا التحليل والتي يمكن - استناداً إليها - تحليل أوضاع الحركة بدلالة زاوية الدخل في أية تركيبية مهما بلغ عدد وصلاتها .

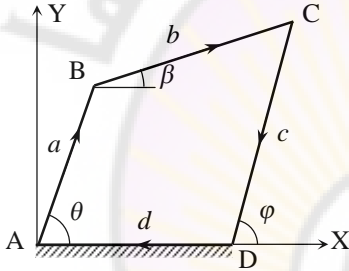
1-4-4- تحليل أوضاع الحركة في تركيبة رباعية القضبان

Position Analysis of Motion in Four-Bar Mechanism

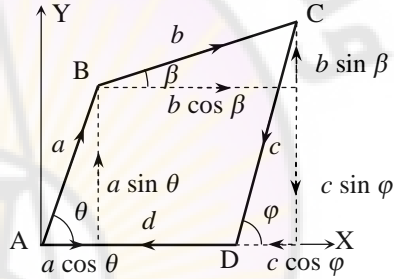
يبين المخطط a (الشكل-7-4) تركيبة رباعية القضبان ABCD ، حيث تتصف بأن أطوال وصلاتها هي:

$$AB = a , BC = b , CD = c , DA = d$$

وأن الوصلة AD ثابتة ومتوضعة على طول المحور AX ، أما الوصلة القائدة AB ، والوصلة القارئة BC ، والوصلة المقودة DC ، فإنها تصنع زوايا θ ، β ، φ على الترتيب مع المحور AX ، أي مع الوصلة الثابتة AD .



(a)



(b)

(الشكل-7-4) تحليل أوضاع الحركة في تركيبة رباعية القضبان .

بشكل عام من أجل تحليل أوضاع الحركة في هذه التركيبية ، لابد من إيجاد علاقة بين زاوية الوصلة المقودة φ وزاوية المرفق θ . ويتم استخراج علاقات الإزاحة ، والسرعة ، والتسارع على الشكل الآتي:

1. تحليل الإزاحة Displacement Analysis

عند وضع الاتزان للتركيبية ، يكون مجموع مساقط أطوال عناصرها على المحور X وعلى المحور Y مساوياً للصفر . نأخذ أولاً مجموع أطوال المساقط على المحور X ، كما هو مبين في الرسم b من (الشكل-6-4):

$$a \cdot \cos \theta + b \cdot \cos \beta - c \cdot \cos \varphi - d = 0 \quad (i)$$

منه:

$$b \cdot \cos \beta = c \cdot \cos \varphi + d - a \cdot \cos \theta$$

بتربيع الطرفين:

$$b^2 \cdot \cos^2 \beta = (c \cdot \cos \varphi + d - a \cdot \cos \theta)^2$$

$$b^2 \cdot \cos^2 \beta = c^2 \cdot \cos^2 \varphi + d^2 + 2c \cdot d \cdot \cos \varphi + a^2 \cdot \cos^2 \theta - 2a \cdot c \cdot \cos \varphi \cdot \cos \theta - 2a \cdot d \cdot \cos \theta \quad (ii)$$

وبأخذ مجموع أطوال المساقط على المحور Y يكون لدينا:

$$a \sin \theta + b \sin \beta - c \sin \varphi = 0 \quad (iii)$$

منه:

$$b \sin \beta = c \sin \varphi - a \sin \theta$$

بتربيع الطرفين:

$$b^2 \cdot \sin^2 \beta = (c \cdot \sin \varphi - a \cdot \sin \theta)^2 \quad (vi)$$
$$= c^2 \cdot \sin^2 \varphi + a^2 \cdot \sin^2 \theta - 2a \cdot c \cdot \sin \varphi \cdot \sin \theta$$

بجمع المعادلتين (ii) و (vi) ينتج:

$$b^2 (\cos^2 \beta + \sin^2 \beta) = c^2 (\cos^2 \varphi + \sin^2 \varphi) + d^2 + 2c \cdot d \cdot \cos \varphi + a^2 (\cos^2 \theta + \sin^2 \theta) - 2a \cdot c (\cos \varphi \cdot \cos \theta + \sin \varphi \cdot \sin \theta) - 2a \cdot d \cdot \cos \theta$$

منه:

$$b^2 = c^2 + d^2 + 2c \cdot d \cdot \cos \varphi + a^2 - 2a \cdot c (\cos \varphi \cdot \cos \theta + \sin \varphi \cdot \sin \theta) - 2a \cdot d \cdot \cos \theta$$

$$(\cos \varphi \cdot \cos \theta + \sin \varphi \cdot \sin \theta) = \frac{a^2 - b^2 + c^2 + d^2}{2a \cdot c} + \frac{d}{a} \cos \varphi - \frac{d}{c} \cos \theta \quad (v)$$

بوضع:

$$\frac{d}{a} = k_1 \quad ; \quad \frac{d}{c} = k_2 \quad ; \quad \frac{a^2 - b^2 + c^2 + d^2}{2a \cdot c} = k_3 \quad (vi)$$

عندها يمكن كتابة المعادلة (v) على الشكل:

$$\cos \varphi \cos \theta + \sin \varphi \sin \theta = k_1 \cos \varphi - k_2 \cos \theta + k_3$$

منه:

$$\cos(\theta - \varphi) = k_1 \cos \varphi - k_2 \cos \theta + k_3 \quad (vii)$$

تدعى المعادلة (vii) بمعادلة فرويدنشتاين (Freudenstein's Equation).

من الصعب جداً تحديد قيمة الزاوية φ من أجل قيمة معطاة لـ θ في المعادلة (vii)؛ لذا من الضروري تبسيط هذه المعادلة.

من العلاقات المثلثية معلوم لدينا:

$$\sin \varphi = \frac{2 \tan(j/2)}{1 + \tan^2(j/2)} ; \quad \cos \varphi = \frac{1 - \tan^2(j/2)}{1 + \tan^2(j/2)}$$

بتعويض هذه القيم في المعادلة (vii):

$$\frac{1 - \tan^2(j/2)}{1 + \tan^2(j/2)} \cos \theta + \frac{2 \tan(j/2)}{1 + \tan^2(j/2)} \sin \theta = k_1 \frac{1 - \tan^2(j/2)}{1 + \tan^2(j/2)} - k_2 \cos \theta + k_3$$

منه:

$$\begin{aligned} \cos \theta [1 - \tan^2(j/2)] + 2 \sin \theta \tan(j/2) \\ = k_1 [1 - \tan^2(j/2)] - k_2 \cos \theta [1 + \tan^2(j/2)] + k_3 [1 + \tan^2(j/2)] \end{aligned}$$

$$\begin{aligned} \cos \theta - \cos \theta \tan^2(j/2) + 2 \sin \theta \tan(j/2) \\ = k_1 - k_1 \tan^2(j/2) - k_2 \cos \theta - k_2 \cos \theta \tan^2(j/2) + k_3 + k_3 \tan^2(j/2) \end{aligned}$$

بإعادة ترتيب هذه المعادلة:

$$\begin{aligned} -\cos \theta \tan^2(j/2) + k_1 \tan^2(j/2) + k_2 \cos \theta \tan^2(j/2) - k_3 \tan^2(j/2) \\ + 2 \sin \theta \tan(j/2) = -\cos \theta + k_1 - k_2 \cos \theta + k_3 \end{aligned}$$

$$\begin{aligned} -\tan^2(j/2) [\cos \theta - k_1 - k_2 \cos \theta + k_3] + 2 \sin \theta \tan(j/2) \\ - k_1 - k_3 + \cos \theta (1 + k_2) = 0 \end{aligned}$$

$$\begin{aligned} [(1 - k_2) \cos \theta + k_3 - k_1] \tan^2(j/2) + (-2 \sin \theta) \tan(j/2) \\ + [k_1 + k_3 - (1 + k_2) \cos \theta] = 0 \end{aligned}$$

منه:

$$A.\tan^2(j/2) + B.\tan(j/2) + C = 0 \quad (viii)$$

حيث:

$$A = (1 - k_2)\cos\theta + k_3 - k_1, \quad B = -2\sin q, \quad C = k_1 + k_3 - (1 + k_2)\cos q \quad (ix)$$

نلاحظ أن المعادلة (viii) هي معادلة من الدرجة الثانية لـ $\tan(\varphi/2)$ ولها

جذران هما:

$$\tan(j/2) = \frac{-B \pm \sqrt{B^2 - 4AC}}{2A}$$

منه:

$$\varphi = 2 \tan^{-1} \left[\frac{-B \pm \sqrt{B^2 - 4AC}}{2A} \right] \quad (x)$$

من هذه المعادلة يمكن إيجاد زاوية الوضع φ للوصلة المقودة CD ؛ أي الخرج ؛ وذلك بمعرفة أطوال الوصلات a, b, c, d ، وزاوية وضع الوصلة القائدة AB ؛ أي: زاوية الدخل θ .

إذا كان المطلوب إيجاد العلاقة بين وضع الوصلة القائدة AB ؛ أي زاوية θ ، ووضع الوصلة القارئة BC ؛ أي الزاوية β ، عندئذ يجب عزل الزاوية φ من المعادلتين (i) و (iii) ، والمعادلة (i) يمكن كتابتها على الشكل الآتي:

$$c.\cos\varphi = a.\cos\theta + b.\cos\beta - d \quad (xi)$$

بتربيع الطرفين:

$$c^2.\cos^2\varphi = a^2.\cos^2\theta + b^2.\cos^2\beta + 2a.b.\cos\theta.\cos\beta + d^2 - 2a.d.\cos\theta - 2b.d.\cos\beta \quad (xii)$$

كما أن المعادلة (iii) يمكن كتابتها على الشكل الآتي:

$$c.\sin\varphi = a.\sin\theta + b.\sin\beta \quad (xiii)$$

بتربيع الطرفين:

$$c^2.\sin^2\varphi = a^2.\sin^2\theta + b^2.\sin^2\beta + 2a.b.\sin\theta.\sin\beta \quad (xiv)$$

بجمع المعادلتين (xii) و (xiv):

$$c^2(\cos^2 \varphi + \sin^2 \varphi) = a^2(\cos^2 \theta + \sin^2 \theta) + b^2(\cos^2 \beta + \sin^2 \beta) \\ + 2a.b(\cos \theta.\cos \beta + \sin \theta.\sin \beta) + d^2 - 2a.d.\cos \theta - 2b.d.\cos \beta$$

منه:

$$c^2 = a^2 + b^2 + 2a.b(\cos \theta \cos \beta + \sin \theta \sin \beta) \\ + d^2 - 2a.d.\cos \theta - 2b.d.\cos \beta$$

$$(\cos \theta \cos \beta + \sin \theta \sin \beta) = \frac{c^2 - a^2 - b^2 - d^2}{2a.b} + \frac{d}{b}\cos \theta + \frac{d}{a}\cos \beta \quad (xv)$$

بوضع:

$$\frac{d}{a} = k_1 \quad ; \quad \frac{d}{b} = k_4 \quad ; \quad \frac{c^2 - a^2 - b^2 - d^2}{2a.b} = k_5 \quad (xvi)$$

عندها تصبح المعادلة (xv) على الشكل الآتي:

$$(\cos \theta.\cos \beta + \sin \theta.\sin \beta) = k_1.\cos \beta + k_4.\cos \theta + k_5 \quad (xvii)$$

ومن العلاقات المثلثية معلوم لدينا:

$$\sin \beta = \frac{2\tan(b/2)}{1 + \tan^2(b/2)} \quad ; \quad \cos \beta = \frac{1 - \tan^2(b/2)}{1 + \tan^2(b/2)}$$

بتعويض هذه القيم في المعادلة (xvii):

$$\cos \theta \left[\frac{1 - \tan^2(b/2)}{1 + \tan^2(b/2)} \right] + \sin \theta \left[\frac{2\tan(b/2)}{1 + \tan^2(b/2)} \right] = k_1 \frac{1 - \tan^2(b/2)}{1 + \tan^2(b/2)} + k_4.\cos \theta + k_5$$

$$\cos \theta [1 - \tan^2(b/2)] + 2 \sin \theta.\tan(b/2) =$$

$$k_1[1 - \tan^2(b/2)] + k_4.\cos \theta [1 + \tan^2(b/2)] + k_5[1 + \tan^2(b/2)]$$

$$\cos \theta - \cos \theta \tan^2(b/2) + 2 \sin \theta.\tan(b/2) =$$

$$k_1 - k_1.\tan^2(b/2) + k_4.\cos \theta + k_4.\cos \theta.\tan^2(b/2) + k_5 + k_5.\tan^2(b/2)$$

$$-\cos \theta . \tan ^2(b / 2)+k_1 . \tan ^2(b / 2)-k_4 . \cos \theta . \tan ^2(b / 2)-k_5 . \tan ^2(b / 2) \\ +2 \sin \theta . \tan (b / 2)-k_1-k_4 . \cos \theta -k_5+\cos \theta =0$$

$$-\tan ^2(b / 2)\left[\left(k_4+1\right) \cos q+k_5-k_1\right]+2 \sin \theta . \tan (b / 2) \\ -\left[\left(k_4-1\right) \cos q+k_5+k_1\right]=0$$

$$\left[\left(k_4+1\right) \cos q+k_5-k_1\right] \tan ^2(b / 2)+(-2 \sin q) \tan (b / 2) \\ +\left[\left(k_4-1\right) \cos q+k_5+k_1\right]=0$$

منه:

$$D \tan ^2(\beta / 2)+E \tan (\beta / 2)+F=0 \quad (xviii)$$

حيث:

$$D=\left(k_4+1\right) \cos \theta+k_5-k_1, E=-2 \sin q, F=\left[\left(k_4-1\right) \cos q+k_5+k_1\right] \quad (xix)$$

نلاحظ أن المعادلة (xviii) هي معادلة من الدرجة الثانية لـ $\tan(\beta/2)$ ، ولها

جذران هما:

$$\tan (\beta / 2)=\frac{-E \pm \sqrt{E^2-4 D F}}{2 D}$$

منه:

$$\beta=2 \tan ^{-1}\left[\frac{-E \pm \sqrt{E^2-4 D F}}{2 D}\right] \quad (xx)$$

ومن المعادلة (xx) يمكن إيجاد زاوية الوضع β للوصلة القارئة BC .

ملاحظة: يمكن الحصول على الزاوية β مباشرة من العلاقة (i) أو (iii) ، بعد أن يتم تعيين الزاوية φ كما هو وارد أعلاه .

2. تحليل السرعة Velocity Analysis

لتكن: $\omega_1 = d\theta/dt$ السرعة الزاوية للوصلة القائدة AB .

$\omega_2 = d\beta/dt$ السرعة الزاوية للوصلة القارئة BC .

$\omega_3 = d\varphi/dt$ السرعة الزاوية للوصلة المقودة CD .

باشتقاق العلاقة (i) بالنسبة للزمن:

$$-a.\sin\theta \cdot \frac{d\theta}{dt} - b.\sin\beta \cdot \frac{d\beta}{dt} + c.\sin\varphi \cdot \frac{d\varphi}{dt} = 0$$

منه:

$$-a.\omega_1.\sin\theta - b.\omega_2.\sin\beta + c.\omega_3.\sin\varphi = 0 \quad (xxi)$$

وباشتقاق العلاقة (iii) بالنسبة للزمن:

$$a.\cos\theta \cdot \frac{d\theta}{dt} + b.\cos\beta \cdot \frac{d\beta}{dt} - c.\cos\varphi \cdot \frac{d\varphi}{dt} = 0$$

منه:

$$a.\omega_1.\cos\theta + b.\omega_2.\cos\beta - c.\omega_3.\cos\varphi = 0 \quad (xxii)$$

بضرب طرفي العلاقة (xxi) بـ $\cos\beta$ ، والعلاقة (xxii) بـ $\sin\beta$ ، نحصل على:

$$-a.\omega_1.\sin\theta.\cos\beta - b.\omega_2.\sin\beta.\cos\beta + c.\omega_3.\sin\varphi.\cos\beta = 0 \quad (xxiii)$$

$$a.\omega_1.\cos\theta.\sin\beta + b.\omega_2.\cos\beta.\sin\beta - c.\omega_3.\cos\varphi.\sin\beta = 0 \quad (xxiv)$$

بجمع العلاقتين (xxiii) و (xxiv):

$$a.\omega_1.\sin(b-q) + c.\omega_3.\sin(j-b) = 0$$

منه

$$\omega_3 = \frac{-a.\omega_1.\sin(b-q)}{c.\sin(f-b)} \quad (xxv)$$

أيضاً بضرب طرفي العلاقة (xxi) بـ $\cos \varphi$ ، والعلاقة (xxii) بـ $\sin \varphi$ ،
نحصل على:

$$-a.\omega_1.\sin \theta.\cos j - b.\omega_2.\sin \beta.\cos j + c.\omega_3.\sin \varphi.\cos j = 0 \quad (xxvi)$$

$$a.\omega_1.\cos \theta.\sin j + b.\omega_2.\cos \beta.\sin j - c.\omega_3.\cos \varphi.\sin j = 0 \quad (xxvii)$$

بجمع العلاقتين (xxvi) و (xxvii):

$$a.\omega_1.\sin(j - q) + b.\omega_2.\sin(j - b) = 0$$

منه:

$$\omega_2 = \frac{-a.\omega_1.\sin(j - q)}{b.\sin(j - b)} \quad (xxviii)$$

من هذه المعادلة (xxviii) والمعادلة (xxv) يمكن إيجاد السرعة الزاوية ω_2 و ω_3 ،
وذلك بمعرفة أطوال الوصلات a ، b ، c ، وزاوي الوضع θ ، β ، φ لكل من الوصلة
القائدة AB ، الوصلة القارنة BC والوصلة المقودة DC على الترتيب مع المحور AX
أي مع الوصلة الثابتة AD ؛ بالإضافة إلى السرعة الزاوية ω_1 للوصلة القائمة AB .

3. تحليل التسارع Acceleration Analysis

لنكن: $e_1 = d\omega_1/dt$ التسارع الزاوي للوصلة القائمة AB .

$e_2 = d\omega_2/dt$ التسارع الزاوي للوصلة القارنة BC .

$e_3 = d\omega_3/dt$ التسارع الزاوي للوصلة المقودة CD .

باشتقاق العلاقة (xxi) بالنسبة للزمن:

$$\begin{aligned} & -a [\omega_1.\cos \theta \cdot \frac{dq}{dt} + \sin q \cdot \frac{d\omega_1}{dt}] - b [\omega_2.\cos \beta \cdot \frac{db}{dt} + \sin b \cdot \frac{d\omega_2}{dt}] \\ & + c [\omega_3.\cos \varphi \cdot \frac{dj}{dt} + \sin j \cdot \frac{d\omega_3}{dt}] = 0 \end{aligned}$$

منه:

$$\begin{aligned} & -a.\omega_1^2.\cos \theta - a.\sin q .e_1 - b.\omega_2^2.\cos \beta - b.\sin b .e_2 \\ & + c.\omega_3^2.\cos \varphi + c.\sin j .e_3 = 0 \end{aligned} \quad (xxix)$$

وباشتقاق العلاقة (xxii) بالنسبة للزمن:

$$a [\omega_1(-\sin \theta) \frac{dq}{dt} + \cos q \cdot \frac{dw_1}{dt}] + b [\omega_2(-\sin \beta) \frac{db}{dt} + \cos b \cdot \frac{dw_2}{dt}] - c [\omega_3(-\sin \varphi) \cdot \frac{dj}{dt} + \cos j \cdot \frac{dw_3}{dt}] = 0$$

منه:

$$-a \cdot \omega_1^2 \cdot \sin \theta + a \cdot \cos q \cdot e_1 - b \cdot \omega_2^2 \cdot \sin \beta + b \cdot \cos b \cdot e_2 + c \cdot \omega_3^2 \cdot \sin \varphi - c \cdot \cos j \cdot e_3 = 0 \quad (xxx)$$

بضرب طرفي العلاقة (xxix) بـ $\cos \varphi$ ، والعلاقة (xxx) بـ $\sin \varphi$ ، نحصل على:

$$-a \cdot \omega_1^2 \cdot \cos \theta \cdot \cos j - a \cdot e_1 \cdot \sin q \cdot \cos j - b \cdot \omega_2^2 \cdot \cos \beta \cdot \cos j - b \cdot e_2 \cdot \sin b \cdot \cos j + c \cdot \omega_3^2 \cdot \cos^2 \varphi + c \cdot e_3 \cdot \sin j \cdot \cos j = 0 \quad (xxxi)$$

$$-a \cdot \omega_1^2 \cdot \sin \theta \cdot \sin j + a \cdot e_1 \cdot \cos q \cdot \sin j - b \cdot \omega_2^2 \cdot \sin \beta \cdot \sin j + b \cdot e_2 \cdot \cos b \cdot \sin j + c \cdot \omega_3^2 \cdot \sin^2 \varphi - c \cdot e_3 \cdot \cos j \cdot \sin j = 0 \quad (xxxii)$$

بجمع العلاقتين (xxxi) و (xxxii):

$$-a \cdot \omega_1^2 (\cos j \cdot \cos q + \sin j \cdot \sin q) + a \cdot e_1 (\sin j \cdot \cos q - \cos j \cdot \sin q) - b \cdot \omega_2^2 (\cos j \cdot \cos b + \sin j \cdot \sin b) + b \cdot e_2 (\sin j \cdot \cos b - \cos j \cdot \sin b) + c \cdot \omega_3^2 (\cos^2 \varphi + \sin^2 \varphi) = 0$$

منه:

$$-a \cdot \omega_1^2 \cdot \cos(j - q) + a \cdot e_1 \cdot \sin(j - q) - b \cdot \omega_2^2 \cdot \cos(j - b) + b \cdot e_2 \cdot \sin(j - b) + c \cdot \omega_3^2 = 0$$

$$e_2 = \frac{-a \cdot e_1 \cdot \sin(j - q) + a \cdot \omega_1^2 \cdot \cos(j - q) + b \cdot \omega_2^2 \cdot \cos(j - b) - c \cdot \omega_3^2}{b \cdot \sin(j - b)} \quad (xxxiii)$$

أيضاً بضرب طرفي العلاقة (xxix) بـ $\cos\beta$ ، والعلاقة (xxx) بـ $\sin\beta$ ،
نحصل على:

$$-a.\omega_1^2.\cos\theta.\cos b - a.e_1.\sin q.\cos b - b.\omega_2^2.\cos^2\beta \quad (xxxiv)$$

$$-b.e_2.\sin b.\cos b + c.\omega_3^2.\cos\varphi.\cos b + c.e_3.\sin j.\cos b = 0$$

$$-a.\omega_1^2.\sin\theta.\sin b + a.e_1.\cos q.\sin b - b.\omega_2^2.\sin^2\beta \quad (xxxv)$$

$$+ b.e_2.\cos b.\sin b + c.\omega_3^2.\sin\varphi.\sin b - c.e_3.\cos j.\sin b = 0$$

بجمع العلاقتين (xxxiv) و (xxxv):

$$-a.\omega_1^2(\cos b.\cos q + \sin b.\sin q) + a.e_1(\sin b.\cos q - \cos b.\sin q)$$

$$-b.\omega_2^2(\cos^2\beta + \sin^2 b) + c.\omega_3^2(\cos\varphi.\cos b + \sin j.\sin b)$$

$$+ c.e_3(\sin j.\cos b - \cos j.\sin b) = 0$$

منه:

$$-a.\omega_1^2.\cos(b-q) + a.e_1.\sin(b-q) - b.\omega_2^2 + c.\omega_3^2.\cos(\varphi-b)$$

$$+ c.e_3.\sin(j-b) = 0$$

$$e_3 = \frac{-a.e_1.\sin(b-q) + a.\omega_1^2.\cos(b-q) + b.\omega_2^2 - c.\omega_3^2.\cos(\varphi-b)}{c.\sin(j-b)} \quad (xxxvi)$$

من المعادلة (xxxiii) والمعادلة (xxxvi) يمكن إيجاد التسارع الزاوي للوصلتين BC و CD ، وذلك بعد إيجاد السرعة الزاوية ω_3 للوصلة المقودة CD من المعادلة (xxv) ، والسرعة الزاوية ω_2 للوصلة المقودة BC من المعادلة (xxxiii) ، وبمعرفة أطوال الوصلات a ، b ، c ، وزوايا الوضع θ ، β ، φ لكل من الوصلة القائدة AB ، والوصلة القارئة BC والوصلة المقودة DC على الترتيب مع المحور AX ، أي مع الوصلة الثابتة AD ؛ بالإضافة إلى السرعة الزاوية ω_1 للوصلة القائدة AB .

4. البرنامج الحاسوبي لتحليل أوضاع الحركة

Computer Program for Position Analysis of Motion

استناداً للعلاقات ، والمعادلات المستنتجة لحساب السرعات الزاوية ، والتسارعات الزاوية لتركيبية رباعية القضبان من أجل أوضاع مختلفة للمرفق . يمكن صياغة برنامج للحاسوب بلغة فورتران (FORTRAN) ؛ لتعيين قيم هذه السرعات ، والتسارعات الزاوية .

```

C  PROGRAM TO FIND THE VELOCITY AND ACCELERATION
C  IN A FOUR – BAR MECHANISM
    DIMENSION PH (2), PHI (2), PP (2), BET (2), BT (2), VELC (2),
    VELB (2), ACCC (2), ACCB (2), C1 (2), C2 (2), C3 (2), C4 (2),
    B1 (2), B2 (2), B3 (2), B4 (2)
    READ (*,*) A, B, C, D, VELA, ACCA, THETA
    PI = 4.0 * ATAN(1.0)
    THET = 0
    IHT = 180/THETA
    DTHET = PI/IHT
    DO 10 J = 1, 2 * IHT
    THET = (J - 1) * DTHET
    AK = (A * A - B * B + C * C + D * D) * 0.5)
    TH = THET * 180/PI
    AA = AK - A * (D - C) * COS (THET) - (C * D)
    BB = -2.0 * A * C * SIN (THET)
    CC = AK - A * (D + C) * COS (THET) + (C * D)
    AB = BB ** 2 - 4 * AA * CC
    IF (AB .LT. 0) GO TO 10
    PHH = SQRT(AB)
    PH (1) = -BB + PHH
    PH (2) = -BB - PHH
    DO 9 I = 1, 2
    PHI (I) = ATAN (PH (I) * 0.5/AA) * 2
    PP (I) = PHI (I) * 180/PI
    BET (I) = ASIN ((C * SIN (PHI (I)) - A * SIN (THET)) / B)
    BT (I) = BET (I) * 180/PI

```

```

VELC (I) = A * VELA * SIN (BET (I) – THET)
/ (C * SIN (BET (I) – PHI (I)))
VELB (I) = (A * VELA * SIN (PHI (I) – THET))
/ (B * SIN (BET (I) – PHI (I))))
C1 (I) = A * ACCA * SIN (BET (I) – THET)
C2 (I) = A * VELA **2 * COS (BET (I) – THET) +
B * VELB (I) **2
C3 (I) = C * VELC (I) **2 * COS (PHI (I) – BET (I))
C4 (I) = C * SIN (BET (I) - PHI (I))
ACCC (I) = (C1 (I) – C2 (I) + C3 (I) ) / C4 (I)
B1 (I) = A * ACCA * SIN (PHI (I) – THET)
B2 (I) = A * VELA **2 * COS (PHI (I) – THET)
B3 (I) = B * VELB (I) **2 * COS (PHI (I) –
BET (I) ) - C * VELC (I) **2
B4 (I) = B * (SIN (BET (I) - PHI (I))))
9  ACCB (I) = (B1 (I) – B2 (I) - B3 (I)) / B4 (I)
   IF (J . NE .1) GO TO 8
   WRITE*,7)
7  FORMAT (4X,' THET', 4X,' PHI', 4X,' BETA',
4X,' VELC', 4X,' VELB', 4X,' ACCC', 4X,' ACCB'
8  WRITE(*, 6) TH, PP (1), BT (1), VELC (1),
   VELB (1), ACCC (1), ACCB (1)
6  FORMAT (8F8.2)
   WRITE(*,5) PP (2), BT (2), VELC (2), VELB (2), ACCC (2),
   ACCB (2)
5  FORMAT (8X, 8F8.2)
10 CONTINUE
   STOP
   END

```


في البرنامج أعلاه تم اعتماد الرموز الآتية:

لـ متغيرات الدخل:

A,B,C,D تمثل أطوال الوصلات AB ، BC ، CD و DA على الترتيب مقاسة بـ mm .

THET تمثل الفاصل الزاوي لوصلة الدخل AB مقاسة بـ الدرجات .

VELA تمثل السرعة الزاوية لوصلة الدخل AB مقاسة بـ rad/sec .

ACCA تمثل التسارع الزاوي لوصلة الدخل AB مقاسة بـ rad/sec^2 .

لـ متغيرات الخرج:

THET تمثل الإزاحة الزاوية لوصلة الدخل AB مقاسة بـ الدرجات .

PHI تمثل الإزاحة الزاوية لوصلة الخرج DC مقاسة بـ الدرجات .

BETA تمثل الإزاحة الزاوية للوصلة القارنة BC مقاسة بـ الدرجات .

VELC تمثل السرعة الزاوية لوصلة الخرج DC مقاسة بـ rad/sec .

VELB تمثل السرعة الزاوية للوصلة القارنة BC مقاسة بـ rad/sec .

ACCC تمثل التسارع الزاوي لوصلة الخرج DC مقاسة بـ rad/sec^2 .

ACCB تمثل التسارع الزاوي للوصلة القارنة BC مقاسة بـ rad/sec^2 .

مسألة-4-2

تركيبة رباعية الوصلات ABCD ، فيها الوصلة AD ثابتة ، وأطوال الوصلات

هي:

$$AB = 300 \text{ mm} ; BC = 360 \text{ mm} ; CD = 360 \text{ mm} ; AD = 600 \text{ mm}$$

فإذا دار المرفق AB بسرعة زاوية 10 rad/sec وبتباطؤ زاوي 30 rad/sec^2 .

المطلوب إيجاد الإزاحات الزاوية ، والسرعات ، والتسارعات الزاوية للوصلتين BC و CD ،

من أجل فواصل زاوية متساوية للمرفق AB قدرها 30° .

الحل:

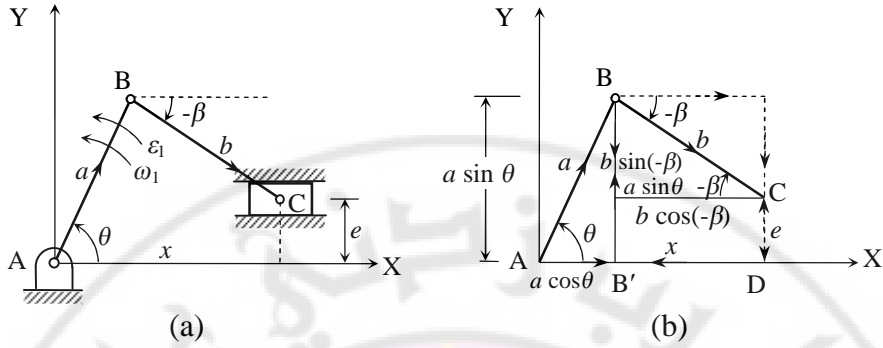
THET	PHI	BETA	VELC	VELB	ACCC	ACCB
00.00	-114.62	- 65.38	-10.00	-10.00	- 61.67	121.67
	114.62	65.38	-10.00	-10.00	121.67	- 61.67
30.00°	-144.88	- 82.70	- 8.69	- 0.84	101.52	181.43
	97.30	35.12	- 0.84	- 8.69	181.43	101.52
60.00°	-166.19	- 73.81	- 6.02	6.02	38.02	77.45
	106.19	13.81	6.02	- 6.02	77.45	38.02
90.00°	174.73	- 47.86	- 8.26	12.26	-180.18	216.18
	132.14	- 5.27	12.26	- 8.26	216.18	-180.18
270.00°	-132.14	5.27	12.26	- 8.26	-289.73	229.73
	-174.73	47.86	- 8.26	12.26	229.73	- 289.73
300.00°	-106.19	-13.81	6.02	- 6.02	-113.57	-1.90
	166.19	73.81	-6.02	6.02	- 1.90	-113.57
330.00°	- 97.30	- 35.12	- 0.84	- 8.69	-170.39	- 49.36
	144.88	82.72	- 8.69	- 0.84	- 49.36	176.39

2-4-4- تحليل أوضاع الحركة في تركيبة المنزلقة والمرفق

Position Analysis of Motion in Slider-Crank Mechanism

يبين المخطط a في (الشكل-4-8) تركيبة المنزلقة ، والمرفق ، حيث تتصل المنزلقة C بذراع التوصيل BC الذي طوله b . والمرفق AB ، وطوله a يدور بسرعة زاوية ω_1 ، وبتسارع زاوي ε_1 ، وكلاهما عكس جهة دوران عقارب الساعة .

المرفق يصنع زاوية θ مع المحور X ، والمنزلقة تتحرك حركة ترددية على طول المسار الموازي للمحور X ، بحيث يكون الاختلاف المركزي ($CD = e$) ، كما هو مبين في المخطط a من (الشكل-4-7) .



(الشكل-8-4) تحليل أوضاع الحركة في تركيبة المنزلقة ، والمرفق ،

بشكل عام من أجل تحليل أوضاع الحركة في هذه التركيبية ، لابد من إيجاد علاقة بين زاوية ذراع التوصيل β وزاوية المرفق θ . ويتم استخراج علاقات الإزاحة والسرعة والتسارع على الشكل التالي:

1. تحليل الإزاحة Displacement Analysis

عند وضع اتزان التركيبية الآلية ، يكون مجموع مساقط أطوال عناصرها على المحور X وعلى المحور Y مساوياً للصفر . نأخذ أولاً مجموع أطوال المساقط على المحور X ، كما هو مبين في المخطط b من (الشكل-8-4) .

$$a.\cos q + b.\cos(-b) - x = 0$$

تدل إشارة السالب قبل الزاوية β على أن قياس هذه الزاوية تم بجهة دوران عقارب الساعة بالنسبة للمحور X .

$$b.\cos b = x - a.\cos q \quad (i)$$

بتربيع الطرفين:

$$b^2.\cos^2 b = x^2 + a^2.\cos^2 q - 2x.a.\cos q \quad (ii)$$

وبأخذ مجموع أطوال المساقط على المحور Y يكون لدينا:

$$a.\sin q - b.\sin(-b) - e = 0 \Rightarrow -b.\sin b + e = a.\sin q$$

منه:

$$b.\sin b = e - a.\sin q \quad (iii)$$

بتربيع الطرفين:

$$b^2.\sin^2 b = e^2 + a^2.\sin^2 q - 2e.a.\sin q \quad (iv)$$

بجمع المعادلتين (ii) و (iv) ينتج:

$$b^2(\cos^2 q + \sin^2 q) = x^2 + e^2 + a^2(\cos^2 q + \sin^2 q) - 2x.a.\cos q - 2e.a.\sin q$$

$$b^2 = x^2 + e^2 + a^2 - 2x.a.\cos q - 2e.a.\sin q$$

$$x^2 + (-2a.\cos q)x + a^2 - b^2 + e^2 - 2e.a.\sin q = 0$$

منه:

$$x^2 + k_1.x + k_2 = 0 \quad (v)$$

حيث:

$$k_1 = -2a.\cos q, \quad k_2 = a^2 - b^2 + e^2 - 2e.a.\sin q \quad (vi)$$

نلاحظ أن المعادلة (v) هي معادلة من الدرجة الثانية لـ x ، ولها جذران هما:

$$x = \frac{-k_1 \pm \sqrt{k_1^2 - 4k_2}}{2} \quad (vii)$$

من هذه العلاقة يمكن إيجاد إزاحة المنزلقة x بعد معرفة قيم a ، b ، e و θ .

ويتم تعيين وضع ذراع التوصيل BC ممثلاً بالزاوية β ، وفق العلاقة:

$$\sin(-b) = \frac{a.\sin q - e}{b} \Rightarrow \sin b = \frac{e - a.\sin q}{b}$$

$$b = \sin^{-1}\left(\frac{e - a.\sin q}{b}\right) \quad (viii)$$

ملاحظة

في حال كانت المنزلقة متوضعة على المحور X ، أي أن خط عملها يمر من محور دوران المرفق ، سيكون الاختلاف المركزي عندئذ ($e = 0$) ، وتأخذ عندها العلاقتان (vi) و (viii) الشكل الآتي:

$$k_1 = -2a.\cos q, \quad k_2 = a^2 - b^2$$

$$b = \sin^{-1}\left(\frac{-a.\sin q}{b}\right)$$

2. تحليل السرعة Velocity Analysis

لتكن: $\omega_1 = d\theta/dt$ السرعة الزاوية للوصلة القائدة AB .

$\omega_2 = d\beta/dt$ السرعة الزاوية للوصلة القارئة BC .

$V_s = dx/dt$ السرعة الخطية للمنزلة .

باشتقاق العلاقة (i) بالنسبة للزمن:

$$b(-\sin b) \frac{db}{dt} = \frac{dx}{dt} - a(-\sin q) \frac{dq}{dt}$$

منه:

$$-a.\omega_1.\sin \theta - b.\omega_2.\sin \beta - \frac{dx}{dt} = 0 \quad (ix)$$

وباشتقاق العلاقة (iii) بالنسبة للزمن:

$$b.\cos \beta \cdot \frac{d\beta}{dt} = -a.\cos q \cdot \frac{dq}{dt}$$

منه:

$$a.\omega_1.\cos \theta + b.\omega_2.\cos \beta = 0 \quad (x)$$

بضرب طرفي العلاقة (ix) بـ $\cos \beta$ ، والعلاقة (x) بـ $\sin \beta$ ، نحصل على:

$$-a.\omega_1.\sin \theta.\cos \beta - b.\omega_2.\sin \beta.\cos \beta - \frac{dx}{dt} \cos \beta = 0 \quad (xi)$$

$$a.\omega_1.\cos \theta.\sin \beta + b.\omega_2.\cos \beta.\sin \beta = 0 \quad (xii)$$

بجمع العلاقتين (xi) و (xii):

$$a.\omega_1(\sin b.\cos q - \cos b.\sin q) - \frac{dx}{dt} \cos b = 0$$

من هذه المعادلة يمكن إيجاد السرعة الخطية للمنزلة $(V_s = dx/dt)$:

$$a.\omega_1.\sin(b-q) = V_s.\cos b \Rightarrow V_s = \frac{a.\omega_1.\sin(b-q)}{\cos b} \quad (xiii)$$

أما السرعة الزاوية ω_2 لذراع التوصيل BC ، فيمكن تعيينه من المعادلة (x) :

$$\omega_2 = \frac{-a.\omega_1.\cos q}{b.\cos b} \quad (xiv)$$

3. تحليل التسارع Acceleration Analysis

لتكن: $\varepsilon_1 = d\omega_1/dt$ التسارع الزاوي للوصلة القائدة AB .

$\varepsilon_2 = d\omega_2/dt$ التسارع الزاوي للوصلة القارئة BC .

$A_s = d^2x/dt^2$ التسارع الخطي للمنزلة .

باشتقاق العلاقة (ix) بالنسبة للزمن:

$$-a[\omega_1 \cos \theta \frac{dq}{dt} + \sin q \frac{dw_1}{dt}] - b[\omega_2 \cos \beta \frac{db}{dt} + \sin b \frac{dw_2}{dt}] - \frac{d^2x}{dt^2} = 0$$

منه:

$$-a[e_1 \sin q + \omega_1^2 \cos q] - b[e_2 \sin b + \omega_2^2 \cos b] - \frac{d^2x}{dt^2} = 0 \quad (xv)$$

وباشتقاق العلاقة (x) بالنسبة للزمن:

$$a[\omega_1(-\sin \theta) \frac{dq}{dt} + \cos q \cdot \frac{dw_1}{dt}] + b[\omega_2(-\sin \beta) \frac{db}{dt} + \cos b \cdot \frac{dw_2}{dt}] = 0$$

منه:

$$a[e_1 \cos q - \omega_1^2 \sin q] + b[e_2 \cos b - \omega_2^2 \sin b] = 0 \quad (xvi)$$

بضرب طرفي العلاقة (xv) بـ $\cos \beta$ ، والعلاقة (xvi) بـ $\sin \beta$ ، نحصل على:

$$-a[e_1 \sin q \cos b + \omega_1^2 \cos q \cos b] - b[e_2 \sin b \cos \beta + \omega_2^2 \cos^2 b] - \frac{d^2x}{dt^2} \cos b = 0 \quad (xvii)$$

$$a[e_1 \cos q \sin b - \omega_1^2 \sin q \sin b] + b[e_2 \cos b \sin \beta - \omega_2^2 \sin^2 b] = 0 \quad (xviii)$$

بجمع العلاقتين (xvii) و (xviii):

$$a[e_1(\sin b \cos q - \cos b \sin q) - \omega_1^2(\cos b \cos q + \sin b \sin q)] - b[\omega_2^2(\cos^2 b + \sin^2 b) - \frac{d^2x}{dt^2} \cos b] = 0$$

منه:

$$-a.\omega_1^2.\cos(b-q) + a.e_1.\sin(b-q) - b.\omega_2^2 - \frac{d^2x}{dt^2}\cos b = 0$$

من هذه المعادلة يمكن إيجاد التسارع الخطي A_s للمنزلة $(A_s = d^2x/dt^2)$:

$$A_s = \frac{a.e_1.\sin(b-q) - a.w_1^2.\cos(b-q) - b.\omega_2^2}{\cos b} \quad (xix)$$

أما التسارع الزاوي لذراع التوصيل BC ، فيمكن تعيينه من المعادلة (xvi):

$$e_2 = \frac{a(\omega_1^2.\sin q - e_1.\cos q) + b.\omega_2^2.\sin b}{b.\cos b} \quad (xx)$$

4. البرنامج الحاسوبي لتحليل أوضاع الحركة

Computer Program for Position Analysis of Motion

استناداً للعلاقات والمعادلات المستنتجة لحساب السرعة الزاوية ، والتسارع الزاوي لذراع التوصيل BC ، والسرعة الخطية والتسارع الخطي للمنزلة C ، في تركيبة المنزلة والمرفق من أجل أوضاع مختلفة للمرفق . يمكن صياغة برنامج للحاسوب بلغة فورتران (FORTRAN) ، لتعيين قيم هذه السرعة والتسارعات .

```
C PROGRAM TO FIND THE VELOCITY AND ACCELERATION
C IN A SLIDER CRANK MECHANISM
READ (*,*) A, B, E, VA, ACC, THA
PI = 4 * ATAN(1.)
TH = 0
IH = 180 / THA
DTH = PI / IH
DO 10 I = 1, 2 * IH
TH = (I - 1) * DTH
BET = ASIN (E - A * SIN (TH) / B)
VS = -A * VA * SIN (TH - BET) / (COS (BET) * 1000)
VB = -A * VA * COS (TH) / B * COS (BET)
AC1 = A * ACC * SIN (BET - TH) - B * VB ** 2
```

```

AC2 = A * VA **2 * COS (BET - TH)
ACS = (AC1 - AC2) / (COS (BET) * 1000)
AC3 = A * ACC * COS (TH) - A * VA **2 * SIN (TH)
AC4 = B * VB **2 * SIN (BET)
ACB = -(AC3 - AC4) / (B * COS (BET) )
IF (i . EQ . 1) WRITE (*, 9)
9  FORMAT (3X, 'TH', 5X, 'BET', 4X, 'VS', 4X, 'VB',
4X, 'ACS', 4X, 'ACB')
10 WRITE(*, 8) TH * 180 / PI, BET * 180 / PI, VS, VB, ACS, ACB
8  FORMAT (6 F 8 . 2)
STOP
END

```

في البرنامج أعلاه تم اعتماد الرموز التالية:

لـ متغيرات الدخل:

A, B, E تمثل a طول المرفق AB ، b طول ذراع التوصيل BC و e الاختلاف المركزي مقاسة بـ mm .

VA تمثل السرعة الزاوية للمرفق AB مقاسة بـ rad/sec .

ACC تمثل التسارع الزاوي للمرفق AB مقاسة بـ rad/sec^2 .

THA تمثل الفاصل الزاوي لوصلة الدخل مقاسة بـ الدرجات .

ACCA تمثل التسارع الزاوي لوصلة الدخل مقاسة بـ rad/sec^2 .

لـ متغيرات الخرج:

THA تمثل الإزاحة الزاوية للمرفق AB مقاسة بـ الدرجات .

BET تمثل الإزاحة الزاوية لذراع التوصيل BC مقاسة بـ الدرجات .

VS تمثل السرعة الخطية للمنزلة C مقاسة بـ m/sec .

VB تمثل السرعة الزاوية لذراع التوصيل BC مقاسة بـ rad/sec .

ACS تمثل التسارع الخطي للمنزلة C مقاسة بـ m/sec^2 .

ACB تمثل التسارع الزاوي لذراع التوصيل BC مقاسة بـ rad/sec^2 .

مسألة-3-4

تتألف تركيبية المنزلقة ، والمرفق المبينة في (الشكل-4-8) ، من مرفق طوله (AB = 200 mm) ، وذراع توصيل طوله (BC = 750 mm) ، ومنزلة ينحرف خط عملها عن محور المرفق بمقدار (e = 50 mm) .

يدور المرفق بسرعة زاوية 20 rad/sec ، وتسارع زاوي 10 rad/sec^2 . المطلوب من أجل فواصل زاوية متساوية لـ 30° الآتي:

- السرعة الخطية ، والتسارع الخطي للمنزلة C .
- السرعة الزاوية ، والتسارع الزاوي لذراع التوصيل BC .

الحل:

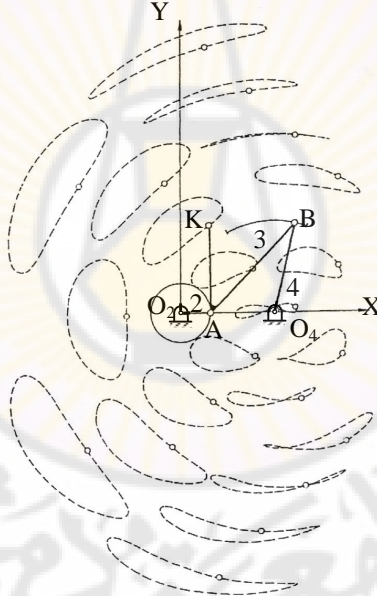
TH	BET	VS	VB	ACS	ACB
00.00	3.82	0.27	- 5.32	- 101.15	- 0.78
30.00°	- 3.82	- 2.23	- 4.61	- 83.69	49.72
60.00°	- 9.46	- 3.80	- 2.63	- 35.62	91.14
90.00°	- 11.54	- 4.00	0.00	14.33	108.87
120.00°	- 9.46	- 3.13	2.63	44.71	93.85
150.00°	- 3.82	- 1.77	4.61	55.11	54.35
180.00°	3.82	- 0.27	5.32	58.58	4.56
210.00°	11.54	1.29	4.53	62.42	- 47.90
240.00°	17.31	2.84	2.55	57.93	- 93.34
270.00°	19.47	4.00	0.00	30.28	- 113.14
300.00°	17.31	4.09	- 2.55	- 21.45	- 96.14
330.00	11.54	2.71	- 4.53	- 75.44	- 52.61

5-4- منحنيات الوصل للآليات المرفقية

Coupler Curves in Linkage Mechanisms

يتطلب في بعض الأحيان أن تقوم التركيبة الآلية بتحريك نقطة على مسار محدد ، يتم توليده بواسطة الوصلة القارئة كما هو الحال في تركيبات الحركة المستقيمة التي وردت معنا في الفصل الثاني .

إن نقاط مستوي ذراع التوصيل لتركيبية رباعية الوصلات ، ترسم في أثناء حركتها مسارات تسمى منحنيات الوصل ، بينما ترسم النقاط المفصلية A و B مسارات دائرية . ويمكن بواسطة تركيبية رباعية الوصلات رسم منحنيات متنوعة الأشكال كما في (الشكل-9-4) .



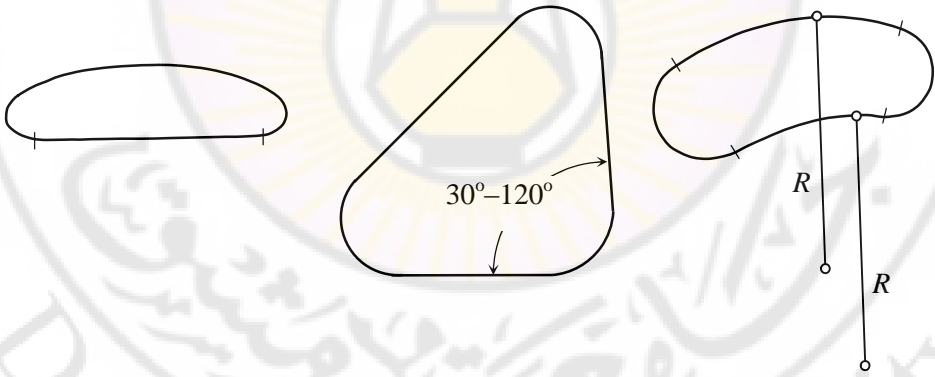
منحنيات الوصل للمرفق المتأرجح في أوضاع مختلفة للنقطة K من ذراع التوصيل .
(الشكل-9-4)

تؤدي أشكال منحنيات الوصل دوراً أساسياً عند تصميم تركيبية رباعية الوصلات ، فهي تستعمل غالباً لتسيير جسم ما في مجرى معين ، أو لتوجيه أحد أجزاء الآلة وفق مسار محدد .

عادة يطلب تصميم آلية بحيث ترسم نقطة ما من ذراع التوصيل منحنيًا محددًا ، ولهذا التصميم صعوبات كثيرة يستعاض عنها عادة بإيجاد تركيبة آلية تخطيطيًا ، بحيث يقترب المحل الهندسي للنقطة المفروضة من المسار المطلوب .

يتوفر للمهتمين مراجع تحتوي على منحنيات مرسومة بمقياس معين ، وما على الباحث إلا أن يفتش بين هذه الأمثلة للعثور على المنحني المرغوب ، ويجد بالتالي أبعاد تركيبة رباعية الوصلات لأداء الحركة المنشودة . يتم اختيار المنحني المناسب حسب نوع الحركة المطلوبة .

عموماً منحني الوصل: هو منحني جبري من الدرجة السادسة ، ويحتوي على ثلاث نقاط مضاعفة ، وثلاثة محارق . ويبين المخطط a في (الشكل-4-10) منحنيًا يستخدم في الحركة المستقيمة . والمخطط b في (الشكل-4-10) منحنيًا يلزم من أجل الحركة الزاوية . ولتصميم آلية ذات فترتي توقف يجب أن يكون للمنحني قطاعان متساويي النقيص وبالاتجاه نفسه ، كما في المخطط c في (الشكل-4-10) .



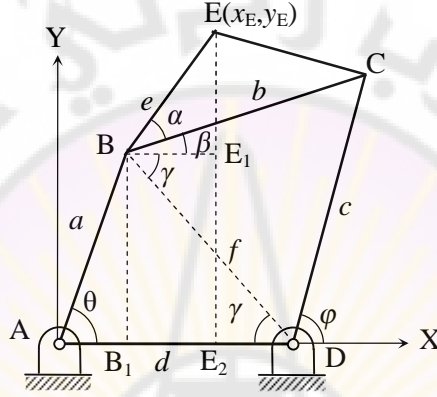
a- منحني لتوليد حركة مستقيمة. b- منحني لتوليد حركة زاوية. c- منحني لتوليد فترتي توقف. (الشكل-4-10)

سنوضح من خلال مثالين نموذجيين الأسس المتبعة في تحديد إحداثيات النقطة من الوصلة القارئة في حالة التركيبة رباعية الوصلات ، وتركيبية المنزلقة ، والمرفق .

1-5-4- منحنيات الوصل في تركيبية رباعية القضبان

Coupler Curves in Four-Bar Mechanism

يبين (الشكل-11-4) تركيبية رباعية القضبان ABCD ، ذات نقطة إزاحة مقرنة E على الوصلة القارئة BC التي تصنع زاوية α مع BC بجهة عكس دوران عقارب الساعة ، وإحداثياتها (x_E, y_E) .



تركيبية رباعية القضبان ABCD ذات نقطة إزاحة مقرنة E على الوصلة القارئة BC .
(الشكل-11-4)

يتطلب أولاً إيجاد الطول BD والزائتين β ، γ . من المثلث القائم الزاوية BB₁D ، لدينا:

$$\tan g = \frac{BB_1}{B_1D} = \frac{BB_1}{AD - AB_1} = \frac{a \cdot \sin q}{d - a \cdot \cos q}$$

منه:

$$g = \tan^{-1} \frac{a \cdot \sin q}{d - a \cdot \cos q}$$

كما أن:

$$\begin{aligned} \overline{BD}^2 &= \overline{BB_1}^2 + \overline{B_1D}^2 = \overline{BB_1}^2 + (AD - AB_1)^2 \\ \overline{BD}^2 &= (a \cdot \sin q)^2 + (d - a \cdot \cos q)^2 \\ &= a^2 \cdot \sin^2 q + d^2 + a^2 \cdot \cos^2 q - 2a \cdot d \cdot \cos q \\ &= a^2 (\sin^2 q + \cos^2 q) + d^2 - 2a \cdot d \cdot \cos q \\ \overline{BD}^2 &= a^2 + d^2 - 2a \cdot d \cdot \cos q \end{aligned}$$

من المثلث DBC :

$$\cos(g + b) = \frac{\overline{BD}^2 + \overline{BC}^2 - \overline{CD}^2}{2\overline{BC} \cdot \overline{BD}} = \frac{f^2 + b^2 - c^2}{2b \cdot f}$$

منه:

$$g + b = \cos^{-1}\left(\frac{f^2 + b^2 - c^2}{2b \cdot f}\right)$$

$$b = \cos^{-1}\left(\frac{f^2 + b^2 - c^2}{2b \cdot f}\right) - g \quad (i)$$

ومن (الشكل-4-11) ، حيث $(B_1E_2 = BE_1)$ ، نجد أن:

$$x_E = AE_2 = AB_1 + B_1E_2 = AB_1 + BE_1$$

$$= a \cdot \cos q + e \cdot \cos(a + b) \quad (ii)$$

أيضاً من (الشكل-4-11) ، حيث $(E_2E_1 = B_1B)$ ، نجد أن:

$$y_E = E_2E = E_2E_1 + E_1E = B_1B + E_1E$$

$$= a \cdot \sin q + e \cdot \sin(a + b) \quad (iii)$$

من المعادلات أعلاه ، يمكن تحديد إحداثيات النقطة E ، وذلك متى علمنا:

$$\beta , \alpha , \theta , e , a$$

2-5-4- منحنيات الوصل في تركيبية المنزلقة والمرفق

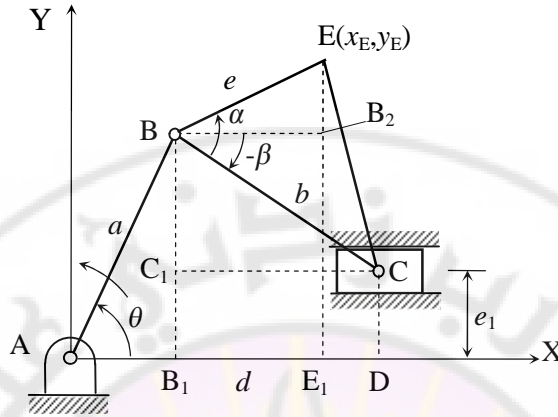
Coupler Curves in Slider-Crank Mechanism

يبين (الشكل-4-12) تركيبية المنزلقة ، والمرفق ذات نقطة إزاحة مقرنة E على الوصلة القارئة BC التي تصنع زاوية α مع BC بجهة عكس دوران عقارب الساعة وإحداثياتها (x_E, y_E) .

لإيجاد الزاوية β ، لدينا من المثلث القائم الزاوية BC_1C :

$$\sin b = \frac{BC_1}{BC} = \frac{BB_1 - B_1C_1}{BC} = \frac{a \cdot \sin q - e_1}{b}$$

$$b = \sin^{-1}\left(\frac{a \cdot \sin q - e_1}{b}\right) \quad (iv)$$



تركيبية رباعية القضبان ABCD ذات نقطة إزاحة مقترنة E على الوصلة القارئة BC .
(الشكل-4-12)

كما أن:

$$x_E = AE_1 = AB_1 + B_1E_1 = AB_1 + BB_2$$

$$x_E = a \cdot \cos q + e \cdot \cos(a - b) \quad (v)$$

$$y_E = E_1E = E_1B_2 + B_2E = B_1B + B_2E$$

$$y_E = a \cdot \sin q + e \cdot \sin(a - b) \quad (vi)$$

من المعادلات أعلاه ، يتم تحديد إحداثيات النقطة E ، وذلك متى علمنا:

$$\beta, \alpha, \theta, e_1, e, b, a$$

ملاحظة:

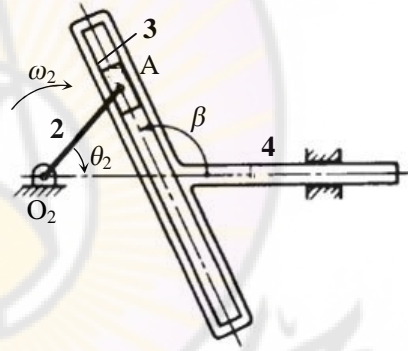
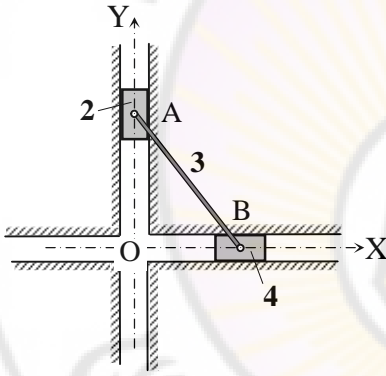
إذا كانت المنزلقة متوضعة على المحور X ، أي: إن خط عملها يمر من محور دوران المرفق ، عندها سيكون الاختلاف المركزي ($e_1 = 0$) . في مثل هذه الحالة المعادلة (iv) يمكن أن تكتب على الشكل الآتي:

$$b = \sin^{-1} \left(\frac{a \cdot \sin q}{b} \right)$$

مسائل غير محلولة PROBLEMS

م-4-1

يبين الشكل (م-4-1) أحد أوضاع تركيب آلية راسم القطع الناقص ، حيث طول ذراع التوصيل AB يساوي $(l = 20 \text{ cm})$. المطلوب عند الوضع الموافق لإزاحة المنزلقة A $(v_A = 12 \text{ cm})$ ، وسرعتها $(V_A = 40 \text{ cm/sec})$ ، وتسارعها $(A_A = - 80 \text{ cm/sec}^2)$ ، إيجاد إزاحة المنزلقة B ، وسرعتها ، وتسارعها .



المخطط الحركي لآلية المنزلقتين ، والمرفق . المخطط الحركي لتركيب آلية راسم القطع الناقص.

الشكل (م-4-1)

الشكل (م-4-2)

*

مسألة-4-2

يبين الشكل (م-4-2) أحد أوضاع تركيب آلية المنزلقتين ، والمرفق (Scotch-yoke) ، حيث يدور المرفق O_2A بسرعة زاوية ثابتة ω_2 باتجاه دوران عقارب الساعة .

المطلوب بمعرفة طول المرفق O_2A والزاوية β الآتي:

1. إجراء تحليل معادلات الحركة بتطبيق علاقات النسب المثلثية ، لإيجاد إزاحة الوصلة 4 ، وسرعتها ، وتسارعها .

2. كتابة برنامج حاسوبي لإيجاد القيم السابقة خلال دورة كاملة للمرفق .

م-4-3

يبين الشكل (م-4-3) المخطط الحركي لأحد أوضاع تركيبية المنزلقة ، والمرفق ، حيث أزيح خط الشوط بالمقدار d ؛ لتأمين حركة سريعة الارتداد .

فإذا دار المرفق بسرعة زاوية متغيرة ω_2 ، وتسارع زاوي منتظم ε_2 . المطلوب كتابة المعادلة الشعاعية ($r_a + r_d = r_2 + r_3$) كأعداد مركبة ، ومن ثم إذا كانت ($\omega_2 = 10 \text{ rad/sec}$) و ($\varepsilon_2 = 20 \text{ rad/sec}^2$) عند الوضع ($\theta_2 = 45^\circ$) ، تعيين الآتي:

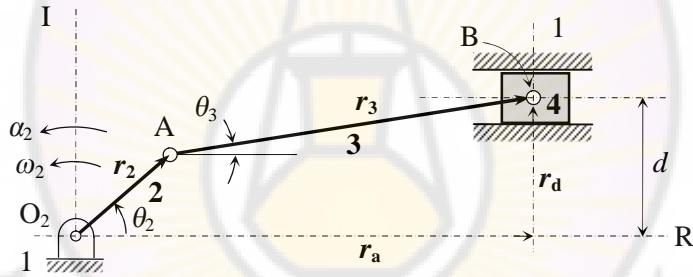
1. الإزاحة الزاوية θ_3 والبعد r_a .

2. السرعة الزاوية والتسارع الزاوي للوصلة 3 .

3. سرعة المنزلقة B وتسارعها .

علماً أن:

$$r_2 = 150 \text{ mm} , \quad r_3 = 500 \text{ mm} , \quad d = 200 \text{ mm}$$



الشكل (م-4-3) المخطط الحركي لتركيبية المنزلقة ، والمرفق .

*

م-4-4

يبين الشكل (م-4-4) المخطط الحركي لتركيبية المرفق والذراع المشقوق ، حيث يدور المرفق بسرعة زاوية ثابتة ω_2 بعكس اتجاه دوران عقارب الساعة .

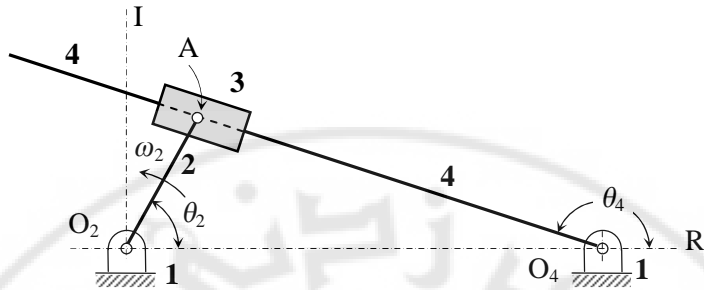
المطلوب كتابة معادلات الحركة كأعداد مركبة . ومن ثم إذا كانت ($\omega_2 = 10 \text{ rad/sec}$) ، تعيين عند الوضع ($\theta_2 = 45^\circ$) ما يلي:

1. مميزات الحركة للوصلة 4 .

2. سرعة النقطة A4 ، وتسارعها .

علماً أن:

$$O_2O_4 = 240 \text{ mm} , \quad O_2A = 70 \text{ mm}$$



الشكل (م-4-4) المخطط الحركي لتركيبية المرفق والذراع المشقوق .

*

م-4-5

يبين الشكل (م-4-5) أحد أوضاع تركيبية آلية الرجوع السريع ، حيث يدور المرفق بسرعة زاوية ثابتة ω_2 بعكس اتجاه دوران عقارب الساعة .

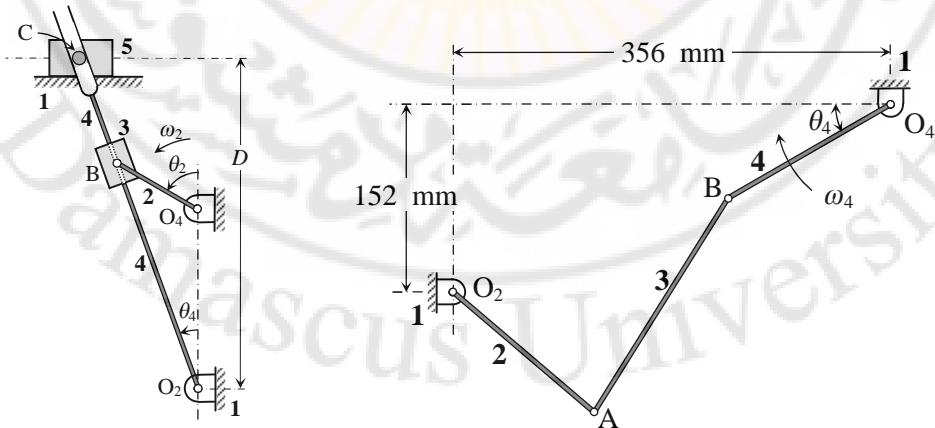
المطلوب كتابة معادلات الحركة كأعداد مركبة . ومن ثم إذا كانت $(\omega_2 = 10 \text{ rad/sec})$ ، تعيين عند الوضع $(\theta_2 = 60^\circ)$ الآتي:

1. الإزاحة الزاوية θ_4 .

2. سرعة المنزلقة C_5 ، وتسارعها .

علماً أن:

$$O_2O_4 = 300 \text{ mm} , \quad O_2B_2 = 150 \text{ mm} , \quad d = 500 \text{ mm}$$



المخطط الحركي لتركيبية آلية الرجوع السريع .

الشكل (م-4-5)

الشكل (م-4-6)

م-4-6

يبين الشكل (م-4-6) أحد أوضاع تركيبية آلية رباعية القضبان ، حيث تدور الوصلة 4 بسرعة زاوية ثابتة ؛ لتصبح سرعة النقطة B ($V_B = 24.4 \text{ m/sec}$) .

المطلوب عند الوضع ($\theta_4 = 30^\circ$) الآتي:

1. تعيين مميزات الحركة للوصلات جميعها بطريقة التمثيل التخطيطي لمعادلات الحركة النسبية .

2. إعداد برنامج للحاسوب ، وتعيين القيم السابقة باستخدام الحاسوب .
علماً أن:

$$O_2A = 152 \text{ mm} , AB = 203 \text{ mm} , O_4B = 152 \text{ mm}$$

*

م-4-7

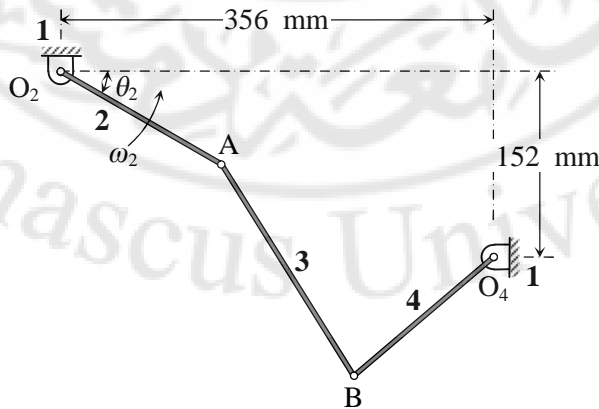
يبين الشكل (م-4-7) أحد أوضاع تركيبية آلية رباعية القضبان ، حيث يدور المرفق 2 بسرعة زاوية ثابتة ($\omega_2 = 160 \text{ rad/sec}$) باتجاه عكس دوران عقارب الساعة .

المطلوب عند الوضع ($\theta_2 = 30^\circ$) الآتي:

1. تعيين مميزات الحركة للوصلات جميعها بطريقة التمثيل التخطيطي لمعادلات الحركة النسبية .

2. إعداد برنامج للحاسوب ، وتعيين القيم السابقة باستخدام الحاسوب .
علماً أن:

$$O_2A = 152 \text{ mm} , AB = 203 \text{ mm} , O_4B = 152 \text{ mm}$$



الشكل (م-4-7) المخطط الحركي لتركيبية آلية رباعية القضبان .

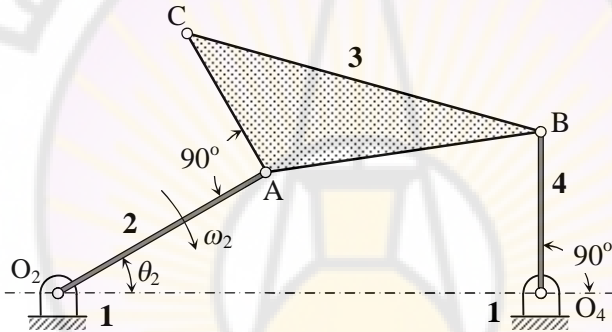
م-4-8

يبين الشكل (م-4-8) أحد أوضاع تركيبية آلية رباعية القضبان ، حيث يدور المرفق 2 بسرعة زاوية ثابتة ($\omega_2 = 200 \text{ rad/sec}$) باتجاه دوران عقارب الساعة . المطلوب عند الوضع ($\theta_2 = 30^\circ$) الآتي:

1. تعيين مميزات الحركة للوصلات جميعها بطريقة التمثيل التخطيطي لمعادلات الحركة النسبية .

2. إعداد برنامج للحاسوب ، وتعيين القيم السابقة باستخدام الحاسوب .
علماً أن:

$$O_2A = 381 \text{ mm} , O_4B = 254 \text{ mm} , AC = 254 \text{ mm} , O_2O_4 = 762 \text{ mm}$$



الشكل (م-4-8) المخطط الحركي تركيبية آلية رباعية القضبان ذات نقطة إزاحة مقرنة C .

$$\text{الجواب: } A_C = (1.96) \cdot 10^7 \text{ mm/sec}^2 , V_C = (8.55) \cdot 10^4 \text{ mm/sec}$$

$$\omega_3 = 152.8 \text{ rad/sec ccw} , \omega_4 = 111.6 \text{ rad/sec cw}$$

*

م-4-9

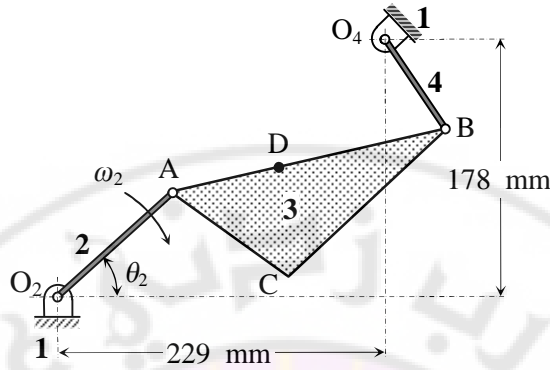
يبين الشكل (م-4-9) أحد أوضاع تركيبية آلية رباعية القضبان ، حيث يدور المرفق 2 بسرعة زاوية ثابتة ($\omega_2 = 30 \text{ rad/sec}$) باتجاه دوران عقارب الساعة . المطلوب عند الوضع ($\theta_2 = 45^\circ$) الآتي:

1. تعيين مميزات الحركة للوصلات جميعها بطريقة التمثيل التخطيطي لمعادلات الحركة النسبية .

2. إعداد برنامج للحاسوب ، وتعيين القيم السابقة باستخدام الحاسوب .

$$\text{علماً أن: } O_2A = 102 \text{ mm} , AB = 203 \text{ mm} , O_4B = 76.2 \text{ mm}$$

$$AC = 102 \text{ mm} , AD = 76.2 \text{ mm} , BC = 152 \text{ mm}$$



الشكل (م-4-9) المخطط الحركي لتركيبية آلية رباعية القضبان ذات نقطة إزاحة مقترنة C .

*

م-4-10

يبين (الشكل م-4-10) أحد أوضاع تركيبية آلية رباعية القضبان ، حيث يدور المرفق 2 بسرعة زاوية ثابتة ($\omega_2 = 1 \text{ rad/sec}$) باتجاه دوران عقارب الساعة .

المطلوب عند الوضع ($\theta_2 = 35^\circ$) الآتي:

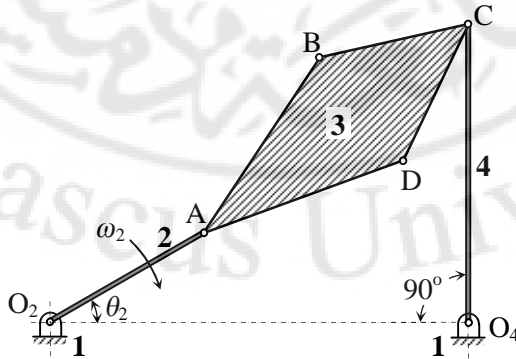
1. تعيين مميزات الحركة للوصلات جميعها بطريقة التمثيل التخطيطي لمعادلات الحركة النسبية .

2. إعداد برنامج للحاسوب ، وتعيين القيم السابقة باستخدام الحاسوب .

علماً أن:

$$O_2A = 152 \text{ mm} , O_2O_4 = 356 \text{ mm} , O_4C = 254 \text{ mm}$$

$$AB = AD = 178 \text{ mm} , BC = CD = 127 \text{ mm}$$



الشكل (م-4-10) المخطط الحركي لتركيبية آلية رباعية القضبان ذات نقطتي إزاحة مقترنة B , D .

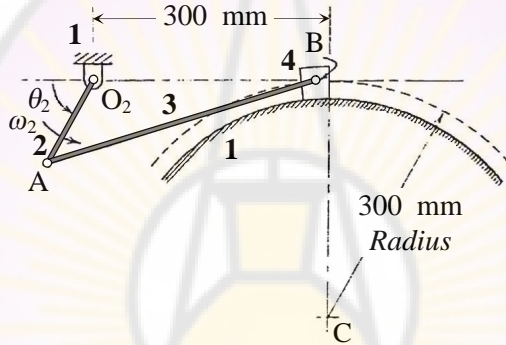
م-4-11

يبين الشكل (م-4-11) أحد أوضاع تركيبية آلية المنزلقة والمرفق ، حيث يدور المرفق 2 بسرعة زاوية ثابتة ($\omega_2 = 1 \text{ rad/sec}$) باتجاه عكس دوران عقارب الساعة . المطلوب عند الوضع ($\theta_2 = 35^\circ$) الآتي:

1. تعيين مميزات الحركة للوصلات جميعها بطريقة التمثيل التخطيطي لمعادلات الحركة النسبية .

2. إعداد برنامج للحاسوب ، وتعيين القيم السابقة باستخدام الحاسوب .

علماً أن: $O_2A = 100 \text{ mm}$ ، $AB = 350 \text{ mm}$



الشكل (م-4-11) المخطط الحركي لتركيبية آلية المنزلقة ، والمرفق .

الجواب: $V_C = 73.19 \text{ mm/sec}$ ، $A_B = 69.07 \text{ mm/sec}^2$
 $\omega_4 = 0.244 \text{ rad/sec cw}$ ، $\varepsilon_4 = 0.222 \text{ rad/sec}^2 \text{ cw}$

*

م-4-12

يبين الشكل (م-4-12) أحد أوضاع تركيبية آلية ، حيث تدور الوصلة 4 بسرعة زاوية ثابتة ($\omega_4 = 1 \text{ rad/sec}$) باتجاه دوران عقارب الساعة .

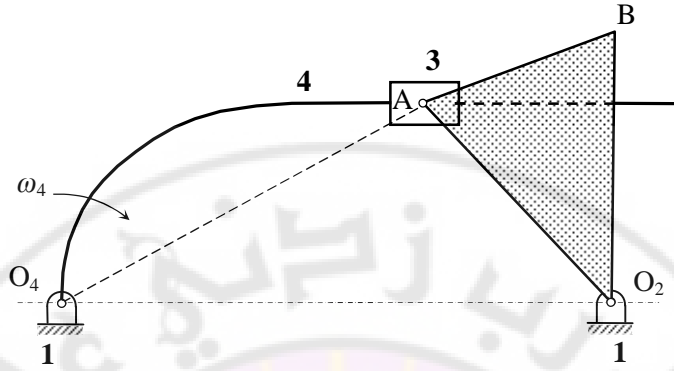
المطلوب عند الوضع المبين في الشكل الآتي:

1. تعيين مميزات الحركة للوصلات جميعها بطريقة التمثيل التخطيطي لمعادلات الحركة النسبية .

2. إعداد برنامج للحاسوب ، وتعيين القيم السابقة باستخدام الحاسوب .

علماً أن: $O_2A = O_2B = 102 \text{ mm}$ ، $O_4A = 152 \text{ mm}$

$O_2O_4 = 203 \text{ mm}$ ، $AB = 76.2 \text{ mm}$



الشكل (م-4-12) المخطط الحركي لتركيبية آلية .

*

م-4-13

يبين الشكل (م-4-13) أحد أوضاع تركيبية آلية الرجوع السريع ، حيث يدور المرفق 2 بسرعة زاوية ثابتة باتجاه دوران عقارب الساعة لتصبح سرعة النقطة A $(V_A = 6 \text{ m/sec})$.

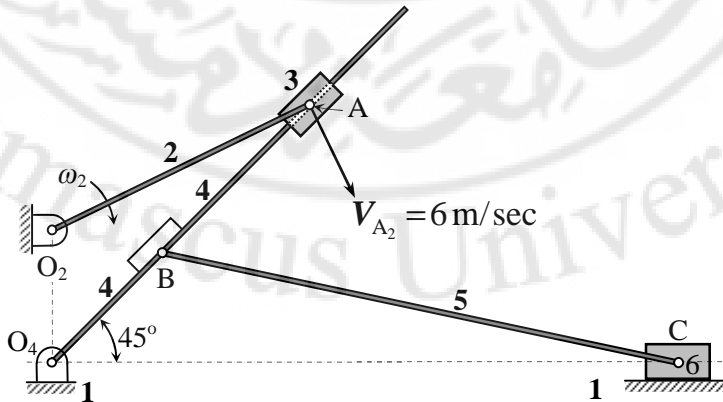
المطلوب عند الوضع $(\theta_4 = 45^\circ)$ الآتي :

1. تعيين مميزات الحركة للوصلات جميعها بطريقة التمثيل التخطيطي لمعادلات الحركة النسبية .

2. إعداد برنامج للحاسوب ، وتعيين القيم السابقة باستخدام الحاسوب .

علماً أن :

$$O_2A = 191 \text{ mm} , O_4B = 102 \text{ mm} , O_2O_4 = 89 \text{ mm} , BC = 356 \text{ mm}$$



(م-4-13) المخطط الحركي لتركيبية آلية الرجوع السريع .

الفصل الخامس

تحريك التركيبات الآلية *Kinetics of Mechanisms*

تطرقنا خلال الفصل الثالث والرابع إلى طرائق تعيين المميزات الحركية لوصلات تركيبة استناداً إلى الشكل الهندسي والبعدي لمخططها الحركي فقط ؛ أي: إنه قد تم إهمال تأثير مجموعة القوى المطبقة على وصلات التركيبة ؛ لتتمكن من أداء عمل معين ، والقوى اللازمة للحصول على حركة معينة ؛ إضافة إلى القوى الناتجة عن الثقالة أي الوزن ، والاحتكاك ، والتجميع ، والصدم وتغير درجات الحرارة . يجب اعتماد هذه القوى كافة عند القيام بالتصميم النهائي للآلة ، وتحليل تأثيرها في مختلف أجزائها ؛ لتتمكن من تعيين نوعية هذه الأجزاء وأبعادها ، بما يضمن عدم انهيارها عند تأدية هذه الآلة العمل الذي صممت من أجله . لن نتطرق هنا إلى دراسة تأثير القوى الناتجة من التجميع ، والصدم وتغير درجة الحرارة ؛ إذ إن هذه القوى تتعلق بشكل عام بنظام تصميم كل آلة على حدة ، ويمكن الرجوع إلى مراجع تصميم الآلات في حال دراسة تأثير هذه القوى .

Introduction

1-5- مقدمة

تعتمد دراسة تحريك التركيبات الآلية على المبادئ والقوانين الأساسية المثبتة في علم الميكانيك الهندسي بالنسبة لجسيم مادي أو لجسم مادي صلب ؛ بخاصة من حيث مفاهيم تحليل القوى ، والعزوم المؤثرة ، وإيجاد محصلتها ، وشروط التوازن . يمكن إجراء هذه الدراسة إما بالتحليل الرياضي لمعادلات القوى ، والعزوم وانحفاظ الطاقة ، أو بالتمثيل التخطيطي للمعادلات الشعاعية لهذه القوى والعزوم . إن أهم العوامل التي تحدد طريقة الحل هي نوع التركيبة ، وعدد الأوضاع المراد تحليلها .

يطبق التحليل الرياضي عادة في التركيبات البسيطة كالكامات ، والمسننات ، والمنظمات ، بينما يعد التحليل التخطيطي أسهل وأسرع في حال تحليل أية تركيبة في وضع معين ، لكن يفضل اللجوء إلى التحليل الرياضي عند دراسة مختلف أوضاع التركيبة خلال دورة عمل كاملة ؛ بخاصة عند توفر إمكان استعمال الحاسبات الرقمية ، رغم ذلك فإنه ينصح عندئذ بالتحقق من النتائج في أحد أوضاع التركيبة بطريقة التمثيل التخطيطي .

تعتمد طرائق التحليل الرياضي أساساً على مبدأ التحليل إلى مركبات بالنسبة لجملة إحدائيات ، أو على كتابة المعادلات الشعاعية للقوى المؤثرة بطريقة الأعداد المركبة ، ومعالجتها وفق الأسس نفسها التي سبق توضيحها في الفصل الرابع في حالة تحليل المميزات الحركية ؛ لذا فإننا سنقتصر هنا على دراسة تحليل القوى بالطريقة التخطيطية ؛ إضافة إلى بيان كيفية دراسة المنظمات تحليلياً .

تصنف القوى المؤثرة في وصلات تركيبة ما في مجموعتين:

- القوى الاستاتيكية *Static Forces*

هي القوى الناتجة عن الثقالة ؛ أي عن أوزان الوصلات ، وعن الاحتكاك عند الازدواجات ، والأحمال الخارجية المطبقة على هذه الوصلات .

- القوى العطالية *Inertia Forces*

هي القوى الناتجة عن تحريك كل من الوصلات بالتسارعات المطلوبة لأداء حركة معينة .

يمكن تبسيط التحليل بدراسة توازن الوصلات تحت تأثير كل مجموعة قوى على حدة ، ومن ثم تأثيرها المحصل استناداً إلى مبدأ تنضيد أو تراكم القوى في تحريك جسم صلب الذي ينص على:

إن التأثير المحصل لجملة قوى في جسم صلب يساوي المجموع الشعاعي للمؤثرات الناتجة من تطبيق كل من مركبات هذه الجملة على حدة .

Static Forces Analysis

2-5- تحليل القوى الاستاتيكية

• قوى ثقالة الوصلات *Gravity Forces of Links*

تكون قوى ثقالة الوصلات ؛ أي أوزان أجزاء آلة - عادة - صغيرة بالمقارنة مع القوى الاستاتيكية الأخرى المؤثرة فيها ؛ لذا فإنها تهمل في أغلب حالات التحليل الاستاتيكي للقوى بطريقة الحل التخطيطي .

• قوى الاحتكاك في الازدواجات *Friction Forces in Pairs*

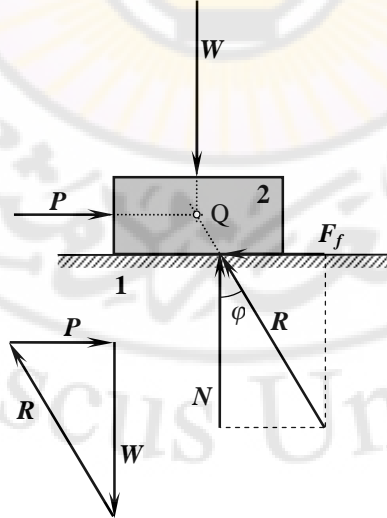
تنتقل القوى في آلة ما عبر الوصلات المختلفة المكونة لها ، وذلك عبر الازدواجات الواسلة فيما بين هذه الوصلات . إن خط عمل القوة المنتقلة من وصلة إلى أخرى ناظمي على سطح التماس في حال إهمال الاحتكاك . أما وجود الاحتكاك ، فإنه يؤثر في انحراف خط عمل هذه القوى بزاوية الاحتكاك ϕ التي تتناسب مع معامل الاحتكاك f عند سطح التماس .

تصنف قوى الاحتكاك المؤثرة في وصلات تركيبية ما وفق ما يلي:

- قوى الاحتكاك الساكن *Static Frictional Forces*

يبين (الشكل-5-1) حالة وصلتين 1 ، 2 أجبرتتا على التلامس ببعضهما البعض من دون أن تكون بينهما حركة نسبية . تؤثر في الوصلة 2 قوة شاقولية معينة W ، بينما تحاول القوة P أن تزلق هذه المنزلقة على طول السطح المستوي للوصلة 1 .

إن خط عمل هذه القوة P معلوم ، لكن قيمتها مجهولة ؛ وبالتالي فإن شرط التوازن يستلزم مرور رد الفعل R ؛ أي القوة المؤثرة من الوصلة 1 في الوصلة 2 ، من نقطة تقاطع القوتين W ، P ؛ بسبب وجود الاحتكاك ؛ فإن خط عمل R ينحرف عن منحنى النظم المشترك بزاوية الاحتكاك ϕ (Friction Angle).



قوى الاحتكاك الساكن - قوى الاحتكاك حالة ازدواج انزلاقي .

(الشكل-5-1)

يمكن تعيين قيمة كل من القوتين R , P من خلال رسم مضع للقوى المؤثرة في الوصلة 2 ، علماً أن الزاوية ϕ تحدد بدلالة معامل الاحتكاك الساكن f_s بين الوصلتين (Coefficient of Static Friction) . ينتج من ذلك أن للقوة R مركبتين:

المركبة الناعمية N

وتمثل رد الفعل الناعمي العمودي على مستوى التلامس ، واتجاهها يعاكس دوماً اتجاه القوة الشاقولية W .

المركبة المماسية F_f

وتمثل قوة الاحتكاك الساكن عندما لا توجد حركة نسبية بين الوصلتين ، واتجاهها يعاكس دوماً الاتجاه الذي تحاول أن تتحرك الوصلة 2 بموجبه ، وقيمتها ترتبط مع المركبة الناعمية بالعلاقة التالية:

$$F_f = \tan j \cdot N = f_s \cdot N \quad (1-5)$$

تدل التجارب التي أجريت على تلامس السطوح غير المزيتة ، أن قوة الاحتكاك F_f عندما يكون الانزلاق وشيكاً مستقلة عن مساحة التلامس ، ولكنها تتناسب مع المركبة الناعمية الكائنة بين سطحي التلامس ، والمعادلة الأخيرة هي التعبير الرياضي عن هذا التناسب .

- قوى الاحتكاك في حالة ازدواج انزلاقي *Sliding Frictional Forces*

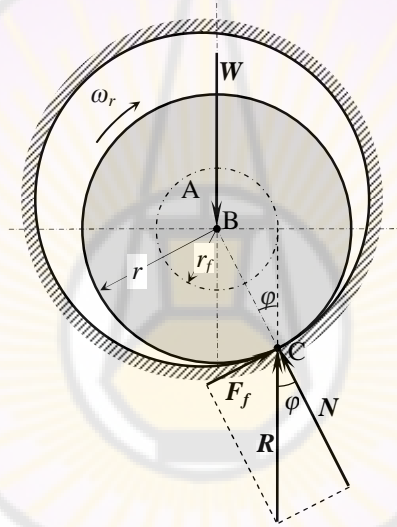
يبين (الشكل-1-5) ازدواجاً انزلاقياً ، حيث الحركة النسبية عند سطح التماس هي انسحابية ، تؤثر في الوصلة المنزلقة 2 قوة شاقولية معينة W ، بينما تعمل القوة P على تحريك هذه المنزلقة على طول السطح المستوي للوصلة 1 .

تدل التجارب على أن قوة الاحتكاك F_f بين الوصلتين اللتين تنزلقان بالنسبة لبعضهما البعض تقل عن قوة الاحتكاك عندما يكون الانزلاق وشيكاً ، والمعادلة (1-5) تنطبق أيضاً على الحركة الانزلاقية ، عندئذ معامل الاحتكاك f يمثل معامل الاحتكاك الانزلاقي f_k (Coefficient of Sliding Friction) . وتدل الأبحاث على أنه مستقل عن مساحة التلامس ، وهو مستقل أيضاً عن السرعة النسبية .

- قوى الاحتكاك في حالة ازدواج دوراني Turning Frictional Force

في حالة الازدواج الدوراني ، فإن انزلاق السطح الدائري لعمود ، أو وتد الربط ، على جدار المسند ، أو المحمل ، يؤدي إلى نشوء قوة احتكاك F تؤثر من المحمل في العمود .

يبين (الشكل-5-2) مقطعاً لمرتكز عمود (Journal) نصف قطره r ومركزه B ، يدور باتجاه دوران عقارب الساعة ضمن محمل مركزه A ، حيث تم تكبير الخوص الموجود بين العمود والمحمل بهدف توضيح الرسم .



(الشكل-5-2) قوى الاحتكاك حالة ازدواج دوراني .

عندما يبدأ العمود بالدوران بالسرعة الزاوية النسبية ω_{ab} باتجاه دوران عقارب الساعة المبين في (الشكل-5-2) ، فإن مركز العمود B يدور ، ويتحرك العمود ؛ بسبب الاحتكاك صاعداً إلى الجهة اليمنى من المسند ، وينزلق عندما يحصل التوازن ، ولكن التلامس يبقى في الجهة اليمنى من المسند ؛ أي: إن نقطة التماس تتحرك نحو اليمين ، باتجاه يعاكس اتجاه الدوران حتى النقطة C ؛ وبالتالي فإن المركبة الناعمية N تنحرف عن خط عمل الحمل W المطبق على العمود بزاوية الاحتكاك ϕ ، أما المركبة المماسية F_f فهي تمثل قوة الاحتكاك . إن محصلة هاتين المركبتين هي القوة R التي يؤثر بها المحمل في عمود الدوران عند نقطة التماس C ، وهي تساوي وتعاكس الحمل W .

تسمى الدائرة التي مركزها B ، وتمس خط عمل القوة R بدائرة الاحتكاك (Friction Circle) ، ونصف قطرها هو :

$$r_f = r \cdot \sin j$$

بما أن زاوية الاحتكاك φ في أغلب التطبيقات العملية لا تزيد على 5° ، وتنخفض حتى 1° في حالة تزييت جيد ، ومستمر بين العمود ، والمسند ، ولدينا عند زوايا صغيرة ($\sin j \approx \tan j$) ، فيكون :

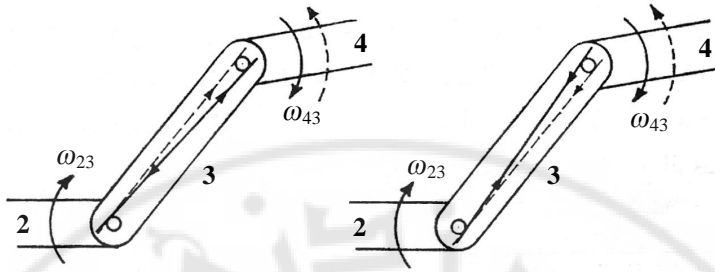
$$r_f \approx r \cdot \tan j = f_k \cdot r \quad (2-5)$$

يتضح من علاقة نصف قطر دائرة الاحتكاك r_f ، أن الاحتكاك لا يتعلق بقيمة القوى المطبقة على عمود الدوران ؛ وإنما يتأثر فقط بنصف قطر هذا العمود ومعامل الاحتكاك . بما أن هذا المعامل ثابت بوجه عام ، فإن نصف قطر دائرة الاحتكاك ثابت لازدواج دوراني معين ، وهو عموماً نفسه للازدواجات الدورانية كافة في تركيبة معينة .

تستخدم دائرة الاحتكاك لتعيين خط عمل القوة المؤثرة بين مرتكز العمود والمسند . ننشئ الدائرة أولاً ثم نحدد اتجاه القوة التي يجب أن تكون مماسة للدائرة باستمرار ، ويجب أن نلاحظ أن هذه الدوائر صغيرة بطبيعتها .

يلاحظ في كلتا الحالتين - ازدواج انزلاقي أو دوراني - أن اتجاه انحراف القوة المنتقلة ، من وصلة إلى أخرى ، يحدد تبعاً لاتجاه الحركة الانسحابية أو الدورانية بحسب نوع الازدواج . تعين المركبة الناعمية N لهذه القوة من توازن القوى المؤثرة في الوصلتين المتزاوجتين في الاتجاه الناعمي ، بينما تعين قوة الاحتكاك $(F_f = f_k \cdot N)$ ، وباتجاه يعاكس دوماً اتجاه الحركة الانسحابية ، أو بحيث يكون اتجاه عزمها حول مركز الازدواج الدوراني عكس اتجاه الدوران النسبي عند هذا الازدواج .

إذا اتصلت وصلة في تركيبة ، عند كل من نهايتها ، بوصلة مجاورة عبر ازدواج كما في (الشكل-3-5) ، فإن خط عمل كل من القوتين المنتقلتين من هذه الوصلة إلى كل من الوصلتين المجاورتين لها ، يجب أن يكون مماساً مشتركاً لكل من دائرتي الاحتكاك عند كل من الازدواجين ، يسمى خط العمل عندئذ بـ محور الاحتكاك . يختلف وضع الخط باختلاف اتجاه الدوران النسبي بين كل وصلتين ، وتبعاً لاتجاه كل من القوتين المنتقلتين .



-a- الوصلة 3 في حالة انضغاط. -b- الوصلة 3 في حالة شد.

(الشكل-3-5) خط عمل القوة المنتقلة من وصلة إلى أخرى .

إن الوصلة 3 في الحالة a من (الشكل-3-5) هي في حالة انضغاط ؛ وبالتالي يكون خط عمل القوة المنتقلة منها إلى الوصلة 2 مماسياً عند أعلى دائرة الاحتكاك ، بحيث يكون اتجاه عزم هذه القوة حول مركز الازدواج بين الوصلتين ، هو عكس اتجاه الدوران النسبي بينهما الممثل بالقوس الموجه المتصل . أما خط عمل القوة المنتقلة من الوصلة 3 إلى الوصلة 4 ، فإنه يمس دائرة الاحتكاك عند أسفلها ، بحيث يعاكس اتجاه عزم هذه القوة اتجاه الدوران النسبي الممثل أيضاً بالقوس الموجه المتصل . ينتج من ذلك أن خط الاحتكاك هو المماس المشترك الممثل بالخط المتصل ، بينما يمثل الخط المتقطع المماس المشترك عندما يكون الدوران النسبي بين الوصلة 4 والوصلة 3 هو عكس اتجاه دوران عقارب الساعة الممثل بالقوس الموجه المتقطع . تمثل الحالة b من (الشكل-3-5) وضع خط الاحتكاك عندما تكون الوصلة 3 في حالة شد .

يوضح هذا التحليل الموجز ، أهم الأسس التي تلزم مراعاتها عند وجود احتكاك كبير نسبياً عند الازدواجات المختلفة في تركيبية ما . إلا أن الأبحاث الحديثة في مجال علم الاحتكاك وزيوت التزليق (Tribology) ؛ إضافة إلى التطور الحاصل في أساليب التصنيع قد أدت إلى إمكان تخفيض معاملات الاحتكاك ، بين سطوح تماس الازدواجات في الآلات . فهي في حالة انزلاق انسحابي (0.02-0.04) ، وفي حالة ازدواج دوراني (0.01-0.02) . يسمح ذلك بإهمال تأثير الاحتكاك دون الإخلال بدقة تحليل القوى والعزوم في التركيبات الآلية بوجه عام . إن الخطأ النسبي الكلي الناتج من إهمال قوى الاحتكاك في تركيبية المنزلقة والمرفق مثلاً ، لا يتجاوز في حالة تصميم جيد حدود 3% ، بينما ينخفض إلى حدود 1% في حالة التركيبات المسننة ؛ لذا فإننا سنفرض أن الاحتكاك مهم في التطبيقات جميعها التي سنوردها في الفقرات التالية ما لم يذكر خلاف ذلك .

يتم التحليل التخطيطي للقوى الاستاتيكية الناتجة من الأحمال الخارجية المؤثرة في وصلات تركيبية ، وإيجاد شروط توازن هذه التركيبية استناداً إلى مفهوم مخطط الجسم الحر (*Free Body Diagram*) ، حيث تعزل وصلات التركيبية بعضها عن بعض على شكل مخططات مستقلة ، تبين عليها القوى والعزوم جميعها المؤثرة في كل منها ، مع ملاحظة عدم وجود أي عزم عند التوصيلات المفصلية .

يدل الرمز F_{ab} في الفقرات اللاحقة على القوة التي تؤثر بها الوصلة a في الوصلة b ، بينما يدل الرمز F_{ba} على التأثير العكسي ، كما أن الخط المتعرج على أي مخطط حر لوصلة ، يدل على قوة مجهولة القيمة والمنحى . أما القوة المعلومة قيمةً ، واتجهاً ، فإنها ستمثل بشعاع ، بينما يدل الخط المستقيم غير الموجه على قوة معلومة المنحى ، لكنها مجهولة القيمة ، والاتجاه الشعاعي .

سنوضح من خلال مثالين نموذجيين الأسس المتبعة في هذا التحليل والتي يمكن ، استناداً إليها ، دراسة القوى الاستاتيكية في أية تركيبية مهما بلغ عدد وصلاتها .

5-2-1- تحليل القوى الاستاتيكية في تركيبية المنزلقة والمرفق

Static Forces Analysis in the Slider-Crank Mechanism

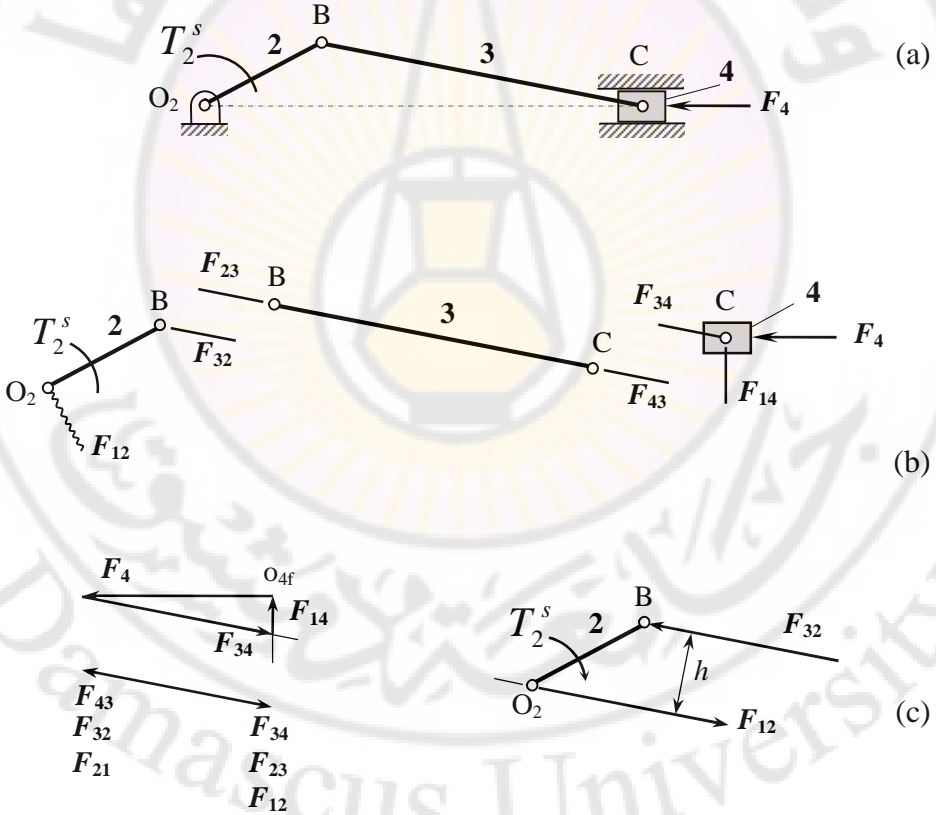
يبين الرسم التخطيطي a في (الشكل-5-4) المخطط الحركي لتركيبية المنزلقة ، والمرفق في الوضع الذي نريد تحليلها ، حيث تؤثر في المكبس القوة المحركة المعلومة المبذولة على المكبس F_4 الناتجة من ضغط الغاز ضمن الأسطوانة ، والتي تسبب دوران المرفق 2 بالاتجاه المعاكس لدوران عقارب الساعة .

المطلوب تعيين قيمة واتجاه كل من القوى المؤثرة في محامل التركيبية والمفاصل الدورانية ، وكذلك العزم الاستاتيكي T_2^s الذي يجب التأثير به على المرفق 2 من عمود الدوران O_2 ليقاوم فعل القوة F_4 للحفاظ على توازن التركيبية ، وذلك في حالة إهمال الاحتكاك في المحامل والمفاصل الدورانية وحالة اعتبار الاحتكاك .

• حالة إهمال الاحتكاك

تبيين المخططات b في (الشكل-4-5) مخططات الجسم الحر لكل من الوصلات 2, 3, 4 ، حيث تؤثر في الوصلة 3 قوتان ، إحداهما F_{23} وهي القوة المنتقلة إليها من الوصلة 2 ، والأخرى F_{43} المؤثرة من الوصلة 4 .

يتوازن جسم تحت تأثير قوتين فقط إذا كانت القوتان متساويتين بالقيمة ، متعاكستين بالاتجاه ، وعلى خط عمل واحد . ينتج من ذلك أن خط العمل المشترك للقوتين F_{43} , F_{23} هو الخط الواصل بين B , C ، بينما لا يمكن تحديد قيمتهما ، واتجاههما مباشرة من تحليل الوصلة 3 فقط .



مخططات تحليل القوى الاستاتيكية في وصلات تركيبية المنزلقة والمرفق حالة إهمال الاحتكاك .

(الشكل-4-5)

تؤثر في الوصلة 2 قوتان ، إحداهما القوة F_{32} التي يعاكس اتجاهها اتجاه القوة F_{23} ، أي إن خط عملها معلوم ، لكنها مجهولة القيمة ، والاتجاه ، أما القوة الأخرى F_{12} ، فهي مجهولة كلياً بخلاف أنها تؤثر عند المفصل O_2 ، لذا فقد بينت على المخطط بخط متعرج ؛ إضافة إلى ذلك يؤثر في هذه الوصلة العزم T_2^s الذي ينتقل من عمود الدوران المار من O_2 ، وهو مجهول قيمةً ، واتجاهاً .

تؤثر في الوصلة 4 ثلاث قوى ، حيث القوة F_4 معلومة القيمة ، والاتجاه ، بينما القوة F_{34} معلومة خط العمل فقط كونها تعاكس القوة F_{43} . أما خط عمل القوة F_{14} ، فهو متعامد مع سطح التماس بين الوصلتين 1 ، 4

يمكن تحديد قيمة كل من القوتين F_{34} ، F_{14} واتجاهها من رسم مضلع توازن القوى المبين في المخطط c في (الشكل-4-5) . يتم ذلك باختيار القطب O_{4f} ورسم شعاع يمثل القوة F_4 بمقياس مناسب ، ومن ثم رسم خط يوازي خط عمل القوة F_{34} ، وخط آخر يوازي خط عمل القوة F_{14} ، أحدهما من القطب ، والآخر من نهاية شعاع القوة F_4 . يحدد اتجاه كل من هاتين القوتين على هذا المضلع ، بحيث تكون محصلة القوى المؤثرة في الوصلة 4 تساوي الصفر ؛ أي: إن اتجاه الأشعة يتتابع بدءاً من القطب O_{4f} ، وبشكل ينتهي عند هذا القطب . أما قيمة كل من F_{34} ، F_{14} ، فإنها تحدد بمعلومية مقياس رسم الشعاع الممثل للقوة F_4 .

يمكن بعدئذٍ تعيين قيمة كل من القوى F_{34} ، F_{23} ، F_{32} واتجاهه ، حيث إن لدينا من التحليل السابق للوصلتين 2 ، 3 :

$$F_{23} = -F_{43} \quad , \quad F_{43} = -F_{34} \quad , \quad F_{32} = -F_{23}$$

نلاحظ من توازن القوى المؤثرة في الوصلة 2 ، أن القوة F_{12} يجب أن تساوي بالقيمة القوة F_{32} ، وتعاكسها بالاتجاه ، وبما أن خطي عمل هاتين القوتين متوازيان كما في المخطط c في (الشكل-4-5) ، فإنه ينتج منهما مزدوجة باتجاه عكس دوران عقارب الساعة . لا يمكن موازنة الوصلة 2 إذن ، إلا بتطبيق عزم T_2^s يساوي ، ويعاكس هذه المزدوجة ، حيث: T_2^s

$$T_2^s = F_{12} \cdot h$$

باتجاه دوران عقارب الساعة ، وهو العزم الذي يؤثر به عمود الدوران في المرفق ؛ أي: العزم اللازم للحفاظ على توازن هذه التركيبة .

• حالة اعتبار الاحتكاك

إن عدم إمكان تأمين تزييت جيد للازدواجات في التركيبة مثلاً ، سيؤدي إلى وجود قوى احتكاك كبيرة نسبياً تؤثر في نتائج تحليل القوى الاستاتيكية ، والخطوات الأساسية التي اتبعت على أساس إهمال الاحتكاك لا تتغير. يكفي عندئذ الاستعاضة من كل قوة محسوبة عند الازدواجات ، بقوة محصلة R تمثل القوة المنقلة عند كل ازدواج ، تعطى هذه القوة بالعلاقة الشعاعية:

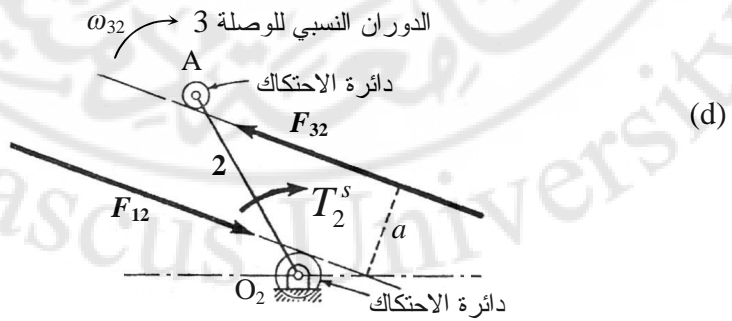
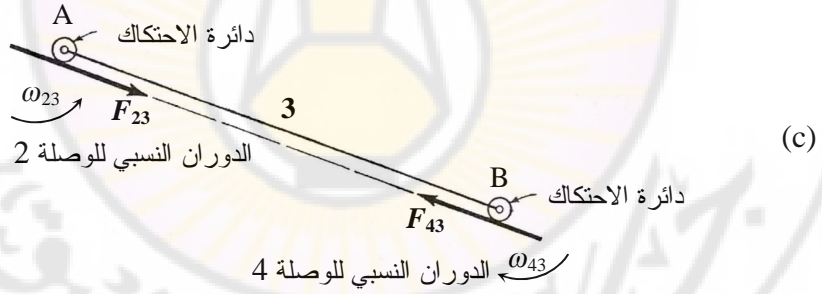
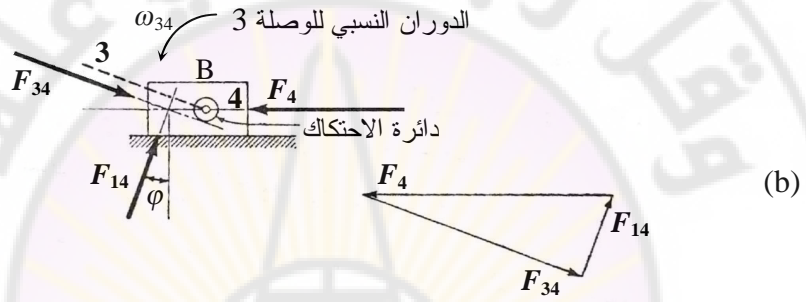
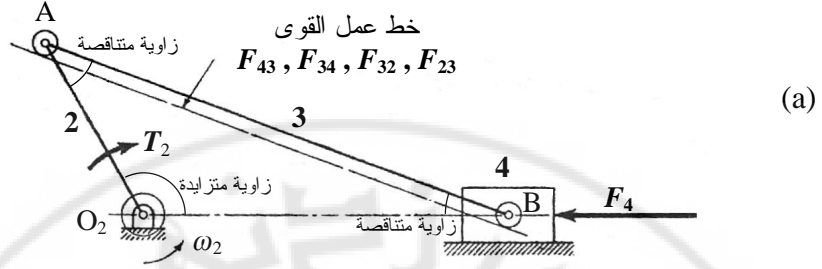
$$R = F + f \cdot F \quad (3-5)$$

حيث F هي القوة المنقلة عند إهمال الاحتكاك ، بينما f هي قيمة معامل الاحتكاك للازدواج الذي تنتقل عنده القوة F . أما خط عمل المحصلة R ، فإنه ينحرف عن خط عمل القوة F وفق ما ذكر سابقاً في الفقرة (2-5) .

نحسب أولاً أنصاف أقطار دوائر الاحتكاك لكل مفصل دوراني باستخدام المعادلة (2-5) ، ثم نرسم هذه الدوائر على المخطط الحركي للتركيبة ، كما هو مبين في المخطط a في (الشكل-5-5) ، وقد بالغنا في حجم الدوائر في الشكل حتى يتضح التحليل بصورة جيدة . يوجد احتكاك بين المكبس ، وجدران الأسطوانة ؛ أي بين الكتلة المنزلقة 4 ، ودليل الحركة الثابت 1 ؛ ولذلك فإن بالإمكان حساب زاوية الاحتكاك φ باستخدام معامل الاحتكاك بين هذين السطحين $(\tan \varphi = f)$.

إن مخطط الجسم الحر للكتلة المنزلقة 4 موضح في المخطط b في (الشكل-5-5) ، وهو يبين القوة المحركة F_4 ورد فعل الهيكل الممثل بالوصلة الثابتة F_{14} ، ورد فعل ذراع التوصيل F_{34} ، والشكل يبين اتجاه القوة F_4 ومقدارها . لكن مقداري F_{14} و F_{34} مجهولان .

بما أن حركة المكبس تنزلق نحو اليسار ؛ لذلك فإن مركبة قوة الاحتكاك للقوة F_{14} تقاوم هذه الحركة ، وعليه فإن الزاوية φ تقاس إلى يسار الخط العمودي ، ويتحدد بذلك اتجاه القوة F_{14} ، ونعين اتجاه القوة F_{34} من مخطط الجسم الحر للوصلة 3 ، كما هو مبين في المخطط c في (الشكل-5-5) .

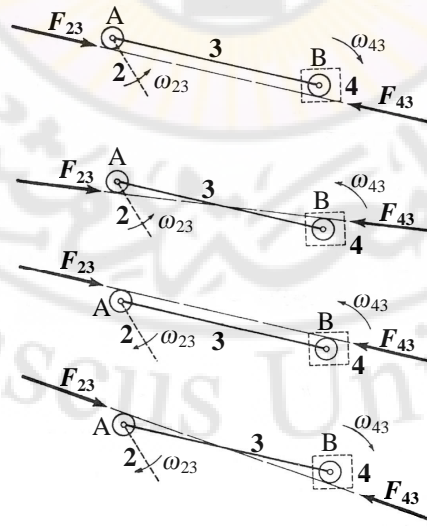


مخططات تحليل القوى الاستاتيكية في وصلات تركيبية المنزلقة ، والمرفق حالة اعتبار الاحتكاك .
(الشكل-5-5)

إن دوران الوصلة 3 هو باتجاه عكس دوران عقارب الساعة ؛ بالتالي فإن دوران الكتلة المنزلقة 4 بالنسبة للوصلة 3 هو باتجاه دوران عقارب الساعة ؛ لذلك فإن القوة F_{43} يجب أن تكون مماسة لقاع دائرة الاحتكاك عند B ، وإن دوران المرفق 2 بالنسبة للوصلة 3 هو بالاتجاه المعاكس لدوران عقارب الساعة ؛ لذلك فإن القوة F_{23} يجب أن تكون مماسة لقاع دائرة الاحتكاك عند A ، وهذا يحدد خط عمل القوة F_{34} ؛ ولذلك فإننا ننشئ الآن مضلع القوى للوصلة 4 ، كما هو مبين في المخطط b في (الشكل-5-5) ، ونحصل منه على مقدارتي القوتين F_{14} و F_{34} .

إن مخطط الجسم الحر للمرفق 2 موضح في المخطط d في (الشكل-5-5) ، ويجب أن تكون القوة F_{12} مماسة لقمة دائرة الاحتكاك عند O_2 حتى يقاوم احتكاك المفصل O_2 عند دوران الوصلة 2 بالاتجاه المعاكس لدوران عقارب الساعة ، ويجب أن يساوي عزم الدوران T_2^s عزم المزدوجة المؤلفة من القوتين المتوازيتين F_{12} و F_{32} ويعاكسه بالاتجاه .

يبين (الشكل-5-6) الحالات الأربع التي يمكن أن تنشأ في تعيين موقع خط العمل للوصلة 3 من تأثير دوران كل من الوصلة 4 و 2 عليها .



(الشكل-5-6) تعيين موقع خط العمل لذراع التوصيل .

2-2-5- تحليل القوى الاستاتيكية في تركيبية رباعية القضبان

Static Forces Analysis in the Four - Bar Linkage

تؤثر القوتان المعومتان F_3 , F_4 في تركيبية رباعية القضبان في الوضع المبين في المخطط a في (الشكل-5-7) .

المطلوب تحديد العزم T_2^s اللازم تطبيقه على الوصلة 2 حتى تتوازن التركيبية عند الوضع الزاوي θ_2 ؛ بالإضافة إلى القوى المؤثرة كلها عند الازدواجات .

نلاحظ عدم إمكان إجراء هذا التحليل دون اللجوء إلى عزل كل وصلة ، ورسم المخطط الحر للقوى ؛ نظراً لكون عدد المجاهيل أكثر من عدد معادلات التوازن المحدد بثلاث معادلات ، كما هو معلوم من علم الميكانيك الهندسي . تشمل هذه المعادلات معادلة توازن العزوم حول نقطة في مستوي الجسم ؛ إضافة إلى معادلتين توازن القوى باتجاهين متعامدين بعضهما على بعض .

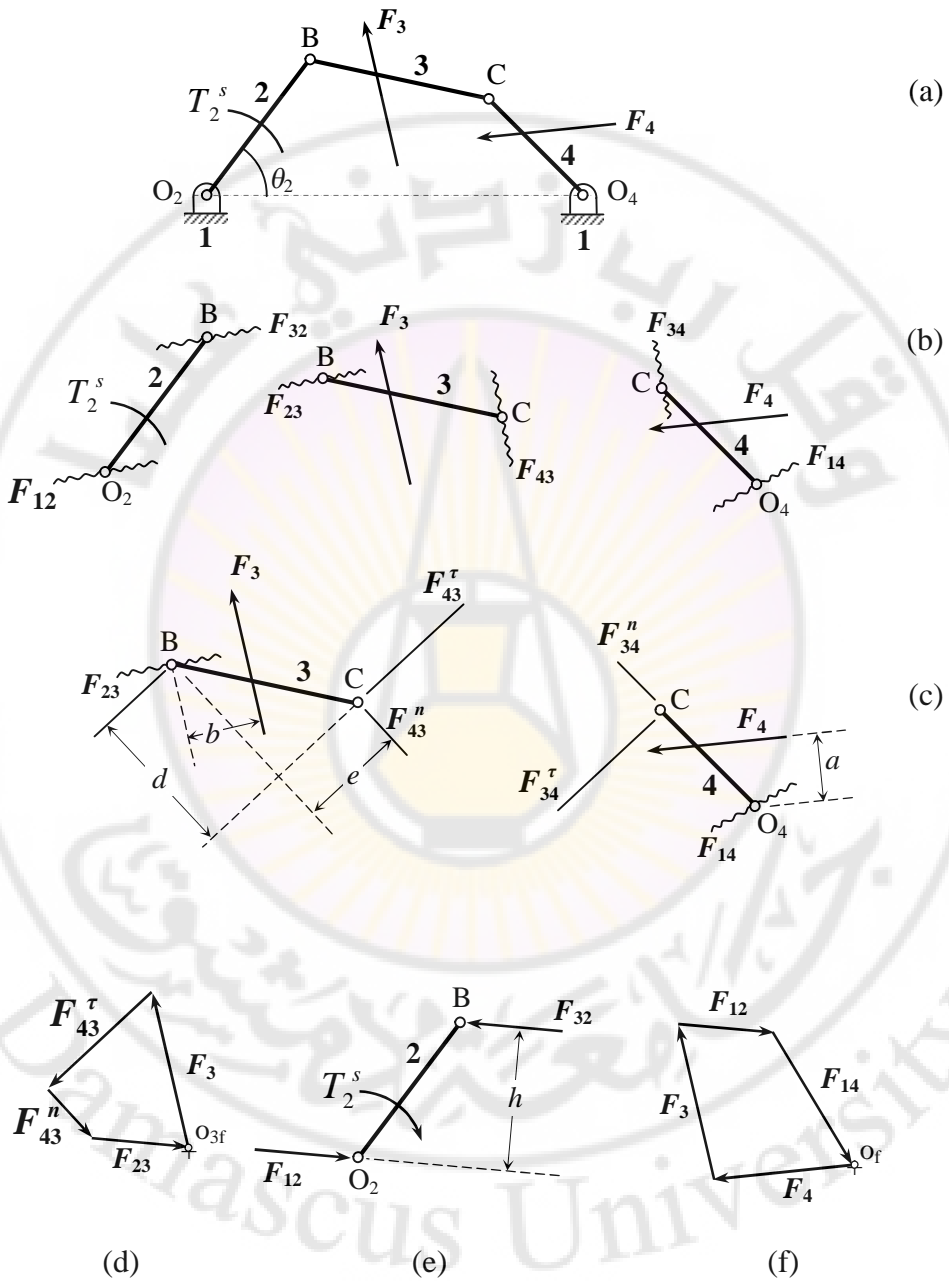
إن مخططات الجسم الحر لكل من الوصلات 2 , 3 , 4 موضحة في المخططات b في (الشكل-5-7) ، نلاحظ أيضاً من هذه المخططات أنه لا يمكن تعيين القيم المجهولة لكل منها بشكل مستقل ؛ نظراً لكون عددها يزيد على ثلاث قيم لكل وصلة .

باعتبار أن كل القوى المؤثرة عند الازدواجات مجهولة القيمة ، والاتجاه حيث بينت بخطوط متعرجة . لكن بما أن القوة F_{43} تساوي ، وتعاكس القوة F_{34} ، فإنه يمكن تحليل الوصلتين 3 , 4 بشكل مشترك ، بحيث يصبح لدينا عندئذ ستة مجاهيل فقط للوصلتين . بما أن لكل وصلة ثلاث معادلات توازن فقط ، فإنه يمكن إيجاد حل مشترك لهاتين الوصلتين .

تحلل القوة F_{34} على الوصلة 4 إلى مركبتين ، إحداها ناظمية F_{34}^n باتجاه الوصلة O_4C ، والأخرى مماسية F_{34}^t عمودية عليها ، كما في المخططات c في (الشكل-5-7) . يمكن تعيين قيمة المركبة العمودية من معادلة توازن العزوم حول O_4 للقوى المؤثرة في الوصلة 4 ، حيث:

$$F_{34}^t = \frac{F_4 \cdot a}{O_4C}$$

ويكون اتجاهها بحيث يعاكس اتجاه عزم القوة F_4 حول المسند O_4 ، ومن مبدأ تساوي الفعل ، ورد الفعل ينتج أن القوة F_{43}^t تساوي ، وتعاكس القوة F_{34}^t .



مخططات تحليل القوى الاستاتيكية في وصلات تركيبية رباعية القضبان .

(الشكل-5-7)

يدرس بعدئذ توازن الوصلة 3 بفرض اتجاه ما للمركبة F_{43}^n ، وليكن نحو اليسار ، وموازنة عزوم القوى المؤثرة فيها حول B :

$$F_3 \cdot b = F_{43}^t \cdot d - F_{43}^n \cdot e$$

أي إن:

$$F_{43}^n = \frac{F_{43}^t \cdot d - F_3 \cdot b}{e}$$

إذا كانت القيمة الناتجة من هذه المعادلة موجبة فإن اتجاه القوة F_{43}^n المفروض نحو اليسار صحيح ، أما إذا كانت هذه القيمة سالبة ، فإن الاتجاه الصحيح هو عكس الاتجاه المفروض ، أي على اليمين كما في المخطط d في (الشكل-5-7) ، الذي يبين مضع توازن القوى للوصلة 3 . تحدد قيمة القوة F_{23} من هذا المضع بمعلومية مقياس الرسم المختار لتمثيل أشعة القوى ، أما اتجاهها ، فيكون بحيث يغلق هذا المضع .

إن القوة F_{32} المؤثرة في الوصلة 2 عند B ، تساوي وتعاكس القوة F_{23} فهي إذن أصبحت معلومة ، ومن معادلة توازن القوى ، ينتج أن القوة F_{12} تساوي القوة F_{32} بالقيمة ، وتعاكسها بالاتجاه على خط عمل يوازي القوة F_{32} .

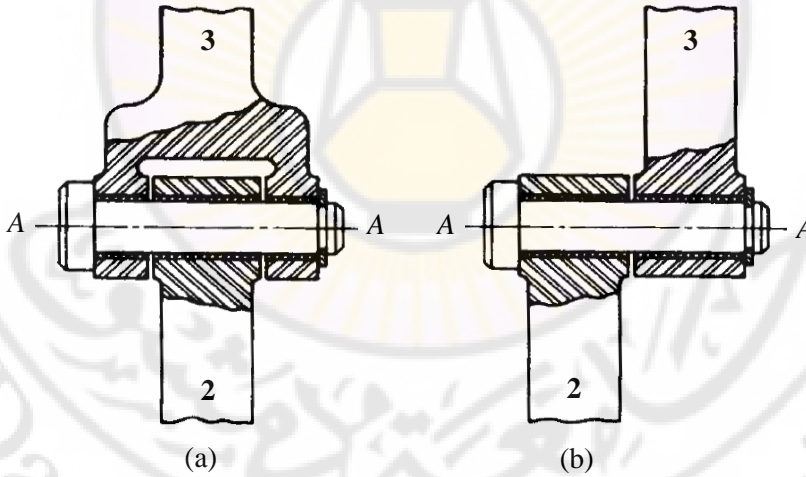
أما العزم T_2^s اللازم أن يؤثر به عمود الدوران المار من O_2 في الوصلة 2 للحفاظ على توازن التركيبة ، فهو باتجاه دوران عقارب الساعة ، وقيمته كما في المخطط e في (الشكل-5-7):

$$T_2^s = F_{32} \cdot h$$

يمكن تعيين القوة F_{14} من رسم مضع توازن القوى المؤثرة في التركيبة على أساس كونها جملة متكاملة ، كما في المخطط f في (الشكل-5-7) .

يلاحظ أننا فرضنا في كل من التحليلين السابقين أن القوى كافة تؤثر في مستو واحد هو مستوى الحركة . لكن يحدث أحياناً في الآلات ذات الحركة المستوية أن تكون القوى في مستويات متوازية ، حيث يتم عادة تحليلها كما لو أنها جميعها في مستو واحد ، أي بإهمال العزوم الناتجة من وجود خطوط عمل هذه القوى في مستويات متوازية ذات تباعدات مختلفة عن مستوي الحركة . لكن إذا أردنا أخذ تأثير هذه العزوم في التحليل ، فإنه يمكن عندئذ إجراء تحليل آخر في مستو عمودي على مستوي التحليل الأول .

إضافة إلى ذلك فقد فرضنا أن الخط الواصل بين مركزي ازدواجين دورانيين عند نهائي وصلة ، كالوصلة 3 مثلاً ، ينطبق على خط عمل انتقال القوى على طول محور الوصلة . يمكن في تصميم جيد تحقيق ذلك عملياً إلى حد كبير ، باختيار مناسب لشكل الازدواج الدوراني عند كل من نهائي الوصلة . إن تصميم هذه الازدواجات ، كما هو مبين في المخطط a في (الشكل-5-8) يحقق نظرياً التطابق المذكور أعلاه .



(الشكل-5-8) نماذج لازدواج دوراني .

أما في حالة الازدواج المبين في المخطط b في (الشكل-5-8) ، فإنه من الواضح نشوء عزوم تدوير تؤثر في مسمار الربط A-A وفي كل من الوصلتين 2 , 3 .

3-5- تحليل قوى العطالة

Inertia Forces Analysis

بينما في الفقرات السابقة طريقة تحليل القوى الاستاتيكية المنقولة عبر وصلات تركيبية ، والتي تشمل القوى المؤثرة كافة في التركيبية بخلاف تلك اللازمة لتحريك كل من الوصلات بحركة معينة تستلزم شروط أداء الآلة عند استثمارها عملياً . يتم تحليل هذه القوى استناداً إلى التسارعات الخطية والزواوية للوصلات التي تحدد وفقاً للطرائق التي سبق توضيحها في الفصل الثالث ، ويسمى بـ التحليل التحريكي ، أو بـ التحليل الديناميكي .

يمكن توضيح أسس تحليل القوى المحركة للوصلات انطلاقاً من مفهوم الحركة المستوية العامة لجسم صلب الذي ينص:

تكافئ الحركة المستوية العامة لجسم صلب حركة انسحابية لمركز كتل هذا الجسم إضافة إلى حركة دورانية حول محور عمودي على مستوي الحركة مار من هذا المركز .

من تطبيق هذا المفهوم على جسم صلب كتلته M ، وعزم عطالته الكتلتي I_G (Mass Moment of Inertia) حول محور عمودي على مستوي الحركة مار من مركز كتلته G ، ويتحرك حركة مستوية عامة تحت تأثير مجموعة قوى خارجية غير متوازنة $F_1^e, F_2^e, \dots, F_n^e$ ، ينتج تسارعات خطية لجسيماته المادية تكسبها قوى فعالة ، أي قوى ديناميكية ، وتسارع زواوي للجسم يكسبه عزماً فعالاً ، أي عزماً ديناميكياً ، واستناداً إلى مبادئ التحريك الأساسية ، يكون:

$$\Sigma F^e = M \cdot A_G \quad (4-5)$$

$$\Sigma T_G^e = I_G \cdot E \quad (5-5)$$

المعادلتان (4-5)، (5-5) تدلان على أنه إذا أثرت مجموعة من القوى غير المتوازنة في جسم صلب ، فإن مركز كتله G يكتسب تسارعاً خطياً A_G في اتجاه محصلة القوى المؤثرة ΣF^e نفسها ، كما أن الجسم يكتسب تسارعاً زاوياً E ، بسبب عزوم القوى وعزوم الدوران حول مركز الكتلة ، وإن هذا التسارع الزاوي يؤثر في اتجاه محصلة العزوم ΣT_G^e نفسها ، وذلك كما هو مبين في (الشكل-5-9) بعد الاستعاضة عن القوى الفعالة المؤثرة جميعها على جسيمات الجسم بمجموعة مكافئة لها مكونة من:

- قوة محصلة (F Resultant Force)

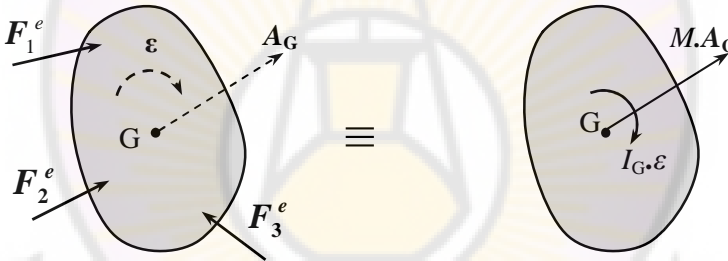
تساوي محصلة القوى الفعالة جميعها ، تمر من مركز كتلته G باتجاه التسارع الخطي لهذا المركز A_G ، وتدعى بالقوة الفعالة ، وعلاقتها استناداً إلى مبادئ التحريك الأساسية تحدد الحركة الانسحابية من حركة الجسم ، وهي:

$$F = M \cdot A_G \quad (6-5)$$

- عزم محصل (T_G Resultant Torque)

يساوي محصلة مجموع عزوم القوى الفعالة حول مركز الكتل G باتجاه التسارع الزاوي E لهذا الجسم ، ويدعى بالعزم الفعال ، وعلاقته استناداً إلى مبادئ التحريك الأساسية تحدد الحركة الدورانية من حركة الجسم ، وهي:

$$T_G = I_G \cdot E \quad (7-5)$$



مخطط المجموعة المكافئة للقوى الفعالة \equiv مخطط الجسم الحر

مخططات تكافئ مجموعة القوى الفعالة مع مجموعة القوى المؤثرة في جسم صلب .

(الشكل-5-9)

تعرف المجموعة العطالية بأنها المجموعة التي تساوي المجموعة المكافئة للقوى والعزوم الفعالة F, T_G وتعاكسها بالاتجاه ، والمكونة من:

- قوة عطالة (F^{in} Inertia Force)

تساوي إلى محصلة قوى العطالة لجسيمات الجسم المادية المؤثرة في مركز كتل الجسم ، أو محصلة القوى الفعالة المعاكسة ، والمسماة بالمتمجه الرئيس لقوى العطالة ، ويحدد بالعلاقة:

$$F^{in} = -M \cdot A_G \quad (8-5)$$

- عزم عطالي (T_G^{in} Inertia Torque)

يساوي إلى العزم المحصل لقوى عطالة جسيمات الجسم المادية حول المركز G ،
أو العزم الفعال المعاكس ، والمسماة بالعزم الرئيس لقوى العطالة ، ويحدد بالعلاقة:

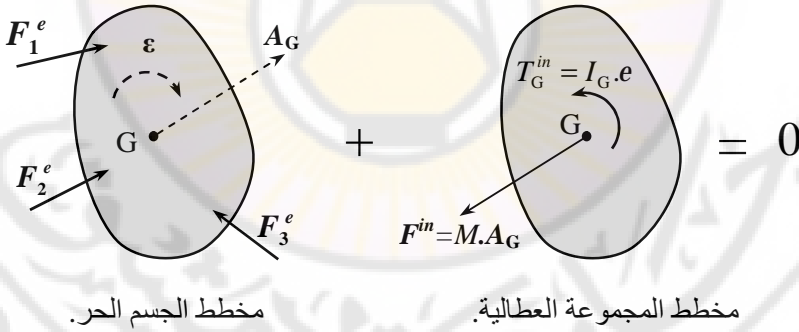
$$T_G^{in} = -I_G \cdot \epsilon \quad (9-5)$$

بما أن متجهات التسارع تكون معلومة في غالب الأحيان ، فإن بالإمكان كتابة المعادلتين (4-5)، (5-5) بصورة جديدة ، وبشكل توازن تساعد في تعيين القوى اللازمة لإحداث هذه التسارعات المعلومة ، وهكذا يمكن أن تكتب معادلات التوازن التحريكي أو الديناميكي:

$$\Sigma F^e + F^{in} = 0 \quad (10-5)$$

$$\Sigma T_G^e + T_G^{in} = 0 \quad (11-5)$$

تكمّن أهمية استعمال معادلات التوازن التحريكي ، أو مبدأ المجموعة العطالية لدراسة تحريك تركيبية آلية في أنها تحول التحليل التحريكي إلى مسألة توازن لحظي لجملة القوى المؤثرة في وصلات هذه التركيبية ، كما هو مبين في (الشكل-10-5) .



(الشكل-10-5) مخططات توازن المجموعة العطالية مع مجموعة القوى المؤثرة على جسم صلب .

تمثل المعادلتان (10-5) (11-5) مبدأ دالامبير ($D'Alembert's Principle$)

لجسم صلب ، الذي نصه:

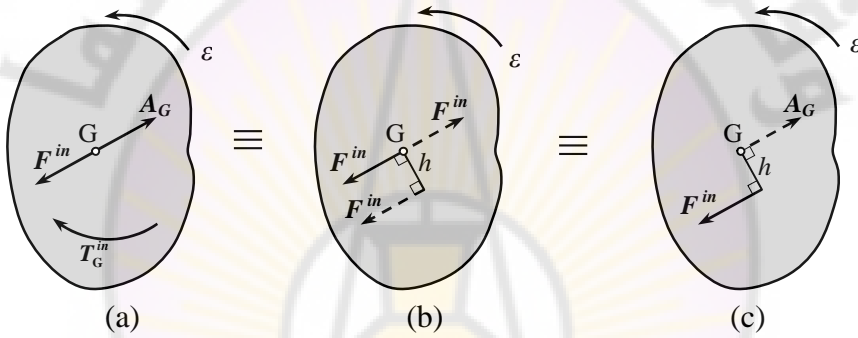
إن المجموع الشعاعي للقوى الخارجية جميعها ، وقوى العطالة المؤثرة في جسيمات جسم صلب يساوي الصفر . كما أن المجموع الشعاعي للعزوم الخارجية جميعها ، وعزوم دوران قوى العطالة المؤثرة في جسيمات جسم صلب حول مركز الكتل يساوي أيضاً الصفر ، بشكل مستقل .

يفضل عند إجراء تحليل القوى تخطيطياً ، الاستعاضة عن المجموعة العطالية بقوة واحدة يكافئ تأثيرها هذه المجموعة ؛ لأن ذلك يسمح بإجراء التحليل استناداً إلى مضلعات توازن القوى ، ومثل هذا الاستبدال أمر غير ضروري إذا كان تحليل القوى سيتم بطريقة تحليلية . يمكن توضيح ذلك من دراسة الجسم الصلب المبين في (الشكل-5-11) ، حيث استعويض عن العزم T_G^{in} بمزدوجة تحقق المعادلة الشعاعية:

$$T_G^{in} = F^{in} \cdot h$$

ومنه:

$$h = T_G^{in} / F^{in} \quad (12-5)$$



(الشكل-5-11) الاستعاضة عن المجموعة العطالية بقوة واحدة .

ينتج إذن أنه يمكن تحقيق شروط الجسم المبين في المخطط a في (الشكل-5-11) ، بقوة مكافئة واحدة فقط F^{in} قيمتها $M.A_G$ ، واتجاهها عكس اتجاه تسارع مركز الكتل A_G ، وتؤثر عند بعد عمودي h من هذا المركز ، بحيث يكون اتجاه عزم هذه القوة حول مركز الثقل ، هو عكس اتجاه دوران التسارع الزاوي للجسم ϵ كما هو مبين في المخطط c في (الشكل-5-11) ، ، علماً أن التكافؤ بين الحالتين مبين في المخطط b في (الشكل-5-11) ، ومن الواضح أن قيمة البعد h حسابياً هي:

$$h = I_G \cdot \epsilon / M \cdot A_G$$

يكفي عندئذ لتحليل قوى العطالة في تركيبة ما تعيين شعاع قوة العطالة لكل من وصلاتها ، ومن ثم تطبيق طريقة التحليل التخطيطي وفق الأسس نفسها التي سبق اتباعها في تحليل القوى الاستاتيكية .

سنوضح ذلك من خلال تطبيق نموذجي يبين الخطوات المتبعة في تحليل قوى العطالة والتي يمكن - استناداً إليه - دراسة تأثيرها في أية تركيبة مهما بلغ عدد وصلاتها .

1-3-5- تحليل قوى العطالة في تركيبية رباعية القضبان

Inertia Forces Analysis In the Four - Bar Linkage

يبين a في (الشكل-5-12) المخطط الحركي لهذه التركيبية ، حيث تدور الوصلة القائدة 2 بسرعة زاوية ثابتة ω_2 بعكس اتجاه دوران عقارب الساعة .

تدل النقاط G_2, G_3, G_4 على مواقع مراكز كتل الوصلات 2, 3, 4 على التوالي . لنفرض أن M_2, M_3, M_4 ترمز لكتل هذه الوصلات ، بينما I_2, I_3, I_4 هي عزوم عطالة هذه الوصلات حول محور مار من مركز كتل كل منها على التوالي .

المطلوب تحليل القوى في الوصلات ، وتعيين العزم لازم التأثير به في الوصلة 2 لتحريك هذه التركيبية بالحركة المعينة بمخطط التسارع المبين في b في (الشكل-5-12) .

يمكن استناداً إلى مخطط التسارع تعيين قيمة $\varepsilon_3, \varepsilon_4$ واتجاههما بمعلومية المركبتين المماسيتين للتسارع ، بينما تحدد قيمة التسارع الخطي واتجاهه لكل من مراكز الكتل ، كما في المخطط b في (الشكل-5-12) .

تؤثر القوة الفعالة F_2 للوصلة 2 في مركز الكتل G_2 ، وباتجاه التسارع الخطي لهذا المركز كما في المخطط c في (الشكل-5-12) ؛ وبالتالي فإن قوة العطالة المؤثرة في هذه الوصلة F_2^{in} تساوي القوة الفعالة F_2 بالقيمة ، وتعاكسها بالاتجاه . أما العزم العطالي ، فهو معدوم ؛ لأن هذه الوصلة تدور بسرعة زاوية ثابتة ($\omega_2 = \text{const.}$) ، أي ($\varepsilon_2 = 0$) .

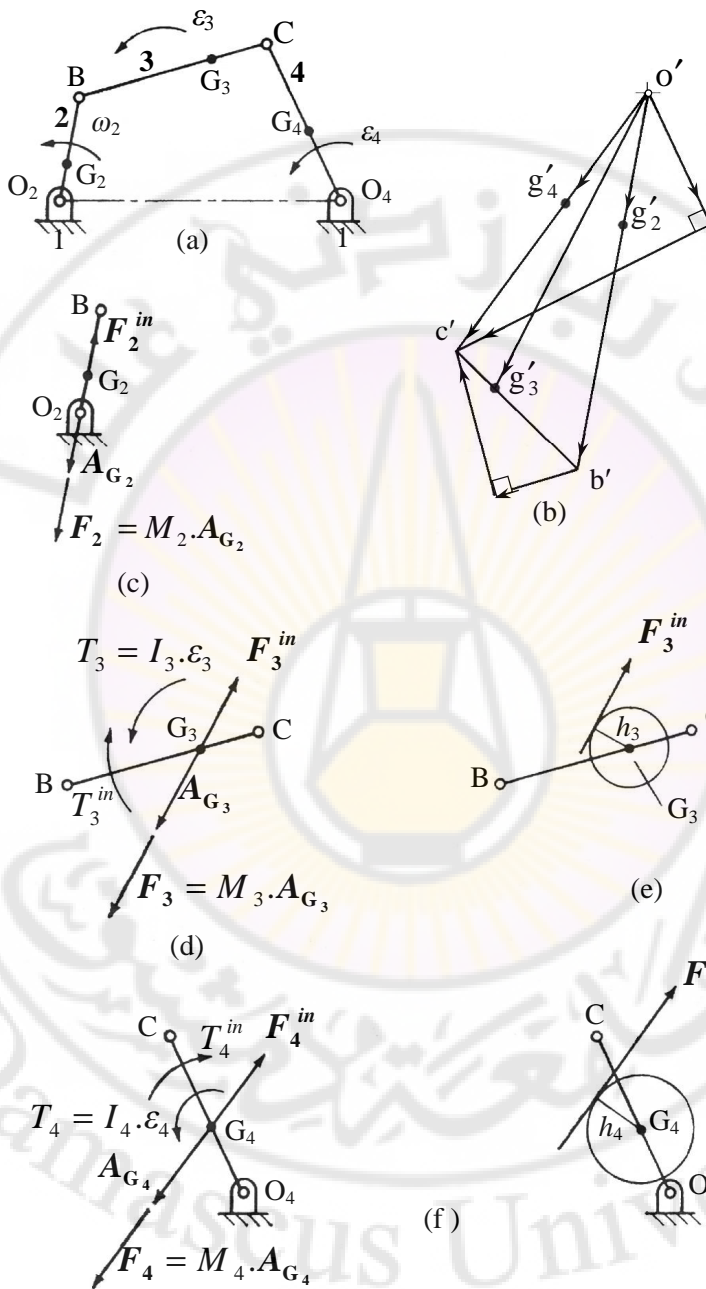
تحدد قوة العطالة F_3^{in} للوصلة 3 بالطريقة نفسها . لكن بما أن هذه الوصلة تتحرك بتسارع زاوي ε_3 فإنه يلزم وجود عزم فعال:

$$T_3 = I_3 \cdot \varepsilon_3$$

وبالتالي فإن العزم العطالي T_3^{in} يساوي العزم الفعال T_3 بالقيمة ، ويعاكسه بالاتجاه ، كما في المخطط d في (الشكل-5-12) . يمكن الاستعاضة عن هذه المجموعة العطالية للوصلة 3 ، استناداً إلى ما بيناه في الفقرة السابقة بالقوة نفسها F_3^{in} مع إزاحة خط عمل هذه القوة موازياً لنفسه بالمقدار:

$$h_3 = \frac{I_3 \cdot \varepsilon_3}{M_3 \cdot A_{G_3}}$$

وباتجاه يكون فيه عزم قوة العطالة حول G_3 باتجاه T_3^{in} ؛ أي يعاكس اتجاه ε_3 ، كما في المخطط e في (الشكل-5-12) ، يقاس البعد h_3 على الرسم وفقاً للمقياس المختار لرسم المخطط الحركي للتركيبية .



مخططات تحليل قوى العطالة في وصلات تركيبة رباعية القضبان .
(الشكل-5-12)

يمكن اتباع الخطوات نفسها لتعيين F_4^{in} والمسافة h_4 ، كما في المخطط f في (الشكل-5-12) ، حيث :

$$h_4 = \frac{I_4 \cdot e_4}{M_4 \cdot A_{G_4}}$$

وباتجاه يحقق عزمًا لقوة العطالة حول G_4 باتجاه T_4^{in} أي يعاكس اتجاه ε_4 .

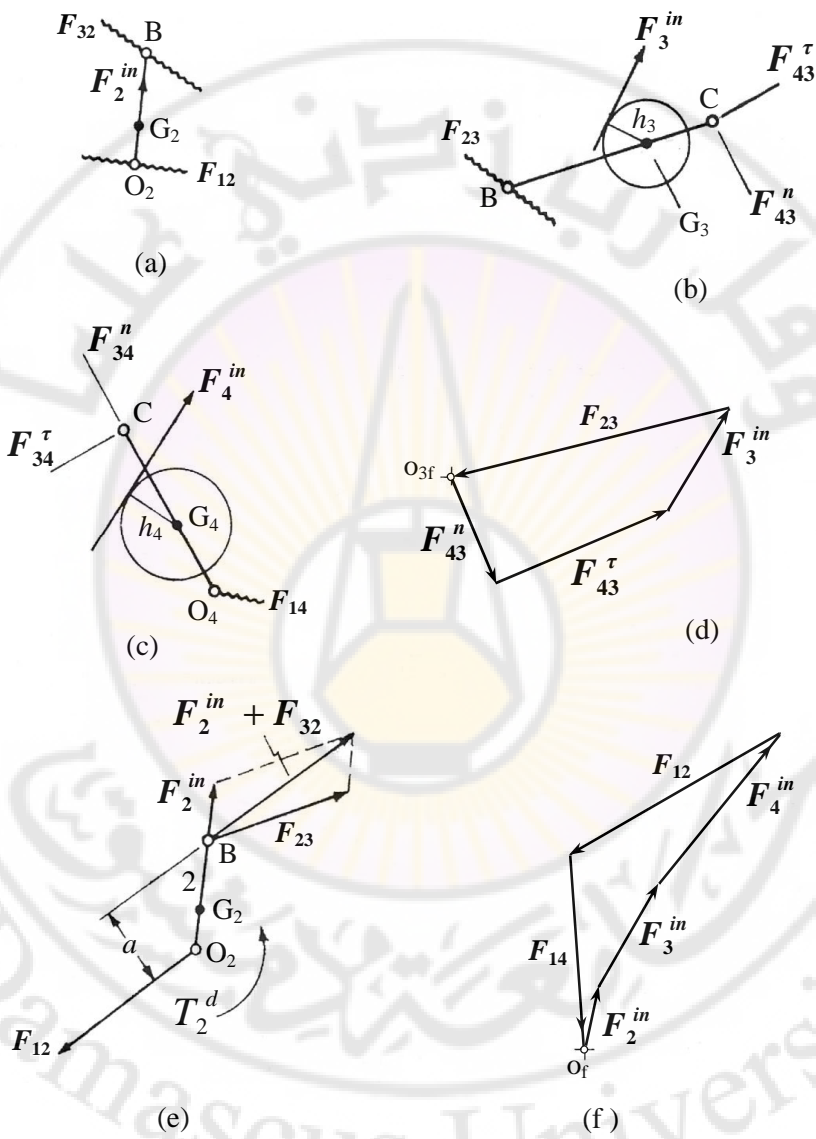
يستكمل التحليل بعدئذ بتعيين ردود الأفعال عند نقاط الازدواج ، ومن ثم تعيين العزم اللازم تطبيقه على الوصلة 2 ؛ لتحقيق الحركة المطلوبة ، أو بمعنى آخر ؛ تعيين العزم اللازم لموازنة تأثير قوى العطالة في التركيبية .

يتم ذلك باتباع خطوات تحليل القوى الاستاتيكية نفسها ، والموضحة في الفقرة (2-2-5) ، حيث ترسم مخططات الجسم الحر لكل من الوصلات 2 ، 3 ، 4 ، كما في a ، b ، c في (الشكل-5-13) على التوالي . تعدّ قوى العطالة عندئذ قوى خارجية ، وتكون كل وصلة متوازنة تحت تأثير قوة العطالة فيها ، وردود الأفعال المجهولة ، والمنقلة من الوصلتين المجاورتين لها .

ليس من الضروري تكرار خطوات الحل ؛ إذ إن المخططات d ، e ، f كافية لتوضيحها استناداً لما سبق شرحه في الفقرة (2-2-5) . ينتج من ذلك أن العزم T_2^d اللازم للتغلب على قوى العطالة في هذه التركيبية ، هو :

$$T_2^d = F_{12} \cdot a$$

وبالاتجاه المبين في المخطط e في (الشكل-5-13) ، يسمى هذا العزم عادة بالعزم الديناميكي ؛ لأنه يمثل العزم اللازم تطبيقه لتحقيق التوازن الديناميكي أي التحريكي للتركيبية .



مخططات الجسم الحر لوصلات تركييبة رباعية القضبان .
(الشكل-5-13)

4-5- قوة الارتجاج

Shaking Force

من الأمور المهمة بالنسبة للمصمم تلك القوى التي تنتقل إلى هيكل أو أساس الآلة ، حيث تنتقل محصلة قوى العطالة المؤثرة في وصلات آلة إلى الهيكل الذي تستند إليه ، عبر الازدواجات المتصلة به . إن تغير قيمة هذه القوى أو اتجاهها يؤدي إلى ارتجاج الآلة أو اهتزازها ؛ لذا فإن محصلة قوى العطالة تسمى بقوة الارتجاج . إن لهذه القوة انعكاسات سلبية على عمل الآلة ، وأدائها من جهة ، وقد تؤدي إلى انهيار بعض أجزاء الهيكل ، بسبب إجهادات التعب من جهة أخرى . من الضروري إذن تحديد قوة الارتجاج ، ودراسة تغيراتها خلال دورة عمل كاملة للآلة ، لما لها من تأثير هام في تصميم هيكل الآلة ، وفي إيجاد الوسائل الكفيلة بعزلها أو تخفيف تأثيرها في الآلات ، والمنشآت المجاورة .

يمكن بسهولة تعيين قوة الارتجاج ، لكونها تساوي دوماً المجموع الشعاعي لقوى العطالة كافة المؤثرة في وصلات الآلة .

$$F_S = \Sigma F^{in} \quad (13-5)$$

يبين المخطط a في (الشكل-14-5) التركيبية رباعية القضبان التي سبق تحليلها في الفقرة (1-3-5) ، وقد رسمت عليها قوى العطالة $F_4^{in}, F_3^{in}, F_2^{in}$ المؤثرة في الوصلات 2 , 3 , 4 على التوالي ، والتي تم تعيينها كاملة استناداً إلى (الشكل-13-5).

يكفي عندئذ لتعيين قيمة قوة الارتجاج F_S ، واتجاهها ، اختيار مقياس رسم مناسب لتمثيل القوى ، ومن ثم رسم أشعة قوى العطالة بدءاً من القطب O_f ، كما في المخطط b في (الشكل-14-5) . يمثل المتجه المحصل F_S لهذه القوى قوة الارتجاج ، وذلك بعد تحويل طوله إلى قيمة حقيقية للقوة بدلالة المقياس المختار .

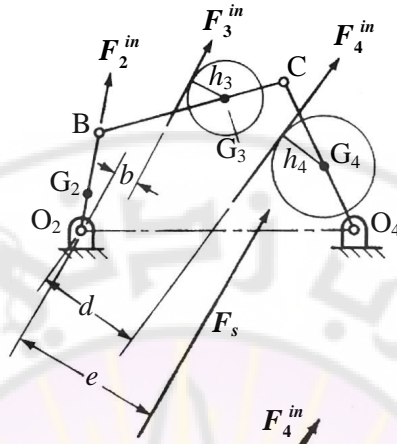
يحدد موقع خط عمل القوة F_S من معادلة العزوم حول أية نقطة مناسبة في مستوي قوى العطالة ، ولتكن مثلاً النقطة O_2 ، حيث ينتج:

$$m_{O_2}(F_S) = \Sigma m_{O_2}(F^{in}) \quad (14-5)$$

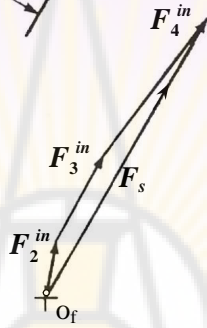
منه:

$$F_S \cdot e = F_3^{in} \cdot b + F_4^{in} \cdot d$$

علماً أن عزم القوة F_2^{in} حول النقطة O_2 في هذه الحالة يساوي الصفر ؛ وبالتالي تحسب قيمة البعد e الذي يحدد موقع قوة الارتجاج F_S بالنسبة للنقطة O_2 ، بحيث يكون هذا البعد بالاتجاه الذي يحقق معادلة العزوم أعلاه .



(a)



(b)

(الشكل-14-5) تحديد موقع خط عمل قوة الارتجاج لتركيبية رباعية القضبان .

يسمى عزم قوة الارتجاج حول محور عمود الدوران للوصلة القائدة ، بعزم الارتجاج ، وهو في حالة مثال (الشكل-14-5) هو $(F_s \cdot e)$ عكس دوران عقارب الساعة للوضع المبين للمخطط الحركي للتركيبية . من الواضح أن قوى العطالة ستتغير قيمة ، واتجاهاً ، وموقعاً خلال دورة كاملة للوصلة القائدة ؛ وبالتالي سيؤدي ذلك إلى تغير قيمة قوة الارتجاج ، واتجاهها ، وموقعها . تنتج من هذه التغيرات قوى اهتزازية تنتقل إلى الهيكل الثابت عبر الازدواجات المتصلة به .

إن قوة الارتجاج إذن تساوي محصلة القوى المنتقلة إلى الهيكل الثابت ، تحت تأثير قوى العطالة المؤثرة في الوصلات المتحركة للتركيبية . مثال ذلك تكون قوة الارتجاج في التركيبية رباعية القضبان هي محصلة F_{41} ، F_{21} ، وهما القوتان المنتقلتان عند كل من الازدواجين O_2 ، O_4 على التوالي . تتضح صحة ذلك بسهولة من مقارنة مضع القوى في المخطط f في (الشكل-13-5) مع المخطط b في (الشكل-14-5) ، مع ملاحظة أن:

$$F_{41} = -F_{14} \quad , \quad F_{21} = -F_{12}$$

5-5- تحليل القوى الاستاتيكية والعطالية في تركيبة آلية

Inertia and Static Forces Analysis in a Mechanism

بينما في الفقرات السابقة كيفية تحليل كل من القوى الاستاتيكية ، وقوى العطالة المؤثرة في تركيبة ما بشكل مستقل . إذا كان المطلوب تعيين التأثير المشترك لهاتين المجموعتين من القوى ، فإنه يمكن تطبيق مبدأ التتضيد المذكور في مقدمة هذا الفصل لتحديد كل من القوى المحصلة المنتقلة عبر ازدواجات التركيبية .

تنتج القوة الكلية عند ازدواج ما من الجمع الشعاعي للقوة المنتقلة عنده تحت تأثير القوى الاستاتيكية فقط ، والقوة المنتقلة تحت تأثير القوى العطالية من دون غيرها من القوى ؛ أي يمكن توضيح هذا المبدأ بالمعادلة الشعاعية .

$$F'_{ab} = F^s_{ab} + F^d_{ab} \quad (15-5)$$

حيث: F'_{ab} تمثل القوة الكلية المنتقلة من الوصلة a إلى الوصلة b في تركيبة ما .
 F^s_{ab} تمثل القوة المنتقلة من a إلى b تحت تأثير القوى الاستاتيكية في التركيبية .
 F^d_{ab} تمثل القوة المنتقلة من a إلى b تحت تأثير قوى العطالة في التركيبية .
كما أن العزم الكلي T_2 لازم التأثير به في الوصلة 2 مثلاً هو حاصل الجمع الشعاعي لعزم الموازنة الاستاتيكي T_2^s ، وعزم الموازنة التحريكي ؛ أي الديناميكي T_2^d .
يفضل أحياناً إجراء تحليل مشترك مباشرة لتأثير القوى الاستاتيكية ، والعطالية معاً .
يتم ذلك عندما لا يستلزم تصميم أجزاء الآلة تحليلاً مستقلاً لكل من مجموعتي القوى . لا تختلف خطوات التحليل المشترك عما اتبع سابقاً إلا من حيث شمولها القوى جميعها بأن واحد .
يمكن توضيح ذلك من خلال التطبيق التالي .

5-5-1- تحليل القوى الاستاتيكية والعطالية في تركيبة المنزلقة والمرفق

Inertia and Static Forces Analysis in the Slider-Crank Mechanism

ليكن المخطط الحركي للتركيبية الموضح في a من (الشكل-15-5) ، والتي سبق تحليلها استاتياً في الفقرة (1-2-5) ، حيث تمثل F_4 القوة المعلومة المؤثرة في المكبس نتيجة ضغط الغاز ، بينما يدور المرفق 2 بسرعة زاوية ثابتة ω_2 .

تدل النقاط G_2, G_3, G_4 على مواقع مراكز كتل الوصلات 2 , 3 , 4 على التوالي ؛ إضافة إلى أن كتل هذه الوصلات ، وعزوم عطالتها حول مراكز الكتل الموافقة معلومة .

المطلوب إجراء تحليل مشترك للقوى الاستاتيكية ، والعطالية المؤثرة في هذه التركيبية ،
وتعيين العزم الكلي المنتقل من المرفق 2 إلى عمود الدوران المار من O_2 ، وذلك بإهمال
الاحتكاك بين الوصلات ، وتأثير وزن كل من الوصلات في القوى الاستاتيكية .

يرسم مخطط تسارع التركيبية ، كما في b في (الشكل-5-15) ، استناداً إلى
المخطط الحركي ، والسرعة الزاوية ω_2 ؛ ليمثل الحركة المطلوبة لمختلف الوصلات .
تحدد في هذا المخطط تسارعات مراكز كتل الوصلات مع ملاحظة أن تسارع مركز كتل
المكبس G_4 ينطبق على تسارع النقطة C ؛ لأن حركته انزلاقية انسحابية . كما يعين اتجاه
التسارع الزاوي ε_3 بمعلومية اتجاه المركبة المماسية لتسارع النقطة C بالنسبة إلى
النقطة B ، كما في المخطط c في (الشكل-5-15) .

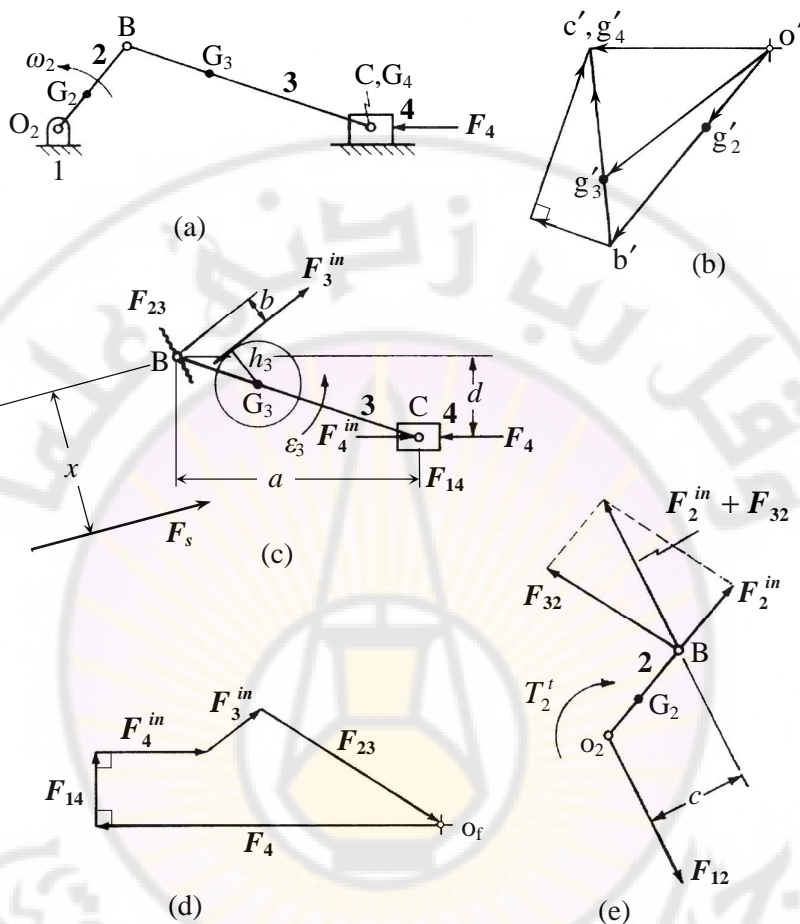
يرسم مخطط الجسم الحر المشترك للوصلتين 3 ، 4 حيث تم تعيين كل من قوتي
العطالة F_3^{in}, F_4^{in} تبعاً لما بيناه سابقاً ، مع ملاحظة أن القوة F_4^{in} تمر من النقطة C
باتجاه يعاكس تسارع المنزلقة 4 ؛ لأن حركتها انسحابية . تعين القوة الكلية F_{14} من
معادلة العزوم حول النقطة B ، حيث:

$$F_{14} \cdot a = F_4 \cdot d - F_3^{in} \cdot b - F_4^{in} \cdot d$$

علماً أن الأبعاد a, b, d على المخطط الحركي ، يجب أن تحول إلى قيمتها الحقيقية بدلالة
مقياس رسم هذا المخطط .

يمكن بعدئذ تعيين القوة الكلية F_{23} من مصلع توازن القوى للوصلتين 3 ، 4 ،
كما في المخطط d في (الشكل-5-15) ، أما القوة F_{32} ، فإنها تساويها ، وتعاكسها
بالاتجاه .

ينتج من مخطط الجسم الحر للوصلة 2 المبين في e في (الشكل-5-15) ، أن
القوة F_{12} الكلية تساوي محصلة القوتين $(F_2^{in} + F_{32})$ وتعاكسها بالاتجاه ، علماً أن قوة
العطالة F_2^{in} للوصلة 2 تنطبق على O_2B ، وباتجاه عكس تسارع G_2 ؛ لأنها تدور
بسرعة زاوية ثابتة . بينما يمثل T_2 العزم الكلي الذي يؤثر به عمود الدوران في المرفق 2
للحفاظ على توازن التركيبية تحت تأثير القوى الاستاتيكية والعطالية جميعها فيها ، يساوي هذا
العزم المزدوجة $(F_{12} \cdot c)$ ، ويعاكسها بالاتجاه .



تحليل كامل للقوى الاستاتيكية والعطالية المؤثرة على تركيبة المنزلقة والمرفق
 (الشكل-5-15)

وبالتالي فإن العزم المنقول من المرفق ؛ لأداء عمل معين في آلة تتصل بعمود الدوران O_2 يساوي العزم T_2' ، ويعاكسه بالاتجاه ؛ أي: إنه يساوي عزم المزدوجة $(F_{12} \cdot c)$ قيمة ، واتجاهاً ؛ أي عكس اتجاه عقارب الساعة .

تجدر الإشارة إلى أن العزم T_2^d المؤثر في المرفق 2 نتيجة قوى العطالة فقط ، هو حاصل الفرق الجبري بين العزم الكلي T_2' المعين في هذه الفقرة ، والعزم الاستاتي T_2^s الذي سبق تعيينه في مجال تحليل القوى الاستاتيكية لهذه التركيبة في الفقرة (5-1-2) .

أما قوة الارتجاج F_S ، فإنه يمكن تعيينها برسم مخطط لقوى العطالة الثلاث ، بينما يحدد موقع تأثير خط عملها من معادلة العزوم حول النقطة B مثلاً:

$$F_S \cdot x = F_3^{in} \cdot b + F_4^{in} \cdot d$$

حيث x تمثل البعد العمودي بين خط عمل F_S والنقطة B .

وبالتالي فإن عزم الارتجاج حول O_2 هو عكس اتجاه دوران عقارب الساعة في هذا الوضع للتركيبة ، وتحدد قيمته بدلالة بعد خط عمل F_S عن O_2 .

يجب الانتباه إلى أن قوة الارتجاج في هذه الحالة لا يمكن تعيينها بدلالة القوتين F_{21} , F_{41} المنقلبتين من التركيبة إلى الهيكل ؛ لأنهما تمثلان التأثير المشترك للقوى الاستاتيكية ، والعطالية .

مسألة-1-5

ليكن المخطط الحركي لتركيبة الجر المبينة في a في (الشكل-5-16) ، والمستعملة للحصول على حركة سريعة الارتداد للمنزلة 6 . تدور الوصلة 2 بسرعة زاوية ثابتة $(\omega_2 = 50 \text{ rad/sec})$ باتجاه عكس دوران عقارب الساعة ، وتؤثر في الوصلة 6 قوة أفقية مقاومة $(F_6 = 400 \text{ N})$.

المطلوب إجراء تحليل حركي ، وديناميكي كامل ؛ لتعيين القوى المنقلة عند الازدواجات تحت تأثير القوى العطالية والاستاتيكية ، ومن ثم تحديد العزم اللازم أن يؤثر به عمود الدوران المار من O_2 في الوصلة 2 ؛ للحفاظ على توازن التركيبة في الوضع المحدد بـ $(\theta_2 = 90^\circ)$.

علماً أن الوصلات كافة متجانسة ، ومتناظرة بالنسبة لمراكز كتلتها ، وأن:

$$O_2A = 100 \text{ mm} , \quad AB = 150 \text{ mm} , \quad CD = 375 \text{ mm}$$

$$O_2O_4 = 65 \text{ mm} , \quad O_4B = 125 \text{ mm} , \quad O_4C = 200 \text{ mm}$$

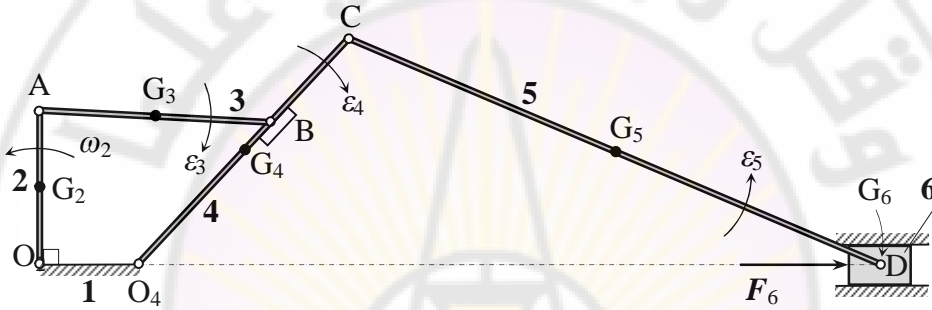
$$W_2 = 20 \text{ N} , \quad W_3 = 25 \text{ N} , \quad W_4 = 40 \text{ N} , \quad W_5 = 80 \text{ N} , \quad W_6 = 90 \text{ N}$$

$$I_3 = 0.02 \text{ kg.m}^2 , \quad I_4 = 0.033 \text{ kg.m}^2 , \quad I_5 = 0.051 \text{ kg.m}^2$$

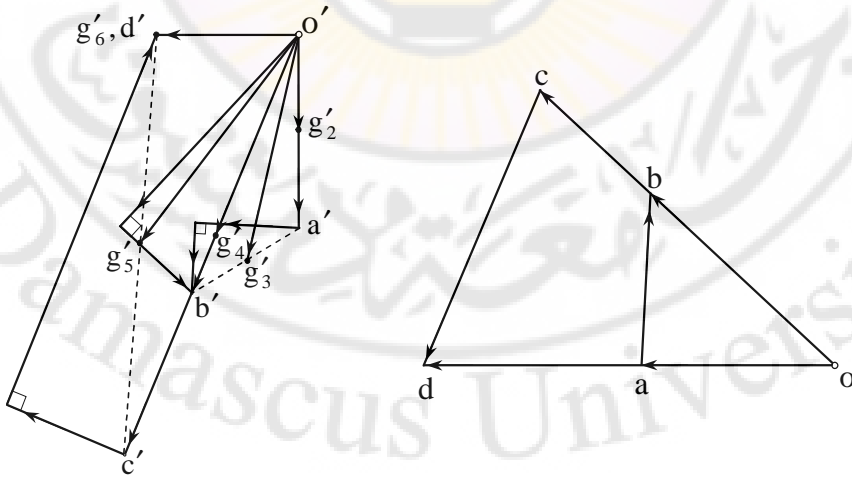
الحل:

يرسم المخطط الحركي مقياس 1/5 ، كما في a ، (الشكل-5-16) ، ومن ثم يرسم مخطط السرعة للتركيبة بمقياس (2 m/sec \equiv 1 cm) ، كما في b في (الشكل-5-16) ، ينتج من هذا المخطط أن:

$$w_3 = 30 \text{ rad/sec-ccw} , w_4 = 52 \text{ rad/sec-ccw} , w_5 = 21 \text{ rad/sec-cw}$$



a- المخطط الحركي.



b- مخطط السرعة.

c- مخطط التسارع.

(الشكل-5-16) التحليل الحركي لتركيبة الجر .

استناداً إلى ذلك يرسم مخطط التسارع المبين في c في (الشكل-5-16) ، بمقياس مناسب (100 m/sec² ≡ 1 cm) ، حيث ينتج من هذا المخطط أن:

$$\begin{aligned} A_{G_2} &= 125 \text{ m/sec}^2 , \quad A_{G_3} = 300 \text{ m/sec}^2 , \quad A_{G_4} = 280 \text{ m/sec}^2 \\ A_{G_5} &= 330 \text{ m/sec}^2 , \quad A_{G_6} = A_D = 190 \text{ m/sec}^2 \\ e_3 &= 585 \text{ rad/sec}^2 - \text{cw} , \quad e_4 = 960 \text{ rad/sec}^2 - \text{cw} , \quad e_5 = 1310 \text{ rad/sec}^2 - \text{ccw} \end{aligned}$$

بالاتجاهات المبينة في المخطط a في (الشكل-5-16).

يتم بعدئذ تعيين قوة العطالة المؤثرة في كل من الوصلات من العلاقة:

$$F^{in} = \frac{W}{g} A_G$$

وبالتالي فإن:

$$F_2^{in} = 225 \text{ N} , \quad F_3^{in} = 765 \text{ N} , \quad F_4^{in} = 1142 \text{ N} , \quad F_5^{in} = 2691 \text{ N} , \quad F_6^{in} = 1743 \text{ N}$$

كما يعين العزم العطالي المؤثر حول كل من مراكز الكتل من العلاقة:

$$T_G^{in} = I_G \cdot e$$

حيث ينتج أن:

$$T_{G_3}^{in} = 11.7 \text{ N.m} , \quad T_{G_4}^{in} = 31.68 \text{ N.m} , \quad T_{G_5}^{in} = 66.8 \text{ N.m}$$

استناداً إلى ما أوضحناه في الفقرة (3-5) ، يمكن الاستعاضة عن المجموعة العطالية F^{in}, T_G^{in} لكل وصلة بقوة العطالة المكافئة F^{in} التي تؤثر عند بعد h من مركز كتل الوصلة ، ويعين من العلاقة:

$$h = T_G^{in} / F^{in}$$

حيث ينتج أن:

$$h_3 = 15.3 \text{ mm} , \quad h_4 = 27.7 \text{ mm} , \quad h_5 = 24.8 \text{ mm}$$

مع ملاحظة أن العزم العطالي للوصلة 2 يساوي الصفر ؛ لأنها تدور بسرعة زاوية ثابتة ، كما أن العزم العطالي للوصلة 6 يساوي أيضاً الصفر ؛ لأنها تتحرك حركة ترددية انسحابية .

يمكن عندئذ رسم مخطط الجسم الحر لكل من الوصلات 2 , 3 , 4 , 6 , 5 كما في a , b , e , g , k في (الشكل-5-17) على التوالي ، وذلك باتباع الخطوات التي بينها سابقاً في الفقرة (5-5-1) لدراسة التأثير المشترك للقوى الاستاتيكية ، والعطالية معاً ، علماً أن مقياس رسم الأطوال البعدية هو 1/5 .

ينتج من معادلة العزوم حول النقطة C في مخطط الجسم الحر a في (الشكل-5-17) للوصلة 5 ، أن:

$$F_{65}^t = 1112 \text{ N}$$

يتم اختيار مقياس لرسم مضلعات القوى ، وليكن (1 cm \equiv 1000 N) ؛ وبالتالي ينتج من مضلع القوى c في (الشكل-5-17) للوصلة 6 ، أن:

$$F_{56}^n = 2750 \text{ N} , \quad F_{16} = 2050 \text{ N}$$

بالاتجاهات المبينة في الشكل .

كما ينتج من مضلع القوى d في (الشكل-5-17) للوصلة 5 ، أن:

$$F_{45} = 3700 \text{ N}$$

ومن معادلة العزوم حول O₄ في المخطط e من (الشكل-5-17) ، ينتج أن:

$$F_{34}^t = 3660 \text{ N}$$

كما ينتج من معادلة العزوم حول A في المخطط g من (الشكل-5-17) ، أن:

$$F_{43}^n = 2420 \text{ N}$$

يرسم عندئذ مضلع القوى f في (الشكل-5-17) للوصلة 4 ، حيث نحصل على:

$$F_{14} = 2000 \text{ N}$$

وكذلك ينتج من مضلع القوى h من (الشكل-5-17) للوصلة 3 ، أن:

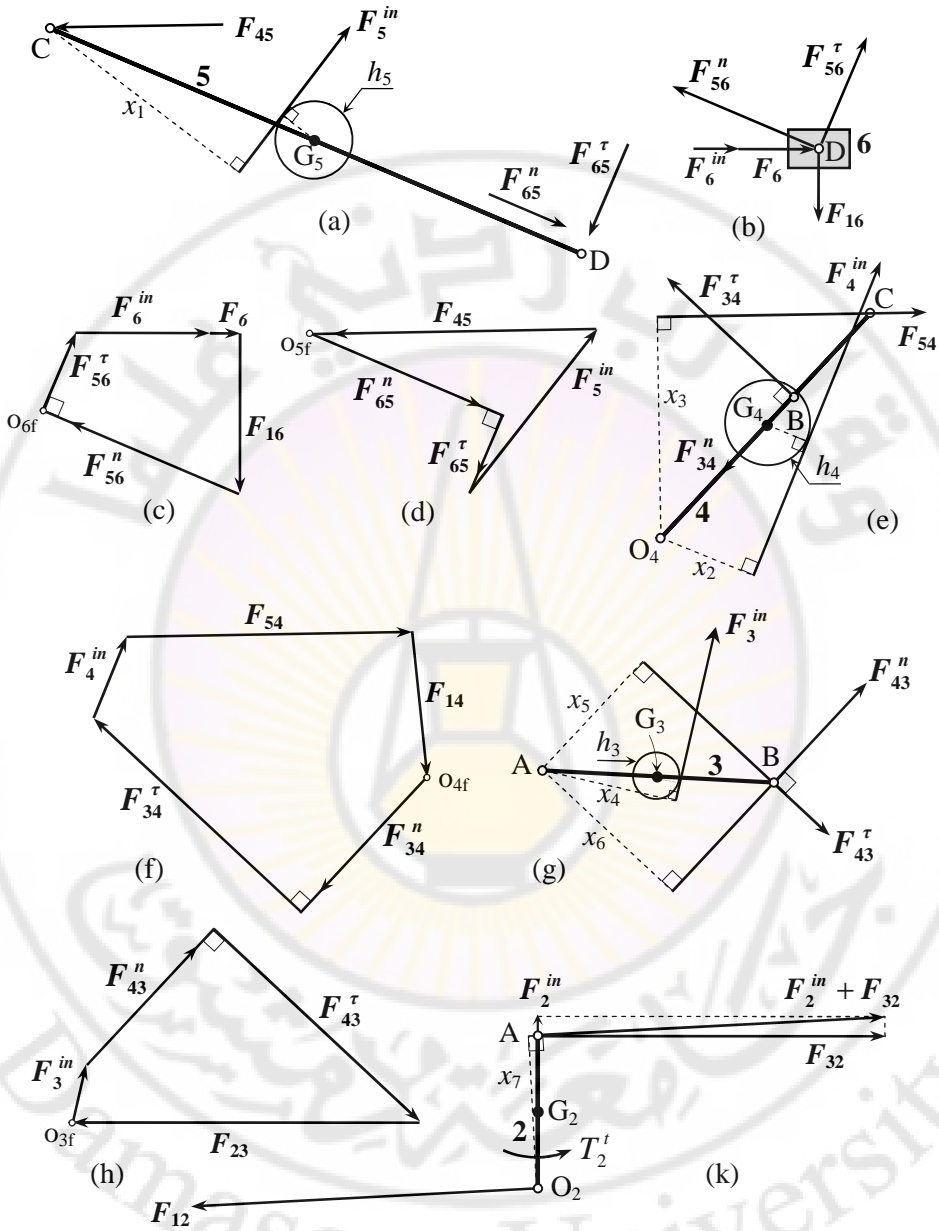
$$F_{23} = 4420 \text{ N}$$

يلاحظ بالتالي من مخطط الجسم الحر k في (الشكل-5-17) للوصلة 2 ، أن:

$$F_{12} = 4430 \text{ N}$$

ومنه فإن العزم T_2' اللازم لتوازن الوصلة 2 ، هو:

$$T_2' = F_{12} \cdot x_7 = 440 \text{ N.m}$$



(الشكل-5-17) مخططات التحليل المشترك للقوى الاستاتيكية والعطالية لتركيبة الجر .

إذا كان المطلوب تعيين قوة الارتجاج F_S ، فإنه يمكن رسم مخطط قوى يمثل قوى العطالة كافة بحيث تكون محصلتها هي F_S قيمة ، واتجاهاً . أما نقطة تأثيرها ، فإنها تحدد من معادلة العزوم حول أية نقطة في مستوى الحركة ، ولتكن O_2 مثلاً .

مسألة-5-2

مسألة امتحان الفصل الثاني من العام الدراسي 2006-2007

يبين (الشكل-5-18) أحد أوضاع تركيبية رباعية القضبان متصالبة ، حيث تدور الوصلة 2 بسرعة زاوية ثابتة ($\omega_2 = 40 \text{ rad/sec}$) باتجاه حركة عقارب الساعة ، وتؤثر في النقطة D من الوصلة 4 قوة ($F_D = 500 \text{ N}$) بالاتجاه المبين .

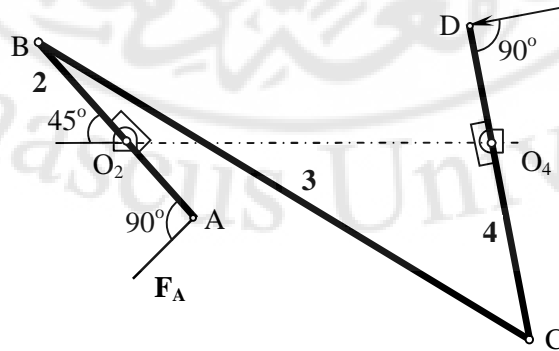
المطلوب بإهمال أوزان الوصلات وقوى الاحتكاك في الازدواجات الدورانية إجراء تحليل حركي ، وديناميكي كامل ؛ لتعيين القوى المنتقلة عند الازدواجات الدورانية تحت تأثير القوى العطالية ، والاستاتيكية ، وتحديد القوة F_A لازم التأثير بها في الوصلة 2 حتى تتحرك بسرعة زاوية ω_2 .

علماً أن الوصلتين 2 و 4 موازنتان بحيث يكون مركزا كتلتيهما منطبقين على مركزي دورانهما O_2 و O_4 ، ومركز كتل الوصلة 3 يقع في منتصفها ، وأن:

$O_2A = 7.5 \text{ cm}$	$AB = O_4C = 20 \text{ cm}$	$CD = 30 \text{ cm}$
$BC = 55 \text{ cm}$	$O_2O_4 = 35 \text{ cm}$	
$W_2 = 25 \text{ N}$	$W_3 = 35 \text{ N}$	$W_4 = 30 \text{ N}$
$I_{G_2} = 0.06 \text{ kg.m}^2$	$I_{G_3} = 0.1 \text{ kg.m}^2$	$I_{G_4} = 0.07 \text{ kg.m}^2$

باستعمال مقاييس الرسم الآتية:

- مقياس المخطط الحركي (5 cm من الأبعاد الحقيقية تعادل 1 cm على الرسم).
- مقياس مخطط السرعة ($160 \text{ cm/sec} \equiv 1 \text{ cm}$).
- مقياس مخطط التسارع ($5000 \text{ cm/sec}^2 \equiv 1 \text{ cm}$).
- مقياس مصلعات القوى ($200 \text{ N} \equiv 1 \text{ cm}$).



(الشكل-5-18) تركيبية رباعية القضبان متصالبة .

الحل:

استناداً لمخططات الحركة الموضحة في a , b , c في (الشكل-5-19) ، نحصل

على النتائج الآتية:

V (cm/sec)	ω (rad/sec)	A (cm/sec ²)	ε (rad/sec ²)	A_G (m/sec ²)
$V_B = 500$	$\omega_2 = 40$	$A_B = 20000$	$\varepsilon_2 = 0$	$A_{G_2} = 0$
$V_A = 300$	$\omega_3 = 7$	$A_A = 12000$	$\varepsilon_3 = 375$	$A_{G_3} = 188$
$V_C = 155$	$\omega_4 = 7.75$	$A_C = 22750$	$\varepsilon_4 = 1140$	$A_{G_4} = 0$
$V_D = 77.5$		$A_D = 11375$		

واستناداً لعلاقات تحديد المجموعة العطالية ، ومخططات الجسم الحر الموضحة في

f , e , d في (الشكل-5-19) ، نحصل على النتائج الآتية:

F^{in} (N)	T^{in} (N.m)	h (cm)	F (N)
$F_2^{in} = 0$	$T_2^{in} = 0$	$h_2 = 0$	$F_{34}^t = 149$
$F_3^{in} = 670$	$T_3^{in} = 37.5$	$h_3 = 5.6$	$F_{34}^n = 343$
$F_4^{in} = 0$	$T_4^{in} = 79.8$	$h_4 = \infty$	$F_{14} = 490$
			$F_{23} = 980$
			$F_{12} = 1160$
			$F_A = 425$

$$F_{34}^t = \frac{T_4^{in} - F_D \cdot O_4D}{O_4C} = \frac{79.8 - 500 \times 0.1}{0.2} = 149 \text{ N}$$

وأن:

$$F_{43}^n = \frac{F_3^{in} \cdot x_1 + F_{43}^t \cdot x_2}{x_3} = \frac{670 \times 2.7 + 149 \times 7.1}{8.35} = 343 \text{ N}$$

$$F_A = \frac{F_{32} \cdot x_4}{O_2A} = \frac{980 \times 0.65 \times 5}{7.5} = 425 \text{ N}$$

بينا في الفقرة (2-11) وظيفة المنظم كتركيبة آلية تستعمل في تنظيم القدرة الناتجة من آلة لتلائم تغيرات الحمل المطبق عليها ؛ إضافة إلى توضيح مبدأ عمل أهم أنواعها . بما أن القوى المؤثرة في وصلات المنظم هي بوجه عام قوى نابذة أو عطالية ، وقوى شد أو انضغاط نابضية ، فإنه يفضل إجراء الدراسة الديناميكية للمنظمات تحليلياً استناداً إلى مبادئ التحريك الأساسية ؛ خاصة أن اتجاه هذه القوى ، ونقاط تأثيرها تحدد بسهولة انطلاقاً من نوع المنظم ، وآلية حركته .

يمكن توضيح أهم الأسس المعتمدة في التحليل الديناميكي للمنظمات من خلال الأمثلة النموذجية الآتية.

مسألة-5-3

يبين الرسم a من (الشكل-5-20) تخطيطاً لتركيبية منظم هارنتل (Hartnell) ، الذي يعمل بتأثير قوة الطرد المركزي كما أشرنا سابقاً في الفقرة (2-11-1)، حيث الأبعاد:

$$a = 60 \text{ mm} , \quad b = 120 \text{ mm} , \quad c = 100 \text{ mm}$$

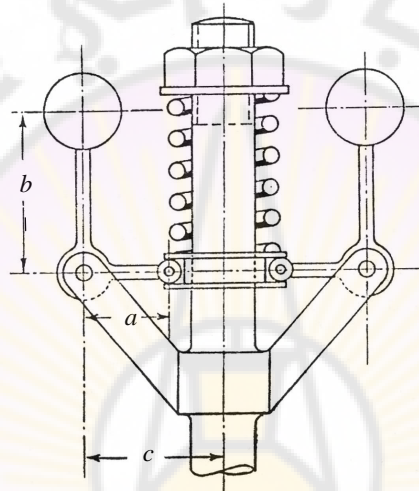
ووزن كل من كرتيه ($W = 25 \text{ N}$) ، ويدور بسرعة 300 r.p.m عندما يكون الذراع الحامل لكل من كرتيه شاقولياً ، كما في الرسم a من (الشكل-5-20).

فإذا كان ازدياد السرعة بمقدار 3% يؤدي إلى انزلاق الجلبة 6 mm ، المطلوب بإهمال تأثير وزن كل من الكرتين ، وتأثير ميل الأذرع ، الآتي:

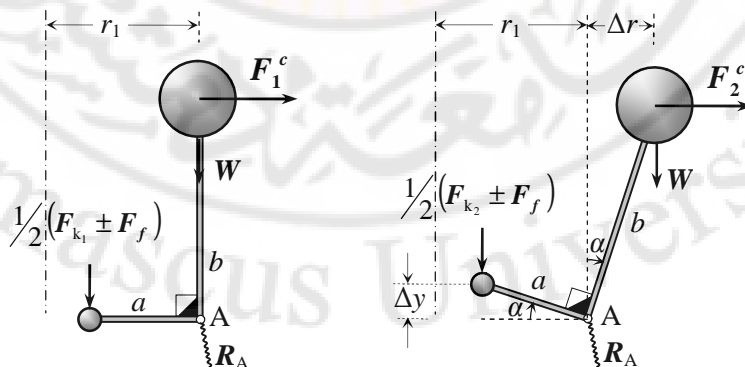
1. تعيين عامل صلابة النابض .
2. تعيين مجال سرعات عمل المنظم الذي تبقى خلاله الجلبة ثابتة عند الوضع الجديد 6 mm فوق الوضع السابق ، إذا كانت قوة الاحتكاك المؤثرة عند الجلبة 28 N ، ومن ثم تعيين معامل عدم حساسية المنظم .
3. تعيين جهد المنظم ، وقدرته عند ازدياد فجائي للسرعة بنسبة 3% ، بإهمال قوة الاحتكاك المؤثرة عند الجلبة .

الحل:

يتم عادة عند تحليل القوى في المنظمات النابذة إهمال تأثير وزن الأذرع المرفقية المتصلة بالكرات من جهة وبالجلبة المنزلقة من جهة أخرى ؛ لأن تأثيرها صغير جداً بالمقارنة مع بقية القوى المؤثرة في وصلات المنظم .



a- تخطيط لتركيبية منظم هارنتل (*Hartnell*).



c- مخطط الجسم الحر عند الوضع (n_2, r_2) .
b- مخطط الجسم الحر عند الوضع (n_1, r_1) .
(الشكل-5-20)

1. يعين عامل صلابة النابض من العلاقة الفيزيائية لقوة مرونة النابض:

$$F_k = K(\Delta l_{in} + y)$$

حيث:

K تمثل عامل صلابة النابض .

Δl_{in} تمثل الانضغاط الابتدائي للنابض .

y تمثل الانضغاط الإضافي للنابض الناتج من حركة الجلبة إلى الأعلى ، ويساوي المسافة الشاقولية التي يتحركها الدحرج المتصل بالجلبة .

فعند سرعة الدوران ($n_1 = 300$ r.p.m) الموافقة لنصف قطر دوران مركز الكرة ($r_1 = c = 100$ mm) ، فإن قوة النابض F_{k_1} في هذا الوضع ، هي:

$$F_{k_1} = K(\Delta l_{in} + y_1) \quad (1)$$

وبعد ازدياد السرعة إلى:

$$n_2 = n_1 + 0.03 n_1 = 300 (1 + 0.03) = 309 \text{ r.p.m}$$

الموافقة لنصف قطر دوران مركز الكرة ($r_2 = r_1 + \Delta r_{21}$) ، فإن قوة النابض F_{k_2} في هذا الوضع ، هي:

$$F_{k_2} = K(\Delta l_{in} + y_2) \quad (2)$$

ب طرح المعادلتين (1) ، (2) ، تنتج علاقة تغير قوة النابض:

$$F_{k_2} - F_{k_1} = K(y_2 - y_1) = K \cdot \Delta y_{21}$$

منه علاقة عامل صلابة النابض:

$$K = \frac{F_{k_2} - F_{k_1}}{\Delta y_{21}} \quad (3)$$

حيث ($\Delta y_{21} = 6$ mm) تمثل مقدار انضغاط النابض الذي يساوي إلى إزاحة الجلبة المتناسب مع إزاحة مركز الكرة Δr_{21} ، والموافق لازدياد السرعة مقدار n_1 3% .

كما تحسب قوة النابض F_{k_1} استناداً إلى علاقات التوازن الديناميكي للوصلة المرفقية القائمة ، حيث ينتج من معادلة العزوم حول A وفق مخطط الجسم الحر للوصلة المرفقية القائمة الموضح في b في (الشكل-5-20) ، الذي يبين القوى المؤثرة في كرة المنظم ، والذراع المرفقية ، والقوة التي يخضع لها كل من الدحرجين ، والتي تساوي لنصف قيمة القوة المؤثرة في الجلبة على طول محور الدوران ، أن:

$$F_1^c \cdot b = \frac{1}{2} (F_{k_1} \pm F_f) a$$

حيث F_f تمثل قوة الاحتكاك عند الجلبة ، ومن الواضح أنها إلى الأسفل عند حركة الجلبة إلى الأعلى والعكس بالعكس . سنهمل هذه القوة في مجال حل هذا الطلب في هذا المثال بخاصة أنها لا تؤثر في أسس التحليل لكونها - إن وجدت - ثابتة القيمة .

أما F^c تمثل قوة العطالة النابذة المؤثرة في مركز الكرة ، وهي بشكل عام:

$$F^c = M \cdot \omega^2 \cdot r$$

حيث $(M = W/g)$ تمثل كتلة الكرة ، وتساوي إلى $(M = 25/9.81 = 2.55 \text{ kg})$. وعند سرعة الدوران $(\omega_1 = 2\pi n_1/60 = 31.4 \text{ rad/sec})$ الموافقة لنصف قطر دوران مركز الكرة $(r_1 = 0.1 \text{ m})$ ، فإن قوة العطالة النابذة F_1^c المؤثرة في الكرة ، هي:

$$F_1^c = M \cdot \omega_1^2 \cdot r_1$$

بالتعويض:

$$F_1^c = \frac{25}{9.81} \times \left(\frac{2p \times 300}{60} \right)^2 \times \frac{100}{1000} = 251.26 \text{ N}$$

بالتالي نحصل من علاقة العزم أن:

$$F_1^c \cdot b = \frac{1}{2} F_{k_1} \cdot a \Rightarrow F_{k_1} = \frac{2b}{a} F_1^c$$

منه بالتعويض نحصل على قوة النابض:

$$F_{k_1} = 1005 \text{ N}$$

وتحسب قوة النابض F_{k_2} استناداً إلى علاقات التوازن الديناميكي للوصلة المرفقية القائمة ، حيث ينتج من معادلة العزوم حول A وفق مخطط الجسم الحر للوصلة المرفقية القائمة الموضح في c (الشكل-5-20) ، أن:

$$F_2^c \cdot b \cdot \cos a = \frac{1}{2} F_{k_2} \cdot a \cdot \cos a - W \cdot b \cdot \sin a$$

باعتبار α صغيرة بحيث $(\sin a \approx 0)$ ، مما يؤدي إلى إهمال تأثير وزن الكرات ، وتؤول معادلة العزم إلى:

$$F_2^c \cdot b = \frac{1}{2} F_{k_2} \cdot a$$

يلاحظ أن معادلة العزم هي نفسها لأوضاع الوصلة القائمة جميعها ، ومنه:

$$F_{k_2} = \frac{2b}{a} F_2^c$$

فعند سرعة الدوران $(\omega_2 = 2\pi n_2/60 = 32.34 \text{ rad/sec})$ الموافقة لنصف قطر دوران مركز الكرة $(r_2 = r_1 + \Delta r_{21})$ ، فإن قوة العطالة النابذة F_2^c المؤثرة في الكرة ، هي:

$$F_2^c = M \cdot \omega_2^2 \cdot r_2$$

حيث يلاحظ على مخطط الجسم الحر للوصلة المرفقية القائمة عند هذا الوضع الموضح في c من (الشكل-5-20) ، دوران الوصلة زاوية α حول A ، أن:

$$\sin a = \frac{\Delta r_{21}}{b} = \frac{\Delta y_{21}}{a} \Rightarrow \Delta r_{21} = \frac{b}{a} \cdot \Delta y_{21} = \frac{120}{60} \times 6 = 12 \text{ mm}$$

منه يكون نصف قطر الدوران:

$$r_2 = r_1 + \Delta r_{21} = 112 \text{ mm}$$

ومنه قوة العطالة النابذة:

$$F_2^c = \frac{25}{9.81} \times \left(\frac{2p \times 309}{60} \right)^2 \times \frac{112}{1000} = 298.55 \text{ N}$$

بالتعويض نحصل على قوة النابض:

$$F_{k_2} = 1194.22 \text{ N}$$

وبالتعويض في المعادلة (3):

$$K = 31.54 \text{ N/mm} = 31.54 \text{ kN/m}$$

تجدر الإشارة إلى أن إهمال تأثير وزن كل من الكرتين لا يؤثر في أسس التحليل السابق ؛ نظراً لأن تأثيره في معادلة العزوم ضئيل جداً بالمقارنة مع القوة النابذة وقوة العطالة ؛ بسبب كون زاوية ميل الأذرع صغيرة في معظم التطبيقات العملية ، ويلاحظ أنها في هذا المثال :

$$\sin a = 0.1 \Rightarrow a \cong 6^\circ$$

مما يسمح اعتبار معادلة العزم هي نفسها لجميع أوضاع الوصلة المرفقية القائمة حاملة الكرة .

2. يتم تعيين مجال سرعات عمل المنظم الذي تبقى خلاله الجلبة ثابتة عند الوضع الجديد 6 mm فوق الوضع السابق ، بتعيين سرعة المنظم ω_{2f} عند هذا الوضع مع عدّ قوة الاحتكاك المؤثرة عند الجلبة ، وذلك من علاقة القوة النابذة:

$$(F_2^c)_f = M \cdot (w_2^2)_f \cdot r_2 \Rightarrow (w_2^2)_f = \frac{1}{M \cdot r_2} (F_2^c)_f$$

وتحسب $(F_2^c)_f$ قوة العطالة النابذة من تطبيق علاقة العزم عند الوضع المذكور:

$$(F_2^c)_f \cdot b = \frac{1}{2} (F_{k_2} \pm F_f) a \Rightarrow (F_2^c)_f = \frac{a}{2b} (F_{k_2} \pm F_f)$$

بالتعويض نحصل على:

$$(F_2^c)_f = \frac{60}{2 \times 120} (1194.22 \pm 28) = 298.55 \pm 7 \text{ N}$$

بالتعويض في علاقة السرعة الزاوية نحصل على:

$$(w_2^2)_f = \frac{1}{(25/9.81) \times 0.112} (298.55 \pm 7) = 1046 \pm 24.5$$

منه حدود مجال السرعة عند r_2 ، من:

$$(w_2^2)_f'' = 1046 - 24.5 = 1021.5 \text{ rad}^2 / \text{sec}^2$$

$$(w_2)_f'' = 31.96 \text{ rad/sec} \Rightarrow (n_2)_f'' = 305.36 \text{ r.p.m}$$

إلى:

$$(w_2^2)_f' = 1046 + 24.5 = 1070.5 \text{ rad}^2 / \text{sec}^2$$

$$(w_2)_f' = 32.72 \text{ rad/sec} \Rightarrow (n_2)_f' = 312.59 \text{ r.p.m}$$

بالتالي تكون حدود مجال السرعة عند r_2 ، هي:

$$305 \text{ r.p.m} \Rightarrow 313 \text{ r.p.m}$$

ومعامل عدم الحساسية عنده:

$$m_n = \frac{w' - w''}{w_{av.}} = \frac{2(w' - w'')}{w' + w''} = \frac{2(32.72 - 31.96)}{32.72 + 31.96} = 0.023$$

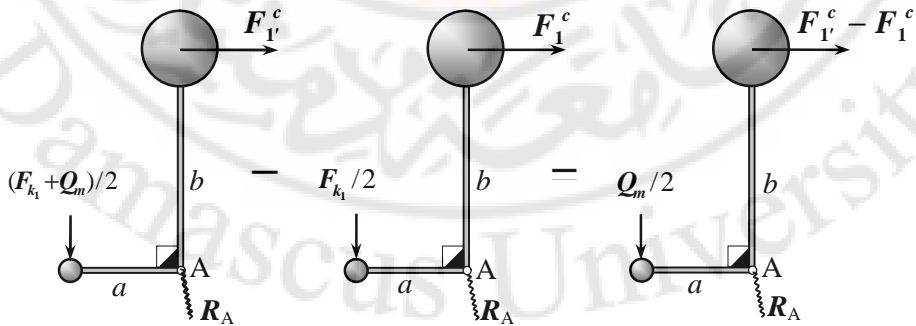
3. يمثل جهد المنظم Q القوة الوسطية التي يؤثر بها المنظم في الجلبة عند تغير مفاجئ في السرعة . من الواضح أن الجهد يساوي الصفر عند سرعة ائزان ثابتة ، لكن عند حدوث تغير مفاجئ في هذه السرعة ، فإن قوة آنية Q_m ستؤثر في الجلبة ؛ وبالتالي تنتقل عبر وسيلة التحكم المستعملة لتنظيم سرعة الآلة . تتناقص هذه القوة الآنية تدريجياً حتى تصبح معدومة عند وصول الجلبة إلى وضع الاتزان الجديد ، ومنه فإن الجهد يعطى بالعلاقة:

$$Q = Q_m / 2$$

يمكن تعيين قيمة القوة الآنية بسهولة استناداً إلى مبدأ الفعل ورد الفعل ، حيث تساوي القوة لازم التأثير بها عند الجلبة لمنعها من الحركة ، نتيجة ازدياد السرعة المفاجئ الذي حدد في المثال بمقدار 3% من سرعة الاتزان الابتدائية 300 r.p.m .

تصبح مخططات الجسم الحر للوصلة المرفقية القائمة عندئذ ، كما في (الشكل-5-21) ، حيث ينتج من معادلات العزوم حول A للأوضاع الثلاثة ، أن:

$$(1/2) Q_m \cdot a = (F_{1'}^c - F_1^c) b \Rightarrow Q_m = \frac{2b}{a} (F_{1'}^c - F_1^c)$$



لحظة زيادة السرعة

قبل زيادة السرعة

تحت تأثير Q_m

(الشكل-5-21) مخطط الجسم الحر للوصلة القائمة .

حيث:

$$F_1^c = M \cdot \omega_2^2 \cdot r_1 = 266.56 \text{ N}$$

ومنه بالتعويض في علاقة القوة الآتية:

$$Q_m = 61.22 \text{ N}$$

منه جهد المنظم:

$$Q = Q_m / 2 = 30.6 \text{ N}$$

أما قدرة المنظم E فهي العمل الناتج من المنظم خلال انزلاق الجلبة الموافق لزيادة السرعة ؛ أي إن:

$$E = Q \cdot \Delta y_{12}$$

منه:

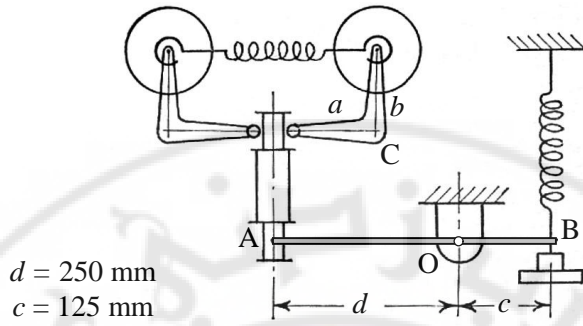
$$E = Q \cdot \Delta y_{21} = 183.6 \text{ N.mm}$$

مسألة-4-5

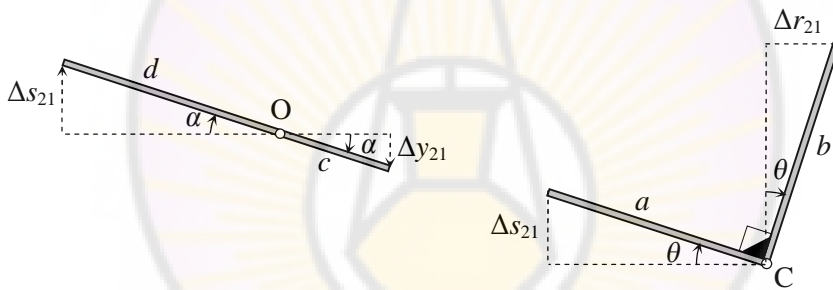
يبين الرسم a في (الشكل-5-22) تخطيطاً لتركيبية منظم ويلسون - هارتنل (*Wilson - Hartnell*) ، حيث كتلة كل كرة 2.3 kg ، ومجال سرعات عمل المنظم $240, 252 \text{ r.p.m}$ عند نصفي القطرين الحديين $125, 175 \text{ mm}$ على التوالي .
الوصلة المرفقية الحاملة للكرة قائمة الزاوية ذات ضلعين متساويين ، وعامل الصلابة المكافئ للنابضين الرئيسيين يساوي 800 N/m .

المطلوب بعد إهمال تأثير الوزن ، وقوى الاحتكاك وميل الأذرع الآتي:

1. تعيين عامل صلابة النابض المساعد .
2. حساب جهد المنظم ، وقدرته عند نصف قطر دوران 150 mm ، وازدياد في السرعة بنسبة 1% من سرعة الاتزان عند هذا الوضع .
3. إذا فرض عدم وجود النابض المساعد ، فما هو عامل الصلابة والطول الحر اللازم لكل من النابضين الرئيسيين .

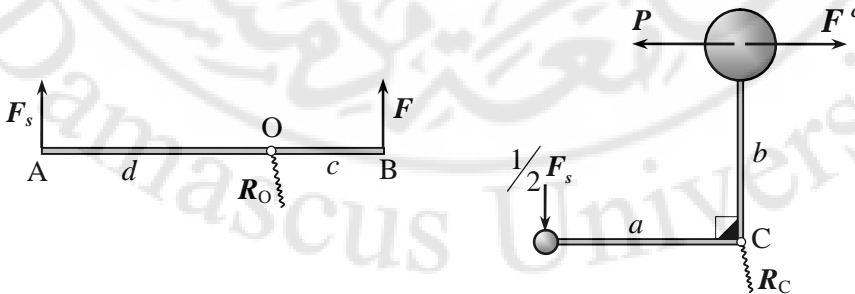


a- تخطيط لتركيبية منظم ويلسون - هارتنل (Wilson - Hartnell).



b- دوران الوصلة الأفقية.

c- دوران الوصلة القائمة.



d- مخطط الجسم الحر للوصلة الأفقية.

e- مخطط الجسم الحر للوصلة القائمة.

(الشكل-5-22)

الحل

1. يعين عامل صلابة النابض المساعد من العلاقة الفيزيائية لقوة نابض:

$$F = K_F (\Delta l_{in}^F + y)$$

بالتعويض في الوضعين (r_1, n_1) ، (r_2, n_2) على التوالي ، والطرح تنتج علاقة تغير قوة النابض:

$$\Delta F_{21} = K_F \cdot \Delta y_{21}$$

منه علاقة عامل صلابة النابض المساعد:

$$K_F = \frac{\Delta F_{21}}{\Delta y_{21}} \quad (1)$$

حيث Δy_{21} تمثل انضغاط النابض المساعد الذي يساوي انتقال الطرف الأيمن B من الوصلة الأفقية AB الذي يحسب من حركة دوران AB حول المسند الثابت O ، المبين في المخطط b في (الشكل-5-22):

$$\sin a = \frac{\Delta y_{21}}{c} = \frac{\Delta s_{21}}{d} \Rightarrow \Delta y_{21} = \frac{c}{d} \Delta s_{21} \quad (2)$$

حيث Δs_{21} تمثل انتقال الطرف الأيسر A من الوصلة الأفقية AB الذي يساوي إزاحة الجلبة ؛ أي انتقال طرف الوصلة القائمة حاملة الكرة المتمفصلة معها ، والذي يحسب من حركة دوران الوصلة القائمة حول C ، المبين في المخطط c في (الشكل-5-22):

$$\sin q = \frac{\Delta s_{21}}{a} = \frac{\Delta r_{21}}{b} \Rightarrow \Delta s_{21} = \frac{a}{b} \Delta r_{21} \quad (3)$$

بالتعويض نحصل على إزاحة الجلبة:

$$\Delta s_{21} = \frac{a}{b} (r_2 - r_1) = 175 - 125 = 50 \text{ mm}$$

بالتعويض في (2) نحصل على انضغاط النابض المساعد:

$$\Delta y_{21} = \frac{125}{250} 50 = 25 \text{ mm}$$

ويحسب ΔF_{21} ، تغير قوة مرونة النابض المساعد ، من علاقات التوازن الديناميكي للوصلة الأفقية ، حيث ينتج من معادلة العزوم حول O وفق مخطط الجسم الحر للوصلة الأفقية المبين في d (الشكل-5-22) ، أن:

$$F \cdot c = F_s \cdot d \Rightarrow F = \frac{d}{c} F_s$$

منه علاقة تغير قوة مرونة النابض المساعد:

$$\Delta F_{21} = \frac{d}{c} \Delta F_{s21} \quad (4)$$

ويحسب ΔF_{s21} ، تغير القوة المؤثرة في الجلبة ، من علاقات التوازن الديناميكي للوصلة القائمة ، حيث ينتج من معادلة العزوم حول C وفق مخطط الجسم الحر للوصلة المرفقية القائمة المبين في e (الشكل-5-22) ، أن:

$$\frac{1}{2} F_s \cdot a = F^c \cdot b - P \cdot b \Rightarrow F_s = \frac{2b}{a} (F^c - P)$$

منه علاقة تغير القوة المؤثرة في الجلبة:

$$\Delta F_{s21} = \frac{2b}{a} (\Delta F_{21}^c - \Delta P_{21}) \quad (5)$$

ويحسب ΔP_{21} ، تغير قوة مرونة النابض الرئيس ، من تغير العلاقة الفيزيائية لقوة نابض:

$$\Delta P_{21} = K_P \cdot \Delta x_{21} = K_P (2\Delta r_{21}) \quad (6)$$

بالتعويض نحصل على:

$$\Delta P_{21} = 2 \times 800 (0.175 - 0.125) = 80 \text{ N}$$

ويحسب ΔF_{21}^c ، تغير قوة العطالة النابذة ، من تغير علاقة القوة النابذة لمركز الكرة:

$$\Delta F_{21}^c = F_2^c - F_1^c \quad (7)$$

حيث:

$$F_2^c = M \cdot \omega_2^2 \cdot r_2 = 2.3 \left(\frac{2p \times 252}{60} \right)^2 \times 0.175 = 280.3 \text{ N}$$

$$F_1^c = M \cdot \omega_1^2 \cdot r_1 = 2.3 \left(\frac{2p \times 240}{60} \right)^2 \times 0.125 = 181.6 \text{ N}$$

بالتعويض في (7) نحصل على تغير قوة العطالة النابذة:

$$\Delta F_{21}^c = 98.7 \text{ N}$$

بالتعويض في (5) نحصل على تغير القوة المؤثرة في الجلبة:

$$\Delta F_{s21} = 37.4 \text{ N}$$

بالتعويض في (4) نحصل على تغير قوة مرونة النابض المساعد:

$$\Delta F_{21} = 74.8 \text{ N}$$

بالتعويض في (1) نحصل على عامل صلابة النابض المساعد:

$$K_F \approx 3 \text{ N/mm} = 3000 \text{ N/m}$$

2. لحساب جهد المنظم Q عند ازدياد في السرعة بنسبة 1 % من سرعة الاتزان ، عند الوضع الموافق لنصف قطر دوران ($r_3 = 150 \text{ mm}$) يقع بين الوضعين الحديين ، يتطلب تحديد سرعة الاتزان عند الوضع الموافق لـ r_3 ، وذلك من علاقة قوة العطالة النابذة عند هذا الوضع:

$$F_3^c = M \cdot w_3^2 \cdot r_3 \Rightarrow w_3 = \left(\frac{F_3^c}{M \cdot r_3} \right)^{1/2}$$

تحتسب F_3^c من علاقتها مع تغيرها مع قوة العطالة النابذة للوضع الحدي الأول المعلوم:

$$\Delta F_{31}^c = F_3^c - F_1^c \Rightarrow F_3^c = \Delta F_{31}^c + F_1^c$$

ويحسب ΔF_{31}^c تغير القوة النابذة بين وضعين من العلاقة (5):

$$\Delta F_{31}^c = \frac{a}{2b} \Delta F_{s31} + \Delta P_{31}$$

ويحسب ΔP_{31} تغير قوة مرونة النابض الرئيس من العلاقة (6):

$$\Delta P_{31} = K_P \cdot \Delta x_{31} = K_P (2\Delta r_{31})$$

بالتعويض نحصل على:

$$\Delta P_{31} = 2 \times 800 (0.150 - 0.125) = 40 \text{ N}$$

ويحسب $\Delta F_{s_{31}}$ تغير القوة المؤثرة في الجلبة من العلاقة (4):

$$\Delta F_{s_{31}} = \frac{c}{d} \Delta F_{31}$$

ويحسب ΔF_{31} تغير قوة مرونة النابض المساعد من العلاقة (1):

$$\Delta F_{s_{31}} = \frac{c}{d} K_F \cdot \Delta y_{31}$$

ويحسب Δy_{31} انضغاط النابض المساعد من العلاقة (2):

$$\Delta F_{s_{31}} = \frac{c}{d} K_F \cdot \frac{c}{d} \Delta s_{31}$$

ويحسب Δs_{31} انتقال الجلبة من العلاقة (3):

$$\Delta F_{s_{31}} = \left(\frac{c}{d}\right)^2 K_F \cdot \frac{a}{b} (r_3 - r_1)$$

بالتعويض نحصل على تغير القوة المؤثرة في الجلبة:

$$\Delta F_{s_{31}} = \left(\frac{125}{250}\right)^2 \times 3000 \times (0.150 - 0.125) = 18.75 \text{ N}$$

منه بالتعويض في علاقة ΔF_{31}^c :

$$\Delta F_{31}^c = \frac{18.75}{2} + 40 = 49.375 \text{ N}$$

منه بالتعويض في علاقة F_3^c :

$$F_3^c = \Delta F_{31}^c + F_1^c = 49.375 + 181.6 \cong 231 \text{ N}$$

منه بالتعويض في علاقة ω_3 نحصل على سرعة الاتزان ، وعدد الدورات عند الوضع الموافق لـ r_3 :

$$\omega_3 = \left(\frac{F_3^c}{M \cdot r_3} \right)^{1/2} = \left(\frac{231}{2.3 \times 0.150} \right)^{1/2} = 25.87 \text{ rad/sec} \Rightarrow n_3 \approx 247 \text{ r.p.m}$$

إن جهد المنظم Q يمثل القوة الوسطية للقوة الآتية Q_m التي يؤثر بها المنظم في الجلبة لحظة زيادة السرعة إلى:

$$n_4 = n_3 + 0.01n_3 = 1.01n_3 = 249.5 \text{ r.p.m} , \quad w_4 = 26.13 \text{ rad/sec}$$

ويعطى بالعلاقة:

$$Q = Q_m / 2$$

وتحسب القوة الآتية Q_m من علاقات التوازن الديناميكي للوصلة المرفقية القائمة لحظة زيادة السرعة من الوضع المحدد بنصف قطر r_3 . تصبح مخططات الجسم الحر للوصلة المرفقية القائمة عندئذ كما في (الشكل-5-23) ، حيث ينتج من معادلات العزوم حول C للأوضاع الثلاث ، أن:

$$(Q_m / 2) a = (F_{3'}^c - F_3^c) b$$

منه القوة الآتية:

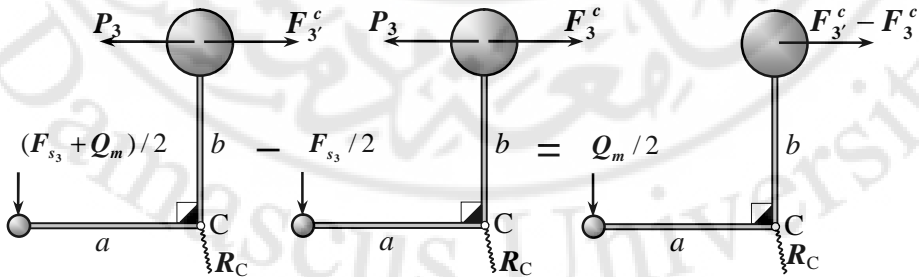
$$Q_m = \frac{2b}{a} (F_{3'}^c - F_3^c) = \frac{2b}{a} [M(w_{3'}^c)^2 \cdot r_3 - M(w_3^c)^2 \cdot r_3]$$

بالتعويض بالقيم:

$$Q_m = 2 \times 2.3 \times 0.15 [(26.12)^2 - (25.87)^2] \approx 9.3 \text{ N}$$

منه جهد المنظم:

$$Q = 4.65 \text{ N}$$



تحت تأثير Q_m . قبل زيادة السرعة . لحظة زيادة السرعة .

(الشكل-5-23) مخطط الجسم الحر للوصلة القائمة .

وتحسب قدرة المنظم E لحظة زيادة السرعة من العلاقة:

$$E = Q \cdot \Delta s_{34}$$

ويحسب Δs_{34} ، انتقال الجلبة الموافق لازدياد السرعة من العلاقة (3):

$$\Delta s_{34} = \frac{a}{b} \Delta r_{34} = \frac{a}{b} (r_4 - r_3)$$

ويحسب r_4 ، نصف قطر الدوران الموافق لـ $(n_4 = 249.5 \text{ r.p.m})$ من العلاقة (1):

$$\Delta F_{43}^c = \frac{a}{2b} \Delta F_{s_{43}} + \Delta P_{43}$$

أي:

$$F_4^c - F_3^c = \frac{a}{2b} (F_{s_4} - F_{s_3}) + (P_4 - P_3)$$

باستخدام العلاقات (4),(1),(2),(3),(6) ، يمكن كتابة العلاقة الأخيرة بدلالة مجهول واحد r_4 :

$$m \cdot \omega_4^2 \cdot r_4 - F_3^c = \frac{1}{8} K_f (r_4 - r_3) + 2K_p (r_4 - r_3)$$

بالتعويض بالقيم:

$$2.3(26.13)^2 r_4 - 230.95 = 0.125 \times 3000 (r_4 - 0.15) + 2 \times 800 (r_4 - 0.15)$$

منه نصف قطر الدوران:

$$404.4 r_4 = 65.3 \Rightarrow r_4 = 0.16147 \text{ m} = 161.47 \text{ mm}$$

وبالتعويض في علاقة Δs_{34} انتقال الجلبة:

$$\Delta s_{34} = 161.47 - 150 = 11.47 \text{ mm}$$

وبالتعويض في علاقة E قدرة المنظم:

$$E = 4.65 \times 11.47 = 53.33 \text{ N.mm}$$

3. يمكن إيجاد عامل الصلابة K'_p والطول الحر l' للنابض البديل عن النابضين الرئيسيين في حالة عدم وجود النابض المساعد ($K_F = 0$). من تطبيق العلاقة الفيزيائية لقوة نابض على النابض البديل .

$$P' = K'_p (\Delta l_{in}^{P'} + x')$$

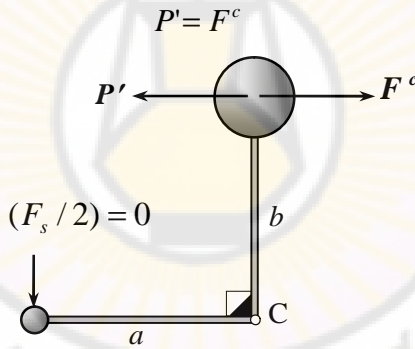
تحتسب P' من تطبيق علاقة التوازن الديناميكي على الوصلة القائمة عند وضع عام كما في (الشكل-5-24) ، حيث ينتج من معادلات العزوم حول C ، أن:

$$\frac{1}{2} F_s \cdot a = (F^c - P') \cdot b$$

حيث F_s القوة المؤثرة في الجلبة وتساوي استناداً إلى العلاقة (4) ، ومن ثم إلى العلاقة (1):

$$F_s = \frac{c}{d} \cdot F = \frac{c}{d} K_F (\Delta l_{in}^F + y) = 0$$

منه بالتعويض نحصل على أن:



(الشكل-5-24) مخطط الجسم الحر للوصلة القائمة مع النابض الرئيس البديل .

بالنسبة للوضع الموافق لـ (n_1, r_1) :

$$P'_1 = F_1^c \Rightarrow K'_p (2r_1 - l') = 181.6 \text{ N}$$

بالنسبة للوضع الموافق لـ (n_2, r_2) :

$$P'_2 = F_2^c \Rightarrow K'_p (2r_2 - l') = 280.3 \text{ N}$$

معادلتان بمجهولين هما K'_p, l' ، بحلها نحصل على:

$$K'_p = 987 \text{ N/m} , \quad l' = 66 \text{ mm}$$

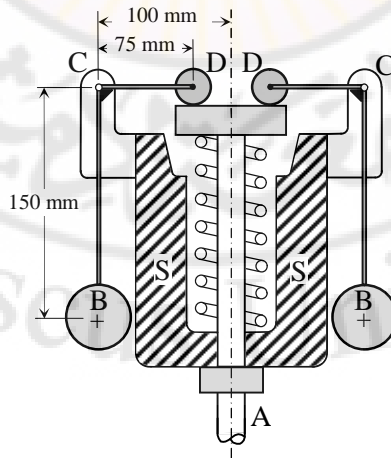
مسألة-5-5

يبين (الشكل-5-25) تخطيطاً لتركيبية منظم مشترك التحميل ، محوره A مقيد الحركة في الاتجاه الشاقولي . تتصل كل من كرتيه بوصلة مرفقية قائمة الزاوية BCD ، تتمفصل مع الجلبة عند C ، ومجهزة بدحروجين في D يضغطان على السطح العلوي للمحور ؛ مما يؤدي إلى رفع الجلبة إلى الأعلى ، وانضغاط النابض المحصور بين الجلبة والمحور A .

فإذا كانت كتلة كل من الكرتين ($m = 2.7 \text{ kg}$) ، كتلة الجلبة ($m_s = 13.5 \text{ kg}$) وقوة الاحتكاك عند الجلبة ($F_f = 22 \text{ N}$) ، وقوة انضغاط النابض عندما تكون الجلبة في أخفض وضع لها هي ($P_1 = 475 \text{ N}$) عند نصف قطر دوران الكرتين ($r_1 = 100 \text{ mm}$) ، كما هو مبين في (الشكل-5-25) .

المطلوب بإهمال كتلة الوصلتين المرفقتين والدحروجين المتصلين بهما ، وبالأخذ بالحسبان تأثير كل من وزن الكرتين وميل الأذرع ، إيجاد الآتي:

1. السرعة الزاوية التي تبدأ عندها الجلبة بالحركة نحو الأعلى من أخفض وضع لها .
2. عامل صلابة النابض المستعمل ، إذا كانت زيادة في السرعة قدرها 10% من سرعة الاتزان الأولى تؤدي إلى ارتفاع الجلبة بمقدار 6 mm .
3. جهد المنظم ، وقدرته عند ازدياد مفاجئ في السرعة بين الوضعين المذكورين أعلاه .



(الشكل-5-25) تخطيط لتركيبية منظم مشترك التحميل .

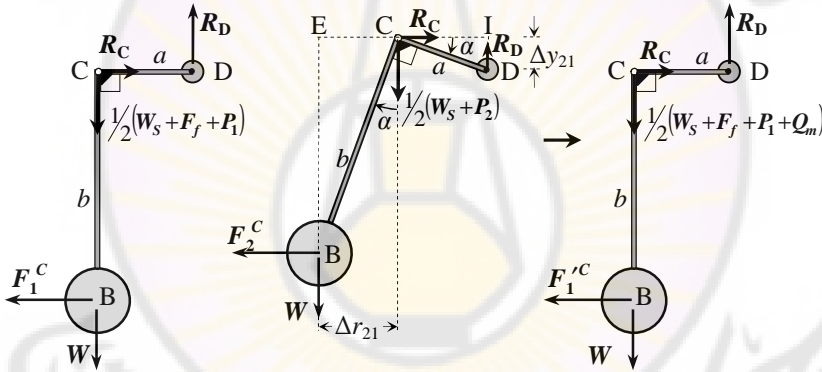
الحل:

1. تحسب السرعة الزاوية ω_1 في الموضع الموافق لـ r_1 ، n_1 ، من علاقة قوة العطالة النابذة F_1^c المؤثرة في مركز الكرة:

$$F_1^c = m \cdot \omega_1^2 \cdot r_1 \Rightarrow \omega_1^2 = \frac{F_1^c}{m \cdot r_1} = \frac{F_1^c}{2.7 \times 0.1} = \frac{F_1^c}{0.27}$$

وتحسب قوة العطالة النابذة F_1^c من علاقات التوازن الديناميكي للوصلة القائمة حاملة الكرة لحظة بدء حركة الجلبة نحو الأعلى ، الموضحة في المخطط a في (الشكل-5-26) ، حيث ينتج من معادلة العزم حول D ، أن:

$$F_1^c \cdot b = [W + \frac{1}{2}(W_s + F_f + P_1)] \cdot a$$



c- تأثير Q_m . b- في الموضع n_1 ، r_1 . a- في الموضع n_1 ، r_1 . (الشكل-5-26) مخطط الجسم الحر للوصلة القائمة .

بالتعويض بالقيم نحصل على قيمة القوة النابذة:

$$F_1^c = \frac{75}{150} [2.7 \times 9.81 + \frac{1}{2} (13.5 \times 9.81 + 22 + 475)] = 170.6 \text{ N}$$

بالتعويض في علاقة السرعة الزاوية:

$$\omega_1^2 = \frac{170.6}{0.27} = 631.85 \text{ rad}^2 / \text{sec}^2$$

منه نحصل على السرعة التي تبدأ عندها الجلبة بالحركة نحو الأعلى:

$$\omega_1 = 25.14 \text{ rad/sec} \Rightarrow n_1 = 25.14 \times 60 / 2\pi = 240 \text{ r.p.m}$$

2. يحسب عامل صلابة النابض من العلاقة الفيزيائية لقوة نابض:

$$P = K(\Delta l_{in} + y)$$

منه علاقة تغير قوة النابض:

$$P_2 - P_1 = K(y_2 - y_1)$$

منه علاقة عامل صلابة النابض:

$$K = \frac{P_2 - P_1}{\Delta y_{21}}$$

حيث لدينا:

$$P_1 = 475 \text{ N} , \quad \Delta y_{21} = 6 \text{ mm}$$

وتحسب P_2 من علاقة التوازن الديناميكي للوصلة القائمة حاملة الكرة عند الوضع الموافق لـ n_2, r_2 ، الموضحة في المخطط b في (الشكل-5-26) ، حيث ينتج من معادلات العزم حول I ، أن:

$$F_2^c \cdot BE = W \cdot IE + \frac{1}{2}(W_s + P_2) \cdot IC$$

حيث نعلم أنه عند هذا الوضع ، تكون القوة النابذة:

$$F_2^c = m \cdot \omega_2^2 \cdot r_2$$

والسرعة الزاوية:

$$n_2 = n_1 + 0.1n_1 = 1.1n_1 = 264 \text{ r.p.m} \Rightarrow \omega_2 = 1.1\omega_1 = 27.64 \text{ rad/sec}$$

ونصف قطر دوران:

$$r_2 = r_1 + \Delta r_{21} = r_1 + EC$$

ومن المخطط b في (الشكل-5-26):

$$\sin a = \frac{\Delta r_{21}}{b} = \frac{\Delta y_{21}}{a} \Rightarrow \Delta r_{21} = \frac{b}{a} \Delta y_{21} = \frac{150}{75} \times 6 = 12 \text{ mm}$$

منه:

$$r_2 = 100 + 12 = 112 \text{ mm}$$

بالتعويض في علاقة F_2^c :

$$F_2^c = 2.7(27.64)^2 \times 0.112 = 231 \text{ N}$$

وتحسب الأطوال من المخطط b في (الشكل-5-26):

$$BE = (\overline{CB}^2 - \overline{EC}^2)^{1/2} = [(150)^2 - (12)^2]^{1/2} = 149.52 \text{ mm}$$

$$IC = (\overline{CD}^2 - \overline{ID}^2)^{1/2} = [(75)^2 - (6)^2]^{1/2} = 74.76 \text{ mm}$$

$$IE = EC + IC = 12 + 74.76 = 86.76 \text{ mm}$$

بالتعويض في علاقة العزم:

$$231 \times 149.52 = 2.7 \times 9.81 \times 86.76 + \frac{1}{2} (13.5 \times 9.81 + P_2) \times 74.76 \Rightarrow P_2 = 730 \text{ N}$$

بالتعويض في علاقة عامل صلابة النابض:

$$K = (730 - 475) / 6 = 42.5 \text{ N/mm} = 42.5 \text{ kN/m}$$

3. يحدد جهد المنظم Q من العلاقة:

$$Q = Q_m / 2$$

وتحسب القوة الآتية Q_m من دراسة التوازن الديناميكي للوصلة القائمة لحظة زيادة السرعة من الوضع المحدد بنصف قطر r_1 ، حيث ينتج من معادلة العزوم حول D وفق مخطط الجسم الحر للوصلة المرفقية القائمة المبين في المخطط c من (الشكل-5-26) ، أن:

$$F_1^c \cdot b = [W + \frac{1}{2} (W_s + F_f + P_1 + Q_m)] \cdot a \Rightarrow Q_m = \frac{2b}{a} F_1^c - 2W - (W_s + F_f + P_1)$$

حيث:

$$F_1^c = m \cdot w_2^2 \cdot r_1 = 2.7 (27.64)^2 \cdot 0.1 = 206.27 \text{ N}$$

بالتعويض في علاقة القوة الآتية:

$$Q_m = \frac{2 \times 150}{75} 206.27 - 2 \times 2.7 \times 9.81 - (13.5 \times 9.81 + 22 + 475) = 142.66 \text{ N}$$

كما يمكن الحصول على Q_m من طرح علاقتي العزم لكل من الرسمين a و c من (الشكل-5-26):

$$Q_m = \frac{2b}{a} (F_1^c - F_1^c) = 142.66 \text{ N}$$

منه جهد المنظم:

$$Q = 142.66 / 2 = 71.33 \text{ N}$$

أما قدرة المنظم E ، فتعطى بالعلاقة:

$$E = Q \cdot \Delta y_{21} = 71.33 \times 6 = 428 \text{ N.mm}$$

يلاحظ من التحليل السابق لمنظمات تعمل بالطرد المركزي ، أن القوة النابذة هي في الواقع قوة العطالة الناتجة من المركبة الناطمية لتسارع الكرة على أساس أن تحليل القوى يتم عند سرعة اتران معينة . سنبين في المثال التالي تأثير التسارع الزاوي الذي يؤدي دوراً مهماً في أداء المنظمات المرفقية العطالية .

مسألة-5-6

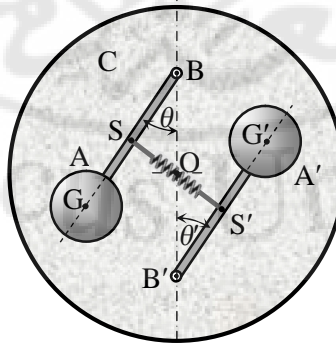
يبين (الشكل-5-27) تخطيطاً لتركيبية منظم مرفقي مركّب على عمود الدوران مباشرة ، بواسطة الصفيحة C التي تدور حول مركزها المنطبق على محور الدوران O . يتمفصل الذراعان A , A' مع هذه الصفيحة عند B , B' على التوالي ، حيث البعد بينهما 60 mm . تثبت إلى كل من الذراعين كرة بحيث إن كتلة كل ذراع مع كرتة هي: 225 g ، والنقطتان G , G' تمثلان مركز ثقل A , A' على التوالي . يتم تحميل المنظم بنابض شدّ يصل بين S , S' ، وتؤمن وسيلة تحكم - غير مبيّنة في الشكل - تساوي الزاويتين θ , θ' دوماً .

فإذا كان عامل صلابة النابض 700 N/m ، المطلوب:

1. تعيين قوة الشد اللازمة لتكون الزاويتان ($\theta = \theta' = 30^\circ$) عند سرعة دوران 300 r.p.m .

2. إذا تسارع المنظم ، عند دورانه باتجاه عكس دوران عقارب الساعة ، بتسارع زاوي ($\epsilon_2 = 50 \text{ rad/sec}^2$) ، فما هي قيمة سرعة الدوران التي تكون عندها الزاويتان ($\theta = \theta' = 45^\circ$) ، وذلك بإهمال عزم عطالة الأجزاء المتحركة وكتلة النابض .

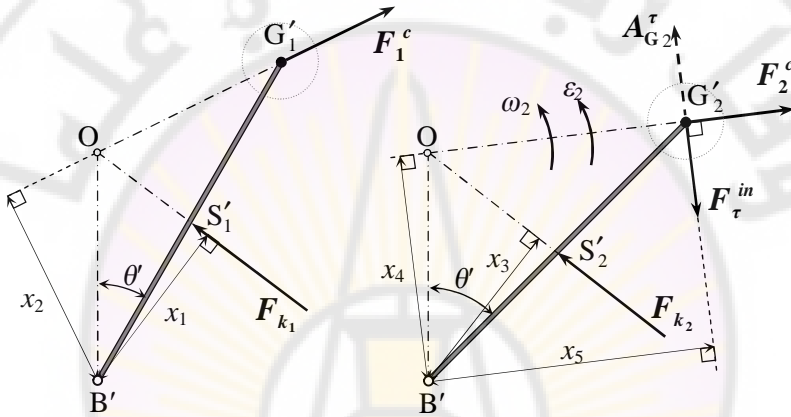
علماً أن: $BS = B'S' = 24 \text{ mm}$ ، $BG = B'G' = 48 \text{ mm}$



(الشكل-5-27) تخطيط لتركيبية منظم مرفقي .

الحل:

1. يبين مخطط الجسم الحر في a في (الشكل-5-28) ، القوة النابذة F_1^c المؤثرة في مركز ثقل الذراع $B'G'$ ، وقوة شد النابض F_{k_1} المؤثرة في النقطة S'_1 . لقد تم رسم الأطوال البعدية لهذا المخطط عند زاوية $(\theta' = 30^\circ)$ ، بمقياس 1 / 1 لتسهيل حساب الأبعاد اللازمة للحل مباشرة بالقياس دون الحاجة إلى تعيينها باستعمال العلاقات المتثلثية .



a- عند الموضع $(\theta' = 30^\circ)$. b- عند الموضع $(\theta' = 45^\circ)$.

(الشكل-5-28) مخطط الجسم الحر للذراع $B'G'$.

إن قيمة القوة النابذة هي:

$$F_1^c = M \cdot \omega_1^2 \cdot r_1$$

حيث:

r_1 تمثل نصف قطر دوران G' حول O ، وبالقياس $(r_1 = OG'_1 = 27 \text{ mm})$.

M تمثل كتلة الذراع مع كرتته ، وتساوي $(M = 225 \text{ g} = 0.225 \text{ kg})$.

ω_1 تمثل السرعة الزاوية للدوران عند الوضع الزاوي $(\theta = 30^\circ)$ ، وتساوي إلى:

$$\omega_1 = \frac{2p \times 300}{60} = 31.4 \text{ rad/sec}$$

ومنه:

$$F_1^c = 6 \text{ N}$$

ينتج من معادلة العزوم حول B' ، أن قوة الشد في النابض ، هي :

$$F_1^c \cdot x_2 = F_{k_1} \cdot x_1 \Rightarrow F_{k_1} = 7 \text{ N}$$

حيث يمكن قياس الأبعاد x_1 , x_2 مباشرة من الرسم a في (الشكل-5-28):

$$x_2 = 27 \text{ mm} , \quad x_1 = 23 \text{ mm}$$

2. يبين مخطط الجسم الحر في b في (الشكل-5-28) ، القوى المؤثرة في الذراع B'G' عند تسارع المنظم بتسارع زاوي ε_2 حيث $(\theta' = 45^\circ)$. تنتج من ذلك قوة العطالة المماسية F_r^{in} تؤثر في G'2 عكس اتجاه التسارع المماسي $A_{G_2}^t$ لمركز الكتل G'2 ، بينما تصبح قوة العطالة النازمية F_n^{in} والتي تمثل قوة العطالة النابذة F_2^c ، هي عكس اتجاه التسارع النازمي $A_{G_2}^n$ لمركز الكتل G'2 ، أما قوة شد النابض F_{k_2} ، فتؤثر في S'2 .

إن قيمة قوة العطالة النابذة في هذه الحالة هي بدلالة السرعة ω_2 ، المطلوب حسابها:

$$F_2^c = M \cdot \omega_2^2 \cdot r_2 = 0.225 \times 0.034 \omega_2^2 = 0.00765 \omega_2^2 \text{ N}$$

حيث r_2 تمثل نصف قطر دوران G'2 حول O ، وبالقياس ($r_2 = OG'_2 = 34 \text{ mm}$) .

أما التسارع المماسي لمركز الكتل G'2 :

$$A_{G_2}^t = \varepsilon_2 \cdot r_2 = 50 \times 0.034 = 1.7 \text{ m/sec}^2$$

ومنه قوة العطالة المماسية:

$$F_t^{in} = M \cdot A_{G_2}^t = 0.225 \times 1.7 = 0.383 \text{ N}$$

وتحسب قوة شد النابض في هذه الحالة بدلالة الزيادة في طول النابض ، حيث:

$$F_{k_2} = F_{k_1} + K(2\Delta l) = F_{k_1} + K[2(OS'_2 - OS'_1)]$$

لأن النابض يستطيل من كلا طرفيه S' , S بالمسافة نفسها ؛ وبالتالي فإن استطالته الكلية هي ضعف هذه المسافة ، ومنه بقياس الطول ($OS'_1 = 15.4 \text{ mm}$) من المخطط a في (الشكل-5-28) ، بقياس الطول ($OS'_2 = 21.8 \text{ mm}$) من المخطط b في (الشكل-5-28) ، فإن:

$$F_{k_2} = F_{k_1} + K(2\Delta l) = 7 + 700 [2(0.0218 - 0.0154)] = 16 \text{ N}$$

ينتج من معادلة العزوم حول B' من المخطط b في (الشكل-5-28) ، أن:

$$F_2^c \cdot x_4 = F_{k_2} \cdot x_3 + F_t^{in} \cdot x_5 \quad \Rightarrow \quad F_2^c = 12.12 \text{ N}$$

بعد قياس:

$$x_5 = 39 \text{ mm} \quad , \quad x_4 = 29.8 \text{ mm} \quad , \quad x_3 = 23.5 \text{ mm}$$

بالتعويض في علاقة F_2^c ، ينتج أن:

$$w_2^2 = 1584.3 \text{ rad}^2/\text{sec}^2 \quad \Rightarrow \quad w_2 = 39.8 \text{ rad/sec}$$

وبالتالي فإن الزاوية $(\theta' = 45^\circ)$ تحدث عند سرعة دوران:

$$n_2 = 60 w_2 / 2\pi = 380 \text{ r.p.m}$$

Distribution of Mass

7-5- توزيع الكتل

نتبين لنا من دراسة تحريك جسم صلب تحت تأثير جملة قوى خارجية ، أن تسارعاته الخطية ، والزاوية الناتجة تعتمد على توزيع الكتل فيه ، وعلى كتلته الكلية ، علاوة على القوى المؤثرة فيه ، لذا لا بد من تحديد G موقع مركز كتل هذا الجسم ؛ وبخاصة عند تعيين قوى العطالة المؤثرة فيه ، ويمكن التأكد على أن موضع مركز كتل الجسم الصلب بواسطة توزيع الكتل يؤدي إلى أن G هي أيضاً مركز ثقل الجسم . وبما أن موضع مركز الكتل لا يحدد توزيع كتل الآلية تحديداً كاملاً ، وأن معادلة العزم حول محور عمودي على مستوى الحركة ، تحتوي على تكامل يعتمد على توزيع الكتلة نسبة إلى محور العزم ، ويحصل هذا التكامل كلما كان للجسم الصلب تسارع زاوٍ حول محور دورانه . يدعى مقدار التكامل هذا بعزم العطالة للكتلة حول محور الذي يعبر تماماً عن ميزة لتوزيع الكتل ؛ لذا لدراسة تحريك جسم صلب تحت تأثير جملة قوى خارجية لا بد من تحديد:

1. كتلة الجسم .

2. موقع مركز كتل الجسم .

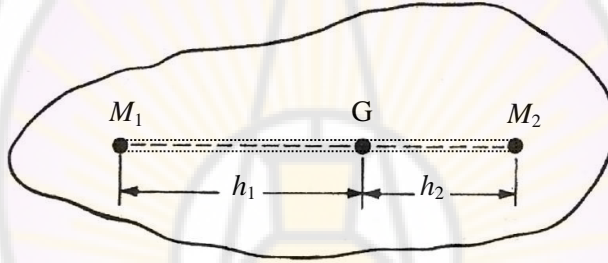
3. عزم عطالة كتلة الجسم .

Equivalent Dynamical Systems

1-7-5- الجُمل المكافئة ديناميكياً

يمكن أحياناً تبسيط التحليل الديناميكي لجسم صلب أو وصلة ، من خلال تمثيلها بجملة من الكتل النقطية المتصلة فيما بينها اتصالاً صلباً ، تتحرك بتسارعات الجسم نفسها أو الوصلة عند التأثير فيها بالقوى نفسها . تسمى هذه الجملة بجملة مكافئة ديناميكياً .

رغم أنه لا يوجد ما يحد من عدد كتل هذه الجملة ، إلا أن أبسط أشكالها هو تكوينها من كتلتين بينهما قضيب صلب مهمل الوزن والكتلة . يبين (الشكل-5-29) جسماً صلباً كتلته M وعزم عطالته I_G حول محور مار من مركز كتلته G وعمودي على مستوي الحركة .



(الشكل-5-29) تمثيل جسم صلب بكتلتين بينهما قضيب صلب مهمل الوزن .

يمكن عدّ هذا الجسم مؤلفاً من جسيمين ؛ أي من نقطتين ماديتين كتلتهما: M_1 , M_2 بينهما وصلة صلبة مهملة الوزن والكتلة ، كما في الشكل . تكافئ جملة الكتلتين ديناميكياً الجسم الصلب إذا تحققت المعادلات الآتية:

$$M = M_1 + M_2 \quad (16-5)$$

$$M_1 \cdot h_1 = M_2 \cdot h_2 \quad (17-5)$$

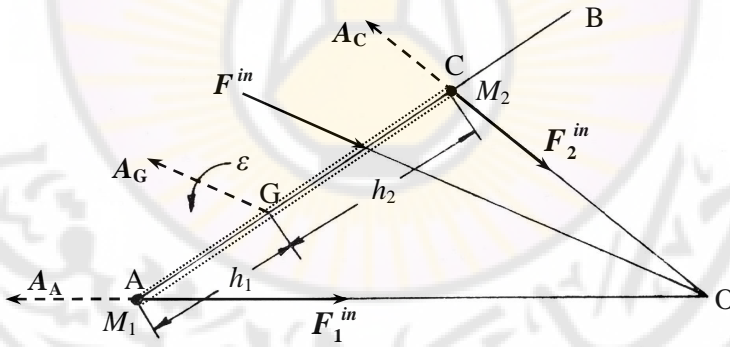
$$I_G = M_1 \cdot h_1^2 + M_2 \cdot h_2^2 \quad (18-5)$$

يتم البرهان على هذه العلاقات بالرجوع الى تعريف المجموعة المكافئة ديناميكياً ، وقوانين التحريك الأساسية التي تحدد محصلة كل من القوى والعزوم ، حيث:

$$F = M \cdot A_G \quad , \quad T_G = I_G \cdot e$$

فلكي يكون تسارع مركز الثقل A_G الناتج من تأثير محصلة القوى الخارجية نفسها ، واحداً لكل من الجسم والجملة المكافئة ، فإنه يجب أن تتحقق المعادلة (16-5) لتتساوى كتلة الجسم مع مجموع كتل الجملة المكافئة ، كما أنه يجب أن تتحقق المعادلة (17-5) ؛ ليكون موقع مركز الثقل ثابتاً ، ويتحقق شرط تساوي التسارع الزاوي ε لكل من الجسم والجملة المكافئة من المعادلة (18-5) عند التأثير في كل منهما بالعزم المحصل نفسه ؛ أي: إن عزم عطالة الجسم يجب أن يساوي مجموع عزوم عطالة كتل الجملة حول مركز الكتل G . نلاحظ من هذه المعادلات أنها تحتوي على أربع قيم مجهولة h_1, h_2, M_1, M_2 ؛ لذا يجب فرض قيمة إحداها قبل تطبيق هذه المعادلات في تعيين بقية القيم .

يجد مفهوم الجمل المكافئة ديناميكياً تطبيقات كثيرة في مجال دراسة موازنة الآلات تحت تأثير قوى الارتجاج ، وغيرها من القوى المشوشة ؛ وبخاصة تبسيط التحليل الديناميكي لوصلات تركيبة ما . يمكن توضيح ذلك من خلال تعيين قوة العطالة من حركة الوصلة AB التي مركز كتلتها G ، وكتلتها M ، وعزم عطالتها I_G ، كما في (الشكل-5-30) .



(الشكل-5-30) تعيين قوة العطالة من حركة وصلة .

إذا فرض أن الجملة المكافئة لهذه الوصلة تتألف من كتلتين تقع إحداها M_1 في النقطة A ، فإن البعد h_1 يكون قد حدد ، وأصبح معلوماً . يمكن عندئذ تعيين قيمة كل من M_2, M_1, h_2 من المعادلات (16-5), (17-5), (18-5) بمعلومية كتلة ، وعزم عطالة الوصلة ، وتكون النقطة C على بعد h_2 من مركز الكتل هي موضع الكتلة الثانية M_2 من الجملة المكافئة ديناميكياً للوصلة .

تحدد تسارعات النقاط A, G, C من مخطط تسارع الوصلة ، ولتكن اتجاهاتها كما في (الشكل-5-30) . إن خط عمل قوة العطالة F_1^{in} المؤثرة في الكتلة M_1 من الجملة المكافئة ينطبق على منحى تسارع النقطة A ، أما خط عمل قوة العطالة F_2^{in} المؤثرة في الكتلة M_2 ، فإنه ينطبق على منحى تسارع النقطة C ، يتلاقى هذان الخطان في النقطة O . إن قوة العطالة الكلية F^{in} المؤثرة في الجملة المكافئة ؛ وبالتالي على الوصلة AB هي محصلة القوتين F_1^{in}, F_2^{in} ، فإن خط عملها إذن يمر من النقطة O استناداً إلى نظرية تلاقي ثلاث قوى متوازنة واقعة في مستوى واحد في نقطة واحدة ، وفي الوقت نفسه يوازي منحى تسارع مركز الكتل . إن اتجاه قوة العطالة F^{in} هو بعكس اتجاه التسارع A_G ، وقيمتها تساوي $M \cdot A_G$.

نلاحظ من ذلك سهولة تحديد قوة العطالة المؤثرة في الوصلة تخطيطياً بدون الحاجة لحساب F_1^{in}, F_2^{in} وغيرها من القيم ، بخلاف قيمة تسارع مركز الكتل ، واتجاهه ، وقيمة البعد h_2 . يمكن الاستغناء عن حل المعادلات الثلاث باستخدام مفهوم نصف قطر العطالة ρ_G في التعبير عن عزم عطالة جسم صلب بالشكل العام:

$$I_G = M \cdot r_G^2 \quad (19-5)$$

وبالتعويض من قيمة عزم عطالة I_G في المعادلة (5-18) ، وحل المعادلات (5-16) ، (5-17) ، (5-18) ، ينتج الشرط الأساسي في توضع كتلتي الجمل المكافئة بدلالة نصف قطر عطالة الوصلة أو الجسم الصلب:

$$r_G^2 = h_1 \cdot h_2 \quad (20-5)$$

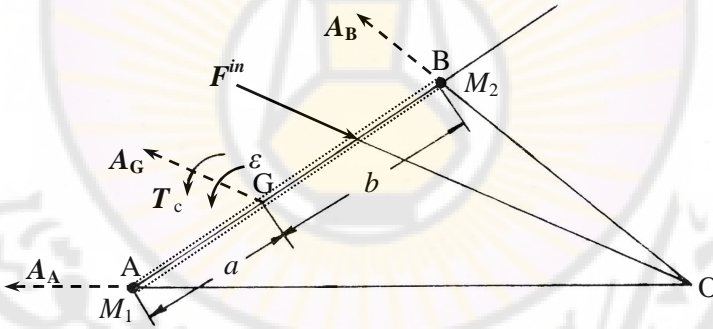
وبالتالي فإنه يكفي ، بعد اختيار موضع الكتلة M_1 ، وتحديد h_1 ، تطبيق المعادلة (20-5) لتعيين موضع الكتلة M_2 ، ومن ثم استكمال الحل لتعيين قوة عطالة الوصلة تخطيطياً بشكل مباشر ، من دون الحاجة لتعيين قيم M_1, M_2 ؛ مما يبسط التحليل إلى أقصى الحدود ؛ بخاصة عند تحليل تركيبة ذات وصلات كثيرة .

قد يفضل في الكثير من التطبيقات العملية اختيار موضع كل من M_1, M_2 في نقطتين محددتين A, B ، كما في (الشكل-5-31) ؛ وذلك بغية تسهيل الدراسة من حيث موازنة الكتل ، وكذلك التحليل اللاحق لتعيين قوى العطالة في تركيبة . ينتج من ذلك - بشكل عام - عدم تحقيق شروط التكافؤ الديناميكي التام ، حيث تنطبق المعادلتان (16-5) ، (17-5) في تحديد كل من M_1, M_2 ، بينما لا يمكن تحقيق المعادلة (18-5) ؛ إذ إن :

$$r_G^2 \neq a \cdot b$$

مما يؤدي إلى عدم تساوي عزم عطالة الوصلة ($M \cdot r_G^2$) مع عزم عطالة جملة الكتلتين ($M \cdot a \cdot b$) ، وضرورة تطبيق عزم تصحيح T_c ؛ لتصبح هذه الجملة مكافئة ديناميكياً للوصلة ، حيث :

$$T_c = M(a \cdot b - r_G^2) \cdot e$$



(الشكل-5-31) اختيار موضع كل من الكتلتين M_1, M_2 في نقطتين محددتين A, B .

يحدد اتجاه عزم التصحيح من قيمة الجداء ($a \cdot b$) بالنسبة إلى r_G^2 ، إذ يكون باتجاه ϵ في حالة ($a \cdot b > r_G^2$) وبالعكس هذا الاتجاه في حالة ($a \cdot b < r_G^2$) .

Center of Mass of a Rigid Body

2-7-5- مركز كتل جسم صلب

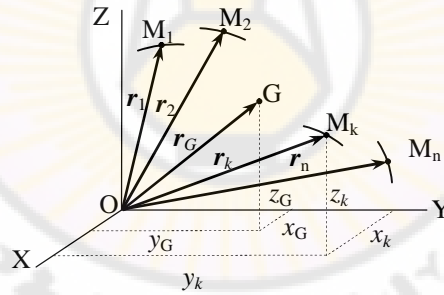
يلاحظ من دراسة تحريك جسم صلب ضرورة تحديد موقع مركز كتل هذا الجسم ؛ وبخاصة عند تعيين قوى العطالة المؤثرة فيه . يعرف مركز كتل جسم بأنه النقطة التي تؤثر فيها محصلة قوى الجاذبية - أي الوزن - دون اعتبار لموقع هذا الجسم في الفراغ ، ويعدّ خاصية أساسية من الخواص الفيزيائية للجسم .

تعتمد حركة الجسم الصلب على كتلته الكلية ، وعلى توزيع الكتل فيه علاوة على القوى المؤثرة ، وإن كتلة الجسم M تساوي المجموع الحسابي لكل كتل النقاط ، أو الجسيمات المكونة لها $\sum m_k$ ، أي $(M = \sum m_k)$.

ومركز الكتل لجسم صلب ، أو مركز العطالة لجملة جسيماته المبين في (الشكل-5-32) ، هو تلك النقطة G من الجملة المعينة بالمتجه الموضعي r_G وفق العلاقة:

$$r_G = \frac{\sum m_k \cdot r_k}{M} \quad (21-5)$$

حيث تمثل r_k متجهات مواضع جسيمات الجسم .



(الشكل-5-32) تحديد مركز كتل جسم .

وتتحدد إحداثيات مركز الكتل بإسقاط العلاقة على جملة محاور ديكارتية:

$$x_G = \frac{\sum m_k \cdot x_k}{M} , \quad y_G = \frac{\sum m_k \cdot y_k}{M} , \quad z_G = \frac{\sum m_k \cdot z_k}{M} \quad (22-5)$$

حيث: m_k تمثل كتلة جسيم ما من الجملة ، أي نقطة مادية منه.

M تمثل الكتلة الكلية للجملة .

x_k, y_k, z_k تمثل إحداثيات النقطة المادية بالنسبة لمحاور الإحداثيات .

x_G, y_G, z_G تمثل إحداثيات مركز كتل الجملة بالنسبة للمحاور نفسها .

في مجال الجاذبية المتجانس تكون ($g = \text{const.}$) ، ومن علاقة الوزن لجملة مادية ($W = m.g$) حيث يتناسب وزن أي جسيم من جسيمات الجسم مع كتلته ؛ لذا يمكن الحكم على موضع مركز الثقل بواسطة توزيع الكتل ؛ مما ينتج أن G هي أيضاً مركز ثقل الجملة.

على الرغم أن موضع مركز الكتل ينطبق على مركز ثقل الجسم الموجود في مجال الجاذبية الأرضية المتجانس ، إلا أن هذين المفهومين لا يُعدّان متطابقين ، فمفهوم مركز الثقل كنقطة يمر من خلالها خط عمل محصلة قوى الجاذبية الأرضية ، يكون له في واقع الحال معنى للجسم الصلب فقط الموجود في مجال الجاذبية الأرضية المتجانس .

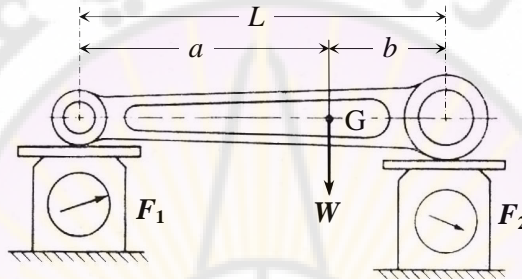
أما مفهوم مركز الكتل كميزة لتوزيع الكتل في الجسم ، فيكون ذا معنى لأية مجموعة من الجسيمات والأجسام المادية ؛ بالإضافة إلى أن هذا المفهوم يحتفظ بمعناه ، سواء وقعت هذه المجموعة تحت تأثير قوى أم لم تقع ، ولكي نتجنب أي اختلاط بينهما ، فإننا سندعو G بمركز الكتلة (*Center of Mass*) عندما ندرس ، ونناقش الخواص المرتبطة بكتلة الجسم ، وبمركز الثقل (*Center of Gravity*) عندما ندرس ، ونناقش الخواص المرتبطة بوزن الجسم .

تعطي المراجع الهندسية المعادلات اللازمة لتعيين مركز ثقل بعض الأجسام ذات الأشكال الهندسية المنتظمة . أما بالنسبة للأجسام أو الوصلات التي تحتوي على محوري تناظر في مستوي الحركة ، فإن مركز الثقل يحدد مباشرة كنقطة تقاطع هذين المحورين ، مثال ذلك: المسننات ، والبكرات ، والأسطوانات ، وغيرها . يصادف في الكثير من الآلات وجود وصلات ذات أشكال غير منتظمة أو معقدة ، بحيث يبدو من الصعب جداً تعيين مركز الثقل بالتحليل الرياضي . يمكن عندئذ اللجوء إلى الطرائق التجريبية التي تعتمد في أساسها على المفهوم الفيزيائي لمركز الثقل .

إن أبسط هذه الطرائق هي طريقة تعليق الوصلة من إحدى نقاطها بحيث يمكنها الدوران بطلاقة ، ورسم خط شاقولي يمر من نقطة التعليق . ومن ثم تعليقها من نقطة أخرى ، ورسم خط شاقولي آخر يمر من هذه النقطة . إن نقطة تقاطع هذين الخطين هي مركز كتل الوصلة ، وقد يحدث أحياناً أن يقع مركز الكتل خارج الكتلة الفيزيائية للوصلة .

هنالك طريقة تجريبية أخرى لتعيين موقع مركز ثقل وصلة ، يفضل استخدامها عند وجود محور تناظر للوصلة ، أو كون شكلها الهندسي بحيث يبدو من الصعب تطبيق طريقة التعليق .

يبين (الشكل-5-33) مبدأ تطبيق هذه الطريقة حيث توضع الوصلة بشكل ترتكز عند نهايتها على ميزانين . إن الوزن الكلي للوصلة هو W ويؤثر في مركز الثقل G .



(الشكل-5-33) تحديد مركز ثقل وصلة لا تحوي محور تناظر .

إن قراءة كل من الميزانين تعطي قيمة ردي الفعل F_1 , F_2 ، حيث يساوي مجموعهما وزن الوصلة . من معادلة العزوم حول النهاية اليسرى ينتج:

$$W \cdot a = F_2 \cdot L \Rightarrow a = F_2 \cdot L / (F_2 + F_1)$$

3-7-5- عزم عطالة جسم صلب

Mass Moment of Inertia of a Rigid Body

لا يمكن تعيين قوى العطالة في وصلة دون معرفة عزم عطالة هذه الوصلة I_G حول محور مار من مركز كتلتها G ، لذا فإنه من الضروري تعيين قيمة عزم العطالة هذا الذي يعرف بالمعادلة:

$$I_G = \sum m_k \cdot r_{kG}^2 \quad (23-5)$$

حيث:

m_k تمثل كتلة جسيم ما من الوصلة أي كتلة نقطة مادية منه .

r_{kG} تمثل بعد هذا الجسيم عن مركز الكتل .

يمكن إيجاد عزم العطالة I_O حول محور مار من نقطة ما O موازياً للمحور المار من مركز الكتلة ، استناداً إلى نظرية المحاور المتوازية ؛ أي نظرية كريستيان هيوجنس (Christian Huygens) ، بتطبيق المعادلة:

$$I_O = I_G + M \cdot d^2 \quad (24-5)$$

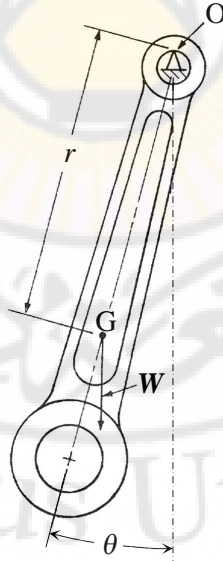
حيث:

M تمثل الكتلة الكلية للوصلة .

d تمثل البعد بين المحورين .

نلاحظ أن التطبيق الرياضي للمعادلة (23-5) محدود ببعض الأشكال الهندسية المنتظمة والبسيطة ؛ لذا فمن الضروري أحياناً اللجوء إلى طرائق تجريبية لتحديد عزم عطالة الوصلات . سنوضح فيما يلي طريقتين حيث يعتمد مبدأ تطبيقهما على نظرية النواس المركب .

تعلق الوصلة في الحالة الأولى بحيث تكون حرة الاهتزاز حول نقطة ارتكاز O على بعد r من مركز ثقلها G ، كما في (الشكل-5-34) . يفضل أن يكون مسند الارتكاز بشكل حد سكين مدبب ؛ مما يجعل الاحتكاك عنده صغيراً جداً بحيث يمكن إهماله .



(الشكل-5-34) تحديد عزم عطالة تجريبياً لجسم صلب منتظم هندسياً .

إذا أزيحت الوصلة زاوية θ من وضع الاتزان ، وتركت لتتهتز اهتزازاً حراً حول O تحت تأثير وزنها W فقط ، فإن العزم المرجع المؤثر فيها يعطى بالعلاقة:

$$-W \cdot r \cdot \sin \theta = I_O \cdot \ddot{\theta} = I_O \cdot q \quad (25-5)$$

حيث تبين الإشارة السالبة أن هذا العزم يؤثر بعكس اتجاه تزايد الزاوية θ ، يمكن في حال إزاحة الوصلة بزاوية صغيرة بتقريب $\sin \theta$ إلى قيمة θ المقطرة بالراديان ؛ إذ إن الخطأ النسبي الحاصل عند كون الزاوية 25° لا يتجاوز 3% ، ويعد معدوماً في حال كون قيمة هذه الزاوية أقل من 10° . تصبح المعادلة (25-5) عندئذ على الشكل الآتي:

$$I_O \cdot \ddot{\theta} + W \cdot r \cdot \theta = 0$$

هذه معادلة تفاضلية خطية من الرتبة الثانية لحركة توافقية بسيطة ، تؤدي نوساً كاملة خلال زمن τ يسمى بـ دور الاهتزاز ، حيث:

$$t = 2\pi \sqrt{I_O / W \cdot r} \quad (26-5)$$

ينتج من ذلك أن:

$$I_O = W \cdot r (t / 2\pi)^2 \quad (27-5)$$

يمكن تعيين عزم عطالة هذه الوصلة I_G حول محور مار من مركز ثقلها ، بالرجوع إلى المعادلة (24-5) ، حيث:

$$I_G = I_O - \frac{W}{g} \cdot r^2$$

أي أن:

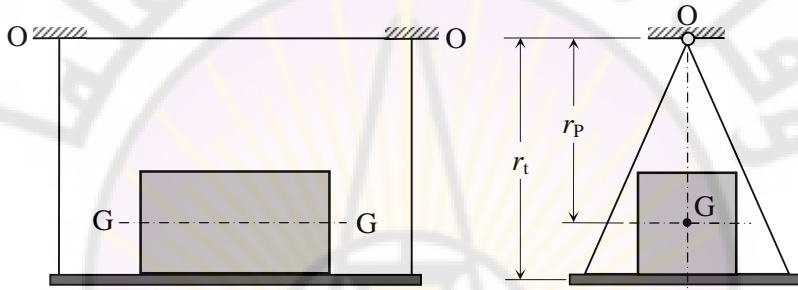
$$I_G = W \cdot r [(t / 2\pi)^2 - (r / g)] \quad (28-5)$$

ومنه فإنه يكفي تجريبياً حساب دور الاهتزاز بعد تحديد زمن عدد ما من النوسات ، وبمعلومية وزن الوصلة W ، وبعد محور الاهتزاز عن مركز ثقلها r ، وقيمة ثابت الجاذبية الأرضية g ، تعيين عزم العطالة I_G من المعادلة (28-5) .

نلاحظ من ذلك أن دقة تحديد I_G تعتمد على الدقة المتوفرة في تحديد r ، τ ، وأنه كلما كبرت قيمة الدور τ وصغرت قيمة البعد r ، فإن الخطأ النسبي الإجمالي الممكن حدوثه في تعيين I_G ينخفض . يمكن تحقيق ذلك في حالة (الشكل-5-34) بتعليق الوصلة من النهاية الأخرى .

تصادف أحياناً بعض الوصلات التي لا يتوفر فيها إمكان تعليقها للاهتزاز حول مسند ، أو أن شكلها الهندسي لا يساعد على تحديد قيمة كل من τ , r ضمن حدود دقيقة مقبولة . يمكن عندئذ تحديد عزم العطالة باستخدام طريقة ثانية تعتمد أساساً على نظرية النواس المركب نفسها .

توضع الوصلة على منصة اختبار معلقة ، خفيفة الوزن نسبياً بحيث يقع المحور G-G المار من مركز ثقل الوصلة مباشرة تحت محور الاهتزاز O-O و يوازيه ، كما في (الشكل-5-35) .



(الشكل-5-35) تحديد عزم عطالة تجريبياً لجسم صلب غير منتظم هندسياً .

ليكن: W_P وزن الوصلة .

W_t وزن المنصة .

r_p البعد بين محور الاهتزاز والمحور المار من مركز ثقل الوصلة .

r_t البعد بين محور الاهتزاز والمحور المار من مركز ثقل المنصة .

I_{P_0} عزم عطالة الوصلة حول المحور O - O .

I_{t_0} عزم عطالة المنصة حول المحور O - O .

τ دور اهتزاز جملة الوصلة والمنصة .

τ_t دور اهتزاز المنصة وحدها .

استناداً إلى التحليل السابق وبالمقارنة مع المعادلة (5-26) ، ينتج أن:

$$t = 2\pi \sqrt{(I_{P_0} + I_{t_0}) / [r(W_P + W_t)]} \quad (29-5)$$

حيث r هو البعد بين محور الاهتزاز O - O ومركز ثقل جملة الوصلة والمنصة ، والذي

يعطى بالعلاقة الآتية استناداً إلى معادلة العزوم الاستاتيكية حول O - O :

$$r = (W_P \cdot r_p + W_t \cdot r_t) / (W_P + W_t) \quad (30-5)$$

ينتج بالتعويض من (30-5) في (29-5) ، أن:

$$t = 2p \sqrt{(I_{P_0} + I_{t_0}) / (W_P \cdot r_P + W_t \cdot r_t)}$$

أي:

$$I_{P_0} = \left(\frac{t}{2p}\right)^2 (W_P \cdot r_P + W_t \cdot r_t) - I_{t_0} \quad (31-5)$$

لكن من اهتزاز المنصة وحدها ، واستناداً إلى المعادلة (27-5) ، فإن:

$$I_{t_0} = W_t \cdot r_t (t_t / 2p)^2$$

ومن تعويض هذه القيمة في المعادلة (31-5) ، والإصلاح ، ينتج:

$$I_{P_0} = \left(\frac{t}{2p}\right)^2 W_P \cdot r_P + \frac{W_t \cdot r_t}{4p^2} (t^2 - t_t^2) \quad (32-5)$$

لكن عزم عطالة الوصلة I_P حول المحور G-G ، معطى استناداً إلى نظرية المحاور المتوازية بالعلاقة الآتية:

$$I_P = I_{P_0} - \frac{W_P}{g} \cdot r_P^2$$

أي إن:

$$I_P = W_P \cdot r_P \left[\left(\frac{t}{2p}\right)^2 - \frac{r_P}{g} \right] + \frac{W_t \cdot r_t}{4p^2} (t^2 - t_t^2) \quad (33-5)$$

يكفي إذن لتعيين عزم عطالة وصلة حول محور مار من مركز ثقلها ، حساب τ ، τ_t بعد تحديد زمن عدد ما من النوسات في كل من حالتَي اهتزاز المنصة وحدها ، واهتزاز جملة الوصلة والمنصة على التوالي ، ومن ثم بمعلومية القيم الأخرى تطبيق المعادلة (33-5) .

نلاحظ من التحليل السابق أن دقة تحديد I_P تعتمد على نسبة الخطأ الحاصل من إهمال كتلة حبال التعليق ، والاحتكاك عند محور الاهتزاز ؛ إضافة إلى اعتمادها على الدقة التي يمكن تحقيقها في تعيين القيم الواردة في المعادلة (33-5) .

لذا يجب - عند استعمال هذه الطريقة - اختيار حبال مهمة الوزن نسبياً ، وتأمين تعليقها إلى محور الاهتزاز بشكل يخفف من الاحتكاك إلى أقصى الحدود ؛ إضافة إلى اختيار المنصة ، ووضع القطعة بحيث تكون قيمة البعد r_P أصغر ما يمكن دون أن يؤثر ذلك كثيراً في دقة تحديد دور الاهتزاز .

8-5- مخطط عزم الدوران

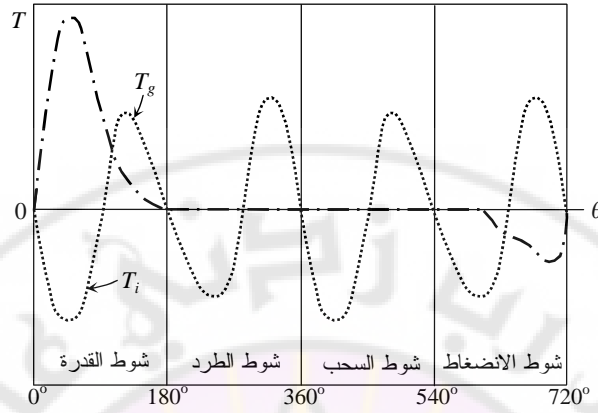
Turning Moment Diagram

تبين من دراسة تحريك وصلات تركيبية ما تحت تأثير القوى الخارجية ، وقوى العطالة ؛ وبخاصة في الفقرة (5-5-1) أن العزم المنتقل إلى عمود الدوران يتغير بتغير الأوضاع النسبية للوصلات من جهة ، وبتغير قيمة القوى الخارجية المؤثرة في التركيبية من جهة أخرى . يمكن تمثيل قيمة العزم الناتج بيانياً بالنسبة لكل وضع من أوضاع الوصلة المتصلة بعمود الدوران ؛ أي التي تنقل هذا العزم . يسمى المخطط الناتج خلال دورة عمل كاملة للتركيبية بـ مخطط عزم الدوران .

إن لتحليل هذا المخطط أهمية كبيرة في تصميم الآلات المختلفة ، ودراسة أدائها ، بخاصة فيما يتعلق بتأثيره في سرعة عمود الدوران ، وتحديد الاستطاعة الاقتصادية لهذه الآلات . يعد مخطط عزم الدوران لتركيبية المنزلقة ، والمرفق المستخدمة في المحركات الترددية مثلاً نموذجياً للتحليل ، نظراً للتغيرات الكبيرة التي تحصل في ضغط الغاز ، وقوى العطالة عند الأوضاع المختلفة للمرفق خلال دورة كاملة للعمليات الترموديناميكية .

يمكن إيجاد منحنى عزم الدوران T لمحرك احتراق داخلي وحيد الأسطوانة ، رباعي الشوط حيث يدور المرفق دورتين كاملتين ($\theta = 720$) لكل دورة عمل واحدة للمحرك ، يؤدي خلالها المكبس أربعة أشواط T ، من تحليل القوى الاستاتيكية لضغط الغاز بشكل مستقل وتعيين تغيرات العزم الاستاتيكي عند المرفق ، ومن ثم تحليل قوى العطالة بشكل منفرد وتعيين العزم العطالي عند المرفق . ينتج مخطط عزم الدوران من المحصلة الجبرية للعزمين السابقين عند مختلف أوضاع زاوية المرفق .

يحدد العزم الناتج من ضغط الغاز من تحليل القوى الاستاتيكية كما في الفقرة (5-2-1) ، حيث تعين قيمة القوة المؤثرة في المكبس في كل وضع من أوضاع المرفق ($\theta = 720$) ، يؤدي خلالها المكبس أربعة أشواط ، كما هو مبين في (الشكل-5-36) على المحور الأفقي للمخطط ؛ بالاستعانة بالمنحنى البياني لتغيرات ضغط الغاز بالنسبة لوضع المكبس . يمثل المنحنى T_g المبين في (الشكل-5-36) تغيرات قيم هذا العزم حيث يكون موجباً أي فعلاً خلال شوط القدرة ؛ بينما ينعدم نسبياً خلال شوطي الانفلات والسحب وبدء شوط الانضغاط حيث يصبح سالباً أي مبدولاً ؛ إذ يقوم المكبس عندئذ بضغط شحنة الغاز الجديدة التي تم إدخالها إلى الأسطوانة خلال شوط السحب .



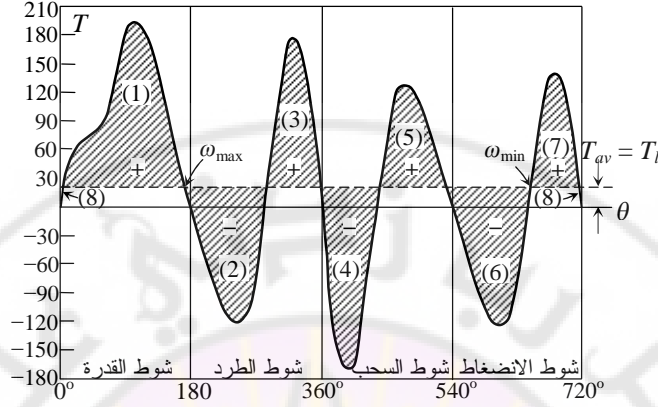
مخطط تغيرات كل من العزم الاستاتي ، والعزم العطالي لمحرك احتراق داخلي وحيد الأسطوانة .
(الشكل-5-36)

أما منحنى العزم العطالي T_i المبين في (الشكل-5-36) ، فإنه يحدد من تحليل قوى العطالة المؤثرة في التركيبية باتباع الخطوات نفسها الموضحة في الفقرة (5-3) في كل وضع من أوضاع المرفق خلال دورة واحدة ($\theta = 360^\circ$) ؛ إذ إن المنحنى الناتج لتغيرات العزم العطالي لدورة واحدة يكرر نفسه خلال الدورة الثانية للمرفق ($\theta = 360^\circ - 720^\circ$) ؛ لأن الأوضاع النسبية للوصلات لا تتغير في الدورتين ، وبالتالي قيم تسارعات هذه الوصلات واتجاهاتها .

أما مخطط العزم الصافي T المبين في (الشكل-5-37) ، فإنه ينتج من المحصلة الجبرية للعزمين السابقين عند مختلف أوضاع زاوية المرفق ، ويكرر نفسه لكل دورتين للمرفق في حالة محرك الاحتراق الداخلي ، وحيد الأسطوانة ورباعي الشوط .

كما يمكن تحديد قيم العزم الصافي T المنتقل إلى عمود الدوران لمختلف أوضاع المرفق بإجراء تحليل تخطيطي مشترك للقوى الناتجة من الضغط والعطالة . يتم ذلك بتكرار الخطوات التي اتبعت في الفقرة (5-5-1) عند أوضاع مختلفة لزاوية المرفق من 0° إلى 720° ، ينتج مخطط العزم الصافي T المبين في (الشكل-5-37) ، أما القيم المبينة للعزم T ؛ فهي قيم رمزية بهدف توضيح التفاوت النسبي الكبير بين قيم العزم الناتج من هذا النوع من المحركات .

إلا أنه يفضل أحياناً تحديد قيم هذا العزم تحليلياً ، وإيجاد المعادلات الرياضية التي تعين تغيرات عزم الدوران بالنسبة لزاوية المرفق ، أو إجراء التحليل استناداً إلى مفهوم الجُمْل المكافئة ديناميكياً (الفقرة 5-7-1) .



(الشكل-5-37) مخطط تغيرات عزم الدوران لمحرك احتراق داخلي وحيد الأسطوانة

تمثل المساحات الموجبة من مخطط العزم T ، والتي تقع فوق المحور الأفقي ($T = 0$) القدرة الموجبة أي القدرة الناتجة من المحرك ؛ أي عندما يكون اتجاه العزم T باتجاه دوران المرفق ؛ بينما تمثل المساحات السالبة من مخطط العزم القدرة السالبة أي القدرة المبذولة ، وهي التي يكون عندها اتجاه العزم T عكس اتجاه دوران المرفق . تنتج قيمة العزم الوسطي T_{av} من حاصل قسمة المجموع الجبري لهذه المساحات كافة على المجال الكلي لإزاحة المرفق خلال دورة عمل كاملة للمحرك ($\theta = 720^\circ$) .

يمكن تصنيف المجموعات الآلية المؤلفة من محرك ، وحمل مقاوم ؛ وفقاً لاحتمالات تغير العزم الآتي:

1. العزم المحرك متغير ، وعزم الحمل المقاوم ثابت ، مثال ذلك مجموعة توليد مؤلفة من محرك احتراق داخلي ، ومولد كهربائي .
2. العزم المحرك ثابت بينما عزم الحمل المقاوم متغير ، مثال ذلك مجموعة محرك كهربائي ، ومكبس تشكيل أو تخريم ، أو محرك كهربائي ، وضغط هواء ترددي .
3. عزم المحرك ، وعزم الحمل متغيران ، مثال ذلك محرك احتراق داخلي يدير ضغط هواء ترددي أو مضخة مكبسية .

الحالتان الأولى والثانية متماثلتان ديناميكياً ، حيث يكون العزم الوسطي لمخطط العزم المتغير مساوياً للعزم الثابت مقاوماً كان أو محركاً . أما في الحالة الثالثة ، فإن العزم الوسطي لكل من مخططي العزمين المتغيرين يجب أن يكون واحداً ؛ ليتمكن للمجموعة الآلية أن تعمل بشكل صحيح واقتصادي .

فإذا كان عزم الحمل المقاوم T_l ، المطبق على عمود دوران المرفق لمحرك الاحتراق الداخلي ثابتاً ، فإنه يجب أن يساوي العزم الوسطي للمحرك T_{av} ، أي $(T_l = T_{av})$ ، وذلك استناداً إلى مبدأ انحفاظ القدرة .

تمثل المساحات المرفقة عرضياً فوق خط العزم الوسطي T_{av} القدرة الزائدة على تلك اللازمة للحمل المقاوم ؛ وبالتالي تعمل على زيادة سرعة عمود المرفق . أما المساحات المرفقة عرضياً تحت خط العزم الوسطي ، فإنها تمثل القصور الحاصل في القدرة الناتجة من المحرك ؛ وبالتالي يؤدي ذلك إلى نقصان سرعة عمود المرفق . يعود ذلك إلى كون القدرة الزائدة أو المتناقصة قدرة حركية ينتج منها تزايد أو تناقص نسبي في سرعة الدوران ، استناداً إلى علاقة القدرة الحركية E_c لجسم صلب يدور بسرعة زاوية ω عزم عطالته حول محور مار من مركز كتلته I_G ، حيث:

$$E_c = \frac{1}{2} (I_G \cdot \omega^2) \quad (34-5)$$

يلاحظ - وفقاً لمفهوم القيمة الوسطية لتغيرات منحن أو تابع ما في التحليل الرياضي - أن مجموع المساحات 1, 3, 5, 7 المحصورة فوق خط العزم الوسطي يساوي مجموع المساحات 2, 4, 6, 8 المحصورة تحته .

ينتج من تغير مستوى القدرة عند نقاط تقاطع مخطط عزم الدوران مع خط العزم الوسطي ، أن القدرة العظمى لعمود المرفق E_{max} تنتج عند إحدى نقاط التقاطع هذه ، بينما تكون القدرة صغرى E_{min} عند نقطة تقاطع أخرى . يؤدي ذلك إلى حدوث سرعة عظمى ω_{max} عند نقطة التقاطع الأولى ، وسرعة صغرى ω_{min} عند نقطة التقاطع الأخرى .

إن التحليل السابق قد تم على أساس تغيرات عزم الدوران الناتج من محرك احتراق داخلي وحيد الأسطوانة ، ورباعي الشوط ، وتأثير هذه التغيرات في أداء المحرك عندما يكون عزم الحمل المقاوم المطبق على عمود دوران المرفق ثابتاً . إلا أنه يمكن تطوير مجمل المفاهيم التي بينها من خلال هذا التحليل ؛ لتشمل كل الاحتمالات الممكنة لحالات تغير العزم مهما كان مصدرها أو نوعها ، مع ملاحظة إجراء التحليل لدورة عمل كاملة التي يمكن أن تتم خلال زاوية θ ، قد تختلف عما هي عليه في التحليل السابق . يحدد مجال تحليل المخطط بالمجال الذي يبدأ عنده مخطط عزم الدوران بتكرار نفسه .

1-8-5- تراوح القدرة

Fluctuation of Energy

تبين لنا في الفقرة السابقة وجود نقطة تقاطع بين مخطط عزم دوران المحرك ، وخط العزم الوسطي ، أو مخطط عزم الحمل الثابت ، يكون عندها مستوى القدرة أعظماً ، بينما يكون هذا المستوى أصغرياً عند نقطة تقاطع أخرى خلال دورة عمل كاملة ؛ وبالتالي فإن التغير في القدرة بين هاتين النقطتين يمثل أعظم تغير في القدرة خلال دورة العمل ، يسمى هذا التغير بـ التراوح الأعظمي للقدرة ، ويرمز له بـ E_f . يمكن إذن التعبير عن التراوح الأعظمي للقدرة بالمعادلة الجبرية الآتية:

$$E_f = E_{\max} - E_{\min} \quad (35-5)$$

تجدر الإشارة إلى أن نقطتي التقاطع اللتين تحددان مواقع حدوث القدرة العظمى E_{\max} والصغرى E_{\min} ، تعينان في الواقع من تقاطع مخططي العزم المحرك ، وعزم الحمل المقاوم بشكل عام . إلا أنهما في حالة (الشكل-5-36) قد انطبقتا على خط العزم الوسطي ؛ لأن هذا الخط هو مخطط عزم الحمل الثابت حيث $(T_l = T_{av})$ ؛ لذا يجب الانتباه دوماً إلى ضرورة تعيين نقاط تقاطع كافة استناداً إلى مخططي العزم حصراً ؛ لأن التفاوت في مستويات القدرة ينتج من تغيرات كل من العزم المحرك ، وعزم الحمل .

يتضح من تعريف التراوح الأعظمي للقدرة أنه يساوي - بوجه عام - المجموع الجبري للمساحات المحصورة بين مخططي العزمين المحرك المقاوم ، في المجال الواقع بين نقطتي تقاطعهما اللتين تحدث عندهما القدرة العظمى E_{\max} ، والصغرى E_{\min} .

يلاحظ من (الشكل-5-37) أن تراوح القدرة الناتج في محرك احتراق داخلي ، وحيد الأسطوانة ، رباعي الشوط ، كبير نسبياً بسبب وجود شوط قدرة فعال واحد خلال دورتين لعمود المرفق . يمكن تخفيض هذا التراوح جزئياً باللجوء إلى استخدام محرك متعدد الأسطوانات بفترات إشعال متساوية فيما بينها ، شرط أن تكون الأسطوانات كافة متماثلة من حيث الشكل ، والوزن ومنحني تغير ضغط الغاز . تختلف منحنيات الضغط عادة بين أسطوانة ، وأخرى بشكل طفيف جداً يمكن إهماله ، يعود هذا الاختلاف إلى صعوبة تنظيم كمية الغاز إلى كل أسطوانة بشكل متساوٍ فيما بينها .

إن العزم الكلي الناتج في لحظة ما على عمود المرافق هو المجموع الجبري للعزوم المؤثرة في كل من المرافق في اللحظة نفسها . يمكن إذن ، برسم مخطط عزم الدوران لكل مرافق على حدة ، الحصول على المخطط المحصل للمحرك من الجمع الجبري لهذه المخططات ، علماً أن ترتيب الاشعال سيعمل على إزاحة مخطط كل مرافق عن الذي يليه بزاوية:

$$q_n = 720/n$$

حيث n تمثل عدد أسطوانات المحرك .

ينتج من ذلك أن المخطط المحصل للمحرك يتكرر بالشكل نفسه خلال مجال زاوية θ_n ، ويكفي عندئذ تحليل المخطط ضمن هذا المجال فقط لتعيين التراوح الأعظمي للقدرة . من الواضح أن هذا التراوح سيكون أقل منه في حالة محرك مماثل بأسطوانة واحدة ، وذلك نظراً لتداخل المخططات الفردية أو تراكبها لكل من المرافق خلال دورة كاملة .

يفضل أحياناً التعبير عن التراوح الأعظمي للقدرة E_f كنسبة من القدرة الكلية الناتجة خلال دورة كاملة على الشكل:

$$K_e = \frac{E_f}{E} \quad (36-5)$$

حيث: K_e تمثل معامل تراوح القدرة .

E تمثل القدرة الكلية الناتجة خلال دورة كاملة . وتساوي المجموع الجبري المساحات الموجبة والسالبة جميعها حول خط العزم ($T = 0$) ، خلال دورة عمل كاملة .

تعطي بعض المراجع قيمة تقريبية لمعامل تراوح القدرة في محركات الاحتراق الداخلي حيث:

K_e

0.95

1. محرك وحيد الأسطوانة ، رباعي الشوط

0.035

2. محرك ذو أربع أسطوانات ، رباعي الشوط

0.02

3. محرك ذو ست أسطوانات ، رباعي الشوط

0.015

4. محرك ذو ثمان أسطوانات ، رباعي الشوط

يلاحظ من ذلك الأثر الفعال لتعدد الأسطوانات في تخفيض تراوح القدرة الأعظمي ، لكن يصبح معدل هذا التأثير شبه مهمل لأكثر من ثمان أسطوانات .

2-8-5- تراوح السرعة

Fluctuation of Speed

بينا في الفقرة (5-8) أنه ينتج من تراوح القدرة تغير في سرعة عمود الدوران ، حيث تحدث السرعة العظمى ω_{max} عند زاوية المرفق الموافقة للقدرة العظمى E_{max} ، بينما تحدث السرعة الصغرى ω_{min} عند تلك الزاوية الموافقة للقدرة الصغرى E_{min} . يمثل الفرق $(\omega_{max} - \omega_{min})$ تراوح السرعة الأعظمي لعمود الدوران ، ويعبر عنه عادة بدلالة معامل تراوح السرعة الذي يرمز له بـ K_s ، ويعرّف بالعلاقة:

$$K_s = \frac{W_{max.} - W_{min.}}{W_{av}} \quad (37-5)$$

حيث ω_{av} تمثل السرعة الوسطية لعمود الدوران ، وتسمى عادة بـ السرعة الأسمية ، ويرمز لها بـ ω ، ولما كانت قيم معامل تراوح السرعة عادة صغيرة ، فإنه يمكن عدّ السرعة الوسطية مساوية الوسط الحسابي للسرعتين العظمى والصغرى ؛ أي:

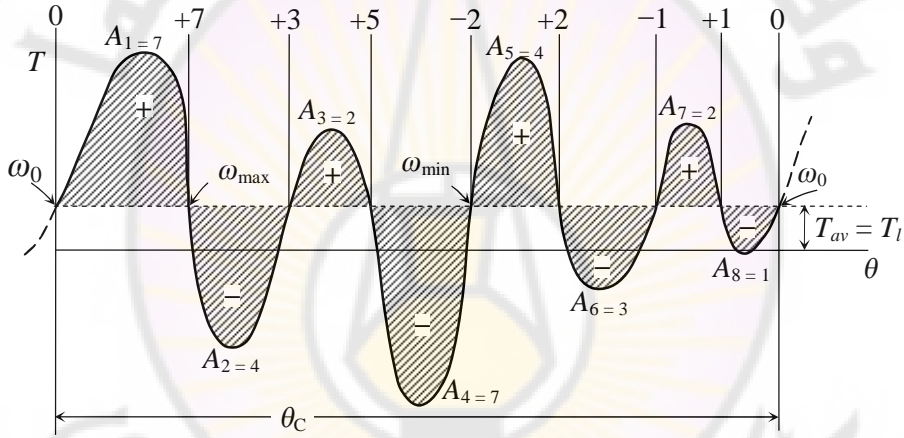
$$W_{av} = \frac{W_{max.} + W_{min.}}{2}$$

تعطي العيارية البريطانية مثلاً القيم الوسطية المسموح بها لمعامل تراوح السرعة ، الذي سبق تعريفه في المعادلة (5-37) ، وذلك لطبيعة التطبيقات المختلفة ، مثال ذلك قيم الجدول التالي:

K_s	
0.2	1. آلات تكسير الأحجار والمطارق
0.05	2. الآلات الزراعية وآليات البناء
0.03	3. آلات التشغيل والمضخات
0.015	4. آلات الغزل والنسيج
0.006	5. مولدات التيار المستمر
0.002	6. مولدات التيار المتناوب

3-8-5- القدرة العظمى والصغرى Maximum and Minimum Energy

يصعب عادة تحديد موقع النقطتين الحديتين اللتين تحددان كلاً من السرعتين العظمى والصغرى مباشرة من شكل تغيرات مخططي العزم المحرك ، وعزم الحمل ؛ بخاصة عندما يتقاطع هذان المخططان عند نقاط عدة خلال دورة عمل كاملة . تستعمل عندئذ طريقة منهجية حسابية في الانتقال من نقطة تقاطع إلى التي تليها ، وتعيين قيمة القدرة عند كل منها . يمكن توضيح ذلك استناداً إلى (الشكل-5-38) الذي يبين مخطط تغيرات العزم T لمحرك ، حيث الحمل المقاوم T_l المطبق على عمود الدوران ثابت ؛ وبالتالي يساوي العزم الوسطي .



(الشكل-5-38) مخطط تغيرات العزم لمحرك .

تمثل المساحات المرقنة عرضياً المساحات المحصورة بين مخططي العزمين المحرك ، والمقاوم . لقد بينت مساحة كل منها ، حيث ترمز المساحة $(A_1 = 7)$ مثلاً ، إلى أن المساحة المحصورة بين المخططين ونقطتي تقاطعهما الأولى والثانية هي (7) وحدات قدرة ، تبعاً لنظام الوحدات القياسية المستعمل في رسم العزم بالنسبة لزاوية المرفق θ التي تقاس بالراديان عند إجراء العمليات الحسابية .

إذا فرضنا أن السرعة عند نقطة التقاطع الأولى هي ω_0 ، وأن القدرة عندها هي E_0 ، فإن هذه القدرة تصبح عند نقطة التقاطع الثانية $(E_0 + 7)$ ؛ أي إنه حصل ازدياد نسبي في القدرة قدره $(+7)$ وحدة قدرة ؛ لأن المساحة A_1 موجبة ؛ إذ إنها فوق مخطط العزم المقاوم T_l . ينتج من ذلك أن السرعة عند نقطة التقاطع الثانية هي أكبر من ω_0 ، تبدأ القدرة بعد ذلك بالتناقص بسبب المساحة السالبة A_2 حتى نقطة التقاطع الثالثة بحيث تصبح عند هذه النقطة $(E_0 + 3)$ ؛ وبالتالي فإن السرعة عند هذه النقطة الثالثة هي أقل منها عند نقطة التقاطع الثانية ، لكنها أكبر من ω_0 ؛ لأن مجموع المساحتين $(A_1 + A_2)$ جبرياً هو موجب $(+3)$ وحدة قدرة . وهكذا يمكن الاستمرار بتعيين القدرة عند كل نقطة تقاطع على التوالي ، حتى نهاية المجال θ_C لدورة عمل كاملة .

تشير القيم المبينة شاقولياً فوق نقاط تقاطع المخططين في (الشكل-5-38) إلى مستوى القدرة النسبي عند كل منها . يلاحظ في هذه الحالة أن أعظم قدرة $(+7)$ تنتج عند نهاية المساحة A_1 ؛ وبالتالي فالسرعة عند هذا الوضع للمرفق أعظمية ω_{max} ، أما أصغر قدرة (-2) ، فإنها تحصل عند نهاية المساحة A_4 التي توافق نقطة حدوث أصغر سرعة للمرفق ω_{min} . إن المجموع الجبري للمساحات كافة خلال المجال θ_C يساوي الصفر ؛ لأن مستوى القدرة عند نهاية دورة العمل يعود إلى ما كان عليه عند بدايتها .

ينتج من ذلك في حالة (الشكل-5-37) أن تراوح القدرة الأعظمي استناداً إلى المعادلة (5-35) هو :

$$E_f = +7 - (-2) = 9 \text{ وحدة قدرة}$$

تجدر الإشارة إلى أن نقطتي التقاطع الحديتين ، يمكن أن تقعا عند أي نقطتي تقاطع منذ بدء دورة العمل حتى نهايتها تبعاً لشكل كل من مخططي العزم . كما أنه ليس من الضروري أن يتم أول تقاطع بين المخططين عند $(\theta = 0)$ ، كما في (الشكل-5-38) ، وكذلك الأمر بالنسبة لآخر نقطة تقاطع بينهما التي يمكن ألا تقع عند $(\theta = \theta_C)$. لكن يجب الانتباه في هذه الحالة إلى ضرورة إدخال المساحة المحصورة بين $(\theta = 0)$ وأول نقطة تقاطع ، وكذلك المساحة المحصورة بين آخر نقطة تقاطع والنقطة $(\theta = \theta_C)$ عند إجراء حساب القدرة ، مثال ذلك المساحتان المؤشر عليهما بالرقم (8) في (الشكل-5-37) .

4-8-5- الدولاب المعدل

Flywheel

يتضح من الفقرات السابقة أن التراوح الأعظمي للقدرة المنتقلة عبر عمود المرفق ، يتعلق بنوع المحرك ومخطط العزم المقاوم المطبق على عمود دوران المرفق . يمكن أحياناً تخفيض القيمة العظمى لتراوح القدرة بإجراء بعض التعديلات الممكنة في تصميم أجزاء المجموعة الآلية المكونة من المحرك والحمل . إلا أن ذلك يبقى محدوداً ضمن حدود معينة تتعلق بطبيعة القوى المؤثرة في هذه المجموعة ، خاصة في محركات الاحتراق الداخلي حيث لا يمكن تجاوز طبيعة القوى الديناميكية المؤثرة فيه ، التي تستلزم وجود شوط قدرة فعال واحد خلال كل أربعة أشواط يتحركها المكبس ؛ بالتالي فإن تراوح السرعة الناتج من تراوح القدرة يكون في أغلب الحالات غير مقبول ؛ لتؤدي المجموعة الآلية عملها بشكل صحيح .

لذا فإنه يجب تصميم خزان قدرة يتصل بعمود الدوران ، بحيث يدخر القدرة الزائدة عندما يكون العزم المحرك أكبر من عزم الحمل المقاوم ، ليبدلها خلال الحالة العكسية . يتم ذلك بسهولة بتركيب دولاب على عمود الدوران يمتص القدرة الزائدة بازدياد سرعة دورانه ، بينما يترافق بذل هذه القدرة المختزنة بنقصان السرعة ، يسمى هذا الدولاب بالدولاب المعدل أو ما يطلق عليه بالحذافة . يجب إذن تصميم أبعاد هذه الحذافة ، وكتلتها بحيث تحافظ على تراوح السرعة المسموح به ؛ وفقاً لطبيعة العمل الذي يؤديه المحرك ، والحمل المطبق عليه . يلاحظ من علاقة القدرة الحركية أن تراوح السرعة الناتج من تراوح معين للقدرة يتعلق بعزم عطالة الأجزاء المتحركة منسوباً إلى عمود الدوران ، حيث ينتج من المعادلتين (34-5) ، (35-5) أن التراوح الأعظمي للقدرة هو :

$$E_f = 1/2 \cdot I_f (w_{\max}^2 - w_{\min}^2) \quad (38-5)$$

حيث I_f تمثل عزم عطالة الحذافة حول محور الدوران ، بافتراض أن عطالة بقية الأجزاء المتحركة صغيرة ، ويمكن إهمالها عملياً .

ينتج من تعويض قيمة السرعة الوسطية في المعادلة (38-5) ، والإصلاح أن :

$$E_f = I_f \cdot K_s \cdot w_{av}^2 \quad (39-5)$$

يجب الانتباه عندئذ إلى ضرورة توافق الوحدات القياسية لمكونات المعادلة (39-5) ،

حيث تكون في الجملة الدولية:

$$E_f (\text{N.m}) \quad , \quad I_f (\text{kg.m}^2) \quad , \quad w_{av} (\text{rad/sec})$$

يعطى أحياناً مخطط العزم بيانياً دون كتابته بمعادلة رياضية ، حيث يتم في هذه الحالة تعيين التراوح الأعظمي للقدرة ، والعزم الوسطي من حساب المساحات المختلفة وفق الأسس التي ذكرت في الفقرات السابقة . يتكون المخطط في أغلب التطبيقات العملية من هذا النوع من أشكال هندسية بسيطة ، مستطيل ، مثلث ، يمكن حساب مساحتها بسهولة .

مسألة-7-5

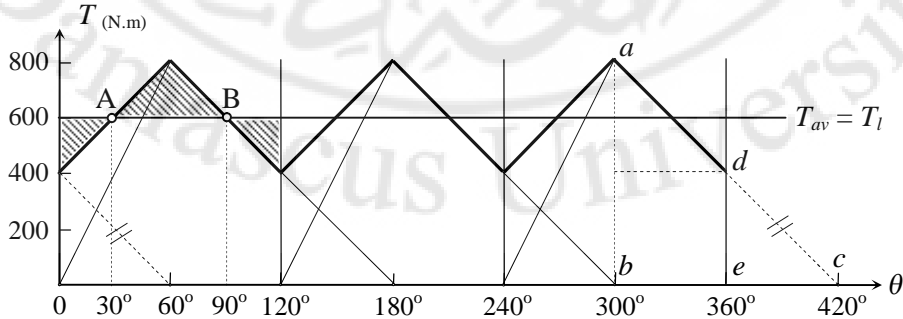
محرك ذو ثلاث أسطوانات متماثلة ، الزاوية بين كل مرفقين متتاليين 120° ومجال دورة عمل كاملة 360° . يتغير عزم الدوران الصافي لكل أسطوانة بحيث يتزايد بانتظام من صفر إلى قيمة عظمى 800 N.m خلال دوران المرفق 60° من النقطة الميتة ، ثم يتناقص بانتظام حتى ينعدم عند 180° ، ويبقى معدوماً حتى نهاية الدورة .

فإذا دار المحرك بسرعة وسطية 3000 r.p.m ، والمطلوب:

1. رسم مخطط العزم الكلي الناتج من المحرك خلال دورة كاملة .
2. تعيين الاستطاعة الوسطية بالكيلو واط .
3. تعيين تراوح القدرة الأعظمي .
4. حساب معامل تراوح السرعة في حال تركيب حذافة حلقيه وزنها 70 N ، ونصف قطر عطالتها حول مركز ثقلها 80 mm .
5. تعيين التسارع الزاوي الأعظمي للحذافة .

الحل:

1. يتم الحصول على مخطط العزم الكلي المبين في (الشكل-5-39) ، بجمع مخططات عزوم الأسطوانات الثلاث وفق كل نقطة من دوران المرفق .



(الشكل-5-39) مخططات عزوم الأسطوانات الثلاث ، ومخطط العزم الكلي لمحرك .

2. تعين استطاعة المحرك الوسطية من العلاقة:

$$P = T_{av} \cdot \omega_{av}$$

حيث ω_{av} السرعة الزاوية الوسطية للمحرك ، وتساوي إلى:

$$\omega_{av} = \omega = 2\pi \cdot n / 60 = 2\pi \times 3000 / 60 = 314 \text{ rad/sec}$$

و T_{av} العزم الوسطي ويحسب من مخطط العزم ، حيث يلاحظ من مخطط عزم الدوران أن دورية العزم المحصل تتم كل 120° ؛ لينجز خلالها قدرة E_θ ، منه:

$$T_{av} = \frac{E_q}{q} = \left[\frac{1}{2} \times 120(800 - 400) + 400 \times 120 \right] / 120 = 600 \text{ N.m}$$

بالتعويض في علاقة الاستطاعة:

$$P = 600 \times 314 = 188400 \text{ W} = 188.4 \text{ kW}$$

3. يعين معامل تراوح القدرة K_e ، من العلاقة:

$$K_e = \frac{E_f}{E}$$

حيث E_f تمثل التراوح الأعظمي للقدرة ، وتساوي إلى المساحة المحصورة بين النقطتين A و B نقطتي تقاطع العزم T مع العزم المقاوم ($T_l = T_{av}$) ، وتحسب مباشرة من مخطط عزم الدوران:

$$E_f = \frac{1}{2} (800 - 600)(90^\circ - 30^\circ) \frac{p}{180} = 105 \text{ N.m}$$

و E تمثل القدرة خلال دورة عمل كاملة ، وتساوي إلى مساحة المثلثات الثلاثة:

$$E = 3 \times \frac{1}{2} \times p \times 800 = 3768 \text{ N.m}$$

منه بالتعويض في علاقة معامل تراوح القدرة:

$$K_e = \frac{105}{3768} = 0.028$$

4. يعين معامل تراوح السرعة K_s ، من العلاقة:

$$E_f = I_f \cdot K_s \cdot w^2 \Rightarrow K_s = \frac{E_f}{I_f \cdot w^2}$$

حيث I_f تمثل عزم عطالة الحذافة ، وتساوي إلى:

$$I_f = M \cdot r^2 = \frac{W}{g} r^2 = \frac{70}{9.81} \times \left(\frac{80}{1000}\right)^2 = 0.045 \text{ kg.m}^2$$

منه بالتعويض في علاقة معامل تراوح السرعة:

$$K_s = \frac{105}{0.045(314)^2} = 0.0237$$

5. يعين التسارع الزاوي الأعظمي ε_{\max} ، من العلاقة:

$$\Delta T_{\max} = (T - T_l)_{\max} = I \cdot e_{\max} \Rightarrow e_{\max} = \frac{(T - T_l)_{\max}}{I}$$

حيث يمكن إيجاد $(T - T_l)_{\max}$ مباشرة من مخطط عزم الدوران ، حيث نلاحظ أن:

$$(T - T_l)_{\max} = (T - T_l)_{q=60^\circ} = 800 - 600 = 200 \text{ N.m}$$

منه بالتعويض في علاقة التسارع الزاوي الأعظمي:

$$e_{\max} = \frac{200}{0.045} = 4445 \text{ rad/sec}^2$$

ويحدث ذلك عند الزاوية $(\theta = 60^\circ)$ ، ويكرر ذلك كل 120° .

كما يعطى مخطط العزم أحياناً باستعمال التمثيل البياني أو الاختباري لكل من مخططي العزم المحرك ، وعزم الحمل ، وهذا ينتج عادة من الاختبارات التي تجرى على المجموعة الآلية ، فإن قيمة التراوح الأعظمي للقدرة E_f تحدد بسهولة بواسطة جهاز قياس المساحات ، المساح (Planimeter) ، حيث يتم تعيين المساحات المحصورة بين مخططي العزمين ، ومن ثم اتباع الخطوات التي بينهاها سابقاً في الفقرة (5-8-1) و(الشكل-5-38) .

مسألة-8-5

وجد في اختبار تجريبي أن منحنى عزم الدوران لمحرك ذي أربعة أسطوانات رسم بدلالة الوضع الزاوي للمرفق θ بالمقاييس الآتية:

$$\text{شاقولياً (} 1 \text{ cm} \equiv 150 \text{ N.m) وأفقياً (} 1 \text{ cm} \equiv 12^\circ \text{)}$$

وأنه يكرر نفسه كل نصف دورة لحركة المرفق ، والمساحة المحصورة بين مخطط عزم الدوران للمحرك ، وخط العزم ($T = 0$) هي 165 cm^2 ، والمساحات المحصورة بين مخطط عزم الدوران ، وخط العزم المقاوم الثابت ، والمأخوذة بالترتيب من إحدى النهايات ، هي: 6.95 cm^2 ، -4.65 ، $+5.4$ ، -8.95 ، $+5.8$ ، -7.8 ، $+3.25$ ، فإذا كانت السرعة الوسطية لدوران المحرك 750 r.p.m ، وكانت الحذافة المركبة حلقية وزنها 680 N ، ونصف قطر عطالتها 35 cm ، المطلوب إيجاد:

1. استطاعة المحرك الوسطية .
2. النسبة المئوية لمعامل تراوح السرعة .

الحل:

1. تُعين استطاعة المحرك الوسطية من العلاقة:

$$P = T_{av} \cdot \omega_{av}$$

حيث ω_{av} السرعة الزاوية الوسطية للمحرك ، وتساوي إلى:

$$\omega_{av} = \omega = 2\pi \cdot n / 60 = 2\pi \times 750 / 60 = 25\pi = 78.5 \text{ rad/sec}$$

و T_{av} تمثل العزم الوسطي ، ويحسب باعتباره أنه يساوي إلى المجموع الجبري للمساحات الموجبة بالنسبة لخط العزم ($T = 0$) التي تمثل القدرة الناتجة من المحرك ، والمساحات السالبة التي تساوي إلى القدرة المبذولة على المجال الموافق لإزاحة المرفق ($\theta_C = 180^\circ$):

$$T_{av} = (165 \times 150 \times 12) / 180 = 1650 \text{ N.m}$$

بالتعويض في علاقة الاستطاعة:

$$P = 1650 \times 78.5 = 129525 \text{ W} \approx 130 \text{ kW}$$

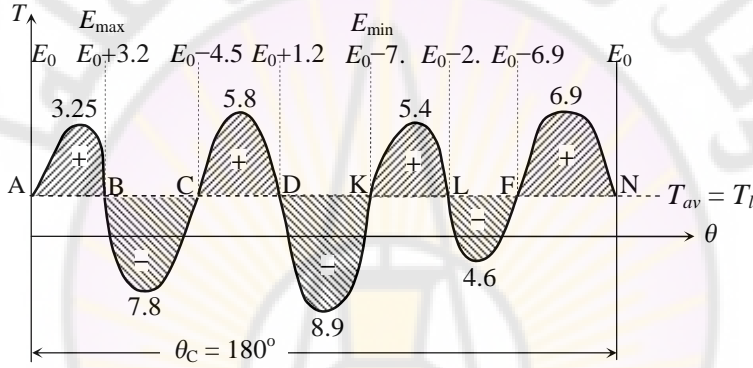
2. يعين معامل ترواح السرعة K_s ، من العلاقة:

$$E_f = I_f \cdot K_s \cdot \omega^2 \Rightarrow K_s = E_f / I_f \cdot \omega^2$$

حيث E_f تمثل الترواح الأعظمي للقدرة ، وتحسب من العلاقة:

$$E_f = E_{\max} - E_{\min}$$

و E_{\max}, E_{\min} تمثل القدرة الأعظمية ، والأصغرية خلال دورة العمل ، وتعيينان من (الشكل-5-40) باختيارهما من القدرة عند نقاط تقاطع مخططي العزم المحرك ، وعزم الحمل المقاوم الثابت ($T_l = T_{av}$) .



(الشكل-5-40) مخطط تغيرات العزم لمحرك .

نلاحظ من المخطط أن القدرة الأعظمية هي:

$$E_{\max} = 3.25 \times 150 \times 12 \times p / 180 = 102.05 \text{ N.m}$$

والقدرة الأصغرية هي:

$$E_{\min} = -7.7 \times 150 \times 12 \times p / 180 = -241.78 \text{ N.m}$$

منه الترواح الأعظمي للقدرة:

$$E_f = 102.05 - (-241.78) = 343.83 \text{ N.m}$$

أما I_f فتمثل عزم عطالة الحذافة الحلقية ، ويساوي إلى:

$$I_f = M \cdot r^2 = \frac{W}{g} r^2 = \frac{680}{9.81} (0.35)^2 = 8.49 \text{ kg.m}^2$$

بالتعويض في علاقة معامل ترواح السرعة:

$$K_s = \frac{343.83}{8.49 (78.5)^2} = 0.0065 = 0.65\%$$

أما في حال إجراء الدراسة الديناميكية للمجموعة الآلية تحليلياً ، فإن تغيرات كل من العزم المحرك ، وعزم الحمل تعطى عندئذ بمعادلة رياضية بدلالة الإزاحة الزاوية θ لعمود الدوران . يمكن عندئذ تعيين قيمة E_f من حساب قيمة تكامل المنحني أو المنحنيات التي تحد المساحات المكافئة للتراوح الأعظمي للقدرة على الشكل الآتي:

$$E_f = \int_{q_{\min.}}^{q_{\max.}} (T - T_l) dq \quad (40-5)$$

حيث:

$\theta_{\min.}$ تمثل قيمة الزاوية التي تحدث عندها السرعة الصغرى .

$\theta_{\max.}$ تمثل قيمة الزاوية التي تحدث عندها السرعة العظمى .

T تمثل معادلة العزم المحرك بدلالة الزاوية θ .

T_l تمثل معادلة عزم الحمل بدلالة الزاوية θ .

يجب أن نلاحظ - عند إجراء التكامل في المعادلة (40-5) - ضرورة تجزئة هذا التكامل ضمن مجالات نقاط تقاطع المنحنيين T, T_l المتتالية ، في حال وجود مثل هذه النقاط في المجال الواقع بين $\theta_{\min}, \theta_{\max}$ مثال ذلك في (الشكل-5-38) ، يجب إجراء ثلاثة تكاملات جزئية لوجود نقطتي تقاطع إضافيتين في المجال بين $\theta_{\min}, \theta_{\max}$ ، وتكون قيمة E_f وفقاً للمعادلة (40-5) هي المجموع الجبري لنتائج هذه التكاملات الثلاثة .

يمكن تلخيص الخطوات اللازمة لتطبيق المعادلة (40-5) في تعيين E_f على الشكل الآتي:

1. رسم مخططي العزمين T, T_l بالنسبة إلى θ ضمن مجال دورة عمل كاملة استناداً إلى المعادلة الرياضية لكل منهما .
2. تعيين قيم θ الموافقة لنقاط تقاطع المخططين جميعها ضمن هذا المجال ، وذلك نتيجة حل المعادلة $(T = T_l)$.
3. إذا كان عدد نقاط التقاطع المعينة في (2) كبيراً نسبياً ، أكثر من ثلاث نقاط أو أربع ، فإنه يجب حساب المساحات الموجبة والسالبة جميعها بين كل نقطتي تقاطع متتاليتين ، ومن ثم اتباع الطريقة التي سبق ذكرها في الفقرة (5-8-1) و (الشكل-5-38) لتعيين $\theta_{\min}, \theta_{\max}$ ؛ وبالتالي إجراء التكامل في المعادلة (40-5) ، مع ملاحظة ما نوهنا عنه أعلاه بشأن التكاملات الجزئية بين هاتين الزاويتين .

4. أما إذا كان عدد نقاط التقاطع المعينة في (2) قليلاً ، فإنه يمكن مباشرة تعيين المساحة العظمى الموجبة أو السالبة ، وهي تمثل في الواقع التراوح الأعظمي للقدرة E_f ، يكفي عندئذ إجراء التكامل (40-5) على أساس θ_{\min} , θ_{\max} هما الزاويتان اللتان تحدان هذه المساحة . تحدث هذه الحالة عندما يكون المجال صغيراً نسبياً ؛ بخاصة في المحركات متعددة الأسطوانات ، علماً أن أغلب التطبيقات العملية هي من هذا النوع . من الواضح أنه يجب في حال عدم التمكن من استقراء موقع المساحة اتباع ما ذكر في الفقرة (3) أعلاه .

مسألة-5-9

يعطى عزم الدوران الناتج من محرك بالمعادلة:

$$T_{(Nm)} = 2500 + 675 \sin 2q$$

حيث θ تمثل زاوية المرفق مقاسة من النقطة الميتة .

يدور هذا المحرك بسرعة وسطية 600 r.p.m . يدير هذا المحرك - عبر مجموعة مسننات تخفيض - آلة ذات سرعة دوران وسطية 300 r.p.m ، حيث يتغير فيها عزم الحمل المقاوم وفق المعادلة:

$$T_{l(Nm)} = 2500 + 270 \sin q$$

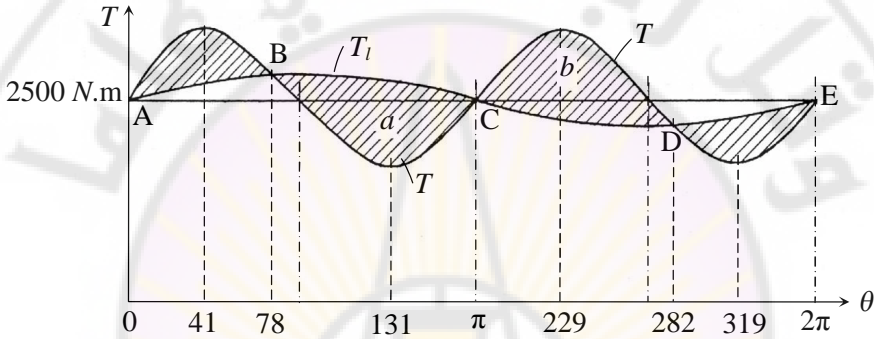
إذا كان عزم عطالة الأجزاء المتصلة بمحور المحرك يكافئ كتلة قدرها 5 kg ونصف قطر عطالة قدره 30 cm ، وكان عزم عطالة الأجزاء المتصلة بمحور الآلة يكافئ كتلة 20 kg ونصف قطر عطالة 30 cm . المطلوب:

1. تعيين الاستطاعة الوسطية ؛ أي الاسمية للمحرك .
2. تعيين عزم عطالة الحذافة اللازم تركيبها على محور المحرك ، بحيث يكون معامل تراوح السرعة 6% .
3. تحديد الوضع الزاوي للمرفق الذي يحدث عنده أعظم تسارع زاوٍ للأجزاء المتحركة بالنسبة للمحرك ، وحساب قيمة هذا التسارع .

يمكن أن تعدّ هذه المسألة نموذجاً شاملاً لأن كلا العزمين متغيران ، ويوضح عدة مفاهيم قد يصعب استيعابها دون تطبيق عملي .

الحل:

نبدأ أولاً برسم كل من مخططي T , T_l بالنسبة للزاوية θ ، كما في (الشكل-5-41) ، حيث يلاحظ أن دورة العمل المشتركة لهما هي 2π ؛ إضافة إلى أن كليهما متناظران حول الوضع $(\theta = \pi)$. يتم ذلك بسهولة بحساب قيمة كل من العزمين عند عدة قيم معينة للزاوية θ استناداً إلى المعادلة المعطاة لكل منهما .



(الشكل-5-41) مخططي العزم المحرك وعزم الحمل .

1. تعطى الاستطاعة الوسطية P للمحرك بدلالة سرعته الوسطية ω_{av} ، بالعلاقة:

$$P = T_{av} \cdot \omega_{av}$$

حيث ω_{av} السرعة الزاوية الوسطية للمحرك:

$$\omega_{av} = \omega_m = \frac{2p \times 600}{60} = 62.8 \text{ rad/sec}$$

يعين العزم الوسطي T_{av} استناداً إلى الفقرة (5-8) ، حيث يساوي المجموع الجبري للمساحات المحصورة بين أي من المخططين والمحور الأفقي ($T = 0$) مقسوماً على المجال الكلي لدورة كاملة ؛ أي: إن العزم الوسطي يساوي:

$$\frac{\text{القدرة الكلية خلال دورة كاملة}}{\text{المجال الكلي لدورة كاملة}} = T_{av}$$

لكن لدينا من مبادئ التحليل الرياضي ، أن المساحات المحصورة بين منحني والمحور الأفقي للإحداثيات ضمن مجال تغير ما ، تساوي تكامل المعادلة الرياضية لهذا المنحني بين حدي مجال التغير ؛ وبالتالي فإن في هذا المثال:

$$T_{av} = \frac{\int_0^{2p} T \cdot dq}{2p} = 2500 \text{ N.m}$$

وذلك لأن تكامل الحد الدوري $\sin 2\theta$ في معادلة العزم يساوي الصفر ، ويجب أن يكون العزم الوسطي للمحرك مساوياً العزم الوسطي اللازم لتدوير الآلة انطلاقاً من مبدأ انحفاظ القدرة عند إهمال مردود النقل بينهما .

يلاحظ من ذلك أنه يمكن مباشرة تعيين العزم الوسطي للمجموعة الآلية على أساس أنه يساوي الحد الثابت في معادلة العزم لكونه لا يتعلق بقيمة θ ؛ إذ إن وسطي الحدود الدورية الأخرى خلال دورة العمل يساوي الصفر دوماً .
ومنه:

$$P = 157 \text{ kW}$$

2. يحسب عزم عطالة الحذافة I_f ، من اعتبار أن عزم العطالة الكلي I يساوي إلى مجموع عزم عطالة الحذافة مع عزم العطالة المكافئ I_{eq} للأجزاء المتحركة للمحرك ، والآلة معاً منسوباً إلى محور المحرك ، من العلاقة:

$$I = I_f + I_{eq} \Rightarrow I_f = I - I_{eq}$$

بما أن المطلوب تركيب الحذافة على محور المحرك الذي يدور بسرعة 600 r.p.m ، فإننا نعين عزم العطالة الكلية I اللازمة لتأمين معامل ترواح السرعة المطلوب من المعادلة (5-39) ، حيث إن:

$$E_f = I \cdot K_s \cdot w_{av}^2 \Rightarrow I = \frac{E_f}{K_s \cdot w_{av}^2}$$

ويحسب الترواح الأعظمي للقدرة E_f من تطبيق المعادلة (5-40) ، حيث إن:

$$E_f = \int_{q_{min.}}^{q_{max.}} (T - T_l) dq$$

وتحدد الزوايا θ_{\min} , θ_{\max} من قيم الزوايا التي يتقاطع عندها مخططا العزمين T , T_l ،
من حل المعادلة:

$$T = T_l$$

حيث ينتج أن:

$$675 \sin 2q - 270 \sin q = 0$$

ومنه:

$$\sin q (5 \cos q - 1) = 0$$

إما:

$$\sin q = 0 \quad \Rightarrow \quad q = 0 , p , 2p$$

أو:

$$\cos q = 0.2 \quad \Rightarrow \quad q = 78.4^\circ , 281.6^\circ$$

أي إن تقاطع T مع T_l خلال دورة عمل كاملة يحدث عند القيم الزاوية التقريبية:

$$q = 0 , 78^\circ , p , 282^\circ , 2p$$

يلاحظ من (الشكل-5-41) ؛ وبسبب التناظر حول $(\theta = \pi)$ ، أن المساحة المرقنة الموجبة من A إلى B تساوي المساحة السالبة من D إلى E ، وكذلك الأمر بالنسبة للمساحتين من B إلى C ومن C إلى D اللتين رمزنا لهما بـ a , b على التوالي . تعدّ المساحة موجبة في المجال الذي يكون فيه العزم المحرك T أكبر من عزم الحمل المقاوم T_l ، وهي سالبة في الحالة العكسية .

يتضح من الشكل أن القدرة العظمى E_{\max} تنتج عند نقطتي التقاطع B , D ، بينما تكون القدرة الصغرى E_{\min} عند C . يكفي بسبب التناظر حساب التراوح الأعظمي E_f من المساحة a أو b ، حيث ينتج من تطبيق المعادلة (5-40) ، أن:

$$E_f = \int_{180^\circ}^{78^\circ} (675 \sin 2q - 270 \sin q) dq$$

ومنه:

$$E_f = 972 \text{ N.m}$$

حيث:

$$q_{\min.} = 180^\circ , \quad q_{\max.} = 78^\circ$$

يلاحظ في هذا المثال أنه أمكن تعيين النقطتين الحديتين للسرعتين العظمى ، والصغرى مباشرة من دراسة مخططي العزم وفقاً لـ (الشكل-5-41) . لذا لم يكن ضرورياً حساب المساحة المرقنة بين A , B ؛ لأنه من الواضح أنها أصغر من المساحة a . لكن قد يلزم أحياناً حساب بقية المساحات لتعيين هاتين النقطتين الحديتين .

تجدر الإشارة إلى أنه في حال حساب E_f بحيث يتم استعمال حدود التكامل المحدد لمجال التراوح الأعظمي بشكل معكوس ؛ أي في حالة هذا المثال من $(\theta = 78^\circ)$ إلى $(\theta = 180^\circ)$ ، فإن القيمة الناتجة عندئذ للتراوح الأعظمي E_f ستكون مساوية القيمة التي عينت سابقاً لكن سالبة . تشير الإشارة السالبة عندئذ إلى القدرة السالبة الأعظمية التي يجب بذلها في المحرك من الحذافة .

بالتعويض في علاقة عزم العطالة الكلية I ، نحصل على:

$$I = 4.11 \text{ kg.m}^2$$

ويتم تعيين عزم العطالة المكافئ I_{eq} للأجزاء المتحركة للمحرك ، والآلة معاً منسوباً إلى محور المحرك ، من العلاقة:

$$I_{eq} = I_m + I_{lm}$$

حيث:

I_m تمثل عزم عطالة أجزاء المحرك منسوباً إلى محوره .

I_{lm} تمثل عزم عطالة أجزاء الآلة منسوباً إلى محور المحرك .

ينتج من تطبيق معادلة انحفاظ القدرة الحركية لأجزاء الآلة ، أن:

$$(1/2) I_{lm} \cdot \omega_m^2 = (1/2) I_l \cdot \omega_l^2 \Rightarrow I_{lm} = \frac{\omega_l^2}{\omega_m^2} I_l$$

حيث:

ω_l تمثل السرعة الزاوية للآلة .

I_l تمثل عزم عطالة أجزاء الآلة منسوباً إلى محورها .

ومنه عزم العطالة المكافئ للأجزاء المتحركة للمحرك ، والآلة معاً:

$$I_{eq} = 5(0.3)^2 + 20(0.3)^2 \left(\frac{300}{600}\right)^2 = 0.9 \text{ kg.m}^2$$

وبالتالي يكون عزم عطالة الحذافة:

$$I_f = 3.21 \text{ kg.m}^2$$

3. ينتج التسارع الزاوي الأعظمي عندما يكون العزم المحصل للمحرك ، والآلة ؛ أي الحمل أعظمية ، إذ إن:

$$(T - T_l)_{\max.} = I \cdot e_{\max.} \Rightarrow e = \frac{(T - T_l)_{\max.}}{I}$$

حيث يلاحظ من (الشكل-5-41) أن أعظم عزم محصل $(T - T_l)_{\max.}$ يحدث في المجال من C إلى D ، تعين الزاوية الموافقة ضمن هذا المجال من العلاقة:

$$\frac{d}{dq}(T - T_l) = 0 \Rightarrow q = 229^\circ$$

وهي التي يكون عندها:

$$(T - T_l)_{(q=229^\circ)} = (T - T_l)_{\max.} = 872 \text{ N.m}$$

وأن I تمثل عزم العطالة الكلي للمجموعة ، ويساوي إلى:

$$I = I_f + I_{eq} = 3.21 + 0.9 = 4.11 \text{ kg.m}^2$$

ومنه بالتعويض:

$$e_{\max.} = 212 \text{ rad/sec}^2$$

تجدر الإشارة إلى وجود قيمة أخرى $(\theta = 131^\circ)$ حيث يكون العزم المحصل أصغرياً ؛ مما يؤدي إلى أعظم تباطؤ قيمته المطلقة تساوي القيمة المحسوبة أعلاه للتسارع الزاوي الأعظمي .

لن تختلف أسس التحليل السابق في حالة كون أحد العزمين ثابتاً ؛ إذ إنه يساوي عندئذ العزم الوسطي ، وتبقى خطوات الحل هي نفسها . كما تشمل التمارين التطبيقية في نهاية هذا الفصل مجمل هذه الحالات المختلفة .

5-8-5- تطبيقات الدواب المعدل

Flywheel Application

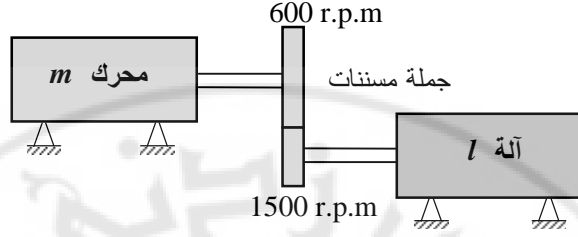
يستعمل مفهوم تخزين القدرة بواسطة كتلة دوارة - تسمى الحذافة - في عدة تطبيقات لعل أهمها ما بيناه في الفقرة السابقة ، حيث تقوم الحذافة بالحد من تراوح السرعة ضمن حدود مقبولة ؛ وفقاً للعمل الذي تؤديه المجموعة الآلية . أي إن الحذافة تقوم بتعديل تغيرات السرعة أو توهينها خلال كل دورة عمل ، التي يمكن أن تنتج ، في أية مجموعة نقل ميكانيكية ، من تدفق غير منتظم للقدرة بسبب تغيرات العزم . تنشأ هذه التغيرات في أغلب الأحيان عن البنية الوظيفية لمجموعة النقل حيث تكون طبيعة توليد القدرة أو استهلاكها متغيرة خلال كل دورة عمل ؛ لذا تعد المحركات ، والآلات الترددية بأنواعها المختلفة ، احتراق داخلي ، ضواغط ، مضخات وغيرها ، أهم مجال تطبيقي للحذافة . يماثل عمل الحذافة في تعديل تموجات السرعة - من خلال اختزان القدرة - أداء المكثف كخزان للشحنة في الدارات الكهربائية .

مسألة-5-10

يعطي محرك رباعي الشوط ذو أسطوانة واحدة استطاعة قدرها 60 kw عند سرعة دوران 600 r.p.m . يدير هذا المحرك ، كما في (الشكل-5-42) ، عبر جملة مسننات ، آلة سرعة دورانها 1500 r.p.m .

فإذا كان التراوح الأعظمي للقدرة يساوي 85% من القدرة الناتجة خلال دورة عمل كاملة للمحرك . وكان عزم عطالة الأجزاء المتصلة بعمود المحرك 80 kg.m^2 ، بينما عزم عطالة الأجزاء الدوارة على عمود الآلة 7 kg.m^2 ، المطلوب:

1. تعيين معامل تراوح سرعة هذه المجموعة الآلية .
2. تعيين عزم عطالة الحذافة اللازم تركيبها على عمود الآلة ؛ للحفاظ على معامل تراوح سرعة لا يزيد على $\pm 0.4\%$ حول قيمة السرعة الوسطية .



(الشكل-5-42) مجموعة آلية .

الحل:

1. يعين معامل تراوح سرعة المجموعة الآلية K_s من العلاقة:

$$E_f = I_{eq} \cdot K_s \cdot w_m^2 \Rightarrow K_s = \frac{E_f}{I_{eq} \cdot w_m^2} \quad (1)$$

حيث w_m تمثل السرعة الزاوية لدوران المحرك ، وتساوي إلى:

$$w_m = \frac{2p \cdot n_m}{60} = \frac{2p \times 600}{60} = 62.83 \text{ rad/sec}$$

و I_{eq} تمثل عزم العطالة المكافئ للأجزاء المتحركة لكل من المحرك ، والآلة معاً منسوباً إلى محور المحرك ، ويساوي إلى:

$$I_{eq} = I_m + I_{lm} \quad (2)$$

و I_{lm} تمثل عزم عطالة الأجزاء الدوارة على عمود الآلة منسوباً إلى محور المحرك ، وبحسب وفق مبدأ انحفاظ القدرة من العلاقة:

$$\frac{1}{2} I_{lm} \cdot w_m^2 = \frac{1}{2} I_l \cdot w_l^2 \Rightarrow I_{lm} = \frac{w_l^2}{w_m^2} I_l \quad (3)$$

بالتعويض:

$$I_{lm} = \left(\frac{1500}{600} \right)^2 \times 7 = 43.75 \text{ kg.m}^2$$

بالتعويض في (2):

$$I_{eq} = 80 + 43.75 = 123.75 \text{ kg.m}^2$$

أما E_f فتتمثل التراوح الأعظمي للقدرة ، وتساوي إلى:

$$E_f = K_e . E$$

حيث E تمثل القدرة الناتجة خلال دورة عمل كاملة للمحرك ، وتساوي إلى:

$$E = 2E_1$$

و E_1 تمثل القدرة الناتجة خلال دورة واحدة لمحور المحرك أي المرفق ، وتساوي إلى:

$$E_1 = T_{av} . 2p = \frac{P_m}{w_m} 2p = \frac{60 \times 10^3}{62.83} 2p = 6000 \text{ Nm.cycle}$$

بالتالي:

$$E = 12000 \text{ Nm.cycle} \Rightarrow E_f = 0.85 \times 12000 = 10200 \text{ N.m}$$

بالتعويض في علاقة معامل تراوح سرعة المجموعة الآلية:

$$K_s = \frac{10200}{123.75 (62.83)^2} = 0.02$$

2. يعين عزم عطالة الحذافة اللازم تركيبها على عمود الآلة I_{fl} ، من مبدأ انحفاظ

القدرة:

$$\frac{1}{2} I_{fl} . w_l^2 = \frac{1}{2} I_{fm} . w_m^2 \Rightarrow I_{fl} = \frac{w_m^2}{w_l^2} I_{fm} \quad (4)$$

حيث I_{fm} تمثل عزم عطالة الحذافة منسوباً إلى محور المحرك ، ويحسب من مبدأ أن:

الطاقة الحركية للمجموعة مع حذافة = الطاقة الحركية للمجموعة + الطاقة الحركية للحذافة
 منسوبة لمحور المحرك منسوبة لمحور المحرك منسوبة لمحور المحرك

$$\frac{1}{2} I_{(eq+f)} . w_m^2 = \frac{1}{2} I_{eq} . w_m^2 + \frac{1}{2} I_{fm} . w_m^2 \Rightarrow I_{(eq+f)} = I_{eq} + I_{fm}$$

منه عزم عطالة الحذافة منسوب إلى محور المحرك:

$$I_{fm} = I_{(eq+f)} - I_{eq} \quad (5)$$

حيث $I_{(eq+f)}$ تمثل عزم عطالة المجموعة مع الحذافة منسوباً إلى محور المحرك ، ويحسب من العلاقة:

$$I_{(eq+f)} = \frac{E_f}{K'_s \cdot w_m^2} = \frac{10200}{0.008(62.83)^2} = 322.98 \text{ kg.m}^2$$

حيث لدينا K'_s تمثل معامل تراوح سرعة المجموعة الآلية المطلوب ، ويساوي إلى:

$$K'_s = 2 \times 0.004 = 0.008$$

بالتعويض في علاقة عزم عطالة الحذافة منسوباً إلى محور المحرك (5):

$$I_{fm} = 322.98 - 123.75 = 199.23 \text{ kg.m}^2$$

بالتعويض في العلاقة (4) نحصل على عزم عطالة الحذافة اللازم تركيبها على عمود الآلة:

$$I_{fl} = \left(\frac{600}{1500}\right)^2 \times 199.23 = 31.88 \text{ kg.m}^2$$

لا تقتصر تطبيقات الحذافة على ما ذكرناه أعلاه ؛ وإنما يستفاد منها في الآلات التي تستلزم قدرة كبيرة آنية ، خلال فترة قصيرة بالنسبة للفترة الباقية من دورة العمل التي تكون فيها القدرة اللازمة للتشغيل شبه معدومة . من أهم التطبيقات في هذا المجال المكابس بأنواعها ، والمقصات الآلية ، حيث تحتاج عملية التشغيل أو التشكيل ، بحسب نوع الآلة ، إلى قدرة كبيرة خلال فترة قصيرة ، لا تتجاوز عادة (1/5-1/6) فترة دورة العمل الكاملة . أما القدرة اللازمة خلال الفترة الباقية من هذه الدورة للتغلب على الاحتكاك والوزن والعطالة ، فهي صغيرة نسبياً ، ويمكن إهمالها .

إذا فرض عدم وجود حذافة في مثل هذه الآلات ، فإنه يجب اختيار المحرك بحيث تكون استطاعته كافية لتقديم كامل القدرة اللازمة ، للتشغيل خلال الزمن القصير جداً الذي تستغرقه عملية التشغيل فقط .

أما في حال استعمال حذافة ، فإنها - من منطلق كونها خزان قدرة - تسمح باستعمال محرك ذي استطاعة أصغر ، حيث تقوم الحذافة بتعديل تدفق القدرة من المحرك ، وتوزيعه خلال فترة دورة عمل كاملة . يتم ذلك بتخزين القدرة في الحذافة خلال الفترات الواقعة بين عمليات التشغيل الفعلية ، ومن ثم بذلها عند حدوث هذه العمليات . يمكن توضيح هذا المجال التطبيقي للحذافة من خلال الأمثلة النموذجية الآتية .

مسألة-5-11

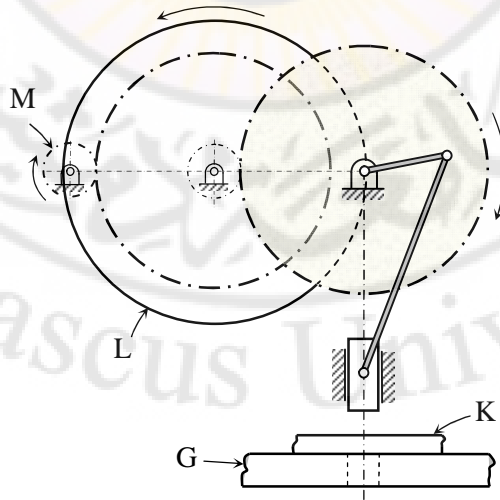
يبين (الشكل-5-43) المخطط الحركي لمكبس تخريم ، حيث تنتقل الحركة من محرك كهربائي M ، ثابت العزم ، والسرعة ، إلى عمود دوران تركيبية المكبس عبر جملة مسننات تخفيض . يتم تحويل الحركة الدورانية إلى ترددية بواسطة تركيبية منزلقة ومرفق ، حيث تستعمل المنزلقة كأداة تخريم لتشكيل ثقب في صفيحة فولاذية K عبر قالب الثقب G .

يدور المحرك بسرعة 900 r.p.m ليؤمن عبر جملة مسننات التخفيض والتركيبية الترددية تخريم 30 ثقباً/دقيقة ، حيث تستغرق عملية التثقيب الواحدة $1/6$ من الفترة بين كل عمليتين متتاليتين .

فإذا كان قطر الثقب المطلوب تشكيله ($d = 16 \text{ mm}$) في صفيحة سماكتها ($h = 12 \text{ mm}$) ، ومقاومة القص لمعدن الصفيحة ($\tau = 300 \text{ N/mm}^2$) . المطلوب:

1. تعيين استطاعة المحرك عند عدم وجود حذافة .
2. حساب استطاعة المحرك في حال تركيب حذافة L ، وتعيين عزم عطالتها إذا تم تركيبها على عمود مناوئ وسيط يدور بسرعة 225 r.p.m ، وتراوح السرعة المسموح به $\pm 5\%$.

الحل:



(الشكل-5-43) المخطط الحركي لمكبس تخريم .

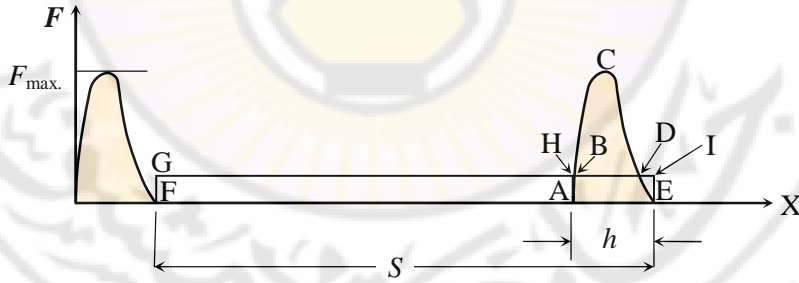
1. في حالة عدم وجود حذافة ، يجب على المحرك أن يؤمن القدرة الكلية E خلال زمن التثقيب الفعلي t_c ، وتكون الاستطاعة الوسطية اللازمة للمحرك هي:

$$P = E / t_c$$

بما أن مكبس التخریم ينجز 30 ثقباً / دقيقة ، فيكون زمن كل دورة عملية تخریم كاملة هو $(t = 2 \text{ sec})$ ، منه فإن زمن التثقيب الفعلي هو:

$$t_c = \frac{1}{6} \times 2 = 1/3 \text{ sec}$$

ولحساب القدرة الكلية E اللازمة لقطع ثقب واحد ، فـ (الشكل-5-44) يبين مخططاً نموذجياً لتغير القوة F بالنسبة لإزاحة أداة التخریم x عند تشكيل ثقب في معدن مطيل كال فولاذ . تتزايد القوة عند بدء القطع بسرعة لتصل إلى قيمتها العظمى F_{max} ، ثم تتناقص تدريجياً لتتعدم عند انتهاء عملية التثقيب ، حيث تكون أداة التخریم قد تحركت مسافة $(x = h)$ ، أي تساوي سماكة الصفيحة المراد تثقيبها . تبقى القوة شبه معدومة حتى بداية عملية قطع جديدة ، حيث تكون إزاحة أداة القطع الكلية خلال دورة عمل كاملة ممثلة بالمسافة S .



(الشكل-5-44) مخطط نموذجي لتغير القوة F بالنسبة لإزاحة أداة التخریم .

يتضح من (الشكل-5-43) حدوث تراوح كبير في القدرة خلال كل دورة عمل . لا يختلف تحليل القدرة استناداً إلى مخطط القوة بدلالة إزاحة خطية $[F = f(x)]$ ، عن التحليل السابق لمخطط عزم الدوران بدلالة إزاحة زاوية $[T = f(\theta)]$ ؛ لأن القدرة الكلية في كلتا الحالتين هي المساحة بين المخطط ، والمحور الأفقي .

بما أن معادلة تغير القوة F بالنسبة لإزاحة أداة التخريم x غير معلومة ، فيمكن تقريب مخطط القوة خلال عملية القطع إلى مثلث مع الحفاظ على دقة مقبولة عملياً ؛ وبالتالي فإن القدرة الكلية E اللازمة لقطع ثقب واحد:

$$E = (1/2) F_{\max.} . h$$

تحدد القيمة العظمى $F_{\max.}$ اللازمة لقص معدن الصفيحة بدلالة الرموز الواردة في المثال من العلاقة:

$$F_{\max.} = p . d . h . t$$

بالتعويض من هذه القيم ينتج أن:

$$F_{\max.} = 180864 \text{ N}$$

بالتعويض في علاقة القدرة E ، ينتج أن:

$$E = 1085 \text{ N.m}$$

بالتعويض ، فإن الاستطاعة الوسطية اللازمة للمحرك ، هي:

$$P = E / t_c = 3.255 \text{ kw}$$

يجب الانتباه إلى أن هذه الاستطاعة هي وسطية ؛ أي: إنها حسبت على أساس توزيع منتظم للقدرة E خلال الزمن t_c ؛ إلا أن عملية التنقيب تستلزم عند القوة الآنية الأعظمية $F_{\max.}$ استطاعة آنية هي تقريباً ضعف الاستطاعة الوسطية ؛ وبالتالي فإن المحرك ذو استطاعة آنية عظمى 6.5 kw .

2. لقد وجدنا في الحالة الأولى ، أن القدرة الكلية اللازمة لتقّب واحد E هي ممثلة على المخطط في (الشكل-5-44) بالمساحة $A B C D E$ ، ويجب تأمينها دون حذافة خلال زمن التنقيب ($t_c = 1/3 \text{ sec}$) . عند تركيب حذافة تعمل على توزيع القدرة بشكل منتظم خلال فترة دورة العمل الكاملة ($t = 2 \text{ sec}$) ، فإن القدرة نفسها تصبح ممثلة بالمساحة $F G I E$ التي تساوي المساحة السابقة $A B C D E$ ، حيث يمثل الخط GI القيمة الوسطية لمخطط القوة خلال دورة عمل كاملة . من الواضح عندئذ أن استطاعة المحرك P_f اللازمة لتأمين القدرة E خلال الزمن t في حال تركيب حذافة ، هي:

$$P_f = E / t = 0.542 \text{ kw}$$

ينتج من مقارنة استطاعة المحرك في الحالتين أن:

$$P_f / P = t_c / t = 1/6$$

أي إن تركيب الحذافة قد عمل على تخفيض استطاعة المحرك بمقدار 6 مرات عما كانت عليه من دون حذافة .

يلاحظ من (الشكل-5-44) أن على الحذافة تخزين قدرة E_f تكافئ المساحة B C D ، بينما يقدم المحرك القدرة الإضافية اللازمة الممثلة بالمساحة A B D E خلال فترة t_c ، وهي تساوي E_m ، حيث:

$$E_m = (t_c / t) E = 1/6 \times 1085 = 181 \text{ Nm}$$

تجدر الإشارة إلى أننا في حساب E_m ، قد تم افتراض المساحة A B D E مساوية A H I E ، وهو تقريب مقبول عملياً بسبب كون الفرق بين المساحتين صغيراً يمكن إهماله ؛ وبالتالي فإن القدرة E_f المختزنة في الحذافة هي:

$$E_f = E - E_m = 904 \text{ N.m}$$

إذا تم تركيب الحذافة L على عمود دوران سرعته 225 r.p.m ، فإن:

$$w = 23.55 \text{ rad/sec}$$

وبما أن المطلوب تراوح سرعة لا يزيد على $\pm 5\%$ ؛ أي ألا تزيد السرعة أو تنقص عن القيمة الوسطية w بأكثر من 5% ، فإن معامل تراوح السرعة بين سرعتين العظمى ، والصغرى هو ضعفي هذه النسبة ومنه:

$$K_s = 0.1$$

وبالتالي ينتج من تطبيق المعادلة (5-39) أن عزم عطالة الحذافة هو:

$$I_f = 16.3 \text{ kg.m}^2$$

مسألة-5-12

يدار مقص آلي بمحرك كهربائي ثابت العزم قدره 125 N.m ، يتصل مباشرة بعمود تدوير المقص ، ويركب على عمود دوران المحرك حذافة قرصية كتلتها 235 kg ، ونصف قطرها 61 cm .

فإذا كانت سرعة دوران الحذافة 280 r.p.m عند لحظة بدء عملية القص ، والانخفاض الحاصل في سرعة دورانها بعد انتهاء عملية القص مباشرة هو 25 r.p.m ، وكانت عملية القص تستهلك زمن قدره 0.8 sec . المطلوب إيجاد:

1. الاستطاعة الوسطية للمحرك .
2. القدرة اللازمة لعملية القص .
3. عدد عمليات القص الممكن تنفيذها خلال ساعة عمل للمقص .

الحل:

1. تحسب الاستطاعة الوسطية للمحرك من العلاقة:

$$P = T_{av} \cdot \omega_{av}$$

حيث T_{av} تمثل العزم الوسطي ويساوي إلى عزم المحرك الثابت:

$$T_{av} = 125 \text{ N.m}$$

و ω_{av} السرعة الزاوية الوسطية للمحرك:

$$\omega_{av} = \frac{\omega_1 + \omega_2}{2} = \frac{2p}{2 \times 60} (n_1 + n_2)$$

حيث n_2 سرعة دوران الحذافة بعد انتهاء عملية القص ، وتساوي إلى:

$$n_2 = n_1 - \Delta n_{12} = 280 - 25 = 255 \text{ r.p.m}$$

بالتعويض في علاقة السرعة الزاوية الوسطية للمحرك:

$$\omega_{av} = \frac{2p}{120} (280 + 255) = 28 \text{ rad/sec}$$

بالتعويض في علاقة الاستطاعة:

$$P_{av} = 125 \times 28 = 3500 \text{ W} = 3.5 \text{ kW}$$

2. تعين القدرة اللازمة لعملية القص E_p كونها تساوي إلى مجموع القدرة الناتجة

من المحرك E_m ، والقدرة المقدمة من الحذافة E_f ؛ أي:

$$E_p = E_m + E_f$$

حيث القدرة المقدمة من الحذافة E_f تعطى بالعلاقة:

$$E_f = I_f \cdot K_s \cdot \omega_{av}^2$$

و K_s معامل تراوح سرعة المقص الآلي يعطى بالعلاقة:

$$K_s = \frac{\omega_1 - \omega_2}{\omega_{av}} = \frac{n_1 - n_2}{n_{av}} = \frac{2(280 - 255)}{280 + 255} = 0.0934$$

و I_f عزم عطالة الحذافة القرصية المستعملة يعطى بالعلاقة:

$$I_f = \frac{1}{2} M . R^2 = \frac{1}{2} \times 235 (0.61)^2 = 43.72 \text{ kg.m}^2$$

بالتعويض في علاقة القدرة المقدمة من الحذافة:

$$E_f = 43.72 \times 0.0934 \times (28)^2 = 3200 \text{ N.m}$$

أما القدرة الناتجة من المحرك E_m ، فتعطى بالعلاقة:

$$E_m = P_{av} . t_p = 3500 \times 0.8 = 2800 \text{ N.m}$$

حيث $(t_p = 0.8 \text{ sec})$ ، وتمثل زمن عملية القص ؛ بالتالي تكون القدرة اللازمة لعملية القص E_p :

$$E_m = 2800 + 3200 = 6000 \text{ N.m}$$

3. تعين N عدد عمليات القص خلال ساعة عمل للمقص من العلاقة:

$$\frac{\text{القدرة الناتجة من المحرك خلال ساعة}}{\text{القدرة اللازمة لعملية القص}} = \text{عدد عمليات القص خلال ساعة}$$

$$N = \frac{3500 \times 3600}{6000} = 2100 \text{ عملية قص في الساعة}$$

Flywheel Design

6-8-5- تصميم الدوالاب المعدل

تصنف الحذافات بشكل عام في نوعين:

a. حذافة قرصية Disc Flywheel

وهي تكون بشكل قرص صلب صغير السماكة بالمقارنة مع قطره . يستعمل هذا النوع في السيارات حيث يكون الحيز المتوفر لتركيب الحذافة محدوداً باعتبارات تصميمية أخرى . إن عزم عطالة حذافة قرصية I_f يعطى عادة بدلالة وزنها W وقطرها D ، بالعلاقة:

$$I_f = \frac{M . R^2}{2} = \frac{W . D^2}{8g} \quad (41-5)$$

وهي تصنع عموماً من الفولاذ أو حديد الصب ، ويتم تعيين قطر القرص ، ووزنه بما يوفق بين الاجهادات الناتجة من القوة النابذة والحيز المتاح ؛ بخاصة الخلوص المسموح به بالنسبة إلى الطريق في حالة المركبات الآلية .

تحتسب الإجهادات المؤثرة في الحذافة استناداً إلى أبحاث مقاومة المواد ، وتصميم الآلات المتعلقة بالأفراس الدوارة ، ولن نتطرق إليها في مجال هذا البحث .

b. حذافة حلقيّة أو إطارية Rim Flywheel

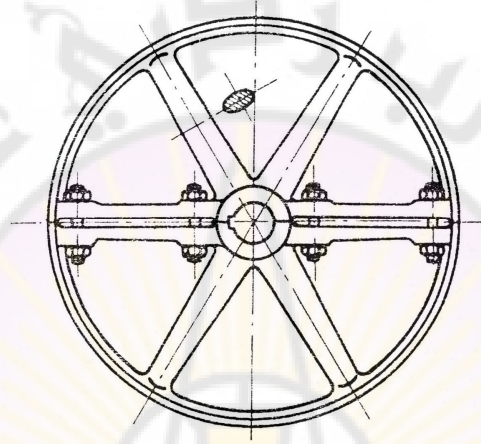
وهي الأكثر استعمالاً في مختلف أنواع الآلات الثابتة: كالمكابس ، والمطارق ، والمقصات الآلية . تكون الحذافة الإطارية بشكل حلقة ، ذات مقطع مستطيل عادة ، تتصل بأذرع أو أعصاب بالجذعة أو البطيخة (Hub) ، التي تتركب على عمود الدوران باستعمال خابور مناسب .

إن نسبة عرض مقطع الحلقة b إلى ارتفاعه h بحدود $(b/h = 0.6 - 3)$ ، وفي حال استعمال الحذافة لنقل الحركة بوساطة سير ، فإن العرض b يجب أن يزيد على الأقل على عرض السير بنحو $(3 - 5 \text{ cm})$. أما قطر الجذعة ، فإنه يساوي على الأقل ضعف قطر عمود الدوران ، وطولها هو بحدود $(1.5 - 2)$ قطر عمود الدوران .

إن عدد الأذرع النظامي هو ستة ، إلا أنه في حالة حذافات ذات قطر كبير يمكن استعمال ثمانية أذرع أو عشرة . إن المقطع العرضي للأذرع هو عادة قطع ناقص . تستدق الأذرع من الجذعة إلى المحيط الداخلي للحلقة بميل $(10\% - 25\%)$.

تصنع الحذافات الإطارية من حديد الصب أو فولاذ الصب تبعاً للسرعات المحيطية . تسمح أغلب الأنظمة العيارية بسرعة محيطية عظمى 30 m/s لحديد الصب ، و 60 m/s لفولاذ الصب ، ويمكن لهذه السرعة أن تصل إلى 90 m/s في حالة بعض التصميمات الخاصة للأذرع . كما يجب الانتباه إلى إجراء موازنة دقيقة للحذافة خاصة في حالة سرعات محيطية عالية .

كما تصنع الحذافات عادة كقطعة واحدة إلا أنه يفضل تصنيعها من قطعتين عندما يكون قطرها أكبر من مترين ، وذلك يسهل نقلها ، وتركيبها على عمود الدوران . يجب في هذه الحالة أن يقطع الجزءان على طول الذراع ، كما في (الشكل-5-45) ؛ لأن ذلك يؤمن متانة تساوي ضعفي المتانة في حالة إجراء القطع بين الأذرع .



(الشكل-5-45) حذافة حلقيّة .

يعين وزن حذافة من هذا النوع على أساس أنها حلقة نصف قطر عطالتها يساوي نصف قطرها الوسطي R ، حيث ينتج أن:

$$I_f = M \cdot R^2 = \frac{W \cdot R^2}{g} \quad (42-5)$$

من الواضح أن هذا الوزن يمثل وزن الإطار المحيطي . إن أوزان الجذعة ، والأذرع الإضافية تُسهم في زيادة عزم العطالة الفعلي ؛ مما يؤدي إلى معامل تراوح للسرعة أقل من المستعمل في التصميم أو المسموح به ، وهذا يحسن أداء المجموعة الآلية.

إن تحليل الاجهادات الناتجة من القوة النابذة ، والمؤثرة في الاطار ، والأذرع معقد ، ولا توجد طريقة دقيقة لتحديد هذه الإجهادات المختلفة ، لذا فإنه يتم عادة تصميم الحذافة إجهادياً بشكل تقريبي ، واستعمال معامل أمان كبير نسبياً لتفادي انهيار الحذافة تحت تأثير الإجهادات المجهولة التي لا تؤخذ عادة في التحليل ، كإجهادات التقص ، والتمدد ، وما قد ينتج من تشوهات في الإطار ، والأذرع .

تعد الإجهادات المؤثرة - بشكل عام - إجهادات شد إضافة إلى إجهادات الانحناء التي تنتج من تثبيت كل من الإطار ، والأذرع تثبيتاً صلباً من جهة ، وتلك التي تحدث بسبب قوى العطالة الناتجة من تغيرات السرعة ؛ لذا فإننا سنبين بإيجاز الأسس المتبعة في إجراء تصميم أولي لأبعاد الحذافة ، علماً أنه يفضل في حالة سرعات محيطية عالية استكمال التصميم بتحليل شامل للإجهادات ، حيث يمكن الرجوع إلى المراجع الخاصة بهذا التحليل ، بخاصة عندما يستفاد من الحذافة كوسيلة لنقل القدرة ضمن المجموعة الآلية ، إلا أننا هنا سنفرض أن الحذافة لا تقوم بنقل أية حركة أو قدرة .

يمكن استناداً إلى أبحاث مقاومة المواد تعيين إجهاد الشد الحلقي S_1 ، الناتج في مقطع إطار الحذافة ، من تأثير القوة النابذة على الشكل الآتي:

$$S_1 = \frac{g \cdot V^2}{g} \quad (43-5)$$

حيث:

γ تمثل الوزن النوعي لمعدن الحذافة ، ويعين بالوحدة القياسية N/m^3 .

V تمثل السرعة المحيطية الوسطية ، وتعين بالوحدة القياسية m/sec .

g تمثل ثابت الجاذبية الأرضية ، وقيمتها $9.8 m/sec^2$.

وبالتالي يعين الإجهاد الحلقي S_1 بالوحدة القياسية N/m^2 .

كما يمكن أيضاً تعيين إجهاد الانحناء الأعظمي S_2 المؤثر في مقطع إطار الحذافة ، على أساس أن كل جزء بين ذراعين متتاليين هو جائز مستقيم مثبت الطرفين ، تحت تأثير القوة النابذة الموزعة عليه بانتظام ، حيث ينتج أن:

$$S_2 = \frac{2 \cdot p^2}{n^2} \cdot \frac{R}{h} S_1 \quad (44-5)$$

حيث:

n تمثل عدد الأذرع .

R نصف القطر الوسطي للإطار .

h تمثل ارتفاع مقطع الإطار ؛ أي سماكته باتجاه نصف القطر .

S_1 تمثل إجهاد الشد المعين بالعلاقة (43-5) .

يعطى إجهاد الشد الكلي الناتج من تأثير القوة النابذة في الإطار الحلقي للحذافة ، في أغلب التطبيقات العملية ، بالعلاقة:

$$S = 0.75 S_1 + 0.25 S_2 \quad (45-5)$$

بينت التجارب العملية أن الإجهاد الكلي المسموح به ، يجب ألا يتجاوز 40 N/mm^2 لحديد الصب ، و 150 N/mm^2 لفولاذ الصب ؛ إضافة إلى أن إجهاد الشد الحلقي S_1 يجب ألا يزيد على 7 N/mm^2 لحديد الصب ، و 25 N/mm^2 لفولاذ الصب ؛ وبالتالي فإن التصميم الصحيح يجب أن يلائم أبعاد الحذافة لتحقيق كل من الشرطين الإجهاديين لإطار الحذافة .

أما الأذرع ، فإنها تصمم في حالة حذافة لا يستفاد منها في نقل القدرة ، استناداً إلى العزم المؤثر نتيجة تغير سرعة الحذافة ، تسارع أو تباطؤ ، ويتم التصميم على أساس العزم الكلي المؤثر عند توقف فجائي ، حيث يترتب على الأذرع تحمل هذا العزم . يعد الذراع في هذه الحالة كابولة (Cantilever) مثبتة إلى الجذعة ، وتحمل حملاً مركزاً عند نهايتها الحرة المتصلة بالإطار المحيطي ، حيث ينتج أن:

$$S_a = \frac{T(D-d)}{Z \cdot D \cdot n_e} \quad (46-5)$$

حيث:

D تمثل القطر الوسطي للحذافة .

d تمثل قطر الجذعة التي تتصل بها الأذرع .

T تمثل العزم المنتقل إلى الحذافة عند التوقف من عمود الدوران ، ويعين بالوحدة القياسية N.m

n_e تمثل عدد الأذرع الفعال ، ويؤخذ مساوياً نصف عدد الأذرع أو ثلثها .

Z تمثل عامل مقطع الأذرع عند الجذعة ، ويعين بالوحدة القياسية m^3 .

S_a تمثل الإجهاد الناتج في الذراع ، ويعين بالوحدة القياسية N/m^2 .

يسمح في حالات التطبيقات التي يتم فيها التوقف بشكل منتظم نسبياً ، بأن تصل قيمة الإجهاد S_a حتى 10 N/mm^2 لحديد الصب ، إلا أنه في حالة توقف آني فجائي ، كما في المضخات مثلاً ، فإن قيمة هذا الإجهاد يجب ألا تزيد على 6 N/mm^2 . لكن تثبيت الأذرع إلى إطار الحذافة يؤدي عموماً إلى تخفيض قيمة الإجهاد المحسوبة وفق المعادلة (46-5) ، بحيث يمكن أن يكون الإجهاد الفعلي المؤثر في الأذرع بحدود 50% من القيمة المحسوبة في حالة إطار ثقيل نسبياً. أما في حالة فولاذ الصب ، فيكون الإجهاد الأعظمي المسموح به مساوياً أربعة أمثال إجهاد حديد الصب .

لقد تبين عملياً أن الأبعاد الأخرى للحذافة ، وطريقة التصنيع تحدد أبعاد الأذرع بشكل تكون فيه المعادلة (46-5) محققة بأمان كافٍ في أغلب التطبيقات .

تجدر الإشارة إلى أن مجمل القيم التي ذكرت أعلاه فيما يتعلق بالإجهادات المسموحة تعود إلى حذافة إطارية من قطعة واحدة . أما في حالة تصنيع هذه الحذافة على شكل قطعتين أو أكثر ، فإن ذلك يؤثر في انخفاض متانتها ضمن حدود متفاوتة تصل إلى انخفاض في الإجهاد المسموح به يعادل تقريباً 50% في حالة الحذافة المبينة في (الشكل-5-45) .

يتضح مما تقدم أن التصميم النهائي للحذافة مهما كان نوعها يجب أن يتم على أساس التوفيق بين مختلف المتغيرات الديناميكية ، والإجهادية المؤثرة فيها ، ووفقاً للأداء المطلوب للمجموعة الآلية العائدة لها هذه الحذافة .

مثال ذلك ، يؤثر اختيار موقع الحذافة في الدراسة الإجهادية لكل من المجموعة الآلية ، والحذافة . يمكن توضيح ذلك استناداً إلى الشكل (5-43) في المسألة (5-11) ، حيث يؤدي تركيب الحذافة L على محور المحرك M ذي السرعة العالية نسبياً إلى ظهور إجهادات عالية في إطارها لكن يكون وزنها قليلاً . بينما ينتج من تركيبها على عمود دوران المرفق ذي السرعة المنخفضة إلى ازدياد كبير في وزنها ؛ مما يؤدي إلى ازدياد كبير في إجهادات الانحناء المؤثر في عمود دوران المرفق ، لكن يحدث انخفاض في الإجهادات الناتجة في الحذافة ؛ لذا يكون الحل الأنسب التوفيق بين هذه المتغيرات ، أن يتم تركيب الحذافة على عمود دوران متوسط السرعة ، كما في الشكل (5-43) .

مسألة-5-13

المطلوب تصميم الحذافة اللازمة في المسألة (5-9) ، علماً أنه يراد تصنيعها كقطعة واحدة من حديد الصب . بحيث يكون إجهاد الشد الحلقي المسموح به هو 5 N/mm^2 ، وعرض إطار الحذافة يساوي ضعف ارتفاعه ، علماً أن الوزن النوعي لحديد الصب المستعمل 74000 N/m^3 .

الحل:

استناداً إلى تعيين عزم عطالة الحذافة ، فقد تبين في المثال المذكور أنه:

$$I_f = 3.21 \text{ kg.m}^2$$

والحذافة مركبة على عمود دوران المحرك حيث:

$$w_m = 62.8 \text{ rad/sec}$$

ينتج من المعادلة (5-43) لإجهاد الشد الحلقي أن السرعة المحيطية الوسطية:

$$V = 25.7 \text{ m/sec}$$

ومنه نصف القطر الوسطي للحذافة:

$$R = V / w_m \approx 0.41 \text{ m}$$

أما وزن الحذافة ، فإنه ينتج من علاقة عزم العطالة بعد إهمال تأثير الأذرع وبافتراضها حلقة:

$$W = I_f \cdot g / R^2 = 187 \text{ N}$$

لكن هذا الوزن يساوي جداء حجم الإطار الحلقي في الوزن النوعي ؛ أي: إن:

$$W = g(2 p \cdot R \cdot b \cdot h)$$

وبما أن $(b = 2h)$ ، فإنه ينتج بعد التعويض من قيم الوزن النوعي ، نصف القطر ووزن الحذافة ، أن:

$$h = 22.15 \text{ mm} , \quad b = 44.3 \text{ mm}$$

يمكن بعدئذ التحقق من قيمة إجهاد الشد الكلي إذا أخذ تأثير إجهاد الانحناء ، والأذرع ، ولنفرض أن عددها ($n = 6$) ، فينتج من تطبيق المعادلة (5-45) أن:

$$S \approx 16 \text{ N/mm}^2$$

وهو ضمن الحدود المسموح بها لحديد الصب التي ذكرت في الفقرة السابقة .



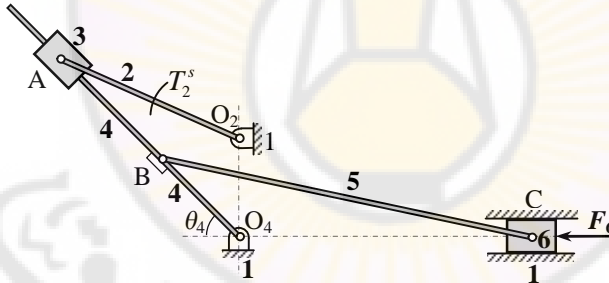
مسائل غير محلولة Problems

م-5-1

يبين الشكل (م-5-1) المخطط الحركي لتركيبية الحركة سريعة الارتداد ، حيث تؤثر القوة F_6 في المنزلقة 6 .

المطلوب بإهمال أوزان الوصلات ، وعطالتها ، وكذلك الاحتكاك عند الازدواجات ، إجراء تحليل القوى الاستاتيكية لتعيين قيمة ، واتجاه كل من القوى المؤثرة في محامل التركيبية ، وكذلك العزم الاستاتيكي T_2^s المؤثر من عمود الدوران O_2 في الوصلة 2 ، للتغلب على الحمل المؤثر في المنزلقة ($F_6 = 335 \text{ N}$) ؛ للحفاظ على توازن التركيبية في الوضع المحدد بـ ($\theta_4 = 45^\circ$) .
علماً أن:

$$O_2O_4 = 18 \text{ cm} , O_4B = 20 \text{ cm} , O_2A = 36 \text{ cm} , BC = 70 \text{ cm}$$



الشكل (م-5-1) مخطط حركي لتركيبية حركة سريعة الارتداد .

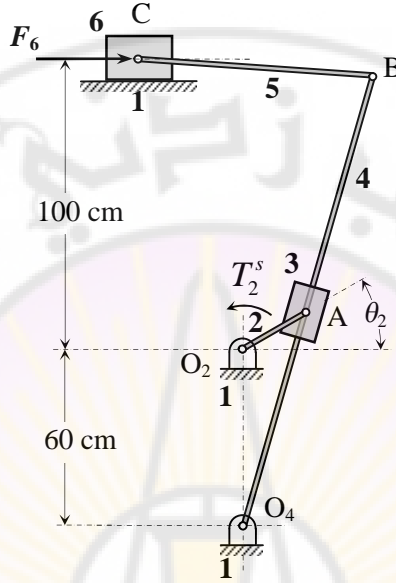
م-5-2

يبين الشكل (م-5-2) المخطط الحركي لتركيبية الحركة سريعة الارتداد ، حيث تؤثر القوة F_6 في المنزلقة 6 .

المطلوب بإهمال أوزان الوصلات ، وعطالتها ، وكذلك الاحتكاك عند الازدواجات ، إجراء تحليل القوى الاستاتيكية لتعيين قيمة ، واتجاه كل من القوى المؤثرة في محامل التركيبية ، وكذلك العزم الاستاتيكي T_2^s اللازم تطبيقه على المرفق O_2A من عمود الدوران O_2 ، للتغلب على الحمل المؤثر في المنزلقة ($F_6 = 1000 \text{ N}$) ؛ للحفاظ على توازن التركيبية للوضع المحدد بـ ($\theta_2 = 30^\circ$) .

علماً أن:

$$O_2A = 25 \text{ cm} , \quad O_4B = 160 \text{ cm} , \quad BC = 80 \text{ cm}$$



الشكل (م-5-2) مخطط حركي لتركيبية حركة سريعة الارتداد .

*

م-5-3

يبين الشكل (م-5-3) المخطط الحركي لتركيبية ركبية في مكبس تخريم ، حيث الوصلة المقودة المنزلقة F تمثل ممسك أداة التخريم .

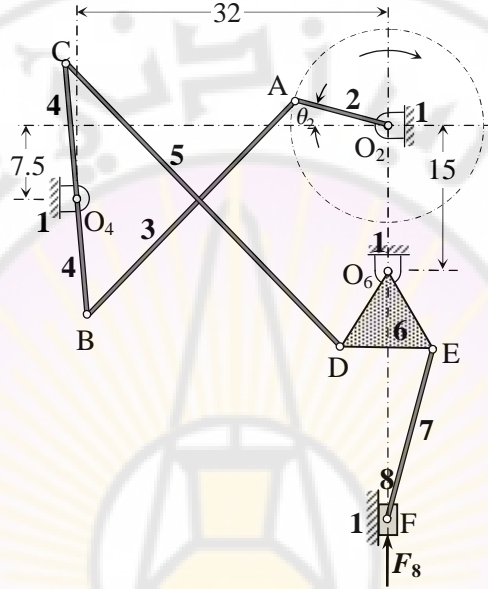
تؤثر في المنزلقة F من التركيبية قوة F_8 تعاكس حركة هذه المنزلقة ، فإذا كان وزن المنزلقة F يساوي 50 N ، ومعامل الاحتكاك بينها والمجرى يساوي 0.1 .

المطلوب بإهمال أوزان بقية الوصلات ، وعطالتها ، وكذلك الاحتكاك عند الازدواجات الدورانية . إجراء تحليل القوى الاستاتيكية لتحديد قيمة كل من القوى المؤثرة في محامل التركيبية ، واتجاهها ، والعزم الاستاتيكي اللازم تطبيقه على الوصلة القائدة 2 من عمود الدوران O_2 ، للتغلب على القوة المؤثرة في المنزلقة ($F_8 = 800 \text{ N}$) ؛ للحفاظ على توازن التركيبية للوضع المحدد بـ ($\theta_2 = 15^\circ$) .

علماً أن:

$$O_2A = 10 \text{ cm} , AB = 31 \text{ cm} , O_4C = 14 \text{ cm} , O_4B = 12.5 \text{ cm}$$

$$CD = 41 \text{ cm} , EF = 18 \text{ cm} , O_6D = O_6E = DE = 9 \text{ cm}$$



الشكل (م-3-5) مخطط حركي لتركيبه ركبته في مكبس تخريم .

*

م-4-5

يبين الشكل (م-4-5) المخطط الحركي لتركيبه آلية حيث تؤثر القوة $(F_2 = 200 \text{ N})$ في المنزلقة 2 بالاتجاه المبين في الشكل .

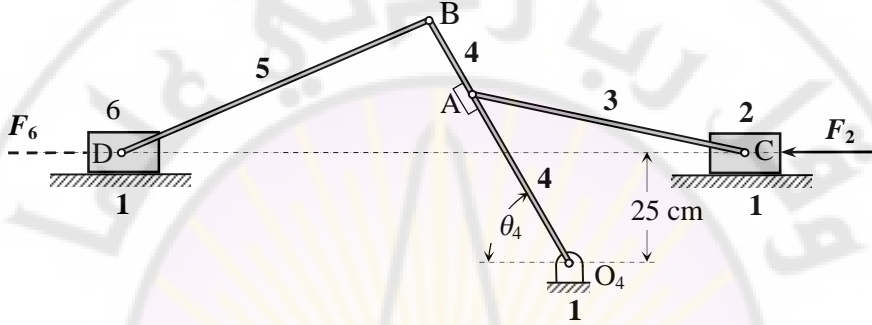
المطلوب بإهمال أوزان الوصلات ، والاحتكاك عند الازدواجات . إجراء تحليل مشترك للقوى الاستاتيكية ، والعطالية المؤثرة في التركيب ؛ لتعيين قيمة كل من القوى المؤثرة في محامل التركيب ، واتجاهها ، وكذلك القوة F_6 اللازم تطبيقها على المنزلقة 6 ؛ لتتحرك المنزلقة 2 بسرعة 3.5 m/sec ، وتسارع 35 m/sec^2 باتجاه القوة F_2 ، والحفاظ على توازن التركيب في الوضع المحدد بـ $(\theta_4 = 60^\circ)$ ، بما فيه تعيين قوة الارتجاج وموقع خط عملها عن المسند O_4 .

علماً أن الوصلات متجانسة ، ومتناظرة بالنسبة لمراكز كتلتها ، وأن:

$$O_2A = 45 \text{ cm} , \quad O_4B = AC = 64 \text{ cm} , \quad BD = 76 \text{ cm}$$

$$W_2 = 10 \text{ N} , \quad W_3 = W_4 = 12 \text{ N} , \quad W_5 = 15 \text{ N} , \quad W_6 = 10 \text{ N}$$

$$I_3 = I_4 = 0.03 \text{ kg.m}^2 , \quad I_5 = 0.04 \text{ kg.m}^2$$



الشكل (م-5-4) مخطط حركي لتركيبية آلية .

*

م-5-5

يبين الشكل (م-5-5) أحد أوضاع تركيبية آلية ، فإذا دار المرفق 2 بسرعة زاوية ثابتة قدرها $(\omega_2 = 300 \text{ rad/sec})$ بعكس دوران عقارب الساعة .

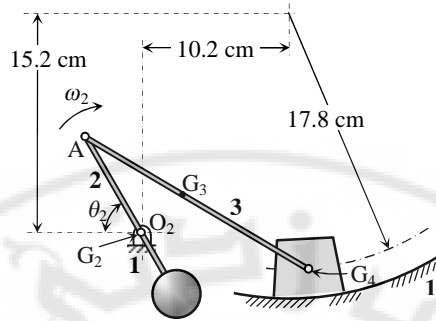
المطلوب إجراء تحليل حركي ، وديناميكي كامل ، لتعيين قيمة كل من القوى المؤثرة في محامل التركيبية ، واتجاهها ، وكذلك العزم اللازم تطبيقه على الوصلة القائدة 2 من عمود الدوران O_2 ؛ للحفاظ على توازن التركيبية للوضع المحدد بـ $(\theta_2 = 60^\circ)$. بما فيه تعيين قوة الارتجاج وموقع خط عملها عن المسند O_2 .

علماً أن:

$$O_2A = 7.62 \text{ cm} , \quad AB = 17.8 \text{ cm} , \quad AG_3 = 7.62 \text{ cm}$$

$$W_2 = 17.8 \text{ N} , \quad W_3 = 35.6 \text{ N} , \quad W_4 = 89 \text{ N}$$

$$I_2 = 0.004 \text{ kg.m}^2 , \quad I_3 = 0.020 \text{ kg.m}^2 , \quad I_4 = 0.014 \text{ kg.m}^2$$



الشكل (م-5-5) مخطط حركي لتركيبية آلية .

م-5-6

يبين الشكل (م-5-6) المخطط الحركي لتركيبية آلية متصلة ، حيث تؤثر القوة الشاقولية F_C في النقطة C بالاتجاه المبين في الشكل ، فإذا دار المرفق 2 بسرعة زاوية ثابتة قدرها $(\omega_2 = 10 \text{ rad/sec})$ بعكس دوران عقارب الساعة .

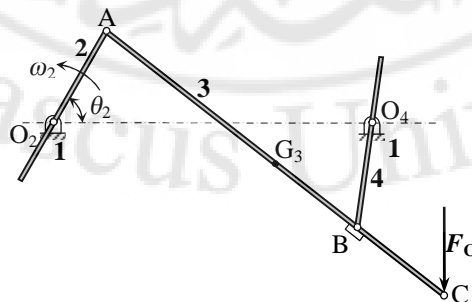
المطلوب إجراء تحليل مشترك للقوى الاستاتيكية ، والعطالية المؤثرة في التركيبية ، لتعيين قيمة كل من القوى المؤثرة في محامل التركيبية ، واتجاهها ، وكذلك العزم الخارجي اللازم تطبيقه على المرفق 2 ؛ للتغلب على القوة الشاقولية $(F_C = 135 \text{ N})$ ، ولتحقيق توازن التركيبية عند الوضع $(\theta_2 = 60^\circ)$. بما فيه تعيين قوة الارتجاج ، وموقع خط عملها عن المسند O_4

علماً أن الوصلتين 2 و 4 موازنتان بحيث يكون مركزا كتلتيهما منطبقين على مركزي دورانهما ، وأن:

$$O_2A = 15 \text{ cm} , \quad AB = 45 \text{ cm} , \quad O_4B = 15 \text{ cm}$$

$$AC = 60 , \quad O_2O_4 = 45 \text{ cm} , \quad AG_3 = 30 \text{ cm}$$

$$W_3 = 17.8 \text{ N} , \quad I_3 = 0.056 \text{ kg.m}^2 , \quad I_4 = 0.0071 \text{ kg.m}^2$$



الشكل (م-5-6) مخطط حركي لتركيبية آلية .

م-5-7

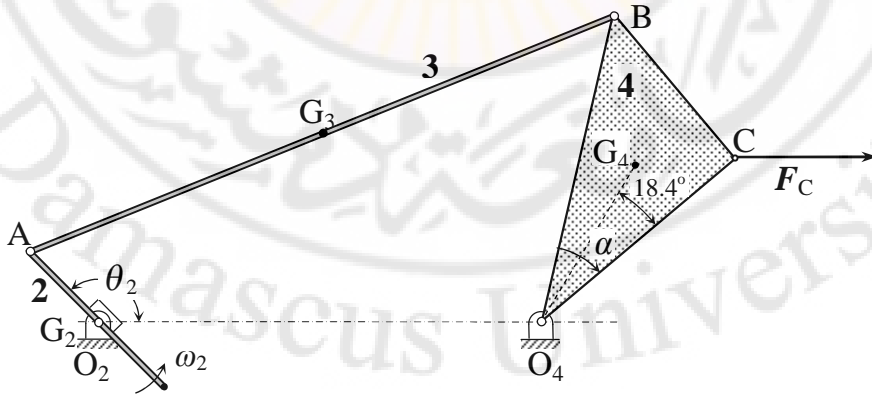
يبين الشكل (م-5-7) المخطط الحركي لتركيبية آلية رباعية الوصلات O_2ABO_4 ، مع مقارن (Coupler) ممتد للخارج حتى نقطة الإزاحة المقرنة C على الوصلة المقودة BO_4 التي تصنع زاوية α مع BO_4 بجهة دوران عقارب الساعة .

تؤثر في المقارن عند النقطة C القوة الخارجية الأفقية F_C بالاتجاه المبين في الشكل ، فإذا دار المرفق 2 بسرعة زاوية ثابتة قدرها $(\omega_2 = 60 \text{ rad/sec})$ بعكس دوران عقارب الساعة .

المطلوب إجراء تحليل مشترك للقوى الاستاتيكية ، والعطالية المؤثرة في التركيبية ، لتعيين قيمة كل من القوى المؤثرة في محامل التركيبية ، واتجاهها ، وكذلك العزم الخارجي اللازم تطبيقه على المرفق 2 للتغلب على القوة الخارجية $(F_C = 178 \text{ N})$ ؛ ولتحقيق توازن التركيبية عند الوضع $(\theta_2 = 135^\circ)$. بما فيه تعيين قوة الارتجاج ، وموقع خط عملها عن المسند O_4 .

علماً أن:

$$\begin{aligned} O_2A &= 7.5 \text{ cm} , AB = 50 \text{ cm} , O_4B = 25 \text{ cm} , O_2O_4 = 35 \text{ cm} \\ BC &= 15 \text{ cm} , O_4C = 20 \text{ cm} , AG_3 = 25 \text{ cm} , O_4G_4 = 14.2 \text{ cm} \\ W_3 &= 31.7 \text{ N} , W_4 = 15.2 \text{ N} , I_3 = 0.07 \text{ kg.m}^2 , I_4 = 0.0042 \text{ kg.m}^2 \end{aligned}$$



الشكل (م-5-7) مخطط حركي لتركيبية آلية رباعية الوصلات مع مقارن .

م-5-8

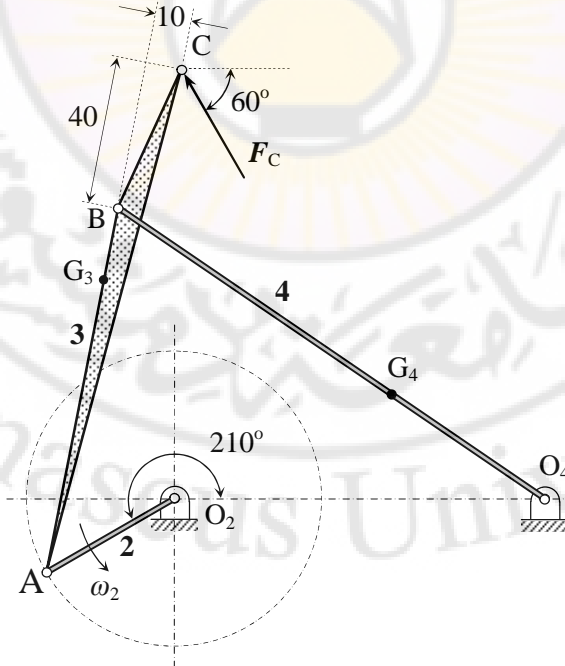
يبين الشكل (م-5-8) المخطط الحركي لتركيبية آلية رباعية الوصلات O_2ABO_4 ، مع مقارن (Coupler) ممتد نحو الداخل حتى النقطة المقرنة C على الوصلة القارئة AB . تؤثر في المقارن عند النقطة C القوة الخارجية ($F_C = 4450 \text{ N}$) بالاتجاه المبين في الشكل ، فإذا كان المرفق 2 يدور بسرعة زاوية ثابتة قدرها ($\omega_2 = 10 \text{ rad/sec}$) بعكس دوران عقارب الساعة .

المطلوب إجراء تحليل مشترك للقوى الاستاتيكية ، والعطالية المؤثرة في التركيبية ، وتعيين قيمة العزم الخارجي واتجاهه اللازم تطبيقه على المرفق 2 المهمل الكتلة ؛ لتحقيق توازن التركيبية عند الوضع ($\theta_2 = 210^\circ$) ؛ وللتغلب على القوة الخارجية ($F_C = 4450 \text{ N}$) .
علماً أن:

$$O_2A = 40 \text{ cm} , \quad AB = O_2O_4 = 100 \text{ cm} , \quad O_4B = 140 \text{ cm}$$

$$O_4G_4 = 50 \text{ cm} , \quad AG_3 = 80 \text{ cm}$$

$$W_3 = 988 \text{ N} , \quad W_4 = 925 \text{ N} , \quad I_3 = 25.5 \text{ kg.m}^2 , \quad I_4 = 29.8 \text{ kg.m}^2$$



الشكل (م-5-8) مخطط حركي لتركيبية آلية رباعية الوصلات مع مقارن .

م-5-9

يستعمل منظم هارتنيل (*Hartnell*) المبين في a من (الشكل-5-20) لتنظيم سرعة محور دوران شاقولي . إن ذراعي الوصلة المرفقية قائمة الزاوية طول ضلعها المتصل بالجلبة يساوي إلى 65 mm ، وطول ضلعها المتصل بالكرة يساوي إلى 90 mm ، وكتلة كل من كرتيه 2 kg . ويؤثر في الجلبة حمل قدره 40 N ؛ إضافة إلى قوة النابض .

فإذا كانت سرعة الاتزان عندما يكون الذراع الحامل للكرة شاقولياً تساوي 420 r.p.m عند نصف قطر الدوران الموافق لهذا الوضع 75 mm . المطلوب:

1. تعيين قوة النابض المؤثرة في الجلبة عند وضع الاتزان 420 r.p.m باهمال الاحتكاك .
2. تعيين قوة الاحتكاك عند الجلبة التي يمكنها التغلب عند هذا الوضع على زيادة في السرعة قدرها 1% .
3. إذا كانت زيادة في السرعة 5% من الوضع 420 r.p.m تؤدي إلى إزاحة الجلبة مسافة 12 mm ، فعين قيمة عامل صلابة النابض اللازم .
4. احسب جهد المنظم ، وقدرته عند ازدياد فجائي في السرعة 5% .

م-5-10

يبين (الشكل-5-25) تخطيطاً لمنظم مشترك التحميل ، محوره A مقيد الحركة في الاتجاه الشاقولي . تتصل كل من كرتيه بوصلة مرفقية قائمة الزاوية BCD ، تتمفصل مع الجلبة عند C ، ومجهزة بدحروجين في D يضغطان على السطح العلوي للمحور ؛ مما يؤدي إلى رفع الجلبة إلى الأعلى ، وانضغاط النابض المحصور بين الجلبة ، والمحور A .

فإذا كانت كتلة كل من الكرتين ($m = 2.7 \text{ kg}$) ، كتلة الجلبة ($m_s = 13.5 \text{ kg}$) ، وقوة الاحتكاك عند الجلبة ($F_f = 22 \text{ N}$) ، وأن عامل صلابة النابض ($K = 50 \text{ kN/m}$) ، وقوة انضغاطه عندما تكون الجلبة في أخفض وضع لها هي ($P_1 = 475 \text{ N}$) عند نصف قطر دوران الكرتين ($r_1 = 100 \text{ mm}$) ، كما هو مبين في الشكل .

المطلوب بإهمال كتلة الوصلتين المرفقيتين والدحروجين المتصلين بهما ، وبالأخذ بالحسبان تأثير كل من وزن الكرتين ، وميل الأذرع ، إيجاد الآتي:

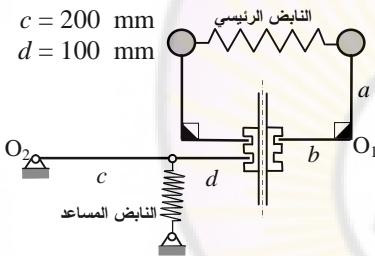
1. السرعة الزاوية التي تبدأ عندها الجلبة بالحركة نحو الأعلى من أخفض وضع لها .
2. مجال السرعات التي تبقى خلالها الجلبة ثابتة على مسافة ($\Delta y = 10 \text{ mm}$) فوق أخفض وضع لها .

م-11-5

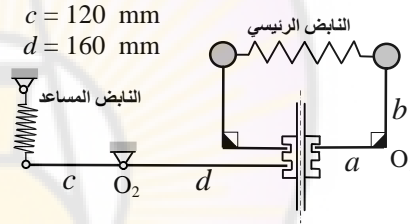
يصمم منظم ويلسون - هارتنيل المبين في الشكل (م-11-5) ، لتنظيم سرعة محرك ضمن مجال سرعات (300 - 325 r.p.m) ، عند نصف القطرين الحديين (85 - 100 mm) على التوالي .

فإذا كانت الوصلة المرفقية حاملة الكرة قائمة الزاوية ، طول ضلعها المتصل بالجلبة ($a = 60 \text{ mm}$) ، وطول ضلعها المتصل بالكرة ($b = 100 \text{ mm}$) ، الذي يكون شاقولياً عند السرعة 300 r.p.m ، والموافقة لنصف قطر دوران الكرة 85 mm ، وكان معامل مرونة النابض الرئيس مساوياً إلى 2 kN/m ، ومعامل مرونة النابض المساعد 5 kN/m . المطلوب بعد إهمال تأثير وزن الكرات ، وقوى الاحتكاك ، وميل الأذرع الآتي:

1. إيجاد كتلة كل من الكرتين .
2. حساب جهد المنظم وقدرته الناتجة من التغير الفجائي للسرعة بين القيمتين المذكورتين .



الشكل (م-11-5)



الشكل (م-11-5)

م-12-5

يصمم منظم ويلسون - هارتنيل المبين في الشكل (م-12-5) ، لتنظيم سرعة محرك ضمن مجال سرعات (600 - 630 r.p.m) ، عند نصف القطرين الحديين (150 - 170 mm) على التوالي .

فإذا كانت كتلة كل كرة 5 kg ، والوصلة المرفقية حاملة الكرة قائمة الزاوية ، طول ضلعها المتصل بالجلبة ($b = 75 \text{ mm}$) ، وطول ضلعها المتصل بالكرة ($a = 100 \text{ mm}$) ، الذي يكون شاقولياً عند السرعة 600 r.p.m ، والموافقة لنصف قطر دوران الكرة 150 mm ، وكان معامل مرونة النابض المساعد 40 kN/m .

المطلوب بعد إهمال تأثير وزن الكرات ، وقوى الاحتكاك ، وميل الأذرع الآتي:

1. تعيين عامل صلابة النابض الرئيس .
2. حساب جهد المنظم وقدرته الناتجة من التغير الفجائي للسرعة بين القيمتين المذكورتين .

م-5-13

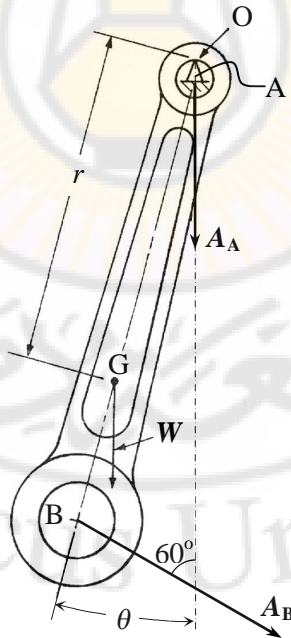
يعلق ذراع التوصيل المبين في الشكل (م-5-13) ، حيث البعد بين نهايتيه 250 mm ، والقطر الداخلي لنهايته الصغرى 20 mm ، ليهتز حول المسند O بزاوية صغيرة θ . تبين في اختبار تجريبي أن الذراع يهتز 200 نوسة كاملة خلال 190 sec .

فإذا كان:

$$W=10\text{ N} \quad , \quad r=180\text{ mm} \quad , \quad A_A=1600\text{ m/sec}^2 \quad , \quad A_B=4500\text{ m/sec}^2$$

المطلوب:

1. تعيين قيمة عزم عطالة الذراع حول مركز ثقله G .
2. تحديد عناصر جملة الكتلتين المكافئة ديناميكياً للذراع ، إذا وضعت إحدى الكتلتين في مركز نهايته الصغرى .
3. إذا تحرك الذراع بحيث إن التسارع المطلق لكل من نهايتيه ، كما في الشكل ، عين قيمة قوة العطالة المؤثرة في الذراع ، واتجاهها ، وخط عملها .

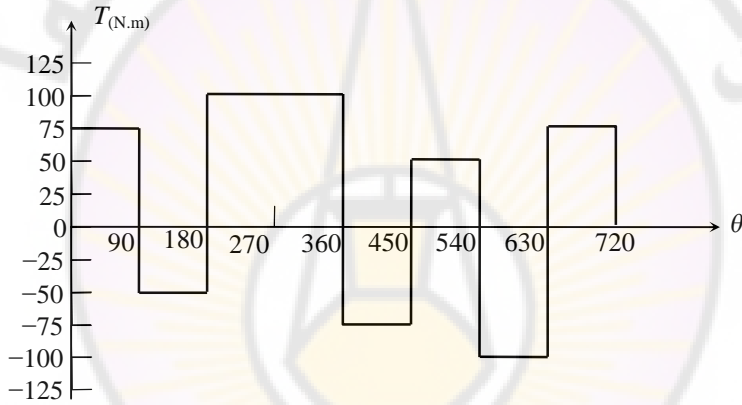


الشكل (م-5-13) مخطط ذراع توصيل حركة .

م-5-14

يتغير العزم المقاوم في آلة وفقاً للمخطط المبين في الشكل (م-5-14) ، حيث يتكرر هذا المخطط بعد كل دورتين لعمود الدوران . تدار هذه الآلة مباشرة بمحرك ثابت العزم بسرعة 3500 r.p.m . المطلوب:

1. تعيين استطاعة المحرك الوسطية .
2. تحديد وضع عمود الدوران الذي تحدث عنده كل من السرعة العظمى ، والصغرى .
3. حساب التراوح الأعظمي للقدرة .



الشكل (م-5-14) مخطط تغيرات العزم المقاوم في آلة .

*

م-5-15

يتغير العزم المقاوم لآلة بحيث يتزايد بانتظام من قيمة 675 N.m إلى قيمة عظمى 2700 N.m خلال دوران محور الآلة من الصفر إلى π ، ويبقى ثابتاً من π إلى 3π ، ثم يتناقص بانتظام إلى 675 N.m خلال دوران المحور من 3π إلى 4π ، ومن ثم يبقى ثابتاً حتى نهاية دورة عمل كاملة ، وقدرها 6π .

تدار هذه الآلة مباشرة بمحرك ثابت العزم يدور بسرعة 250 r.p.m ، ومجهز محوره بحذافة حلقيّة وزنها 4500 N ، ونصف قطر عطالتها 60 cm ، المطلوب:

1. رسم مخطط تغير عزم الدوران المقاوم للآلة بإتقان خلال دورة عمل كاملة بالنسبة لزاوية دوران محور الآلة θ ، ومن ثم استنتاج قيمة عزم المحرك اللازم .
2. تعيين الاستطاعة الوسطية للمحرك .
3. تعيين التراوح الأعظمي للقدرة على مخطط عزم الدوران خلال دورة عمل كاملة للآلة ، واحسب قيمته .
4. تعيين معامل تراوح القدرة .
5. تعيين عزم عطالة الحذافة الحلقية المستخدمة .
6. تعيين معامل تراوح السرعة لمحور الدوران .

*

م-5-16

يعطي محرك احتراق داخلي أحادي الأسطوانة رباعي الشوط (شوط التمدد - شوط الطرد - شوط السحب - شوط الانضغاط) استطاعة قدرها 30 kW عند سرعة دوران 300 r.p.m ، حيث يبدأ منحنى عزم الدوران خلال شوط التمدد بزاوية نصف قطرية من 0 إلى π وشوط الانضغاط من 3π إلى 4π على شكل مثلثين متساويي الساقين ، والقدرة الناتجة عن المحرك خلال شوط الطرد من π إلى 2π ، والسحب من 2π إلى 3π ، فهي معدومة ، أما القدرة الناتجة خلال شوط الانضغاط ، فهي سالبة ، وتساوي ربع القدرة الناتجة خلال شوط التمدد .

يدير هذا المحرك مباشرة آلة ذات عزم مقاوم ثابت . المطلوب:

1. رسم مخطط عزم الدوران للمحرك بإتقان خلال دورة عمل ترموديناميكية كاملة موضحاً عليه العزم الوسطي .
2. تعيين القدرة الناتجة عن المحرك خلال دورة كاملة ، ومن ثم إيجاد القيمة العظمى لعزم الدوران خلال شوط التمدد .
3. تعيين كتلة الحذافة الحلقية اللازم تركيبها على محور المحرك ؛ للحفاظ على تراوح سرعة لا يزيد على $\pm 1.5\%$ حول قيمة السرعة الوسطية ، إذا كان نصف قطر عطالتها 600 mm .

م-5-17

يعطى عزم الدوران الناتج على عمود دوران محرك بدلالة زاوية المرفق θ ،
بالمعادلة:

$$T_{(Nm)} = 500 + 250 \sin 2q - 320 \cos 2q$$

حيث θ تمثل زاوية المرفق من النقطة الميتة .

يدير هذا المحرك مباشرة آلة ذات عزم مقاوم ثابت ، سرعة الدوران الوسطية 1500 r.p.m ، ومعامل تراوح السرعة المسموح به 10% . المطلوب:

1. تعيين استطاعة المحرك الوسطية بالكيلو واط .
2. حساب عزم عطالة الحذافة اللازمة .
3. تحديد الوضع الزاوي الذي يحدث عنده أعظم تسارع زاوٍ للحذافة ، وقيمة هذا التسارع .

*

م-5-18

إن معادلة العزم الناتج على عمود دوران محرك بدلالة زاوية المرفق θ ، هي:

$$T_{(Nm)} = 19200 + 6400 \sin 3q$$

يدير هذا المحرك مباشرة آلة يتغير فيها العزم المقاوم وفق المعادلة:

$$T_{(Nm)} = 19200 + 2750 \sin q$$

فإذا كانت سرعة الدوران الوسطية 300 r.p.m ، وعزم عطالة الحذافة 400 kg m^2 ، واعتبار $(\cos 3q = 4 \cos^3 q - 3 \cos q)$ ، $(\sin 3q = 3 \sin q - 4 \sin^3 q)$ ، المطلوب:

1. تعيين استطاعة المحرك الوسطية بالكيلو واط .
2. تعيين قيمة معامل تراوح السرعة .
3. حساب التباطؤ الزاوي الأعظمي للحذافة ، وموضع حدوثه .

م-5-19

يستخدم مكبس لأداء 30 عملية كبس في الدقيقة ، بحيث يزداد العزم المقاوم خلال عملية الكبس بانتظام من الصفر إلى قيمة عظمى قدرها 1500 N.m خلال زمن 0.2 sec ، ويبقى ثابتاً خلال زمن 0.4 sec ، ومن ثم يتناقص بانتظام حتى ينعدم خلال زمن 0.2 sec ، بحيث تستغرق عملية الكبس الفعلية 0.8 sec .

فإذا كان عمود إدارة المكبس مجهزاً بحذافة حلقيّة وزنها 5000 N ونصف قطر عطالتها 80.5 cm ، ويدور بسرعة وسطية قدرها 150 r.p.m بواسطة محرك كهربائي ثابت العزم ، المطلوب:

1. رسم مخطط تغير العزم المقاوم بإتقان خلال دورة عمل كاملة بالنسبة للزمن t ، وبالنسبة لزاوية دوران عمود إدارة المكبس θ المكافئة لهذا الزمن ، ومن ثم استنتاج قيمة عزم المحرك اللازم لعملية الكبس .
2. تعيين الاستطاعة الوسطية للمحرك .
3. تعيين التراوح الأعظمي في القدرة خلال عملية الكبس .
4. تعيين معامل تراوح السرعة لعمود إدارة المكبس .
5. تعيين التغير الكلي لسرعة عمود إدارة المكبس خلال عملية الكبس .
6. تعيين القدرة اللازمة لعملية الكبس .
7. تعيين عدد عمليات الكبس في الساعة .

*

م-5-20

يستخدم مكبس لأداء 120 عملية كبس في الدقيقة ، بحيث تتم عملية الكبس بعزم مقاوم ثابت قدره 10 Nm خلال زمن قدره 0.2 sec ، ومن بعدها مباشرة يصبح العزم ثابتاً أيضاً ، وقدره 1 Nm خلال زمن قدره 0.3 sec ، ويتكرر هذا العزم بكل عملية كبس .

فإذا كان عمود إدارة المكبس مجهز بحذافة حلقيّة وزنها 115 N ، ونصف قطر عطالتها 12 cm ، ويدور بسرعة وسطية 3000 r.p.m بواسطة محرك كهربائي ثابت العزم . المطلوب الآتي:

1. إيجاد الزمن الذي تستغرقه دورة عمل كاملة للمكبس ، وتحديد زاوية دوران عمود إدارة المكبس المكافئة لزمان الدورة الواحدة .
2. رسم مخطط تغيير العزم المقاوم خلال دورة عمل كاملة بالنسبة للزمن t ، أو بالنسبة لزاوية دوران عمود إدارة المكبس θ المكافئة لهذا الزمن بالراديان ، ومن ثم استنتاج قيمة عزم المحرك T اللازم لعملية الكبس .
3. تعيين الاستطاعة الوسطية للمحرك .
4. تعيين معامل تراوح السرعة ، ومن ثم التغير الكلي لسرعة عمود الدوران .

*

م-5-21

وجد في اختبار تجريبي لمحرك متعدد الأسطوانات ، أن المساحات المحصورة بين مخطط عزم الدوران وخط العزم المقاوم الثابت ، هي:

$$-30, +400, -270, +325, -312, +230, -370, +270, -243 \text{ mm}^2$$

حيث مقياس رسم المخطط بدلالة الوضع الزاوي للمرفق هو:

$$\text{شاقولياً } (1 \text{ mm} \equiv 55 \text{ N.m}) , \quad \text{وأفقياً } (1 \text{ mm} \equiv 3^\circ)$$

فإذا كانت السرعة الوسطية للدوران 1000 r.p.m ، ومعامل تراوح السرعة المسموح به $\pm 0.5\%$. المطلوب إجراء تصميم كامل للحذافة اللازمة على أساس كونها حلقة ذات ستة أذرع ، علماً أن:

- الوزن النوعي لمعدن الحذافة يساوي 78000 N/m^3 .
- إجهاد الشد الحلقي المسموح به يساوي 20 N/mm^2 .
- عرض محيط الإطار يساوي ضعف ارتفاعه .
- مقطع الذراع قطع ناقص محوره الأكبر ضعفي محوره الأصغر ، والإجهاد المسموح به في الذراع يساوي 20 N/mm^2 .
- قطر جذعة الحذافة يساوي 100 mm .
- الاستطاعة الوسطية المستهلكة في الحمل المقاوم 250 kw ، والمحرك يتصل مباشرة بعمود دوران الحمل .
- إجهاد الشد الكلي المؤثر في مقطع إطار الحذافة ، يجب ألا يزيد على 75 N/mm^2 .

م-5-22

- يدار مقص آلي بمحرك كهربائي ذي استطاعة مستمرة قدرها 3 kw ، يتصل مباشرة بعمود تدوير المقص . ويركب على عمود دوران المحرك حذافة عزم عطالتها 12 kg.m^2 .
- فإذا كانت سرعة دورانها 250 r.p.m عند لحظة بدء عملية القص ، وكانت عملية القص تستهلك قدرة 4750 N.m وتستغرق زمناً قدره 0.75 sec . المطلوب:
1. تعيين عدد عمليات القص الممكن تنفيذها خلال ساعة عمل للمقص .
 2. حساب الانخفاض الحاصل في سرعة دوران الحذافة بعد انتهاء عملية القص مباشرة .

*

م-5-23

- يستخدم مكبس تخريم المبين في (الشكل-5-42) في تنقيب صفيحة فولاذية بمعدل 20 ثقباً/دقيقة ، حيث تستغرق عملية التخريم $1/5$ من زمن دورة كاملة للمرفق ، وكانت سماكة الصفيحة 19 mm ، قطر الثقب 15 mm ، ومقاومة معدن الصفيحة للقص 300 N/mm^2 ، وكان مخطط تغير القوة بالنسبة لانتقال عدة التخريم مبيناً في (الشكل-5-43) .
- فإذا دار المحرك بسرعة ثابتة 900 r.p.m وانتقلت الحركة إلى مرفق المكبس عبر عمود مناوول وسيط يدور بسرعة 120 r.p.m . المطلوب:
1. رسم المخطط الحركي للمكبس مبيناً عليه قيمة دوران كل عمود ، وسرعته ، واتجاهه ، وكذلك رسم مخطط تغير القوة بالنسبة للانتقال .
 2. تعيين استطاعة المحرك بالكيلو واط في حال عدم تركيب حذافة .
 3. تعيين استطاعة المحرك بالكيلو واط في حال تركيب الحذافة .
 4. تحديد عزم عطالة الحذافة المركبة على العمود المناوول الوسيط ؛ للحفاظ على تراوح سرعة لا يزيد على 5% من السرعة الوسطية لهذا العمود .
 5. تصميم الحذافة اللازمة ، علماً أن مقطع إطارها هو مربع ، وذات ستة أذرع ، وأنها مصنوعة من حديد الصب وزنه النوعي 74000 N/m^3 ، بحيث ألا تزيد السرعة المحيطية على 20 m/sec . ومن ثم تحقق من أن الاجهادات المؤثرة في مقطع الإطار تقع ضمن الحدود المسموح بها ، وفقاً للفقرة (5-4-8) .

الفصل السادس

الكامات Cams

1-6- مقدمة

Introduction

الكامة أو الحذبة (*the Cam*) هي أية وصلة ذات تماس مباشر مع وصلة أخرى تتدحرج أو تنزلق على سطحها تسمى التابع (*The Follower*) ، تشكل هاتان الوصلتان مع الهيكل الثابت (*The Frame*) تركيبة الكامة . إن تركيبات الكامات هي من أبسط الوسائل التي تؤمن تقريباً أية حركة مطلوبة للتابع ، حتى مع فترات سكون أو توقف ؛ مما يؤدي أحياناً إلى شكل غير منتظم لسطح الكامة ؛ لذلك فإن لهذه التركيبات مجالات تطبيقية واسعة وعلى الأخص في محركات الاحتراق الداخلي ، وآلات الغزل والنسيج ، والآلات الطابعة ، وآلات قطع المسننات والحسابات الميكانيكية ، والآلات الأوتوماتيكية ، حيث من الصعب أن نجد آلة من النوع الذي تطلق عليها أوتوماتيكي ، خالية من نوع أو أكثر من أنواع الكامات .

يتم تماس الكامة والتابع ، بوجه عام ، في نقطة أو خط مستقيم ؛ وبالتالي فإن الازدواج بينهما هو ازدواج علوي . لذا فإن القوى المسموح بها في تركيبات الكامات هي أقل من تلك التركيبات المرفقية المكافئة لها ، والتي يتم فيها التماس في سطوح . إلا أن ذلك لا يحد من انتشار استعمالها في مجالات مختلفة ؛ بسبب ميزاتها الحركية التي لا غنى عنها في الآلات التي تستلزم توقيتاً أو تزامناً دقيقاً للحركة ؛ إضافة إلى ذلك ، فإن التطور الكبير الحاصل في إنتاج مواد ذات مقاومة عالية للإجهاد والتآكل ، قد أدى إلى تصميم تركيبات قادرة على نقل قوى كبيرة نسبياً . كما أن هذه التركيبات هي سهلة التصميم عموماً ، وتشغل حيزاً صغيراً بالمقارنة مع التركيبات المرفقية التي من الصعب تصميمها بدقة ، وتكون عادة ذات حجوم كبيرة نسبياً .

2-6- أنواع الكامات

Types of Cams

توجد أنواع عديدة من الكامات ، وسوف نبحث هنا في بعض الأنواع الشائعة فقط ، وبما أنه يمكن للكامة أن تأخذ أي حركة كانت بغية تحقيق حركة معينة مطلوبة للتابع ؛ لذا فإنه يفضل عادة تقسيم الكامات وفق نمط حركتها في نوعين ، كامات مستوية و كامات فراغية .

في الكامات المستوية ، تعتمد حركة التابع على نمط معين لحركة الكامات ، وتصنف وفق منطقات مختلفة نبين أهمها فيما يأتي:

§ وفق طبيعة الحركة

إن لحركة الكامات ووضع مستوى حركة التابع بالنسبة لمحورها أهمية خاصة في تحديد حركة التابع . نميز في هذا المجال ثلاثة أنواع رئيسة من الكامات مبينة في (الشكل-1-6) ، وهي:

1. كامات انتقالية Translation Cams

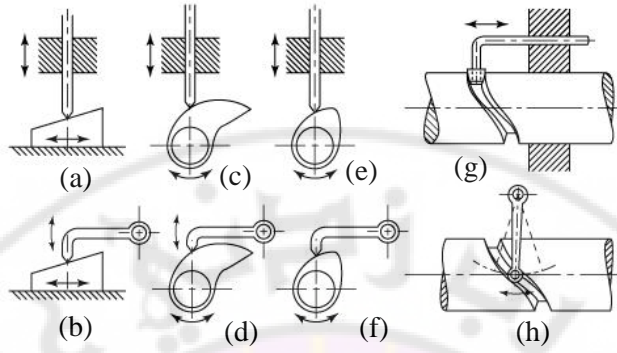
هذا النوع من الكامات هو النوع الأساسي ، لأننا نستطيع عدّ الكامات جميعها كأنها أسافين (Wedges) ذات انحدار ثابت أو متغير ، حيث تكون حركة الكامات انسابية ترددية ، وينتج منها في مستوى حركتها نفسه حركة ترددية للتابع ، كما هو مبين في الرسم a في (الشكل-1-6) ، أو حركة تأرجحية ، كما هو مبين في الرسم b في (الشكل-1-6) . يمكن لسطح الكامات أن يكون مستوياً ، كما في الشكل أو سطحاً منحنياً ما ، وسيئة هذا النوع أن الحركة نفسها تتكون بترتيب معكوس في شوط رجوع الحركة .

2. كامات قرصية Disc Cams

يتكون هذا النوع بلف سطح الكامات الانتقالية حول محيط قرص دائري ، حيث نحصل على الكامات القرصية ، وتكون حركة الكامات دورانية أو اهتزازية حول محور عمودي على مستوى حركة التابع الذي يمكن أن يتردد أو يتأرجح ، كما هو مبين في الرسومات c , d , e , f في (الشكل-1-6) . إن شكل مقطع الكامات في هذه الحالة هو بوجه عام منحن مغلق ما .

3. كامات أسطوانية Cylindrical Cams

يتكون هذا النوع عندما يتشكل الإسفين على سطح أسطوانة ، حيث نحصل على الكامات الأسطوانية ، وتكون حركة الكامات دورانية حول محورها الموازي لمستوي حركة التابع ، الذي يتحرك ضمن أخدود محفور على سطح الأسطوانة . يمكن أن تكون حركة التابع ترددية ، كما هو مبين في الرسم g في (الشكل-1-6) ، أو تأرجحية ، كما هو مبين في الرسم h في (الشكل-1-6) .



(الشكل-1-6) أنواع الكامات المستوية

§ وفق طبيعة التماس

سيتضح من خلال تحليل تركيبات الكامات ، أن قوة العطالة المؤثرة في التابع تعمل ، خلال فترات معينة من حركته على إبعاده عن سطح الكامه ؛ لذا يمكن تصنيف الكامات وفقاً للوسيلة المستعملة في الحفاظ على التماس ، وتقيد التابع بالحركة على سطح الكامه خلال فترات العمل كاملة. نميز في هذا المجال نوعين:

1. كامات ذات إغلاق قسري *Force Closed Cams*

حيث يتم التأثير بقوة خارجية تؤمن غالباً بوساطة نابض ؛ إذ من النادر أن يكون وزن التابع كافياً للتغلب على قوة العطالة . مثال ذلك الكامات الانتقالية والقرصية المبينة في (الشكل-1-6) .

تمتاز الكامات ذات الإغلاق القسري بسهولة تصميمها وتصنيعها ؛ وبالتالي فإن تكاليف إنتاجها منخفضة نسبياً ، إلا أن وجود النابض يؤدي إلى أحمال إضافية خلال جزء من شوط حركة التابع ؛ وبخاصة في الآلات ذات السرعات العالية .

2. كامات ذات حركة إيجابية *Positive-Motion Cams*

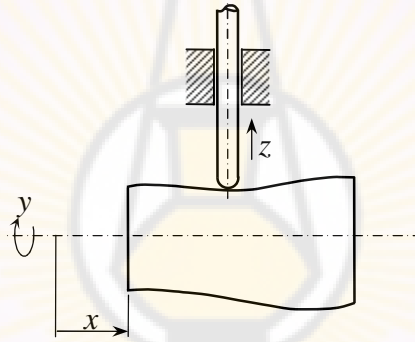
حيث يتم تقيد الحركة من خلال شكل الكامه من دون الحاجة إلى تطبيق وسائل خارجية . مثال ذلك الكامات الأسطوانية المبينة في (الشكل-1-6) ، حيث تكون نهاية التابع بتماس دائم مع جانبي المجرى المنحني المحفور على سطح الأسطوانة . هناك أمثلة أخرى سنتطرق إليها لاحقاً .

تستلزم الكامات ذات الحركة الإيجابية دقة عالية في التصميم والتصنيع بغية تأمين توافق دقيق بين السطوح المتماسمة ، فهي ذات تكاليف إنتاجية مرتفعة ؛ إضافة إلى أنها تفقد جودة أدائها بسرعة ؛ بسبب ازدياد الخوص نتيجة التآكل والاهتراء ؛ مما يحد كثيراً من تطبيقاتها العملية .

Space Cams

2-2-6- الكامات الفراغية

في الكامات الفراغية ، حيث تعتمد حركة التابع على نمط آخر لحركة الكامة والتي تنتج من حركتين مستقلتين للكامة تحدثان بأن واحد . يبين (الشكل-2-6) كامة فراغية ، حيث إزاحة التابع z هي تابع لحركة دوران الكامة y وانتقالها x معاً .



(الشكل-2-6) كامة فراغية

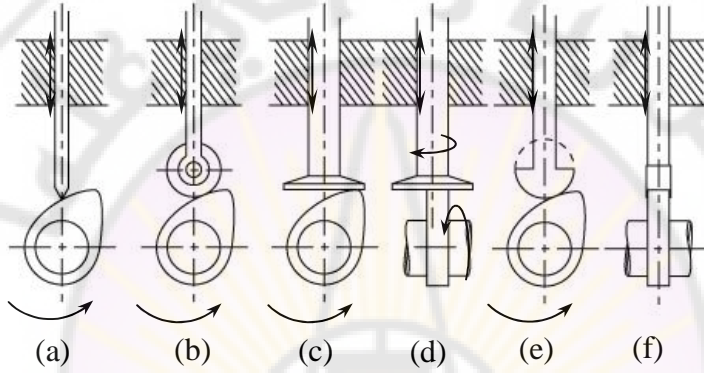
تستعمل الكامات الفراغية في بعض التطبيقات المحدودة ؛ وبخاصة في مجال التحكم بوضع المدافع وقواعد إطلاق الصواريخ . إن تصميم هذه الكامات ، وإنتاجها صعب جداً ؛ بسبب الدقة العالية المطلوبة ، وضرورة إنهاء سطوحها يدوياً ؛ مما يؤدي إلى تكاليف إنتاجية باهظة جداً ، حيث يلزم في أغلب الأحيان تحديد أوضاع 15000 نقطة بدقة لا تتجاوز $\pm 0.01 \text{ mm}$.

سنقتصر في هذا الفصل على دراسة الكامات المستوية ، مع التركيز بشكل أساسي على الكامات القرصية التي تدور بسرعة زاوية ثابتة ؛ لأن هذا النوع هو الأكثر استعمالاً في التطبيقات الميكانيكية: كالمحركات ، والآلات المختلفة .

3-6- أنواع التوابع

Types of Followers

يتبين مما سبق أن التوابع من حيث حركتها هي مجموعتان ، إما ترددية على خط مستقيم ، أو تأرجحية ؛ أي اهتزازية حول مفصل . لكن من المعتاد تصنيف التوابع ضمن كل من هاتين المجموعتين ؛ وفقاً لشكل نهايتها التي تماس السطح المحيطي للكامة . يبين (الشكل-3-6) ثلاث أنواع رئيسية ، وهي:



(الشكل-3-6) أنواع التوابع

1. تابع مدبب Knife-Edge Follower

إن التماس بين سطح الكامة ، ونهاية التابع في هذه الحالة هو تماس نقطي ، تنتج منه حركة انزلاقية نسبية كبيرة بين الكامة والتابع ، كما هو مبين في الرسم a في (الشكل-3-6) . يؤدي ذلك إلى معدل تآكل كبير يحد من تطبيقات هذا النوع ، إلا أنه يمتاز بملاءمته لأي شكل كان لسطح الكامة .

2. تابع دحرجي Roller Follower

حيث تتكون نهاية التابع من دحروج أو بكرة ، تتصل مع ساق التابع بازدواج دوراني ، كما هو مبين في الرسم b في (الشكل-3-6) . إن استعمال هذا النوع يقلل كثيراً من معدل التآكل ؛ إذ إن الحركة النسبية بين الكامة والتابع عند التماس هي حركة تدرجية إلى حد كبير . تجدر الإشارة إلى أنه لا يمكن إزالة الانزلاق كلياً عند خط التماس ؛ لأن عطالة الدحروج تمنعه من تغيير سرعته الزاوية آنياً وفق تغير السرعة المحيطية للكامة . يمكن استعمال هذا النوع مع أية كاماة ذات سطح محيطي محدب كلياً ، أو يحوي أجزاء مقعرة بشرط أن يكون نصف قطر التقعر لأي منها مساوياً على الأقل نصف قطر الدحروج .

3. تابع مسطح *Flat-Faced Follower*

يمتاز هذا النوع المبين في الرسم c في (الشكل-6-3) من النوعين السابقين ، بانخفاض كبير في قيمة الدفع الجانبي المؤثر في المجرى الذي تتحرك ضمنه ساق التابع ، مقارنة بالتابع المدب والدحرجي ؛ إذ إن الدفع الناتج في حالة تابع مسطح يتأثر فقط بالاحتكاك الحاصل بين سطحي الكامنة والتابع . إن الحركة النسبية بين هذين السطحين هي حركة انزلاقية ؛ وبالتالي ينتج منها معدل تآكل كبير .

يمكن تقليل التآكل بشكل ملحوظ فيما لو أزيح محور التابع باتجاه مواز لمستوي سطح الكامنة ، مع بقاءه متقاطعا مع محور الدوران كما هو مبين في المسقط الجانبي في الرسم d في (الشكل-6-3) ؛ إذ إن ذلك يؤدي إلى دوران التابع حول محوره إضافة إلى حركته الترددية . من الواضح أنه لا يمكن استعمال التابع المسطح إلا في حالة كامنة ذات سطح محيطي محدب كلياً .

4. تابع كروي *Spherical Follower*

يفضل أحياناً ؛ وبخاصة في محركات الاحتراق الداخلي استعمال شكل معدل للتابع المسطح ، بحيث تكون نهايته المماسية لسطح الكامنة على شكل قطاع كروي ، كما هو مبين في الرسمين e و f في (الشكل-6-3) . إن الحركة النسبية بين الكامنة والتابع عند التماس تبقى انزلاقية ، إلا أن إزاحة التابع الموافقة لدوران الكامنة تكافئ الإزاحة الناتجة من تابع دحرجي يساوي قطره قطر الكرة المشكلة لنهاية التابع . يستعمل هذا النوع عادة عندما يكون الحيز المتاح لتركيب الكامنة محدوداً .

4-6- المتغيرات الأساسية لتركيب الكامنة *Basic Variables of Cam Mechanism*

يفضل قبل دراسة حركة تركيب كامنة توضيح بعض التعابير المتعلقة بهذه الدراسة . يبين الرسم التخطيطي a في (الشكل-6-4) كامنة قرصية ، وتابعاً مدبباً ترددياً . تدور الكامنة حول محور مار من O بسرعة زاوية ثابتة ω عكس اتجاه دوران عقارب الساعة . إن محور الدوران عمودي على مستوي الحركة . ينتج من دوران الكامنة حركة انسحابية ترددية للتابع على مسار مستقيم ، حيث محور التابع يمر من مركز الدوران O .

يمكن من الرسم التخطيطي a في (الشكل-6-4) ، تعريف معظم المتغيرات التي تؤثر في حركة التابع كالاتي:

1. جانبية الكامنة *Cam Profile*

وهي تمثل شكل السطح المحيطي ؛ أي الخارجي للكامنة ABCDA ، ويمكن في الكامات القرصية أن تأخذ أي شكل منحن مغلق .

2. الدائرة الأساسية *Base Circle*

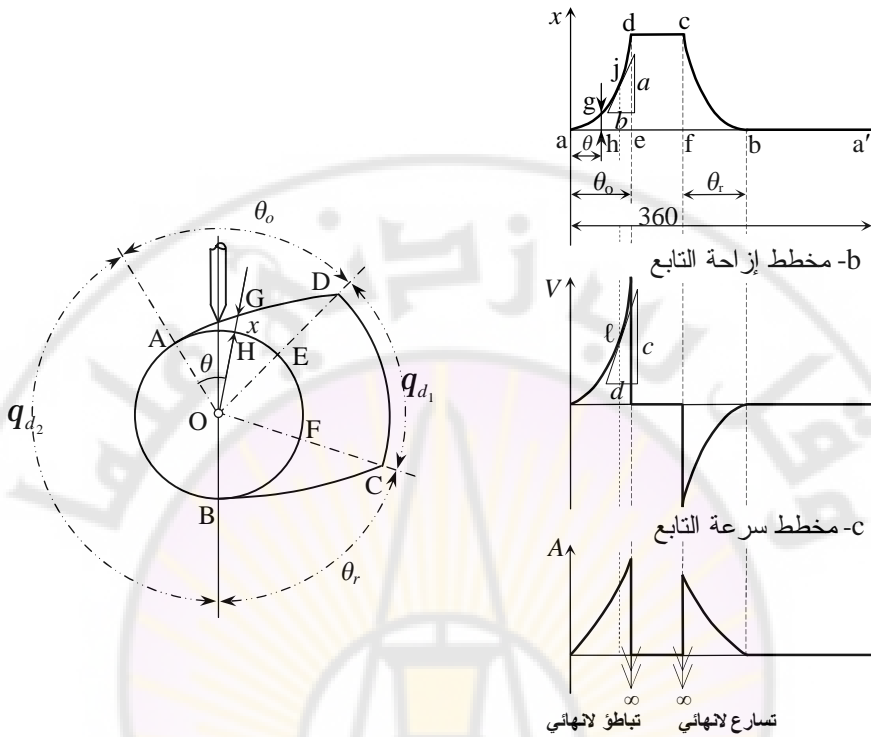
وهي أصغر دائرة تمس محيط الكامنة ، ومركزها هو مركز الدوران O . تمثل الدائرة ABFE في الرسم التخطيطي a في (الشكل-6-4) الدائرة الأساسية للكامنة بحيث يكون نصف قطرها ($R = OA$) هو أصغر بعد بين نقطة تماس التابع ، ومركز الدوران خلال كامل فترة الحركة . يمكن لقوس من هذه الدائرة أن يكون جزءاً من جانبية الكامنة ، مثال ذلك القوس AB في الشكل ، كما يمكن ألا تنطبق على الكامنة إلا في نقطة تماس واحدة ، تمثل وضعاً لحظياً تكون عنده نهاية التابع أقرب ما يمكن من مركز الدوران . إلا أنه يجب في الحالات كلها تعيينها ؛ لأن لها تأثيراً أساسياً في تصميم الكامنة شكلاً ، وأداءً ؛ وبخاصة في تحديد حجم الكامنة ، حيث من البديهي أن قطرها يجب أن يكون أكبر من قطر عمود دوران الكامنة .

3. نقطة الأثر *Trace Point*

تسمى أحياناً نقطة الإسناد ، وهي نقطة يتم اختيارها على التابع لتعيين ميزاته الحركية ؛ وبالتالي تستعمل لإنشاء جانبية الكامنة تخطيطياً أو تحليلياً . تكون هذه النقطة في التابع المدبب هي نهايته الحادة ، وفي التابع الدحرجي هي مركز الدحرج المتصل بنهايته ، وفي التابع المسطح هي نقطة تقاطع محور مسار التابع مع السطح المستوي لنهايته ، أما في التابع الكروي ، فهي مركز الكرة المشكلة لسطح نهايته .

4. إزاحة التابع *Follower Displacement*

وهي المسافة التي تتحركها نقطة الأثر على مسار التابع خلال فترة زمنية معينة من بدء الحركة . من الواضح أنه إذا دارت الكامنة بسرعة زاوية ثابتة ، فإن زوايا متساوية على عمود الكامنة ، أو على دائرتها الأساسية تكافئ فترات زمنية متساوية ؛ لذا فإن الإزاحة في هذه الحالة تعين بالنسبة لزاوية دوران الكامنة . تقاس هذه الزاوية بدءاً من الوضع الذي تكون فيه نقطة الأثر أقرب ما يمكن إلى مركز الدوران ؛ وبالتالي فإن المسافة x المبينة في الرسم التخطيطي a في (الشكل-6-4) هي إزاحة التابع المدبب الموافقة لدوران الكامنة زاوية θ من الوضع الابتدائي عند A .



a- كامة قرصية ، وتابع مدبب ترددي.
b- مخطط إزاحة التابع
c- مخطط سرعة التابع
d- مخطط تسارع التابع.

(الشكل-4-6) المتغيرات الأساسية لتركيبية الكام ، ومخططات حركتها .

5. شوط التابع Stroke

وهو يساوي قيمة أعظم إزاحة تتحركها نقطة الأثر مبتعدة عن مركز الدوران خلال شوط الذهاب أو الرفع (*Out-stroke or Lift-stroke*) ، أو مقتربة منه خلال شوط العودة أو الخفض (*In-stroke or Down-stroke*) . من الواضح أن هذين الشوطين متساويان ، ويرمز لأي منهما عادة بالرمز S . ويلاحظ في الرسم التخطيطي a في (الشكل-4-6) أن ED تمثل شوط الرفع ، بينما CF تمثل شوط الخفض .

كما أن زاوية دوران الكام الزاوية AOD ، فإنها تمثل زاوية الرفع θ_o (*Lift-stroke Angle*) ، بينما الزاوية COB فإنها تمثل زاوية الخفض θ_r (*Down-stroke Angle*) . يجب الانتباه إلى أنه ليس من الضروري أن تكون هاتان الزاويتان متساويتين رغم تساوي الشوطين دوماً ؛ إذ تتعلق قيمة كل منهما بطبيعة الحركة المطلوبة خلال كل من الشوطين .

6. زاوية السكون Dwell Angle

وهي الزاوية التي يمكن أن تدورها الكامة بحيث يبقى التابع ساكناً ؛ أي متوقفاً عن الحركة . يمكن أن تحدث فترة السكون بعد كل من شوطي الرفع والخفض ، أو بعد نهاية أحدهما فقط ، أو قد لا يكون هناك فترات سكون للتابع على الإطلاق . إن شرط حدوث فترة سكون بعد شوط الرفع هو أن تكون جانبية الكامة ، بين نهاية الرفع وبداية الخفض ذات سطح دائري متحد المركز مع محور الدوران O ، مثال ذلك زاوية السكون ($DOC = q_{d1}$) المبينة في الرسم التخطيطي a في (الشكل-4-6) . أما فترة السكون بعد نهاية شوط الخفض ، فإنها تحدث عندما تحوي جانبية الكامة قوساً من الدائرة الأساسية ، مثال ذلك زاوية السكون ($BOA = q_{d2}$) المبينة في الرسم التخطيطي a في (الشكل-4-6) .

تجدر الإشارة إلى أن ما ذكرناه يمثل أهم المتغيرات التي تؤثر في حركة تركيبية كامة ، كما أنه سيتم التنويه تبعاً في الفقرات اللاحقة ، عن أية متغيرات إضافية قد تنشأ في حالات معينة .

7. مخططات حركة التابع Follower Motion Diagram

يتضح مما تقدم أن تغيرات إزاحة التابع بالنسبة لزاوية دوران الكامة ، تحدد شكل جانبية الكامة والعكس بالعكس . بما أن سرعة دوران الكامة ω ثابتة ؛ وبالتالي ($\theta = \omega \cdot t$) ، فإن المخطط الناتج من التمثيل البياني لتغيرات إزاحة التابع x على المحور الشاقولي ، بالنسبة للأوضاع الزاوية للكامة θ على المحور الأفقي ، هو مخطط إزاحة التابع أو الانتقال (*Displacement Diagram*) ، الذي يحدد طبيعة حركة التابع بالنسبة للزمن .

يبين المخطط b في (الشكل-4-6) مخطط إزاحة التابع في تركيبية الكامة المبينة في الرسم التخطيطي a في (الشكل-4-6) ، حيث يمثل المحور الأفقي a-a' انتقال الكامة وهو دورة واحدة ($\theta = 360^\circ$) ، ويكافئ أيضاً زمن هذه الدورة الواحدة t ، حيث ae يمثل زاوية الرفع θ_o ، أو الزمن t_o لإزاحة التابع على مسافة تساوي شوط الرفع S ، أما ef ، فإنه يمثل زاوية السكون q_{d1} بعد نهاية شوط الرفع ؛ أي الفترة التي يبقى فيها التابع ساكناً عند هذا الوضع .

كذلك الأمر بالنسبة لشوط الخفض ، حيث يمثل fb زاوية الخفض θ_r أو الزمن t_r ، بينما يمثل ba' زاوية السكون q_{d2} بعد هذا الشوط ، ويكرر التابع هذه الحركة خلال كل دورة كاملة للكامة . من الواضح أن إزاحة التابع x عند زاوية ما θ تحدد بالإحداثي الشاقولي gh مثلاً .

أما مخطط سرعة التابع المبين في c في (الشكل-6-4) ، فإنه ينتج من اشتقاق بياني لمخطط الإزاحة بالنسبة للزمن . يتم ذلك بأخذ نقاط عدة على مخطط الإزاحة ، وتعيين ميل المماس عند كل منها ، حيث يمثل هذا الميل سرعة التابع عند الوضع الموافق لكل نقطة . مثال ذلك النقطة j على مخطط الإزاحة ، حيث يرسم المماس لهذا المخطط ، وبحسب ميله a/b ؛ ليمثل سرعة التابع عند هذه النقطة .

يمكن الحصول بطريقة مماثلة على مخطط التسارع المبين في d في (الشكل-6-4) ، من اشتقاق بياني لمخطط السرعة بالنسبة للزمن ، حيث يمثل ميل المماس c/d عند نقطة l مثلاً ، قيمة تسارع التابع عند هذه النقطة . يجب الانتباه عند حساب الميل في كل من الحالتين إلى ضرورة كون المحور الأفقي ممثلاً لتغيرات زمنية حصراً ، أما إذا كان هذا المحور يمثل تغيرات زاوية دوران الكامنة θ ، فإنه يجب تحويل قيمة كل من d و b عند حساب الميل ، إلى القيمة الزمنية الموافقة لكل منهما استناداً إلى العلاقة $(t = \theta / \omega)$. من البديهي أن قيمة كل من سرعة التابع وتسارعه خلال فترات السكون تساوي الصفر .

يلاحظ أنه مهما كانت طبيعة حركة التابع ، فإن سرعته خلال كل من شوطي الرفع والخفض هي حتماً متغيرة ؛ إذ إن التابع يبدأ حركته من السكون عند بداية كل من هذين الشوطين ليعود إلى السكون أيضاً في نهاية كل منهما . يبقى هذا التحليل صحيحاً في حال عدم وجود فترات سكون ؛ لأنه يجب على التابع عندئذ أن يغير اتجاه حركته في نهاية الشوط ؛ مما يؤدي إلى تغيير اتجاه السرعة الذي لا يمكن أن يحدث من دون أن تصبح قيمة سرعة التابع عند هذه اللحظة مساوية للصفر . ينتج من ذلك أن حركة التابع خلال كل من شوطيه ، تبدأ بمتسارعة لفترة ثم تصبح متباطئة حتى نهاية الشوط . يؤدي ذلك إلى نشوء قوى عطالة متغيرة قيمة ، واتجاهاً تؤثر في إبعاد التابع عن سطح الكامنة ؛ وبالتالي فقدان التماس خلال الفترات التي يكون فيها اتجاه التسارع أو التباطؤ نحو مركز دوران الكامنة ؛ وبالتالي فإنه يجب التأثير بقوة خارجية أو هيدروليكية عادة ؛ للحفاظ على التماس .

أما معدل تغير تسارع التابع بالنسبة للزمن ، فإنه يحدد أحمال الصدم التي تؤثر في تركيبة الكامنة ؛ لذا فإن لمخطط التسارع أهمية خاصة في دراسة الكامات ؛ وبخاصة في حالة سرعات دوران عالية ؛ لأن قيمة التسارع تتناسب مع مربع السرعة الزاوية ، حيث يمكن أن يؤدي اختيار حركة معينة لتابع ما إلى حدوث اهتزازات ، وإجهادات عالية ينتج منها تآكل سريع في سطوح التماس . يعد مخطط التسارع d في (الشكل-6-4) سبباً من منطلق التحميل الديناميكي ؛ بسبب التغيرات الفجائية الحاصلة في قيم التسارع ، والتباطؤ .

تم التركيز خلال التحليل السابق على حركة انسحابية ترددية للتابع ، إلا أن مجمل النقاط التي تمت الإشارة إليها تبقى صحيحة في حالة حركة تأرجحية ؛ أي اهتزازية للتابع ، حيث يستعاض من القيم الخطية لمميزات الحركة بقيم زاوية ، تقاس هذه القيم حول محور ارتكاز ساق التابع المتأرجح ، وهي الإزاحة الزاوية لنقطة الأثر ، والسرعة الزاوية للتابع ، والتسارع الزاوي للتابع .

يمكن دراسة تركيبية كاماة بإحدى طريقتين:

1. اختيار حركة معينة للتابع

المطلوب تصميم جانبية الكاماة التي تحقق للتابع هذه الحركة ، حيث يمكن دوماً تصميم جانبية الكاماة ، إما تخطيطياً أو تحليلياً لتحقيق أية حركة للتابع مهما كانت طبيعتها . وإن حركات التابع الممكنة هي في الواقع غير محدودة إلا بإبداع المصمم وبالإمكانات المتاحة ، ويعد تصميم تركيبية الكاماة تطبيقاً نموذجياً في مجال إنشاء التركيبات الآلية عامة .

2. اختيار شكل محدد لجانبية الكاماة

المطلوب تحليل حركة التابع الناتجة من حركته على جانبية الكاماة ؛ أي تعيين مميزات حركته من إزاحة ، وسرعة ، وتسارع ، حيث يمكن عادة تصنيع جانبية الكاماة بسهولة ، وسنوضح في الفقرة (6-11) حل لهذه الطريقة .

لما كانت مخططات الحركة ذات أهمية أساسية في تصميم الكامات ، فإننا سنوضح في الفقرات التالية الحل التخطيطي للطريقة الأولى ، وذلك بشرح بعض أنواع حركة التابع الأكثر استعمالاً ، والتي تبين بشكل وافٍ أهم الأسس اللازم اعتمادها عند اختيار حركة تابع .

Basic Follower Motions

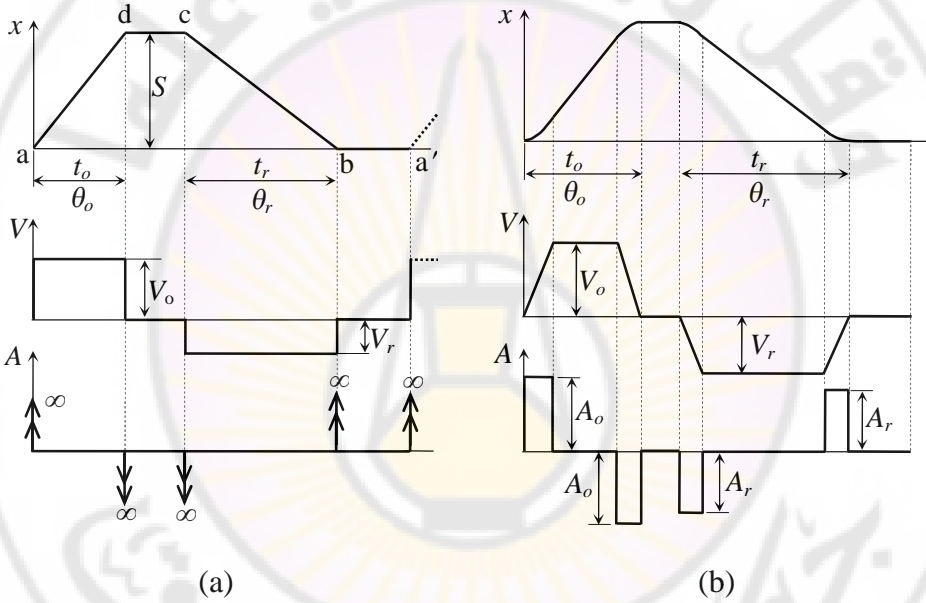
5-6- الحركات الأساسية لتابع

تشكل دراسة مخططات الحركات البسيطة التي سبق التطرق إليها في أبحاث الميكانيك الهندسي أساساً جيداً ، ومفيداً . لتوضيح طرائق دراسة المميزات الحركية لأية حركة أخرى للتابع ، يمكن إنشاء منحنيات الحركة تخطيطياً أو باستخدام التحليل الرياضي . يتم عادةً رسم مخططات الحركة بطريقة تخطيطية بسيطة ، ولكن تتقصها الدقة العالية ، ثم تستعمل خصائص هذه المخططات في استنتاج العلاقات الرياضية لمميزات حركة التابع بالنسبة لزاوية دوران الكاماة . يمكن عندئذ استناداً إلى هذه العلاقات رسم مخططات الحركة بدقة عالية يحددها التطبيق العملي لتركيبية الكاماة . سنفترض في مراحل الدراسة جميعها أن الكاماة تدور بسرعة زاوية منتظمة ω إلا إذا ذكر خلاف ذلك .

Constant Velocity Motion

1-5-6- حركة ذات سرعة منتظمة

إذا تحرك التابع بسرعة منتظمة ؛ أي ثابتة ، فإنه يقطع مسافات متساوية خلال فترات زمنية متساوية ؛ أي إن مخطط الإزاحة يتكون من خطوط مستقيمة كل منها ثابت الميل ، كما هو مبين في المخططات a في (الشكل-5-6) ، حيث فرض أن السرعة V_o خلال شوط الرفع تختلف عن السرعة V_r خلال شوط الخفض ؛ إضافة إلى وجود فترتي سكون dc , ba' .



a- مخططات حركة تابع يتحرك حركة مستقيمة منتظمة .

b- مخططات معدلة لحركة تابع يتحرك حركة مستقيمة منتظمة .

(الشكل-5-6)

بما أن سرعة التابع ثابتة خلال فترة كل من الشوطين كاملة ، فإن السرعة عند بدء كل منهما ستبلغ فجأة قيمتها الثابتة ، ثم تعود فجأة في نهاية كل شوط إلى الصفر . ينتج من ذلك أن قيم التسارع ، والتباطؤ عند هذه النقاط هي لا نهائية ؛ وبالتالي فإن القوى اللازمة لتحقيق هذه الحركة عند بداية كل شوط ، ونهايته هي أيضاً لا نهائية ؛ مما لا يسمح عملياً بتصميم الكامة . من الضروري تعديل طبيعة الحركة عند هذه النقاط لتجنب الصدمات عند بدء حركة التابع وانتهائه في فترة الرفع ، ولتصبح الكامة ذات فائدة عملية .

يتم هذا التعديل بحيث تزداد السرعة تدريجياً عند بداية كل شوط بحيث يكون التسارع ثابتاً ، وتستمر هذه الفترة حتى تصل السرعة إلى قيمتها الثابتة ، ثم يتحرك التابع بسرعة منتظمة حتى اقتراب نهاية شوط الرفع ، ثم تتناقص السرعة تدريجياً بالقرب من نهاية الشوط بحيث يكون التباطؤ ثابتاً ؛ وبالتالي تصبح قيمة التسارع ، والتباطؤ عند هذه النقاط محددة عوضاً من لا نهائية .

بينما يعدل مخطط الإزاحة وفقاً لطبيعة تغير السرعة والفترة الزمنية التي تكون خلالها السرعة متزايدة أو متناقصة . هذا التعديل يعمل على أن تكون الأطراف الحادة في منحنى الانتقال أجزاء مستديرة ، وأقواساً من قطع مكافئ ؛ أي: إن الخط المستقيم ad في مخطط الإزاحة يصبح مكوناً من قوسين منحنين عند نهايته ، وخط مستقيم يمس كل منهما، ويعدل الخط المستقيم cb بالطريقة نفسها ، والشكل المعدل للمنحنيات مبين في المخططات b في (الشكل-5-6) . رغم ذلك فإنه يفضل عدم استعمال الحركة المعدلة ذات السرعة المنتظمة ، إلا عند الضرورة ولسرعات دوران منخفضة .

2-5-6- حركة ذات التسارع المنتظم والتباطؤ المنتظم

Constant Acceleration and Deceleration Motion

إن التسارع الذي يستمر حتى نهاية حركة التابع ؛ يسبب وصول التابع إلى سرعة قصوى قبل توقفه مباشرة ، وهذا الأمر يسبب صدمة إلا إذا كانت سرعة الكامنة بطيئة جداً . لذلك سيبدأ التابع ، في هذه الحالة حركته من السكون بتسارع ثابت خلال جزء من الشوط حتى يصل إلى قيمة سرعته العظمى ، ثم يتابع حركته بتباطؤ ثابت ؛ ليعود إلى السكون تدريجياً في نهاية الشوط نفسه ، فإذا كان التسارع والتباطؤ منتظمين ، فإن الحركة الناتجة تكون هادئة .

ليس من الضروري أن يكون التسارع مساوياً في مقداره للتباطؤ ، ومن الممكن أن يكون شكل الكامنة محققاً لأية نسبة بين هذين المقدارين ، فإذا كان A_1 هو التسارع الثابت في الفترة الأولى من حركة التابع ، وأن S_1 و t_1 هما الانتقال والزمن لتلك الفترة ، وليكن A_2 هو التباطؤ في الفترة الثانية والأخيرة من الحركة ، وأن S_2 و t_2 هما الانتقال والزمن لتلك الفترة ، بحيث يكون الانتقال الكامل للتابع S يساوي:

$$S = S_1 + S_2$$

فإذا كانت V_o هي السرعة في نهاية فترة التسارع ، فإن:

$$V_o^2 = 2A_{o1} \cdot S_1 = 2A_{o2} \cdot S_2 \quad \Rightarrow \quad S_2 / S_1 = A_{o1} / A_{o2}$$

كذلك:

$$V_o = A_{o1} \cdot t_{o1} = A_{o2} \cdot t_{o2} \quad \Rightarrow \quad t_{o2} / t_{o1} = q_{o2} / q_{o1} = A_{o1} / A_{o2}$$

أي: إن نسبة الانتقال لفترتين ، وكذلك نسبة الزمن يتناسبان عكسياً مع نسبة التسارع والتباطؤ .

بما أن خصائص الحركة خلال كل من شوطي الرفع والخفض ، لن تختلف إلا بالقيم النسبية لكل منها تبعاً للفترة الزمنية الموافقة لكل شوط ؛ لذا يمكن توضيح دراسة الحركة خلال شوط الرفع فقط ، حيث يقطع التابع مسافة الشوط S خلال زمن الرفع t_o وبسرعة عظمى V_o . نميز عندئذ ثلاث إمكانات لتحقيق حركة ذات تسارع ثابت ، وهي:

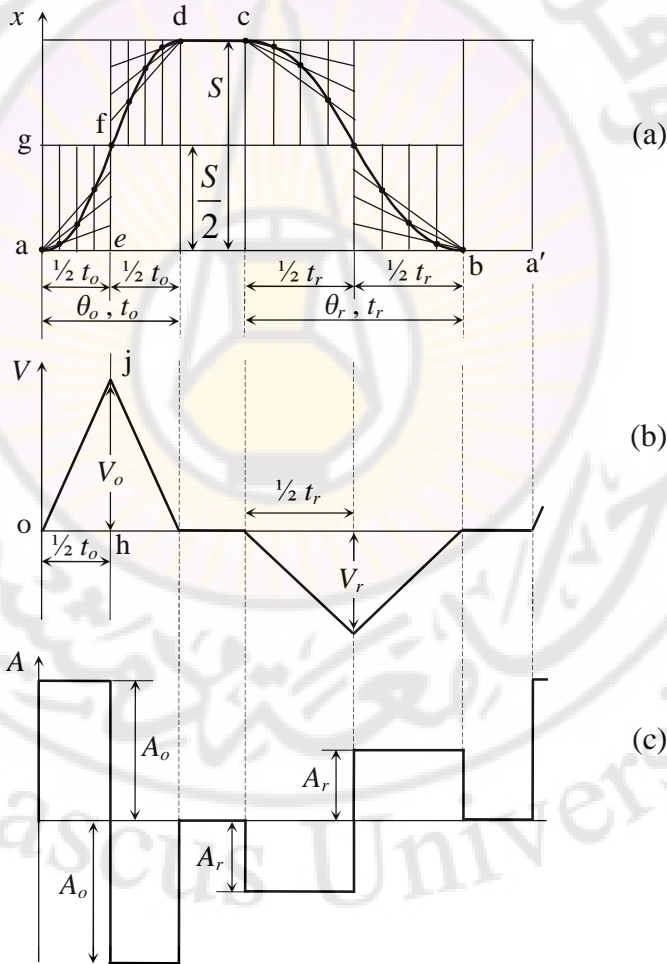
- أن يتسارع التابع حتى السرعة V_o خلال فترة أقل من فترة التباطؤ من V_o إلى السكون .
- أن تكون فترة التسارع أكبر من فترة التباطؤ .
- أن تتساوى الفترتان بحيث إن كلا منهما تساوي نصف زمن الشوط .

من الواضح أن الحالة الأخيرة تعطي أقل قيمة للتسارع والتباطؤ بأن واحد ؛ وبالتالي فإن أقل قيمة لقوى العطالة المؤثرة في التابع . يبين (الشكل-6-6) مخططات الحركة لهذه الحالة ، حيث يتحرك التابع خلال كل من شوطي الرفع والخفض بحركة ذات تسارع منتظم .

بما أن فترة التسارع تساوي فترة التباطؤ ، فإن التابع يجتاز النصف الأول من الشوط بتسارع منتظم A_o ، بينما يقطع النصف الثاني من الشوط نفسه بتباطؤ منتظم قيمته المطلقة A_o أيضاً ؛ وبالتالي فإن مخطط الإزاحة خلال نصف شوط ، هو جزء من قطع مكافئ ذروته عند بداية الشوط أو نهايته تبعاً لطبيعة الحركة ، متسارعة أو متباطئة ؛ لذا تسمى هذه الحركة أحياناً حركة القطع المكافئ .

يمكن توضيح ذلك استناداً إلى مخطط الإزاحة a في (الشكل-6-6) ، حيث يبدأ شوط الرفع بحركة متسارعة بانتظام حتى منتصف الشوط . يمثل القطع المكافئ af تغيرات الإزاحة خلال هذه الفترة بالنسبة للزمن أو زاوية دوران الكامرة . يرسم هذا القطع باستعمال إحدى الطرق التخطيطية لرسم قطع مكافئ ذروته هي النقطة a ، ولعل أبسطها تلك المبينة بالشكل حيث تحدد النقاط كالآتي:

- تقسم الفترة الزمنية ae إلى عدد مناسب من الأجزاء المتساوية ، ولتكن أربعة .
- ترسم خطوط شاقولية من نقاط التقسيم الناتجة .
- تقسم المسافة ef المساوية نصف الشوط إلى العدد نفسه من الأجزاء المتساوية .
- توصل النقاط الناتجة من تقسيم ef إلى الذروة a بخطوط مستقيمة تسمى الخطوط القطبية .
- تحدد نقاط القطع المكافئ af من تقاطع كل خط قطبي مع الخط الشاقولي الموافق له .



(الشكل-6-6) مخططات حركة تابع يتحرك حركة مستقيمة ذات تسارع منتظم .

يمكن رسم منحنى الإزاحة fd بالطريقة نفسها ، مع ملاحظة ان النقطة d هي القطب في هذه الحالة . كما يحدد منحنى الإزاحة cb خلال شوط الخفض بإتباع الخطوات نفسها ، علماً انه ليس من الضروري تساوي الفترتين t_o و t_r .

إذا استعويض عن الفترات الزمنية بالأوضاع الزاوية لعمود دوران الكامرة ، فإن t_o و t_r تمثل عندئذ الزاويتين θ_o و θ_r على التوالي ، إذ إن :

$$q_o = w \cdot t_o \quad , \quad q_r = w \cdot t_r$$

حيث w تمثل السرعة الزاوية الثابتة لدوران الكامرة . والفترتان ba' و dc تمثلان عندئذ زاويتي السكون عند نهاية كل من شوطي الرفع والخفض . أما كامل الفترة الزمنية aa' ، فإنها تمثل زاوية دورة واحدة للكامرة 360° .

أما تغيرات سرعة التابع ، فهي خطوط مستقيمة ، كما في المخطط b في (الشكل-6-6) ، حيث تكون قيمتها العظمى V_o عند منتصف شوط الرفع ، بينما تحدث القيمة العظمى V_r عند منتصف شوط الخفض . ينتج مخطط التسارع المبين في c في (الشكل-6-6) من حساب ميل كل خط مستقيم في مخطط السرعة ، حيث A_o هي قيمة التسارع أو التباطؤ خلال شوط الرفع ، بينما A_r تمثل قيمة كل منهما خلال شوط الخفض .

بينما في الفصل الرابع أن اتجاه قوة العطالة المؤثرة في جسم صلب يعاكس اتجاه تسارع هذا الجسم ؛ لذا فإنه يتضح من دراسة مخططات (الشكل-6-6) أن هناك فترتين يكون خلالهما اتجاه قوة العطالة المؤثرة في التابع ، بحيث يؤدي إلى فقد التماس بين نهاية التابع و سطح الكامرة ؛ وبخاصة في حالات سرعات دوران عالية . يحصل ذلك خلال فترة تباطؤ التابع في شوط الرفع ، وخلال فترة تسارعه في شوط الخفض . أما خلال الفترة الأخرى من كل شوط ، فإن اتجاه قوة العطالة له تأثير إيجابي في حفظ التماس بين التابع والكامرة .

كما أن هذه الحركة هي الأكثر استعمالاً في الآلات ؛ إذ إنها تعطي أقل قيمة لقوى العطالة خاصة في تشغيل صمامات آلات الاحتراق الداخلي ، والشروط التي نرغب توفرها في مثل هذه الكامات هي:

1. أن تعمل على فتح الصمامات ، وغلقها بأسرع ما يمكن ؛ لتسهيل انسياب الغازات من الأسطوانات وإليها .

2. يجب أن تكون القوة الخارجية اللازمة لحفظ التماس بين التابع ، والكامة خلال آخر فترة من الصعود ، وأول فترة من النزول أصغر ما يمكن .

لتحقيق الشرط الأول يجب أن يكون التسارع خلال الفترة الأولى من شوط الرفع ، والتباطؤ خلال الفترة الأخيرة من شوط الخفض أكبر ما يمكن ، وازدياد قيمة التسارع ، والتباطؤ خلال هاتين الفترتين لا يؤثر في قوى العطالة ؛ إذ إنه خلال ذلك تتحكم الكامات إيجابياً بحركة التابع ؛ وبالتالي زيادة التسارع ، والتباطؤ تعمل على زيادة الضغط فقط بين سطحي التماس .

ولتحقيق الشرط الثاني يجب أن يكون التباطؤ خلال الفترة الأخيرة من الشوط الأول ، والتسارع خلال الفترة الأولى من الشوط الثاني أقل ما يمكن ؛ إذ إنهما الفترتان اللتان يؤثر فيهما النابض لحفظ التماس بين السطحين .

يحدد عامل صلابة النابض اللازم تركيبه للحفاظ على التماس من توازن القوى المؤثرة في التابع ، أو من معادلة انحفاظ القدرة الحركية للجملة ؛ لذلك يفضل أحياناً تخفيض قيمة كل من التباطؤ ، والتسارع خلال الفترتين المذكورتين ، بشكل يسمح باستعمال نابض ذي خواص ميكانيكية مقبولة في تصميم ما . يتم ذلك بزيادة فترة التباطؤ في شوط الرفع ، وفترة التسارع في شوط الخفض ، بحيث تصبح كل منهما بحدود ثلثي الفترة الزمنية التي يستغرقها الشوط الموافق لها .

يمكن - استناداً الى مخططات (الشكل-6-6) - استنتاج العلاقات التي تعطي المميزات الحركية للتابع بدلالة زاوية دوران الكامات . يستفاد من هذه العلاقات في إنشاء جانبية الكامات بدقة ؛ وبخاصة عند تصميمها تحليلياً . يجب الانتباه الى وجود علاقات مختلفة لكل فترة من فترات حركة التابع ؛ بسبب وجود نقطة انعطاف عند كل من قيمتي السرعة العظمى ؛ أي: إنه توجد علاقة تحدد إزاحة التابع خلال الرفع من a إلى f ، وعلاقة أخرى تحدد هذه الإزاحة من f إلى d ، كذلك الأمر بالنسبة لشوط الخفض . يمكن عندئذ تحليل الحركة كالآتي:

a. الحركة خلال النصف الأول لشوط الرفع af في المجال:

$$0 \leq q \leq q_o/2$$

بما أن علاقة الإزاحة x بالنسبة لزاوية دوران الكامة θ المقاسة بالراديان تمثل قطعاً مكافئاً ، تعطى العلاقة في هذه الحالة بالمعادلة العامة للحركة المتسارعة بانتظام ، حيث يمكن كتابة العلاقة بالشكل:

$$x_q = C_1 \cdot q^2 + C_2 \cdot q + C_3 \quad (1-6)$$

إن هذه المعادلة صحيحة حتى نقطة الانعطاف f ، و C_1 , C_2 , C_3 تمثل ثوابت يتم تعيينهم من الشروط الحدية للحركة خلال هذه الفترة ، وهي:

$$q = 0 \Rightarrow x_0 = 0 \Rightarrow C_3 = 0$$

$$q = 0 \Rightarrow V_o = 0 \Rightarrow V_o = 2w \cdot C_1 \cdot q + w \cdot C_2 = 0 \Rightarrow C_2 = 0$$

$$q = q_o/2 \Rightarrow x_{q_o/2} = S/2 \Rightarrow S/2 = C_1 \cdot q_o^2/4 \Rightarrow C_1 = 2S/q_o^2$$

بالتعويض في العلاقة (1-6) ، نحصل على معادلة الإزاحة من a إلى f وهي من الشكل:

$$x_q = \frac{2S}{q_o^2} q^2 \quad (2-6)$$

نحصل من اشتقاق معادلة الإزاحة (2-6) بالنسبة للزمن على معادلة السرعة:

$$V_q = \frac{dx_q}{dt} = \frac{4S \cdot w}{q_o^2} q \quad (3-6)$$

حيث $(\omega = d\theta/dt)$ تمثل السرعة الزاوية الثابتة لدوران الكامة مقاسة بـ راديان / ثانية ، وتحدث السرعة العظمى V_o عند نقطة الانعطاف f حيث $(\theta = \theta_o/2)$ ، وقيمتها:

$$V_o = \frac{2S \cdot w}{q_o} \quad (4-6)$$

نحصل من اشتقاق معادلة السرعة (4-6) بالنسبة للزمن على معادلة التسارع:

$$A_q = \frac{dV_q}{dt} = \frac{4S \cdot w^2}{q_o^2} = \text{const.} \quad (5-6)$$

وكما هو واضح من معادلة التسارع (5-6) أن التسارع ثابت .

b. الحركة خلال النصف الثاني لشوط الرفع fd في المجال:

$$q_o/2 \leq q \leq q_o$$

إن علاقة الإزاحة في هذه الحالة تعطى بالمعادلة العامة للحركة المتسارعة بانتظام ؛ لأن الشروط الابتدائية للإزاحة ، والسرعة لا تساوي الصفر ؛ أي: إن:

$$x_q = C_4.q^2 + C_5.q + C_6 \quad (6-6)$$

حيث تقاس الزاوية θ بالراديان من بداية شوط الرفع a ، ويمكن تعيين الثوابت C_4, C_5, C_6 من الشروط الحدية للحركة خلال هذه الفترة ، وهي:

$$q = q_o \Rightarrow x_{q_o} = S \Rightarrow S = C_4.q_o^2 + C_5.q_o + C_6$$

$$q = q_o \Rightarrow V_o = 0 \Rightarrow 0 = 2w.C_4.q_o + w.C_5$$

$$q = q_o/2 \Rightarrow V_o = 2S.w/q_o \Rightarrow 2S.w/q_o = 2w.C_4(q_o/2) + w.C_5$$

ينتج من حل المعادلات الثلاث آنياً أن:

$$C_4 = -\frac{2S}{q_o^2} , \quad C_5 = \frac{4S}{q_o} , \quad C_6 = -S$$

بالتعويض من هذه القيم في العلاقة (6-6) ، تنتج معادلة الإزاحة من f إلى d :

$$x_q = S[1 - 2(1 - \frac{q}{q_o})^2] \quad (7-6)$$

نحصل على معادلة السرعة V_θ من اشتقاق معادلة الإزاحة (7-6) بالنسبة للزمن:

$$V_q = \frac{dx_q}{dt} = \frac{4S.w}{q_o} (1 - \frac{q}{q_o}) \quad (8-6)$$

نحصل على معادلة التسارع A_θ من اشتقاق معادلة السرعة (8-6) بالنسبة للزمن:

$$A_q = \frac{dV_q}{dt} = -\frac{4S.w^2}{q_o^2} = \text{const.} \quad (9-6)$$

يلاحظ من معادلة التسارع (9-6) أن التباطؤ ثابت ، وقيمه المطلقة تساوي قيمة التسارع خلال النصف الأول من الشوط .

يمكن استعمال معادلات الحركة خلال شوط الرفع لتعيين مميزات الحركة خلال شوط الخفض ، من خلال وضع زاوية الخفض θ_r بدلاً من زاوية الرفع θ_o ، علماً أن الزاوية θ تقاس عندئذ بالراديان من الوضع b الذي يمثل نهاية شوط الخفض . أما القيمتان ω , S فهما ثابتتان لتصميم معين .

لن تختلف أسس التحليل السابق عندما تكون فترتا التسارع والتباطؤ غير متساويتين ، إلا من حيث الشروط الحدية التي تعين ثوابت كل من المعادلتين (1-6) و (7-6) .

رغم أن الحركة ذات تسارع منتظم تعطي تسارعاً ثابتاً منخفض القيمة نسبياً ، إلا أنه يلاحظ من المخطط c في (الشكل-6-6) ، أن تغير اتجاهه فجأة عند بداية كل شوط ، ونهايته عند نقطتي الانعطاف يؤدي الى معدل تغير لا نهائي في القوى الديناميكية ؛ لذا لا يمكن استعمال هذه الحركة في تطبيقات ذات سرعات دوران عالية .

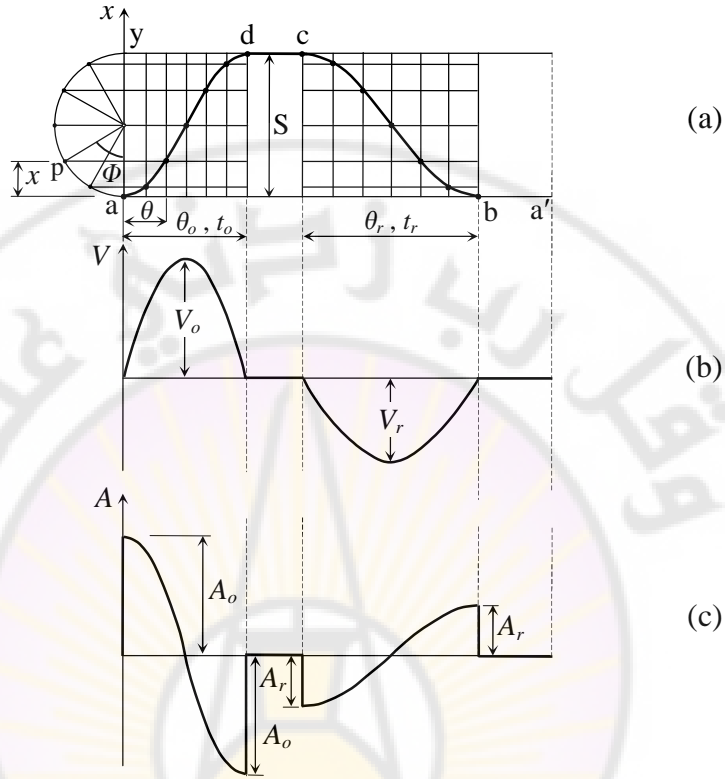
3-5-6- حركة توافقية بسيطة Simple Harmonic Motion

يمكن رسم مخطط الإزاحة لتابع يتحرك حركة توافقية بسيطة ، من المفهوم الذي ينص على الآتي:

إذا دارت نقطة من محيط دائرة بسرعة زاوية منتظمة ، فإن حركة مسقطها على أحد أقطار الدائرة هي حركة توافقية بسيطة .

يبين (الشكل-6-7) مخططات حركة توافقية بسيطة ، حيث تحدد نقاط منحنى الإزاحة a خلال شوط الرفع كالاتي:

- ترسم نصف دائرة قطرها يساوي طول الشوط S ، ويقسم محيطها إلى عدد مناسب من الأجزاء المتساوية ، ولتكن ستة .
- ترسم من النقاط الناتجة خطوط أفقية .
- تقسم الفترة الزمنية t_o إلى العدد نفسه من الأجزاء المتساوية ، وترسم خطوط شاقولية من النقاط الناتجة .
- تحدد نقاط المنحنى ad من نقاط تقاطع كل خط أفقي مع الخط الشاقولي الموافق له .
- كما يرسم منحنى شوط الخفض cb باتباع الخطوات نفسها .



(الشكل-7-6) مخططات حركة تابع يتحرك حركة توافقية بسيطة .

يمكن استناداً إلى الإنشاء التخطيطي استنتاج معادلات الحركة لكل من الشوتين .
 يلاحظ من مخطط إزاحة شوط الرفع ad المبين في a في (الشكل-7-6) أنه إذا دارت
 الكامة زاوية θ راديان من الوضع الابتدائي a ، فإنه يقابلها على نصف دائرة الإنشاء
 دوران النقطة a حتى p بزاوية Φ ، بينما يكون التابع قد تحرك على خط الشوط إزاحة
 x ، حيث ينتج من المخطط a في (الشكل-7-6) ، أن:

$$x_f = \frac{S}{2} - \frac{S}{2} \cos f \quad (10-6)$$

لأن نصف قطر دائرة الإنشاء تساوي $S/2$.

لكن عند دوران الكامة بزاوية الرفع θ_o ، فإن النقطة a تدور على نصف الدائرة
 حتى y بزاوية تساوي π راديان ، بحيث إن:

$$q/q_o = f/p \Rightarrow f = (p/q_o)q$$

بالتعويض من Φ في المعادلة (10-6) بقيمتها ، تنتج معادلة الإزاحة:

$$x_q = \frac{S}{2} \left(1 - \cos \frac{p}{q_o} q\right) \quad (11-6)$$

تحدد معادلة سرعة التابع V_θ خلال شوط الرفع ، من اشتقاق معادلة الإزاحة (11-6) بالنسبة للزمن:

$$V_q = \frac{dx_q}{dt} = \frac{p \cdot S \cdot w}{2q_o} \sin \frac{p}{q_o} q \quad (12-6)$$

تمثل المعادلة (12-6) منحنيًا جيبياً لتغيرات سرعة التابع خلال شوط الرفع ، كما هو مبين في المخطط b في (الشكل-6-7) ؛ وبالتالي فالحركة هي توافقية بسيطة تحدث سرعتها العظمى V_o عند منتصف الشوط ($\theta = \theta_o / 2$) ، بقيمتها:

$$V_o = \frac{p \cdot S}{2q_o} w \quad (13-6)$$

أما معادلة تسارع التابع A_θ خلال شوط الرفع ، فإنها تنتج من اشتقاق معادلة السرعة (12-6) بالنسبة للزمن:

$$A_q = \frac{dV_q}{dt} = \frac{p^2 \cdot S \cdot w^2}{2q_o^2} \cos \frac{p}{q_o} q \quad (14-6)$$

وهي تمثل منحنيًا جيبياً ، كما هو مبين في المخطط c في (الشكل-6-7) . حيث نلاحظ من مخطط التسارع c في (الشكل-6-7) ، أن التسارع الأعظمي A_o يحدث عند بداية الشوط ($\theta = 0$) ، بقيمته:

$$A_o = \frac{p^2 \cdot S \cdot w^2}{2q_o^2} \quad (15-6)$$

بينما ينتج أعظم تباطؤ عند نهاية الشوط ($\theta = \theta_o$) بقيمته المطلقة هي A_o نفسها . تنتج معادلات الحركة خلال شوط الخفض ، من وضع قيمة زاوية الخفض θ_r بدلاً من θ_o في المعادلات السابقة ، شرط قياس الزاوية θ من الوضع b الذي يمثل نهاية شوط الخفض .

يلاحظ من مخططات هذه الحركة عدم وجود نقاط انعطاف ؛ لأن تغيرات السرعة جيبية من دون انقطاع خلال كل الشوطين ؛ لذا فإنها تعطي حركة أسلس من الحركة السابقة رغم وجود تغير فجائي في التسارع عند بداية كل شوط ، ونهايته . يمكن إزالة ذلك ضمن شروط عمل معينة ستبين لاحقاً .

4-5-6- حركة دويرية

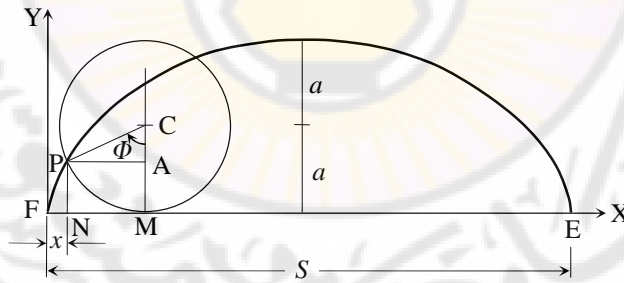
Cycloidal Motion

الحركة الدويرية ، وتدعى أيضاً بالحركة السيكلويدية: هي حركة حديثة العهد نسبياً ، حيث ينتج مخطط الإزاحة لتابع يتحرك حركة دويرية من المنحني الدويري أو من منحني السيكلويد (Cycloid) الذي يعرف بأنه المحل الهندسي الذي ترسمه نقطة من محيط دائرة تتدحرج على خط مستقيم دون انزلاق .

يبين (الشكل-6-8) الدائرة المتدحرجة التي نصف قطرها R ، ومركزها C ، ومحيطها يساوي طول الشوط S ، وأن P هي النقطة من محيطها التي ترسم منحني السيكلويد ، والنقطة M هي نقطة تماس الدائرة مع الخط الثابت FX الذي يدعى القاعدة ، بحيث القوس PM يساوي FM في الطول ؛ بمعنى أن النقطة P تمس الخط FX عند لحظة ابتداء الحركة ، فإذا دارت هذه الدائرة زاوية Φ نحو الأعلى باتجاه دوران عقارب الساعة ، بحيث الزاوية PCM تساوي Φ ، فيكون إحداثي النقطة P عندئذ يساوي إلى:

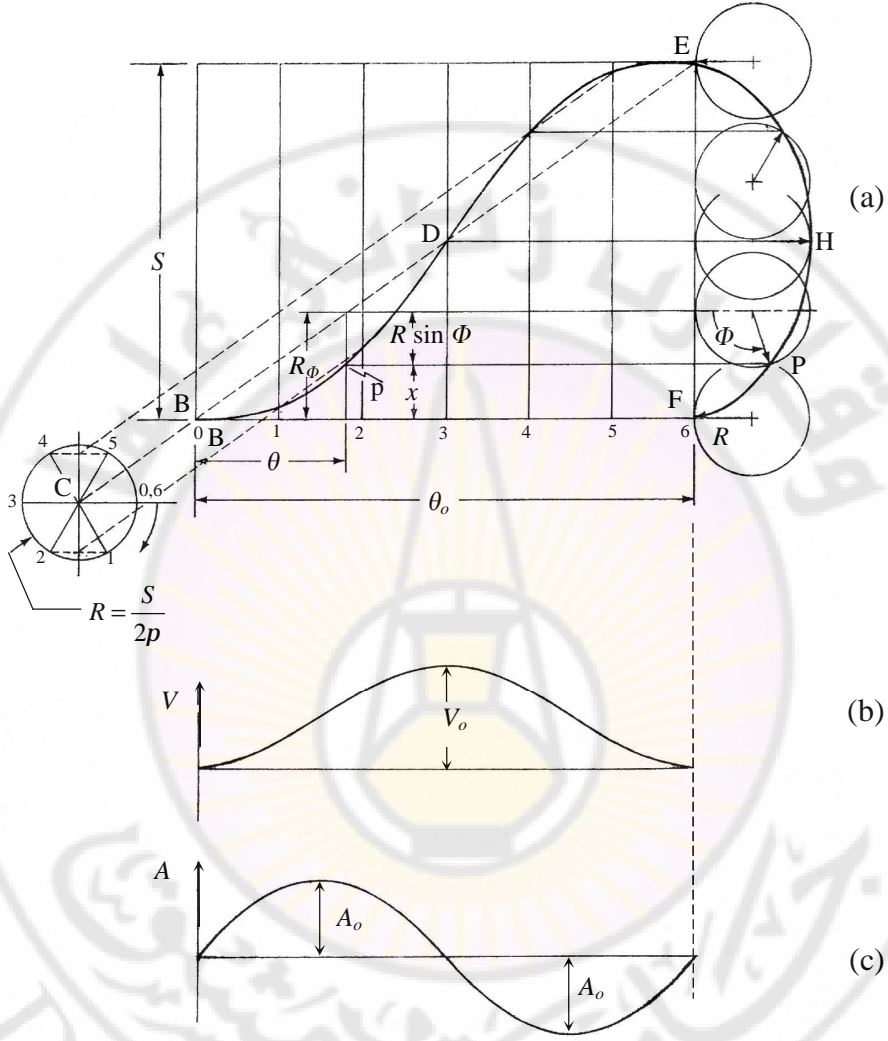
$$x = FN = FM - NM = PM - AP$$

$$x_f = R.f - R.\sin f \quad (16-6)$$



(الشكل-6-8) المنحني الدويري .

ويبين المخطط a في (الشكل-6-9) ، المنحني BDE الذي يمثل مخطط إزاحة تابع يتحرك خلال شوط الرفع حركة دويرية ، بحيث إنه يقطع شوطاً S خلال دوران الكامة زاوية θ_o . وتم رسم هذا المخطط من دراسة الخواص الهندسية للمنحني الدويري FHE ، الناتج من تدحرج دائرة محيطها يساوي طول الشوط S ، ونصف قطرها $(R = S/2\pi)$ ، على الخط المستقيم EF .



(الشكل-9-6) مخططات حركة تابع يتحرك خلال شوط الرفع حركة دويرية .

فإذا دارت هذه الدائرة زاوية Φ ، فإن الكامة تكون قد دارت زاوية θ من وضعها عند بدء شوط التابع الذي سيتحرك المسافة x وفق المنحني BP ، وبما أن الدائرة التي محيطها S ، تدور دورة كاملة 2π خلال دوران الكامة زاوية θ_o ، فإن:

$$f = \frac{2p}{q_o} q$$

وتكون معادلة إحداثي النقطة P .

$$x_q = 2p \cdot R \frac{q}{q_o} - \frac{S}{2p} \cdot \sin \frac{2p}{q_o} q$$

أي: إن معادلة حركة التابع هي:

$$x_q = S \frac{q}{q_o} - \frac{S}{2p} \cdot \sin \frac{2p}{q_o} q \quad (17-6)$$

يمكن عندئذ رسم مخطط الإزاحة BDE كالآتي:

- تحدد النقطة E من معطيات التصميم S و θ_o ، ويرسم الخط BE .
- تحدد النقطة C على امتداد EB وببعد اختياري يناسب الرسم .
- ترسم دائرة مركزها C ، ونصف قطرها $(R = S/2\pi)$.
- تقسم المسافة الزاوية θ_o إلى عدد مناسب من الأجزاء المتساوية ، ولتكن ستة ، وترسم خطوط شاقولية من نقاط التقسيم .
- تقسم الدائرة التي مركزها C إلى العدد نفسه من الأجزاء المتساوية ، وتسقط النقاط الناتجة 0 , 1 , 2 , 3 , ... على الخط الشاقولي المار من C ، كما في المخطط a في (الشكل-6-9) ، حيث يلاحظ أن مسقط النقاط 0 , 3 , 6 هو النقطة C .
- ترسم من مساقط هذه النقاط خطوط موازية للخط BE .
- تحدد نقاط مخطط الإزاحة من نقاط تقاطع كل خط من هذه الخطوط مع الخط الشاقولي الموافق له .

يمكن البرهان بسهولة على تطابق هذا الإنشاء التخطيطي مع المعادلة (6-16) ، حيث يساوي الحد الأول منها $(R \cdot \Phi)$ الإحداثي الرأسي لنقاط الخط المستقيم BE ، بينما يمثل الحد الثاني $(R \cdot \sin \Phi)$ المسافة التي يجب أن تراح بها هذه النقاط شاقولياً لتتطبق على مخطط الإزاحة عند كل وضع من أوضاع الكامنة . من الواضح أن هذه المسافة تساوي في وضع ما البعد بين مركز الدائرة C ، ومسقط النقطة المناسبة لهذا الوضع من محيط الدائرة على الخط الشاقولي المار من C . يلاحظ أن هذه المسافة موجبة أو سالبة بحسب قيمة الزاوية Φ التي يجب أن تقاس بدءاً من النقطة 0 الموافقة لبدء الشوط ، وباتجاه واحد دوماً مع دوران عقارب الساعة ، كما في المخطط a في (الشكل-6-9) .

نحصل على معادلة سرعة التابع V_θ من اشتقاق معادلة الإزاحة (6-17) ، مع ملاحظة أن الكامنة تدور بسرعة زاوية ثابتة ω ، حيث ينتج:

$$V_q = \frac{dx_q}{dt} = \frac{S \cdot w}{q_o} (1 - \cos \frac{2p}{q_o} q) \quad (18-6)$$

يلاحظ من المعادلة (18-6) أن أعظم سرعة V_o تحصل في منتصف الشوط ، حيث $(\theta = \theta_o / 2)$ ، كما هو واضح من المخطط b في (الشكل-6-9) ، وقيمته:

$$V_o = \frac{2S \cdot w}{q_o} \quad (19-6)$$

نحصل على معادلة التسارع A_θ من اشتقاق معادلة السرعة (18-6) ، حيث ينتج:

$$A_q = \frac{dV_q}{dt} = \frac{2p \cdot S \cdot w^2}{q_o^2} \sin \frac{2p}{q_o} q \quad (20-6)$$

يلاحظ من المعادلة (19-6) أن أعظم تسارع A_o يحدث عند ربع الشوط ، حيث $(\theta = \theta_o / 4)$ ، كما هو واضح من المخطط c في (الشكل-6-9) ، بينما يحدث أعظم تباطؤ عند $(\theta = 3\theta_o / 4)$ ، وتساوي قيمته المطلقة القيمة العظمى نفسها للتسارع A_o .

$$A_o = \frac{2p \cdot S \cdot w^2}{q_o^2} \quad (21-6)$$

يمكن بشكل مماثل دراسة حركة التابع خلال شوط الخفض ، يلاحظ من المخططات في (الشكل-6-9) عدم وجود تغيرات فجائية لقيمة التسارع والتباطؤ ، لذا فإن هذه الحركة تلائم سرعات دوران أعلى من تلك التي يسمح بها عند استعمال الحركات السابقة جميعها .

Follower Motion Choice

6-6- اختيار حركة تابع

نجد أن نوع حركة التابع في أحوال كثيرة عند تصميم تركيبية الكامنة ، يعتمد على الوظيفة التي تؤديها الآلة ، ومع ذلك نجد أن المشكلة لا تتعدى الرغبة في تأمين الحركة لمسافة معينة في زمن معين ، والتحديد الوحيد لنوع الحركة لا يزيد على أن هذه الحركة يجب أن تكون هادئة ، وخالية من الصدمات ، والقوى غير المتوازنة ، والحركة ذات السرعة الثابتة غير المعدلة غير صالحة لهذه الغاية ؛ بسبب ما يرافقها من صدمات ، واهتزازات في بدء الحركة ونهايتها ، والاختيار ينحصر بين الحركة ذات التسارع الثابت ، والتباطؤ الثابت ، والحركة التوافقية البسيطة ، والحركة السيكلويدية .

وبعد أن أوضحنا خواص هذه الحركات التي يمكن استخدامها في تصميم تركيبة الكامرة ، فمن الضروري أن تقارن هذه الخواص فيما بينها من خلال تأثيرها في العوامل التصميمية ، وأهمها المتطلبات الوظيفية ، والسرعة ، وكتلة الأجزاء المتحركة ، والأحمال الخارجية ، ومرونة الأجزاء ؛ إضافة إلى كلفة التصنيع التي سننوه عنها لاحقاً .

لا يعد اختيار الحركة المناسبة حرجاً في حالة سرعات دوران منخفضة ، حيث يتم التصميم على أساس تحريك تابع مسافة ما من خلال زمن معين ، من دون الاهتمام كثيراً بقوى العطالة ؛ نظراً لانخفاض قيمتها نسبياً . أما في حال سرعات دوران عالية ، فإنه يجب التأكيد على الخواص الديناميكية للتركيبة ؛ إضافة إلى خواصها الحركية ؛ وبالتالي اختيار الحركة بشكل يعطي أقل قيم ممكنة لقوى العطالة ؛ خاصة خلال فترات الحركة التي تؤثر فيها هذه القوى ، باتجاه إبعاد التابع عن سطح الكامرة . كما أن نمط تغير هذه القوى ذو تأثير أساسي في نشوء أحمال ديناميكية فجائية إذا كان معدل تغير قوى العطالة كبيراً .

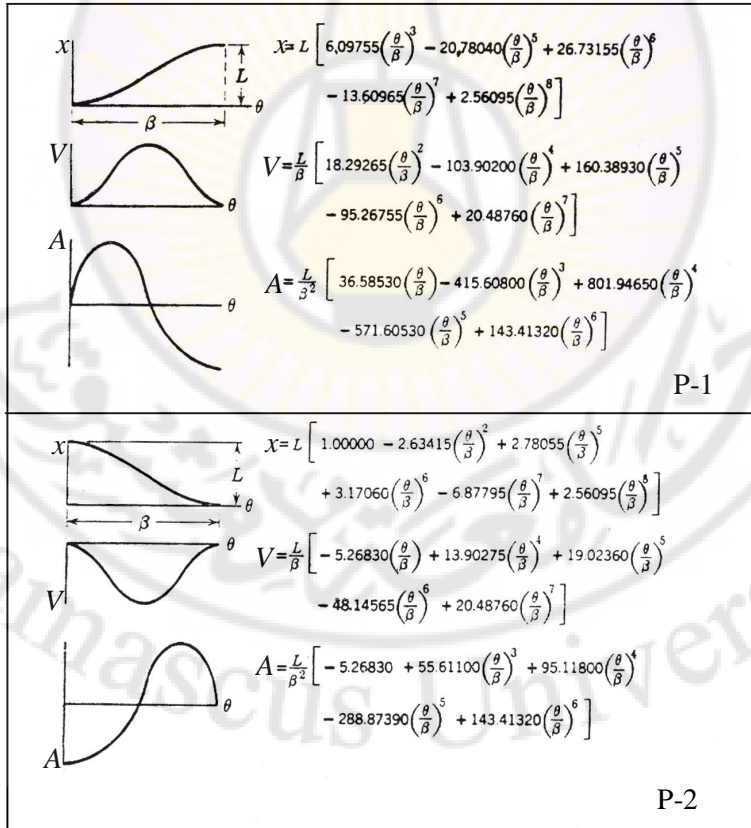
إن مدلول طبيعة التحميل الديناميكي هو معدل تغير التسارع بالنسبة للزمن ، أو ما يسمى الرجفة أو النخعة (*Jerk*) ؛ بسبب الاهتزاز الشديد الذي تحدثه في تركيبة الكامرة ؛ لذا يفضل أحياناً رسم مخطط تغيرات قيمة الرجفة خلال كامل حركة التابع ؛ وبالتالي تصميم أجزاء تركيبة الكامرة وفقاً لهذه التغيرات ؛ لتفادي نشوء إجهادات ديناميكية عالية عند التشغيل .

يلاحظ من مقارنة قيم التسارع العظمى لكل من الحركات التي تطرقنا إليها في الفقرات السابقة أن التصميم على أساس حركة ذات تسارع ثابت يعطي أقل قيمة لتسارع التابع ، عندما يقطع شوطاً ما خلال زمن معين في الحالات جميعها . لذا قد يبدو من منطلق قوى العطالة أن هذه الحركة هي أفضل اختيار ، إلا أنه لا يمكن تجاهل التغيرات الفجائية الحادة في المخطط c في (الشكل-6-6) ، حيث يزداد التسارع من صفر إلى قيمته الثابتة بشكل آني . ينتج من هذا التغير الآني قيمة لا نهائية للنخعة ، تؤدي إلى تحميل صدمي يؤثر في أجزاء التركيبة كافة ، وتتشأ عنها إجهادات ، واهتزازات عالية تسبب تخرش سطوح هذه الأجزاء أو تشوهها ، يرافقه انهيار سريع في دقة أدائها . كذلك الأمر بالنسبة لحركة معدلة ذات سرعة ثابتة .

يمكن استخدام حركة توافقية بسيطة في تصميم كامات ذات سرعات عالية نسبياً ، شرط عدم وجود فترات سكون ، وأن تتساوى زوايا الرفع والخفض ؛ أي ($\theta_o = \theta_r = 180^\circ$) . يكون مخطط التسارع عندئذٍ منحنياً متصلاً من دون تغيرات فجائية حادة تؤدي إلى حدوث نخعة لا نهائية . يلاحظ ذلك من الرجوع إلى المخطط c في (الشكل-6-7) ، حيث يصبح في هذه الحالة منحنياً تجيبياً متصلاً .

أما مخطط التسارع c في (الشكل-6-9) الناتج من حركة دويرية خلال شوط الرفع ، فإنه يمكن وصله بمخطط مشابه له خلال شوط الخفض ، أو بفترة سكون سابقة أو لاحقة ، وذلك من دون حدوث نخعة لا نهائية . لكن يجب الانتباه إلى أن هذه الحركة تعطي أكبر قيمة للتسارع الأعظمي بالمقارنة مع بقية الحركات ، لذا فإنه ينتج منها قوى عطالة كبيرة نسبياً ؛ مما يحد من استخدامها في بعض حالات السرعات العالية .

إضافة إلى الحركات العامة المذكورة سابقاً فقد درس الباحثان كلوموك وموفلي (*Kloomok & Muffley*) حركة خاصة بالتركيبات الكامية ، حيث اقترحا معادلة للإزاحة x هي متعدد حدود من الدرجة الثامنة . نكتفي في (الشكل-6-10) ببيان معادلات ، ومخططات هذه الحركة دون شرح مسهب ، في حالة رفع تابع ، كما في (الشكل-1-P) أو خفضه ، كما في (الشكل-2-P) مسافة L خلال دوران الكامية زاوية β .



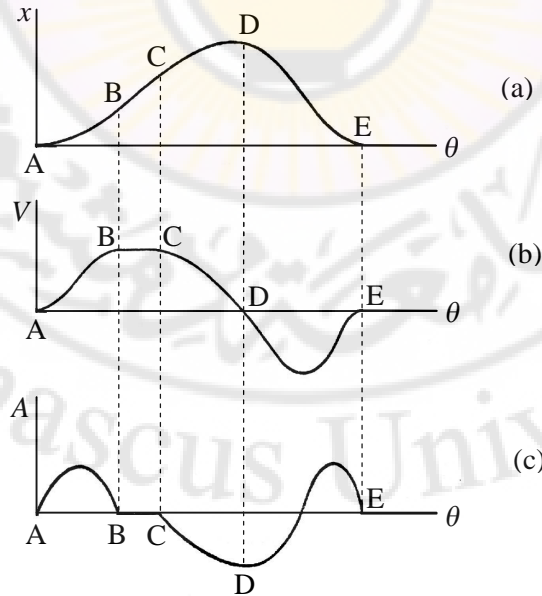
(الشكل-6-10) معادلات ومخططات الحركة المقترحة من قبل (*Kloomok & Muffley*) .

يلاحظ من الشكل أن مخطط التسارع في كل من الحالتين ، هو منحني متصل من دون تغيرات حادة ؛ مما ينتج منه شروط تحميل ديناميكي جيدة لعدم وجود نقاط صدم . كما أن هذه الحركة تمتاز عن الحركة الدويرية بأنها تعطي قيمة أقل للتسارع الأعظمي ؛ وبالتالي قيمة منخفضة نسبياً لقوى العطالة .

يتضح مما تقدم أنه لا توجد قاعدة مطلقة لاختيار حركة تابع ما ؛ وإنما من الضروري في أغلب الأحيان موازنة حركات مختلفة عدة ؛ للحصول على أفضل النتائج حركياً وديناميكياً في تصميم معين .

تؤدي عملية الموازنة هذه إلى استخدام أجزاء من كل من مخططات الحركة الواردة سابقاً خلال كل من شوطي الرفع والخفض . يعبر عندئذ عن الحركة بنسبة الجزء المستخدم من الحركة خلال شوط كامل ، مثال ذلك يقال نصف حركة دويرية للتعبير عن حركة تتم وفق المنحني BD من المخطط a في (الشكل-6-9).

يبين (الشكل-6-11) مخططات الحركة الممكن اقتراحها لحركة تابع دون فترات سكون ، حيث يتطلب أداء الجملة الحركية أن يكون جزء من شوط الرفع ذا حركة ذات سرعة ثابتة ، مع الأخذ بالحسبان تحقيق أقل تحميل ديناميكي ممكن خلال كامل دورة العمل .



(الشكل-6-11) مخططات لحركة تابع من دون فترات سكون .

يلاحظ من مخطط الإزاحة a في (الشكل-6-11) ، أن الحركات المقترحة هي:

AB : نصف حركة دويرية ، ينتج منها انعدام التسارع عند نقطة بدء الحركة A ، وعند B نقطة بدء الحركة بسرعة ثابتة .

BC : حركة بسرعة ثابتة .

CD : نصف حركة توافقية بسيطة ، بحيث إن تسارعها يساوي صفراً عند C نقطة اتصالها مع حركة السرعة الثابتة .

DE : حركة ذات معادلة من الدرجة الثامنة ، وفق (الشكل-2-P) من (الشكل-6-10) .

يوائم تسارع هذه الحركة عند بدئها في D قيمة التباطؤ الذي انتهت إليه الحركة التوافقية السابقة عند D . كما أن هذه الحركة تحقق تسارعاً منعدماً عند نهاية دورة العمل في E ، حيث يوائم التسارع الذي يساوي الصفر في بدء دورة عمل تالية .

يتضح من مخطط السرعة b في (الشكل-6-11) أن السرعة تتغير وفق منحنٍ متصل ، وأن مخطط التسارع c في (الشكل-6-11) لا يشير إلى حدوث تحميل صدمي في أي موضع خلال كامل دورة العمل .

لم نتطرق في هذه الفقرة إلى تأثير نوع حركة التابع في قيمة زاوية الضغط ؛ لأننا سنبين في فقرة لاحقة المؤثرات المختلفة التي تحدد هذه الزاوية .

7-6- إنشاء التخطيطي لجانبية كامة قرصية *Disk Cam Profile Construction*

إن الخطوة التالية بعد اختيار حركة التابع ونوعه بما يناسب متطلبات أداء الآلة ، هي تحديد شكل جانبية الكامات ؛ أي السطح المحيطي للكامات الذي يحقق الحركة المختارة للتابع .

يعتمد إنشاء جانبية الكامات تخطيطياً أو تحليلياً على مبدأ انعكاس الحركة في التركيبات الآلية الذي سبق توضيحه في الفصل الأول ، حيث يمكن تغيير الوصلة الثابتة من دون أن يؤثر ذلك في الحركة النسبية بين مختلف وصلات التركيبية وفق مفهوم المتحول .

إن الوضعية الفعلية لتركيبية كامات هي دوران الكامات المتصلة بالهيكل الثابت ، لتعطي حركة للتابع الذي يتحرك ترددياً أو تارجحياً بالنسبة لهذا الهيكل . يطبق مفهوم انعكاس الحركة عند دراسة الكامات ، سواء أكانت طبيعة هذه الدراسة تصميم جانبية الكامات ، أم تحليل حركة التابع بالنسبة لكامات ذات جانبية محددة .

من الواضح أن رسم الكامرة في أوضاع عدة صعب ، ومعقد جداً ؛ بخاصة في عمليات الإنشاء ، حيث المطلوب هو إيجاد شكل الكامرة ؛ لذا يتم تثبيت الكامرة ؛ أي تصبح الوصلة الثابتة ، بينما يدار محور التابع ودليله الذي يمثل الهيكل حول الكامرة بعكس اتجاه دورانها الفعلي حول محورها ، مع الحفاظ على طبيعة الحركة النسبية بين التابع والهيكل ، ترددية أو تأرجحية ، وألا يغير هذا التعديل في وضع الوصلة الثابتة الحركة النسبية الفعلية عند سطح التماس بين الكامرة والتابع .

يتأثر شكل جانبة الكامرة بعوامل بعدة ، هي:

1. مخطط إزاحة التابع .
 2. شكل نهاية التابع مدبب أو دحرجي أو مسطح .
 3. طبيعية حركة التابع ترددية أو تأرجحية .
 4. وضع محور التابع بالنسبة لمحور الدوران في مستوي الحركة قطري أو مجنب .
 5. اتجاه حركة دوران الكامرة حول محورها .
 6. نصف قطر الدائرة الأساسية ، وهو يحدد بشكل أساسي حجم الكامرة .
- إضافة إلى ذلك توجد عوامل أخرى عدة تؤثر في بعض الحالات سببها في حينها .

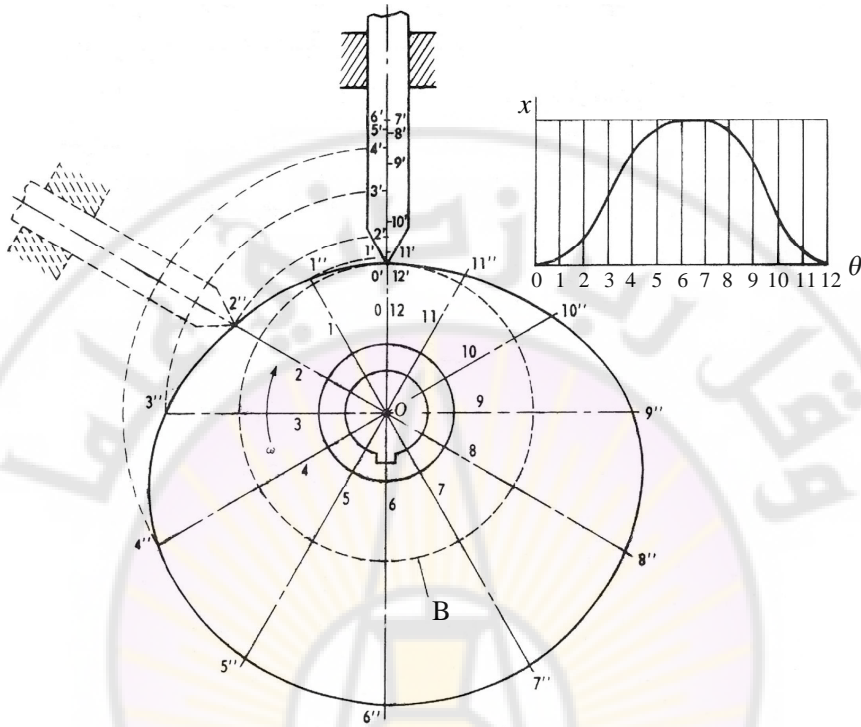
سنوضح كيفية تحديد جانبية كامرة تخطيطياً من خلال بعض الأمثلة النموذجية ، مع الإشارة إلى أن طرائق الإنشاء المبينة أدناه ليست بالضرورة الأساليب التخطيطية الوحيدة ؛ وإنما يمكن استعمال أية طريقة بديلة تحقق الوضع الصحيح للتابع بالنسبة للكامرة .

1-7-6- كامرة قرصية ذات تابع مدبب ترددي قطري

Disk Cam with Knife-Edge Follower

رغم أن تطبيقات التابع المدبب نادرة عملياً ، إلا أن طريقة الإنشاء في هذه الحالة تبين الخطوات الأساسية المتبعة عادة في تحديد جانبية الكامرة في حالات أخرى .

تدور الكامرة باتجاه دوران عقارب الساعة ، حول محور مار من O ، بسرعة زاوية ثابتة ω . من المطلوب أن تحرك هذه الكامرة خلال دورة كاملة تابعاً مدبباً بحركة ترددية وفق مخطط الإزاحة المبين في (الشكل-6-12) ، حيث يمر محور التابع من مركز عمود الدوران O ، ويسمى عندئذ تابعاً قطرياً .



(الشكل-6-12) تحديد جانبية كامة قرصية ذات تابع مدبب ترددي قطري .

تحدد جانبية الكامنة تخطيطياً بمعلومية نصف قطر دائرتها الأساسية كالآتي:

- يقسم محور الزوايا في مخطط الإزاحة إلى عدد مناسب من الفترات الزاوية المتساوية ، وليكن 12 ، كما في الشكل .

- ترسم الدائرة الأساسية (Base Circle) B ، بحيث مركزها O ، ونصف قطرها المعلوم R ، يساوي البعد بين مركز عمود الدوران O ، ونهاية التابع المدببة في أخفض وضع له . ثم تقسم هذه الدائرة إلى العدد نفسه من الفترات الزاوية المتساوية .

- تقاس الإحداثيات الرأسية الموافقة للإزاحة عند كل فترة زاوية ، وتوقع هذه القيم بمقياس مناسب على طول محور التابع ، بحيث تحدد النقاط $0', 1', 2', 3', \dots$.

- تعين النقطة $2''$ مثلاً على سطح الكامنة ، من تقاطع الخط 2 المحدد على الدائرة الأساسية ، مع القوس الناتج من تدوير النقطة $2'$ باتجاه عكس دوران عقارب الساعة حول مركز الدوران O ؛ لأن الكامنة تدور باتجاه دوران عقارب الساعة .

- تعيين النقاط $1'', 2'', 3'', 4''$ بالطريقة نفسها حيث يتقاطع كل خط على الدائرة الأساسية مع القوس المناسب له . تنتج جانبية الكامنة المطلوبة من وصل هذه النقاط بمنحن أملس .

- يلاحظ - في حالة (الشكل-6-12) - وجود فترات سكون في نهاية شوط الرفع بين الوضعين (7 - 6) ؛ لذا فإن الجزء ($7'' - 6''$) من جانبية الكامنة ، هو قوس دائري مركزه مركز عمود الدوران O ، ونصف قطره المسافة ($6' - O$) التي تساوي مجموع نصف قطر الدائرة الأساسية ، وطول الشوط S .

أما في حالة وجود فترة سكون في نهاية شوط الخفض ، فإن جانبية الكامنة تنطبق على قوس من الدائرة الأساسية خلال هذه الفترة .

سنفترض - تبسيطاً للشرح - أن اتجاه دوران الكامنة ، ومخطط الإزاحة ، والفترات الزاوية لأمتثلة الانشاء اللاحقة هي ، كما في (الشكل-6-12) .

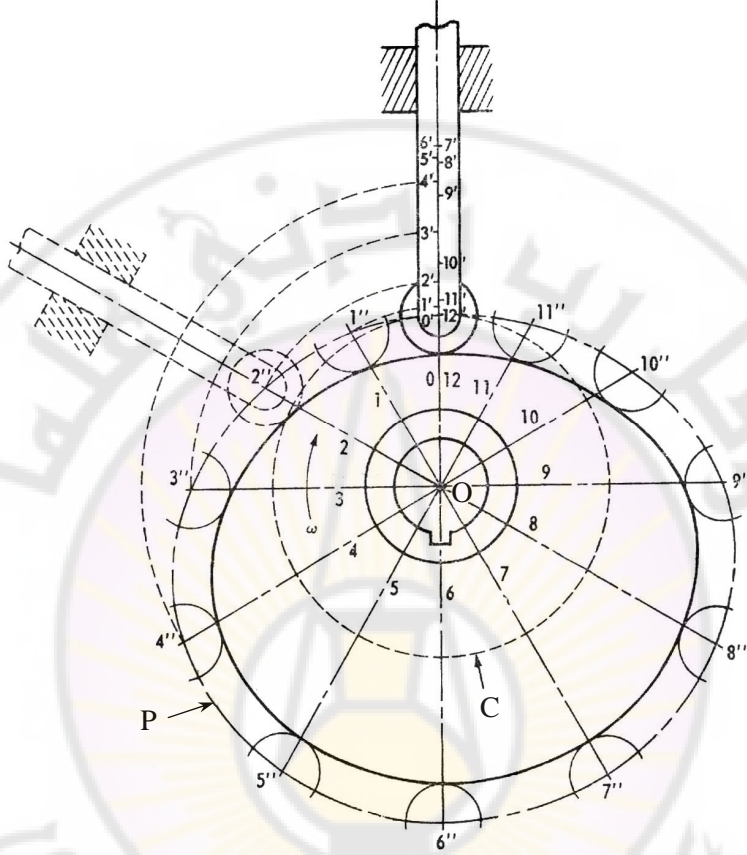
2-7-6- كامنة قرصية ذات تابع دحرجي ترددي قطري

Disk Cam with Roller Follower

نحتاج في هذه الحالة إلى تعيين نصف قطر الدحرج ؛ إضافةً إلى المعلومات الأساسية التي سبق ذكرها في الفقرة (6-7) ، كما أن محور التابع في هذا المثال يمر من مركز عمود الدوران O ؛ لأن التابع قطري .

إن نقطة الأثر التي تحدد حركة التابع هي مركز الدحرج الذي يتحرك على المسار الترددي للتابع ، بينما بقية نقاط الدحرج ؛ بخاصة نقطة التماس لها حركة بالنسبة لساق التابع ؛ وبالتالي فإنها تغير موضعها بالنسبة له ، كما سيتضح لنا من خلال إنشاء جانبية الكامنة .

لذا فإن الإنشاء يتم في هذه الحالة استناداً إلى دائرة C ، مركزها محور الدوران O ، ونصف قطرها يساوي مجموع نصف قطر الدائرة الأساسية والدحرج ، كما في (الشكل-6-13) وتسمى الدائرة الأولية (Primary Circle) . من الواضح أن هذه الدائرة تمر من مركز الدحرج عندما يكون التابع في أقرب وضع له من مركز الدوران O ؛ أي إزاحته تساوي الصفر .



(الشكل-6-13) تحديد جانبية كامة قرصية ذات تابع دحروجي ترددي قطري .

يلاحظ عندئذ أن مركز الدحروج يماثل الرأس الحاد المدبب ، على أساس أن دائرة الإنشاء في هذه الحالة هي الدائرة الأولية ؛ وبالتالي تعيين الأوضاع النسبية $1''$, $2''$, $3''$, $4''$ لمركز الدحروج بطريقة المثال السابق نفسها . يسمى المنحني الأملس P الواصل بين هذه الأوضاع منحني الخطوة . ترسم أقواس نصف قطر كل منها يساوي نصف قطر الدحروج ، ومركزه في النقاط $1''$, $2''$, $3''$, $4''$ على التوالي .

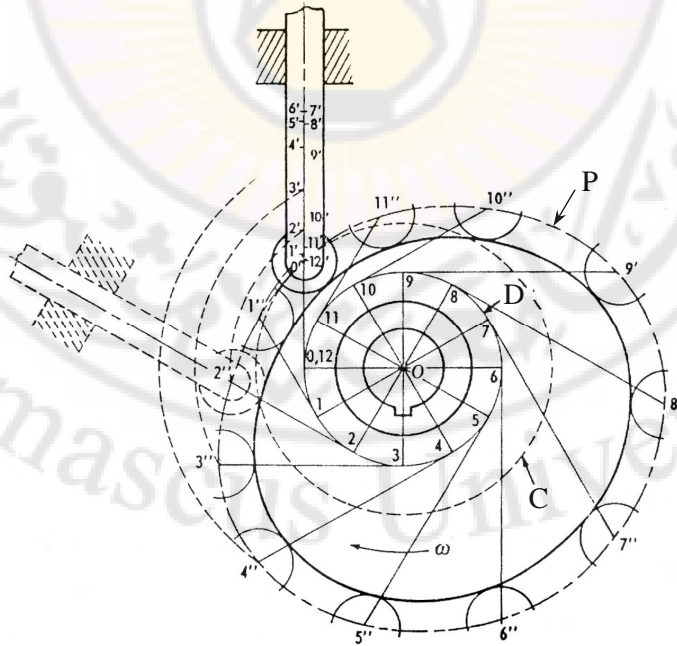
إن جانبية الكامنة عندئذ هي المنحني الأملس الذي يمس هذه الأقواس كافة . يلاحظ من الشكل أن نقطة تماس الدحروج مع الكامنة لا تقع على محور التابع إلا خلال فترة السكون ؛ لذلك من الضروري رسم منحني الخطوة أولاً ، استناداً إلى حركة مركز الدحروج ، ومن ثم تحديد جانبية الكامنة .

3-7-6- كامة قرصية ذات تابع دحرجي ترددي مجنب

Disk Cam with Offset Roller Follower

إن السمة الأساسية لهذه التركيبات ، هي إزاحة محور التابع في مستوي حركة الكامة يميناً أو يساراً بالنسبة لمحور الدوران ، بحيث يصبح المحوران غير متقاطعين ، ويسمى التابع عندئذ تابعاً مجنباً (Offset) . يحاد التابع أحياناً بسبب نمط توزيع بقية أجزاء الآلة ، لكن السبب الرئيس لذلك هو التقليل من الدفع الجانبي المؤثر في دليل التابع الذي سيناقش في فقرة لاحقة . يتوقف اتجاه حيد التابع الذي ينتج منه تقليل الدفع الجانبي لحالة معينة على اتجاه دوران الكامة ، بحيث يحاد التابع نحو اليسار عند دوران الكامة باتجاه دوران عقارب الساعة ، ونحو اليمين عند دورانها عكس ذلك . من الواضح أن مقدار هذا الحيد يجب أن يعين قبل البدء بإنشاء جانيبة الكامة .

يبين (الشكل-6-14) حالة تابع دحرجي مجنب لكامة تدور باتجاه دوران عقارب الساعة ، حيث الدائرة C تمثل الدائرة الأولية التي تمر من مركز الدحرج ، عندما يكون التابع في أقرب وضع له من مركز الدوران O ، بينما يحدد مقدار الحيد المسافة العمودية بين مركز الدوران ، وامتداد محور التابع .



(الشكل-6-14) تحديد جانيبة كامة قرصية ذات تابع دحرجي ترددي مجنب .

إن خطوات الإنشاء هي كالآتي:

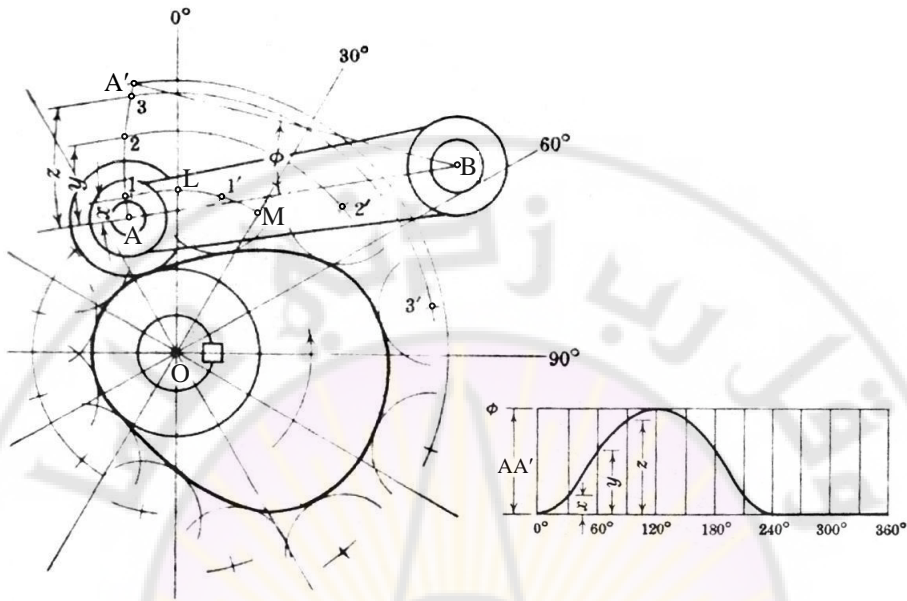
- ترسم دائرة الحيد D التي مركزها مركز الدوران O ، ونصف قطرها مقدار الحيد .
- تقسم هذه الدائرة بعدد الفترات الزاوية المتساوية التي قسم بها مخطط الإزاحة ، وليكن 12 جزءاً ، كما في (الشكل-6-12) .
- تحدد النقاط $0', 1', 2', 3' \dots$ على محور التابع وفقاً لقيم الإزاحة المناسبة للفترات الزاوية المتساوية .
- يرسم مماس لدائرة الحيد عند كل نقطة من نقاط التقسيم $0, 1, 2, 3, \dots$. يمثل كل مماس وضع محور التابع عند دورانه حول الكامنة باتجاه عكس دوران عقارب الساعة .
- تعيين النقطة $2''$ مثلاً من تقاطع المماس 2 لدائرة الحيد ، مع القوس الناتج من تدوير النقطة $2'$ على محور التابع حول مركز الدوران O ، كما في الشكل .
- تعيين بقية النقاط $1'', 2'', 3'', 4'' \dots$ بالطريقة نفسها من تقاطع كل مماس مع القوس الموافق له .
- ترسم أقواس نصف قطر كل منها يساوي نصف قطر الدخروج ، ومركزه في النقاط $1'', 2'', 3'', 4'' \dots$ على التوالي ، وتحدد جانبية الكامنة بالمنحني الأملس الذي يمس هذه الأقواس كافة .

4-7-6- كامنة قرصية ذات تابع دخروجي تأرجحي

Disk Cam with Pivoted Roller Follower

باعتبار أن الحركة الزاوية للتابع معلومة ، وأن الانتقال الاجمالي لها يساوي Φ ، وأن مخطط الانتقال للحركة الزاوية للتابع معلوم ، ويصلح أيضاً كمخطط انتقال خطي لحركة مركز الدخروج A ؛ لأن هذين الانتقالين متناسبان مع بعضهما $(S = \Phi \cdot l)$ ، وهذا الاعتبار يتخذ أساساً لطريقة الإنشاء .

وبفرض أن نصف قطر الدائرة الأساسية ، ونصف قطر الدخروج ، وطول التابع l ، وموضع المفصل B كلها معلومة ، تكون خطوات الإنشاء هي كالآتي:



(الشكل-6-15) كامرة قرصية ذات تابع دحروجي تأرجحي

- نرسم التركيبية في الموضع الذي يمس فيه الدحروج الدائرة الأساسية التي مركزها O مركز دوران الكامرة كما في (الشكل-6-15) .
- يرسم القوس AA' الذي مركزه B ، ونصف قطره طول التابع $(AB = l)$ ، بحيث يضم زاوية مقدارها ϕ عند B ، ويكون هذا القوس هو مسار حركة مركز الدحروج A .
- يؤخذ على القوس AA' مسافة x ممثلة للانتقال 30° درجة ، وتحدد بذلك النقطة 1 .
- يرسم قوس مركزه O ، ونصف قطره (O-1) ، ويؤخذ عليه القوس (1-1') ، بطول يساوي القوس LM ، بحيث $(1-L=1'-M)$ ، ثم توجد النقاط $2', 3', \dots$ الطريقة نفسها .
- يرسم دوائر مراكزها $1', 2', 3', \dots$ لتمثل مراكز الدحروج في أوضاعه المختلفة .
- يرسم شكل الكامرة الخارجي الذي يمس هذه الدوائر كلها .

إذا كان المطلوب إنشاء جانبية كاماة ذات تابع كروي ؛ أي تنتهي ساقه بسطح كروي ، كما سبق توضيحه في الرسم e في (الشكل-6-3) ، فإنه يمكن استعمال كل من طريقتي الإنشاء المذكورتين في حالة تابع دحروجي ؛ وفقاً لوضع التابع بالنسبة لمحور الدوران قطعياً أو مجنباً ، حيث يستعاض عندئذٍ عن نصف قطر الدحروج ، بنصف قطر الكرة المشكلة لسطح نهاية التابع ، بينما تبقى مراحل الإنشاء نفسها . تجدر الإشارة إلى أن الاختلاف بين النوعين هو في طبيعة الحركة عند نقطة التماس ؛ إذ تكون تدرجية في حالة التابع الدحروجي ، وانزلاقية في حالة التابع الكروي من دون أن يؤثر ذلك في شكل جانبية الكاماة ، وفي حركة التابع الموافقة لها .

5-7-6- كاماة قرصية ذات تابع ابتدائي وثانوي

Disk Cam with Primary and Secondary Follower

يبين (الشكل-6-16) حالة تابع ابتدائي (*Primary Follower*) دحروجي تأرجحي ، وعلى ظهره تابع ثانوي (*Secondary Follower*) ترددي ذو وجه محدب ، لكامة قرصية تدور باتجاه عكس دوران عقارب الساعة . من فوائد هذا الترتيب تلخص في الآتي:

- يخلص التابع الثانوي من معظم الضغط الجانبي .
- تكبير أو تصغير حركة التابع الابتدائي باستخدام كاماة واحدة .
- إمكانية انحراف محور التابع الثانوي لمسافة كبيرة عن مركز الكاماة حتى يمكن التركيب في آلة معينة في وضع معين .

يمكننا أن نفترض أن حركة التابع الثانوي محددة تماماً ، وأن مخطط الإزاحة معلوم ، كما هو مبين في b في (الشكل-6-16) ، ونفترض كذلك أن لدينا المعلومات الكافية التي تمكننا من رسم التركيبية في الوضع المبين بالخطوط الكاملة في a في (الشكل-6-16) ، حيث يمس الدحروج دائرة الأساس .

يتحرك مركز الدحروج E في قوس EF ، مركزه عند مركز المفصل D ، والخط المستقيم GY يمثل مسار نقطة الأثر G للتابع الثانوي ، والشكل يبين طريقة إيجاد مركز الدحروج بعد حركة 60° درجة من الوضع الابتدائي ، ومخطط الانتقال يبين أن التابع يتحرك المسافة x في هذه اللحظة ، وأن خطوات الإنشاء هي كالآتي:

- تنقل المسافة x على امتداد GY ، وتحدد بذلك النقطة G' ، والتابع في وضعه الجديد مبين بالخطوط المنقطة .

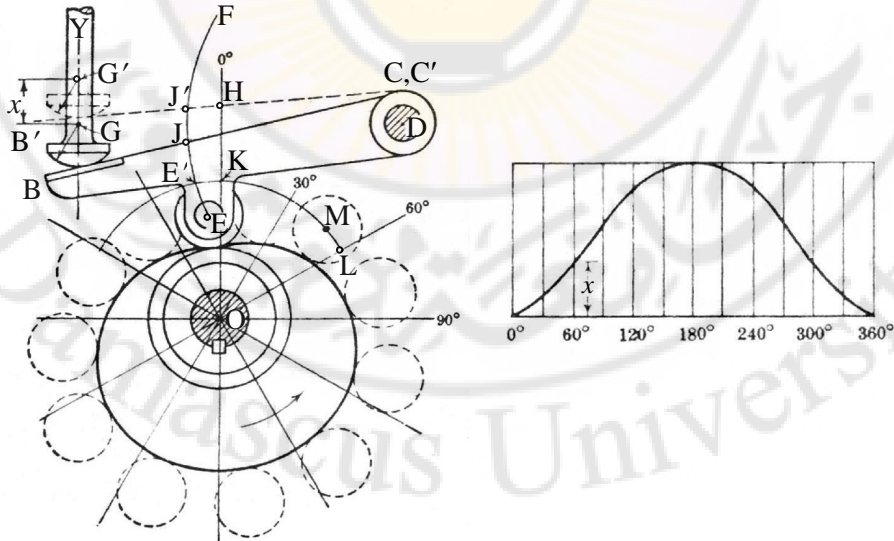
- تستخدم النقطة G' لرسم القوس الذي يحدد سطح التماس المحدب ، ثم يرسم المماس $B'C'$ الذي يمس هذا القوس الذي يمثل الوضع الجديد للوجه العلوي للتابع الابتدائي ، بحيث يقطع القوس EF عند J' .

- يحدد القوس $J'E'$ مساوياً لـ JE على القوس EF ، وتكون E' هي الموضع الجديد لمركز الدحرج .

- يدور التابع الأساسي حول D مقدار 60° باتجاه معاكس لاتجاه دوران الكامة ، عندئذ تتحرك النقطة E' بقوس مركزه مركز الدوران O إلى النقطة M ، بحيث إن القوس EM يضم زاوية قدرها 60° درجة عند O .

- يرسم خطاً قطرياً ؛ ليمثل الصفر من أي موضع مناسب ، وخطوط قطرية أخرى تصنع مع خط الصفر الزوايا 30° , 60° , 90° درجة .

إن إيجاد النقطة M يصبح سهلاً بجعل القوس LM مساوياً للقوس KE' ، وإن شكل الكامة يمس الدحرج الذي مركزه M .



b- مخطط الإزاحة للتابع الثانوي. a- كامة قرصية ذات تابع ابتدائي وثانوي.

(الشكل-6-16)

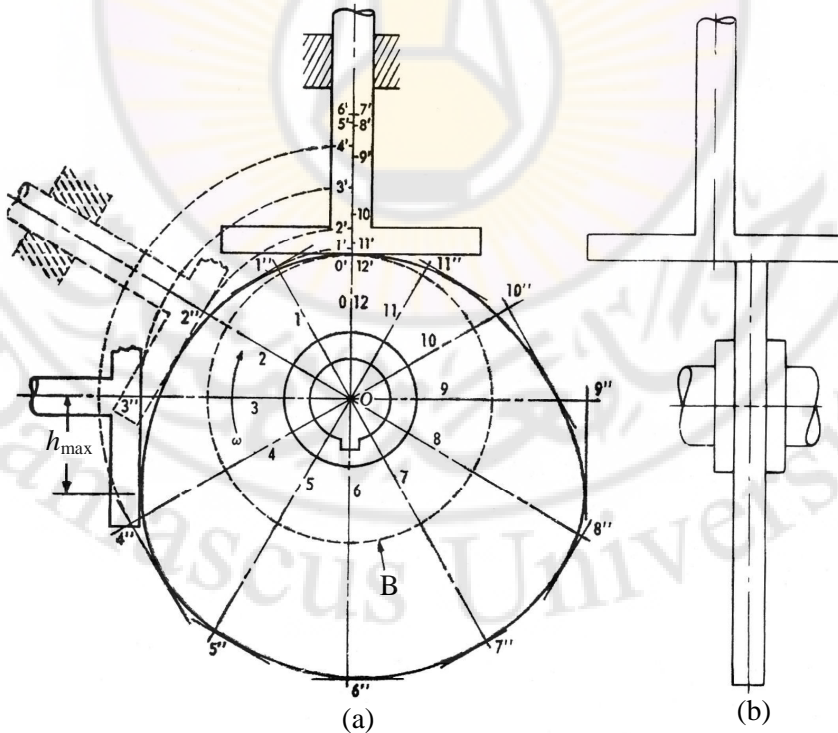
6-7-6- كامه قرصية ذات تابع مسطح ترددي قطري

Disk Cam with Flat-Faced Follower

من الواضح في هذه الحالة ، أن نقطة الأثر التي تحدد وضع محور التابع بالنسبة للكامه ، هي نقطة تقاطع هذا المحور مع السطح المستوي لنهاية التابع ، كما هو مبين (الشكل-6-17) .

يوضح المخطط a في (الشكل-6-17) خطوات إنشاء جانبية الكامه اللازمة لتحقيق الإزاحات المبينة على ساق التابع الذي يمر محوره من مركز الدوران O والتي توافق مخطط الإزاحة المبين سابقاً في (الشكل-6-12) .

ترسم الدائرة الأساسية B التي مركزها O ، ونصف قطرها معلوم ، بحيث تماس سطح التابع عند نقطة 0' عندما يكون التابع في أقرب وضع له من مركز الدوران O . إن نقطة الأثر هي مماسة للرأس الحاد في التابع المدبب ؛ لذا يمكن بسهولة تحديد النقاط 1'', 2'', 3'', 4''.... بالطريقة نفسها التي بينت في الفقرة (6-7-1) .



(الشكل-6-17) تحديد جانبية كامه قرصية ذات تابع مسطح ترددي .

تمثل كل من هذه النقاط نقطة تقاطع محور التابع مع السطح المستوي لنهايته عند زوايا دوران مختلفة للكامة ، وبما أن محور التابع عمودي دوماً على سطح نهايته ، فإنه يتم إنشاء خط عمودي على خط الوضع الزاوي للكامة عند كل من النقاط $1''$, $2''$, $3''$, $4''$ تمثل الخطوط العمودية الناتجة أوضاع سطح التابع عند دورانه حول الكامة ؛ وبالتالي فإن جانبية الكامة هي المنحني الأملس الذي يمس هذه الخطوط كافةً ، كما في المخطط a من (الشكل-6-17) .

يلاحظ من الشكل أن نقطة التماس تتغير خلال الحركة على طول سطح التابع ، بحيث يحصل الانحراف الأعظمي h_{max} لنقطة التماس عن محور التابع عند أحد الأوضاع الزاوية ، الوضع 3 مثلاً في حالة (الشكل-6-17) . يجب إذن اختيار سطح التابع المماس للكامة بحيث يكون طوله أو قطره أكبر من $2h_{max}$.

سبق أن نوهنا في الفقرة (3-6) عن إمكان تقليل الاحتكاك بين سطحي التماس ، بإزاحة محور التابع على طول محور الدوران ، كما في المسقط الجانبي b في (الشكل-6-17) . يؤدي ذلك إلى دوران التابع حول محوره ؛ إضافة إلى حركته الترددية على هذا المحور . تفيد هذه الحركة الدورانية في توزيع التماس على سطح كبير من التابع ؛ وبالتالي تقلل من الاحتكاك والتآكل .

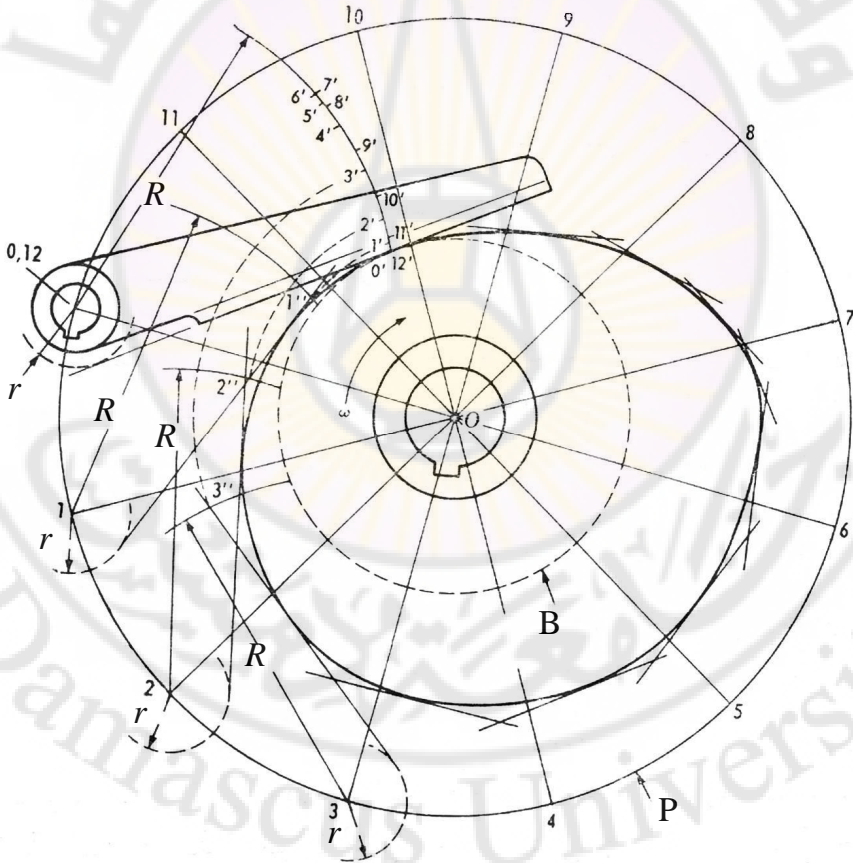
من الواضح ان حالة الإزاحة هذه لا تؤثر في شكل جانبية الكامة ؛ لأنها لا تغير الوضع النسبي بين محور التابع ، ومحور الدوران اللذين يبقيان متقاطعين ، لكن في مستوي يوازي مستوي سطح الكامة .

كما يجب الانتباه إلى أن هذه الحالة تختلف عن حالة التابع المجنب في (الشكل-6-14) ، حيث تم حيد محور التابع مع إبقائه في مستوي سطح الكامة ؛ وبالتالي عدم تقاطع محوري التابع والكامة ؛ مما أدى إلى تغيير شكل جانبية الكامة ، كما هو واضح من مقارنة الشكلين (الشكل-6-13) و (الشكل-6-14) ، رغم الحفاظ على ثبات قيم المتغيرات الحركية جميعها في الحالتين.

7-7-6- كامة قرصية ذات تابع مسطح متأرجح

Disk Cam with Pivoted Flat-Faced Follower

يبين (الشكل-6-18) حالة كامة تدور باتجاه دوران عقارب الساعة ، حيث يتحرك التابع المهتز حول محور ارتكازه وفق الإزاحات المعينة بالنقاط $0', 1', 2', 3', \dots$ على مسار الحركة . من الواضح أن مسار الحركة هو قوس مركزه محور ارتكاز التابع ، ونصف قطره R الذي يساوي البعد بين محور الارتكاز ، ونقطة تماس التابع مع الكامة في أخفض وضع له $0'$ ، أما نصف قطر الدائرة الأساسية B ، فهو OO' .



تحديد جانبية كامة قرصية ذات تابع مسطح متأرجح .

(الشكل-6-18)

إن خطوات الإنشاء ، هي:

- ترسم دائرة المرتكز P التي مركزها O ، ونصف قطرها البعد بين O ، ومحور ارتكاز التابع . تعين النقاط ... 4 , 3 , 2 , 1 على محيط هذه الدائرة ، بحيث تقسمه بعدد الفترات الزاوية المتساوية لمخطط الإزاحة نفسه . إن هذه النقاط هي أوضاع محور الارتكاز خلال دوران التابع حول الكامرة ، باتجاه عكس دوران عقارب الساعة من مبدأ انعكاس الحركة .
- ترسم باستخدام النقاط ... 4 , 3 , 2 , 1 كمراكز ، أقواس نصف قطرها R ، ومن ثم تحدد النقاط 4'' , 3'' , 2'' , 1'' من تقاطع كل من هذه الأقواس مع القوس المناسب الناتج من تدوير كل من النقاط ... 3' , 2' , 1' حول المركز O .
- تؤخذ النقاط ... 4 , 3 , 2 , 1 كمراكز لدوائر نصف قطر كل منها r ، يساوي البعد العمودي بين محور الارتكاز ، وامتداد سطح وجه التابع . تحدد الأوضاع النسبية للتابع خلال دورانه حول الكامرة ، بإنشاء مماسات مناسبة لكل من هذه الدوائر من النقاط 4'' , 3'' , 2'' , 1'' على التوالي .
- إن جانبية الكامرة هي المنحني الأملس الذي يمر كلاً من هذه الأوضاع النسبية لسطح التابع .

8-6- الحدود العملية لتصميم جانبية الكامرة

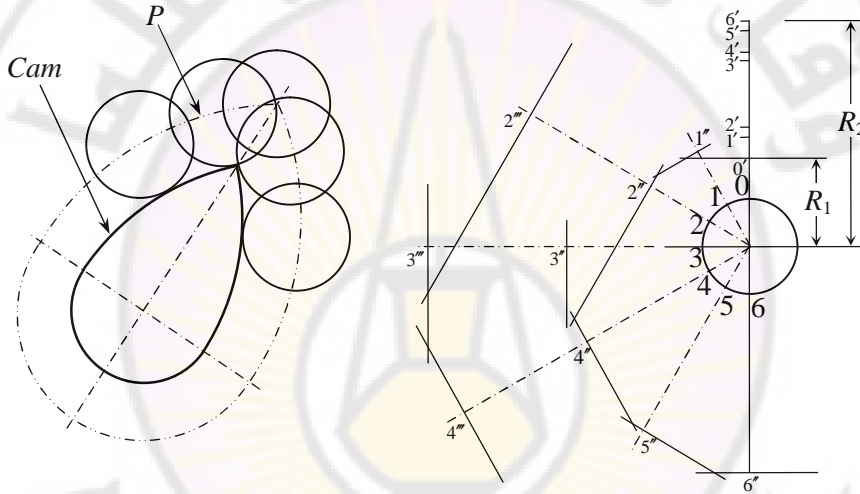
Practical Limits of Cam Profile Design

تبين في الفقرات السابقة أن تصميم جانبية الكامرة يتم استناداً إلى معطيات معينة لكل من مخطط الإزاحة ، ونوع التابع ونصف قطر الدائرة الأساسية . قد لا تؤدي القيم المحددة لهذه المعطيات إلى شكل عملي للكامرة ، حيث لا يمكن للشكل الناتج أن يحقق الحركة المطلوبة خلال فترة ما ، أو قد لا يمكن تنفيذ الشكل عملياً .

يبين الرسم a في (الشكل-6-19) أن القيم المفروضة قد أدت إلى جانبية كامرة لا تمس الدحروج عند أوضاع التابع كافة ؛ وبالتالي فإن الكامرة بالقرب من نهاية الشوط ، لن تدفع التابع بالحركة المطلوبة .

يمكن تصحيح ذلك إما بزيادة قطر الدائرة الأساسية أو بتصغير الدحروج . يجب الانتباه إلى أن تقليل نصف قطر الدحروج يعمل على زيادة إجهادات التماس في الكامرة والتابع ؛ لذا يفضل تقادي استخدام دحروج صغير جداً إلا في حالة سرعات دوران منخفضة .

يبين الرسم b في (الشكل-6-19) كامة ذات تابع مسطح ترددي ، حيث $1''$, $2''$, $3''$, ... هي أوضاع التابع عندما يكون نصف قطر الدائرة الأساسية مساوياً R_1 . من الواضح أنه لا يمكن رسم منحني أملس يمر هذه الأوضاع ، باعتبار أن الوضع $3''$ يقع خارج تقاطع $2'' - 4''$ ، وبالتالي لا يمكن تنفيذ شكل الكامنة في هذه الحالة . إذا كبر نصف القطر بحيث يصبح R_2 ، فإن الأوضاع الجديدة الناتجة للتابع $2'''$, $3'''$, $4'''$, ... تسمح بإنشاء شكل مقبول لجانبية الكامنة .



b- نصف قطر الدائرة الأساسية مساوياً R_1 . a- جانبية كامنة لا تمس الدخروج عند أوضاع التابع كافة.
(الشكل-6-19)

إضافة إلى ذلك ، يحدث أحياناً أن يكون شكل جانبية الكامنة الناتج من حالة معينة محققاً للتماس عند الأوضاع كلها ، لكنه يحتوي على جزء ذي نصف قطر انحناء صغير جداً يقترب من شكل رأس مدبب ، مما يؤدي إلى حدوث إجهادات عالية عند سطح التماس ، كما هو مبين في الرسم a في (الشكل-6-19) . يجب عندئذ إزالة هذا الرأس المدبب ، إما بتعديل مقياس الإزاحة ، أو بزيادة نصف قطر الدائرة الأساسية للكامنة .

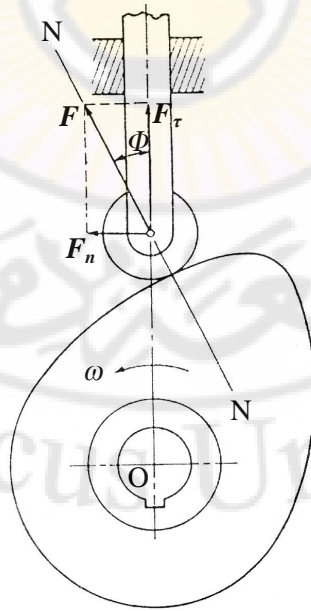
يتضح مما تقدم أن تصميم الكامنة يعتمد أساساً على أسلوب التجريب والخطأ في الوصول إلى أفضل النتائج العملية ، مع ضرورة عدم المساس بمتطلبات الأداء الرئيسة .

9-6- زاوية الضغط

Pressure Angle

وهي الزاوية بين اتجاه حركة التابع ، والناظم المشترك للكامة ، والتابع عند نقطة التماس . يبين (الشكل-6-20) تركيبية كامة ذات تابع دحرجي ترددي قطري يمر محوره من محور الدوران ، حيث الناظم المشترك عند نقطة التماس NN يصنع مع مسار حركة التابع زاوية Φ هي زاوية الضغط في هذا الوضع . أما في حالة تابع متأرجح ، فإن اتجاه حركة التابع يعين بالمماس لمسار الحركة عند نقطة الأثر المعتمدة في إنشاء جانبية الكامنة ؛ وبالتالي فإن زاوية الضغط هي الزاوية بين هذا المماس ، والناظم المشترك عند نقطة التماس .

تتأثر قيمة زاوية الضغط بنوع التابع ، وشكل جانبية الكامنة ؛ وبالتالي بالأبعاد الأساسية للكامنة ، وطبيعة حركة التابع ، ونوعها ؛ أي مخطط الازاحة . يلاحظ من أمثلة الإنشاء السابقة أن زاوية الضغط ثابتة في حالة تابع مسطح بشكل عام كالتابع المتأرجح في (الشكل-6-18) ، وهي تساوي الصفر عندما يكون وجه التابع المسطح متعامداً مع مسار الحركة وذلك لأوضاع الكامنة ، كما في (الشكل-6-17) . أما في حالة تابع دحرجي ، فإن زاوية الضغط تتغير خلال دوران الكامنة ، حيث تمر بقيمة عظمى عند نقطة أو أكثر ، ولا تتعدى إلا في أثناء فترات السكون ، يلاحظ ذلك في (الشكل-6-13) ، وكذلك الحال بالنسبة لتابع مدبب .



(الشكل-6-20) زاوية الضغط في تركيبية كامة ذات تابع دحرجي ترددي قطري .

تعد زاوية الضغط من أهم العوامل التي تؤثر في تصميم الكامة ؛ بخاصة في تحليل القوى المؤثرة في أجزائها المختلفة ، وفي تحديد حجم الكامة . من المعلوم أن اتجاه القوة المنقولة من وصلة إلى وصلة أخرى تمسها مباشرة ، هو باتجاه الناظم المشترك عند نقطة التماس ؛ وبالتالي فإن القوة F المنقولة من الكامة إلى التابع في (الشكل-6-20) ، هي باتجاه NN . تنتج من تحليل هذه القوة مركبتان:

- مركبة مماسية F_t

هي باتجاه مسار الحركة تعمل على تحريك التابع بالحركة المطلوبة ، والتغلب على المقاومات المطبقة عليه ، وقيمتها:

$$F_t = F \cdot \cos f$$

- مركبة ناظمية F_n

هي عمودية على هذا المسار تؤثر في التابع بدفع جانبي يحاول زلقه ضمن مجرى دليله ، وقيمتها:

$$F_n = F \cdot \sin f$$

إن قيمة الدفع الجانبي F_n تتناسب طردياً مع قيمة زاوية الضغط ؛ لذا يفضل دوماً اختيار التصميم الذي يعطي زوايا ضغط منخفضة ، بحيث لا تزيد القيمة العظمى لهذه الزاوية على 30° خلال دوران الكامة ، ولقد تم تحديد هذه القيمة من الخبرة العملية ، وهي السائدة حالياً في التصميم . يمكن السماح بقيم أعلى من ذلك في بعض الحالات الخاصة ، عندما تكون القوى المؤثرة صغيرة ، ومحامل مجرى التابع دقيقة التصنيع . يفضل قياس القيمة العظمى لزاوية الضغط من الإنشاء التخطيطي لجانبية الكامة ؛ لأنه من الصعب تحديدها تحليلياً ، كما سنبين لاحقاً .

كما أن تقليل زاوية الضغط يفيد في تخفيض القدرة اللازمة لتدوير الكامة ؛ بغية تحقيق أداء معين للتابع يتطلب قيمة محددة للمركبة المماسية F_t . ينتج ذلك من الرجوع إلى علاقة هذه المركبة ؛ إذ يتبين أن قيمة القوة F المنقولة من الكامة إلى التابع ، هي:

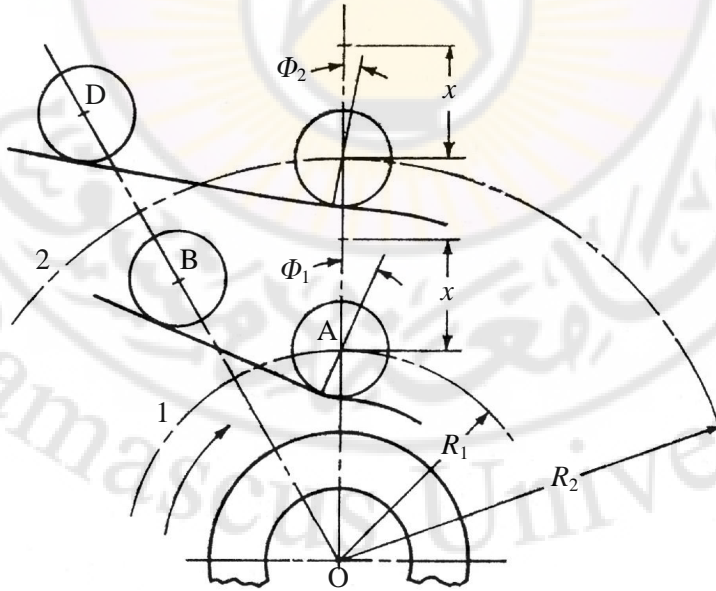
$$F = F_t / \cos f$$

أي: إن القوة F الناتجة من تطبيق عزم معين على عمود دوران الكامة ، هي أقل كلما كانت قيمة الزاوية Φ أصغر في حالة قيمة معينة للقوة F_t .

يحدد الحجم الأعظمي للكامة في حالة حركة معينة للتابع ، بالحيز المتاح لها في الآلة . أما الحجم الأصغري ، فإنه يتعلق بعدة اعتبارات تصميمية ، منها قطر عمود الدوران ، وطريقة تركيب الكامة ، إلا أن قيمة زاوية الضغط العظمى تبقى أهم العوامل المعتمدة في اختيار حجم الكامة ؛ لأنه يتضح من التحليل السابق أن قيماً منخفضة لزاوية الضغط تؤمن حركة سهلة ، وسلسلة للتابع خلال دوران الكامة . يلاحظ من أمثلة الإنشاء السابقة أن نصف قطر الدائرة الأساسية يحدد حجم الكامة التي تحقق جانبيتها حركة معينة لتابع ما .

يوضح (الشكل-6-21) تأثير نصف قطر الدائرة الأساسية في قيمة زاوية الضغط عند بقاء المتغيرات الأخرى نفسها .

إذا تحرك الدحروج نفسه بالإزاحة نفسها خلال دوران زاوية ، كل من الكامتين 1 و 2 الزاوية نفسها ، فإنه من الواضح أن زيادة نصف قطر الدائرة الأساسية قد أدت إلى تصغير زاوية الضغط ، حيث $(f_2 < f_1)$ عند كون $(R_2 > R_1)$ ؛ لذا يفضل أن يكون حجم الكامة أكبر مما تسمح به الحدود العملية لاستثمارها .



تأثير نصف قطر الدائرة الأساسية في قيمة زاوية الضغط .

(الشكل-6-21)

يمكن أيضاً تقليل زاوية الضغط خلال شوط الرفع ، باستعمال تابع مجنب ذي حيد مناسب ، كما أوضحنا سابقاً في الفقرة (6-7-3) . أما زاوية الضغط خلال شوط الخفض ، فإنها تزداد في هذه الحالة ، لكن ذلك لا يؤثر في أداء التابع ؛ إذ لا يكون للقوة المنقلة من الكامنة إلى التابع تأثير فعال في حركته خلال شوط الخفض ؛ بسبب وجود قوة خارجية ، كقوة مرونة النابض مثلاً التي تدفع التابع باتجاه محور الكامنة ، تلاحظ فائدة حيد التابع في تقليل زاوية الضغط من مقارنة قيم هذه الزاوية في كل من (الشكل-6-13) و (الشكل-6-14) .

كما تتأثر زاوية الضغط في تركيبية كامنة معينة بطبيعة الحركة المختارة للتابع ؛ إذ تبين أن الحركة التوافقية البسيطة تعطي أقل زاوية ضغط ؛ بالمقارنة مع كل من الحركة ذات التسارع المنتظم ، والحركة الدويرية .

إضافة إلى ما تقدم من طرائق لتقليل زاوية الضغط ، مثل: زيادة قطر الدائرة الأساسية ، وحيد التابع ، وتغيير نوع حركة التابع ، كما يمكن استعمال واحدة أو أكثر من الوسائل الآتية:

- إنقاص الرفع الكلي للتابع إذا سمح التطبيق العملي بذلك .
- زيادة زاوية رفع الكامنة الموافقة لإعطاء شوط رفع معين للتابع ؛ أي زيادة زمن الرفع . لكن إذا كان المطلوب الحفاظ على قيمة ثابتة لزمن الرفع ، فإنه يجب عندئذٍ زيادة سرعة دوران الكامنة بما يلائم الزيادة في زاوية الرفع .
- استعمال تابع ثانوي لتحقيق الحركة المطلوبة عن طريق تابع ابتدائي متأرجح ، يمس سطح الكامنة من جهة ، بينما يمس التابع الثانوي من جهة أخرى ، كما في (الشكل-6-16) .
- زيادة نصف قطر الدحرج .

تجدر الإشارة إلى أن زاوية الضغط هي ذات أهمية خاصة في تصميم الكامات ذات التوابع الدحرجية القطرية ، بينما ليس من الضروري عموماً أن تكون عاملاً مؤثراً في تصميم الكامات ذات التوابع المجنبة والتأرجحية ؛ لأن زوايا الضغط في هذه الحالات صغيرة نسبياً ، أما في التوابع المسطحة القطرية ، فهي معدومة .

10-6- التصميم التحليلي لجانبية الكامرة Analytic Design of Cam Profile

يلاحظ من طرائق الإنشاء التخطيطي التي بينت في الفقرة (6-7) ، وما تبعها من أمثلة نموذجية ، أنها لا تحقق درجة كافية من الدقة في تحديد جانبية الكامرة ؛ وبخاصة في حالة سرعات دوران عالية . يعود ذلك إلى اعتماد هذا الإنشاء على تعيين إزاحة التابع عند نقاط محدودة العدد ؛ إضافة إلى صعوبة تحديد المواقع الصحيحة لنقاط تماس الكامرة مع التابع . كما أن التصميم التخطيطي يحد من أساليب الإنتاج الممكن استخدامها في تشكيل الكامرات ، ويحصرها في آلات القطع الناسخة التي لا يمكن التحكم في دقة أدائها ، إلا ضمن مجالات ضيقة .

لذا فقد تركزت الأبحاث على تطوير نظريات التصميم التحليلي ، حيث يمكن حساب قيم إزاحة التابع الموافقة لتغيرات صغيرة جداً في دوران الكامرة ، لا تتجاوز نصف درجة زاوية . يؤدي ذلك إلى إمكان التشكيل المباشر للكامرة على آلة تقريز أو مثقب حفر دقيق ، حيث تقوم أداة القطع مقام التابع ، ويكون محورها عندئذ موازياً لمستوى الكامرة أو عمودياً عليه بحسب نوع التابع . لقد أمكن في بعض الآلات المبرمجة الحديثة ، تحقيق حركة لأداة القطع تكافئ إزاحة دقيقة جداً للتابع لا تزيد على 100 ميكرون ، ينتج من ذلك تشكيل شبه مستمر لجانبية الكامرة تزول معه أحياناً ضرورة إجراء عملية إنهاء يدوي للكامرة .

لقد تبين عملياً أن الإنشاء التخطيطي كافٍ لتصميم كامرات ذات سرعات دورانية منخفضة نسبياً ، بينما يفضل اللجوء إلى التصميم التحليلي في حالة سرعات عالية . لقد تم تطوير طرائق تصميم تحليلية عملية لأنواع الكامرات القرصية المختلفة التي سبق ذكرها ؛ إضافة إلى كامرة قرصية ذات تابع دحرجي متأرجح . يمكن توضيح المفاهيم الأساسية لهذه الطرائق من خلال دراسة تحليلية لنوعين من هذه الكامرات .

1-10-6- كامرة قرصية ذات تابع مسطح ترددي

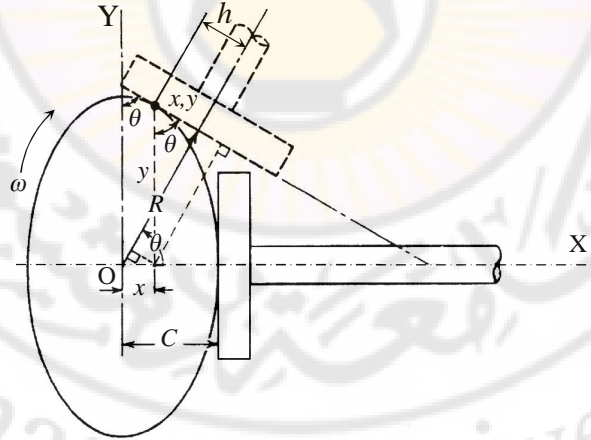
Disk Cam with Flat-Faced Follower

تبين لنا في الإنشاء التخطيطي لهذه الكامرة في الفقرة (6-7-6) أن جانبية الكامرة تنتج من رسم منحني أملس يمس سطح التابع في أوضاعه المختلفة ؛ وبالتالي فإنه من الصعب تحديد هذه الجانبية بدقة ؛ بخاصة الموقع الصحيح لكل من نقاط تماس الكامرة ، والتابع ، كما أنه يجب اللجوء إلى أسلوب التجريب والخطأ ؛ لتعيين نصف قطر الدائرة الأساسية اللازم ، ليكون سطح الكامرة الناتج محدباً كلياً من دون وجود رأس حاد أو نتوء عليه .

إن الطريقة التحليلية التي أوجدها الباحثان كارفر وكوين (Carver & Quinn) لتصميم هذا النوع من الكامات تتغلب على مجمل هذه الصعوبات ، وتسمح بتحديد الخصائص المميزة لجانبية الكاماة بدقة تامة . من أهم هذه الخصائص:

1. استنتاج المعادلات الرياضية التي تعين إحداثيات نقاط التماس بين الكاماة والتابع .
 2. تحديد أصغر نصف قطر للدائرة الأساسية الذي يؤدي إلى عدم نشوء رأس حاد على جانبية الكاماة .
 3. تعيين الموقع الصحيح لنقطة التماس التي تحدد طول الوجه المسطح للتابع ؛ أي تلك التي يحدث عندها أعظم انحراف h_{max} لنقطة التماس عن محور التابع ، كما بينا سابقاً في (الشكل-6-17) .
- أما زاوية الضغط فمن الواضح أنها تساوي الصفر في هذه الحالة .

يبين (الشكل-6-22) كاماة قرصية تدور باتجاه دوران عقارب الساعة بسرعة زاوية ثابتة ω ، وتابع مسطح ترددي قطري يمر محوره من مركز عمود الدوران O . استناداً إلى مبدأ انعكاس الحركة ، يمكن تدوير التابع حول الكاماة باتجاه عكس دوران عقارب الساعة ، وتحليل الحركة بدلالة زاوية الدوران θ في مستوي الإحداثيات XOY .



(الشكل-6-22) كاماة قرصية مع تابع مسطح ترددي قطري .

يحدد وضع نقطة تقاطع محور التابع مع سطحه المستوي ، عند أية لحظة بالبعد R عن المركز O ، يعطي هذا البعد بالمعادلة:

$$R = C + f(q) \quad (22-6)$$

حيث:

C تمثل بعد نقطة التماس عن O في أقرب وضع للتابع من مركز الكامة ؛ أي نصف قطر الدائرة الأساسية .

$f(\theta)$ تمثل معادلة إزاحة التابع المطلوبة بدلالة زاوية دوران الكامة .

إذا كان إحداثيا نقطة التماس عند أي وضع θ هما x, y ، وبعد هذه النقطة عن

محور التابع هو h ، فإنه يمكن من الشكل كتابة المعادلتين الآتيتين:

$$R = y \cdot \sin q + x \cdot \cos q \quad (23-6)$$

$$h = y \cdot \cos q - x \cdot \sin q \quad (24-6)$$

ينتج من اشتقاق المعادلة (23-6) بالنسبة لـ θ أن:

$$\frac{dR}{dq} = y \cdot \cos q - x \cdot \sin q \quad (25-6)$$

إذ إن:

$$\frac{dy}{dq} \sin q = -\frac{dx}{dq} \cos q$$

باعتبار أن سطح الكامة يجب أن يكون محدباً دوماً لحفظ التماس مع الوجه المسطح للتابع عند الأوضاع كافة .

يلاحظ من مقارنة (24-6) و (25-6) أن:

$$h = \frac{dR}{dq} = \frac{d}{dq} [C + f(q)]$$

أي: إن:

$$h = f'(q) \quad (26-6)$$

لأن C قيمة ثابتة معلومة من معطيات التصميم .

بما أن الكامة تدور بسرعة زاوية ثابتة ω ، فإن قيمة سرعة التابع عند أية لحظة تتناسب طردياً مع $f'(q)$ ، حيث ثابت التناسب هو ω . ينتج من ذلك أن الانحراف الأعظمي h_{\max} لنقطة التماس عن محور التابع يحدث عندما تكون سرعة التابع عظمى ؛ أي: إن الحد الأدنى لطول الوجه المسطح للتابع لا يتأثر بنصف قطر الدائرة الأساسية ؛ وإنما فقط بمعادلة الحركة المطلوبة للتابع . كما أن نقطة التماس تتحرك على كلا جانبي محور التابع ، بحيث يكون بعدها عنه موجباً ؛ أي فوق محور التابع ، كما في (الشكل-6-22) ، عندما تكون سرعة التابع موجبة ، والعكس بالعكس .

عندما تكون حركة التابع متغيرة الطبيعية ؛ أي ذات معادلات $f(\theta)$ مختلفة خلال المجالات المختلفة للحركة ، فإنه يتم عندئذ تعيين قيم R, h عند الأوضاع الزاوية المختلفة استناداً إلى معادلة الحركة الموافقة لكل مجال . أما قيمة الانحراف الأعظمي h_{\max} ، فإنها تحدد من الحركة التي تعطي أكبر قيمة $f'(q)$ خلال دورة كاملة للكامة .

يتضح من ذلك أنه يمكن بسهولة ، وبدقة تعيين مواقع نقاط التماس المكونة لجانبية الكامة ، والموافقة لقيم زاوية دوران الكامة θ جميعها . يتم ذلك بحساب قيمة كل من R, h عند كل وضع استناداً إلى المعادلتين (22-6) و (26-6) ، كما يمكن تعيين هذه المواقع بدلالة إحداثيات نقاط التماس x, y ، حيث ينتج من حل المعادلتين (23-6) و (24-6) أنياً أن:

$$x = R \cos q - h \sin q$$

$$y = R \sin q + h \cos q$$

وبالتعويض من قيم R, h المعطاة في المعادلتين (22-6) و (26-6) على التوالي ، ينتج:

$$x = [C + f(q)] \cos q - f'(q) \sin q \quad (27-6)$$

$$y = [C + f(q)] \sin q - f'(q) \cos q \quad (28-6)$$

تحدد هاتان المعادلتان إحداثيات نقاط جانبية الكامة بمعلومية معطيات التصميم ، عند قيم مختلفة للزاوية θ خلال دورة كاملة للكامة.

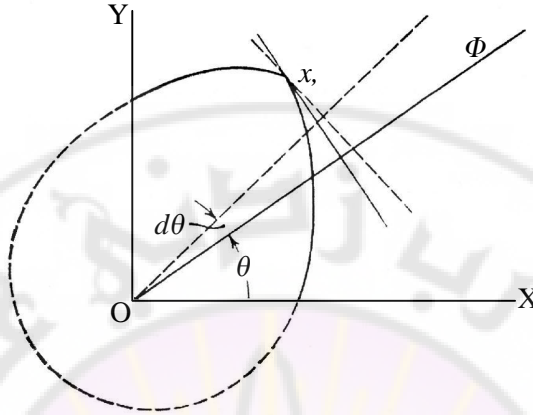
يستكمل التحليل بتعيين أصغر قيمة لنصف قطر الدائرة الأساسية C التي تحقق شرط عدم ظهور رأس حاد على جانبية الكامة ، كما في (الشكل-6-23) . لنفرض أن إحداثيتي نقطة التماس عند هذا الرأس المستدق هما x, y ، عندما يكون محور التابع قد دار بزاوية θ . إذا تم تدوير محور التابع عندئذ بزاوية صغيرة جداً $d\theta$ ، فإن نقطة التماس لن يتغير وضعها ؛ بسبب وجود الرأس المستدق ؛ أي: إن:

$$\frac{dx}{dq} = \frac{dy}{dq} = 0$$

ينتج من اشتقاق كل من المعادلتين (23-6) و (24-6) على التوالي بالنسبة إلى θ :

$$\frac{dx}{dq} = -[C + f(q) + f''(q)] \sin q$$

$$\frac{dy}{dq} = [C + f(q) + f''(q)] \cos q$$



(الشكل-6-23) تعيين أصغر قيمة لنصف قطر الدائرة الأساسية .

تتعدم هاتان المعادلتان بأن واحد فقط عندما:

$$C + f(q) + f''(q) = 0$$

بما أن سطح الكامنة يجب أن يكون محدباً في أي وضع من أوضاعها عند استعمال تابع مسطح ، فإن شرط عدم حدوث نتوء حاد لجانبية الكامنة ، هو:

$$C + f(q) + f''(q) > 0 \quad (29-6)$$

يتم عندئذ حساب قيم الحد $[f(q) + f''(q)]$ لقيم الزاوية θ جميعها ، وتعيين أصغر قيمة جبرية له . من الضروري استعمال هذه القيمة لتحديد القيمة الدنيا لنصف القطر C الذي يحقق عدم حدوث نتوء حاد ؛ إذ إن ذلك يضمن بقاء المتراجحة (29-6) محققة لقيم θ جميعها ؛ أي ألا يساوي الطرف الأيسر لها الصفر عند أية قيمة لـ θ . يجب الانتباه إلى ضرورة تغيير معادلة الحركة $f(\theta)$ المستعملة في الحساب ، عند تعدد أنواع حركة التابع خلال دورة كاملة للكامنة .

أما في حال كون قيمة الحد $[f(q) + f''(q)]$ موجبة دوماً ، فإن قيمة θ التي تحقق المتراجحة (29-6) تكون سالبة ، وغير ذات معنى عملياً ؛ أي إن شرط عدم حدوث نتوء حاد على سطح الكامنة محقق دوماً مهما كانت قيمة C . تحدد هذه القيمة عندئذ بشكل يلائم نصف قطر عمود الدوران ، والحيز المتاح للتركيب في الآلة من دون الرجوع إلى معادلة الحركة . يفضل دوماً اختيار قيمة لنصف القطر C أكبر من القيمة المحسوبة لتقادي ؛ حدوث إجهادات تماس عالية ، تحدد نسبة الزيادة من طبيعة أداء الكامنة ، والقوى المؤثرة فيها .

إذا كان تشكيل الكامة عملياً سيتم بالطريقة المباشرة باستخدام آلة مبرمجة ، كما سبق أن نوهنا ، فإنه ليس من الضروري رسم جانبية الكامة ؛ إذ يكفي عندئذٍ تعيين نصف القطر C ، وحساب قيم إزاحة التابع R الموافقة لقيم الزاوية θ كافةً ، وبالتالي إدخال هذه المعلومات إلى الآلة المبرمجة . تستعمل لتوليد جانبية الكامة ، وتشكيلها في هذه الحالة أداة قطع يزيد طول وجه القطع فيها على ضعفي القيمة العظمى h_{\max} ، وبحيث يكون محور أداة القطع موازياً لمستوي الكامة خلال عملية التشكيل .

مسألة-6-1

إذا كان معادلة حركة تابع مسطح ترددي قطري بالنسبة لزاوية دوران الكامة θ هي من الشكل:

$$f(q) = 1 - \cos 2q$$

المطلوب تعيين القيمة الدنيا لنصف قطر الدائرة الأساسية للكامة ، وطول الوجه المسطح للتابع ، علماً أن الأبعاد بالسنتيمتر .

الحل:

ينتج من اشتقاق معادلة الحركة بالنسبة إلى θ مرتين على التوالي:

$$f'(q) = 2 \sin 2q$$

$$f''(q) = 4 \cos 2q$$

ومنه فإن:

$$[f(q) + f''(q)] = 1 + 3 \cos 2q$$

تحدث أصغر قيمة جبرية لهذا الحد عندما $(\theta = \pi/2)$ بحيث تصبح المتراحة (6-29):

$$C + 1 - 3 > 0$$

$$C > 2 \text{ cm}$$

ومنه:

أما بعد نقطة التماس عن محور التابع ، فإنه ينتج من المعادلة (26-6):

$$h = 2 \sin 2q$$

وبالتالي يحدث الانحراف الأعظمي لنقطة التماس عندما:

$$\sin 2q = 1 \Rightarrow h_{\max} = 2 \text{ cm}$$

منه:

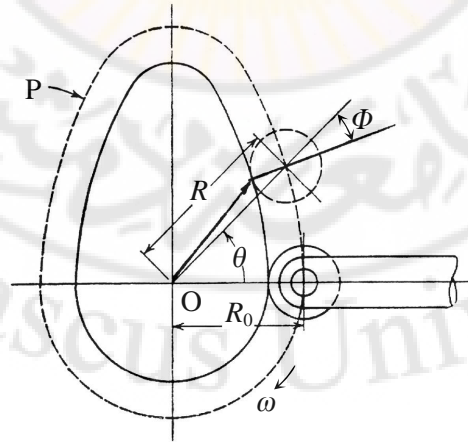
$$2h_{\max} = 4 \text{ cm}$$

إذن يجب أن يكون طول وجه التابع أكبر من 4 cm ؛ لتفادي حدوث التماس عند طرف التابع.

2-10-6- كامة قرصية ذات تابع دحرجي ترددي

Disk Cam with Roller Follower

يعد تعيين منحنى الخطوة منطلقاً أساسياً لتحديد جانبية الكامات التي تحرك توابع دحرجية . بينا سابقاً في الفقرة (2-7-6) أن هذا المنحنى هو المحل الهندسي لمواقع مركز الدحرج خلال دورة كاملة للكامة . إن تعيين هذا المنحنى تحليلياً لا يشكل أية صعوبة في حالة كامة قرصية ذات تابع دحرجي ترددي قطري يمر محوره من مركز الدوران O ، كما في (الشكل-24-6) .



(الشكل-24-6) كامة قرصية ذات تابع دحرجي ترددي قطري .

إذا دارت الكامة بسرعة زاوية ثابتة ω باتجاه دوران عقارب الساعة ، فإنه يمكن تعيين إزاحة التابع عند أي وضع بتدوير محور التابع حول الكامة زاوية θ باتجاه عكس دوران عقارب الساعة . يحدد وضع مركز الدحروج الذي يتحرك على منحنى الخطوة P ، بالمعادلة الآتية التي تعطي بعده عن مركز الدوران:

$$R = R_0 + f(q) \quad (30-6)$$

حيث:

R_0 تمثل أصغر نصف قطر لمنحنى الخطوة ؛ أي البعد بين المركز O ، ومركز الدحروج عندما يكون التابع في أقرب وضع له من مركز الكامة . وهو يساوي مجموع نصفي قطري الدائرة الأساسية ، والدحروج .
 $f(\theta)$ تمثل معادلة إزاحة التابع المطلوبة بدلالة زاوية دوران الكامة .

يفضل في هذه الحالة إجراء التحليل بوساطة الإحداثيات القطبية ، حيث يمكن بسهولة تعيين نقاط منحنى الخطوة بعد اختيار قيمة R_0 ، ومعادلة حركة التابع ، وذلك استناداً إلى المعادلة (30-6) التي تعطي قيم R عند قيم زاوية الدوران θ جميعها . تساعد هذه النقاط في تشكيل جانبية الكامة مباشرة باستخدام آلة تشغيل مناسبة ؛ إذ يكفي عندئذ استعمال أداة قطع ذات أبعاد مماثلة لأبعاد الدحروج . يتم تشكيل جانبية الكامة بإدخال المعلومات المعينة سابقاً إلى الآلة ، وبحيث تمثل أداة القطع وضع الدحروج بالنسبة للكامة ، ويكون محور هذه الأداة عمودياً على مستوي الكامة خلال عملية التشكيل .

إذا كان المطلوب تعيين مواقع نقاط التماس تحليلياً ، فمن الواضح - حسب (الشكل-6-24) - ضرورة تحديد قيم زاوية الضغط Φ عند الأوضاع المختلفة ، ليتم على أساسها تعيين المعادلة القطبية لإحداثيات نقاط التماس بدلالة معطيات التصميم ، إلا أنه من النادر أن يكون ذلك ضرورياً ؛ إذ إن تصنيع الكامات يتم بوجه عام استناداً إلى منحنى الخطوة بالطريقة المبينة سابقاً .

بينما في الفقرة (9-6) أهمية زاوية الضغط في تصميم الكامات ذات التتابع الدحروجية القطرية ، حيث يجب أن تكون القيمة العظمى أقل ما يمكن وألا تزيد على 30° . رغم أنه يمكن قياس هذه الزاوية بسهولة من الرسم التخطيطي لجانبية الكامة ، إلا أنه يفضل تعيينها تحليلياً ؛ خاصة عندما يتم التصميم بالطرائق التحليلية . تعد الطريقة التي وضعها الباحثان كلوموك وموفلي (*Kloomok & Muffley*) من أبسط الوسائل التحليلية لتعيين قيمة زاوية الضغط في حالة تابع دحروجي قطري .

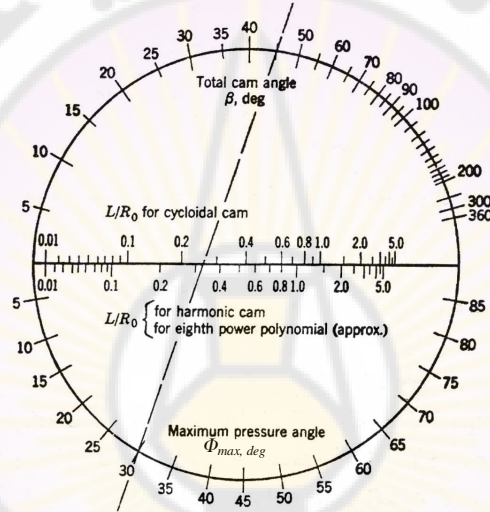
ينتج من (الشكل-6-25) أن:

$$\tan a = \frac{C'E}{CE}$$

إذا اقتربت الزاوية $\Delta\theta$ من الصفر ، فإن المماس CD يقترب من القوس CF الذي يساوي $\Delta\theta \cdot R$ ، وكلاهما يقترب من CD ؛ مما يعني أن:

$$\lim_{\Delta\theta \rightarrow 0} \tan a = \frac{1}{R} \cdot \frac{dR}{dq}$$
$$\tan f = \frac{1}{R} \cdot \frac{dR}{dq} \quad (31-6)$$

يمكن من المعادلة (31-6) تحديد قيم زاوية الضغط لأي نوع من الحركة عند أي وضع لزاوية دوران الكام θ ، وذلك بعد تعيين R من المعادلة (30-6) . كما يلاحظ أن زيادة نصف قطر الدائرة الأساسية في حالة حركة ، ومعطيات تصميم معينة ؛ تؤدي إلى تخفيض قيمة زاوية الضغط ، وهذا ما أوضحناه سابقاً في الفقرة (9-6) ؛ إلا أنه من الصعب غالباً تعيين القيمة العظمى لهذه الزاوية ؛ بسبب التعقيد الناتج من اشتقاق المعادلة (31-6) ؛ بغية تحديد نهايتها العظمى ؛ لذا فإنه يتم استعمال المخطط البياني ثلاثي الأبعاد نوموگرام الذي وضعه الباحث فارنوم (Varnum) المبين في (الشكل-6-26) .



(الشكل-6-26) المخطط البياني ثلاثي الأبعاد نوموگرام .

يسمح هذا المخطط بتعيين القيمة العظمى لزاوية الضغط Φ_{max} لثلاثة أنواع من الحركة ، وذلك بدلالة المعطيات التصميمية الآتية:
 β تمثل الزاوية الكلية التي تتم خلالها حركة معينة .
 L تمثل شوط التابع خلال هذه الحركة .
 R_0 تمثل أصغر نصف قطر لمنحني الخطوة في أقرب وضع للتابع ، ويساوي مجموع نصفي قطري الدائرة الأساسية ، والدحرج .

تؤخذ قراءة L/R_0 على التدرج الأفقي العلوي لحركة دويرية ، بينما تكون هذه القراءة على التدرج السفلي في حالة حركة توافقية بسيطة ، أو تقريبية لمتعدد حدود الدرجة الثامنة التي سبق توضيحها في (الشكل-6-10) .

مثال ذلك الحالة المبينة على (الشكل-6-26) حيث الحركة دويرية ذات المعطيات الآتية:

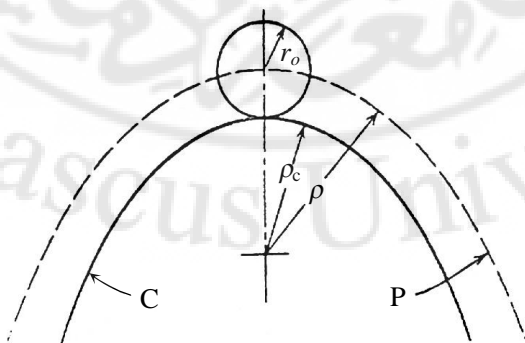
$$b = 45^\circ , \quad L/R_0 = 0.26 , \quad f_{\max} = 30^\circ$$

أما إذا كانت الحركة هي أحد النوعين الآخرين ، فإن $(L/R_0 = 0.33)$ تعطي النتيجة نفسها ، حيث نقرأ هذه النسبة عندئذ على التدرج السفلي .

يوضح المخطط في (الشكل-6-26) صحة أغلب الوسائل التي ذكرناها في الفقرة (9-6) ؛ لتخفيض القيم العظمى لزاوية الضغط . يمكن التحقق من ذلك بسهولة ، حيث يتم تغيير أحد المعطيات التصميمية مع الحفاظ على بقية المعطيات ثابتة ، ودراسة تأثير هذا التغير في قيمة Φ_{\max} . مثال ذلك إذا أردنا دراسة تأثير طبيعة الحركة ، فإنه يكفي في المثال السابق تعيين $(L/R_0 = 0.26)$ على التدرج السفلي ، ورسم الخط إلى $(\beta = 45^\circ)$ لينتج أن $(\Phi = 25^\circ)$ ؛ أي: إن الحركة التوافقية البسيطة تعطي زاوية ضغط عظمى أقل من تلك في حالة الحركة الدويرية المبينة في الشكل . كذلك الحال بالنسبة لبقية المتغيرات ، إنقاص شوط الرفع L ، أو زيادة زاوية الرفع الكلية β ، أو زيادة R_0 التي يمكن تحقيقها ، إما بزيادة نصف قطر الدائرة الأساسية أو نصف قطر الدحرج .

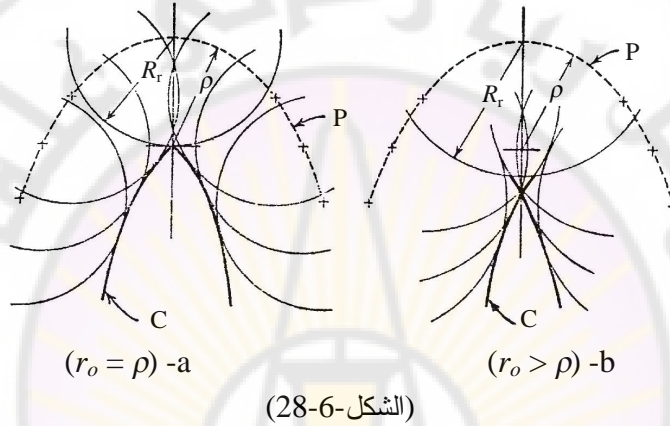
إضافة إلى تأمين زاوية ضغط مقبولة ، فإن جانبية الكامة يجب ألا تحوي انحناءات حادة أو مدببة . يمكن توضيح مفهوم تشكّل رأس مدبب استناداً إلى (الشكل-6-27) الذي يبين قطاعاً من جانبية كامة C ، ومنحني الخطوة P الموافق لها ، حيث:

- ρ تمثل نصف قطر انحناء منحنى الخطوة لجزء ما منه .
- ρ_c تمثل نصف قطر جانبية الكامة الموافق لهذا الجزء .
- r_o تمثل نصف قطر الدحرج .



(الشكل-6-27) قطاع من جانبية كامة C ، ومنحني الخطوة P الموافق لها .

إذا فرض في حالة ما أن ρ ثابت ؛ بينما r_o يتزايد ، فينتج أن ρ_c يتناقص حتى يصبح منعدياً عند تساوي r_o مع ρ ($r_o = \rho$) ؛ وبالتالي تكون جانبية الكامة C عندئذٍ نقطة ، كما هو مبين في الرسم a في (الشكل-6-28) . إذا استمر تزايد r_o ، بحيث يصبح أكبر من ρ ($r_o > \rho$) ، فإنه يحدث ما يسمى بالقطع السفلي لجانبية الكامة C ، حسب ما هو مبين في الرسم b في (الشكل-6-28) ؛ مما يؤدي إلى فقد التماس بين الكامة والتابع .



يجب إذن لتفادي حدوث ذلك أن يكون نصف قطر الدحرج r_o ، أقل من أصغر قيمة ρ_{min} لنصف قطر انحناء منحنى الخطوة ρ ، يفضل أن تكون هذه القيمة بحدود ($r_o \leq 0.7 r_{min}$) ؛ لتجنب ظهور إجهادات عالية في أثناء العمل . في حال تعدد أنواع حركة التابع خلال دوران الكامة ، فإنه يجب عندئذٍ التحقق من كل حالة على حدة . من الواضح أنه يكفي دراسة الأجزاء المحدبة فقط من جانبية الكامة ؛ إذ لا يحدث قطع سفلي للأجزاء المقعرة إن وجدت .

يمكن استناداً إلى أبحاث التحليل التفاضلي كتابة معادلة نصف قطر الانحناء ، في الإحداثيات القطبية على الشكل الآتي:

$$r = \frac{\{R^2 + [f'(q)]^2\}^{3/2}}{R^2 + 2[f'(q)]^2 - R[f''(q)]} \quad (32-6)$$

حيث ينتج من المعادلة (30-6) أن:

$$R = R_0 + f(q) \Rightarrow \frac{dR}{dq} = f'(q) \Rightarrow \frac{d^2R}{dq^2} = f''(q)$$

تعطي المعادلة (32-6) قيم ρ لأي نوع من حركة التابع في حالة معينة ، إلا أنه من الضروري تحديد القيمة الصغرى ρ_{\min} لهذه المعادلة ؛ بسبب صعوبة تعيين هذه القيمة تحليلياً فقد قام الباحثان (Kloomok & Muffley) برسم منحنيات تبين تغير النسبة ρ_{\min}/R_0 مع قيمة β ، وذلك لعدة قيم للنسبة L/R_0 في حالة الحركة الدويرية ، والحركة التوافقية البسيطة ، علماً أن R_0, L, β هي كما سبق تعريفها عند تحليل زاوية الضغط .

يبين (الشكل-6-29) هذه المنحنيات لحركة دويرية ، بينما تستعمل منحنيات (الشكل-6-30) في حالة حركة توافقية بسيطة . يمكن من هذه المنحنيات تحديد قيمة ρ_{\min} ؛ وبالتالي اختيار الدحروج المناسب .

مسألة-6-2

يتحرك تابع دحروجي قطري ؛ ليقطع شوطاً ($L = 6 \text{ cm}$) بحركة دويرية خلال دوران الكامدة بزاوية رفع ($\beta = 30^\circ$) ، تليها زاوية سكون 45° . يتم شوط العودة بحركة دويرية خلال زاوية خفض 70° .

المطلوب التحقق من حدوث رأس مدبب أو قطع سفلي على سطح جانبية الكامدة إذا كان:

$$R_0 = 15 \text{ cm} , \quad r_o = 2.5 \text{ cm}$$

الحل:

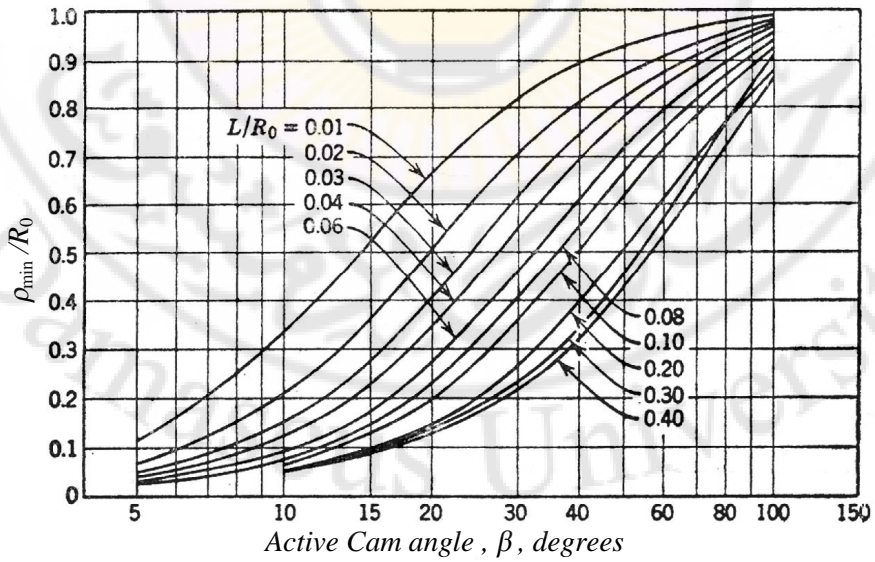
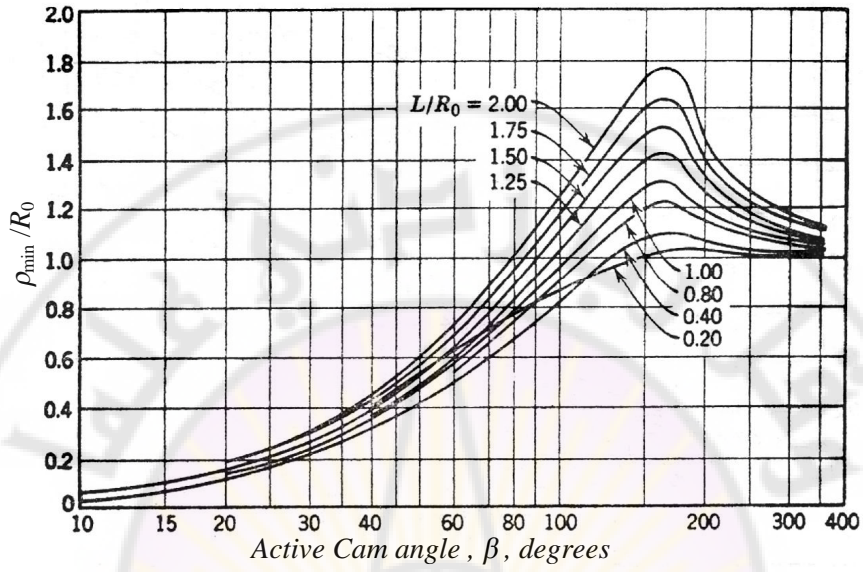
نحسب أولاً النسبة:

$$L/R_0 = 6/15 = 0.4$$

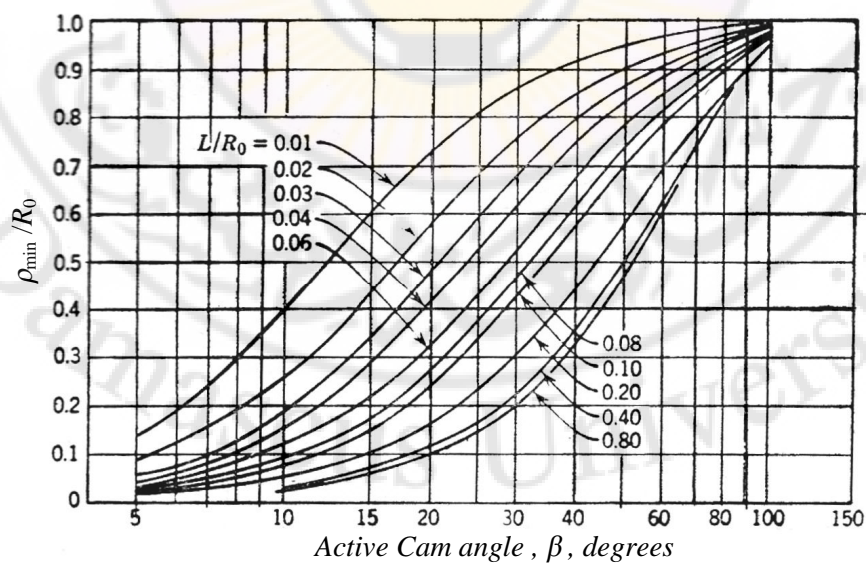
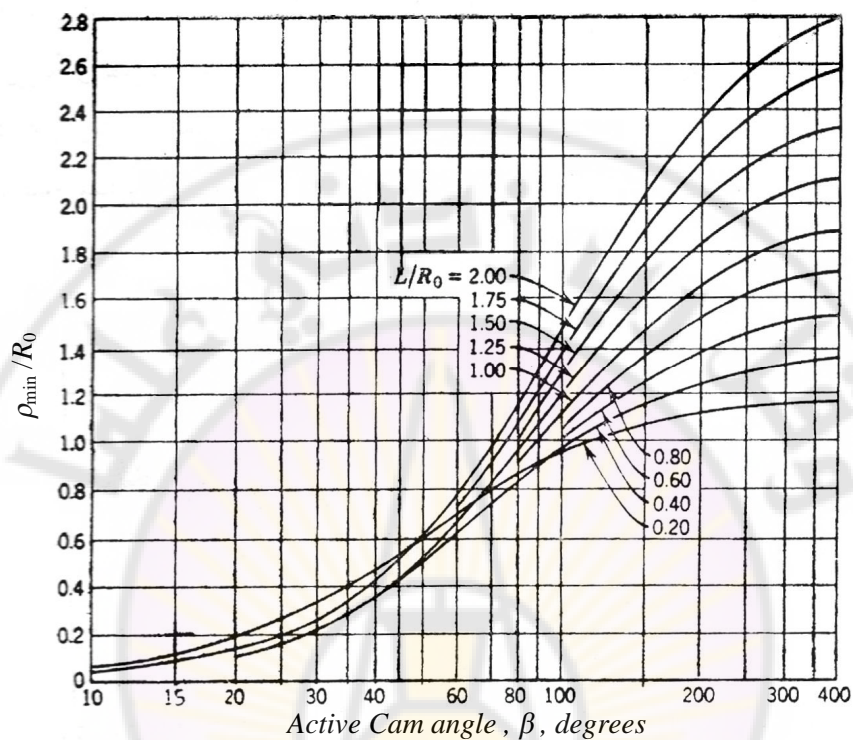
يلاحظ من مخططات الحركة الدويرية في (الشكل-6-29) أن القيمة الحدية لأصغر نصف قطر انحناء تعين لأصغر زاوية دوران خلال دورة عمل كاملة للكامدة ؛ لذا يتم التحقق عند الزاوية الصغرى ($\beta = 30^\circ$) ، حيث ينتج من تقاطع هذه الزاوية مع الخط الممثل للنسبة المحسوبة أعلاه أن:

$$r_{\min}/R_0 = 0.22 \Rightarrow r_{\min} = 3.3 \text{ cm} > 2.5 \text{ cm}$$

وبالتالي لن يحدث رأس مدبب أو قطع سفلي لجانبية الكامدة ؛ لأن ($r_o < r_{\min}$) .



(الشكل-6-29) منحنيات تغير النسبة ρ_{min}/R_0 مع قيمة β في حالة الحركة الدويرية .



(الشكل-6-30) منحنيات تغير النسبة ρ_{min}/R_0 مع قيمة β في حالة الحركة التوافقية البسيطة .

Cams with Specified Contours

11-6- كامات ذات جانبية محددة

لقد بينا حتى الآن دراسة تركيبية كامة بإيجاد طرائق تصميم جانبية الكامات ، وعواملها تخطيطياً ، وتحليلياً وفق معطيات معينة لنوع التابع ، وحركته ؛ أدى ذلك إلى ظهور صعوبات عدة تؤثر بشكل رئيس في دقة تصنيع الكامات ، وكلفة إنتاجها ؛ لذا يفضل أحياناً تشكيل جانبية الكامات من أقواس دائرية ، وخطوط مستقيمة ؛ مما يقود إلى إمكان تحقيق دقة عالية ، وكلفة تصنيع منخفضة نسبياً ، وهذا ما جعلها شائعة الاستعمال في محركات الاحتراق الداخلي ؛ وبخاصة الصغيرة منها . من الواضح أن طبيعة دراسة الكامات عندئذ هي عكس ما كانت عليه في الفقرات السابقة ؛ إذ يصبح تحليل حركة التابع الناتجة من جانبية محددة للكامات ، كما سيتضح لنا من خلال دراسة أهم الأشكال التي تأخذها هذه الجانبية ، حيث سنعتمد مبدأ انعكاس الحركة في تثبيت الكامات ، وتدوير محور التابع حولها بعكس اتجاه دورانها الفعلي .

11-6-1 كامات مكونة من أقواس دائرية وخطوط مستقيمة

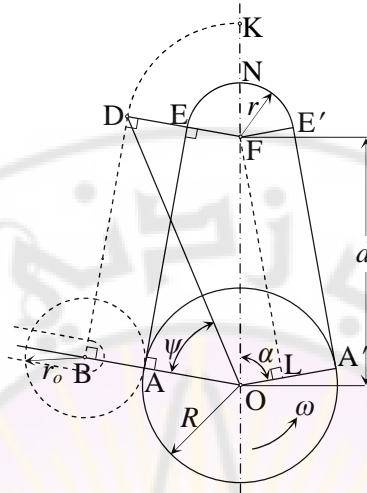
Cam with Straight Flanks

يسمى هذا النوع أحياناً بـ الكامات المماسية (*Tangent Cam*) ، حيث تتكون الجانبية من أقواس دائرية ، وخطوط مستقيمة متماسة فيما بينها ، ومتناظرة حول مستوي تناظر مار من مركز عمود الدوران ، وعمودي على مستوي الحركة . يستعمل مع هذا النوع من الكامات تابع دحروجي أو كروي ؛ لأنه لا يمكن استعمال تابع مسطح لأن جانبية الكامات خطأ مستقيماً .

1. المتغيرات الرئيسية لتركيبية كامات مماسية مع تابع دحروجي ترددي قطري

يفضل قبل البدء بدراسة حركة التابع على كل من الجانب ، والأنف خلال شوط الرفع إيجاد العلاقات الهندسية بين مختلف الأبعاد والزوايا التي تحدد جانبية كامات مماسية ذات تابع دحروجي ترددي قطري .

يبين (الشكل-6-31) كامات مماسية ذات تابع دحروجي ترددي قطري ، والعوامل التي تحدد أداء التابع ، هي:



(الشكل-6-31) كامئة مماسية ذات تابع دحرجي ترددي قطري

R تمثل نصف قطر الدائرة الأساسية التي مركزها محور الدوران O .

r تمثل نصف قطر دائرة الأنف التي مركزها F .

d تمثل البعد بين مركزي الدائرة الأساسية ودائرة الأنف .

r_o تمثل نصف قطر الدحرج .

S تمثل شوط التابع ؛ أي شوط الرفع أو شوط الخفض .

α تمثل زاوية رفع التابع أو الخفض ، وهي تساوي نصف زاوية عمل الكامئة .

ψ تمثل زاوية دوران الكامئة الموافقة لحركة التابع على الجانب المستقيم لها .

من (الشكل-6-31) نلاحظ أن شوط التابع S ، هو :

$$S = OK - OB = OF + FN + NK - (OA + AB) = d + r + r_o - R - r_o$$

ومنه:

$$S = d + r - R \quad (33-6)$$

كما أن:

$$\cos a = \frac{OL}{OF} = \frac{OA' - LA'}{OF} = \frac{OA' - FE'}{OF}$$

ومنه:

$$\cos a = \frac{R - r}{d} \quad (34-6)$$

أما الزاوية ψ ، فإنها تحدد من المثلث OBD ، حيث:

$$\tan y = \frac{BD}{OB} = \frac{AE}{OA + AB} = \frac{A'E'}{OA + AB} = \frac{FL}{OA + AB} = \frac{OF}{OA + AB} \sin a$$

ومنه:

$$\tan y = \frac{d}{R + r_o} \sin a \quad (35-6)$$

يلاحظ من (الشكل-6-31) أن مركز الدخروج الذي يمثل نقطة الأثر من التابع ، يتحرك خلال شوط الرفع على المسار BDK في أثناء دوران الكامة زاوية α . من الواضح أن مميزات حركة التابع خلال الجزء المستقيم BD من هذا المسار ، تختلف عن تلك خلال القوس الدائري DK منه ؛ لذا يجب دراسة كل من الحالتين على حدة ، حيث تحدد زاوية الجانب ψ الفترة التي تحدث في أثناءها الحركة على الجانب المستقيم AE ، بينما تحدد الزاوية $(\alpha - \psi)$ فترة الحركة على القوس الدائري EN .

أما حركة التابع خلال شوط الخفض ، فهي مماثلة لحركته خلال شوط الرفع ، لكن بترتيب عكسي ، حيث تبدأ الحركة من N على القوس الدائري NE' ، ومن ثم على الجانب المستقيم E'A' . يبقى التابع متوقفاً عن الحركة خلال دوران الكامة بزاوية $(360 - 2\alpha)$.

2. حركة التابع على جانب الكامة

تبدأ حركة التابع الدخروجي على جانب الكامة عندما يمس الدخروج الجانب المستقيم للكامة من الوضع A حتى الوضع E خلال دوران الكامة زاوية:

$$0 \leq q \leq y$$

فإذا دارت الكامة زاوية θ من أخفض وضع لمركز الدخروج B ، كما هو مبين في الرسم a في (الشكل-6-32) ، فإن هذا يكافئ دوران محور التابع حتى الوضع OC ، وتكون إزاحة التابع عندئذٍ ، هي:

$$x_q = OC - OB$$

حيث ينتج من تحليل المثلث OBC أن:

$$x_q = \frac{OB}{\cos q} - OB = OB \left(\frac{1}{\cos q} - 1 \right) = (OA + AB) \left(\frac{1}{\cos q} - 1 \right)$$

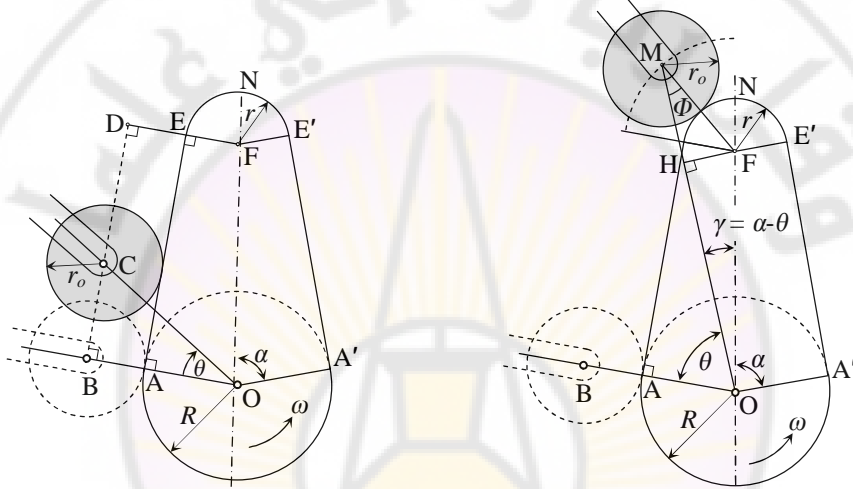
منه:

$$x_q = (R + r_o) (\sec q - 1) \quad (36-6)$$

يلاحظ من معادلة إزاحة التابع (36-6) ، أنه عندما:

$$q = 0 \Rightarrow x_{(q=0)} = x_A = 0$$

$$q = y \Rightarrow x_{(q=y)} = x_E = (R + r_o) (\sec y - 1)$$



b- حركة التابع الدحرجي على أنف الكامة. a- حركة التابع الدحرجي على جانب الكامة.

(الشكل-6-32) حركة تابع دحرجي على كامة مماسية .

تحدد معادلة سرعة التابع V_θ من اشتقاق معادلة إزاحة التابع (36-6) بالنسبة

للزمن ، حيث نحصل:

$$V_q = \frac{dx_q}{dt} = (R + r_o) \frac{\sin q}{\cos^2 q} \cdot \frac{dq}{dt}$$

منه:

$$V_q = w (R + r_o) \sec q \cdot \tan q \quad (37-6)$$

حيث $(\omega = d\theta/dt)$ تمثل السرعة الزاوية الثابتة ، ويلاحظ من المعادلة (37-6) أنه عندما:

$$q = 0 \Rightarrow V_{(q=0)} = V_A = 0$$

$$q = y \Rightarrow V_{(q=y)} = V_E = w (R + r_o) \sec y \cdot \tan y = V_o$$

مما يدل على أن سرعة التابع تتزايد من الصفر عند A حتى قيمة عظمى V_o عند E .

أما معادلة تسارع التابع A_θ فإنه تنتج من اشتقاق معادلة سرعة التابع (37-6) بالنسبة للزمن ، حيث نحصل:

$$A_q = \frac{dV_q}{dt} = w(R + r_o) \left(\frac{1}{\cos q} + \frac{2\sin^2 q}{\cos^3 q} \right) \frac{dq}{dt}$$

منه:

$$A_q = w^2(R + r_o) (2\sec^3 q - \sec q) \quad (38-6)$$

يلاحظ من معادلة تسارع التابع (38-6) ، أنه عندما:

$$q = 0 \Rightarrow A_{(q=0)} = A_A = w^2(R + r_o)$$

$$q = y \Rightarrow A_{(q=y)} = A_E = w^2(R + r_o) (2\sec^3 y - \sec y)$$

مما يدل على أن تسارع التابع يتغير من قيمة صغرى عند A إلى قيمة عظمى عند E ، وبما أن سرعة التابع تزداد خلال هذه الفترة من شوط الرفع ؛ أي: إن حركة التابع متسارعة خلال هذه الفترة .

3. حركة التابع على أنف الكامة

تبدأ حركة التابع على أنف الكامة ، عندما يمس الدحروج القوس الدائري EN من أنف الكامة من الوضع E حتى الوضع N خلال دوران الكامة زاوية:

$$y \leq q \leq a$$

فإذا دارت الكامة زاوية θ من أخفض وضع لمركز الدحروج B ، كما هو مبين في الرسم b في (الشكل-6-32) ، فإن هذا يكافئ دوران محور التابع حتى الوضع M ، وتكون إزاحة التابع عندئذٍ ، هي:

$$x = OM - OB = OH + HM - (OA + AB)$$

حيث ينتج من تحليل المثلث OMF أن:

$$x = OF \cdot \cos(a - q) + FM \cdot \cos f - (OA + AB)$$

منه:

$$x = d \cdot \cos(a - q) + (r + r_o) \cos f - (R + r_o)$$

وبما أن:

$$FH = OF \cdot \sin(a - q) = FM \cdot \sin f$$

منه:

$$d \cdot \sin(a - q) = (r + r_o) \sin f \Rightarrow \sin f = \frac{d}{r + r_o} \sin(a - q)$$

فإذا وضعنا:

$$(a - q) = g, \quad \frac{r + r_o}{d} = n$$

حيث إن γ تمثل زاوية الدوران الموافقة للحركة على أنف الكامة ، وهي زاوية متناقصة قيمتها العظمى ($\gamma_{\max} = \alpha - \psi$) عندما يمس الدحروج بداية الأنف ($\theta = \psi$) في E ، وقيمتها الصغرى ($\gamma_{\max} = \alpha - \alpha = 0$) عندما يمس الدحروج نهاية الأنف ($\theta = \alpha$) في N .
منه:

$$\sin f = \frac{1}{n} \sin g$$

لكن:

$$\cos^2 f = 1 - \sin^2 f = 1 - \frac{\sin^2 g}{n^2} = \frac{n^2 - \sin^2 g}{n^2} \Rightarrow \cos f = \frac{1}{n} \sqrt{n^2 - \sin^2 g}$$

بالتعويض في معادلة إزاحة التابع x والإصلاح ينتج:

$$x_g = d (\cos g + \sqrt{n^2 - \sin^2 g}) - (R + r_o) \quad (39-6)$$

يلاحظ من معادلة إزاحة التابع (39-6) أنه عندما:

$$g = a - y \Rightarrow$$

$$x_{g=(a-y)} = x_E = d [\cos(a - y) + \sqrt{n^2 - \sin^2(a - y)}] - (R - r_o)$$

$$g = 0 \Rightarrow x_{(g=0)} = x_N = d + d \frac{r + r_o}{d} - R - r_o = d + r - R = S$$

تحدد معادلة سرعة التابع V_γ من اشتقاق معادلة إزاحة التابع (39-6) بالنسبة

للزمن ، حيث نحصل:

$$V_g = \frac{dx_g}{dt} = d \left[-\sin g - \frac{\sin 2g}{2\sqrt{(n^2 - \sin^2 g)}} \right] \frac{dg}{dt}$$

$$V_g = w.d \left[\sin g + \frac{\sin 2g}{2\sqrt{(n^2 - \sin^2 g)}} \right] \quad (40-6)$$

يلاحظ من معادلة سرعة التابع (40-6) ، أنه عندما:

$$g = a - y \Rightarrow V_{(g=a-y)} = V_E = w.d \left[\sin(a - y) + \frac{\sin 2(a - y)}{2\sqrt{(n^2 - \sin^2(a - y))}} \right]$$

$$g = 0 \Rightarrow V_{(g=0)} = V_N = 0$$

مما يدل على أن سرعة التابع تتناقص خلال هذه الفترة من شوط الرفع من قيمة عظمى عند E ، تساوي قيمة V_o من المعادلة (37-6) ، إلى الصفر عند N .
علماً أن:

$$\frac{dg}{dt} = \frac{d}{dt}(a - q) = \frac{da}{dt} - \frac{dq}{dt} = -w$$

أما معادلة تسارع التابع A_y ، فإنه تنتج من اشتقاق معادلة سرعة التابع (40-6) بالنسبة للزمن ، حيث نحصل:

$$A_g = \frac{dV_g}{dt} = -w^2 . d \left[\cos g + \frac{\sin^4 g + n^2 . \cos 2g}{(n^2 - \sin^2 g)^{3/2}} \right] \quad (41-6)$$

يلاحظ من معادلة تسارع التابع (41-6) أنه عندما:

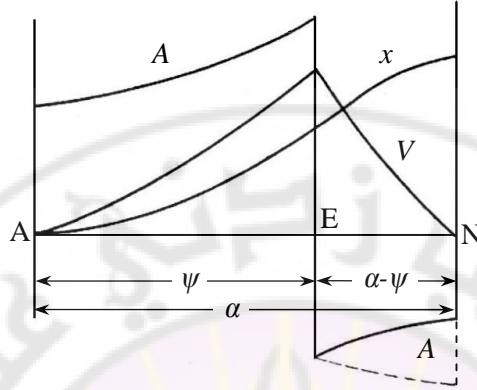
$$g = a - y \Rightarrow$$

$$A_{g=(a-y)} = A_E = -w^2 . d \left[\cos(a - y) + \frac{\sin^4(a - y) + n^2 . \cos 2(a - y)}{[n^2 - \sin^2(a - y)]^{3/2}} \right]$$

$$g = 0 \Rightarrow A_{(g=0)} = A_N = -w^2 . d \left(1 + \frac{1}{n} \right)$$

بما أن سرعة التابع تتناقص خلال هذه الفترة من شوط الرفع ؛ أي: إن حركة التابع متباطئة خلال هذه الفترة ، حيث يمكن أن يحدث أعظم تباطؤ للتابع وفقاً للمعادلة (41-6) عند E ، أو N بحسب القيم النسبية لكل من d ، n .

يمكن - استناداً إلى تحليل حركة التابع خلال شوط الرفع الوارد في الفقرة 2 ، 3 - تمثيل مخططات الإزاحة ، والسرعة والتسارع له في الفترة من A إلى N كما هو مبين في (الشكل-6-33) . يشير المنحني المتقطع من E إلى N إلى المنحني البديل الذي يمكن أن ينتج لتباطؤ التابع تبعاً لقيم d ، n . أما مخططات حركة التابع خلال شوط الخفض من N إلى A' ، فإنها متناظرة مع مخططات (الشكل-6-33) حول المحور الشاقولي المار من N .



(الشكل-6-33) مخططات إزاحة وسرعة التابع وتسارعه خلال شوط الرفع .

يلاحظ من وضع الدحروج في الرسم b في (الشكل-6-32) أن حركته تكافئ حركة المكبس في تركيبية المنزلقة ، والمرفق التي سبقت الإشارة إليها في الفصول السابقة ، حيث يمثل البعد الثابت ($OF = d$) مرفقاً يدور حول O بسرعة زاوية ثابتة ω ، بينما يمثل البعد FM ذراع التوصيل ؛ نظراً لأن طوله يبقى ثابتاً خلال الحركة على أنف الكامرة ؛ إذ يساوي $(r + r_o)$. أما محور التابع ، فإنه يمثل خط الشوط OM الذي تتحرك عليه المنزلقة . يساعد مفهوم التكافؤ هذا في دراسة حركة التابع على أنف الكامرة تخطيطياً ؛ خاصة أن المعادلات التحليلية السابقة معقدة نسبياً . يتم ذلك بإحدى الطرائق التي ذكرت آنفاً في الفصل الثالث .

إن التحليل السابق يبقى صحيحاً في حالة تابع كروي بعد الاستعاضة عن نصف قطر الدحروج بنصف قطر الكرة المشكلة منها نهاية التابع الكروي . أما في حالة تابع مجنب أو تأرجحي ، فإنه يمكن دراسة الحركة وفق الأسس نفسها ، لكن مع إجراء التعديلات اللازمة تبعاً لقيمة الحيد ، وجهته في التابع الأول ، وتبعاً لذراع التأرجح في التابع الثاني .

من الواضح أن كامرة مماسية من النوع المبين في (الشكل-6-32) لا تعطي فترة سكون في نهاية شوط الرفع ؛ إلا أنه يمكن تحقيق مثل هذه الفترة بتعديل أنف الكامرة ليحوي في جزء منه قوساً دائرياً مركزه O ، ويحدد طوله بحسب زاوية السكون المراد تحقيقها بين الرفع ، والخفض .

Circular-Arc Cam

2-11-6- كامة مكونة من أقواس دائرية

تتكون الكامنة في هذه الحالة من أقواس دائرية متماسة فيما بينها ، بحيث تكون جانبيتها محدبة كلياً ، ومتناظرة حول مستوي تناظر مار من المركز O ، وعمودي على مستوى الحركة ؛ لذا يمكن استعمال أي نوع من التتابع التي سبق ذكرها ؛ إلا أن الأكثر شيوعاً هو استعمال تابع مسطح . يبين (الشكل-6-34) كامنة من هذا النوع ذات تابع مسطح ترددي قطري ، حيث مركز القوس الدائري AE هو P ، ونصف قطره $(AP = \rho)$.

بما أن الكامنة تدور بسرعة زاوية ثابتة ω باتجاه دوران عقارب الساعة ، فإن محور التابع سيدور عند تثبيت الكامنة عكس اتجاه دوران عقارب الساعة ، بحيث يبقى عمودياً على سطح التابع . من الواضح أن الزاوية $(APE = \psi)$ تمثل الزاوية التي يدورها محور التابع بدءاً من نقطة التماس A ، حتى يصبح التماس عند النهاية E لقوس الجانب الدائري .

1. المتغيرات الرئيسية لتركيبية كامنة مكونة من أقواس دائرية مع تابع مسطح ترددي قطري يفضل قبل البدء بدراسة حركة التابع على كل من الجانب ، والأنف خلال شوط الرفع إيجاد العلاقات الهندسية بين مختلف الأبعاد والزوايا التي تحدد جانبيه كامنة مكونة من أقواس دائرية مع تابع مسطح ترددي قطري .

يبين (الشكل-6-34) تركيبية كامنة مكونة من أقواس دائرية مع تابع مسطح ترددي قطري ، حيث العوامل التي تحدد أداء التابع هي:

R تمثل نصف قطر الدائرة الأساسية التي مركزها محور الدوران O .

r تمثل نصف قطر دائرة الأنف التي مركزها F .

d تمثل البعد بين مركزي الدائرة الأساسية ، ودائرة الأنف OF .

ρ تمثل نصف قطر دائرة الجانب .

S تمثل شوط التابع ؛ أي شوط الرفع أو شوط الخفض .

α تمثل زاوية رفع التابع أو الخفض ، وهي تساوي نصف زاوية عمل الكامنة 2α .

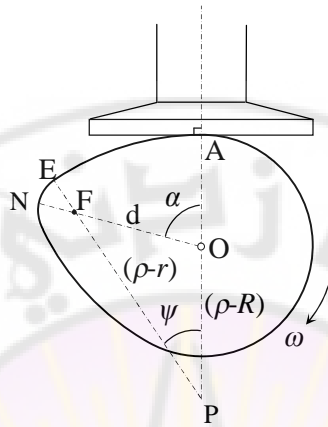
ψ تمثل زاوية دوران الكامنة الموافقة لحركة التابع على جانب الدائري للكامنة AE .

من (الشكل-6-34) نلاحظ أن شوط التابع S هو:

$$S = ON - OA = OF + FN - OA$$

ومنه:

$$S = d + r - R$$



(الشكل-6-34) كامنة مكونة من أقواس دائرية ذات تابع مسطح ترددي قطري .

أما نصف قطر دائرة الجانب ρ ، فإنه يحدد من تحليل المثلث OFP حيث:

$$PF^2 = OP^2 + OF^2 - 2OP \cdot OF \cdot \cos(180 - a)$$

بالتعويض من أطوال أضلاع المثلث بدلالة ρ, R, r, d نحصل على:

$$(r - r)^2 = (r - R)^2 + d^2 - 2d(r - R)(-\cos a)$$

$$r^2 - 2r \cdot r + r^2 = r^2 - 2r \cdot R + R^2 + d^2 + 2d \cdot r \cdot \cos a - 2R \cdot d \cdot \cos a$$

وبإصلاح المعادلة ينتج:

$$2r(-r + R - d \cdot \cos a) = -r^2 + R^2 + d^2 - 2R \cdot d \cdot \cos a$$

$$r = \frac{R^2 - r^2 + d^2 - 2R \cdot d \cdot \cos a}{2(R - r - d \cdot \cos a)} \quad (42-6)$$

كما أنه يمكن من المثلث نفسه تعيين قيمة الزاوية ψ ، حيث:

$$\frac{OF}{\sin y} = \frac{PF}{\sin(180 - a)} = \frac{PF}{\sin a} \Rightarrow \frac{d}{\sin y} = \frac{r - r}{\sin a}$$

أي: إن:

$$\sin y = \frac{d}{r - r} \sin a \quad (43-6)$$

2. حركة التابع على جانب الكامة

تبدأ حركة التابع المسطح على جانب الكامة عندما يمس التابع جانب الكامة من الوضع A حتى الوضع E خلال دوران الكامة زاوية:

$$0 \leq q \leq y$$

فإذا دارت الكامة زاوية θ من أخفض وضع A ، فإن هذا يكافئ دوران محور التابع من أخفض وضع A ، بحيث يصبح سطحه مماسياً للكامة عند D ، كما في الرسم a في (الشكل-6-35) ، وتكون إزاحة التابع عندئذ هي:

$$x_q = OC - OA = DH - OA = PD - PH - OA$$

إذ إن OC يوازي PD ؛ لأن كلا منهما عمودي على سطح التابع ؛ بالتالي:

$$x_q = (PD - OA) - OP \cdot \cos \theta = (PD - OA) - (PA - OA) \cos \theta$$

منه معادلة إزاحة التابع:

$$x_q = (r - R) (1 - \cos q) \quad (44-6)$$

يلاحظ من معادلة إزاحة التابع (44-6) أنه عندما:

$$q = 0 \Rightarrow x_{(q=0)} = x_A = 0$$

$$q = y \Rightarrow x_{(q=y)} = x_E = (r - R) (1 - \cos y)$$

تحدد معادلة سرعة التابع V_θ من اشتقاق معادلة إزاحة التابع (44-6) بالنسبة للزمن ، حيث ينتج أن:

$$V_q = \frac{dx_q}{dt} = (r - R) [-(-\sin q)] \frac{dq}{dt}$$

منه:

$$V_q = w (r - R) \sin q \quad (45-6)$$

حيث $(\omega = d\theta/dt)$ تمثل السرعة الزاوية الثابتة للكامة ، ويلاحظ من المعادلة (45-6) أنه عندما:

$$q = 0 \Rightarrow V_{(q=0)} = V_A = 0$$

$$q = y \Rightarrow V_{(q=y)} = V_E = w (r - R) \sin y = V_o$$

مما يدل على أن سرعة التابع تتزايد من الصفر عند A حتى قيمة عظمى V_o عند E .

أما معادلة تسارع التابع A_θ ، فإنه ينتج من اشتقاق معادلة سرعة التابع (45-6) بالنسبة للزمن ، حيث نحصل:

$$A_q = \frac{dV_q}{dt} = w (r - R) \cos q \frac{dq}{dt}$$

منه:

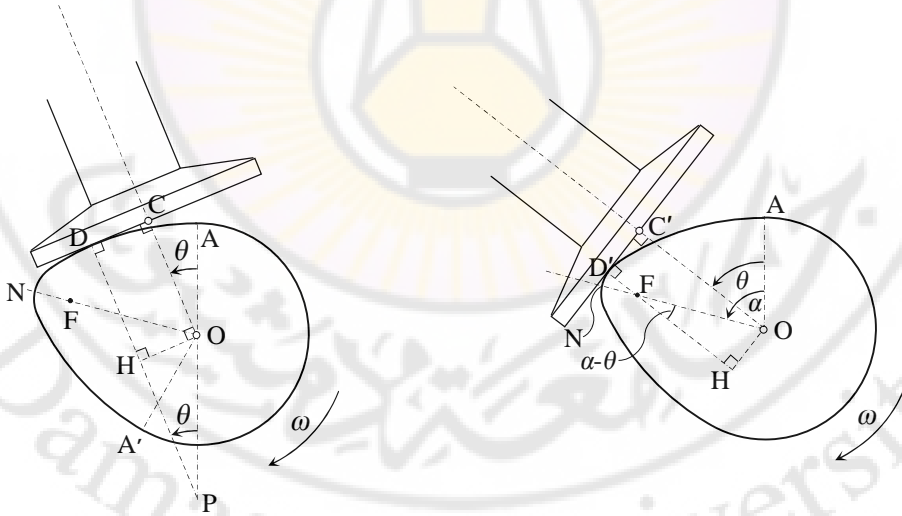
$$A_q = w^2 (r - R) \cos q \quad (46-6)$$

يلاحظ من معادلة تسارع التابع (46-6) أنه عندما:

$$q = 0 \Rightarrow A_{(q=0)} = A_A = w^2 (r - R) = A_o$$

$$q = y \Rightarrow A_{(q=y)} = A_E = w^2 (r - R) \cos y$$

مما يدل على أن تسارع التابع يتناقص من قيمة عظمى A_o عند A إلى قيمة صغرى عند E ، وبما أن سرعة التابع تزداد خلال هذه الفترة من شوط رفع التابع ؛ أي: إن حركة التابع متسارعة خلال هذه الفترة .



a- حركة التابع المسطح على جانب الكامة. b- حركة التابع المسطح على أنف الكامة.

حركة تابع مسطح ترددي قطري على كامة مكونة من أقواس دائرية .

(الشكل-6-35)

3. حركة التابع على أنف الكامنة

تبدأ حركة التابع على أنف الكامنة عندما يمس التابع المسطح أنف الكامنة من الوضع E حتى الوضع N خلال دوران الكامنة زاوية:

$$y \leq q \leq a$$

فإذا دارت الكامنة زاوية θ من أخفض وضع A ، فإن هذا يكافئ دوران محور التابع من أخفض وضع A ، بحيث يصبح سطحه مماسياً للكامنة عند D' ، ومحور التابع عند الوضع OC' ، كما في الرسم b في (الشكل-6-35) ، وتكون إزاحة التابع عندئذٍ ، هي:

$$x_q = OC' - OA = HD' - OA = HF + FD' - OA$$

لكن يتضح من الشكل أن:

$$x_q = OF \cdot \cos(a - q) + FD' - OA$$

ومنه:

$$x_q = d \cdot \cos(a - q) + r - R \quad (47-6)$$

يلاحظ من معادلة إزاحة التابع (47-6) أنه عندما:

$$q = y \Rightarrow x_{(q=y)} = x_E = d \cdot \cos(a - y) + r - R$$

$$q = a \Rightarrow x_{(q=a)} = x_N = d + r - R = S$$

تحدد معادلة سرعة التابع V_θ من اشتقاق معادلة إزاحة التابع (47-6) بالنسبة للزمن ، حيث ينتج أن:

$$V_q = \frac{dx_q}{dt} = d [-\sin(a - q)] \frac{d}{dt}(a - q) = -d \cdot \sin(a - q) \left(-\frac{dq}{dt}\right)$$

منه:

$$V_q = w \cdot d \cdot \sin(a - q) \quad (48-6)$$

حيث $(\omega = d\theta/dt)$ تمثل السرعة الزاوية الثابتة للكامنة ، ويلاحظ من معادلة سرعة التابع (48-6) أنه عندما:

$$q = y \Rightarrow V_{(q=y)} = V_E = w \cdot d \cdot \sin(a - y) = V_o$$

$$q = a \Rightarrow V_{(q=a)} = V_N = 0$$

أي: إن سرعة التابع تتناقص خلال هذه الفترة من شوط الرفع من القيمة V_o المعطاة من المعادلة (45-6) ، عندما تبدأ حركة التابع على الأنف في E حتى تنعدم عند N .

أما معادلة تسارع التابع A_θ ، فإنها تنتج من اشتقاق معادلة سرعة التابع (6-48) بالنسبة للزمن ، حيث نحصل:

$$A_q = \frac{dV_q}{dt} = w.d.\cos(a-q) \frac{d}{dt}(a-q)$$

$$A_q = -w^2.d.\cos(a-q) \quad (49-6)$$

علماً أن:

$$\frac{d}{dt}(a-q) = \frac{da}{dt} - \frac{dq}{dt} = -w$$

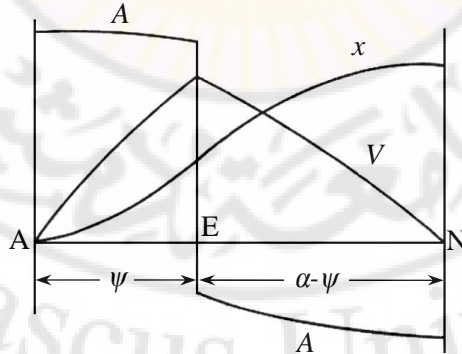
ويلاحظ من المعادلة (49-6) أنه عندما:

$$q = y \Rightarrow A_{(q=y)} = A_E = -w^2.d.\cos(a-y)$$

$$q = a \Rightarrow A_{(q=a)} = A_N = -w^2.d$$

بما أن سرعة التابع تتناقص خلال هذه الفترة من شوط الرفع ؛ أي: إن حركة التابع متباطئة خلالها ، وهذا ما يتضح من الإشارة السالبة في المعادلة (49-6) ، ويحدث أعظم تباطؤ عند نهاية شوط الرفع في N ، وقيمته $w^2.d$.

يبين (الشكل-6-36) مخططات إزاحة ، وسرعة التابع وتسارعه خلال شوط الرفع من A إلى N . أما حركته خلال شوط الخفض ، فهي متناظرة ، كما في حالة الكامة المماسية ، حول المحور الشاقولي المار من N .



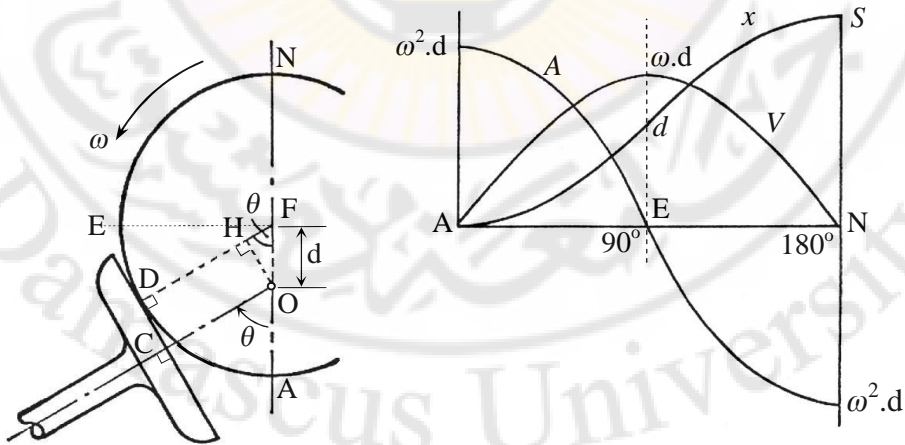
(الشكل-6-36) مخططات إزاحة وسرعة التابع وتسارعه خلال شوط الرفع .

من الواضح أنه يمكن تحليل حركة تابع من نوع آخر وفقاً للأسس نفسها التي اعتمدت في التحليل السابق ، مع إجراء التعديلات اللازمة لكل حالة .

Circular Cam

1. كامة دائرية ذات تابع مسطح ترددي قطري

يبين الرسم a في (الشكل-6-37) كامة من هذا النوع ذات تابع مسطح ترددي قطري ، حيث يلاحظ أن حركة التابع خلال شوط الرفع تبدأ من A إلى N على القوس الدائري NA ، وتتم في أثناء دوران الكامة زاوية $(\theta = \pi)$ ، أما حركة التابع خلال شوط الخفض ، فهي مماثلة لحركته خلال شوط الرفع ، لكن بترتيب عكسي ، حيث تبدأ الحركة من N على القوس الدائري NA ، وأن معادلة حركة تابع مسطح في هذه الحالة هي واحدة لأجزاء جانبية الكامة المتناظرة كلها حول AN .



(الشكل 6-37)

من المخطط a في (الشكل-6-37) نلاحظ أن شوط التابع S هو:

$$S = ON - OA = (OF + FN) - (AF - OF) = 2OF$$

ومنه شوط التابع:

$$S = 2d \quad (50-6)$$

مما يدل على أن إزاحة التابع لا علاقة لها بـ R نصف قطر دائرة جانبية الكامنة .

تبدأ حركة التابع بشوط الرفع ، عندما يمس التابع المسطح سطح دائرة الجانب من الوضع A حتى الوضع N خلال دوران الكامنة زاوية:

$$0 \leq q \leq p$$

فإذا دارت الكامنة زاوية θ من أخفض وضع A ، فإن هذا يكافئ دوران محور التابع من أخفض وضع A بحيث يصبح سطحه مماساً للكامنة عند D ، ومحور التابع عند الوضع OC ، كما في a في (الشكل-6-37) ، وتكون إزاحة التابع عندئذٍ ، هي:

$$\begin{aligned} x_q &= OC - OA = DH - OA = (DF - HF) - (AF - OF) \\ &= DF - OF \cdot \cos \theta - AF + OF = OF(1 - \cos \theta) \end{aligned}$$

ينتج من التعويض أن معادلة إزاحة التابع هي من الشكل:

$$x_q = d(1 - \cos q) \quad (51-6)$$

ويلاحظ من معادلة إزاحة التابع (51-6) ، أنه عندما:

$$q = 0 \Rightarrow x_{(q=0)} = x_A = 0$$

$$q = p/2 \Rightarrow x_{(q=p/2)} = x_E = d$$

$$q = p \Rightarrow x_{(q=p)} = x_N = 2d = S$$

تحدد معادلة سرعة التابع V_θ من اشتقاق معادلة إزاحة التابع (51-6) بالنسبة للزمن ، حيث ينتج أن:

$$\begin{aligned} V_q &= \frac{dx_q}{dt} = d [-(-\sin q)] \frac{dq}{dt} \\ V_q &= w \cdot d \cdot \sin q \end{aligned} \quad (52-6)$$

حيث $(\omega = d\theta/dt)$ تمثل السرعة الزاوية الثابتة للكامنة .

يلاحظ من معادلة سرعة التابع (52-6) ، أنه عندما:

$$q = 0 \Rightarrow V_{(q=0)} = V_A = 0$$

$$q = p/2 \Rightarrow V_{(q=p/2)} = V_E = w \cdot d = V_o$$

$$q = p \Rightarrow V_{(q=p)} = V_N = 0$$

مما يدل على أن سرعة التابع ، تزداد خلال النصف الأول من فترة شوط الرفع من الصفر عند A حتى قيمة عظمى V_o عند E ، ، ثم تتناقص سرعة التابع خلال النصف الثاني من فترة شوط الرفع ، من القيمة العظمى V_o حتى تنعدم عند N .

أما معادلة تسارع التابع A_θ ، فإنه ينتج من اشتقاق معادلة سرعة التابع (52-6) بالنسبة للزمن ، حيث نحصل:

$$A_q = \frac{dV_q}{dt} = w \cdot d \cdot \cos q \frac{dq}{dt}$$

$$A_q = w^2 \cdot d \cdot \cos q \quad (53-6)$$

ويلاحظ من معادلة تسارع التابع (53-6)، أنه عندما:

$$q = 0 \Rightarrow A_{(q=0)} = A_A = w^2 \cdot d = A_o$$

$$q = p/2 \Rightarrow A_{(q=p/2)} = A_E = 0$$

$$q = p \Rightarrow A_{(q=p)} = A_N = -w^2 \cdot d = -A_o$$

مما يدل على أن تسارع التابع ، يتناقص خلال نصف فترة شوط رفع التابع من قيمة عظمى A_o عند A حتى تنعدم عند E ، ويتباطأ خلال النصف الثاني من فترة شوط الرفع من الصفر عند E حتى قيمة عظمى $-A_o$ عند N .

يلاحظ أن المعادلات (51-6) ، (52-6) ، (53-6) هي لحركة توافقية بسيطة من دون وجود فترات سكون خلال دورة كاملة للكامة .

تبين المنحنيات في b في (الشكل-6-37) ، مخططات حركة التابع خلال نصف دورة من A إلى N ، حيث تكون السرعة عظمى عند $E (\theta = 90^\circ)$ ، بينما يحدث أعظم تسارع عند بدء الحركة $A (\theta = 0)$ ، ويحدث أعظم تباطاً عند نهاية شوط الرفع $N (\theta = \pi)$.

2. كامة دائرية ذات تابع دحروجي ترددي قطري

Circular Cam with Roller Follower

يبين الرسم a في (الشكل-6-38) كامة دائرية ذات تابع دحروجي ترددي قطري ، حيث يلاحظ أن حركة التابع الدحروجي خلال شوط الرفع تبدأ من A إلى N على القوس الدائري AN ، وتتم في أثناء دوران الكامنة زاوية $(\theta = \pi)$ ، أما حركة التابع الدحروجي خلال شوط الخفض ، فهي مماثلة لحركته خلال شوط الرفع ، لكن بترتيب عكسي ، حيث تبدأ الحركة من N على القوس الدائري NA .

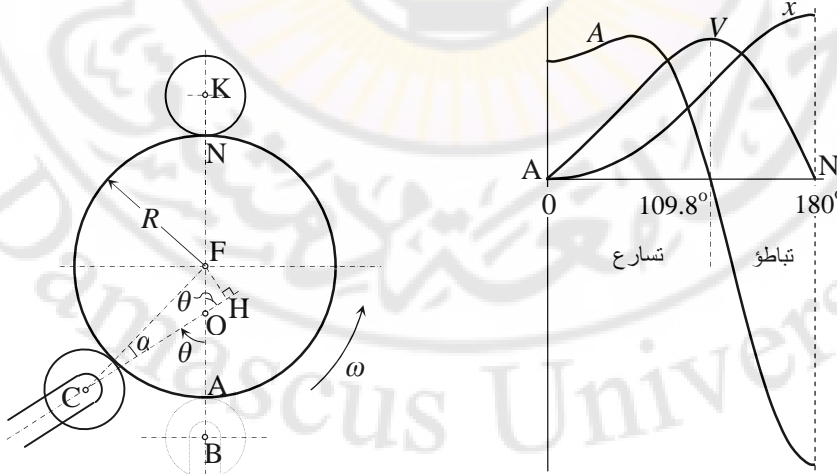
يلاحظ أن العوامل التي تحدد أداء التابع هي:

R تمثل نصف قطر الكامنة الدائرية التي مركزها F .
 r_o تمثل نصف قطر الدحروج .

d تمثل البعد بين مركزي محور الدوران O ، ودائرة الكامنة F .
 S تمثل شوط التابع ؛ أي شوط الرفع أو شوط الخفض .

في الرسم a في (الشكل-6-38) ، نلاحظ أن شوط التابع S هو:

$$\begin{aligned} S &= OK - OB = OF + FN + NK - (OA + AB) = \\ &= OF + FN + NK - (AF - OF) - AB = d + R + r_o - R + d - r_o = 2d \end{aligned}$$



a- حركة تابع دحروجي على كامة دائرية.

b- مخططات إزاحة وسرعة التابع وتسارعه.

(الشكل-6-38)

تبدأ حركة التابع الدحرجي على جانب الكامة عندما يمس الدحرج الكامة من الوضع A حتى الوضع N خلال دوران الكامة زاوية:

$$0 \leq q \leq p$$

فإذا دارت الكامة زاوية θ من أخفض وضع لمركز الدحرج B كما في الرسم a في (الشكل-6-38) ، فإن هذا يكافئ دوران محور التابع حتى الوضع OC ، وتكون إزاحة التابع عندئذٍ ، هي:

$$x = OC - OB = HC - OH - OB = FC \cdot \cos a - OF \cdot \cos q - OB$$

حيث من الشكل لدينا:

$$FC = FB = R + r_o \quad , \quad OF = d \quad , \quad OB = OA + AB = R - d + r_o$$

ولدينا:

$$\frac{OF}{\sin a} = \frac{FC}{\sin(180 - q)} = \frac{FC}{\sin q} \Rightarrow \sin a = \frac{OF}{FC} \sin q$$

بالتعويض:

$$\sin a = \frac{d}{R + r_o} \sin q$$

فإذا وضعنا:

$$n = \frac{R + r_o}{d}$$

ينتج:

$$\sin^2 a = \frac{1}{n^2} \sin^2 q \Rightarrow 1 - \cos^2 a = \frac{1}{n^2} \sin^2 q$$

منه:

$$\cos a = \sqrt{1 - \frac{1}{n^2} \sin^2 q}$$

بالتعويض في علاقة إزاحة التابع:

$$x_q = (R + r_o) \sqrt{1 - \frac{1}{n^2} \sin^2 q} - d \cdot \cos q - (R + r_o - d)$$

$$x_q = d \cdot n \sqrt{1 - \frac{1}{n^2} \sin^2 q} - d \cdot \cos q - (R + r_o - d)$$

$$x_q = d[\sqrt{n^2 - \sin^2 q} - \cos q] - (R + r_o - d) \quad (54-6)$$

يلاحظ من معادلة إزاحة (54-6) أنه عندما:

$$q = 0 \Rightarrow x_{(q=0)} = x_A = 0$$

$$q = 180^\circ \Rightarrow x_{(q=180^\circ)} = x_N = d(n+1) - R - r_o + d = d + R + r_o + d - R - r_o$$

$$q = 180^\circ \Rightarrow x_{(q=180^\circ)} = x_N = 2d = S$$

يلاحظ أن إزاحة التابع خلال شوط الرفع تتغير من الصفر عند $(\theta = 0)$ إلى قيمة عظمى تساوي إلى طول الشوط $(S = 2d)$ عند $(\theta = 180^\circ)$.

تحدد معادلة سرعة التابع V_θ من اشتقاق معادلة الإزاحة (54-6) بالنسبة للزمن ، حيث ينتج أن:

$$V_q = \frac{dx_q}{dt} = d \left(\sin q - \frac{2 \sin q \cdot \cos q}{2\sqrt{n^2 - \sin^2 q}} \right) \frac{dq}{dt}$$

$$V_q = w \cdot d \left(\sin q - \frac{\sin 2q}{2\sqrt{n^2 - \sin^2 q}} \right) \quad (55-6)$$

حيث $(\omega = d\theta/dt)$ تمثل السرعة الزاوية الثابتة للكامة ، ويلاحظ من معادلة سرعة التابع (55-6) ، أنه عندما:

$$q = 0 \Rightarrow V_{(q=0)} = V_A = 0$$

$$q = p \Rightarrow V_{(q=p)} = V_N = 0$$

مما يدل على أن سرعة التابع تزداد خلال فترة في شوط الرفع من الصفر عند A $(\theta = 0)$ ، حتى قيمة عظمى V_o ، ثم تتناقص خلال فترة في شوط الرفع من القيمة العظمى V_o حتى تتعزم عند N $(\theta = 180^\circ)$.

تحدد معادلة تسارع التابع A_θ من اشتقاق معادلة السرعة (55-6) بالنسبة للزمن ، حيث ينتج أن:

$$A = \frac{dV_q}{dt} = w^2 \cdot d \left(\cos q - \frac{\sin^4 q + n^2 \cdot \cos 2q}{(n^2 - \sin^2 q)^{3/2}} \right) \quad (56-6)$$

ويلاحظ من معادلة تسارع التابع (46-6) ، أنه عندما:

$$q = 0 \Rightarrow A_{(q=0)} = A_A = w^2 \cdot d (n-1) / n$$

$$q = p \Rightarrow A_{(q=p)} = A_B = -w^2 \cdot d (n+1) / n$$

يلاحظ أن تسارع التابع يبلغ قيمته العظمى خلال الحركة المتسارعة من شوط الرفع ، ومن ثم ينعدم عندما تبلغ سرعة التابع قيمتها العظمى . أما التباطؤ الأعظمي للتابع ، فيحدث بشكل عام عند نهاية شوط الرفع ($\theta = 180^\circ$) ، حيث تنعدم السرعة .

يلاحظ أن المعادلات (54-6) (55-6) (56-6) صحيحة خلال دورة كاملة للكامة ، ويحدث كل من شوطي الرفع والخفض خلال دوران الكامة زاوية 180° ، كما يلاحظ أنها تتغير بحسب قيم d و n ، خلافاً للتابع المسطح الترددي القطري ، حيث المتغير الوحيد هو الاختلاف المركزي ؛ وبالتالي لا يمكن إعطاء شكل عام لمخططاتها .

كتطبيق على ذلك ، تبين المخططات b في (الشكل-6-38) تغير كل من إزاحة التابع ، وسرعته ، وتسارعه خلال شوط الرفع من أجل قيم محدودة للمتغيرات :

$$d = 25 \text{ mm} , \quad R = 38 \text{ mm} , \quad r_o = 22 \text{ mm}$$

أما مخططات حركة التابع خلال شوط الخفض ، فستكون متناظرة معها حول المحور الشاقولي المار من N .

يمكن إيجاد الزاوية التي تحدث عندها السرعة العظمى ، وذلك باشتقاق علاقة سرعة التابع بدلالة الزاوية θ ، وجعلها مساوية الصفر ، ومن ثم حل المعادلة الناتجة تحليلياً أو بالطرق العددية لإيجاد هذه الزاوية .

كتطبيق على ذلك تم إيجاد الزاوية ($\theta = 109.8^\circ$) التي تحدث عندها السرعة العظمى للتابع ، وفق المخططات الموضحة في b من (الشكل-6-38) . وبالتالي تحدث الحركة المتسارعة للتابع في المجال ($0 \leq q \leq 109.8^\circ$) ، والحركة المتباطئة في المجال ($109.8^\circ \leq q \leq 180^\circ$) .

يلاحظ أن هذه الكامة سهلة الصنع ، ويمكن إنتاجها بدقة عالية ، إلا أنها ذات تطبيقات محدودة نسبياً ؛ بسبب عدم إمكان تحقيق فترات سكون ؛ مما يحد من وسائل تعديل حركة التابع بما يلائم أداء معيناً .

- جزء الكامدة cd : ويتألف من قوس دائري ، مركزه على استقامة LM ، وهذا الجزء يعطي تسارعاً كبيراً للتابع ، والصمام ، ويرتفع بذلك التابع بسرعة .
- ظفر الكامدة de : ويتألف من قوس دائري بنصف قطر صغير ، ويعطي تسارعاً منخفضاً نسبياً ، وبعد ذلك تنقص سرعة الصمام إلى الصفر في نهاية رحلته .
- الكامدة متناظرة حول ea ، والتسارع خلال cd يبلغ من ثلاثة إلى أربعة أمثال التسارع خلال de . ويقوم النابض بإبقاء التابع على تماس بالكامدة في الفترة الأخيرة .

13-6- القوى المؤثرة في تركيبة كامدة قرصية

Effective Forces in a Disk Cam

تبين من حالات حركة التابع المختلفة أن تسارع التابع متغير الاتجاه خلال دوران الكامدة . يؤدي ذلك إلى تغير اتجاه قوة العطالة المؤثرة في التابع ، بحيث يكون اتجاهها خلال فترة من الدورة يعمل على إبعاد التابع عن سطح الكامدة . يجب إذن التأثير على التابع بقوة تعاكس قوة العطالة ، وتحافظ على التماس مع سطح الكامدة . يتم ذلك عادة باستعمال نابض مضغوط ، كما هو مبين في (الشكل-6-40) .

يمكن إجراء تحليل كامل للقوى المؤثرة في تركيبة كامدة ؛ باتباع أسس دراسة التحريك نفسها التي سبق توضيحها في الفصل الخامس .

إن القوى المختلفة المؤثرة في مثل هذه التركيبات ، هي:

P قوة خارجية مؤثرة في التابع من وصلة ما يقوم التابع بنقل الحركة إليها .

F^{in} قوة عطالة التابع .

W وزن التابع ، وملحقاته .

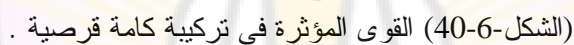
F_k قوة مرونة النابض المؤثرة في التابع .

F_1, F_2 قوى ناظرية مؤثرة من الدليل في التابع .

N قوة ناظرية مؤثرة من الكامدة في التابع .

وكذلك لا بد من معرفة قطر ساق التابع D ، وزاوية الضغط Φ ، ومعامل

الاحتكاك بين التابع ودليله f ، والأبعاد المبينة على الشكل التي تتعلق بتصميم التركيبة ، وتوقعها العملي $a . b . h$.


$$\mathbf{F} = \mathbf{P} + \mathbf{F}^{in} + \mathbf{W} + \mathbf{F}_k$$
$$N \cos f = F + f(F_1 + F_2)$$
$$F_1 = F_2 + N.\sin f$$
$$F_2.b - f.F_2.D = N.a.\sin f + (F - N.\cos f)\frac{D}{2}$$
$$N = \frac{F.b}{b.\cos f - f(2a + b - f.D)\sin f} \quad (57-6)$$

تحدد المعادلة (57-6) قيمة القوة الناعمية عند سطح تماس الكامة مع التابع في أي وضع من أوضاع الكامة ، حيث تكون سرعة التابع متجهة إلى الأعلى . يلاحظ أن قيم F , Φ , a تتغير مع الوضع الزاوي للكامة . تصبح القوة الناعمية N لا نهائية عندما ينعدم مقام المعادلة (57-6) ، وتعين القيمة الحدية للزاوية Φ_m عندئذ من المعادلة:

$$b.\cos f_m - f(2a + b - f.D)\sin f_m = 0$$

ومنه فإن:

$$\tan f_m = \frac{b}{f(2a + b - f.D)} \quad (58-6)$$

أما القوة اللازمة لتأثير النابض ، فإنها تعين من شرط حفظ التماس بين الكامة ، والتابع ؛ إذ إن عدم كفاية القوة يؤدي إلى ابتعاد التابع عن الكامة ، ومن ثم عودته ، وصدمة بقوة صدم كبيرة تنتج منها اهتزازات ، وتخدشات ضارة لسطح الكامة ؛ وبخاصة عند سرعات دوران عالية .

كما يفضل أن يكون النابض مضغوطاً في الأوضاع كافة ، لتأمين تماس دائم حتى عندما يكون التابع في أخفض وضع له . يتم تصميم النابض بالاستعانة بمنحن يبين تغيرات محصلة القوى P , F^{in} , W بالنسبة إلى أوضاع الكامة . تحدد من هذا المنحني الأوضاع الحدية التي ينعدم فيها التماس ؛ وبالتالي تعين قوة النابض . يمكن بعدئذ اختيار النابض المناسب من حيث عامل الصلابة ، والأبعاد .

يستكمل تحليل القوى بتعيين قيمة العزم اللازم لتدوير الكامة . يحدد هذا العزم من (الشكل-6-40) بالمعادلة:

$$T = N.OB = N.h.\sin f \quad (59-6)$$

يلاحظ كذلك من (الشكل-6-40) أن النقطة C هي المركز اللحظي للتركيبة ؛ وبالتالي فإن سرعة التابع هي:

$$V = w.OC = w.h.\tan f \quad (60-6)$$

إن المعادلات من (57-6) ، وحتى (60-6) صحيحة أيضاً في حالة تابع دحرجي ترددي مجنّب . كما أنه يمكن في حالة إهمال الاحتكاك تطبيق هذه المعادلات بخلاف المعادلة (58-6) على دراسة تابع مسطح ترددي .

تجدر الإشارة إلى أن تحليل القوى في أنواع أخرى من الكامات ، يتم من خلال أسس الدراسة نفسها المتبعة لتحريك أية تركيبة آلية ، وضمن المنطلقات التي استعملت في التحليل السابق .

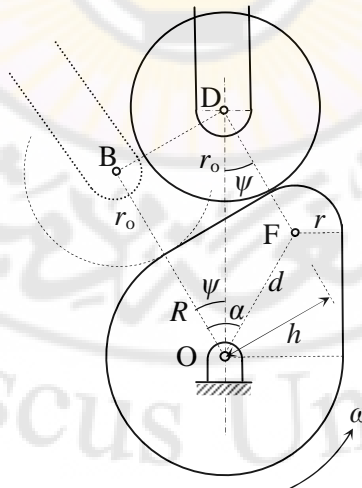
مسألة-3-6

تتصف تركيبة كامة قرصية مماسية ذات جوانب مستقيمة ، مكونة من خطين مستقيمين متساويين ، يمسان كلاً من دائرتي الأساس والأنف ، مع تابع دحرجي ترددي قطري ، كما هي مبينة في (الشكل-6-41) ، بأن:

نصف قطر الدائرة الأساسية للكامة ($R = 25 \text{ mm}$) ، نصف قطر دائرة أنف الكامة ($r = 10 \text{ mm}$) ، البعد بين مركزي دائرتي الأنف والأساس ($d = 30 \text{ mm}$) ، ونصف قطر دحرج التابع ($r_o = 20 \text{ mm}$) .

فإذا كانت كتلة التابع وملحقاته تساوي إلى ($m = 0.8 \text{ kg}$) ، والانضغاط الابتدائي لل نابض المستعمل عندما يكون التابع في أخفض وضع له هو ($\Delta l_{in.} = 5 \text{ mm}$) ، وكانت الكامة تدور بسرعة زاوية ثابتة بعدد دورات قدره ($n = 200 \text{ r.p.m}$) حول محور ثابت مار من O باتجاه عكس حركة دوران عقارب الساعة ، المطلوب:

1. إيجاد عامل صلابة النابض بحيث لا يفقد التابع تماسه مع الكامة .
2. إيجاد قيمة العزم الأعظمي ، واتجاهه اللازم تطبيقه على عمود دوران الكامة المار من O ؛ للتغلب على القوى المؤثرة في التابع .



كامة قرصية مماسية مع تابع دحرجي ترددي قطري .

(الشكل-6-41)

الحل:

1. لتعيين معامل صلابة النابض المستعمل يلزم تحديد المتغيرات الرئيسة المتبقية ، وهي:

شوط التابع S ، ويحدد من العلاقة:

$$S = d + r - R = 30 + 10 - 25 = 15 \text{ mm}$$

وزاوية شوط الرفع α ، وتحدد من العلاقة:

$$\cos \alpha = \frac{R - r}{d} = \frac{25 - 10}{30} = 0.5 \Rightarrow \alpha = 60^\circ$$

وزاوية حركة التابع على جانب الكامة ψ ، وتحدد من العلاقة:

$$\tan y = \frac{d}{R + r_o} \sin \alpha = \frac{30}{25 + 20} \cdot \frac{\sqrt{3}}{2} = \frac{1}{\sqrt{3}} \Rightarrow y = 30^\circ$$

كما تحدد زاوية حركة التابع على جانب الكامة ψ ، من ملاحظة أن المثلث ΔODF المبين في (الشكل-6-41) هو متساوي الساقين ، بحيث:

$$a - y = y \Rightarrow 2y = a \Leftarrow y = 0.5 a = 30^\circ$$

يفقد التابع تماسه مع الكامة عندما تكون قوة عطالة التابع الأعظمية $F_{\max.}^{in} \uparrow$ أكبر ومعاكسة بالاتجاه لمحصلة قوة ثقالة التابع $W \downarrow$ ، وقوة مرونة النابض $F_k \downarrow$ المؤثرة عليه ، ويتحقق ذلك عندما يمس التابع أنف الكامة في شوط الرفع ، خلالها يتحرك التابع حركة متباطئة ، وتكون زاوية الدوران θ محصورة بين:

$$y \leq q \leq a$$

ويحدد عامل صلابة النابض اللازم بحيث لا يفقد التابع تماسه مع الكامة ، من علاقته بقوة مرونة النابض F_k التي تحسب من تطبيق علاقة التوازن الديناميكي على التابع لحظة فقدان التماس .

$$F_{\max.}^{in} + F_k + W = 0$$

حيث F_{\max}^{in} تمثل قوة عطالة التابع ، وتكون أعظمية إما في بداية حركته على أنف الكامرة E ، أو في نهايته N وفقاً لمخطط تسارع التابع المبين في (الشكل-6-33) ، ولتحديد ذلك يحسب قيمة تباطؤ التابع عند هذين الوضعين من علاقة تباطؤ التابع (6-41) الآتية:

$$A_g = -w^2 \cdot d \left[\cos g + \frac{\sin^4 g + n^2 \cdot \cos 2g}{(n^2 - \sin^2 g)^{3/2}} \right]$$

حيث:

$$n = \frac{r + r_o}{d} = \frac{20 + 10}{30} = 1$$

و γ تمثل زاوية حركة التابع على أنف الكامرة ، وتساوي إلى:

$$g = a - q$$

فعندما يمس التابع بداية الأنف في E ، تكون:

$$q = y \Rightarrow g = a - y = 30^\circ$$

وعندما يمس التابع نهاية الأنف في N ، تكون:

$$q = a \Rightarrow g = a - a = 0^\circ$$

ولدينا السرعة الزاوية لدوران الكامرة:

$$w = \frac{2p \times 200}{60} = 20.93 \text{ rad/sec}$$

بالتعويض في علاقة التباطؤ ، تكون قيمة تباطؤ التابع عندما تماسه بداية الأنف في E :

$$A_E = A_{(g=30^\circ)} = 22.76 \text{ m/sec}^2 \downarrow$$

وتكون قيمته عندما تماسه نهاية الأنف في N :

$$A_N = A_{(g=0^\circ)} = 26.28 \text{ m/sec}^2 \downarrow$$

يلاحظ أن:

$$A_N > A_E$$

أي: إن تباطؤ التابع يكون أعظماً عند تماسه نهاية أنف الكامرة ، وقيمته:

$$A_{\max.} = A_N = A_{(g=0^\circ)} = 26.28 \text{ m/sec}^2 \downarrow$$

ومنه قوة عطالة التابع الأعظمية:

$$F_{\max.}^{in} = m \cdot A_{\max.} = 0.8 \times 26.28 = 21.02 \text{ N} \uparrow$$

و W تمثل قوة ثقالة التابع ، وقيمتها تحسب من العلاقة:

$$W = m \cdot g = 0.8 \times 9.81 = 7.85 \text{ N} \downarrow$$

و F_k تمثل قوة مرونة النابض ، وقيمتها تحسب من العلاقة:

$$F_k = k(\Delta l_{in.} + x_{(q=a)}) = k(\Delta l_{in.} + S) = k(5 + 15) = 20 \text{ k N} \downarrow$$

بإسقاط علاقة التوازن الديناميكي على محور الحركة المنطبق على محور التابع وفق الرسم a في (الشكل-6-42) ، نحصل على:

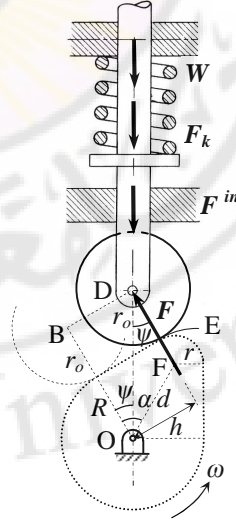
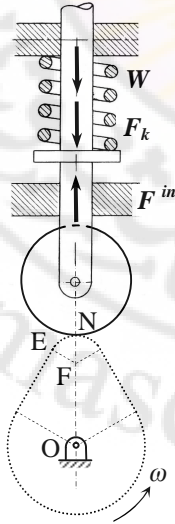
$$F_{\max.}^{in} - F_k - W = 0$$

بالتعويض بالقيم المحسوبة:

$$21.02 - 20 \text{ k} - 7.85 = 0 \Rightarrow 20 \text{ k} = 13.17$$

نحصل على عامل صلابة النابض:

$$k = 0.66 \text{ N / mm} = 0.66 \text{ kN / m}$$



b- القوى المؤثرة على التابع عند $(\theta = \psi)$. a- القوى المؤثرة على تابع لحظة فقدان التماس.

(الشكل-6-42)

2. يكون العزم T المؤثر في عمود دوران الكامنة المار من O أعظمية ، عندما تكون قوة عطالة التابع الأعظمية $\downarrow F_{\max}^{in}$ باتجاه كل من قوة ثقالة التابع $\downarrow W$ ، وقوة مرونة النابض $\downarrow F_k$ المؤثرة فيه ، ويتحقق ذلك عندما يمس التابع جانب الكامنة في شوط الرفع ، يتحرك خلالها التابع حركة متسارعة ، وتكون زاوية الدوران θ محصورة بين:

$$0 \leq q \leq y$$

وتكون قوة عطالة التابع أعظمية عندما يكون تسارع التابع أعظمية ، ويتم ذلك في E نهاية حركته على جانب الكامنة استناداً لمخطط تسارع التابع المبين في (الشكل-6-33) ، ولتعيين القوى المؤثرة في التابع ، يحرر التابع عند نهاية حركته على جانب الكامنة عند الوضع ($q=y=30^\circ$) ، كما هو مبين في الرسم b في (الشكل-6-42) ، وتطبق عليه علاقة التوازن الديناميكي:

$$F_{(q=y)}^{in} + F_{k(q=y)} + W + F_{(q=y)} = 0$$

حيث F_{\max}^{in} تمثل قوة عطالة التابع الأعظمية ، وقيمتها تحسب من العلاقة:

$$F_{(q=y)}^{in} = m \cdot A_{(q=y)}$$

و A_θ تمثل تسارع التابع خلال حركته المتسارعة على جانب الكامنة ، وقيمتها تحسب من العلاقة (6-38):

$$A_q = w^2 (R + r_0) (2 \sec^3 q - \sec q)$$

بالتعويض:

$$A_{(q=y=30^\circ)} = (20.93)^2 (45) 10^{-3} (2 \sec^3 30^\circ - \sec 30^\circ) = 37.94 \text{ m/sec}^2 \uparrow$$

ومنه قوة عطالة التابع:

$$F_{(q=y=30^\circ)}^{in} = m \cdot A_{(q=y=30^\circ)} = 0.8 \times 37.94 = 30.35 \text{ N} \downarrow$$

و F_k تمثل قوة مرونة النابض ، وقيمتها تحسب من العلاقة:

$$F_{k(q=y=30^\circ)} = k (\Delta l_{in.} + x_{(q=y=30^\circ)})$$

حيث x_θ تمثل انتقال التابع خلال حركته على جانب الكامنة ، وقيمتها تحسب من العلاقة (6-36):

$$x = (R + r_0) (\sec q - 1)$$

بالتعويض بالقيم:

$$x_{(q=y=30^\circ)} = (25 + 20) (\sec 30^\circ - 1) = 6.96 \text{ mm} \uparrow$$

ومنه قوة مرونة النابض:

$$F_{k(q=y=30^\circ)} = 0.66(5 + 6.96) = 7.89 \text{ N} \downarrow$$

و W تمثل قوة ثقالة التابع ، و قيمتها تحسب من بالعلاقة:

$$W = m \cdot g = 0.8 \times 9.81 = 7.85 \text{ N} \downarrow$$

و F تمثل قوة القيد أو القوة المنقلة من الكامنة إلى التابع ، ونكون باتجاه الناظم المشترك بين سطح الكامنة ، ودخروج التابع عند نقطة التماس E ، كما هو مبين في الرسم b في (الشكل-6-42) ، وتميل بزاوية $(\theta = \psi)$ على محور التابع التي تمثل زاوية الضغط التي سبق تعريفها ، وقيمتها تحدد من إسقاط علاقة التوازن الديناميكي على محور الحركة المنطبق على محور التابع:

$$F_q^{in} + F_{kq} + W - F \cdot \cos q = 0$$

حيث $F \cdot \cos \theta$ تمثل المركبة المماسية للقوة المنقلة F^T ، وهي باتجاه مسار الحركة ، وتعمل على تحريك التابع بالحركة المطلوبة ، والتغلب على المقاومات المطبقة عليه:

$$F \cdot \cos q = F_q^{in} + F_{kq} + W = \Sigma F$$

منه القوة المنقلة:

$$F_q = \frac{1}{\cos q} (F_q^{in} + F_{kq} + W)$$

وقيمتها:

$$F_{(q=y=30^\circ)} = \frac{1}{\cos 30^\circ} (30.35 + 7.89 + 7.85) = 53.22 \text{ N} \quad \begin{array}{c} 90^\circ - \psi = 60^\circ \end{array}$$

أما العزم T_θ المؤثر من محور الكامنة ، فيحسب من العلاقة:

$$T_q = F_q \cdot h$$

حيث الزراع h يحسب من الرسم b في (الشكل-6-42):

$$q = y \Rightarrow h = (R + r_o) \tan y = d \cdot \sin a = 25.98 \text{ mm}$$

منه العزم الأعظمي المطلوب:

$$T_{(q=y=30^\circ)} = 53.22 \times 25.98 = 1382.69 \text{ N.mm} \uparrow$$

مسألة-4-6

تتصف تركيبة كامدة قرصية ، مكونة من قوسين دائريين متساويين ، يمسان كل من دائرتي الأساس والأنف ، مع تابع مسطح ترددي قطري ، المبينة في الرسم a في (الشكل-43-6) ، بأن:

نصف قطر الدائرة الأساسية للكامدة ($R = 25 \text{ mm}$) ، ونصف قطر دائرة أنف الكامدة ($r = 2.5 \text{ mm}$) ، والبعد بين مركزي دائرتي الأنف والأساس ($d = 32.5 \text{ mm}$) ، ونصف قطر دائرة الجانب ($\rho = 69 \text{ mm}$) .

فإذا كانت كتلة التابع ، وملحقاته تساوي إلى ($m = 2 \text{ kg}$) ، وعامل صلابة النابض المستعمل ($k = 4 \text{ kN/m}$) ، وقوة الانضغاط الابتدائي للنابض المستعمل عندما يكون التابع في أخفض وضع له هو ($F_{k_0} = 100 \text{ N}$) ، وكانت الكامدة تدور بسرعة زاوية ثابتة بعدد دورات قدره ($n = 480 \text{ r.p.m}$) حول محور ثابت مار من O باتجاه حركة دوران عقارب الساعة ، المطلوب:

1. تعيين زاوية دوران الكامدة التي عندها يفقد التابع تماسه مع الكامدة .
2. إيجاد قيمة العزم المطبق على عمود دوران الكامدة المار من O عند الوضع الزاوي ($\theta = 20^\circ$) واتجاهه ، والنتائج عن القوى المؤثرة في التابع .

الحل:

1. لتعيين زاوية دوران الكامدة يلزم تحديد المتغيرات الرئيسية المتبقية ، وهي:
زاوية شوط الرفع α ، وتحدد من العلاقة:

$$r = \frac{R^2 - r^2 + d^2 - 2R.d \cos \alpha}{2(R - r - d.\cos \alpha)}$$

$$69 \times 2(25 - 2.5 - 32.5 \cos \alpha) = (25)^2 - (2.5)^2 + (32.5)^2 - 2 \times 25 \times 32.5 \times \cos \alpha$$

$$2860 \cos \alpha = 1430 \Rightarrow \cos \alpha = 0.5 \Rightarrow \alpha = 60^\circ$$

وزاوية حركة التابع على جانب الكامدة ψ ، وتحدد من العلاقة:

$$\sin y = \frac{d}{r - r} \sin \alpha = \frac{32.5}{69 - 2.5} \sin 60 = 0.4232454 \Rightarrow y = 25^\circ$$

وشوط التابع S ، ويحدد من العلاقة:

$$S = d + r - R = 32.5 + 2.5 - 25 = 10 \text{ mm}$$

يفقد التابع تماسه مع الكامنة عندما تكون قوة عطالة التابع $F^{in} \uparrow$ أكبر ، ومعاكسة بالاتجاه لمحصلة قوة ثقالة التابع $W \downarrow$ ، وقوة مرونة النابض $F_k \downarrow$ المؤثرة فيه ، ويتحقق ذلك عندما يمس التابع أنف الكامنة في شوط الرفع ، يتحرك التابع خلالها حركة متباطئة ، وتكون زاوية الدوران θ محصورة بين:

$$y \leq q \leq a$$

وتحدد زاوية دوران الكامنة θ التي عندها يفقد التابع تماسه مع الكامنة خلال حركته المتباطئة على أنف الكامنة ($\theta > \psi$) ، من تطبيق علاقة التوازن الديناميكي على التابع لحظة فقدان التماس:

$$F_q^{in} + F_k + W = 0$$

حيث F_{max}^{in} تمثل قوة عطالة التابع ، وقيمتها تحسب من العلاقة:

$$F_q^{in} = m \cdot A_q$$

و A_θ تمثل تباطؤ التابع خلال حركته على أنف الكامنة ، وقيمتها تحسب من العلاقة (49-6):

$$A_q = w^2 \cdot d \cdot \cos(a - q)$$

بالتعويض:

$$A_q = \left(\frac{2p \times 480}{60}\right)^2 \times 0.0325 \times \cos(a - q) = 82.115 \cos(a - q) \downarrow$$

ومنه قوة عطالة التابع:

$$F_q^{in} = 2 \times 82.115 \cos(a - q) = 164.23 \cos(a - q) \uparrow$$

و W تمثل قوة ثقالة التابع ، وقيمتها تحسب من العلاقة:

$$W = m \cdot g = 2 \times 9.81 = 19.62 \text{ N} \downarrow$$

و F_k تمثل قوة مرونة النابض ، وقيمتها تحسب من العلاقة:

$$F_k = k(\Delta l_{in} + x_q) = F_{k_0} + F_{k_q} = F_{k_0} + k \cdot x_q$$

حيث x_θ تمثل انتقال التابع خلال حركته على أنف الكامنة ، وقيمتها تعطى بالعلاقة (47-6):

$$x_q = d \cdot \cos(a - q) + r - R$$

بالتعويض:

$$x_q = 32.5 \cdot \cos(a - q) - 22.5 \uparrow$$

ومنه قوة مرونة النابض:

$$F_k = 100 + 4[32.5 \cos(a - q) - 22.5] = 10 + 130 \cos(a - q) \downarrow$$

تسقط علاقة التوازن الديناميكي على محور الحركة المنطبق على محور التابع وفق الرسم a في (الشكل-6-43) ، نحصل على:

$$F_q^{in} - F_k - W = 0$$

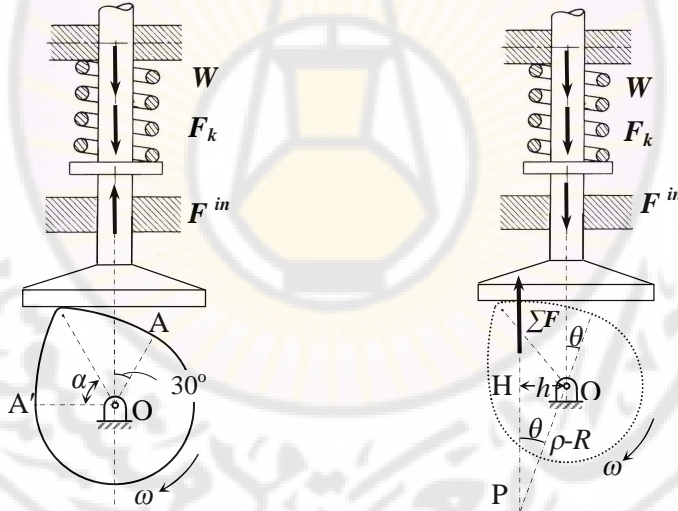
بالتعويض بالقيم المحسوبة:

$$164.23 \cos(a - q) - [10 + 130 \cos(a - q)] - 19.62 = 0$$

$$34.23 \cos(a - q) = 29.62 \Rightarrow \cos(a - q) = 0.866$$

$$a - q = 30^\circ \Rightarrow q = 60^\circ - 30^\circ = 30^\circ$$

عندها يفقد التابع تماسه مع الكامة خلال حركته على أنف الكامة ($\theta > \psi$) .



b- القوى المؤثرة في التابع عند ($\theta = 20^\circ$) . a- القوى المؤثرة في التابع لحظة فقدان التماس.

(الشكل-6-43)

2. يعطى العزم المطبق على عمود دوران الكامة المار من O ، والنتائج عن القوى

المؤثرة في التابع عند تماسه مع الكامة عدد الوضع ($q = 20^\circ$) ، والمبينة في الرسم b من (الشكل-6-43) ، بالعلاقة الآتية:

$$T_{(q=20^\circ)} = \sum F_{(q=20^\circ)} \cdot h_{(q=20^\circ)}$$

حيث $h_{(q=20^\circ)}$ تمثل ذراع محصلة القوى $\sum F_{(q=20^\circ)}$ المؤثرة في التابع بالنسبة لعمود دوران الكامنة ، الموضح في الرسم b في (الشكل-6-43):

$$h_{(q=20^\circ)} = OH = OP \cdot \sin q = (r - R) \cdot \sin q$$

$$= 44 \sin 20^\circ = 15 \text{ mm}$$

و $\sum F_{(\theta=20^\circ)}$ تمثل محصلة القوى المؤثرة في التابع ، وهي:

$$\sum F_{(\theta=20^\circ)} = F_{(\theta=20^\circ)}^{in} + W + F_{k(\theta=20^\circ)}$$

حيث $F_{(q=20^\circ)}^{in}$ قوة عطالة التابع ، وقيمتها تحسب من العلاقة:

$$F_{(q=20^\circ)}^{in} = m \cdot A_{(q=20^\circ)}$$

و A_θ تمثل تسارع التابع خلال حركته على جانب الكامنة ، وقيمتها تحسب من العلاقة (6-46):

$$A_q = w^2 (r - R) \cos q \uparrow$$

بالتعويض:

$$A_{(q=20^\circ)} = \left(\frac{2p \times 480}{60} \right)^2 \times (0.069 - 0.025) \cos 20^\circ = 104.36 \text{ m/sec}^2 \uparrow$$

ومنه قوة عطالة التابع:

$$F_{(q=20^\circ)}^{in} = 2 \times 104.36 = 208.72 \text{ N} \downarrow$$

و W تمثل قوة ثقالة التابع ، وقيمتها تحسب من العلاقة:

$$W = m \cdot g = 2 \times 9.81 = 19.62 \text{ N} \downarrow$$

و F_k تمثل قوة مرونة النابض ، وقيمتها تحسب من العلاقة:

$$F_k = k(\Delta L_{in.} + x_q) = F_{k0} + F_{kq} = F_{k0} + k \cdot x_q$$

حيث x_θ تمثل انتقال التابع خلال حركته على جانب الكامنة ، وقيمتها تحسب من العلاقة (6-44):

$$x_q = (r - R) (1 - \cos q)$$

بالتعويض:

$$x_{(q=20^\circ)} = (69 - 25) (1 - \cos 20^\circ) = 2.6535 \text{ mm} \uparrow$$

ومنه قوة مرونة النابض:

$$F_k = 100 + 4 \times 2.6535 = 110.614 \text{ N} \downarrow$$

بإسقاط علاقة محصلة القوى على محور التابع ، نحصل على:

$$\sum F_{(q=20^\circ)} = F_{(q=20^\circ)}^{in} + W + (F_{k0} + F_{k(q=20^\circ)})$$

بالتعويض بالقيم المحسوبة ، نحصل على محصلة القوى المؤثرة في التابع:

$$\sum F_{(q=20^\circ)} = 208.72 + 19.62 + 102.66 = 331 \text{ N} \downarrow$$

بالتعويض في علاقة العزم ، نحصل على العزم المطبق على عمود دوران الكامنة:

$$T_{(q=20^\circ)} = 331 \times 15 = 4965 \text{ N.mm} \approx 4.96 \text{ N.m} \downarrow$$

مسألة-5-6

كامنة قرصية مكونة من قوسين دائريين متساويين ، يمسان كلاً من دائرتي الأساس والأنف . تتصف بأن:

نصف قطر الدائرة الأساسية ($R = 15 \text{ mm}$) ، وزاوية عملها الكلية ($2\alpha = 150^\circ$) ، تدور بسرعة زاوية ثابتة باتجاه حركة دوران عقارب الساعة ، لتحرك تابعاً مسطحاً ترددياً قطرياً ، بحيث تتصف حركته بشوط قدره ($S = 6 \text{ mm}$) ، وفترة تسارعه خلال شوط الرفع تساوي نصف فترة تباطئه .

فإذا كانت كتلة التابع وملحقاته تساوي إلى ($m = 1 \text{ kg}$) ، عامل صلابة النابض المستعمل ($k = 4 \text{ kN/m}$) ، وكانت الكامنة تدور بسرعة زاوية ثابتة بعدد دورات قدره ($n = 1250 \text{ r.p.m}$) حول محور ثابت مار من O باتجاه حركة دوران عقارب الساعة ، المطلوب إيجاد مقدار الانضغاط الابتدائي اللازم للنابض المستعمل حتى لا يفقد التابع تماسه مع الكامنة .

الحل:

لتعيين الانضغاط الابتدائي للنابض المستعمل يلزم تحديد المتغيرات الرئيسة المتبقية

وهي:

زاوية حركة التابع على الجانب φ ، وتحدد من الشرط:

$$y = \frac{1}{2}(a - y) \Rightarrow y = \frac{a}{3} = \frac{75}{3} = 25^\circ$$

أما r نصف قطر دائرة الأنف ، ρ نصف قطر دائرة الجانب ، و d البعد بين مركزي دائرتي الأنف والأساس ، فإنها تحدد من العلاقات الآتية:

$$S = d + r - R \Rightarrow 6 = d + r - 15 \Rightarrow d = 21 - r \quad (1)$$

$$r = \frac{R^2 - r^2 + d^2 - 2R.d.\cos a}{2(R - r - d.\cos a)} = \frac{(15)^2 - r^2 + d^2 - 2 \times 15 \times 0.2588d}{2(15 - r - 0.2588d)} \quad (2)$$

$$\sin y = \frac{d}{r - r} \sin a \Rightarrow \frac{d}{r - r} = \frac{\sin y}{\sin a} = \frac{\sin 25}{\sin 75} = 0.4375 \quad (3)$$

حل العلاقات (1) و (2) و (3):

من (1) و (3):

$$\frac{21 - r}{r - r} = 0.4375 \Rightarrow 21 - r = 0.4375(r - r)$$

$$r = 37.33 - 0.777r \quad (4)$$

بالتعويض في (1):

$$d = 21 - r \Rightarrow d = 0.777r - 16.33 \quad (5)$$

بتعويض (4) و (5) في (2) ، نحصل على معادلة من الدرجة الثانية لـ ρ :

$$1.154 r^2 - 62.83 r + 775 = 0$$

بحل المعادلة نحصل على:

$$r_1 = 35.56 \text{ mm} , \quad r_2 = 18.88 \text{ mm}$$

بتعويض القيمة الثانية في (5):

$$d = -1.66 \text{ mm} < 0$$

بالتالي تكون قيمة نصف قطر دائرة الجانب:

$$r = r_1 = 35.56 \text{ mm}$$

ومن (4) تكون قيمة نصف قطر دائرة الأنف:

$$r = 37.33 - 0.777 \times 35.56 = 9.7 \text{ mm}$$

ومن (5) يكون البعد بين مركزي دائرتي الأنف ، والأساس:

$$d = 0.777 \times 35.56 - 16.33 = 11.3 \text{ mm}$$

يفقد التابع تماسه مع الكامه عندما تكون قوة عطالة التابع الأعظمية $F_{\max.}^{in} \uparrow$ أكبر ومعاكسة بالاتجاه لمحصلة قوة ثقالة التابع $W \downarrow$ ، وقوة مرونة النابض $F_k \downarrow$ المؤثرة فيه ، ويتحقق ذلك عندما يمس التابع أنف الكامه في شوط الرفع ، يتحرك التابع خلالها حركة متباطئة ، وتكون زاوية الدوران θ محصورة بين:

$$y \leq q \leq a$$

ويحدد مقدار الانضغاط الابتدائي للنابض المستعمل حتى لا يفقد التابع تماسه مع الكامه ، من علاقته بقوة مرونة النابض F_k التي تحسب من تطبيق علاقة التوازن الديناميكي على التابع لحظة فقدان التماس .

$$F_{\max.}^{in} + F_k + W = 0$$

حيث $F_{\max.}^{in}$ تمثل قوة عطالة التابع الأعظمية ، وقيمتها تحسب من العلاقة:

$$F_{\max.}^{in} = m \cdot A_{\max.}$$

و $A_{\max.}$ تمثل تباطؤ التابع الأعظمي ، وقيمته تحسب من علاقة تباطؤ التابع خلال حركته على أنف الكامه ، العلاقة (49-6):

$$A_q = w^2 \cdot d \cdot \cos(a - q)$$

حيث لدينا السرعة الزاوية لدوران الكامه:

$$w = \frac{2p \times 1250}{60} = 130.83 \text{ rad/sec}$$

ويكون التباطؤ أعظماً عندما يمس نهاية انف الكامه ؛ أي عند $(\theta = \alpha = 75^\circ)$ ، وقيمته:

$$A_{\max.} = A_{(q=a)} = w^2 \cdot d = (130.83)^2 \times 11.3 \times 10^{-3} = 193.43 \text{ m/sec}^2 \downarrow$$

ومنه قوة عطالة التابع الأعظمية:

$$F_q^{in} = 1 \times 193.42 = 193.42 \text{ N} \uparrow$$

و W تمثل قوة ثقالة التابع ، وقيمتها تحسب من بالعلاقة:

$$W = m \cdot g = 1 \times 9.81 = 9.81 \text{ N} \downarrow$$

و F_k تمثل قوة مرونة النابض ، وقيمتها تحسب من العلاقة:

$$F_k = k(\Delta l_{in.} + x_q)$$

حيث x_θ انتقال التابع خلال حركته على أنف الكامة ، وقيمته تحسب من العلاقة (47-6):

$$x_q = d \cdot \cos(a - q) + r - R$$

وقيمته عندما يمس نهاية أنف الكامة ، أي عند $(\theta = \alpha = 75^\circ)$:

$$x_{(q=a)} = d \cdot \cos(a - a) + r - R = d + r - R = S = 6 \text{ mm}$$

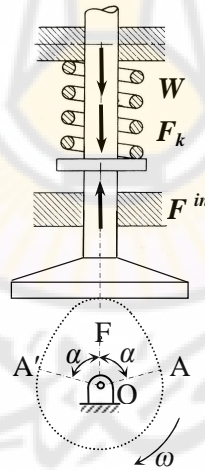
ومنه قوة مرونة النابض:

$$F_k = 4 \times 10^3 (\Delta l_{in.} + 6 \times 10^{-3}) = (4000 \Delta l_{in.} + 24) \text{ N} \downarrow$$

تسقط علاقة التوازن الديناميكي على محور الحركة ، المنطبق على محور التابع

وفق (الشكل-6-44) ، نحصل على:

$$F_q^{in} - F_k - W = 0$$



(الشكل-6-44) القوى المؤثرة على التابع عند $(\theta = \alpha)$.

بالتعويض بالقيم المحسوبة ، نحصل على مقدار الانضغاط الابتدائي اللازم للنابض المستعمل:

$$193.42 - (4000 \Delta l_{in} + 24) - 9.81 = 0$$

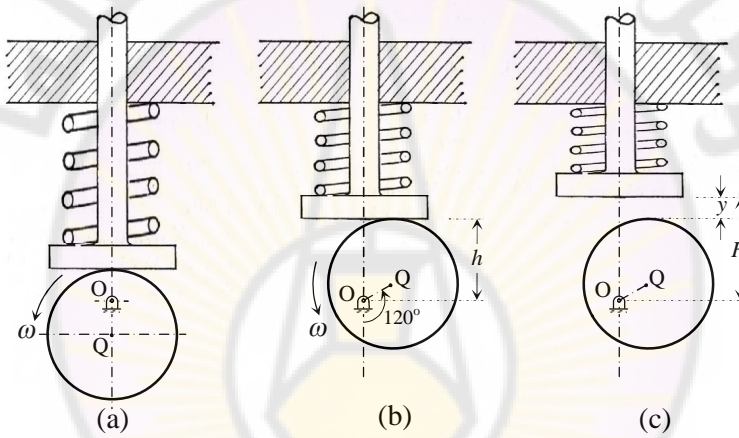
$$4000 \Delta l_{in} = 193.42 - 24 - 9.81 = 159.61$$

$$\Delta l_{in} = 0.04 \text{ m} = 40 \text{ mm}$$

مسألة-6-6

تدور كامة دائرية مركزها Q نصف قطرها ($R = 75 \text{ mm}$) حول محور مار من O بسرعة ثابتة باتجاه عكس دوران عقارب الساعة ، حيث الاختلاف المركزي ($d = OQ = 38 \text{ mm}$) .

تحرك هذه الكامة تابعاً مسطحاً ترددياً قطرياً كتلته ($M = 0.8 \text{ kg}$) ، ويؤثر فيه نابض عامل صلابته ($k = 10 \text{ kN/m}$) ، وانضغاطه الابتدائي في الوضع المبين في a من (الشكل-6-45) هو ($x_0 = 32 \text{ mm}$) .



(الشكل-6-45) كامة دائرية مع تابع مسطح ونابض .

وجد أن التابع يفقد التماس مع سطح الكامة عند سرعة معينة ، حيث تكون الكامة قد دارت زاوية ($\theta = 120^\circ$) من أخفض وضع للتابع ، والمطلوب بعد إهمال تأثير وزن التابع ، وكتلة النابض ما يلي:

1. حساب قيمة سرعة دوران الكامة هذه .
2. أقصى ارتفاع يصله التابع فوق المحور المار من مركز الدوران O .

الحل:

1. تحدد السرعة الزاوية لدوران الكامة عندما يفقد التابع تماسه مع الكامة ، من علاقته بقوة عطالة التابع F^{in} التي تحسب من تطبيق علاقة التوازن الديناميكي على التابع لحظة فقدان التماس في الوضع ($\theta = 120^\circ$) :

$$F^{in} + F_k = 0$$

حيث F^{in} تمثل قوة عطالة التابع ، وقيمتها تحسب من العلاقة:

$$F^{in} = M \cdot A_{(q=120^\circ)}$$

و $A_{(q=120^\circ)}$ يمثل تباطؤ التابع ، وقيمته تحسب من معادلة إزاحة التابع (51-6):

$$x = d(1 - \cos q) \Rightarrow A = w^2 \cdot d \cdot \cos q \Rightarrow A_{(q=120^\circ)} = 0.019 w^2 \downarrow$$

بالتعويض في علاقة قوة عطالة التابع ، نحصل على:

$$F^{in} = 0.0152 w^2 \uparrow$$

و F_k تمثل قوة مرونة النابض ، وقيمتها تحسب من العلاقة:

$$F_k = K[\Delta l_{in} + x_{(q=120^\circ)}]$$

$$F_k = 10 \times 10^3 [0.032 + 0.038(1 + 0.5)] = 890 \text{ N} \downarrow$$

بالتعويض عن هذه القيم في معادلة توازن القوى بعد إسقاطها على محور التابع ، ينتج أن:

$$0.0152 w^2 - 890 = 0 \Rightarrow w^2 = 58552.631 \text{ rad}^2 / \text{sec}^2$$

منه السرعة الزاوية المطلوبة لدوران الكامنة:

$$w = 242 \text{ rad/sec} = 2312 \text{ r.p.m}$$

2. إن أقصى ارتفاع يصله التابع فوق مركز الدوران O هو:

$$H = h + y$$

حيث h تمثل ارتفاع التابع فوق O عند لحظة ابتعاده عن سطح الكامنة كما هو مبين في b من (الشكل-6-45) ؛ أي:

$$h = x_{(q=120^\circ)} + (R - d) = 57 + (75 - 38) = 94 \text{ mm}$$

و y تمثل ارتفاع التابع الناتج من تغير القدرة الحركية ، بدءاً من لحظة فقدان التماس وحتى تصبح سرعته معدومة ($V_1 = 0$) كما هو مبين في c من (الشكل-6-45) ، ويحسب من تطبيق معادلة تغير القدرة الحركية خلال ذلك:

$$E_c^1 - E_c^0 = w_{F_k} = \frac{K}{2} (\Delta l_{in}^2 - \Delta l_{fin}^2)$$

$$\frac{1}{2} M [V_1^2 - V_{(q=120^\circ)}^2] = \frac{K}{2} [(\Delta l_{in} + x_{(q=120^\circ)})^2 - (\Delta l_{in} + x_{(q=120^\circ)} + y)^2]$$

حيث $V_{(q=120^\circ)}$ تمثل سرعة التابع لحظة فقدان التماس ، وتحسب من معادلة إزاحة التابع:

$$x = d(1 - \cos q) \Rightarrow \dot{x} = V = w.d.\sin q \Rightarrow V_{(q=120^\circ)} = 7.96 \text{ m/sec}$$

بالتعويض في معادلة تغير القدرة الحركية ، والحل ينتج أن:

$$y = 25 \text{ mm}$$

بالتعويض في معادلة الارتفاع المطلوب ، نحصل على أن:

$$H = 119 \text{ mm}$$

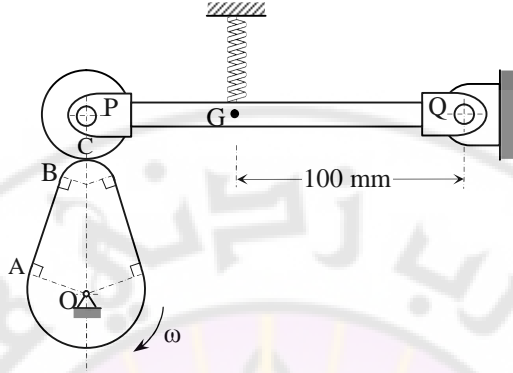
مسألة-6-7

يبين (الشكل-6-46) تركيبية كاماة قرصية مماسية تدور بسرعة زاوية ثابتة ، بعدد دورات قدره 200 r.p.m حول محور ثابت مار من مركز دوران الكاماة O باتجاه دوران عقارب الساعة ؛ لتحرك تابعاً دحروجياً يتأرجح حول المفصل الثابت Q الذي يتحرك حول وضعه الأفقي بزوايتين متساويتين ، ويستند على الكاماة بتأثير كل من وزنه وقوة نابض مضغوط عند مركز ثقله G .

فإذا كان نصف قطر الدائرة الأساسية ($R = 25 \text{ mm}$) ، ونصف قطر دائرة الأنف ($r = 10 \text{ mm}$) ، والبعد بين مركزي دائرتي الأنف والأساس ($d = 75 \text{ mm}$) ، ونصف قطر الدحروج ($r_o = 50 \text{ mm}$) .

وكان طول التابع ($PQ = 160 \text{ mm}$) ، وكتلته ($m = 0.8$) ، ومركز ثقله G يبعد عن المفصل الثابت Q مقدار ($GQ = 100 \text{ mm}$) ، ونصف قطر عطالته حول G يساوي ($\rho_G = 60 \text{ mm}$) ، ومقدار الانضغاط الابتدائي للنابض عندما يمس التابع الكاماة في أخفض وضع له يساوي إلى ($\Delta l_{in.} = 5 \text{ mm}$) .

وكان التابع يتحرك حول وضعه الأفقي بزوايتين متساويتين ، ويستند إلى الكاماة بتأثير وزنه فقط . المطلوب باعتبار أن مسار نقطة الأثر P خطٌ مستقيمٌ شاقوليٌّ مارٌّ من مركز دوران الكاماة O ، إيجاد عامل صلابة النابض بحيث لا يفقد التابع تماسه مع الكاماة .



(الشكل-6-46) كامنة قرصية مماسية مع تابع دحروجي تآرجي

الحل:

لتعيين معامل صلابة النابض المستعمل يلزم تحديد المتغيرات الرئيسة المتبقية ، وهي:

شوط التابع S ، ويحدد من العلاقة:

$$S = d + r - R = 75 + 10 - 25 = 60 \text{ mm}$$

وزاوية شوط الرفع α ، وتحدد من العلاقة:

$$\cos \alpha = \frac{R - r}{d} = \frac{25 - 10}{75} = 0.2 \Rightarrow \alpha = 78.463^\circ$$

وزاوية حركة التابع على جانب الكامنة ψ ، وتحدد من العلاقة:

$$\tan y = \frac{d}{R + r_o} \sin \alpha = \frac{75}{25 + 50} \cdot 0.979795 \Rightarrow y = 44.415^\circ$$

يفقد التابع الدحروجي التآرجي تماسه مع الكامنة عندما يكون تأثير قوة عطالة التابع الأعظمية F_{\max}^{in} ، أكبر ومعاكس بالاتجاه من تأثير محصلة قوة ثقالة التابع W وقوة مرونة النابض F_k حول مركز التآرج Q للتابع ، ويتحقق ذلك عندما يمس التابع أنف الكامنة في شوط الرفع ، يتأرجح التابع خلالها حول مركز تمفصله Q بحركة متباطئة ، وتكون زاوية دوران الكامنة θ محصورة بين:

$$y \leq q \leq a$$

وتكون قوة عطالة التابع أعظمية F_{\max}^{in} موافقة مع قيمة التباطؤ الأعظمي للتابع ، وذلك إما في بداية حركته على أنف الكامة أو في نهايته ؛ ولأن مسار نقطة الأثر P يقارب مستقيماً شاقولياً ماراً من مركز دوران الكامة O ؛ بالتالي تكون علاقة قيمة تباطؤ نقطة الأثر P تطابق علاقة قيمة تباطؤ نقطة الأثر لتابع ترددي قطري (6-41) ، الآتية:

$$A = w^2 \cdot d \left[\cos g + \frac{\sin^4 g + n^2 \cdot \cos 2g}{(n^2 - \sin^2 g)^{3/2}} \right]$$

حيث:

$$n = \frac{r + r_o}{d} = \frac{10 + 50}{75} = 0.8$$

و γ زاوية حركة التابع على أنف الكامة ، وتساوي:

$$g = a - q$$

واستناداً لمخطط تسارع التابع المبين في (الشكل-6-33) ، ولتحديد قيمة تباطؤ نقطة الأثر P ، فعندما يمس التابع بداية الأنف في E ، تكون:

$$q = y \Rightarrow g = a - y = 78.46 - 44.42 \approx 34.04^\circ$$

وعندما يمس التابع نهاية الأنف في N ، تكون:

$$q = a \Rightarrow g = a - a = 0^\circ$$

ولدينا السرعة الزاوية لدوران الكامة:

$$w = \frac{2p \times 200}{60} = 20.93 \text{ rad/sec}$$

بالتعويض في علاقة التباطؤ تكون قيمة تباطؤ التابع عندما يمس بداية الأنف في E :

$$(A_p)_E = (A_p)_{(g=34.04)} = 86.66 \text{ m/sec}^2$$

وتكون قيمته عندما يمس التابع نهاية الأنف في N :

$$(A_p)_N = (A_p)_{(g=0^\circ)} = 74.02 \text{ m/sec}^2$$

يلاحظ أن:

$$(A_p)_E > (A_p)_N$$

أي: إن تباطؤ نقطة الأثر P للتابع يكون أعظماً عند تماسه بداية أنف الكامة ، وقيمته:

$$(A_p)_{\max.} = (A_p)_E = (A_p)_{(g=34.04^\circ)} = 86.66 \text{ m/sec}^2 \downarrow$$

بالتالي يحدد عامل صلابة النابض اللازم k بحيث لا يفقد التابع تماسه مع الكامة من علاقته بقوة مرونة النابض F_k التي تحسب من تطبيق علاقات التوازن الديناميكي على التابع المتأرجح لحظة فقدان تماسه مع الكامة في E :

$$F^{in} + \Sigma F^e = 0 \quad , \quad T_G^{in} + T_G^e = 0$$

بالاعتماد على المخطط التوضيحي لمخطط الجسم الحر للذراع المتأرجح في (الشكل-6-47) الذي يبين القوى ، والعزم العطالي T_G^{in} المؤثرة فيه يمكن إيجاد قيمة مركبتي قوة القيد R_x, R_y في Q بإسقاط علاقة القوى على محورين متعامدين.



المجموعة العطالية للتابع. مجموعة القوى المؤثرة على التابع.

(الشكل-6-47) التوازن الديناميكي للتابع المتأرجح لحظة فقدان تماسه مع الكامة .

وبتطبيق علاقة العزوم حول المفصل الثابت Q :

$$T_G^{in} + F^{in} \cdot GQ - (F_k + W) GQ = 0$$

حيث T_G^{in} تمثل العزم العطالي ، ويحسب من العلاقة:

$$T_G^{in} = e_1 \cdot I_G$$

و ϵ_1 تمثل التسارع الزاوي لدوران التابع حول Q ، ويحسب من العلاقة:

$$e_1 = \frac{A_{PQ}^t}{PQ} = \frac{(A_P)_E}{PQ} = \frac{86.66}{0.16} = 541.63 \text{ rad / sec}^2$$

و I_G تمثل عزم عطالة التابع الكتلي حول مركز كتلته G ، ويحسب من العلاقة:

$$I_G = m \cdot r_G^2 = 0.8(0.06)^2 = 2.88 \times 10^{-3} \text{ kg.m}^2$$

منه العزم العطالي:

$$T_G^{in} = 541.63 \times 2.88 \times 10^{-3} = 1.56 \text{ N.m}$$

و F^{in} تمثل قوة عطالة التابع ، وتحسب من العلاقة:

$$F^{in} = m \cdot A_G = m \cdot A_G^t = m \cdot e_1 \cdot GQ = 0.8 \times 541.63 \times 0.1 = 43.33 \text{ N} \uparrow$$

و F_k تمثل قوة مرونة النابض ، وتعطى بالعلاقة:

$$F_k = k(\Delta l_{in} + x_G)$$

و x_G تمثل مقدار انضغاط النابض الذي يساوي انتقال مركز الثقل ، ويحسب من العلاقة:

$$\frac{S}{PQ} = \frac{x_G}{GQ} \Rightarrow x_G = \frac{GQ}{PQ} S = \frac{100}{160} 60 = 37.5 \text{ mm} \uparrow$$

منه قوة مرونة النابض:

$$F_k = k(0.005 + 0.0375) = 0.0425 k \text{ N} \downarrow$$

و W تمثل قوة ثقالة التابع ، وتعطى بالعلاقة:

$$W = m \cdot g = 0.8 \times 9.81 = 7.85 \text{ N} \downarrow$$

بتعويض القيم المحسوبة في علاقة العزم:

$$1.56 + 43.33 \times 0.1 - (0.0425 k + 7.85) 0.1 = 0 \Rightarrow 0.00425 k = 5.108$$

منه عامل صلابة النابض المستعمل:

$$0.00425 k = 5.108 \Rightarrow k \approx 1200 \text{ N/m}$$

مسألة-6-8

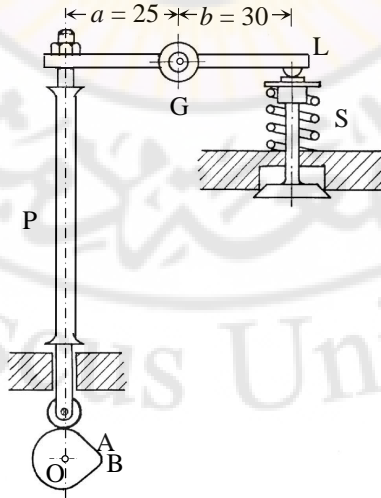
يبين (الشكل-6-48) تركيبة كامنة مماسية تستعمل في فتح صمام السحب ، وإغلاقه في محرك احتراق داخلي رباعي الشوط . من المطلوب أن يفتح الصمام عندما يكون الوضع الزاوي متقدماً بزاوية 10° قبل النقطة الميتة الداخلية ، وأن يغلق عندما يكون المرفق قد دار بزاوية 50° بعد النقطة الميتة الخارجية .

تتقل الحركة من التابع الدحروجي إلى الصمام عبر ذراع الدفع الشاقولي P الذي يمر من محور عمود الدوران O ، والذراع الأفقي L المتأرجح حول مركز ثقله G ، ويحافظ النابض K المركب على ساق الصمام على تماس التابع ، والكامنة خلال كامل فترة العمل . فإذا كانت المعطيات المعروفة لهذه التركيبة ، هي:

نصف قطر الدائرة الأساسية للكامنة ($R = 12 \text{ mm}$) ، ونصف قطر دائرة أنف الكامنة ($r = 6 \text{ mm}$) ، ونصف قطر دحروج التابع ($r_0 = 6 \text{ mm}$) .

وكان نصف قطر عطالة الذراع L حول G ($\rho_G = 20 \text{ mm}$) ، كتلة التابع وذراع الدفع ($M_P = 0.16 \text{ kg}$) ، كتلة الصمام والنابض المكافئة ($M_K = 0.07 \text{ kg}$) ، كتلة الذراع المتأرجح ($M_L = 0.2 \text{ kg}$) .

وكانت سرعة دوران الكامنة حول محورها ($n = 2000 \text{ r.p.m}$) . المطلوب تعيين قيمة قوة النابض اللازمة للحفاظ على تماس التابع ، والكامنة خلال دورة كاملة للكامنة .



(الشكل-6-48) تركيبة كامنة مماسية مع صمام السحب .

الحل:

تبين لنا من تحليل حركة التابع الدحرجي ، خلال شوط الرفع ، على كامنة مماسية في الفقرة (6-11-1) أن حركة التابع تكون متباطئة خلال تماسه أنف الكامنة ، حيث ينتج من ذلك أن اتجاه قوة عطالة التابع هو باتجاه إبعاد التابع P عن الكامنة ؛ وبالتالي فإن قوة النابض تستخدم للحفاظ على التماس ، وتعين وفقاً للقيمة العظمى للتباطؤ خلال شوط الرفع .

يتعين قيمة التباطؤ ، استناداً إلى المعادلة (6-41):

$$A = w^2 . d \left[\cos g + \frac{\sin^4 g + n^2 . \cos 2g}{(n^2 - \sin^2 g)^{3/2}} \right]$$

يلزم حساب كل من d ، a ، n . يمكن تحديد زاوية عمل الكامنة 2α انطلاقاً من أنها تدور دورة واحدة لكل دورتين للمرفق ؛ لأن المحرك رباعي الشوط ومنه فإن:

$$2a = \frac{10 + 180 + 50}{2} = 120^\circ \Rightarrow a = 60^\circ$$

وبالتالي:

$$d = \frac{R - r}{\cos a} = 12 \text{ mm}$$

ومنه:

$$n = \frac{r + r_0}{d} = 1$$

استناداً إلى (الشكل-6-48) ، فإن التباطؤ الأعظمي للتابع يمكن أن يحدث عند بدء الحركة على الأنف عند A ، أو في نهاية شوط الرفع عند B ؛ أي عندما تصبح الكامنة في حالتنا شاقولية ؛ بالتالي لا بد من حساب تباطؤ التابع في الوضعين ؛ لذلك يلزم تعيين زاوية الجانب ψ ، حيث:

$$\tan y = \frac{d}{R + r_0} \sin a = \frac{\sqrt{3}}{3} \Rightarrow y = 30^\circ$$

ولدينا السرعة الزاوية لدوران الكامنة:

$$w = \frac{2p \times 2000}{60} = 209.3 \text{ rad / sec}$$

بالتالي بحسب تباطؤ التابع من معادلة التباطؤ عند بدء الحركة على الأنف عند A ،
حيث $(\gamma = \alpha - \psi = 30^\circ)$:

$$A_{g=30^\circ} = (A_p)_A = w^2 \cdot d \left[\cos 30^\circ + \frac{\sin^4 30^\circ + n^2 \cdot \cos 60^\circ}{(n^2 - \sin^2 30^\circ)^{3/2}} \right] = 910 \text{ m/sec}^2$$

وعند نهاية الحركة على الأنف عند B ، أي نهاية شوط الرفع ، حيث $(\gamma = 0)$:

$$A_{g=0} = (A_p)_B = w^2 \cdot d \left[1 + \frac{1}{n} \right] = 1050 \text{ m/sec}^2$$

بالمقارنة نجد:

$$(A_p)_B > (A_p)_A$$

وأن التباطؤ الأعظمي للتابع يحدث عندما يفتح الصمام بأعظم فتحة له عند نهاية الحركة على أنف الكامرة ، وقيمته:

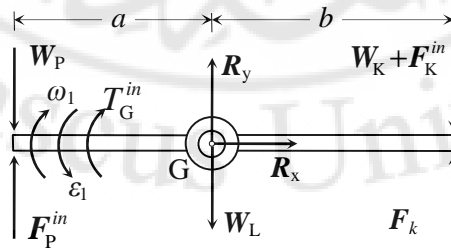
$$A_{\max.} = (A_p)_B = A_{(g=0^\circ)} = 1050 \text{ m/sec}^2 \downarrow$$

وبالتالي فإن قوة العطالة الأعظمية المؤثرة في ذراع الدفع P ، هي:

$$F_{\max.}^{in} = m \cdot A_{\max.} = 0.16 \times 1050 = 168 \text{ N} \uparrow$$

وتعين قيمة قوة النابض F_k من تطبيق علاقات التوازن الديناميكي على الذراع المتأرجح L ، حيث القوى ، والعزم العطالي T_G^{in} المؤثرة فيه موضحة في مخطط الجسم الحر للذراع المتأرجح (الشكل-6-49) ، وبأخذ العزوم حول G نجد أن:

$$(F_p^{in} - W_p) \cdot a + T_G^{in} = [F_k - (W_K + F_K^{in})] \cdot b$$



(الشكل-6-49) مخطط الجسم الحر للذراع المتأرجح .

حيث العزم العطالي T_G^{in} للذراع المتأرجح ، ويحسب من العلاقة:

$$T_G^{in} = I_G \cdot e_1$$

وعزم العطالة الكتلي I_G للذراع المتأرجح ، ويحسب من العلاقة:

$$I_G = M_L \cdot r_G^2 = 8 \times 10^{-5} \text{ kg.m}^2$$

والتسارع الزاوي e_1 للذراع المتأرجح ، ويحسب من العلاقة:

$$e_1 = A_{\max} / a = 42000 \text{ rad/sec}^2$$

ومنه بالتعويض في علاقة العزم العطالي:

$$T_G^{in} = 3.36 \text{ N.m}$$

أما قوة عطالة الصمام ، والنابض F_K^{in} ، فتحسب من العلاقة:

$$F_K^{in} = M_K \cdot A_K$$

حيث التسارع الخطي للصمام A_K ، فيحسب من العلاقة:

$$A_K = e_1 \cdot b = 1260 \text{ m/sec}^2$$

ومنه بالتعويض في علاقة قوة عطالة الصمام:

$$F_K^{in} = 88.2 \text{ N}$$

بالتعويض من هذه القيم في معادلة العزوم ، ينتج أن القوة F_k اللازمة للنابض هي:

$$F_k = 340 \text{ N}$$

مسألة-6-9

يبين (الشكل-6-50) تركيبة كامرة قرصية ذات أقواس دائرية متماسة فيما بينها ، مع

تابع دحرجي 3 يتصل بذراع 4 يتأرجح حول المركز الثابت O_4 .

فإذا كان نصف قطر الدحرج ($r_o = 0.75 \text{ cm}$) ، نصف قطر دائرة الأنف

($r = 0.75 \text{ cm}$) ، ونصف قطر الدائرة الأساسية ($R = 0.75 \text{ cm}$) . المطلوب دراسة

مميزات حركة التابع في الوضع المبين في الشكل ، وتعيين التسارع الزاوي للوصلة 4 في

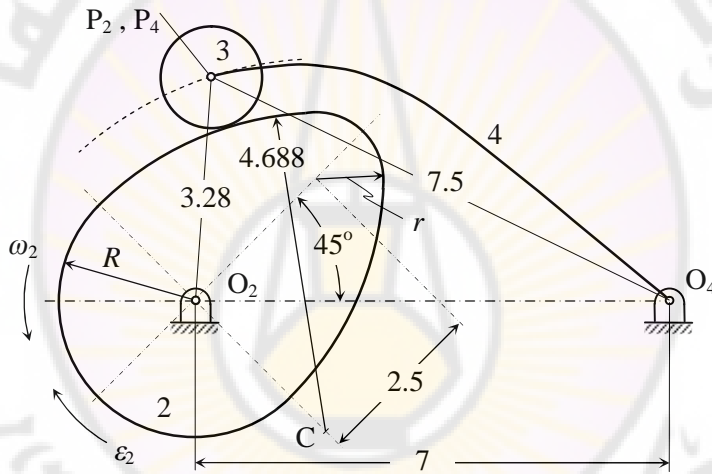
هذه اللحظة التي عندها كانت الكامرة تدور بسرعة زاوية قدرها ($\omega_2 = 5 \text{ rad/sec}$) ،

وبتسارع زاوي قدره ($e_2 = 2.5 \text{ rad/sec}^2$) .

الحل:

يفضل عادة عند دراسة حركة تابع دحرجي على جزء منحني ؛ وبخاصة دائري لجانبيه كامة قرصية ، اللجوء إلى التمثيل التخطيطي للسرعة والتسارع ؛ لأن الاستنتاج التحليلي معقد نسبياً ، كما تبين لنا عند دراسة حركة التابع على أنف الكامة المماسية في الفقرة (6-11-1) .

يعد هذا المثال تطبيقاً نموذجياً لدراسة حركة تركيبيّة تابع ، وكامة قرصية بوجه عام ، إذ يبين الأسس المختلفة التي تتم تبعاً لها هذه الدراسة تخطيطياً .



(الشكل-6-50) تركيبة كامنة قرصية ذات أقواس دائرية مع تابع دحروجي تأرجحي

يلاحظ وجود النقطتين المتطابقتين P_2, P_4 عند مركز الدحرج ، في الوصلتين المتحركتين 2 , 4 ، حيث يبين المسار المنحني المنقطع مسار النقطة P_4 بالنسبة للوصلة 2 أي الكامة ؛ أي: إن جانب الكامة الدائري هو سطح توجيه يقيد حركة مركز الدحرج وفق المسار المعين المذكور الذي مركزه C . يتم تحليل الحركة بسهولة وفق الخطوات التي أوضحناها سابقاً في الفقرة (3-5) .

بما أن النقطة P_2 هي حركياً نقطة من الوصلة 2 ، فإن:

$$V_{P_2} = O_2P_2 \cdot \omega_2 = 16.4 \text{ cm/sec}$$

يمكن عندئذ رسم مخطط السرعة a في (الشكل-6-51) بمقياس رسم مناسب ، وليكن ($1 \text{ cm} \equiv 5 \text{ cm/sec}$) ، على أساس أن السرعة المطلقة للنقطة P_4 عمودية على O_4P_4 ، بينما السرعة النسبية بين النقطتين P_2, P_4 هي مماسية لمسار تقييد الحركة . ينتج من هذا المخطط أن:

$$V_{P_4} = 8.4 \text{ cm/sec} , \quad V_{P_2P_4} = 20 \text{ cm/sec}$$

ومنه:

$$w_4 = V_{P_4} / O_4P_4 = 8.4 / 7.5 = 1.12 \text{ rad/sec} - cw$$

أما بالنسبة لدراسة التسارع ، فإنه ينتج من تطبيق المعادلة الشعاعية (3-18):

$$A_{P_4} = A_{P_2} + A_{P_4P_2} + A^c$$

$$A_{P_4}'' + A_{P_4}^r = A_{P_2}'' + A_{P_2}^r + A_{P_4P_2}'' + A_{P_4P_2}^r + 2\Omega_2 \wedge V_{P_4P_2}$$

حيث:

$$A_{P_4}'' = O_4P_4 \cdot w_4^2 = 9.4 \text{ cm/sec}^2 , \text{ ويتجه من النقطة } P_4 \text{ إلى المسند الثابت } O_4 .$$

$$A_{P_2}'' = O_2P_2 \cdot w_2^2 = 82 \text{ cm/sec}^2 , \text{ ويتجه من النقطة } P_2 \text{ إلى مركز دوران الكامدة } O_2 .$$

$$A_{P_2}^t = O_2P_2 \cdot e_2 = 8.2 \text{ cm/sec}^2 , \text{ منحاه عمودي على } O_2P_2 \text{ باتجاه دوران } \varepsilon_2 .$$

$$A_{P_4P_2}'' = \frac{V_{P_4P_2}^2}{CP_2} = 74 \text{ cm/sec}^2 , \text{ ويتجه من النقطة } P_4 \text{ إلى مركز الانحناء } C .$$

أما تسارع كوريوليس:

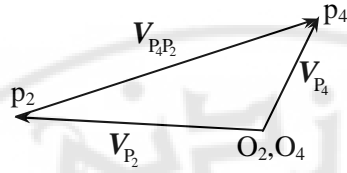
$$A^c = 2V_{P_4P_2} \cdot w_2 = 200 \text{ cm/sec}^2 , \text{ ويتجه من مركز الانحناء } C \text{ إلى النقطة } P_4 .$$

يمكن عندئذ رسم مخطط التسارع b في (الشكل-6-51) بمقياس رسم مناسب وليكن ($1 \text{ cm} \equiv 20 \text{ cm/sec}^2$) . يجب الانتباه إلى أن التسارع الناظمي النسبي بين P_2, P_4 ، والممثل بالشعاع $a'b'$ ، ينطبق على تسارع كوريوليس ؛ الممثل بالشعاع $b'c'$ ، لكن يعاكسه بالاتجاه . ينتج من مخطط التسارع أن:

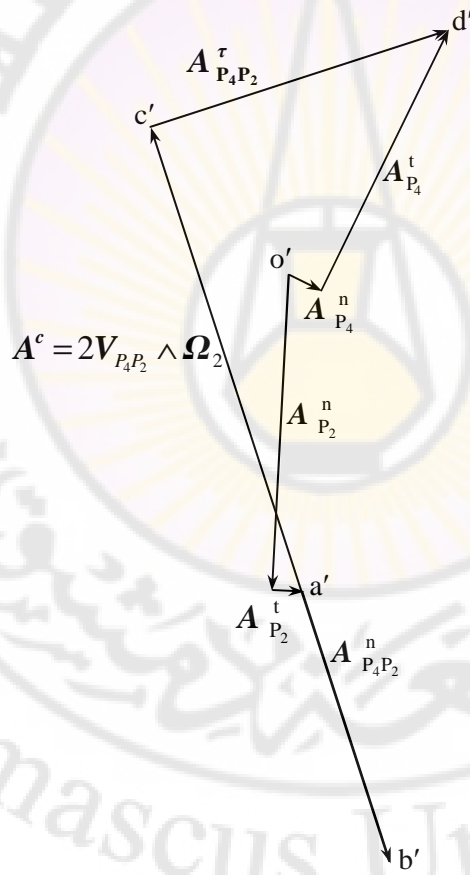
$$A_{P_4}^t = 75 \text{ cm/sec}^2 , \quad A_{P_4P_2}^t = 77 \text{ cm/sec}^2$$

ومنه:

$$e_4 = A_{P_4}^t / O_4P_4 = 75 / 7.5 = 10 \text{ rad/sec}^2 - cw$$



a- مخطط السرعة



b- مخطط التسارع

(الشكل-6-51) مخططات حركة التابع الدحرجي .

14-6- الكامات ذات الحركة الإيجابية

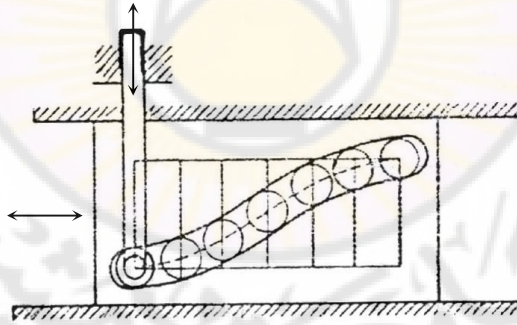
Positive-Motion Cams

تبين لنا من خلال دراسة حركة التابع ، أننا نحتاج إلى تطبيق قوة خارجية لحفظ التماس بين التابع ، والكامة خلال فترات معينة من الحركة ؛ بسبب اتجاه قوة العطالة عند هذه الفترات . يفضل أحياناً الحفاظ على التماس من خلال شكل تركيبة الكامات ، والتابع من دون الحاجة إلى تركيب وسائل إضافية ، نابض مثلاً ، يسمى هذا النوع من الكامات التي تحقق ذلك ، كامات ذات حركة إيجابية ، وفيه تؤمن طريقة لحصر حركة التابع بالاتجاهين باستخدام سطحي تماس .

1-14-6- الكامات الانتقالية

Translation Cam

يمكن تحقيق حركة إيجابية في الكامات الانتقالية التي سبقت الإشارة إليها عند تصنيف الكامات في الفقرة (2-6) ، وذلك بتقييد دحروج التابع ضمن مجرى يتم تشكيله في سطح الكامات ، كما في (الشكل-52-6) . ينتج من الحركة الترددية الانسحابية للكامات حركة ترددية للتابع أو تأرجحية في حالة كون ساق التابع متصلة بمحور ارتكاز .



(الشكل-52-6) كامات انتقالية ذات حركة ايجابية .

تصمم جانبية المجرى بسهولة استناداً إلى مخطط الإزاحة وقطر الدحروج . يمثل محور هذا المجرى تغيرات الإزاحة ، وهو مسار مركز الدحروج المبين بخط متقطع في (الشكل-52-6) . أما عرض المجرى ، فهو أكبر قليلاً من قطر الدحروج بما يلائم الخلوص اللازم لتأمين حركة سلسلة . من الواضح أن حركة التابع في هذا النوع من الكامات تتكرر خلال شوط الخفض لكن بترتيب معكوس .

Disk Cam

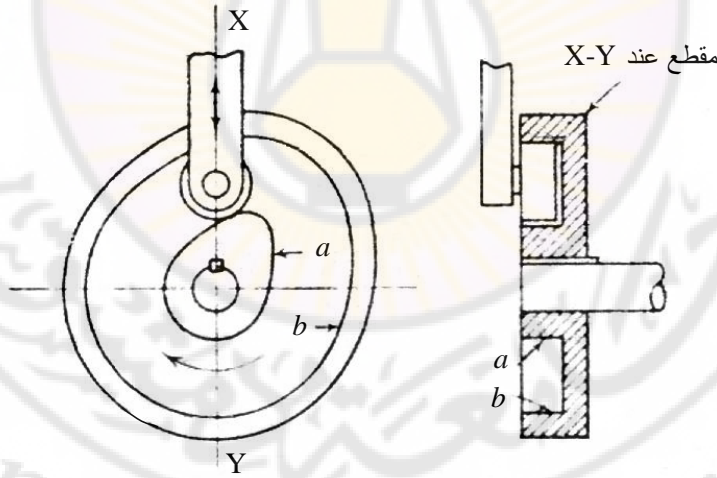
2-14-6- الكامنة القرصية

يمكن تأمين الحركة الإيجابية في حالة كامنة قرصية بالطرق التالية:

- تأمين تماس التابع ، والكامنة باستخدام قرص محفور ، وتابع دحروجي

يتم تصميم هذا النوع من الكامات بتقييد حركة الدحروج ضمن مجرى محفور في سطح الكامنة الموازي لمستوي الحركة ، كما هو مبين في (الشكل-6-53) ، حيث يمثل السطحين a و b سطحا التماس ، ينشأ كل من جانبي المجرى هذا بالطريقة نفسها للكامنة قرصية ذات تابع دحروجي ، بحيث تكون المسافة بين المنحنيين اللذين يشكلان جانبي المجرى أكبر قليلاً من قطر الدحروج لتأمين الخلوص اللازم .

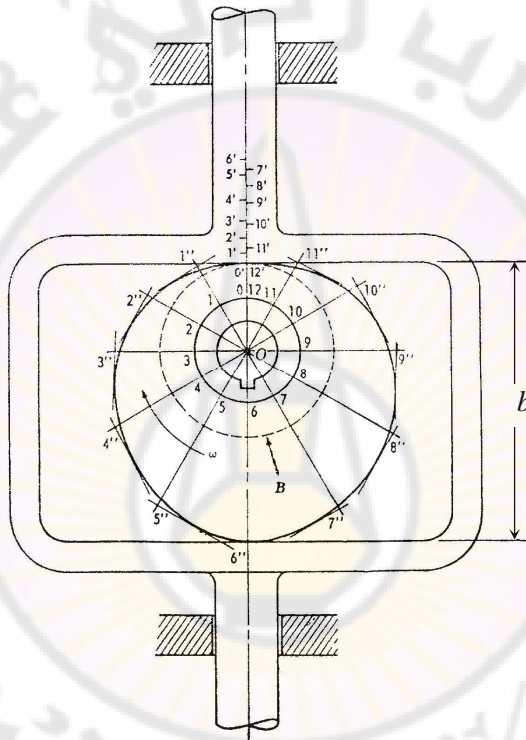
إلا أن من أهم سيئات هذه النوع أن الدحروج يغير اتجاه حركته الزاوية على جانبي المجرى مرتين على الأقل خلال دورة كاملة للكامنة . من الواضح أن ذلك يسبب انزلاقاً يؤدي إلى زيادة تآكل سطحي التماس .



تماس التابع ، والكامنة باستخدام قرص محفور ، وتابع دحروجي .

(الشكل-6-53)

- يتم تصميم هذا النوع من الكامات بشكل يؤمن تماس التابع ، والكامه ، عبر سطحين متقابلين قطرياً بالنسبة لمركز دوران الكامه ، كما في (الشكل-6-54) الذي يبين كامه ذات تابع مسطح ترددي قطري ذي أوجه مستوية .



(الشكل 6-54)

497

يتم تحديد جانبية الكامنة تخطيطياً بالطريقة نفسها التي اتبعت في الفقرة (6-7-6) ، حيث يمثل البعد $O'O$ نصف قطر الدائرة الأساسية B ، كما يكفي تعيين النقاط $6'' , 2'' , 1'' , 0''$ ، إذ يمكن عندئذ تعيين النقاط $12'' , 8'' , 7'' , 6''$ بدلالة المسافة b ، حيث يكون:

$$1''7'' = 2''8'' = 3''9'' \dots = b$$

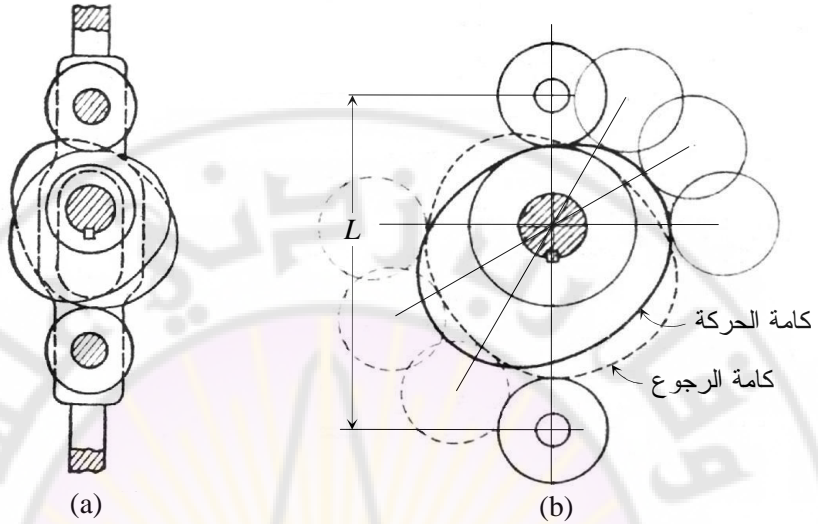
من الواضح أن هذه المسافة b ثابتة لكامنة معينة ، وتساوي حاصل جمع قطر الدائرة الأساسية ، وشوط الرفع الكلي للتابع ؛ لذا فإن هذه الكامنة تسمى عادة كامنة ذات عرض ثابت (*Constant-Breadth Cam*) .

يمكن أيضاً استناداً إلى ما سبق ، تصميم كامنة حركة إيجابية ذات تابعين دحروجيين عوضاً من الوجهين المسطحين . يكون مركزا الدحروجين في هذه الحالة متقابلين قطرياً بالنسبة إلى O ، والبعد بينهما ثابت . يتم تحديد جانبية الكامنة وفقاً لطريقة الإنشاء التي سبق توضيحها في الفقرة (6-7-2) ، حيث تكون الأطوال $1''7'' , 2''8'' , 3''9'' \dots$ مساوية البعد الثابت بين مركزي الدحروجين .

• تأمين سطحي تماس للتابع وكل منهما يتصل بكامنة مستقلة

يتألف هذا النوع من كامتين قرصيتين مركبتين على المحور نفسه ، والكامتان تؤثران في تابع له وجهها اتصال أو دحروجان على جانبيين متقابلين من عمود الكامات ، وكل منهما يتصل بإحدى الكامتين ، كما في الرسم a من (الشكل-6-55) ، حيث تشكل الكامنة الأولى أو كامنة الحركة (*Motion Cam*) بالطريقة نفسها التي تشكل بها الكامنة العادية ، وترتكز على أحد الوجهين أو الدحروجين ، ثم ترسم الكامنة الثانية أو كامنة الرجوع (*Return Cam*) ، بحيث إن هذه الكامنة تبقى على اتصال بالدحروج الثاني أو بوجه التابع الآخر ، ومن المناسب أن تكون دائرتا الأساس للكامتين بنصف القطر نفسه ، وفي هذه الحالة تكون المسافة L المبينة في الرسم b من (الشكل-6-55) بين مركزي الكامتين مساوية إلى:

$$L = 2 \text{ نصف قطر الدحروج} + \text{شوط الرفع}$$



تماس كامتين قرصيتين ، وتابع له دحرجان على جانبيين متقابلين من عمود الكامات .
(الشكل-6-55)

وطريقة الإنشاء مبينة في الرسم b في (الشكل-6-55) ، والدوائر الممثلة بالخطوط المنقطعة التي يمسها جانب كامتا الرجوع ، تقع باتجاه مقابل قطرياً للدوائر المرسومة بالخطوط المستمرة التي تمس كامتا الحركة ، والمسافة بين مركزي كل زوج من الدوائر المتقابلة تساوي L .

يتم تصميم هذا النوع إذا كان المطلوب تحقيق حركة للتابع خلال شوط الخفض مختلفة عن تلك خلال شوط الرفع ، فإنه يجب عندئذ استعمال كامتين على عمود الدوران نفسه ، حيث تصمم إحدى الكامتين على أساس مخطط الإزاحة خلال شوط الرفع ، وتمس التابع الموافق له ، أما الأخرى ، فتصمم استناداً إلى معطيات حركة الخفض ، وتمس تابعا آخر . يحقق ذلك حرية كاملة في اختيار مخطط الإزاحة الملائم .

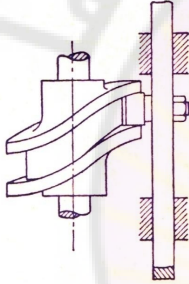
إن هذا التصميم معقد ، ومرتفع التكاليف الإنتاجية بالمقارنة مع بقية الأنواع ، إلا أنه لا يفرض قيوداً على الحركة ، كما كان الحال في كامتا القرص المفردة ، كما أن مشكلة انعكاس دوران الدحرج غير المرغوب فيها ، لا تحدث هنا .

3-14-6- الكامات الأسطوانية

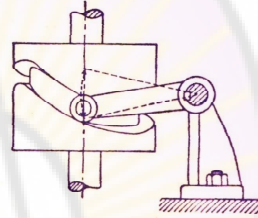
Cylindrical Cam

تعد هذه الكامات مماثلة لكامات انتقالية تم لفها حول محيط أسطوانة ، حيث يمكن عندئذ تفادي سيئة الكامات الانتقالية في تكرار الحركة بترتيب معكوس . تستعمل هذه الكامات عندما يكون المطلوب أن يكون اتجاه حركة التابع موازياً لمحور دوران الكامات من دون الحاجة إلى تركيب وسائل تحويل اتجاه الحركة كالمسننات مثلاً ، وهو ما يلزم للجوء إليه عند استعمال كامات قرصية في هذه الحالة .

يبين (الشكل-6-56) كامات أسطوانية تدور حول محورها لتعطي ، بواسطة مجرى محفور في سطحها ، حركة ترددية لتابع ، كما في الرسم a في (الشكل-6-56) ، أو تأرجحية لتابع ، كما في الرسم b في (الشكل-6-56) .



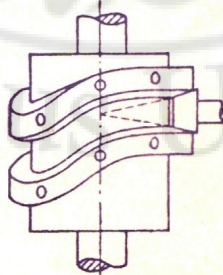
a- حركة ترددية.



b- حركة تأرجحية.

(الشكل-6-56) كامات أسطوانية تعطي بواسطة مجرى محفور في سطحها حركة للتابع .

يؤدي ذلك إلى اختلاف السرعة المحيطية عند أعلى المجرى عن تلك عند تقعره إلى انزلاق الدحروج ؛ لذا يفضل عادة أن تكون نهاية التابع بشكل جذع مخروطي ، كما في (الشكل-6-57) ، بحيث يقع رأس المخروط على محور دوران الكامات . رغم أن ذلك يؤمن حركة تدرجية بين نهاية التابع ، والمجرى ، إلا أنه يولد ضغطاً جانبياً يجب أخذه في الحسبان عند التصميم . إذ يمكن أن يؤدي إلى تحريك التابع باتجاه إخراج من المجرى .

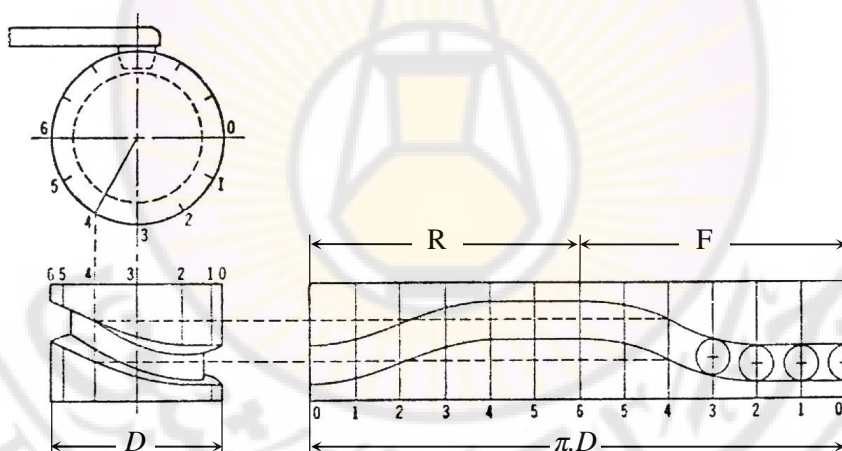


(الشكل-6-57) نهاية التابع بشكل جذع مخروطي .

يمكن تشكيل جانبية المجرى بطريقة مماثلة لحالة كاماة انتقالية على أن يمثل طول مخطط الإزاحة ، والمحور الأفقي ، ومحيط الأسطوانة التي سيحفر المجرى على سطحها .

يبين (الشكل-6-58) خطوات الإنشاء التخطيطي ، حيث يمثل منحنى الإزاحة مسار مركز الدحروج ، وقاعدة المخطط تؤخذ مساوية إلى محيط الأسطوانة ، وذلك بمقياس رسم مناسب ؛ وبالتالي يكفي رسم دوائر مركزها نقاط هذا المنحني ، ونصف قطرها يساوي نصف قطر الدحروج ، ومن ثم رسم كل من المنحنيين اللذين يمسان هذه الدوائر من كلا جانبي منحنى الإزاحة . أما عمق المجرى ، فإنه يحدد وفقاً للشكل الجانبي للدحروج .

إذا لفّ الشكل الناتج حول الأسطوانة ، فإنه يمثل المجرى المطلوب لتحقيق حركة التابع التي يعود إليها المخطط . يبين المجال F الجزء الأمامي من المجرى ، بينما يشير المجال R إلى جزئه الخلفي تبعاً للرسم المبين في (الشكل-6-58) .



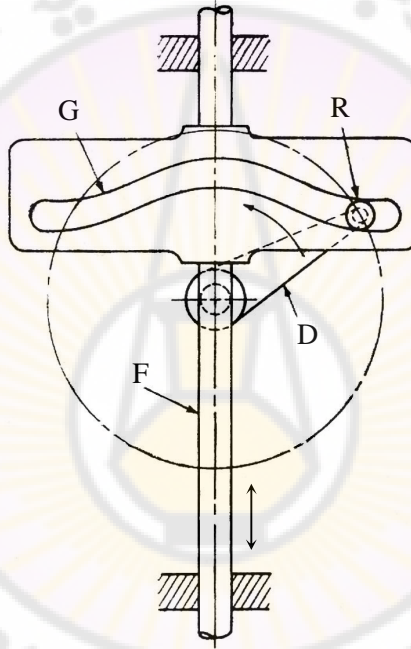
(الشكل-6-58) الإنشاء التخطيطي لجانبية مجرى لكامة أسطوانية .

يتم تشكيل المجرى على سطح الأسطوانة بأداة قطع تماثل شكل نهاية التابع وأبعاده ، بحيث يتم تحريك هذه الأداة وفق شكل المجرى المرسوم على سطح الأسطوانة . يمكن أحياناً الاستعاضة عن حفر المجرى بتثبيت شرائح معدنية قابلة للعيار على سطح الأسطوانة ، إذ يمكن في هذه الحالة تغيير جانبية الكاماة بسهولة من دون الحاجة لتشكيل كاماة جديدة . إن للكامات الأسطوانية تطبيقات عدة أهمها في الآلات الأوتوماتيكية ؛ بخاصة آلات قطع اللوالب .

4-14-6- الكامنة العكسية

Inverse Cam

تعكس في هذه الحالة الوظيفة الحركية لكل من الكامنة والتابع ، حيث تكون الوصلة القائدة دحرجاً R يدور في نهاية مرفق D ، بينما يحتوي التابع المقاد F على مجرى G ذي شكل يناسب الحركة المطلوبة ، كما هو مبين في (الشكل-6-59) . يمكن للدحرج أن يؤدي دورة كاملة أو يتأرجح بزواوية معينة حول مسند ارتكاز .



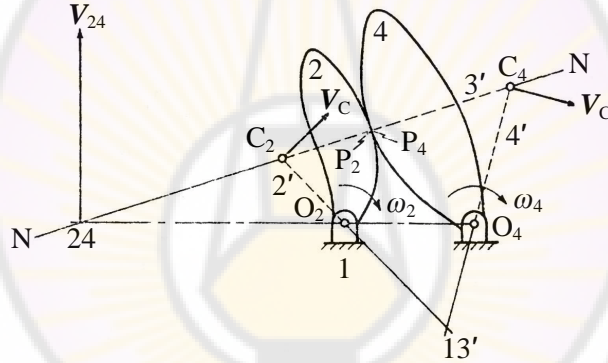
(الشكل-6-59) الكامنة العكسية .

يستعمل هذا النوع من الكامات في آلات الخياطة ، وما شابهها ، حيث تكون الأحمال عادة خفيفة . تشكل جانبيه المجرى التي تحقق الحركة المطلوبة بالطرائق التخطيطية المعتادة ، حيث تحدد الأوضاع النسبية لإزاحة التابع خلال فترات زواوية معينة للمرفق ، وتوقع النقاط الناتجة بشكل يعين المنحني المنصف للمجرى . تحدد جانبيه المجرى بدلالة نصف قطر الدحرج ؛ إذ أن هذا المنحني المنصف هو المحل الهندسي لمركز الدحرج خلال دورة العمل .

15-6- نظرية التركيبات الآلية المكافئة Equivalent Mechanisms Theorem

يمكن الاستعاضة عن تركيبات التماس المباشر ؛ وبخاصة الكامات ، بتركيبات آلية بسيطة رباعية الوصلات . يمكن البرهان على صحة هذا الإنشاء بالرجوع إلى (الشكل-6-60) الذي يبين تركيبة ذات تماس مباشر بين الوصلتين 2 , 4 اللتين تدوران بالسرعتين الزاويتين ω_2 , ω_4 على التوالي . تمثل التركيبية الرباعية الوصلات $O_2C_2C_4O_4$ المبينة بالخطوط المنقطعة ، التركيبية المكافئة للتركيبية الأصلية حيث النقطتان C_2 , C_4 هما مركزا انحناء الوصلتين 2 , 4 على التوالي ، عند نقطة التماس .

إن شرط التكافؤ بين هاتين التركيبتين هو تساوي السرعات ، والتسارعات الزاوية لكل من وصلات التركيبتين .



(الشكل-6-60) الاستعاضة عن تركيبية التماس المباشر بتركيبية آلية بسيطة رباعية القضبان .

- شرط تساوي السرعات الزاوية

لنفرض أن:

$$w'_2 = w_2 , \quad e'_2 = e_2 \quad (61-6)$$

إن النقطة 24 هي المركز اللحظي للوصلتين 2 , 4 أو الوصلتين 2' , 4' ؛ ولأنها نقطة تقاطع الناطم المشترك N-N مع الخط الواصل بين المركزين O_2 , O_4 ، فإن السرعة المطلقة للنقطة 24 هي:

$$V_{24} = (O_2 - 24) \cdot w_2 = (O_4 - 24) \cdot w_4$$

وكذلك فإن:

$$V_{24} = (O_2 - 24) \cdot w'_2 = (O_4 - 24) \cdot w'_4$$

ومنه ينتج أن:

$$\frac{w_2}{w_4} = \frac{O_4 - 24}{O_2 - 24} = \frac{w'_2}{w'_4} \quad (62-6)$$

وبما أننا اخترنا $(w'_2 = w_2)$ ، فإن $(w'_4 = w_4)$ ، كما هو واضح من المعادلة (62-6) .

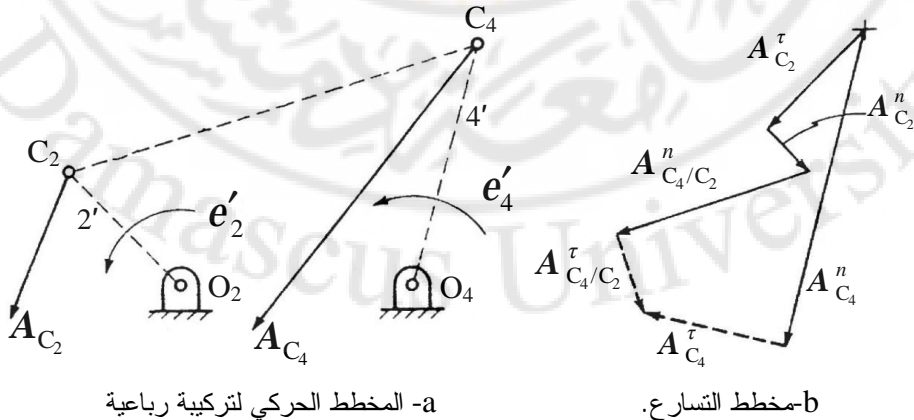
يلاحظ من (الشكل-6-60) أن النقطتين P_2, P_4 المتطابقتين عند نقطة التماس لا يمكن أن تحصل بينهما سرعة نسبية باتجاه الناظم المشترك N-N ؛ وبالتالي فإن النقطتين C_2, C_4 لا يوجد بينهما سرعة نسبية باتجاه N-N .

ينتج من ذلك أن الناظم الذي يصل بين النقطتين C_2, C_4 في التركيبة الأصلية يمثل وصلة صلبة في هذه اللحظة . يتلاقى الخطان O_2C_2, O_4C_4 في النقطة $13'$ التي تمثل المركز اللحظي للناظم N-N في التركيبة الأصلية ، أو الوصلة $3'$ في التركيبة المكافئة . تعطى السرعة الزاوية للناظم N-N بالعلاقة:

$$w_{(N-N)} = w'_3 = \frac{V_{C_2}}{13' - C_2} = \frac{V_{C_4}}{13' - C_4} \quad (63-6)$$

- شرط تساوي التسارعات الزاوية

سنبرهن فيما يلي - استكمالاً لشرط التكافؤ - على أن التسارع الزاوي للوصلة $4'$ يساوي التسارع الزاوي للوصلة 4 . يبين المخطط a من (الشكل-6-61) التركيبة المكافئة ، حيث A_{C_2}, A_{C_4} هما التسارعان المطلقان للنقطتين C_2, C_4 على التوالي .



(الشكل-6-61) الاستعاضة عن تركيبة التماس بتركيبة آلية بسيطة رباعية الفضبان

تنتج من ذلك المعادلة الشعاعية الآتية:

$$A_{C_4}^n + A_{C_4}^t = A_{C_2}^n + A_{C_2}^t + A_{C_4C_2}^n + A_{C_4C_2}^t \quad (64-6)$$

حيث

$$\begin{aligned} A_{C_4}^n &= (O_4C_4) \cdot w_4'^2, & A_{C_4}^t &= (O_4C_4) \cdot e_4' \\ A_{C_2}^n &= (O_2C_2) \cdot w_2'^2, & A_{C_2}^t &= (O_2C_2) \cdot e_2' \\ A_{C_4C_2}^n &= (C_2C_4) \cdot w_3'^2, & A_{C_4C_2}^t &= (C_2C_4) \cdot e_3' \end{aligned} \quad (65-6)$$

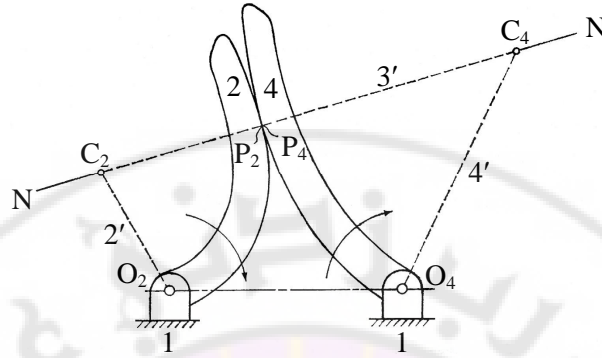
يمكن تمثيل المعادلة (65-6) تخطيطياً بالمخطط b في (الشكل-61-6). بما أن النقاط O_2, C_2, C_4, O_4 هي نقاط في كل من التركيبتين الأصلية والمكافئة، فإن اتجاهات أشعة التسارع المبينة في المخطط b من (الشكل-61-6) هي واحدة لكلتا التركيبتين. وبما أن:

$$w_2' = w_2, \quad w_3' = w_{(N-N)}, \quad w_4' = w_4, \quad e_2' = e_2$$

فإننا نلاحظ من مجموعة المعادلات (65-6) أن $A_{C_4}^n, A_{C_2}^n, A_{C_2}^t, A_{C_4C_2}^n$ للتركيبية المكافئة تساوي بالقيمة التسارعات الموافقة لها في التركيبية الأصلية. لقد تم تمثيل هذه التسارعات الأربعة بالخطوط المتصلة على مخطط التسارع، وبما أن هذا المخطط يجب أن يكون مغلقاً؛ ليحقق المعادلة (64-6)، فإنه يمكن عندئذ تحديد $A_{C_4}^t, A_{C_4C_2}^t$. أي: إن هاتين المركبتين هما أيضاً واحدتان لكل من التركيبتين، ومنه فإن:

$$e_4' = e_4 = \frac{A_{C_4}^t}{O_4C_4}$$

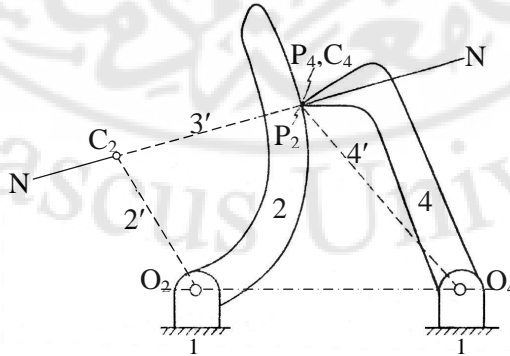
تجدر الإشارة إلى أن لكل تركيبية ذات تماس مباشر عدداً لانهائياً من التركيبات المكافئة رباعية الوصلات. يمكن توضيح ذلك بالرجوع إلى (الشكل-62-6)، حيث E هي نقطة ما من الوصلة 4 أو امتدادها، بينما يمثل المنحني P المسار الذي ترسمه هذه النقطة على الوصلة 2 خلال حركة التركيبية الأصلية.



(الشكل-6-63) تمثيل تركيبة آلية ذات تماس مباشر بتركيبة مكافئة رباعية الوصلات .

يتم إنشاء التركيبة المكافئة $2', 3', 4', 1'$ ، بأخذ النقطتين C_2 و C_4 على الناطم المشترك NN للوصلتين المتماستين عند نقطة التماس P ، حيث النقطة C_2 هي مركز انحناء الوصلة 2 عند P_2 ، بينما النقطة C_4 هي مركز انحناء الوصلة 4 عند P_4 . يلاحظ أن الأوضاع النسبية للتركيبة المكافئة تتغير وفقاً لتغير الأوضاع النسبية لوصلات التركيبة الأصلية . يمكن تعيين السرعات ، والتسارعات لكل وضع من رسم مخططات السرعة ، والتسارع للتركيبة المكافئة ، كما سبق وبيننا في الفصل الثالث .

أما إذا كانت الوصلة 4 مدببة عند P_4 ، فإنه من الواضح أن التماس يحدث دوماً مع الوصلة 2 عند هذه النقطة من الوصلة 4 ؛ وبالتالي فإن نصف قطر الانحناء P_4C_4 يساوي الصفر ، وتكون النقطتان C_4 و P_4 منطبقتين دوماً ، كما في (الشكل-6-64) ، حيث يمثل الرباعي $O_2C_2P_4O_4$ التركيبة المكافئة في هذه الحالة .



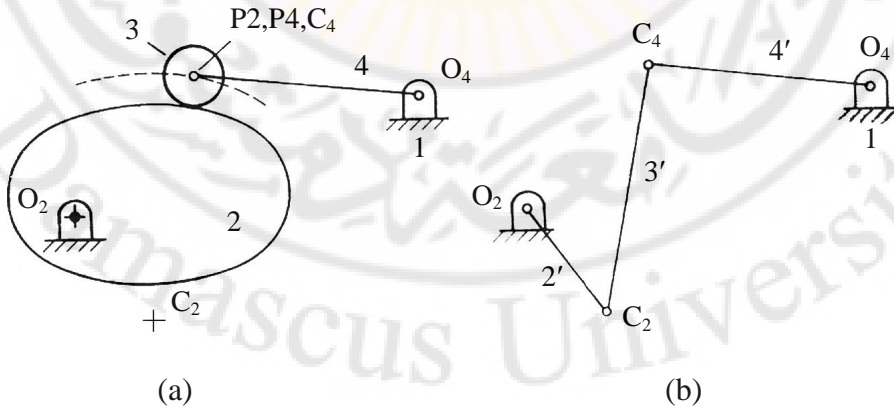
(الشكل-6-64) تمثيل تركيبة آلية ذات تماس مباشر بتركيبة مكافئة رباعية الوصلات .

تعد تركيبات الكامات من أهم أمثلة تركيبات التماس المباشر بين جانبية الكامات ، والتابع التي يمكن تحليلها بسهولة استناداً إلى مفهوم التركيبات المكافئة . يتم ذلك من خلال دراسة حركة التركيبية المكافئة آنياً للتركيبية الكامات - في وضع أو طور معين - باستعمال إحدى الطرائق المذكورة سابقاً في الفصل الثالث .

لتعيين سرعة التابع ، وتسارعه تحليلياً أو تخطيطياً . يفضل بوجه عام إجراء الدراسة تخطيطياً ؛ وبخاصة عند تحليل حركة التركيبات المكافئة لكامات ذات جانبية محددة ، حيث يتم التركيز عادة على خواص حركة التابع عند نقاط بداية الشوط ، ونهايته ، وعند تماس الجانب مع الأنف .

سنقتصر هنا على إعطاء بعض الأمثلة النموذجية التي توضح كيفية تحديد عناصر التركيبية المكافئة ، وأوضاعها النسبية .

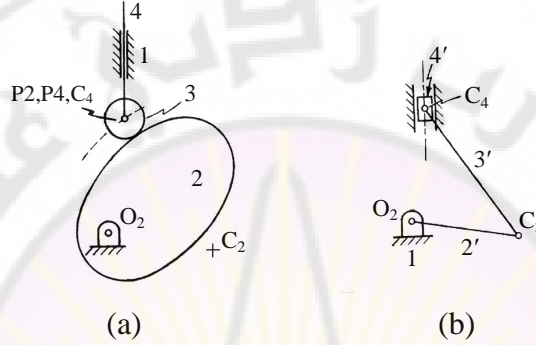
تبين التركيبية a في (الشكل-6-65) حالة كامات ذات تابع دحرجي مهتز ، حيث يمثل المنحني المتقطع المار من مركز الدحرج مسار هذا المركز بالنسبة للكامات 2 ؛ أي منحنى الخطوة . إن مركز انحناء هذا المسار في هذه اللحظة هو C_2 ، بينما ينطبق مركز الانحناء C_4 على مركز الدحرج . ينتج من ذلك أن التركيبية المكافئة لهذه الحالة هي التركيبية المبينة في b في (الشكل-6-65) .



التركيبية المكافئة لتركيبية كامات ذات تابع دحرجي مهتز .

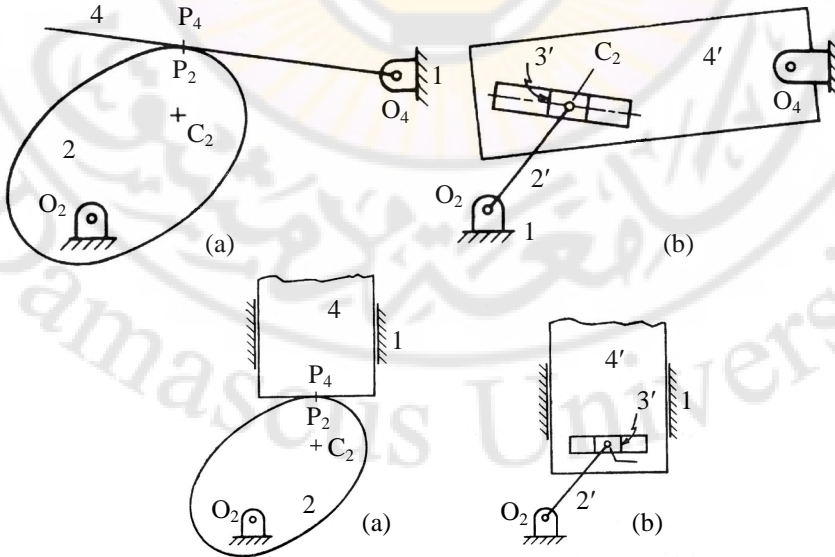
(الشكل-6-65)

أما في حالة تابع دحروجي ترددي ، كما في الرسم a من (الشكل-6-66) ، فإن حركة الوصلة 4 هي انزلاقية ، وبالتالي فإن المركز O_4 في التركيبة المكافئة يقع في اللانهاية ، وتتحول الى تركيبة منزلقة ، ومرفق ، كما في الرسم b من (الشكل-6-66) ، حيث النقطة C_2 هي مركز انحناء مسار مركز الدحروج بالنسبة للكامة .



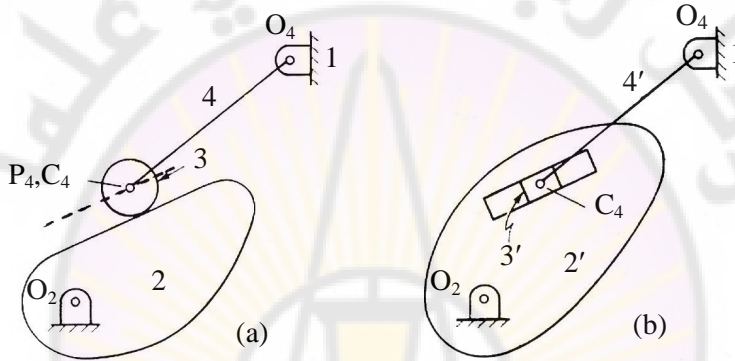
(الشكل-6-66) التركيبة المكافئة لتركيبة كامة ذات تابع دحروجي ترددي .

كذلك الأمر بالنسبة لحالة تابع مسطح ، حيث تكافئ الوصلة القارئة $3'$ حركة منزلقة ؛ لأن نقطة التماس P_4 تتحرك دوماً على سطح مركز انحنائه في اللانهاية ، كما هو واضح في تركيبات (الشكل-6-67) .



(الشكل-6-67) تركيبات مكافئة لتركيبة كامة ذات تابع مسطح .

وحالة أخرى جديرة بالاهتمام هي حالة تابع دحرجي يتحرك على كامة ، حيث يكون جزء من جانبيها خطاً مستقيماً ، كما في (الشكل-6-68) ، ينتج من ذلك أن مسار مركز الدحروج خلال الحركة على الجزء المستقيم ، هو الخط المستقيم المتقطع في الرسم a من (الشكل-6-68) الذي يمثل في التركيبية المكافئة b من (الشكل-6-68) بمنزلة ، لأن مركز انحناؤه في اللانهاية . تعد الكامة المماسية التي سبقت دراستها في الفقرة (6-11-1) مثلاً نموذجياً لهذه الحالة .



التركيبية المكافئة لتركيبية كامة جزء من جانبيها خط مستقيم مع تابع دحرجي .
(الشكل-6-68)

يجب الانتباه عند تطبيق مفهوم التركيبية المكافئة إلى ضرورة تحديد عناصر هذه التركيبية ، وأوضاعها النسبية آنياً ، عند كل وضع من أوضاع التركيبية الأصلية ؛ بسبب تغير العلاقة النسبية بين هذه العناصر تبعاً لشكل جانبيه الكامة .

لا بد من الإشارة أخيراً إلى أن الانتشار الواسع في استخدام الكامات ، يجعل من الصعب حصر أنواعها ، وأشكالها المختلفة ؛ نظراً لتطبيقاتها المتباينة ، وإمكاناتها الوظيفية المتعددة ؛ لذا فقد اكتفينا في هذا الفصل بإعطاء المفاهيم الأساسية التي تشكل القاعدة المشتركة لتصميم الكامات ، وتحليلها بشكل عام من دون التطرق إلى السمات الخاصة بتطبيقات معينة يمكن تحديدها من المراجع الخاصة بهذه التطبيقات .

مسائل غير محلولة Problems

م-6-1

تدور كامرة قرصية بسرعة ثابتة 400 r.p.m لتحرك تابعاً حركة ترددية مسافة 40 mm .

والمطلوب رسم مخططات الحركة وتعيين القيم العظمى لسرعة التابع وتسارعه في الحالات الآتية:

زاوية دوران الكامرة

الحالة آ

- الحركة خلال شوط الرفع: تسارع ثابت 60°
- سرعة ثابتة 60°
- تباطؤ ثابت 60°
- فترة سكون ----- 30°
- الحركة خلال شوط الخفض: تسارع ثابت 30°
- سرعة ثابتة 90°
- تباطؤ ثابت 30°

الحالة ب

- الحركة خلال شوط الرفع: توافقية بسيطة 180°
- فترة سكون ----- 60°
- الحركة خلال شوط الخفض: توافقية بسيطة 120°

الحالة ج

- الحركة خلال شوط الرفع دويرية 180°
- الحركة خلال شوط الخفض دويرية 120°
- فترة سكون ---- 60°

م-6-2

حدد تخطيطياً جانبية الكامة التي تحقق لتابع دحروجي ترددي مجنب الحركة المطلوبة في الحالة (أ) من (م-6-1) . علماً أن الكامة تدور باتجاه عكس دوران عقارب الساعة ، ونصف دائرتها الأساسية 40 mm ، بينما نصف قطر الدحروج هو 10 mm ومقدار حيد محور التابع هو 25 mm إلى يمين محور عمود الدوران ، ومن ثم عين تخطيطياً القيمة العظمى لزاوية الضغط Φ_{max} .

م-6-3

حدد تخطيطياً جانبية الكامة التي تحقق لتابع مسطح ترددي قطري الحركة المطلوبة في الحالة (ب) من (م-6-1) ، علماً أن الكامة تدور باتجاه عقارب الساعة ، ونصف قطر دائرتها الأساسية 50 mm . ومن ثم عين الانحراف الأعظمي h_{max} لنقطة التماس عن محور التابع .

م-6-4

تدور كامة قرصية باتجاه دوران عقارب الساعة لتحرك تابِعاً مسطحاً متأرجحاً بإزاحة زاوية كلية 20° . يبين الجدول التالي تغيرات إزاحة التابع بالنسبة لزاويا دوران الكامة:

180°	150°	120°	90°	60°	30°	0°	زاوية الكامة
20	18.5	14.5	10	5.5	1.5	0	إزاحة التابع
360°	330°	300°	270°	240°	210°		زاوية الكامة
0	1.5	5.5	10	14.5	18.5		إزاحة التابع

فإذا كان نصف قطر الدائرة الأساسية هو 40 mm ، وأن البعد بين محور ارتكاز التابع ، ومركز عمود الدوران O هو 90 mm . المطلوب تحديد جانبية الكامة استناداً إلى الشكل (6-18) المبين سابقاً في الفقرة (6-7-7) ، حيث:

$$r = 15 \text{ mm} , \quad R = 80 \text{ mm}$$

م-6-5

تحرك كامنة قرصية تابعاً مسطحاً ترددياً قطرياً بحركة توافقية بسيطة خلال كل من شوطي الذهاب والعودة .

فإذا كانت الكامنة تدور 180° خلال شوط الذهاب ، وكذلك الأمر بالنسبة لشوط العودة من دون فترات سكون ، والإزاحة الكلية للتابع هي 50 mm ، وكان أصغر نصف قطر لجانبية الكامنة هو 25 mm . المطلوب:

1. تعيين معادلة منحني جانبية الكامنة .
2. تحديد الانحراف الأعظمي لنقطة التماس عن محور التابع .

*

م-6-6

يتحرك تابع دحروجي ترددي قطري مسافة كلية قدرها 16 mm بحركة دويرية خلال دوران الكامنة بزاوية 30° . المطلوب:

1. إذا كان أصغر قطر لمنحني الخطوة ($R_0 = 40 \text{ mm}$) ، عين القيمة العظمى Φ_{\max} لزاوية الضغط .

2. إذا كان نصف قطر الدحروج 10 mm ، اقترح طريقة لتخفيض قيمة Φ_{\max} من دون اللجوء إلى زيادة R_0 . ، ومن ثم ناقش إمكانية حدوث رأس مدبب لجانبية الكامنة في كلتا الحالتين ؛ أي قبل تخفيض Φ_{\max} ، وبعده ، وذلك استناداً إلى المخططات المبينة في الفقرة (2-10-6) .

*

م-6-7

تحرك كامنة مماسية تابعاً دحروجياً ترددياً قطرياً . حيث إن نصف قطر الدائرة الأساسية 25 mm ، وزاوية العمل الكلية 120° . كما أن نصف قطر الدحروج 10 mm ، وشوط التابع 10 mm .

فإذا دارت الكامنة بسرعة 240 r.p.m ، فالمطلوب:

1. تحديد نصف قطر أنف الكامنة ، وزاوية الحركة على الجانب المستقيم للكامنة .
2. تعيين القيمة العظمى لكل من سرعة التابع ، وتسارعه وتباطئه خلال دورة عمل كاملة .

م-6-8

تحرك كامنة قرصية مكونة من أقواس دائرية متماسة فيما بينها تابعاً مسطحاً ترددياً قطرياً ، حيث إن نصف قطر دائرتها الأساسية 15 mm ، وزاوية عملها الكلية 150° ، كما أن شوط التابع 6 mm ، وفترة تسارعه خلال شوط الرفع تساوي نصف فترة تباطئه . فإذا دارت الكامنة بسرعة 1250 r.p.m . المطلوب:

1. تحديد نصف قطر كل من دائرة الأنف والجانب .
2. تعيين القيمة العظمى لكل من تسارع التابع ، وتباطئه خلال شوط الرفع .

*

م-6-9

يستعمل تابع مسطح ترددي قطري ، وكامنة مكونة من أقواس دائرية متماسة فيما بينها في ضبط توقيت صمام السحب لمحرك بنزين رباعي الشوط . بينت الدراسة الحرارية للمحرك ضرورة البدء بفتح الصمام عندما يكون الوضع الزاوي للمرفق متقدماً بزاوية 15° قبل النقطة الميتة الداخلية ، بينما يجب إغلاق الصمام عندما يكون المرفق قد دار بزاوية 45° بعد وضع النقطة الميتة الخارجية .

فإذا كان نصف قطر الدائرة الأساسية للكامنة 25 mm ، وشوط رفع التابع 10 mm ، ونصف قطر دائرة أنف الكامنة 2.5 mm ، وكانت سرعة دوران عمود المرفق 4000 r.p.m . المطلوب:

1. تحديد جانبية الكامنة ، ورسمها بمقياس مناسب .
2. تعيين القيمة العظمى لكل من سرعة التابع ، وتسارعه .

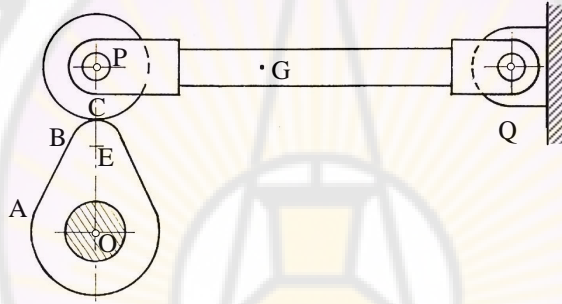
*

م-6-10

يبين الشكل (م-6-10) كامنة مماسية حيث الدائرة الأساسية مركزها O ، ونصف قطرها 25 mm ، ودائرة الأنف مركزها E ، ونصف قطرها 10 mm ، والبعد بين المركزين 30 mm ، وتدور بسرعة ثابتة حول محور مار من O لتحرك تابعاً دحروجياً نصف قطره 20 mm بحركة اهتزازية حول المسند Q .

فإذا كان طول الذراع ($PQ = 160 \text{ mm}$) ، ومركز ثقله G يبعد عن Q مقدار ($GQ = 100 \text{ mm}$) ، ونصف قطر عطالته حول G يساوي 60 mm ، ويتحرك حول وضعه الأفقي بزوايتين متساويتين ، ويستند إلى الكامنة بتأثير وزنه فقط . المطلوب باعتبار مسار نقطة الأثر P خطاً مستقيماً شاقولياً ماراً من O ، الآتي:

1. تحديد زاوية عمل الكامنة ، وزاوية الحركة على الجانب المستقيم للكامنة .
2. تعيين قيمة سرعة الدوران العظمى للكامنة التي يبقى عندها الدحرج ملامساً للكامنة .
3. حساب قيمة التسارع الزاوي للذراع PQ الموافقة لسرعة الدوران المعينة أعلاه ، وذلك عند نقطتي بدء الجانب المستقيم للكامنة ، ونهايته .



الشكل (م-6-10)

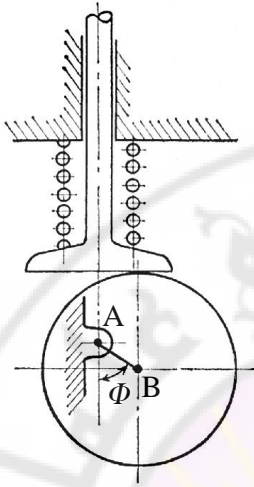
*

م-6-11

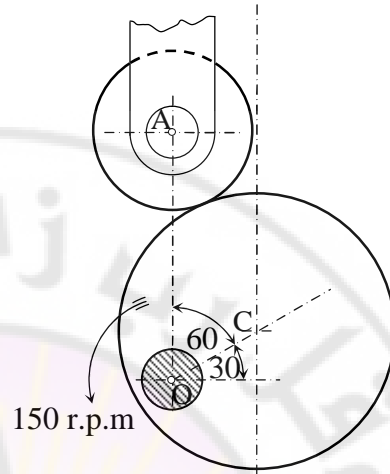
يبين الشكل (م-6-11) كامنة دائرية ذات تابع مسطح ترددي يمر محوره من محور عمود الدوران A الذي يبعد عن مركز الدائرة B بمقدار الاختلاف المركزي 25 mm ، أما قطر الدائرة ، فهو 125 mm ، وكتلة التابع 5 kg ، وعامل صلابة النابض 8.5 kN/m ، وقوة الانضغاط الابتدائي 50 N عندما يكون التابع في أخفض وضع له . فإذا دارت الكامنة بسرعة زاوية ثابتة . المطلوب:

1. تعيين العزم اللازم تطبيقه على عمود دوران الكامنة عند الزاوية ($\Phi = 60^\circ$) ؛ للتغلب على عطالة التابع ، وقوة النابض ، والجاذبية عندما تدور الكامنة بسرعة 500 r.p.m .

2. ما أعظم سرعة دوران ممكنة بحيث لا يفقد التماس بين الكامنة ، والتابع .



الشكل (م-11-6)



الشكل (م-12-6)

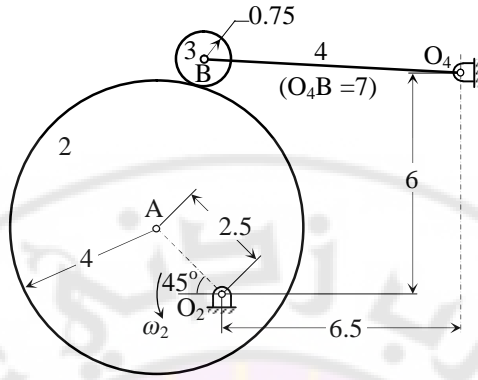
م-12-6

يبين الشكل (م-12-6) كامّة دائرية ذات تابع دحروجي قطري يمر محوره من مركز الدوران O ، حيث إن قطر الكامّة 76 mm ، ومركزها C ، وقطر الدحروج 44 mm ، والاختلاف المركزي (OC = 25 mm) . فإذا دارت الكامّة بسرعة 150 r.p.m بالاتجاه المبين في الشكل . المطلوب عند هذا الوضع تعيين سرعة التابع ، وتسارعه بأية طريقة مناسبة .

*

م-13-6

يبين الشكل (م-13-6) كامّة دائرية مركزها الهندسي A ، وتُدار حول O₂ بسرعة ثابتة 400 r.p.m باتجاه عكس دوران عقارب الساعة ، لتحرك تابعاً دحروجياً متأرجحاً حول O₄ . المطلوب تعيين السرعة الزاوية ، والتسارع الزاوي للتابع ؛ أي الوصلة 4 ، علماً أن الأبعاد بالسنتيمتر .



الشكل (م-6-13)

*

م-6-14

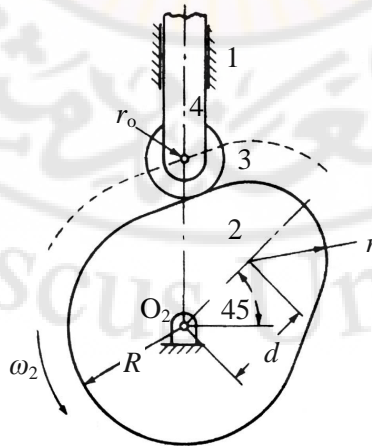
يبين الشكل (م-6-14) كامة مماسية ، وتابعاً دحروجياً ترددياً قطرياً ، حيث إن :

$$r = 20 \text{ mm} , \quad R = 30 \text{ mm} , \quad r_o = 10 \text{ mm} , \quad d = 23 \text{ mm}$$

فإذا دارت الكامة بسرعة ثابتة ($\omega_2 = 15 \text{ rad/sec}$) باتجاه عكس دوران عقارب

الساعة . المطلوب بعد أن تدور زاوية θ من أخفض وضع للتابع ، الآتي :

1. رسم الكامة في الوضع المبين في الشكل (م-6-14) بمقياس مناسب .
2. حساب زاوية عمل الكامة ؛ وبالتالي تحديد θ .
3. تعيين قيمة سرعة التابع ، وتسارعه واتجاههما عند الوضع المبين في الشكل ، تحليلياً وتخطيطياً .



الشكل (م-6-14)

م-6-15

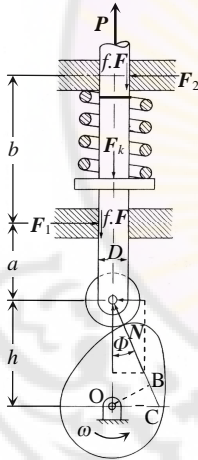
إذا كان لدينا استناداً إلى رموز الشكل (م-6-15):

$$P = 25 \text{ N} , \quad W = 10 \text{ N} , \quad f = 0.1$$

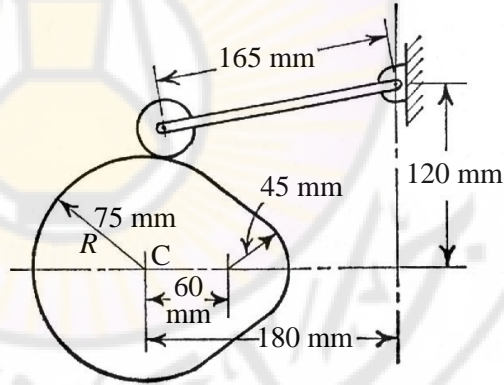
$$a = 28 \text{ mm} , \quad b = 50 \text{ mm} , \quad D = 10 \text{ mm}$$

وكان عامل صلابة النابض المستعمل هو 3.5 kN/m ، وقوة الانضغاط الابتدائي فيه عند أخفض وضع للتابع هو 20 N . المطلوب باستعمال معطيات التمرين السابق (م-6-14) ، وللوضع المبين في الشكل:

1. تعيين قيمة زاوية الضغط Φ ، ومن ثم تحديد قيمة القوة الناطمية المؤثرة من الكامنة في التابع .
2. تعيين قيمة العزم اللازم لتدوير الكامنة .
3. حساب القيمة الحدية Φ_m لزاوية الضغط .



الشكل (م-6-15)



الشكل (م-6-16)

م-6-16

تدور كامنة مماسية بسرعة ثابتة 400 r.p.m عكس اتجاه دوران عقارب الساعة حول المركز C ؛ لتحرك تابعاً دجروجياً متأرجحاً ، كما يبين (الشكل-6-16) . فإذا كان قطر الدحروج 45 mm . المطلوب عند الوضع الذي تكون فيه الكامنة قد دارت زاوية 100° من الوضع المبين في الشكل . تعيين السرعة الزاوية ، والتسارع الزاوي للذراع المتأرجح تخطيطاً ، أو بأية طريقة أخرى .

الفصل السابع

المسِنَّات Gears

من المعتقد أن المسننات كانت مستعملة منذ حوالي 350 قبل الميلاد ، وأن ستيسيبيوس (Ctesibius) استخدم منذ حوالي 150 قبل الميلاد المسننات المتعامدة (*Spur and Bevel Gears*) في الساعات المائية التي كان يصنعها ، وتوجد على العمود المسمى (*Trojan Column*) في روما بإيطاليا والمنصوب عام 114 قبل الميلاد نقوش للمسِنَّات ، كما تحتوي رسومات الرسام الإيطالي ليوناردو دافنشي (*Leonardo Da Vinci*) أنواع من المسننات العدلة (*Spur*) ، والدودة (*Worm*) ، والمخروطية (*Bevel*) ، وكانت تلك المسننات القديمة جميعها من النوع الوتدي (*Cog Wheel*) ، ولا تزال هذه الأنواع البدائية مستعملة في دوليب الماء في بعض قرى سورية .

في عام 1674 أعلنت أول نظرية لشكل المسننات الصحيح كتبها عالم فلكي دانمركي ، شرح فيها المسننات السيكلويدية ، وفي عام 1695 اقترح مهندس فرنسي نظرية استعمال المسننات الإنفلوتية (*Involutes*) ، وفي عام 1696 طبع كتاب بعنوان القدرة الميكانيكية (*Mechanic Powers*) لمؤلفين بريطانيين أوردوا فيه نظرية المسننات ، بحيث يتدرج المسننان على بعضهما من دون انزلاق أو احتكاك ، وقد بقيت هذه النظريات من دون تطبيق ، ومن دون فائدة إلى الوقت الذي أصبح فيه من الممكن صنع المسننات بدقة ، بحيث تنطبق أشكالها على النظريات المذكورة . ففي عام 1864 اخترعت أول آلة قاطعة للمسِنَّات ألا وهي الفريزة (*Milling Cutter*) ، وتوالت بعد ذلك اختراعات آلات صنع المسننات ، وبعد عام 1884 أصبحت المسننات تصنع بالدقة المطلوبة ، وبالأشكال الصحيحة .

إن بحث المسننات طويل وواسع ، وهناك كتب خاصة تبحث في نظرياتها ، وتصميمها ، وطرق صنعها ، وهدفنا من هذا الفصل هو أن نقدم المبادئ الأساسية لنظريات المسننات ، وأسس تحليلها وإنشائها ، وتوضيح التحليل الحركي والديناميكي لمجموعات المسننات الأكثر استعمالاً في التطبيقات العملية ، وأن نشير إلى بعض النواحي العملية التي يجب أن نأخذها بالحسبان إذا أردنا تنفيذ تصميم معين .

نسمي آلية إدارة أو قيادة كل تركيبة بسيطة أو مركبة معدة لنقل القدرة من المحرك ؛ أي العمود القائد (Driver) إلى الآلة أي العمود المقود (Follower) عندما يكون العمودان غير متساميتين . يصاحب عملية النقل هذه عادة تغير في السرعات ، القوى ، والعزوم ، وأحياناً تغير في طبيعة قانون الحركة .

تعود ضرورة استخدام آليات الإدارة إلى عدة أسباب ، أهمها:

1. اختلاف السرعة أو السرعات المطلوبة للآلة عن سرعة المحرك ؛ خاصة في حالة محرك ذي سرعة قياسية ثابتة .
2. حاجة الآلة خلال بعض فترات أدائها إلى عزوم كبيرة ، بالمقارنة مع العزم الناتج من المحرك ، مثال ذلك إقلاع بعض الآلات .
3. استخدام محرك واحد في تشغيل تركيبات عدة ، أو آلات ذات سرعات مختلفة .
4. تحرك الآلة أو أجزاء منها بحركة مستقيمة متغيرة السرعة أو متقطعة ، بينما يدور المحرك بسرعة ثابتة .

يمكن تحقيق المتطلبات المذكورة أعلاه باستعمال آليات إدارة ميكانيكية بحتة ، إلا أن التطور العلمي الحديث قد أدى إلى توسيع مجال تطبيقات هذه الآليات وإلى تحسين أدائها ، بإدخال وسائل نقل مساعدة كهربائية ، وهيدروليكية أو هوائية في تصميمها .

تقسم آليات الإدارة الميكانيكية وفق نمط الحركة من المحرك ، إلى نوعين رئيسيين:

1. آليات إدارة بالاحتكاك
يتم نقل القدرة في آليات الإدارة بالاحتكاك إما بالتماس المباشر بين قرصي احتكاك ، أو عبر وصلات مرنة كالسيور أو الحبال .
2. آليات إدارة بالتعشيق
يتم نقل القدرة في آليات الإدارة بالتعشيق إما بالتماس المباشر كالمسننات ، أو عبر وصلات مرنة كالجنائزير أو السيور البلاستيكية المسننة .

تعرف المسننات بأنها أجزاء الآلات التي تنقل الحركة ، والعزم بواسطة تتابع تشابك الأسنان ، وتعدّ من العناصر الرئيسة في أنظمة نقل الحركة ، والقدرة في معظم الآلات ، كما تُعدّ من أكثر آليات الإدارة استخداماً في مختلف التطبيقات الهندسية ؛ إذ إنها تمتاز عن بقية الآليات الميكانيكية في عدة نواح ، أهمها:

1. الحفاظ على نسبة نقل ثابتة .
2. إمكان نقل قدرات كبيرة لا يمكن عملياً نقلها بواسطة آليات الإدارة الأخرى .
3. إمكان استخدامها في تحقيق نسب نقل عالية في مرحلة واحدة ، تصل في المسننات الدودية إلى أضعاف ما يمكن تحقيقه في الآليات الأخرى .
4. ارتفاع مردود النقل الذي يصل أحياناً إلى 99% .
5. صغر الحيز الذي تشغله ، وسهولة صيانتها .
6. عدم تأثرها بدرجة الحرارة المحيطة ؛ بخاصة عند مقارنتها بآليات الإدارة بالاحتكاك .
7. سهولة تصميمها لتحقيق حركة مستقيمة .
8. إمكان تصميمها لسرعات محيطية عالية نسبياً ، تزيد على 60 m/sec في المسننات الحلزونية ؛ إذ إن دقة التصنيع الممكن تحقيقها هي فقط التي تحد من قيم هذه السرعات ، بينما تؤثر هذه القيم في آليات الإدارة بالسيور ، والجنازير في القوى النابذة ؛ مما يؤدي إلى تخفيض فعالية أدائها .

إن صعوبة تصنيع المسننات ، والدقة العالية التي تتطلبها في عملية قطع الأسنان تحدان أحياناً من استخدامها ؛ إضافة إلى عدم ملائمتها في نقل القدرة بين عمودين ، حيث البعد بين محوريهما كبير نسبياً ؛ إذ يفضل اللجوء عندئذ إلى النقل بالسيور ، والجنازير .

Classification of Gears

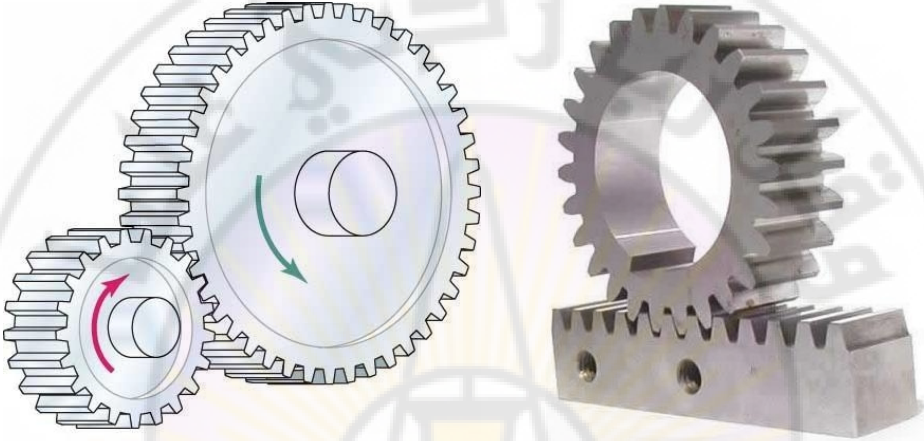
2-7- تصنيف المسننات

يمكن تصنيف المسننات وفق عدة أسس ، منها: الوضع النسبي لمحوري العمودين ، والحركة النسبية بين العمودين ، أو شكل المنحني الرياضي المحدد لجانبية السن ، إلا أنه يفضل عادة تصنيفها في أربعة أشكال رئيسة: عدلة ، وحلزونية ، ومخروطية ، ودودية .

Spur Gears

1-2-7- المسننات العدلة

هي مسننات أسطوانية الشكل تصل بين عمودين متوازيين (Parallel Axes) ، لها أسنان مستقيمة توازي محوري العمودين كما هو مبين في الرسم a في (الشكل-1-7) ؛ لذا تدعى أيضاً بالمسننات الأسطوانية المستقيمة .



a- مسننات أسطوانية مستقيمة.

b- جريدة مسننة.

(الشكل-1-7) المسننات العدلة .

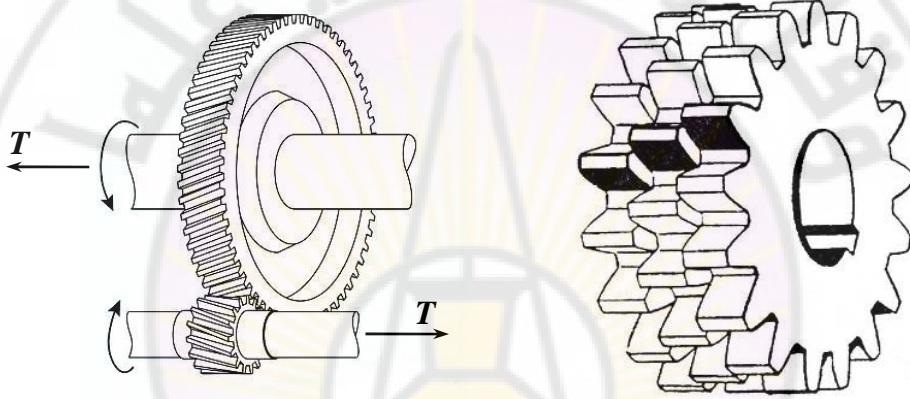
يتم التعشيق بين الأسنان المستقيمة على السطح الخارجي لكل من المسننين ؛ وبالتالي يدور أحد العمودين باتجاه يعاكس دوران العمود الآخر . أما إذا كانت أسنان المسنن الكبير داخلية ، فإن التعشيق عندئذ يكون داخلياً ، ويدور العمودان باتجاه واحد . يسمى المسنن الصغير عادة بـ تريس . وإذا استعاض عن المسنن الكبير بجريدة مسننة ، كما هو مبين في الرسم b في (الشكل-1-7) ، فإنه تتولد عندئذ من دوران التريس حركة مستقيمة . تمتاز المسننات العدلة بسهولة تصنيعها ، وعدم توليدها قوى دفع محورية ، إلا أنها تحدث مستوى ضجيج مرتفع ، يحد من استخدامها في حالة السرعات العالية .

Helical Gears

2-2-7- المسننات الحلزونية

تصل المسننات الحلزونية المتوازية بين عمودين متوازيين (Parallel Axes) ، لها أسنان مائلة على محوري العمودين ، بحيث يشكل كل سن جزءاً من حلزون أسطواني ، كما هو مبين في الرسم a في (الشكل-2-7) .

يلاحظ من المسنن المتدرج المبين في الرسم b في (الشكل-7-2) ، أنه يمكن افتراض المسنن الحلزوني مكافئاً لمسنن متدرج ، مكوناً من عدد لا نهائي من مسننات عدلة متماثلة ضيقة جداً ، حيث تثبت هذه المسننات بجوار بعضها بعضاً ، بشكل يتقدم فيه كل مسنن بالنسبة إلى المسنن المجاور بمسافة ثابتة ، تحدد من نسبة الخطوة الدائرية إلى عدد أسنان المسنن . كما يحدد اتجاه الحلزون بالقاعدة المطبقة نفسها في اللولب ؛ أي: إن حلزون التريس المبين في الرسم a في (الشكل-7-2) هو يميني ، بينما حلزون المسنن الكبير يساري .



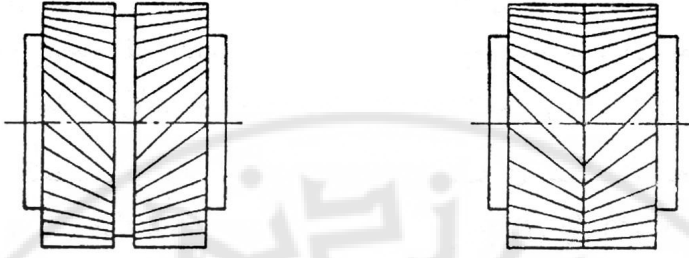
a- مسننات حلزونية متوازية

b- مسنن حلزوني متدرج

(الشكل-7-2) المسننات الحلزونية

من الواضح أن تعشيق هذه المسننات يتم بشكل تدريجي ، فعوضاً من أن تتلامس الأسنان على كامل عرض السن ، كما في المسننات العدلة ، فإن التلامس يبدأ عند حافة السن ، ومن ثم يتدرج على عرض السن . يؤدي ذلك إلى تخفيض أحمال الصدم ؛ وبالتالي إمكان استخدام هذه المسننات لسرعات دوران عالية جداً ، لكن يجب تصنيعها بشكل دقيق للغاية ؛ منعاً لحدوث مستوى ضجيج غير مقبول .

ينتج من المسنن الحلزوني المفرد دفع محوري T ، كما هو مبين في الرسم a في (الشكل-7-2) ؛ لذا يجب تصميم محامل عمود الدوران بحيث يمكنها تحمل هذا الدفع . أما في المسنن الحلزوني المزدوج المبين في (الشكل-7-3) ، فإن محصلة الدفع المحوري على عمود الدوران تتعدم ؛ بسبب تعاكس القوى المحورية الناشئة في كل نصف منه مع النصف الآخر .



b- مسنن حلزوني مزدوج من دون فراغ بينهما. a- مسنن حلزوني مزدوج مع فراغ بينهما.
(الشكل-7-3) المسننات الحلزونية المزدوجة .

يكافئ المسنن الحلزوني المزدوج مسننين مفردين ، أحدهما يميني الاتجاه والآخر يساري ، موضوعين بجوار بعضهما ، يؤدي توازن القوى المحورية في هذه المسننات إلى إمكان زيادة زاوية الحلزون ؛ مما يحقق تعشيقاً أهدأ ، وأسلس مما في حالة المسنن المفرد ؛ وبالتالي زيادة في التحميل والمتانة .

يمكن تسهيل عملية تصنيع المسننات المزدوجة بترك فراغ بين نصفي المسنن ، كما هو مبين في الرسم a في (الشكل-7-3) ، أو أن يصنع كل نصف على حدة ، ثم يجمعان مع بعضهما بعضاً . كما يمكن تصنيع هذا النوع مباشرة باستخدام آلات خاصة لينتج الشكل المبين في الرسم b في (الشكل-7-3) .

إذا كان العمودان غير متوازيين ولا متقاطعين بل متخالفين ؛ أي لا يقعان في مستو واحد ، فإنه يمكن نقل القدرة بينهما بواسطة مسننات حلزونية متصالبة (*Crossed Helical Gears*) ، أو ما يسمى أحياناً مسننات حلزونية لولبية (*Spiral Helical Gears*) ، كما هو مبين في (الشكل-7-4) .

يختلف مبدأ التعشيق في هذا النوع عنه في المسننات الحلزونية المتوازية ؛ إذ يحدث التلامس هنا عند نقطة ؛ مما يؤدي إلى انزلاق بين الأسنان يحد من القدرة التي يمكن نقلها ، ومن السرعات المسموح بها . يمكن في المسننات الحلزونية المتصالبة أن يكون حلزوناً كل من المسننين بالاتجاه نفسه أو باتجاهين متعاكسين ، كما أنه ليس من الضروري أن يكون لهما زاوية الحلزون نفسه . تستخدم هذه المسننات عادة في نقل الحركة إلى مضخة الزيت ، والموزع في محركات الاحتراق الداخلي ، وفي آليات تغذية الحركة في آلات التشغيل .

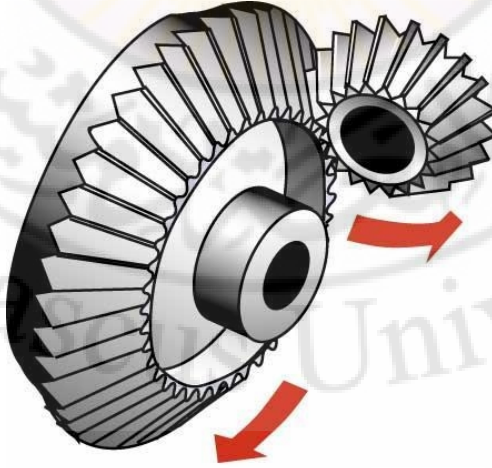


(الشكل-4-7) المسننات الحلزونية اللولبية .

Bevel Gears

3-2-7- المسننات المخروطية

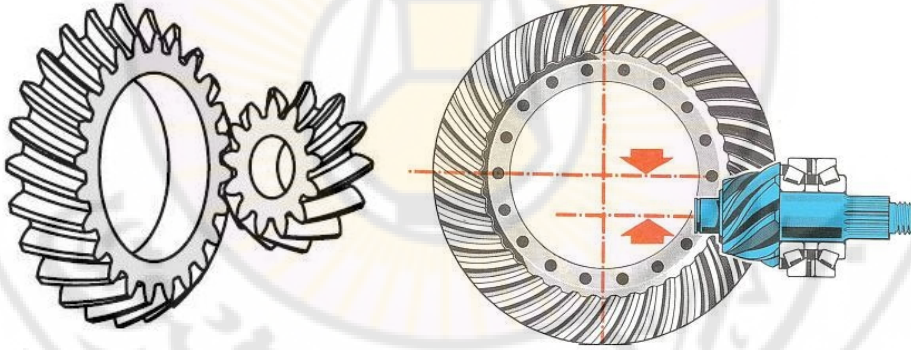
تستخدم المسننات المخروطية في نقل القدرة بين عمودين يتقاطعان محاورهما *(Intersecting Axes)* . يبين (الشكل-5-7) مسننين مخروطيين مستقيمين ، حيث تستدق أسنانهما ليلتقي امتدادهما عند نقطة تقاطع محوري العمودين التي تسمى الذروة (*Apex*) .



(الشكل-5-7) المسننات المخروطية المستقيمة .

تتولد في هذا النوع من المسننات قوى محورية متجهة من الذروة ؛ لذا يجب تصنيعها بدقة بالغة لضمان توزيع الحمل على الأسنان توزيعاً صحيحاً . تستخدم هذه المسننات عادة لأحمال ، وسرعات متوسطة . يمكن أن يكون التعشيق خارجياً عند كون زاوية التقاطع بين محوري العمودين أقل من 90° ، وداخلياً لزاوية أكبر من 90° ، وعندما يتساوى المسننان ، ويتقاطع المحوران بزاوية 90° ، فإن نسبة النقل تكون 1 : 1 ، وتسمى عندئذ مسننات مخروطية مشطوبة (Mitre Bevel Gears) .

يمكن تحسين أداء هذه المسننات من حيث سلاسة التعشيق ، وهدوء التشغيل ، وزيادة التحميل والسرعات ، بجعل الأسنان منحنية ؛ مما ينشأ عنه مسننات مخروطية لولبية (Spiral Bevel Gears) المبينة في الرسم a في (الشكل-6-7) . يقارن هذا النوع مع المسننات المخروطية المستقيمة بالمفهوم نفسه الذي قورنت به المسننات الحلزونية المتوازية مع المسننات العدلة . تستخدم هذه المسننات بشكل واسع في الجهاز التفاضلي للسيارات .



a- مسننات مخروطية لولبية.

b- مسننات هيبيودية.

(الشكل-6-7) مسننات مخروطية .

أما إذا كان محورا العمودين غير متقاطعين ، فتستعمل المسننات الهيبيودية (Hypoid Gears) المبينة في الرسم b في (الشكل-6-7) . يمكن الحفاظ في هذه الحالة على التماس بين الأسنان المتشابكة بجعل شكل السن يقترب من سطح زائد دوراني . يؤدي ذلك إلى تريس أكبر منه في المسننات اللولبية ، لأنه يمكن تصميم زاوية لولب التريس ؛ لتكون أكبر من تلك التي هي للمسنن الكبير .

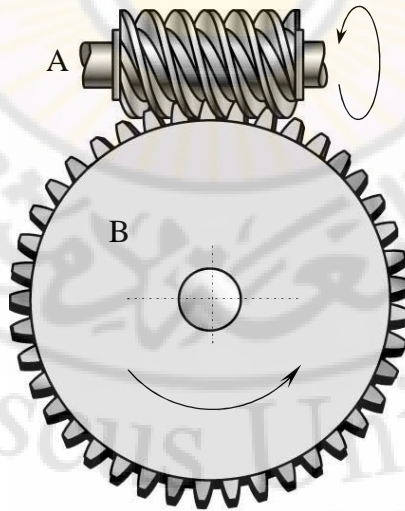
تختلف هذه المسننات عن المسننات اللولبية بحدوث انزلاق بين الأسنان يستوجب تزيتاً قسرياً جيداً ، كما أنه يمكن تصميمها لنسب تخفيض أعلى ، وتعمل بهدوء ، ومتانة أكبر من مسننات لولبية مكافئة من حيث نسبة النقل . يفضل غالباً استخدامها في الجهاز التفاضلي للسيارات ؛ نظراً لأن إمكان إزاحة محور عمود التريس ، يسمح بتخفيض عمود النقل ؛ وبالتالي تخفيض جسم السيارة .

تجدر الإشارة إلى أن المسننات المخروطية كافة تصمم عملياً كأزواج مترافقة ، وهي غير قابلة للتبادل .

Worm Gears

4-2-7- المسننات الدودية

تستعمل هذه المسننات لنقل القدرة بين عمودين غير متوازيين ومحوراهما غير متقاطعين (Nonparallel and Nonintersecting Axes) ، ولكن يكونان عادة متعامدين فراغياً مع بعضهما ، كما في (الشكل-7-7) . يكون التريس A على شكل لولب ذي عدد قليل من الأسنان ويسمى الدودة (Worm) ، أما المسنن B ، فيسمى الدولاب أو المسنن الدودي (Worm Gear) .



(الشكل-7-7) المسننات الدودية .

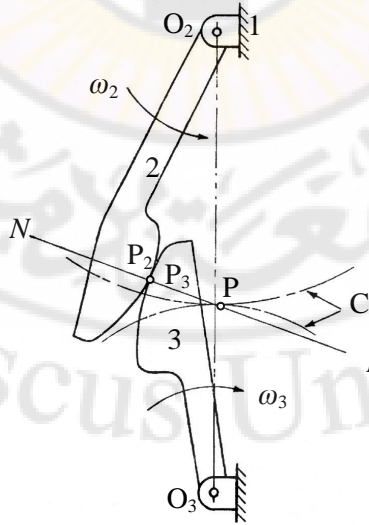
تمتاز هذه المسننات بصغر الحيز الذي تشغله ، بهدوء عملها ، وبنسب النقل العالية التي يمكن تحقيقها ، وهي تستخدم غالباً لتخفيض السرعة عندما يكون التريس هو الوصلة القائدة . تصل نسبة التخفيض أحياناً إلى 1 : 500 ، أو أكثر في حال نقل قدرات منخفضة نسبياً ، إلا أن مردودها منخفض بالمقارنة مع بقية أنواع المسننات ، كما أن كلفة تصنيعها مرتفعة .

يصنع المسنن الدودي المقود عادة من البرونز الفسفوري لتقليل معامل الاحتكاك ، والحد من تولد حرارة عالية نسبياً ؛ بسبب سرعات الانزلاق العالية التي تحدث بين الأسنان . كما أنه يصنع عادة بطريقة التوليد ، باستعمال عدة قطع ملولبة تماثل في شكلها الدودة التي ستترافق مع هذا المسنن . ينتج من ذلك تماس خطي بين الأسنان يمكن من استعمال المسننات الدودية لأحمال أكبر من تلك المسموح بها في حالة المسننات الحلزونية المتصالبة ، حيث التماس نقطي .

Fundamental Law of Gearing

3-7- القانون الأساسي للمسننات

يبين (الشكل-7-8) تركيبة ذات تماس مباشر ، حيث يمثل الخط NN الناطم المشترك لسطحي التماس . يتقاطع هذا الخط مع خط المركزين O_2O_3 في النقطة P .



(الشكل-7-8) تركيبة ذات تماس مباشر .

لقد بينا في الفقرة (3-9-3) أن سرعتين الزاويتين للجسمين 2 و 3 اللذين يدوران في مستو واحد ، تتناسبان عكسياً مع الطولين المحددين من تقاطع الناظم المشترك مع الخط الواصل بين المركزين ؛ أي في حالة (الشكل-7-8):

$$\frac{w_3}{w_2} = \frac{O_2P}{O_3P} \quad (1-7)$$

وبالتالي إذا كان المطلوب نسبة سرعة ثابتة ، فإن النقطة P يجب أن تبقى ثابتة خلال كامل فترة دوران التركيبية . تكافئ حركة الجسمين 2 و 3 عندئذ حركة تدرج دائرتين تتماسان عند النقطة P ، وتسمى كل من هاتين الدائرتين C بدائرة الخطوة .

ينتج من ذلك أن القانون الأساسي للمسننات الدائرية ، هو:

لكي ينقل زوج من المسننات الدائرية الحركة بين عمودين بنسبة ثابتة لسرعتي دورانهما ، يجب أن يكون شكل سطحي التماس بين المسننين ، بحيث يمر الناظم المشترك لهما من نقطة ثابتة على الخط الواصل بين مركزي المسنن .

يلاحظ من الشكل أن هذه النقطة الثابتة هي P التي تسمى — نقطة الخطوة (Pitch Point) . كما أننا بينا في الفقرة (3-9-3) أن شرط حدوث حركة تدرجية صرفة من دون انزلاق ، هو أن تتطبق نقطة تماس السطحين دوماً مع النقطة P .

Principal Terms

4-7- المصطلحات الأساسية

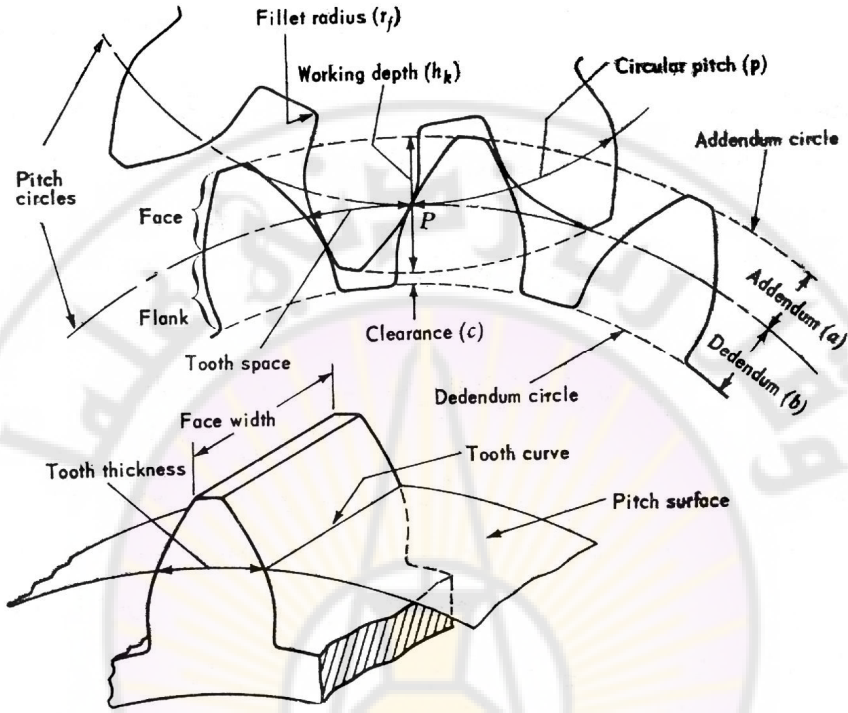
قبل البدء بدراسة نظرية المسننات بالتفصيل ، يجب أن نقوم بتعريف المصطلحات الأساسية المستعملة في هذا المجال . بما أن أغلب عناصر المسننات العدلة هي أساسية للأنواع الأخرى كافة ، فإننا سنورد فيما يلي شرحاً موجزاً لكل منها استناداً إلى (الشكل-7-9) ، أما المصطلحات الخاصة بكل نوع ، فهي سترد لاحقاً عند دراسة كل منها على حدة .

§ التريس Pinion

وهو أصغر المسننين المتعشقين الذي فيه عدد أقل من الأسنان .

§ المسنن Gear

وهو أكبر المسننين المتعشقين .



(الشكل-7-9) المصطلحات الأساسية للمسننات العدلة .

§ الجريدة المسننة *Rack*

وهو جزء مسنن ، قطر دائرة خطوته يساوي لا نهاية ، أي أنه ذو حركة مستقيمة .

§ البعد المركزي *Centric Distance*

وهو المسافة بين مركزي مسننين مترافقين ، ويرمز له بـ C .

§ سطح الخطوة *Pitch Surfaces*

وهما السطحان الدورانيان التخيليان اللذان ينطبق محوراها على محوري المسننين المترافقين ، واللذان إذا تدحرج بعضهما على بعض من دون انزلاق ، أعطيا نسبة السرعة نفسها التي يعطيها المسننان . من الواضح أن سطح الخطوة هو أسطوانتي للمسننات العادلة ، والحلزونية ، بينما يكون مخروطياً للمسننات المخروطية .

§ دائرة الخطوة Pitch Circle

وهي دائرة تخيلية تمثل مقطع سطح الخطوة في مستو عمودي على محور الدوران ، ويرمز لقطرها بالرمز D .

§ نقطة الخطوة Pitch Point

وهي نقطة تماس دائرتي الخطوة لمسننين مترافقين ، كالنقطة P في (الشكل-7-9) .

§ الخطوة الدائرية Circular Pitch

وهي المسافة الاسمية المقاسة على دائرة الخطوة بين نقطتين على سنيين متجاورتين ، ويرمز لها بـ p ، أي أنه في حالة مسنن عدد أسنانه Z :

$$p = \frac{\pi.D}{Z} \quad (2-7)$$

§ الخطوة القطرية Diametral Pitch

وهي عدد الأسنان لكل ملليمتر ، أو بوصة أي إنش ، وذلك بحسب وحدات القياس ، من قطر دائرة الخطوة ، ويرمز لها بـ p_d ، وهناك علاقة ثابتة بين الخطوة القطرية ، والخطوة الدائرية ؛ أي إن :

$$p_d = \frac{Z}{D} = \frac{p}{p} \quad (3-7)$$

§ الموديول Module

وهو نسبة قطر دائرة الخطوة إلى عدد الأسنان ؛ أي إنه مقلوب الخطوة القطرية ، ويرمز له بـ m ؛ أي: إن :

$$m = \frac{D}{Z} = \frac{1}{p_d} = \frac{p}{p} \quad (4-7)$$

§ دائرة الساق Addendum Circle

أو الدائرة المحيطة وهي الدائرة التي تغلف النهايات الخارجية للأسنان .

§ دائرة الجذر Dedendum Circle

وهي الدائرة التي تمس قعر الفراغات بين الأسنان .

§ ساق السن Addendum

أو العمق الخارجي ، وهو الارتفاع الذي يبرز فيه السن فوق دائرة الخطوة ، أو هي المسافة القطرية للسن بين دائرة الخطوة ، ودائرة المحيط الخارجي للأسنان ، ويرمز له بـ a .

§ جذر السن Dedendum

أو العمق الداخلي ، وهو العمق بين دائرة الخطوة ، وقعر السن ، أو هو المسافة القطرية للسن بين دائرة الخطوة ، وبين دائرة الجذر ، ويرمز له بـ b .

§ الخلوص Clearance

وهو المسافة القطرية بين النهاية الخارجية لسن وقعر السن المرافقة ، أي إنه يساوي الفرق بين طول جذر السن وساق السن المرافقة ، ويرمز له بـ c .

§ العمق الكلي Whole Depth

وهو العمق الكلي للفراغ بين سنين ؛ أي: إنه يساوي الارتفاع الكلي للسن ، ويرمز له بـ h_t ، ومنه:

$$h_t = a + b \quad (5-7)$$

§ العمق الفعال Working Depth

وهو عمق التعشيق بين مسننين ، ويساوي مقدار تشابك المسننين ؛ أي إنه يساوي مجموع طول ساقيهما ، ويرمز له بـ h_k .

$$h_k = h_t - c = a + b - c \quad (6-7)$$

§ سماكة السن Tooth Thickness

وهي السماكة المقاسة على دائرة الخطوة ، ويرمز لها بـ t ، وتساوي $p/2$ في المسننات العدلة العيارية .

§ عرض فراغ السن Tooth Space

وهو عرض الفراغ بين سنين متجاورين مقاساً على دائرة الخطوة ، ويرمز له بـ S .

§ عرض وجه السن *Face Width*

وهو عرض النهاية الخارجية للسن مقاساً باتجاه يوازي محور عمود الدوران ، ويرمز له بـ F .

§ الفوت *Backlash*

أو اللعب ، وهو المقدار الذي تزيد فيه الفتحة بين سنين متجاورين عن سمك السن المتشابك ، أي هو المقدار الذي يزيد به عرض فراغ السن على سماكة السن المترافقة معه ، يقاس هذا المقدار على دائرة الخطوة ، ويرمز له بـ B .

لا بد من وجود الفوت عملياً لمنع حدوث اللصب (أي الكرجة) بين الأسنان ؛ بسبب أخطاء التصنيع أو التمدد الحراري ، إلا أننا في دراستنا سنفرض الفوت معدوماً إلا إذا ذكر خلاف ذلك .

§ نسبة النقل *Transmission Ratio*

وهي نسبة السرعة الزاوية للمسنن القائد إلى السرعة الزاوية للمسنن المقود ؛ وبالتالي تتناسب عكسياً مع عدد أسنان كل منهما .

§ نسبة التعشيق *Gearing Ratio*

وهي نسبة عدد أسنان المسنن إلى عدد أسنان التريس ، ويرمز له بـ m_G .

§ مسار التماس *Path of Contact*

وهو المنحني الذي ترسمه نقطة التماس منذ بدء التعشيق بين سنين ، وحتى انتهائه .

§ قوس العمل *Arc of Action*

ويسمى أحياناً بـ قوس التماس ، وهو المحل الهندسي لنقطة تقاطع سطح السن مع دائرة الخطوة خلال كامل فترة التماس بين السنين ، ويقسم إلى جزئين:

- جزء يسمى بـ قوس التجاوب أو الاقتراب (*Approach Arc*) ، ويمثل الجزء من بدء التعشيق حتى تماس السنين عند نقطة الخطوة .

- وجزء يسمى بـ قوس الابتعاد أو الانحسار (*Recess Arc*) ، ويمثل الجزء من بدء نقطة الخطوة حتى انتهاء التعشيق .

§ منحنى السن *Tooth Curve*

هو منحنى تقاطع سطح الخطوة (*Pitch Surface*) مع سطح السن ، ومنحنى السن للسن المستقيم هو خط مستقيم .

§ منحنى الاتصال *Fillet Curve*

هو الجزء المنحني من شكل السن عند القاعدة . ويرمز لنصف قطره (*Fillet Radius*) بـ r_f .

تعد المسننات العدلة أبسط أنواع المسننات ؛ إضافة إلى أن دراستها توضح الكثير من المفاهيم الأساسية لتحليل المسننات ، وتصميمها بوجه عام ؛ لذا فإننا سنركز هنا على دراسة هذه المسننات ، وبيان مقومات إنشائها ، وأدائها بشكل مفصل نسبياً ، ومن ثم توضيح المميزات الخاصة لكل نوع من المسننات الأخرى .

5-7- إنشاء أسنان المسننات العدلة *Spur Gears Teeth Construction*

لقد بينا في الفقرة (3-7) الشرط الأساسي في تأمين نسبة نقل ثابتة بين عمودي دوران . يمكن بشكل عام اختيار شكل أسنان أحد المسننين ، ومن ثم بتطبيق القانون الأساسي للمسننات تحديد شكل أسنان المسنن الآخر ، تسمى الأسنان الناتجة بـ الأسنان المترافقة (*Conjugate Teeth*) .

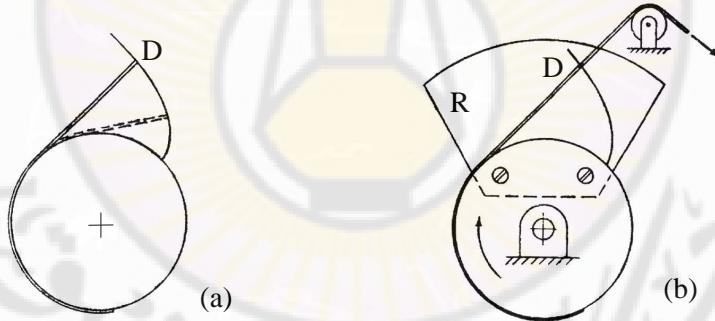
لكن الوسائل المتاحة لتشكيل الأسنان تحد من مجالات الاختيار ؛ لذا فقد تم فقط توصيف المنحني الدويري (*Cycloidal Curve*) ، والمنحني الأنفليوتي (*Involute Curve*) ، كمنحنيات عيارية في تشكيل أسنان المسننات . لكن نظراً للميزات الكثيرة التي يتسم بها المنحني الأنفليوتي ، فقد شاع استخدامه في أغلب التطبيقات ، بينما اقتصر استخدام المنحني الدويري على بعض التطبيقات الخاصة: كالساعات ، وأجهزة التوقيت ، وما شابهها ، حيث يمكن تصميم التريس بعدد قليل من الأسنان لتأمين نسبة تخفيض كبيرة من دون حدوث تداخل ، وكذلك للتخفيف من معدل تآكل الأسنان ؛ نظراً لأن سرعة الانزلاق في المنحني الدويري أقل منها في حالة المنحني الأنفليوتي ؛ لذلك فإننا سنقصر دراستنا على أسنان المسنن الأنفليوتية (*Involute Gear Teeth*) .

7-5-1- إنشاء الأسنان الأنفليوتية

Involute Teeth Construction

يعرف المنحني الأنفليوتي بأنه المنحني الذي ترسمه نقطة من خط مستقيم يتدحرج من دون انزلاق حول محيط دائرة تسمى الدائرة الأساسية (Base Circle) ، أو بشكل آخر هو المحل الهندسي لنقطة من حبل يلتف أو ينحل ، وهو مشدود على محيط دائرة ثابتة . ينتج من هذا التعريف أن النقطة D من الحبل المشدود حول الدائرة ترسم منحني الأنفليوت ، كما هو مبين في الرسم a في (الشكل-10-7) . إن اتجاه حركة النقطة D في أية لحظة هو عمودي على الحبل ؛ وبالتالي فإن الناظم عند أية نقطة من منحني الأنفليوت هو مماس للدائرة الأساسية التي أنشئ منها . يسمى منحني الأنفليوت أحياناً بـ منحني منشأ الدائرة .

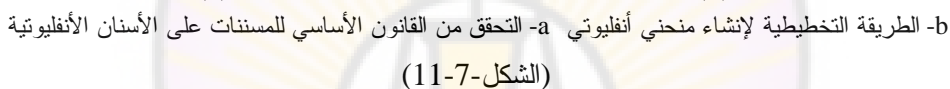
إذا ثبتت صفيحة R إلى الدائرة ، وتركت هذه الدائرة لتدور ، كما هو مبين في الرسم b في (الشكل-10-7) ، فإن نقطة ما D على الحبل المشدود سترسم أنفليوتاً على سطح الصفيحة عند شد نهاية الحبل بالاتجاه المبين في الشكل . إن هذه الحالة في الواقع هي عكس حالة الدائرة الثابتة المبينة في الرسم a في (الشكل-10-7) .



(الشكل-10-7) إنشاء المنحني الأنفليوتي .

يمكن البرهان بسهولة على أن الأسنان الأنفليوتية تحقق القانون الأساسي للمسننات . يبين الرسم a في (الشكل-11-7) حبلاً مشدوداً حول أسطوانتين 2 و 3 ، حيث تمثل N نقطة ثابتة على الحبل .

إذا دارت الأسطوانة 3 حول O_3 باتجاه دوران عقارب الساعة ، فإن الحبل المشدود يقوم بوظيفة السير أو القشاط ، وسيعمل على تدوير الأسطوانة 2 حول O_2 باتجاه دوران عكس عقارب الساعة ، بينما يبقى دوماً ماراً من نقطة ثابتة P على الخط الواصل بين المركزين O_3O_2 .



يسمى الخط EF بـ الخط المولد أو الراسم . يلاحظ أن الدائرة التخيلية التي مركزها O_2 نصف قطرها O_2P ، هي دائرة الخطوة للمسنن المنشأ على الدائرة الأساسية 2 ، وكذلك الأمر بالنسبة للمسنن المنشأ على الدائرة الأساسية 3 ، فإن دائرة خطوته مركزها O_3 ونصف قطرها O_3P . ينتج من تشابه المثلثين O_2EP و O_3FP أن:

536

ومنه استناداً إلى المعادلة (7-1) ، فإن:

$$\frac{w_3}{w_2} = \frac{O_2E}{O_3F} \quad (7-7)$$

أي: إن نسبة النقل تتناسب عكسياً مع قطري الدائرتين الأساسيتين .

يبين الرسم b من (الشكل-7-11) طريقة تخطيطية سهلة لإنشاء أنفليوت يمر من نقطة معينة P . يتم ذلك بمعلومية الدائرة الأساسية ، وليكن مركزها O . ينشأ من النقطة المعلومة P مماس للدائرة الأساسية يحدد النقطة Q على محيط الدائرة . يقسم الخط PQ إلى عدد مناسب من الأجزاء المتساوية . تحدد في كل من جهتي Q ، أقواس على محيط الدائرة تساوي طول هذه الأجزاء . ترسم من النقاط الناتجة على محيط الدائرة مماسات لهذه الدائرة ، وتحدد عليها الأطوال نفسها المتساوية ، حيث يؤخذ على المماس المحدد بالوضع 1 طول جزء ، وبالوضع 2 طول جزعين ، وهكذا حتى يكتمل شكل المنحني الأنفليوتي ، وكلما كان عدد الأجزاء كبيراً كان المنحني أدق .

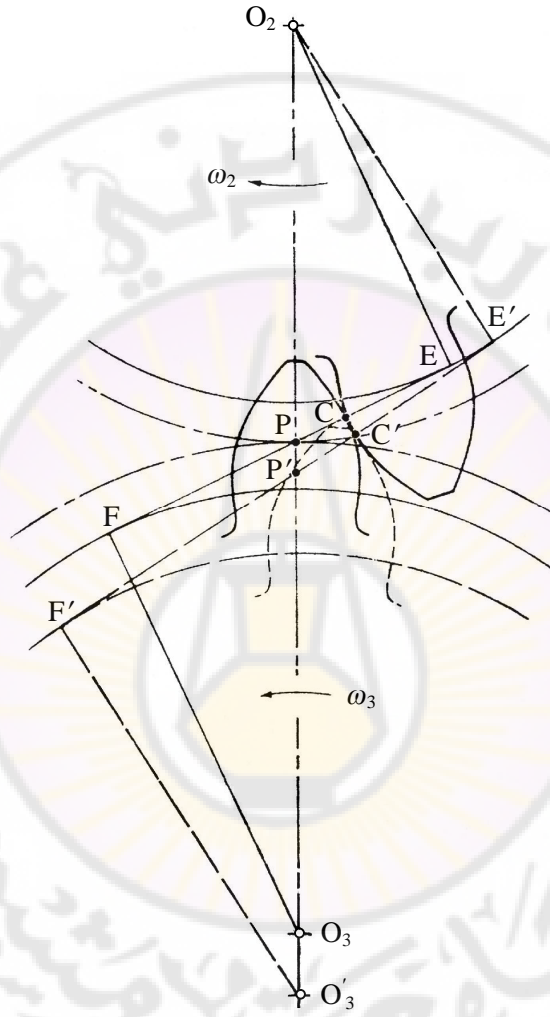
2-5-7- ميزات الأسنان الأنفليوتية

Involute Gear Teeth Characteristics

إن الانتشار الواسع لاستعمال الأسنان الأنفليوتية قد أتى نتيجة لميزات جلية لهذا النوع ، بالمقارنة مع أنواع الأسنان الأخرى كافة . فهي مثلاً سهلة التصنيع ، إذ يمكن تشكيلها باستخدام عدد قطع ، وتجليخ مستقيمة الجوانب ؛ مما ينتج منه انخفاض في كلفة التصنيع ، وجودة إنتاجية عالية.

إلا أن الميزة الرئيسة لهذا النوع من الأسنان هو تحقيقها للقانون الأساسي للمسننات بغض النظر عن البعد بين مركزي محوري المسننين . يمكن توضيح ذلك استناداً إلى (الشكل-7-12) الذي يبين تعشق مسننين أنفليوتين ، ومركز المسنن القائد هو O_2 ، ومركز المسنن المقود هو O_3 ، بينما النقطة P هي نقطة الخطوة ، وقد بينا سابقاً أن نسبة النقل:

$$\frac{w_2}{w_3} = \frac{O_3P}{O_2P}$$



(الشكل-7-12) تعشق مسننين أنفليوتين .

إذا كانت نقطة التماس في هذا الوضع هي C ، فإن إزاحة مركز المسنن 3 إلى O_3' يعمل على إزاحة نقطة التماس إلى C' ، كما هو مبين بالخط المتقطع في الشكل . أما الناظم المشترك في هذه الحالة ؛ أي المماس المشترك للدائرتين الأساسيتين ، فإنه يقطع خط المركزين في النقطة الجديدة p' .

من الواضح أن المثلثين O_2PE و O_3PF متشابهان ، ومنه فإن:

$$\frac{O_3P}{O_2P} = \frac{O_3F}{O_2E}$$

وكذلك الأمر بالنسبة للمثلثين $O_3'P'F'$ و $O_2'P'E'$ ، حيث ينتج أن:

$$\frac{O_3'P'}{O_2'P'} = \frac{O_3'F'}{O_2'E'}$$

لكن بما أن الدائرتين الأساسيتين لا تتغيران ، فإن:

$$O_3'F' = O_3F \quad , \quad O_2'E' = O_2E$$

وبالتالي فإن:

$$\frac{w_2}{w_3} = \frac{O_3P}{O_2P} = \frac{O_3'P'}{O_2'P'}$$

أي: إن نسبة النقل لم تتغير نتيجة تغيير البعد بين مركزي المسننين ، ولا زال القانون الأساسي محققاً . لكن ينتج من ذلك زيادة في مقدار الفوت ؛ إضافة إلى زيادة زاوية الضغط ، بينما ينقص طول مسار التماس . يلاحظ من ذلك أن الدائرة الأساسية هي من المقومات الثابتة في مسنن معين ، وتدخل في صميم مواصفاته ؛ إذ لا يمكن توصيفه بدلالة دائرة الخطوة من دون تحديد زاوية الضغط المرافقة لها . إن مجمل هذه الملاحظات إضافة إلى ميزات أخرى للأسنان الأنفلويوتية ، سيتم توضيحها من خلال الفقرات اللاحقة .

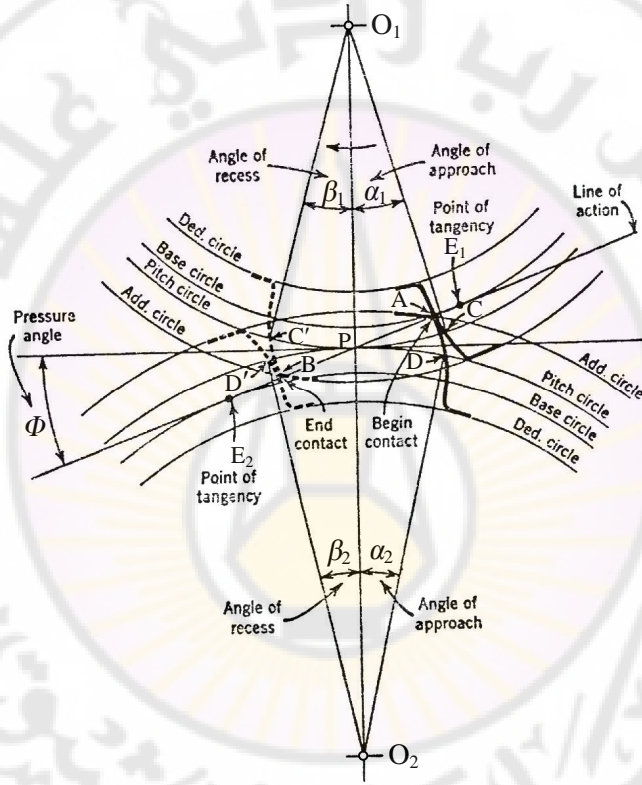
6-7- تحليل حركة المسننات العدلة الأنفلويوتية

Motion Analysis of Involute Spur Gears Teeth

ينصح لنا من مناقشة تشكيل جانبية الأسنان بمنحنيات أنفلويوتية أن الناظم المشترك لسطحين أنفلويوتيين هو المماس المشترك لدائرتيهما الأساسيتين ؛ لأن هذا الناظم هو الحبل المشدود EF حول الدائرتين O_2 و O_3 في المخطط a في (الشكل-7-11) .

يبين (الشكل-7-13) أجزاء من آلية تعشيق زوج من المسننات العدلة الأنفلويوتية ، حيث المسنن الذي مركزه O_1 هو المسنن القائد ، والخط المستقيم E_1E_2 هو المماس المشترك للدائرتين الأساسيتين ؛ وبالتالي الناظم المشترك عند نقطة التماس خلال كامل فترة التماس بين السنين .

يبدأ التماس عند A حيث يقطع الناظم المشترك دائرة الساق للمسنن المقود الذي مركزه O_2 ، ويستمر على طول هذا الناظم حتى انتهاء التعشيق عند B نقطة تقاطع الناظم مع دائرة الساق العائدة للمسنن القائد O_1 ، وتبين الخطوط المتقطعة السنين عند انتهاء التعشيق بينهما . يمثل الخط APB عندئذ مسار التماس (*Path of Contact*) .



(الشكل-7-13) أجزاء من آلية تعشيق زوج من المسننات العدلة الأنفليوتية .

كما يلاحظ أن في حالة إهمال الاحتكاك بين الأسنان ، فإن القوة التي يؤثر بها المسنن القائد في المقود تكون باتجاه هذا الخط ؛ لذا فإنه يسمى عادة بخط نقل الحركة (*Line of Transmission*) أو خط العمل (*Line of Action*) . يميل هذا الخط على المماس المشترك لدائرتي الخطوة ، عند نقطة الخطوة P بزاوية Φ هي زاوية الضغط (*Angle of Pressure*) . من الواضح أن هذه الزاوية في الأسنان الأنفليوتية ثابتة خلال كامل فترة التعشيق .

تمثل النقطة C تقاطع جانبية سن المسنن 1 مع دائرة خطوته عند بدء التماس ، بينما تمثل C' نقطة التقاطع عند انتهاء التماس . أما النقطتان D و D' ، فإنهما النقطتان المناظرتان للنقطتين C و C' في المسنن 2 ؛ أي: إن كلا من القوسين DD' و CC' هو قوس العمل أو التماس ، ويجب أن يكونا متساويين لتحقيق حركة تدريجية لدائرتي الخطوة . إن الجزء CP هو قوس الاقتراب (Arc of Approach) للمسنن 1 ، وتقابله عند O₁ زاوية الاقتراب α_1 (Angle of Approach) ، بينما يمثل الجزء PC' قوس الابتعاد (Arc of Recess) ، وتقابله زاوية الابتعاد β_1 (Angle of Recess) . كما أن α_2 و β_2 تمثلان زاويتي الاقتراب ، والابتعاد للمسنن 2 على التوالي .

إن مجموع زاويتي الاقتراب ، والابتعاد للمسنن ، يمثل زاوية العمل التي تحصر قوس العمل عند مركز هذا المسنن . من الواضح أنه رغم ضرورة تساوي قوسي العمل في مسننين يتعشق بعضها ببعض ، فإن زاويتي عملهما لا تتساويان إلا في حالة تساوي قطري دائرتي الخطوة بهذين المسننين . أما زاويتا الاقتراب ، والابتعاد لمسنن فهما بشكل عام غير متساويتين ، ويمكن تعيين قيمة كل منهما تخطيطياً استناداً إلى رسم منقن دقيق ، أو تحليلياً كما سنبين لاحقاً .

يجب من أجل حركة تعشيق مستمرة أن يساوي قوس العمل الخطوة الدائرية ، أو أن يكون أكبر منها ، حيث يتم عندئذ تعشيق زوج جديد من الأسنان ، قبل انتهاء تماس الزوج الذي يسبقه . تسمى نسبة طول قوس العمل إلى الخطوة الدائرية — نسبة التماس (Contact Ratio) ، وهي تحدد العدد الوسطي لأزواج الأسنان المتلامسة آنياً في لحظة ما ، وحتى يكون العمل متصلاً ، من الضروري أن لا تقل النسبة عن الواحد ، وللعمل الهادئ يوصى عادة بألا تقل عن 1.4 ، ومعنى هذا أن زوجين من الأسنان يتداخلان طيلة 40% من الزمن .

من الواضح أن أداء المسننات - من حيث السلاسة والضجيج - يتحسن كلما ازدادت نسبة التماس ؛ وبخاصة عند سرعات دوران عالية ؛ إضافة إلى ذلك ، فإن زيادة هذه النسبة تسمح بنقل قدرة أكبر بسبب توزع الحمل على عدد أكبر من الأسنان المتعشقة ، إلا أن زيادة نسبة التماس محددة عملياً بشروط أداء أخرى أهمها حدوث التداخل بين الأسنان الذي سنتطرق إليه في فقرة لاحقة .

1-6-7- المقومات الحركية للمسننات العدلة الأنفلويوتية

Motion Features of Involute Spur Gears

سنبين في هذه الفقرة أهم العلاقات بين المتغيرات التي تؤثر في الأداء الحركي لمسننين مترافقين عدلين أسنانهما ذات شكل أنفلويوتي .

1. الخطوة الأساسية *Base Pitch*

تبين الرسومات a , b , c في (الشكل-7-14) بعض المقومات البعدية للمسننين المترافقين 2 و 1 اللذين سبق توضيح آلية تشبيك أسنانهما في (الشكل-7-13) ، علماً أنه تم الحفاظ على الرموز المتماثلة في الشكلين ، حيث:

- A نقطة بدء التماس ، وهي تقع على دائرة الساق للمسنن 2 .
- B نقطة نهاية التماس ، وهي تقع على دائرة الساق للمسنن 1 .
- E_1 و E_2 نقطتا تماس خط العمل والدائرتان الأساسيتان 1 و 2 .

كما أن:

R_O تمثل نصف قطر دائرة الساق أو الدائرة الخارجية .

R تمثل نصف قطر دائرة الخطوة .

R_b تمثل نصف قطر الدائرة الأساسية .

Φ تمثل زاوية الضغط .

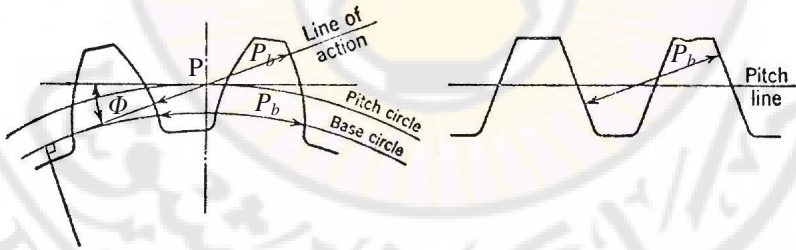
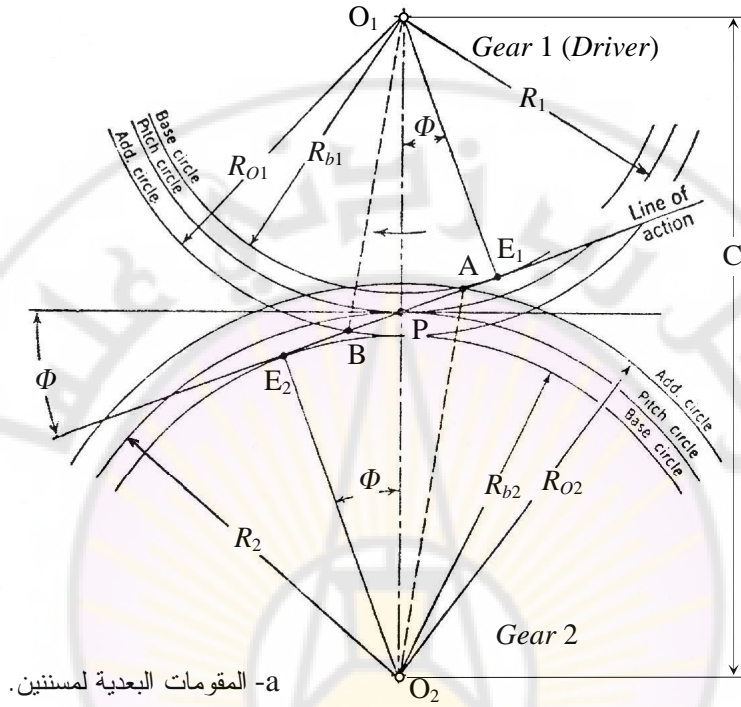
C تمثل البعد بين مركزي المسننين .

من الواضح أن الزاوية PO_1E_1 تساوي زاوية الضغط Φ لتعاود كل من ضلعي الزاويتين ؛ وبالتالي فإن نصف قطر الدائرة الأساسية:

$$R_{b_1} = R_1 \cdot \cos \Phi$$

وكذلك فإن الزاوية PO_2E_2 تساوي الزاوية Φ للسبب نفسه ؛ أي: إنه ينتج بشكل عام أن:

$$R_b = R \cdot \cos \Phi \quad (8-7)$$



(الشكل-7-14) أجزاء من آلية تعشيق زوج من المسننات العدة الأنفلوتية .

تسمى المسافة المقاسة على الدائرة الأساسية للأنفلوت بين نقطتين على سنين متجاورتين بـ الخطوة الأساسية (*Base Pitch*) ، ويرمز لها بالرمز p_b . إن هذه الخطوة هي أيضاً المسافة المقاسة على خط العمل بين نقطتين متقابلتين على سنين متجاورتين ؛ إذ إن هذا الخط هو الناطم المشترك لمنحني الأنفلوت المتوازيين المشكلين للسنين المتجاورتين ، كما هو مبين في الرسم b في (الشكل-7-14) .

أما في حالة جريدة مسننة ، فإن الخطوة الأساسية تقاس ، كما في الرسم c في (الشكل-7-14) ، حيث تصبح جانبية السن مستقيمة ؛ لأنه في هذه الحالة يكون نصف قطر الدائرة الأساسية لا نهائي الطول ، ويتحول المنحني الأنفليوتي إلى خط مستقيم .

ينتج من ذلك أن الخطوة الأساسية هي حاصل قسمة محيط الدائرة الأساسية على عدد الأسنان Z ؛ وبالتالي ينتج من المعادلتين (7-2) و (7-8) ، أن:

$$p_b = p \cdot \cos f \quad (9-7)$$

تُعَدّ الخطوة الأساسية من الخواص المهمة في المسننات الأنفليوتية ، ويجب أن تكون - كما هو الحال للخطوة الدائرية - واحدة للمسننين ليعملا بشكل صحيح . أما سطح السن بين الدائرة الأساسية ودائرة الجذر ، فإنه يشكل عادة كخط مستقيم قطري باتجاه مركز المسنن ، حيث ينتهي بنقوس بسيط عند دائرة الجذر ، وذلك لتفادي حدوث تركيز بالإجهادات عند هذه النقطة .

2. طول مسار التماس *Path of Contact Length*

يلاحظ من الرسم a في (الشكل-7-14) أن طول مسار التماس يساوي AB ، لأن التماس يبدأ عند A على خط العمل ، وينتهي عند B على الخط نفسه . إذا كان هذا الطول هو L ، فإنه ينتج من الرسم a في (الشكل-7-14) أن:

$$L = AB = E_1B + E_2A - E_1E_2$$

ومنه:

$$L = [R_{O_1}^2 - R_{b_1}^2]^{1/2} + [R_{O_2}^2 - R_{b_2}^2]^{1/2} - C \cdot \sin f \quad (10-7)$$

حيث C البعد بين المركزين:

$$C = R_1 + R_2$$

وبشكل عام:

$$R_O = R + a$$

حيث يحدد طول الساق a وفقاً للمعايير ، وهو عادة يساوي الموديول في المسننات العادلة العيارية . أما نصف قطر الدائرة الأساسية لكل من المسننين ، فإنه يحدد استناداً إلى المعادلة (7-8) بدلالة نصف قطر دائرة الخطوة R ، علماً أن أغلب العياريات توصي بزاوية ضغط $(\Phi = 20^\circ)$.

وبالتالي يمكن كتابة المعادلة (10-7) تبعاً للمعطيات التصميمية المشتركة لجملة المسننين ، وباستعمال العلاقات المختلفة بين هذه المعطيات .

3. طول قوس العمل Arc of Action Length

ويدعى أيضاً بطول قوس التماس ، ولحسابه فقد أوضحنا سابقاً ضرورة تساوي قوسي التماس في مسننين مترافقين ، حيث $(\widehat{CC'}) = (\widehat{DD'})$ في (الشكل-7-13) ، وهو بالتالي يحدد بزاوية العمل عند مركز المسنن الذي يعود إليه القوس ، يكفي إذن تعيين طول أحدهما .
تحدد زاوية عمل المسنن 2 على دائرته الأساسية قوساً ، وليكن القوس $(\widehat{DD'})_b$ يتناسب مع قوس العمل $\widehat{DD'}$ المقاس على دائرة خطوته ، حيث ينتج استناداً إلى المعادلة (8-7) ، أن :

$$\frac{(\widehat{DD'})_b}{\widehat{DD'}} = \frac{R_{b_2}}{R_2} = \cos f$$

لكن بما أنه في حالة الإنشاء الانفليوتي ، يكون طول القوس المقاس على دائرته الأساسية ، مساوياً الطول المحدد على الناظم المشترك خلال دوران الدائرة الأساسية ، فإن :

$$(\widehat{DD'})_b = AB = L$$

ومنه طول قوس العمل هو :

$$\widehat{DD'} = \frac{L}{\cos f} \quad (11-7)$$

مع ملاحظة عدم بيان القوس $(\widehat{DD'})_b$ في الشكل تفادياً للتعقيد .

يمكن عندئذ تعيين طول كل من قوسي الاقتراب \widehat{DP} ، والابتعاد $\widehat{PD'}$ بالطريقة نفسها ، حيث :

$$\widehat{DP} = \frac{\overline{AP}}{\cos f} , \quad \widehat{PD'} = \frac{\overline{PB}}{\cos f} \quad (12-7)$$

وبالتالي ، فإن كلاً من زاويتي الاقتراب α ، والابتعاد β ، هما بوجه عام :

$$a = \frac{\overline{AP}}{R \cdot \cos f} , \quad b = \frac{\overline{PB}}{R \cdot \cos f} \quad \text{radian} \quad (13-7)$$

علماً أن الزاوية β_2 لا تساوي β_1 ، وكذلك الزاوية α_2 لا تساوي α_1 إلا عندما يتساوى المسننان ، وأنه يمكن تعيين كل من مساري الاقتراب ، والابتعاد \overline{AP} و \overline{PB} بسهولة استناداً إلى العلاقات الهندسية لـ (الشكل-7-14) ، وبالتحليل نفسه الذي استعمل في حساب طول مسار التماس ، وتدل الخبرة العملية على أن عمل الأسنان عند الاقتراب أهدأ من عملها عند الابتعاد .

4. نسبة التماس *Contact Ratio*

ينتج من تعريف نسبة التماس الوارد في الفقرة (6-7) ، أن:

$$m_c = \frac{\widehat{DD'}}{p} = \frac{L}{p \cdot \cos f}$$

ومنه بالتعويض من المعادلة (9-7) ، فإن:

$$m_c = \frac{L}{p_b} \quad (14-7)$$

حيث m_c نسبة التماس ، وهي تساوي إذن نسبة طول مسار التماس إلى الخطوة الأساسية .
إن العددين الأعظمي والأصغري لأزواج الأسنان المتلامسة ، هما أقرب عدد صحيح فوق القيمة الناتجة من المعادلة (14-7) ، وتحتها .

مثال ذلك نسبة تماس تساوي 1.6 لا تعني وجود 1.6 سن متلامسة ؛ إنما يعني أن التماس يتم بين زوج من الأسنان وزوجين بالتبادل ، بحيث يكون المعدل الوسطي للتماس خلال فترة ما هو 1.6 .

5. سرعة الانزلاق *Sliding Velocity*

لما كانت نسبة النقل تتناسب عكسياً مع عدد أسنان كل من المسننين المترافقين ، فإنها إذن في حالة مسننين عدلين ، تتناسب عكسياً مع قطري دائرتي الخطوة ؛ أي: إن:

$$\frac{w_1}{w_2} = \frac{R_2}{R_1}$$

اتضح لنا من الفقرات السابقة ، أن نقطة التماس بين سطحي زوج من الأسنان تتحرك على مسار التماس ، بحيث إنها لا تنطبق على نقطة الخطوة P إلا في وضع معين واحد . تكون الحركة بين السطحين المتماسين عند هذا الوضع تدرجاً صرفاً وفقاً لما بيناه سابقاً في الفقرة (3-9-3) ؛ وبالتالي فإنه تنتج عند بقية أوضاع التماس حركة نسبية انزلاقية باتجاه المماس المشترك لسطحي التماس ؛ أي باتجاه عمودي على خط العمل أو مسار التماس .

يمكن تعيين هذه السرعة النسبية الانزلاقية ، انطلاقاً من كون النقطة P هي المركز اللحظي للمسننين المترافقين ؛ إذ أنها نقطة تقاطع الناطم المشترك مع الخط الواصل بين مركزي المسننين . إن السرعة الزاوية النسبية ω_{12} حول P تساوي الفرق الجبري بين سرعتين الزاويتين ω_1 و ω_2 ، وبما أن في حالة مسننين مترافقين يكون اتجاه إحدى السرعتين عكس اتجاه الأخرى دوماً ، فإن:

$$w_{12} = w_1 + w_2$$

وتكون قيمة السرعة الانزلاقية النسبية V_S في أية لحظة:

$$V_S = w_{12} \cdot x = (w_1 + w_2) x \quad (15-7)$$

حيث x تمثل بعد نقطة التماس في هذه اللحظة عن P على طول مسار التماس ، ومنه فإن قيمتها تكون عظمى عند بدء أو انتهاء التماس ، بحسب بعد كل منهما عن النقطة P .

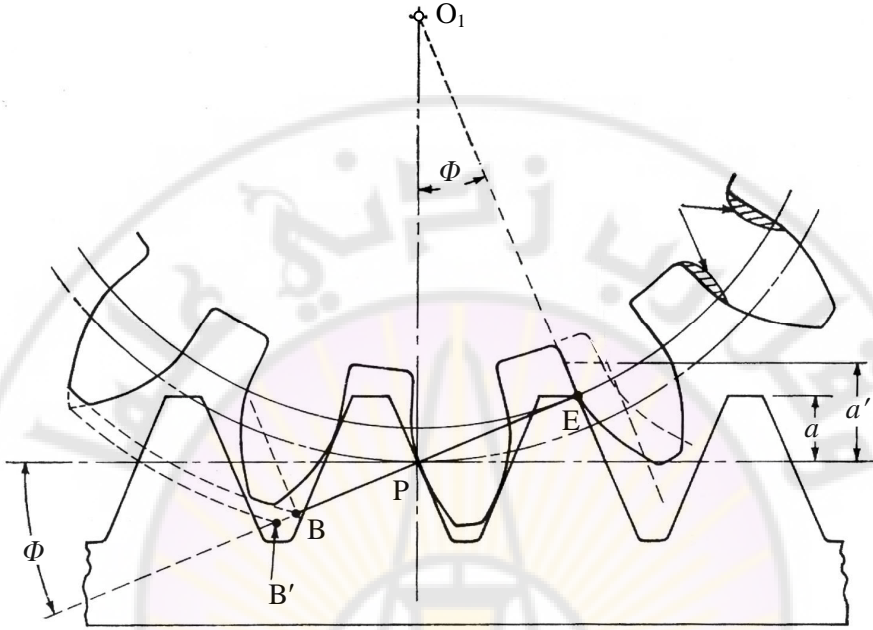
2-6-7- تداخل أسنان المسننات الأنفليوتية

Involute Spur Gear Teeth Interference

لقد بينا في الفقرة (1-5-7) أن إنشاء المنحني الأنفليوتي يبدأ من الدائرة الأساسية باتجاه خارج محيطها ، لا يمكن إذن الحصول على أنفليوت داخل هذه الدائرة . بما أن التماس المشترك للدائرتين الأساسيتين لزوج من المسننات المتعشقة يمثل خط العمل ، فإن نقطتي تماس هذا الخط والدائرتين الأساسيتين تمثلان الوضعين الحديين لطول مسار التماس . تسمى هاتان النقطتان بـ نقطتي تداخل .

إذا كانت نسب أبعاد الأسنان بحيث إن التماس يبدأ قبل بلوغ نقطة التداخل ، فإن الجزء الأنفليوتي من أسنان المسنن المقود سيتعشق مع جزء غير أنفليوتي من أسنان المسنن القائد ، ويحدث ما يسمى بـ التداخل ، وذلك لأن نقطة التماس على سن المسنن القائد ستكون داخل دائرته الأساسية ، حيث لا يمكن تشكيل سطح السن في هذه المنطقة بمنحن أنفليوتي .

يمكن توضيح آلية حدوث التداخل من دراسة (الشكل-7-15) ، الذي يبين أجزاء من تعشق أسنان تريس أنفليوتي قائد مركزه O_1 مع جريدة مسننة . من الواضح أن الجريدة المسننة هي مسنن ذو قطر خطوة لا نهائي الطول ، بحيث إن دائرة الخطوة تصبح خطأً مستقيماً يسمى بـ خط الخطوة ، وكذلك الأمر بالنسبة للدائرة الأساسية للجريدة ، بحيث ينتج أن جانبية أسنان جريدة أنفليوتية هي خط مستقيم يميل على O_1P بزاوية الضغط Φ ، كما أن خط العمل EB عمودي على السطح المستقيم للسن .



(الشكل-7-15) تعشق أسنان تريس أنفليوتي قائد مع جريدة مسننة .

تمتاز الجريدة المسننة بسهولة تصنيعها ، وبإمكان استعمالها في توليد أسنان المسننات العدلة الأنفليوتي بدقة عالية جداً ، وهي تؤخذ قياساً في تشكيل الأسنان حيث تسمى بـ الجريدة الأساسية (Basic Rack) .

لقد تم اختيار ساق السن a للجريدة المسننة في (الشكل-7-15) ، بحيث يبدأ التماس عند النقطة E نقطة تماس خط العمل مع الدائرة الأساسية للتريس . لما كان لا يمكن للمنحني الأنفليوتي المشكل لسن التريس أن يمتد داخل دائرته الأساسية ، فإن شكل السن في هذا الجزء حتى دائرة الجذر ، هو عادة خط مستقيم قطري باتجاه مركز التريس O_1 ، وبالتالي فإن الطول الأعظمي لمسار الاقتراب هو EP .

يلاحظ من الشكل عندئذ أن الطول الأعظمي للساق اللازم استعماله للجريدة هو a . إما إذا كان هذا الطول أكبر من ذلك ، وليكن مثلاً a' ، فإنه يحدث تداخل بين أسنان التريس ، والجريدة المسننة .

يمكن توضيح ذلك بفرض أن دائرة خطوة التريس ، وخط خطوة الجريدة قد تدحرجا نحو اليمين ، بحيث يصبح الوضع النسبي للسنيين ، كما هو مبين بالخطوط المتقطعة في (الشكل-7-15) ؛ أي: إن سن الجريدة تتراكب أو تتداخل مع سن التريس . يؤدي ذلك أن يقوم طرف سن الجريدة بحفر ؛ أي تقوير السطح غير الأنفليوتي من سن التريس . عند حدوث تداخل خلال عملية قطع أسنان التريس بجريدة أساسية من هذا الشكل ، فإن عدة القطع تحدث قطعاً سفلياً لسن التريس مماثلاً للجزء المرقن عرضياً الذي يوضح آلية حدوث القطع السفلي (Undercut) .

إن حدوث تداخل في الأسنان الأنفليوتية غير مرغوب فيه لأسباب عدة ، أهمها أن القطع السفلي الناتج يضعف سن التريس ، ويصبح موضعاً لتركيز الإجهادات ؛ إضافة إلى أن هذا القطع السفلي يمكن أن يزيل جزءاً صغيراً من السطح الأنفليوتي المجاور للدائرة الأساسية ؛ مما يؤدي إلى تقصير مسار التماس . رغم ذلك يمكن في بعض الحالات السماح بقدر ضئيل من التداخل ، شرط ألا يؤثر ذلك في تخفيض نسبة التماس عن قيمة مقبولة ؛ إلا أن تعيين طول مسار التماس عند حدوث قطع سفلي يشكل بعض الصعوبة ؛ إذ لا يمكن حسابه عندئذ استناداً إلى المعادلة (7-10) . لقد تم إيجاد طرائق عدة ؛ لتعيين طول المسار في حالة التداخل ، أكثرها استعمالاً طريقة الباحث سبوتس (Spotts) التي يمكن للقارئ الرجوع إلى المراجع الخاصة بتحليل آلية تداخل الأسنان للاطلاع عليها . تجدر الإشارة إلى أنه يلاحظ من المخطط a في (الشكل-7-14) والمعادلة (7-10) أن التداخل يحدث عند كون أي من الطولين E_1B و E_2A أكبر من القيمة $C \cdot \sin \Phi$ لمسننين مترافقين .

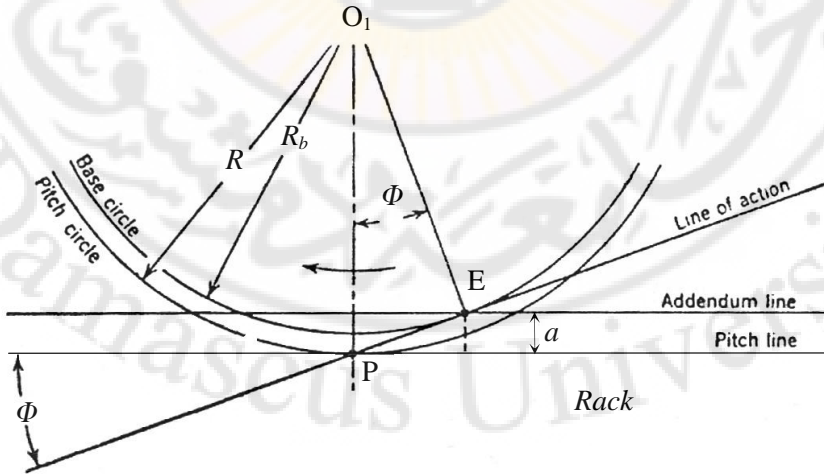
كما يلاحظ من (الشكل-7-15) أن زيادة طول ساق سن التريس لا يؤدي إلى حدوث تداخل ؛ لأن نقطة تماس خط العمل مع الدائرة الأساسية للجريدة تقع في اللانهاية ؛ وبالتالي فإن نقطة انتهاء التماس B تقع دوماً قبل نقطة التداخل الحدية الموجودة في اللانهاية . لا يعني ذلك أن طول مسار التماس لا نهائي في حالة جريدة مسننة ، وتريس أنفليوتي ، إذ أن زيادة طول ساق سن التريس محدودة بالوضع الذي تصبح عنده هذه السن مدببة ، كما في B' ؛ أي: إن طول مسار التماس الأعظمي في حالة (الشكل-7-15) هو EB' .

ينتج من ذلك أنه إذا تعشق تريس مع جريدة مسننة من دون تداخل ، فإن أي مسنن خارجي له طول ساق سن الجريدة سيتعشق مع التريس من دون تداخل . يتضح ذلك من (الشكل-7-15) ، حيث إن دائرة الساق لأي مسنن دائري ستتقاطع مع خط العمل في نقطة تقع إلى يسار النقطة الحدية E . بما أن خط العمل لمسننين أنفليوتيين هو المماس المشترك لدائرتيهما الأساسيتين ، فإنه ينتج أن الشرط اللازم ، والكافي لعدم حدوث تداخل بين أسنانهما ، هو أن تتقاطع دائرتا الساق للمسننين المترافقين مع المماس المشترك لدائرتيهما الأساسيتين في نقطتين تقعان ما بين نقطتي التماس .

3-6-7- الحد الأدنى لعدد الأسنان دون تداخل

Minimum Teeth Number without Interference

لقد بينا في الفقرة السابقة أن الشرط الحدي لعدم حدوث تداخل بين أسنان مسننين أنفليوتيين ، هو أن تتطبق نقطتا بدء التماس ، وانتهائه ، أو واحدة منهما على نقطتي التداخل أو إحداهما . يلاحظ من (الشكل-7-15) أن احتمال حدوث تداخل بين الأسنان يزداد في حال جريدة مسننة معينة ، كلما صغر التريس المرافق لها . يعود ذلك إلى أنه عند تصغير التريس ، فإن احتمال وقوع نقطة بدء التماس إلى يمين النقطة الحدية للتداخل E يزداد .



(الشكل-7-16) تحديد أصغر تريس يمكن استعماله مع جريدة معينة من دون تداخل .

بما أن التريس ، والجريدة المسننة لهما الخطوة نفسها ، فإن تحديد أصغر تريس يمكن استعماله مع جريدة معينة من دون تداخل ، يماثل تحديد الحد الأدنى لعدد أسنان هذا التريس . يبين (الشكل-7-16) هذا الشرط الحدي لأصغر تريس ، حيث نقطة تداخله E هي نقطة بدء التماس ، وهي نقطة تماس خط العمل مع دائرته الأساسية التي نصف قطرها $(O_1E = R_b)$. أما طول الساق a ، وزاوية الضغط Φ للجريدة ، فهما قيمتان محددتان وفقا للجداول العيارية لنسب الأسنان .

إذا كان نصف دائرة خطوة التريس هو R فإنه ينتج من الشكل ، أن:

$$EP = R \cdot \sin f$$

وكذلك:

$$EP = \frac{a}{\sin f}$$

ومنه فإن:

$$\sin^2 f = \frac{a}{R} \quad (16-7)$$

تحدد هذه المعادلة أصغر نصف قطر خطوة للتريس ، بحيث لا يحدث تداخل مع الجريدة المحددة بالقيمتين a و Φ .

تعطي العيارات العالمية عادة طول الساق بدلالة الخطوة القطرية p_d ، أو الموديول m على الشكل:

$$a = \frac{K}{p_d} = K \cdot m$$

حيث K ثابت يؤخذ من جداول العيارات ، وهو يساوي 1.0 في أغلب الحالات ، ويساوي 0.8 في حالة الأسنان البتراء (Stub) . كما أن الخطوة القطرية تعريفاً من المعادلة (3-7) ، هي:

$$p_d = \frac{Z}{D} = \frac{Z}{2R}$$

ينتج بالتعويض من R و a في المعادلة (16-7) أن أقل عدد أسنان Z للتريس لمنع التداخل هو:

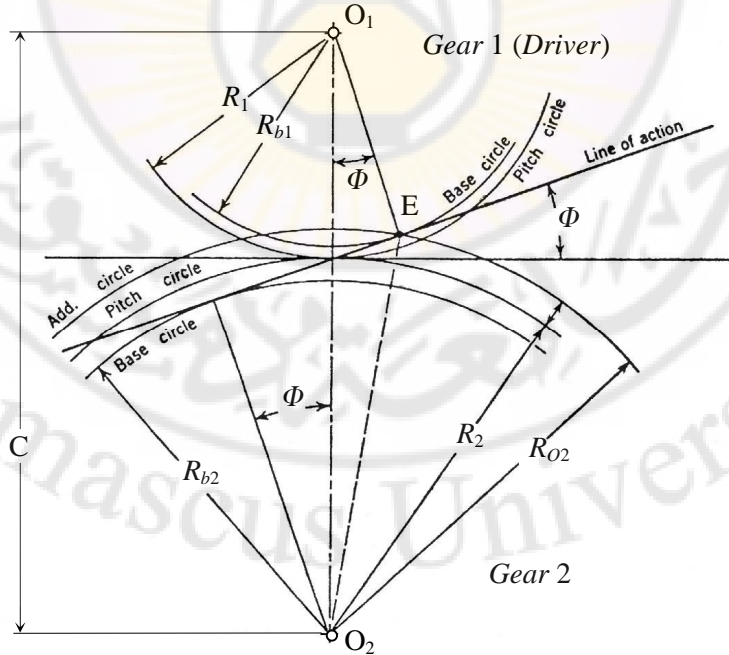
$$Z = \frac{2K}{\sin^2 f} \quad (17-7)$$

يمكن من المعادلة (17-7) تحديد Z لأية قيم عيارية مستعملة عالمياً . مثال ذلك ما هو مبين في الجدول التالي لأكثر الأنظمة العيارية شيوعاً:

f^o	14.5	20	25	20
K	1	1	1	0.8
Z	32	18	12	14

يكون العدد Z الناتج من تطبيق المعادلة (17-7) عدداً كسرياً في أغلب الأحيان ؛ لذا فإنه يؤخذ العدد الصحيح الذي يليه مباشرة .

بما أن القيم Z قد حددت على أساس تعشيق تريس مع جريدة مسننة ، فإنه يمكن استعمالها كحد أدنى لأسنان تريس يترافق مع مسنن آخر ، يساويه أو أكبر منه ، له نسب الأبعاد نفسها ، بأمان من دون حدوث أي تداخل بين أسنانهما ؛ وبالتالي فإن هذه القيم الدنيا هي أيضاً العدد الأدنى للأسنان التي يمكن قطعها ، عند استعمال طريقة التشكيل بوساطة عدة قطع مسننات (*Hob*) ذات شكل دودي بجوانب مستقيمة ، وذلك لأن التعشيق بين عدة القطع ، والتريس المراد تشكيل أسنانه يماثل حالة جريدة مسننة ، وتريس .



(الشكل-17-7) دائرة الساق للمسنان تمر من نقطة التداخل الحدية للتريس E .

لكن إذا أردنا تشكيل أسنان مسنن بطريقة أخرى ، مثال ذلك طريقة الباحث فيلوز (Fellows) ، حيث تأخذ أداة القطع شكل التريس الذي سيتم تعشيقه مع المسنن المراد تشكيله ، فإنه يفضل عندئذ تحديد عدد أسنان أصغر تريس يمكن تعشيقه مع مسنن معين دون حدوث تداخل بين أسنانهما . يمكن إيجاد العلاقة التي تحدد ذلك استناداً إلى (الشكل-7-17) ، حيث تمر دائرة الساق للمسنان من نقطة التداخل الحدية للتريس E . من الواضح عدم ضرورة دراسة التداخل عند النقطة الحدية الأخرى للتماس ؛ إذ إن دائرة ساق التريس تتقاطع مع خط العمل في نقطة تقع قبل هذه النقطة الحدية ، وعلى يمينها ، ولا تنطبق عليها إلا في حالة مسننين متساويين ؛ أي إن التداخل يحدث بشكل عام بين نهايات أسنان المسنن ، وجوانب أسنان التريس .

يلاحظ من (الشكل-7-17) أن:

$$O_2E = R_{O_2} = (R_{b_2}^2 + C^2 \cdot \sin^2 f)^{1/2} \quad (18-7)$$

لكن لدينا:

$$R_{O_2} = R_2 + a \quad , \quad R_{b_2} = R_2 \cdot \cos f \quad , \quad C = R_1 + R_2$$

وبما أن لكل من التريس ، والمسنن الخطوة القطرية p_d نفسها ، فإنه ينتج استناداً إلى ما سبق أن طول ساق السن هو:

$$a = \frac{K}{p_d} = 2K \frac{R_2}{Z_2} = 2K \frac{R_1}{Z_1}$$

بالتعويض من هذه القيم في المعادلة (18-7) والإصلاح ، ينتج أن شرط عدم حدوث تداخل بين الأسنان هو أن يكون عدد أسنان التريس Z_1 :

$$Z_1 = \frac{2K}{[G^2 + (1 + 2G) \sin^2 f]^{1/2} - G} \quad (19-7)$$

حيث نسبة النقل:

$$G = R_2 / R_1$$

تجدر الإشارة إلى أن $(G \geq 1)$ دوماً ؛ لأنها نسبة نصف قطر دائرة خطوة المسنن إلى نصف قطر دائرة خطوة التريس .

كما أنه ينتج من مقارنة المعادلتين (17-7) و (19-7) أن عدد أسنان التريس في حالة جريدة مسننة هو أكبر من عدد أسنان التريس عند تعشقه مع مسنن دائري آخر مهما كانت قيمة G ، وذلك عند كون قيمة كل من Φ و K واحدة في الحالتين . هذا ما سبق وأشرنا إليه من أن التريس الذي لا يتداخل مع جريدة مسننة ، فإنه لا يتداخل مع أي مسنن دائري يتعشق معه بالشروط التصميمية نفسها للخطوة وزاوية الضغط .

إن عدد الأسنان المعطى في كل من المعادلتين (17-7) و (19-7) هو عدد نظري ، بينما تستخدم عادة أعداد أكبر عند التشغيل ، وذلك لإزاحة السطح الأنفليوتي الفعال من جوار الدائرة الأساسية ؛ مما يضمن عمل أسلس ، وأهدأ للمسننات وحمايتها من الإجهادات العالية ، والاهتراء عند نهاية الجذر .

هنالك أيضاً حدود دنيا لمجموع عدد أسنان التريس ، والمسنن يجب تحقيقها لمنع حدوث التداخل . يعود ذلك إلى أن الجريدة الأساسية التي ستستخدم في تصنيع كل منهما ، ستكون محددة بأعظم طول ساق a لأسنانها حسب ما يناسب تحقيق المعادلة (17-7) ، حيث ينتج بشكل عام أن:

$$a = K \cdot m = \frac{Z}{2} m \cdot \sin^2 f$$

وبالتالي فإن أعظم طول ساق a_1 للتريس عند قطعه بهذه الجريدة هو:

$$a_1 = \frac{Z_1}{2} m \cdot \sin^2 f$$

وأعظم طول ساق a_2 للمسنن عند قطعه بالجريدة نفسها هو:

$$a_2 = \frac{Z_2}{2} m \cdot \sin^2 f$$

ومنه فإن:

$$a_1 + a_2 = \frac{Z_1 + Z_2}{2} m \cdot \sin^2 f$$

لكن مجموع طولي الساقين يمثل العمق الفعال الذي يساوي في المسننات العيارية $2m$ ؛ وبالتالي الحد الأدنى لمجموع عدد أسنان التريس والمسنن هو:

$$Z_1 + Z_2 = \frac{4}{\sin^2 f} \quad (20-7)$$

أي: إنه في حالة زاوية ضغط عيارية 20° ، فإن هذا المجموع يجب ألا يقل عن 35 سنناً .

أما في حالة أسنان بتراء حيث العمق الفعال أقل ؛ إذ إنه يساوي عادة 1.6 m ، فإن المجموع الأدنى لعدد الأسنان يصبح 28 سنناً . رغم ذلك فإن العيارية البريطانية توصي في حال استعمال أبعاد قياسية للعمق الفعال وللبعد بين المركزين ، ألا يقل هذا المجموع عن 60 سنناً . إن الغاية من ذلك هي تحسين آلية التشقيق ، والتماس ، بالابتعاد عن الجزء من الأنفلويوت الذي يقع بالقرب من الدائرة الأساسية .

4-6-7- طرائق تلافي التداخل بين الأسنان

Methods of Interference Prevention

يمكن تلافي التداخل بين نهايات أسنان المسنن ، وجوانب التريس بإحدى الطرائق الآتية :

1. قطع أجزاء من جوانب أسنان التريس أو تعديل شكل سطحها بالقرب من الدائرة الأساسية ، حيث يمكن تشكيلها من منحن دويري عوضاً من المنحني الأنفلويوتي . لكن يؤدي ذلك إلى إضعاف مقاومة السن ، وإلى صعوبة في التصنيع . كما يمكن من جهة أخرى تعديل شكل نهايات أسنان المسنن .

2. زيادة البعد بين المركزين بشكل طفيف لا يخل بالعمل الصحيح للأسنان ؛ وإنما يؤدي إلى زيادة زاوية الضغط ؛ وبالتالي إلى ضغط تماس أعلى بين الأسنان عند نقل عزم معين . يؤدي ذلك أيضاً إلى زياد في مقدار الفوت بين الأسنان .

3. تعديل الساق أو تصحيحها لكل من التريس والمسنن ، بحيث يصبح طولاهما غير متساويين . يتم ذلك بإنقاص طول ساق المسنن من خلال إزاحة الجريدة الأساسية القاطعة باتجاه محور المسنن عند توليد أسنانه . أما طول ساق التريس ، فإنه يزداد بإزاحة الجريدة بشكل يبعدها عن محور التريس . تكون الزيادة في ساق التريس مساوية عادة النقصان الحاصل في ساق المسنن بغية الحفاظ على عمق فعال ثابت . تبقى كل من زاوية الضغط ، والمسافة بين المركزين والدائرتين الأساسيتين ثابتة ، بينما تصبح سماكة سن المسنن عند دائرة الخطوة أقل من $p/2$ ، وسماكة سن التريس أكبر من $p/2$. يسمى المقدار γ الذي يعدل به طول الساق بمعامل التصحيح أو معامل الساق . إن أقل قيم لهذا المعامل تساوي الفرق بين طول الساق العياري وأعظم طول للساق لا يؤدي إلى حدوث تداخل . إن المسننات المصححة غير قابلة للتبادل حيث يتعشق كل مسنن مع مرافقه فقط .

مسألة-7-1

مسننان عدلان أنفليوتيان يتصف كل منهما بأن الموديول 6 mm ، طول الساق 6 mm ، وزاوية الضغط $(\Phi = 20^\circ)$.
 فإذا كان عدد أسنان المسنن 47 سنّاً ، وعدد أسنان التريس 19 سنّاً ، ويدور بسرعة زاوية ثابتة قدرها 100 rad/sec باتجاه دوران عقارب الساعة . المطلوب تعيين المقومات الحركية لهذين المسننين .

الحل:

باستعمال الرمز 1 للتريس و 2 للمسّن ، ولأن الرموز كافة المستعملة في الحل هي نفسها التي سبق ذكرها وتعريفها في الفقرات السابقة ، بالآتي:
 فإن نصف قطر دائرة الخطوة ينتج من تعريف الموديول:

$$m = \frac{2R}{Z} \Rightarrow R_1 = \frac{Z_1 \cdot m}{2} = 57 \text{ mm} , \quad R_2 = \frac{Z_2 \cdot m}{2} = 141 \text{ mm}$$

ومنه البعد بين مركزي المسننين:

$$C = R_1 + R_2 = 57 + 141 = 198 \text{ mm}$$

أما نصف قطر دائرة الساق:

$$R_o = R + a \Rightarrow R_{o_1} = R_1 + a = 63 \text{ mm} , \quad R_{o_2} = R_2 + a = 147 \text{ mm}$$

ونصف قطر الدائرة الأساسية ، فهو من المعادلة (8-7):

$$R_b = R \cdot \cos f \Rightarrow R_{b_1} = R_1 \cdot \cos f = 53.56 \text{ mm} , \quad R_{b_2} = R_2 \cdot \cos f = 132.5 \text{ mm}$$

ومنه فإن طول مسار التماس ينتج من المعادلة (10-7):

$$L = [R_{o_1}^2 - R_{b_1}^2]^{1/2} + [R_{o_2}^2 - R_{b_2}^2]^{1/2} - C \cdot \sin f = 29.2 \text{ mm}$$

وقوس التماس ، فهو من المعادلة (11-7):

$$DD' = CC' = \frac{L}{\cos f} = 31.1 \text{ mm}$$

أما الخطوة الدائرية ، فهو من المعادلة (2-7):

$$p = \frac{p.D}{Z} = p.m = 6p = 18.84 \text{ mm}$$

ومنه الخطوة الأساسية من المعادلة (9-7):

$$p_b = p.\cos f = 17.7 \text{ mm}$$

ونسبة التماس من المعادلة (14-7):

$$m_c = \frac{L}{p_b} = 1.65$$

أي: إن التعشيق يتم بين زوج أو زوجين من الأسنان تبادلياً .

كما أن زاوية عمل التريس θ_1 ، هي:

$$q_1 = \frac{bb'}{R_1} = \frac{31.1}{57} = 0.545 \text{ rad} = 31.28^\circ$$

وكذلك زاوية عمل المسنن θ_2 ، هي:

$$q_2 = \frac{bb'}{R_2} = \frac{31.1}{141} = 0.22 \text{ rad} = 12.65^\circ$$

أما طول مسار الاقتراب AP في (الشكل-7-14) ، فهو:

$$AP = E_1P - E_2A$$

لكن:

$$E_1P = R_1.\sin f = 19.5 \text{ mm}$$

$$E_1A = E_1B - AB = (R_{O_1}^2 - R_{b_1}^2)^{1/2} - L = 3.966 \text{ mm}$$

ومنه طول مسار الاقتراب:

$$AP = 15.534 \text{ mm}$$

وبالتالي طول مسار الابتعاد:

$$PB = AB - AP = 29.2 - 15.534 = 13.666 \text{ mm}$$

أما زاويتا الاقتراب ، والابتعاد ، فاستناداً إلى المعادلتين (7-13) ، ينتج:

$$a = \frac{\overline{AP}}{R \cdot \cos f} \Rightarrow a_1 = \frac{\overline{AP}}{R_1 \cdot \cos f} = 0.29 \text{ rad} , a_2 = \frac{\overline{AP}}{R_2 \cdot \cos f} = 0.117 \text{ rad}$$

$$b = \frac{\overline{PB}}{R \cdot \cos f} \Rightarrow b_1 = \frac{\overline{PB}}{R_1 \cdot \cos f} = 0.255 \text{ rad} , b_2 = \frac{\overline{PB}}{R_2 \cdot \cos f} = 0.103 \text{ rad}$$

أما نسبة النقل فتعريفياً ، هي:

$$G = \frac{w_1}{w_2} = \frac{Z_2}{Z_1} = \frac{R_2}{R_1} = 2.474$$

ومنه السرعة الزاوية للمسنن 2 ، هي:

$$w_2 = w_1 / G = 40.425 \text{ rad/sec}$$

وهي باتجاه عكس عقارب الساعة ، والسرعة الزاوية النسبية ، هي:

$$w_{12} = w_1 + w_2 = 140.425 \text{ rad/sec}$$

وسرعة الانزلاق العظمى تحدث عند بدء التماس في A ؛ لأن (AP > PB) ، وقيمتها من المعادلة (7-15):

$$V_s = w_{12} \cdot x = (w_1 + w_2)AP = 2.18 \text{ m/sec}$$

يمكن التحقق من إمكان حدوث التداخل بحساب أصغر عدد أسنان ممكن ليعشق مع المسنن 2 ، ويحقق نسبة النقل نفسها أعلاه ، وضمن الشروط التصميمية المعطاة ، وبما أن (m = a) ، وأن قيمة الثابت K تعطى بالعلاقة:

$$a = \frac{K}{p_d} = K \cdot m \Rightarrow K = 1$$

ينتج من تطبيق المعادلة (7-19) أن أصغر عدد بعد تقريبه لأكبر عدد صحيح يليه ، هو:

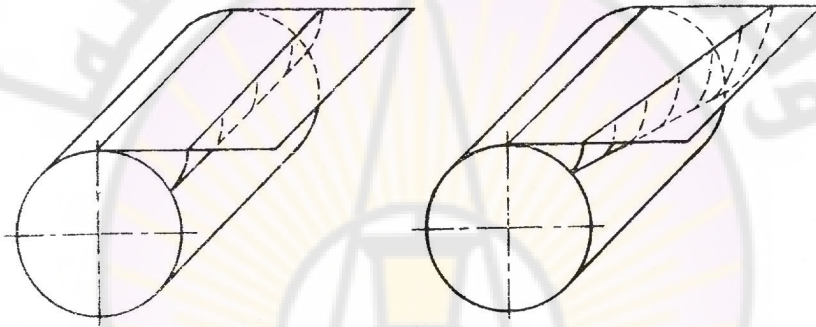
$$Z_1 = \frac{2K}{[G^2 + (1 + 2G)\sin^2 f]^{1/2} - G} = 15$$

وبالتالي لا يحدث تداخل بين التريس ، والمسنن .

7-7- إنشاء أسنان المسننات الحلزونية الانفليوتية

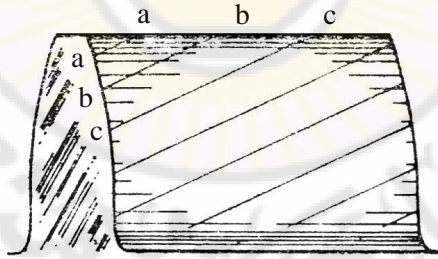
Construction of Involute Helical Gear Teeth

بينما في الفقرة (7-5-1) كيفية توليد منحنى الأنفليوت من تدرج خط مستقيم على محيط دائرة ؛ وبالتالي فإن تدرج مستو على سطح أسطوانة ينتج منه سطح أنفليوتي ، ومن الواضح أن خطأ مستقيماً في هذا المستوي يوازي محور الأسطوانة ، فإنه يولد سطحاً أنفليوتياً لسن عدلة ، كما هو مبين في الرسم a في (الشكل-7-18) ، ويتم التماس بين سنين عدلتين إذن على طول خط مستقيم يوازي محوري المسنن المترافقين .



a- إنشاء سطح أنفليوتي لسن عدلة.

b- إنشاء سطح أنفليوتي لسن حلزوني.



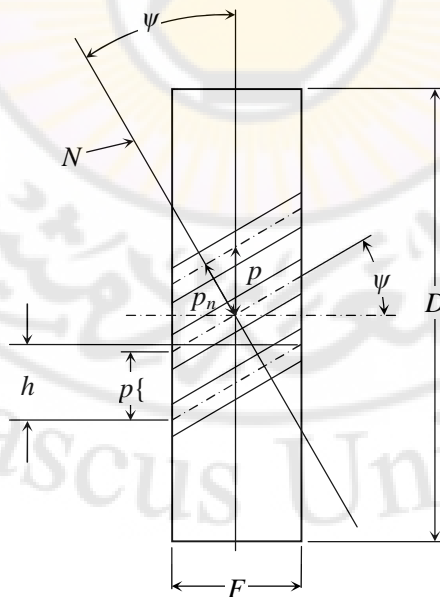
c - سن أنفليوت حلزوني.

(الشكل-7-18)

أما إذا كان الخط المستقيم الموجود في المستوى مائلاً على محور الأسطوانة ، فإنه يولد سناً حلزونياً ، كما في الرسم b من (الشكل-7-18) ، ويسمى السطح الناتج بـ أنفليوتي حلزوني ، وهو يتكون من أجزاء خطوط مستقيمة... $a \rightarrow a, b \rightarrow b, c \rightarrow c$ ، كما هو مبين في الرسم c في (الشكل-7-18) .

Motion Analysis of Parallel Helical Gears

بما أن الأسنان في المسننات الحلزونية بأنواعها كافة تميل على محور المسنن ، فإنه ينتج لها مقومات خاصة ، إضافة لما سبق تعريفها في الفقرة (4-7) . يبين (الشكل-7-19) أسنان مسنن حلزوني فُردت على أسطوانة الخطوة التي قطرها D ، حيث تعرف الخطوة الدائرية p ، والقطرية p_d في مستوى الدوران ، أي المستوي العمودي على محور المسنن بشكل مماثل لما سبق في حالة المسننات العدلة ، بينما تنشأ في المسننات الحلزونية قيم أخرى في كل من المستوي الناظمي N على محور السن ، والمستوي المحوري الموازي لمحور المسنن .



560

إن أهم هذه القيم ، هي:

§ زاوية الحلزون *Helix Angle*

وهي الزاوية بين محور السن ، والمستوي الذي يحتوي على محور المسنن ، ويرمز لها بـ ψ . ويتخذ قطر دائرة الخطوة أساساً لقياس الزاوية إلا إذا نص على خلاف ذلك .

§ زاوية القودة *Lead Angle*

وهي الزاوية المتممة لزاوية الحلزون ، ويرمز لها بـ γ . أي $(\gamma = 90^\circ - \psi)$.

§ الخطوة الدائرية الناعمة *Normal Circular Pitch*

وهي المسافة بين نقطتين متناظرتين على سنين متجاورتين ، مقاسه على الناعمة لحلزون السن ، ويرمز لها بـ p_n ، أي إن:

$$p_n = p \cdot \cos \gamma \quad (21-7)$$

§ الخطوة القطرية الناعمة *Normal Diametric Pitch*

وهي الخطوة القطرية منسوبة إلى المستوي الناعمة على محور السن ، ويرمز لها بـ p_{dn} ، وبما أن:

$$p_n = \frac{p}{p_{dn}}$$

فإنه ينتج:

$$p_{dn} = p_d \cdot \sec \gamma \quad (22-7)$$

§ الخطوة المحورية *Axial Pitch*

وهي المسافة بين نقطتين متناظرتين على سنين متجاورتين ، مقاسه باتجاه مواز لمحور المسنن ، ويرمز لها بـ p_a ، أي إن:

$$p_a = p \cdot \cot \gamma \quad (23-7)$$

§ زاوية الضغط العرضية *Pressure Transverse Angle*

وهي الزاوية بين الناعمة المشترك لسطحي تماس سنين ، والمماس المشترك لدائرتي الخطوة في مستو عمودي على محور المسنن ، ويرمز لها بـ Φ_τ .

§ زاوية الضغط الناعمية *Pressure Normal Angle*

وهي زاوية الضغط في المستوي الناعمي على السن ، ويرمز لها بـ Φ_n ، وتعطى بالعلاقة:

$$\tan f_n = \tan f_t \cdot \cos y \quad (24-7)$$

§ زاوية الضغط المحورية *Pressure Axial Angle*

وهي زاوية الضغط في مستوي يوازي محور السن ، ويرمز لها بـ Φ_a ، وتعطى بالعلاقة:

$$\tan f_a = \tan f_n \cdot \cos ecy \quad (25-7)$$

§ عرض السن *Face Width*

وهو يساوي عرض السن باتجاه يوازي محور المسنن ، ويرمز له بـ F .

§ تقدم نهاية السن *Advance of Tooth End*

وهو المسافة بين نهايتي السن مقاسه في مستوي عمودي على محور السن ، ويرمز له بـ h . ويجب ألا تقل عن الخطوة الدائرية p في المسننات المتوازية ، وتوصي أغلب العيارات بأن تساوي $(h = 1.15 p)$ ، حتى يضمن تماساً مستمراً عند نقطة الخطوة ، ويحقق نسبة تماس كافية عملياً تساعد على إمكان استعمال المسننات الحلزونية عند سرعات عالية ؛ إذ أن نسبة التماس عندئذ تكون أكبر من نسبة التماس في المسننات العدلة .

يلاحظ من (الشكل-7-19) ، أن:

$$\tan y = \frac{h}{F}$$

وبالتالي يفضل أن يكون عرض السن:

$$F \geq \frac{1.15P}{\tan y}$$

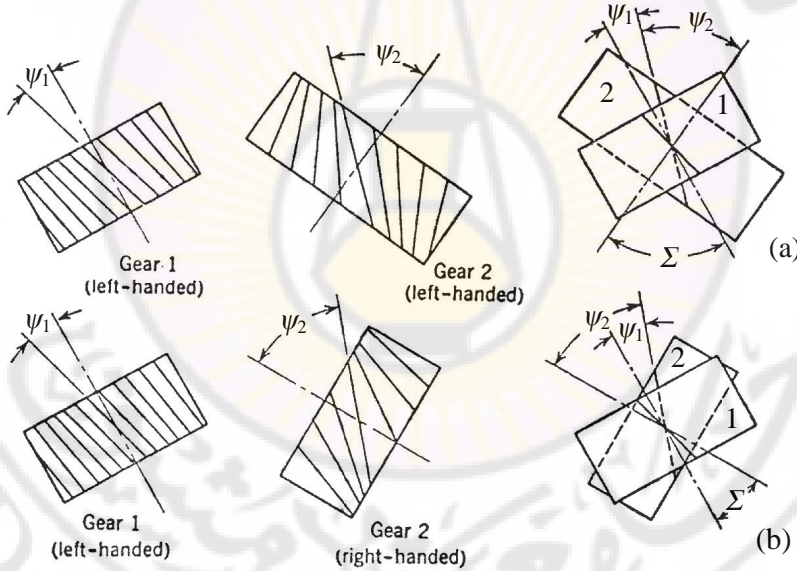
كما أنه إذا ثبتت المسافة h ، فإن زيادة عرض المسنن تؤدي إلى نقصان زاوية الحلزون ، وبالتالي تحسين الأداء من حيث تخفيض الدفع المحوري الناتج على عمود الدوران عند نقل عزم معين .

يشترط لتعشيق زوج من المسننات الحلزونية المتوازية ، أن يكون لهما زاوية الحلزون نفسها ، والخطوة نفسها ، وأن يكون اتجاه الحلزون في أحدهما عكس اتجاهه في الآخر . أما نسبة النقل فإنها مماثلة لما هي عليه في المسننات العدلة ؛ أي تتناسب عكسياً مع قطري دائرتي الخطوة .

2-7-7- تحليل حركة المسننات الحلزونية المتصالبة

Motion Analysis of Crossed Helical Gears

تستعمل هذه المسننات في نقل القدرة بين محورين غير متوازيين ، وغير متقاطعين ، كما هو مبين في (الشكل-7-20) ، حيث تم توضيح وضع مسننين حلزוניين متصالبين في حالة التعشيق ، إلى جانب بيان اتجاه الحلزون لكل من المسننين على حدة .



a- حلزوني أسنان المسننين هما من الاتجاه نفسه. ، b- حلزوني أسنان المسننين هما من اتجاهين متعاكسين. (الشكل-7-20) المسننات الحلزونية المتصالبة .

إن حلزوني أسنان المسننين في الحالة a من (الشكل-7-20) ، هما من الاتجاه نفسه ؛ أي يساري ، وتعطى الزاوية Σ بين محوري المسننين بالعلاقة:

$$\Sigma = \psi_1 + \psi_2$$

حيث ψ_1 تمثل زاوية حلزون المسنن 1 ، و ψ_2 تمثل زاوية حلزون المسنن 2 .

أما في الحالة b من (الشكل-7-20) ، فإن حلزون أسنان المسنن 1 هو يساري ، بينما حلزون أسنان المسنن 2 فهو يميني الاتجاه ، وبالتالي فإن:

$$\Sigma = y_2 - y_1$$

يلاحظ في حالة اتجاهين متعاكسين أنه إذا تساوت زاويتي الحلزون ، فإن المسننين يصبحان متوازيين .

يمثل الضلع المشترك بين زاويتي الحلزون لكل من الحالتين المماس المشترك لسننين متماسكين من المسننين 1 و 2 .

إن شرط تشبيك مسننين حلزونيين متصلين هو أن تكون لهما الخطوة الدائرية الناعمة P_n نفسها ؛ وبالتالي الخطوة القطرية الناعمة p_{dn} نفسها ، بينما لا يشترط أن تكون لهما الخطوة نفسها في مستوي الدوران ، أما زاويتي الحلزون فيمكن أن تتساويا أو أن تكونا مختلفتين بالقيمة ، والاتجاه .

يعطى عدد أسنان كل من المسننين ، بدلالة الخطوة القطرية p_d في مستوي الدوران ، على الشكل الآتي:

$$Z_1 = D_1 \cdot p_{d_1} \quad , \quad Z_2 = D_2 \cdot p_{d_2}$$

لكن ينتج من المعادلة (22-7) أن:

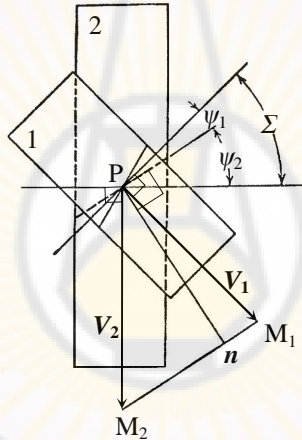
$$p_{d_1} = p_{dn} \cdot \cos y_1 \quad , \quad p_{d_2} = p_{dn} \cdot \cos y_2$$

وذلك لأن الخطوة القطرية الناعمة p_{dn} هي نفسها لكلا المسننين ، ومنه فإن نسبة النقل:

$$\frac{w_1}{w_2} = \frac{Z_2}{Z_1} = \frac{D_2 \cdot \cos y_2}{D_1 \cdot \cos y_1} \quad (26-7)$$

يلاحظ من هذه العلاقة أن نسبة النقل بين مسننين حلزونيين متصلين ، لا تتناسب عكسياً مع قطري دائرتي الخطوة ، إلا في حالة تساوي زاويتي الحلزون . أما البعد بين مركزي المسننين ، فإنه يساوي مجموع نصفي قطري دائرتي الخطوة .

يبين (الشكل-7-21) مسننين متصاليين 2 و 1 متماسين عند نقطة P ، ولهما اتجاه الحززون نفسه . يمثل الخط المتقطع المار من P المماس المشترك للسنيين المتماستين . إن للنقطة P سرعتين محيطيتين مختلفين V_1 و V_2 ، بحسب كونها نقطة من المسنن 1 أو نقطة من المسنن 2 .



إن السرعة V_1 عمودية على محور المسنن 1 ، وتمثل بالمتجه PM_1 ، بينما السرعة V_2 ، فإنها عمودية على محور المسنن 2 ، وتمثل بالمتجه PM_2 . لكن من الواضح أن شرط حفظ التماس يؤدي إلى أن تكون لهما مركبة ناظرية واحدة Pn باتجاه الناظم المشترك ، إلا أن مركبتي هاتين السرعتين باتجاه المماس المشترك ؛ أي باتجاه مواز لمحور السن هما متعاكستان بالاتجاه ؛ وبالتالي تنتج سرعة انزلاق بين السنين بهذا الاتجاه ، وقيمتها هي:

حیث:

565

7-7-3- تشكيل أسنان المسننات الحلزونية وتداخلها

Forming and Interference of Helical Gear Teeth

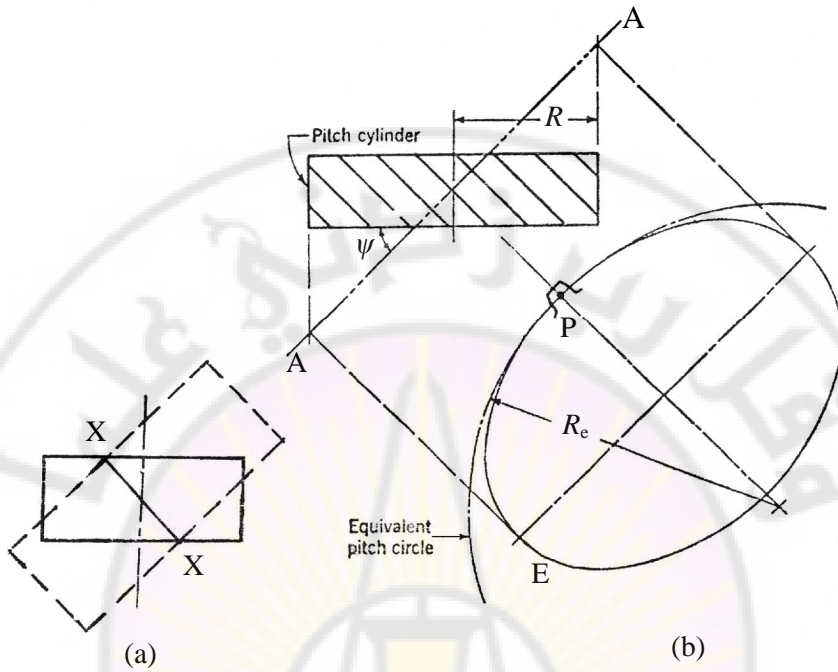
يمكن تشكيل أسنان أي مسنن حلزوني بعدة القطع نفسها الخاصة بتوليد أسنان مسنن عدل ، إلا أنه يجب في هذه الحالة إمالة محور عدة القطع هذه ، من الوضع الموافق لتشكيل المسنن العدل ، بزواوية تساوي زواوية الحلزون ψ المراد تشكيله . كما أنه من الضروري عندئذ توصيف الخطوة ، وزاوية الضغط في المستوي الناظمي؛ أي Φ_n و p_{dn} .

يتم عادة تصميم المسننات الحلزونية استناداً إلى المقطع الناظمي للأسنان ، حيث تطبق عندئذ نسب أبعاد المسننات العدلة على أنها الأبعاد الناظرية للأسنان الحلزونية .

يستعمل في هذه الحال مفهوم المسنن العدل المكافئ ، وهو مسنن افتراضي يوازي محوره محور السن الحلزونية X-X ؛ أي إن هذا المسنن المكافئ يدور في مستو عمودي على محور السن ، كما هو مبين في الرسم a في (الشكل-7-22) . يمثل المستطيل ذو الخطوط المتقطعة المسنن العدل المكافئ ، ويسمى عدد أسنان المسنن المكافئ بـ عدد الأسنان الافتراضي أو التشكيلي ، ونصف قطر دائرة الخطوة له ، يساوي نصف قطر انحناء أسطوانة الخطوة للمسنن الحلزوني في مستو عمودي على محور السن ، أما الخطوة المكافئة ، فإنها تساوي الخطوة الناظرية للمسنن الحلزوني .

يلاحظ من الرسم b في (الشكل-7-22) أن مقطع المسنن الحلزوني بمستو A-A عمودي على محور السن ، ومار من نقطة الخطوة ، هو جزء من قطع ناقص ؛ إذ إن ذلك يماثل قطع أسطوانة قائمة بمستو مائل على محورها . يساوي طول المحور الأصغر للقطع الناقص قطر دائرة خطوة المسنن الحلزوني D ، بينما يساوي طول محوره الأكبر $D \cdot \sec \psi$.

يمكن تحديد نصف قطر دائرة الخطوة R_e للمسنن المكافئ ، من حساب نصف قطر انحناء القطع الناقص عند نهاية المحور الأصغر P ، انطلاقاً من أن القطع الناقص المكافئ ينطبق مع المقطع الناظمي للمسنن الحلزوني عند هذه النقطة ، كما هو واضح في الشكل ، حيث يبين المنحني E القطع الناقص المكافئ .



(الشكل-22-7) المسنن العدل المكافئ

يمكن البرهان بسهولة - من علاقات الهندسة التحليلية لحساب نصف قطر انحناء القطع الناقص - على أن نصف قطر دائرة الخطوة المكافئ ، هو :

$$R_e = R \cdot \sec^2 y$$

وبما أن الخطوة القطرية المكافئة تساوي الخطوة القطرية النازمية p_{dn} للمسنن الحلزوني ، فإنه استناداً إلى المعادلة (22-7) ينتج أن عدد الأسنان الافتراضي Z_e ، هو :

$$Z_e = Z \cdot \sec^2 y \quad (27-7)$$

حيث Z تمثل عدد الأسنان الفعلي للمسنن الحلزوني .

يمكن باستعمال عدد الأسنان المكافئ الناتج من المعادلة (27-7) ، تطبيق العلاقات والمخططات العائدة إلى تصميم المسننات العدل عند دراسة المسننات الحلزونية ، وذلك بعد إدخال التعديلات الناشئة عن اعتماد المقطع النازمي للأسنان .

من الضروري أيضاً دراسة تأثير زاوية الحزون في تعيين أقل عدد أسنان Z يمكن تشكيله على مسنن حلزوني من دون حدوث تداخل . يمكن تحديد هذا العدد الأدنى انطلاقاً من المعادلة (7-16) في حالة المسننات العدلة ، وتصبح في المسننات الحلزونية:

$$\sin^2 f_t = \frac{a}{R}$$

حيث Φ_r تمثل زاوية الضغط العرضية في مستو عمودي على محور المسنن الحلزوني .

أما طول الساق a ، فإنه يعطى بدلالة الخطوة القطرية الناعمية بالعلاقة:

$$a = \frac{K}{p_{dn}}$$

ومنه فإن أقل عدد أسنان يمكن استعماله دون حدوث تداخل ، هو :

$$Z = \frac{2K \cdot \cos y}{\sin^2 f_t} \quad (28-7)$$

لكن لما كان توصيف المسننات الحلزونية يتم في المستوي الناعمي على محور السن ، حيث تكون زاوية الضغط العيارية هي Φ_n ، فإنه يجب إذن حساب قيمة زاوية الضغط العرضية Φ_r باستعمال المعادلة (7-24) ، ومن ثم تعيين أقل عدد للأسنان Z من المعادلة (7-28) . من الواضح أنه كلما زادت قيمة زاوية الحزون ψ ، فإن قيمة Z تنقص ، يبين الجدول الآتي هذا التأثير حيث نظم على أساس القيم العيارية الآتية:

$$(\Phi_n = 20^\circ) \text{ و } (K = 1).$$

y°	10	15	20	25	30	45
Z	17	16	15	14	12	7

أما عندما تكون $(\psi = 0)$ فإن $(\Phi_n = \Phi_r)$ وهي حالة مسنن عدل .

تؤخذ زاوية الحزون عادة ما بين $15^\circ - 25^\circ$ ، كما يمكن استعمال زاوية أكبر في حالة المسننات الحلزونية المزدوجة .

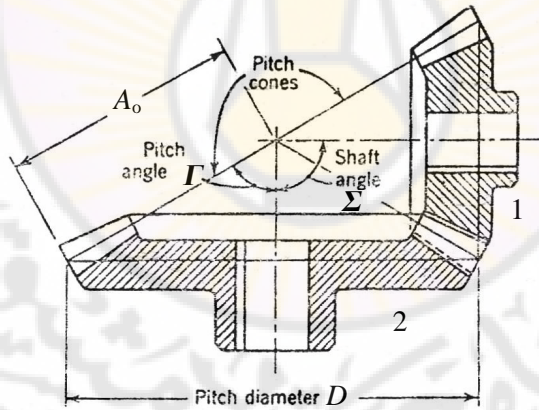
Construction of Bevel Gears

8-7- إنشاء المسننات المخروطية

تستعمل هذه المسننات ، كما سبق وذكرنا في نقل القدرة بين عمودين يتقاطعان محوراها . يمكن أن تكون الزاوية بين المحورين حادة ، أو قائمة ، أو منفرجة .

إن سطحي الخطوة لمسننين مخروطيين مترافقين ، هما مخروطان يتدحرج بعضهما على بعض من دون انزلاق ، ولهما حركة كروية . يتم التماس بين المخروطين عند تعشيق سنين على طول راسم مشترك لهما ، كما أن للمخروطين ذروة مشتركة هي نقطة تقاطع محوري العمودين . إن كل نقطة في مسنن مخروطي تبقى على مسافة ثابتة من الذروة المشتركة . إن أكثر أنواع المسننات المخروطية استعمالاً هي التي تكون أسنانها مستقيمة ، بحيث تتلاقى محاور الأسنان في الذروة المشتركة ، وسنقتصر هنا على دراسة هذا النوع .

يبين (الشكل-7-23) مسننين مخروطيين ، أسنانهما مستقيمة ، والزاوية بين محوريهما 90° . من الواضح أن شرط حدوث تماس تدحرجي على طول الراسم المشترك لمخروطي الخطوة ، هو أن يكون لهذين المخروطين ذروة مشتركة هي نقطة تقاطع محوري المسننين المتعشقين .



(الشكل-7-23) مسننان مخروطيان أسنانهما مستقيمة والزاوية بين محوريهما 90° .

تسمى نصف زاوية رأس مخروط الخطوة Γ بـ زاوية الخطوة (Pitch Angle) ، ينتج من ذلك أن الزاوية بين محوري عمودي الدوران Σ ، هي:

$$\Sigma = \Gamma_1 + \Gamma_2 \quad (29-7)$$

هذه العلاقة صحيحة لأي زاوية بين محوري عمودي الدوران Σ ، وإن كان الوضع المتعامد المبين في (الشكل-7-23) ، هو الأكثر شيوعاً .

إن قطر الخطوة D هو قطر قاعدة المخروط ، بينما يمثل A_o طول راسم المخروط ، ومن الواضح أنه هو نفسه لكلا المسنين المتعشقين . تعرف كل من الخطوة الدائرية p ، والخطوة القطرية p_d للمسننات المخروطية ، كما في حالة المسننات العدلة ، إلا أنهما في المسننات المخروطية تحددان أبعاد السن عند قاعدة المخروط ، وبالتالي فإن:

$$p = \frac{p \cdot D}{Z} , \quad p_d = \frac{Z}{D}$$

حيث Z تمثل عدد أسنان المسنن.

أما نسبة النقل ، فهي أيضاً مماثلة لما هي عليه في المسننات العدلة ؛ أي: إن:

$$\frac{w_1}{w_2} = \frac{Z_2}{Z_1} = \frac{D_2}{D_1} \quad (30-7)$$

تبين لنا سابقاً أنه يمكن رسم دائرتي الخطوة لمسننين عدلين في وضعهما الصحيح ، بمعلومية نصفي قطري الخطوة ، إلا أنه يجب في حالة مسننين مخروطيين توصيف نصفي القطرين ، وزاويتي الخطوة ، لنتمكن من رسم مخروطي الخطوة .

يمكن إيجاد العلاقات الهندسية لزاويتي الخطوة بدلالة المعطيات الأخرى للمسننين استناداً إلى (الشكل-7-23) ، حيث يلاحظ أن:

$$\sin \Gamma_1 = \frac{D_l}{2A_o} = \sin(\Sigma - \Gamma_2)$$

ومنه باستعمال العلاقات المثلثية ، والإصلاح ، ينتج أن:

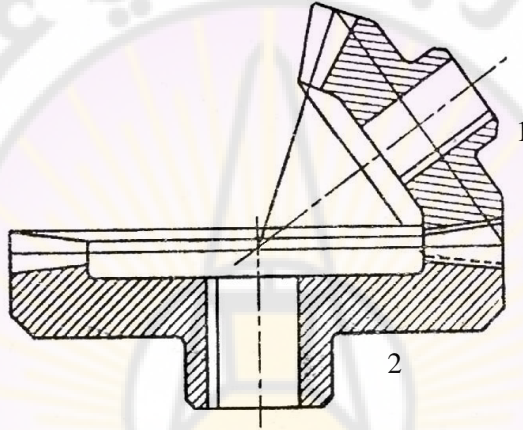
$$\tan \Gamma_2 = \frac{\sin \Sigma}{\cos \Sigma + Z_1 / Z_2} \quad (31-7)$$

وبطريقة مماثلة ، فإن:

$$\tan \Gamma_1 = \frac{\sin \Sigma}{\cos \Sigma + Z_2 / Z_1} \quad (32-7)$$

رغم أنه تم استنتاج المعادلتين أعلاه على أساس محورين متعامدين ، إلا أنها صحيحة ، ويمكن تطبيقها لأية زاوية Σ بين المحورين .

إذا كانت زاوية الخطوة ($\Gamma_2 = 90^\circ$) ، فإن سطح الخطوة للمسنن يصبح مستوياً ، بينما يبقى سطح خطوة التريس المتعشق معه مخروطاً يتدرج على هذا المستوي . يسمى المسنن في هذه الحالة مسنناً تاجياً أو رئيساً (*Crown Gear*) ، وهو يمثل في المسننات المخروطية ما تمثله الجريدة المسننة بالنسبة للمسننات العدلة ، كما أن السطوح الجانبية لأسنان المسنن التاجي هي مستقيمة . يبين (الشكل-7-24) مسنناً تاجياً 2 ، والتريس المتعشق معه 1 .



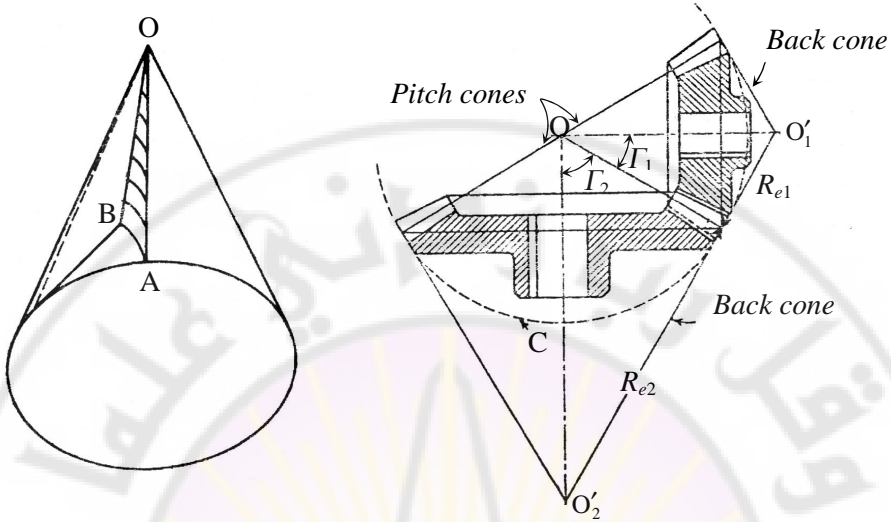
(الشكل-7-24) مسنن تاجي 2 والتريس المتعشق معه 1 .

أما إذا كانت زاوية خطوة المسنن أكبر من 90° ، فإننا نحصل على تعشيق داخلي للمسننين ، بينما في حال كون ($\Gamma_1 = \Gamma_2 = 45^\circ$) ، فإن المسننين متساويان في القطر ، وعدد الأسنان ، ويسميان بـ مسننين مخروطيين مشطوبين .

1-8-7- تحليل حركة المسننات المخروطية

Motion Analysis of Bevel Gears

يبين الرسم a في (الشكل-7-25) السن الأنفليوتي الذي ينتج من مخروط أساسي راسمه OA . يمكن تصور ورقة ملفوفة حول سطح المخروط ، ومشقوقة على طول OA . إذا أبعدت نهاية الورقة هذه عن سطح المخروط بحيث تبقى الورقة مشدودة ، فإن الخط OA يتحرك إلى الوضع OB . ينتج من ذلك أن النقطة B ستبقى على مسافة ثابتة من النقطة O ، وبالتالي ستتحرك على سطح كرة . يسمى المنحني AB أنفليوتاً كروياً .



b- تعشيق صحيح لأسنان مسننين مخروطيين a- سن أنقليوتي ناتج من مخروط أساسي
(الشكل-7-25)

ينتج من ذلك أن الحركة النسبية لزوج من الأسنان المخروطية المتوافقة هي حركة كروية ؛ وبالتالي يجب لتأمين تعشيق صحيح للنهايات الخارجية لأسنان مسننين مخروطيين ، أن تقع في سطح كرة مركزها الذروة المشتركة O لمخروطي الخطوة ، ونصف قطرها الراسم المشترك للمخروطين . يبين الرسم b في (الشكل-7-25) الدائرة العظمى لهذه الكرة C بخطوط متقطعة .

لكن لا يتم عادة تشكيل القطاع الخلفي للمسنن المخروطي بشكل كروي ؛ لذا فإنه يصنع بشكل مخروطي ، يسمى المخروط الخلفي (Back Cone) ، كما في الرسم b في (الشكل-7-25) لكل من المسنن والتريس ، حيث يمس هذا المخروط الكرة التخيلية C عند قطر دائرة الخطوة . إن رواسم المخروط الخلفي هي إذن عمودية على تلك لمخروط الخطوة . إن كلاً من سطحي المخروط الخلفي ، والكرة متماثلان عملياً عند نهايات الأسنان . إن المسافات من الذروة المشتركة إلى نهايات الأسنان هي غير متساوية إلا عند نقطة الخطوة ؛ لذا فإن سطوح نهايات الأسنان المتعشقة ليست باستواء واحد تماماً ، إلا أن عدم الاستواء صغير جداً ، بحيث إنه لا يؤثر في آلية تعشيق الأسنان .

بما أنه من الصعب تحليل حركة السن في مسنن مخروطي على أساس الشكل الحقيقي لهذا السن ؛ لأنه جزء من سطح كرة ، فإن مفهوم المخروط الخلفي يساعد في تقريب الحركة إلى حركة مستوية تكافئ عملياً الحركة الكروية الحقيقية . يسمى هذا التقريب — تقريب تريدغولد (Tredgold) ، وهو يبسط تحليل حركة المسننات المخروطية بتحويلها إلى حركة مسننات عدلة مكافئة لها ، بدقة جيدة وكافية في معظم التطبيقات العملية التي يزيد عدد أسنانها على ثمانية أسنان .

ينتج من هذا التقريب أن جانبية السن في مسنن مخروطي ، توافق إلى حد كبير جانبية السن في مسنن عدل نصف قطر دائرة خطوته يساوي طول راسم المخروط الخلفي ؛ إضافة إلى أن الخطوة القطرية هي نفسها لكل من المسنن المخروطي ، والمسنن العادل الذي يسمى عندئذ بـ المسنن العادل المكافئ . إن عدد أسنان هذا المسنن هو عدد الأسنان الافتراضي Z_e للمسنن المخروطي . يمكن تعيين Z_e استناداً إلى تعريف الخطوة القطرية مع ملاحظة أنها نفسها ، حيث ينتج بشكل عام أن:

$$Z_e = Z \frac{R_e}{R}$$

حيث:

Z تمثل عدد أسنان المسنن المخروطي المراد تحليله .

R تمثل نصف قطر الخطوة للمسنن المخروطي المراد تحليله .

R_e تمثل نصف قطر دائرة خطوة المسنن العادل المكافئ .

حيث R_e يساوي طول راسم المخروط الخلفي للمسنن المخروطي المراد تعيين عدد أسنانه الافتراضي ، ويلاحظ في الرسم b في (الشكل-7-25) أن لدينا بوجه عام:

$$R_e = \frac{R}{\cos \Gamma}$$

ومنه فإن:

$$Z_e = Z \frac{1}{\cos \Gamma} \quad (33-7)$$

أي يمكن بسهولة تعيين Z_e بدلالة عدد الأسنان الحقيقي للمسنن المخروطي ، وزاوية خطوته .

يستعمل عندئذ المسنن العدل المكافئ لتوصيف مقومات المسنن المخروطي جميعها ، بالطريقة نفسها التي تم توضيحها من خلال فقرات تحليل المسننات العدلة ، حيث تتسب أبعاد هذه المقومات جميعها ، وقيمها المختلفة إلى النهاية الخارجية للسن التي تم عندها تقريب الحركة الكروية إلى الحركة الناتجة من المخروط الخلفي .

تصنع المسننات المخروطية عادة بعد إدخال تصحيح على كل من طولي ساق التريس ، والمسنن ؛ لتفادي حدوث تداخل بين الأسنان ، كما سبق وبيننا في المسننات العدلة . يحدد مقدار الزيادة في طول ساق التريس ، ومقدار النقصان في طول ساق المسنن بدلالة معامل الساق γ الذي يعطى كما في المسننات العدلة ، لكن على أساس عدد الأسنان الافتراضي لكل من المسنن والتريس . يؤدي هذا التعديل إلى متانة أكبر للسن ، وتوازن أفضل للتآكل بين الأسنان .

إن زاوية الضغط العيارية Φ تؤخذ عادة 20° ، بينما يمكن تعيين بقية الأبعاد بتطبيق العلاقات العيارية نفسها المتبعة في المسننات العدلة ، على أساس استعمال عدد الأسنان الافتراضي وأسس تعديل الساق ذاتها . بما أن مخروطي الخطوة لأي مسننين مخروطيين لهما دوماً ذروة مشتركة ؛ وبسبب تعديل الساق فإن هذه المسننات تصمم ، وتصنع كزوج مترافق ، وهي قابلة للتبادل . كما أنه تجدر الإشارة إلى أن ميل الأسنان على محور المسنن يولد دفعاً جانبياً ، يجب أخذه بالحسبان عند تصميم محامل عمودي الدوران .

أما في حالة المسننات المخروطية اللولبية والهيبودية ، فإن التصميم يتم عادةً استناداً إلى جداول ونشرات صانعي آلات قطع المسننات المخروطية ؛ نظراً لصعوبة تحليلها نظرياً . من النظم المتبعة في هذا المجال نظام (Gleason) الشائع الاستعمال في الكثير من التطبيقات .

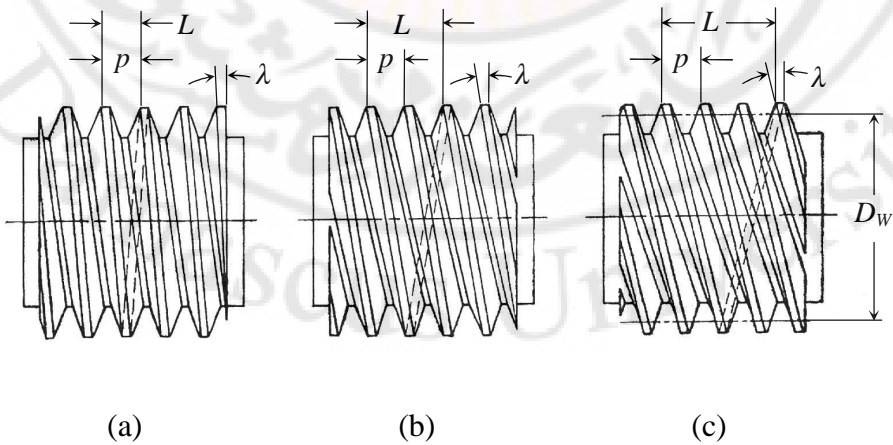
Construction of Worm Gears

9-7- إنشاء المسننات الدودية

إذا أدى سن مسنن حلزوني دورة كاملة على أسطوانة الخطوة ، فإن المسنن الناتج يسمى بـ الدودة ، بينما يسمى المسنن المرافق له بـ المسنن الدودي ، إلا أن هذا المسنن غير حلزوني بالمعنى الصحيح .

يستعمل هذا النوع عادة في نقل القدرة بين عمودين متخالفين ، ومتعامدين ، وبنسبة نقل عالية نسبياً لأن الدودة تكون عادة ذات قطر صغير . كما تستعمل بشكل عام في تخفيض السرعة ، ونقل عزوم كبيرة . تختلف المسننات الدودية عن المسننات الحلزونية المتصلبة ، والمسننات اللولبية في نقطة مهمة جداً ، وهي أن التماس بين أسنانها هو خطي عوضاً من كونه نقطياً ، كما سبق وبيننا عند دراسة المسننات الحلزونية المتصلبة ، ينتج من ذلك أنه يمكن للمسننات الدودية أن تنقل أحمالاً أكبر مما تنقله المسننات المتصلبة أو اللولبية ، إلا أن سيئاتها حدوث سرعات انزلاق عالية بين الأسنان .

إن أسنان الدودة تلتف بشكل كامل حول أسطوانة الخطوة ؛ أي: إنها تماثل اللولب من حيث شكلها ، وحركتها . يمكن للدودة أن تكون مفردة ، كما في الرسم a في (الشكل-7-26) ، أو ثنائية ، كما في الرسم b ، أو ثلاثية ، كما في الرسم c في (الشكل-7-26) ، أو أكثر من ذلك . يحدد عدد أسنان الدودة بأبواب اللولب المكون لها ؛ لذا فإن الأسنان تسمى أبواباً لتمييزها عن أسنان المسننات الأخرى . يكون عدد الأبواب عادة صغيراً ، ولا يزيد في أغلب الحالات على ستة أبواب .



(الشكل-7-26) أنواع أسنان الدودة .

تحدد أبعاد الدودة ، والمسند الدودي المترافق معها بدلالة المقومات التالية ، وذلك استناداً إلى (الشكل-7-26):

§ الخطوة المحورية Axial Pitch

وهي المسافة بين نقطتين متناظرتين على بابين متجاورين ، مقاسة باتجاه محور الدودة ، ويرمز لها بـ p .

§ قطر الخطوة Pitch Diameter

وهو قطر أسطوانة الخطوة للدودة ، ويرمز لها بـ D_w .

§ القودة Lead of Worm

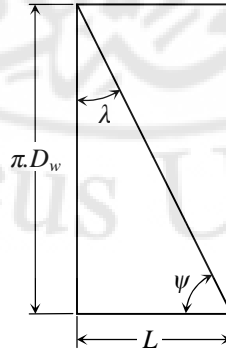
وهي مقدار تقدم الحلزون لكل دورة لأسطوانة الخطوة ، ويرمز لها بـ L ، من الواضح أن هذا المقدار يتناسب طردياً مع الخطوة المحورية ، ومع عدد أبواب اللولب (i Start) ؛ أي عدد أسنان الدودة ، ومنه فإن:

$$L = p.i \quad (34-7)$$

§ زاوية القودة Lead Angle

وهي زاوية ميل السن على مستوي دوران الدودة ؛ أي المستوي العمودي على محور الدودة ، ويرمز لها بـ λ . يمكن تعيين قيمة هذه الزاوية بالرجوع إلى (الشكل-7-27) ، الذي يبين المثلث الناتج من بسط حلزون الخطوة ، حيث ينتج أن:

$$\tan l = \frac{L}{p.D_w} = \frac{p.i}{p.D_w} \quad (35-7)$$



(الشكل-7-27) تحديد مقومات الدودة والمسند الدودي .

§ زاوية الحلزون Helix Angle

وهي الزاوية التي يميل بها السن على محور الدودة ؛ أي: إنها الزاوية المتممة للزاوية λ ، ويرمز لها بـ ψ .

§ زاوية الضغط Pressure Angle

وهي الزاوية بين الناقم على جانب السن ، ومحور الدودة . تساوي هذه الزاوية في حالة جانب مستقيم للسن نصف الزاوية المحصورة بين جانبي سنين متجاورتين ، ويرمز لها بـ Φ .

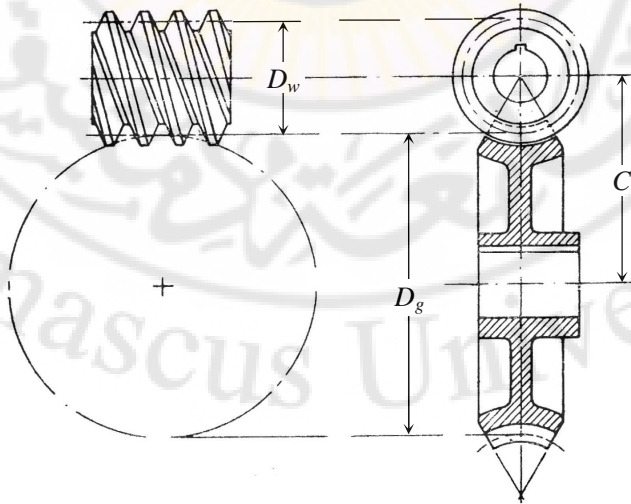
يبين (الشكل-7-28) دودة ، والمسكن المترافق معها ، بحيث إن محوريهما متعامدان . يجب في هذه الحالة أن تكون الخطوة المحورية للدودة مساوية الخطوة الدائرية للمسكن الدودي ، كما أن زاوية ميل أسنان المسكن على محوره يجب أن تساوي زاوية القودة للدودة ، ينتج من ذلك أن:

$$D_g = \frac{p \cdot Z_g}{p} \quad (36-7)$$

حيث:

D_g تمثل قطر دائرة الخطوة للمسكن الدودي .

Z_g تمثل عدد أسنان المسكن الدودي .



(الشكل-7-28) دودة والمسكن المترافق معها .

أما نسبة النقل ، فهي:

$$\frac{w_w}{w_g} = \frac{Z_g}{i} \quad (37-7)$$

ينتج بالتعويض من i و Z_g من المعادلتين (34-7) و (36-7) أن نسبة السرعة بدلالة قطر دائرة الخطوة للمسنن وقوة الدودة ، هي:

$$\frac{w_w}{w_g} = \frac{p \cdot D_g}{L}$$

يمكن في حالة نسب نقل كبيرة ، وبالتالي زوايا قودة λ صغيرة ، تشكيل أسنان الدودة بحيث تكون جوانبها مستقيمة في مقطع مار بمحور الدودة ، إلا أنه وجد أن شكل الأسنان هذا يؤدي إلى تداخل بين أسنان الدودة ، والمسنن الدودي ، إضافة إلى انخفاض مردود النقل بسبب احتمال زوال طبقة التزيت بين الأسنان ؛ لذا فإن العياريات العالمية توصي بشكل عام بأن تشكل أسنان الدودة كجزء من حلزون أنفليوتي ، كما في المسننات الحلزونية واللولبية .

يتم التصنيع عندئذ باستعمال جريدة مسننة يتعامد مستويها مع حلزون السن عند أسطوانة الخطوة . أما المسنن الدودي ، فإنه يصنع بوساطة عدة قطع مماثلة للدودة التي يترافق معها ، بحيث تؤمن هذه الطريقة في التشكيل تماساً خطياً بين الأسنان . يتم في هذه الحالة تحريك عدة القطع باتجاه قطري على سطح خامة المسنن ؛ مما ينتج منه تقعر في وجه المسنن ، كما في (الشكل-7-28) ، يساعد على توزيع الحمل على أكبر سطح تماس .

تجدر الإشارة إلى أن مردود النقل في المسننات الدودية ، يتأثر بشكل رئيس بمعامل الاحتكاك بين الأسنان وبزاوية القودة λ . يحصل أعظم مردود عند كون هذه الزاوية مساوية 45° تقريباً ، كما أن تغيرات المردود مع زاوية القودة λ تشير إلى أن المردود يبقى ثابتاً لقيم $(30^\circ < \lambda < 60^\circ)$ ، بينما ينخفض بشكل سريع لقيم λ الواقعة خارج هذا المجال .

يفضل أحياناً أن تكون الحركة بين الدودة ، والمسنن قابلة للعكس كما في السيارات ، حيث يتم غالباً عند إجراء عمليات الإصلاح أن يحرك المسنن الدودة . يمكن تحقيق ذلك بأن تكون زاوية القودة أكبر من زاوية الاحتكاك بين سطحي التماس . أما عند استعمال هذه المسننات في تطبيقات ذاتية القفل ، كما في الروافع ، فإنه يجب أن تكون زاوية القودة أقل من زاوية الاحتكاك ، وبشكل عام يجب عندئذ ألا تزيد على 5° . ينتج من ذلك أن الدودة هي التي تحرك المسنن ، ولا يمكن عكس الحركة .

10-7- القوى المؤثرة في أسنان المسننات

Effective Forces in Gears Teeth

لا بد عند تصميم مسننات آلية إدارة معينة من تحليل القوى المؤثرة في أسنان كل منها ، ليتم على أساسها تحديد متانة الأسنان ، ومعدل تأكلها ، وذلك استناداً إلى العلاقات التصميمية المعتمدة لأنواع المسننات المختلفة التي أهمها معادلات لويس وباكنكهام (Lewis & Buckingham) .

لا تختلف مبادئ تحليل القوى في المسننات عما هي عليه بالنسبة لوصلات التركيبات الآلية التي سبق توضيحها ؛ لذا فإننا سنكتفي في الفقرات اللاحقة بدراسة بعض الأمثلة النموذجية ؛ بغية توضيح تأثير المقومات الخاصة بكل نوع من المسننات في القوى المؤثرة في الأسنان ، وبما أن الغاية الرئيسة من هذا البحث هي دراسة المسنن كوصلة من تركيبة آلية ؛ لذا فإننا لن نتطرق إلى تحليل الأحمال الديناميكية التي تنشأ في جمل المسننات .

Spur Gears

1-10-7- المسننات العدلية

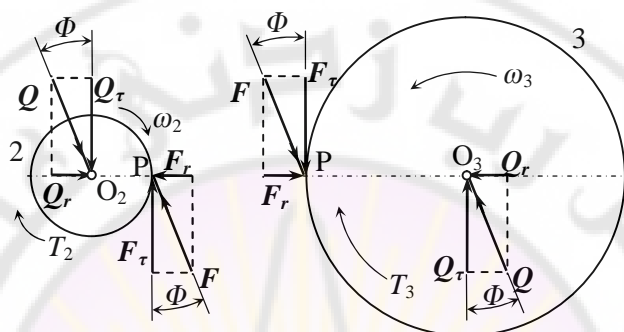
يكون خط انتقال القوة عند إهمال الاحتكاك منطبقاً على خط العمل الذي يبقى دوماً ناظماً لسطحي تماس السنين المتشابكتين. ينتج من ذلك أن خط عمل هذه القوة F يميل بزاوية الضغط Φ على المماس المشترك لدائرتي الخطوة عند نقطة الخطوة P باتجاه خط الضغط .

يبين (الشكل 7-29) مخطط الجسم الحر لكل من التريس 2 ، والمسنن 3 ، عندما تنطبق نقطة تماس السنين على نقطة الخطوة ، بحيث تكون الأسنان في حالة تدرج صرف ، ولا يوجد احتكاك لعدم حدوث انزلاق نسبي . أما في بقية الأوضاع خلال قوس العمل ، فإنه يحدث انزلاق نسبي ؛ مما يؤدي إلى انحراف القوة المحصلة F المؤثرة في السن عن خط العمل بزاوية تساوي زاوية الاحتكاك ، إلا أنه نظراً لكون زاوية الاحتكاك في هذا النوع صغيرة جداً ، فإنها تهمل عادة ، ويكون الخطأ الناتج عندئذ في تحديد القوة ضئيلاً جداً .

قد يحصل أن يتم التعشيق في آن واحد بين زوجين من الأسنان حيث تقسم القوة المنتقلة بينهما . تعتمد نسبة تقسيم القوة بينهما على دقة التعشيق بين الأسنان ؛ وبالتالي على دقة تشكيل هذه الأسنان ، لكن من المتبع عادة أن زوجاً واحداً يحمل كامل قيمة القوة المنتقلة F .

إن للقوة F مركبتين ، إحداها مماسية ($Tangential$) F_t تتجه باتجاه المماس بالنسبة لدائرة الخطوة ، والأخرى نصف قطرية ($Radial$) F_r تتجه نحو المركز ، حيث إن:

$$F_t = F \cdot \cos f \quad , \quad F_r = F \cdot \sin f$$



(الشكل-7-29) القوى المؤثرة في أسنان المسننات العدلة .

كما أنه من المناسب أن نوضح في مخطط الجسم الحر للتريس 2 مركبتي القوة Q التي يبذلها العمود على التريس ، المساوية والمعاكسة للقوة المنتقلة F ، وتؤثر عند خط مركز العمود . بحيث تكون القوتان متساويتين في المقدار ، ومتضادتين في الاتجاه ، ومتوازيتين وتقعان في المستوي نفسه ؛ لذلك فإنهما تشكلان مزدوجة . إن عزم المزدوجة F_t ، Q_t هو عزم الدوران ($Torque$) T_2 اللازم تطبيقه في المسنن القائد لتدوير المجموعة ، ويكون معلوماً في أغلب الحالات ، وليكن مثلاً في حالة (الشكل-7-29) ، T_2 ينتج من ذلك أن:

$$T_2 = F_t \cdot R_2$$

حيث R_2 تمثل نصف قطر دائرة خطوة التريس 2 ، وبالتالي فإن القوة المنتقلة F ، هي:

$$F = \frac{1}{\cos f} F_t = \frac{T_2}{R_2} \sec f \quad (38-7)$$

أما العزم الناتج على محور المسنن المقاد T_3 ، فهو:

$$T_3 = F_t \cdot R_3 = \frac{R_3}{R_2} T_2$$

أو بدلالة نسبة النقل:

$$T_3 = \frac{w_2}{w_3} T_2 \quad (39-7)$$

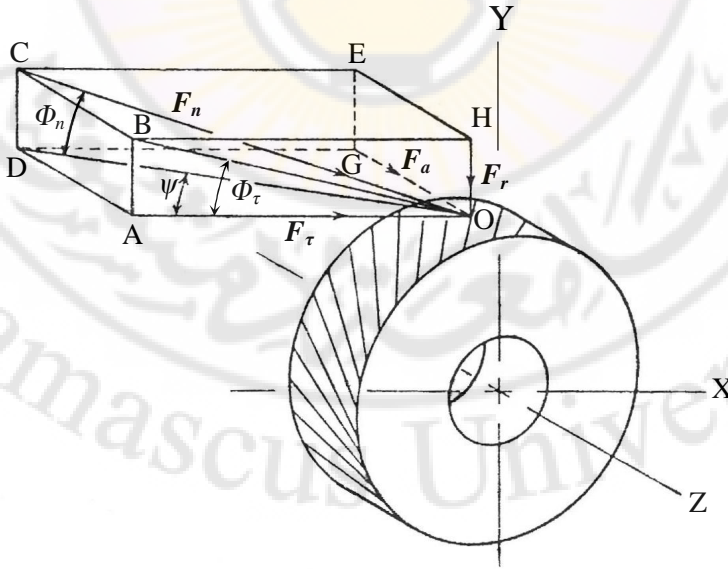
يلاحظ من المعادلة (7-38) أن القوة المنقولة F المؤثرة في السن تزداد بازدياد زاوية الضغط ، وتسبب إجهادات موضعية بجوار نقطة التماس ، وكذلك الأمر بالنسبة للمركبة القطرية F_r ، وتسمى أحيانا بقوة الفصل لأنها تضغط على السن ، بحيث تحاول إبعادها عن السن المترافقة ؛ بالتالي لا تؤدي عملاً مفيداً من حيث نقل القدرة . بينما تؤثر المركبة المماسية F_t بقص وانحناء على السن ، وتدعى أحياناً بالقوة المنقولة (*Transmitted Force*) ، فإذا عُلِّمَت الاستطاعة ، فإننا نحصل على القوة المنقولة من المعادلة الآتية:

$$P_{(W)} = F_t \cdot V = F_t \cdot w_2 \cdot R_2$$

Parallel Helical Gears

2-10-7- المسننات الحلزونية المتوازية

لما كانت كل سن من أسنان هذه المسننات ، تشكل جزءاً من حلزون يميل محوره بزاوية ψ على المستوي الذي يحتوي على محور السن ، فإن القوة المحصلة F_n المؤثرة عند نقطة الخطوة في السن تقع في المستوي ODC الناطمي على محور السن ، كما هو مبين في (الشكل-7-30) ، وذلك عند إهمال الاحتكاك الذي يكون تأثيره عادة ضئيلاً جداً .



(الشكل-7-30) القوى المؤثرة في أسنان المسننات الحلزونية المتوازية .

يمكن تحليل القوة F_n باتجاهات المحاور الإحداثية X, Y, Z ، حيث ينتج أن:
 F_t تمثل المركبة المماسية (*Tangential Force*) أو القوة المحركة ، وهي القوة الفعالة في نقل عزم الدوران ، وتقع في المستوي المماسي OADG .
 F_r تمثل المركبة نصف القطرية (*Radial Force*) أو قوة الفصل ، وتقع في مستوي الدوران OABH .
 F_a تمثل المركبة المحورية (*Axial Force*) أو الدفع المحوري ، وتقع في المستوي المحوري OGEH .
أما الزاوية Φ_t ، فهي زاوية الضغط العرضية (*Transverse Pressure Angle*) وتقع في مستوي الدوران ، بينما تمثل الزاوية Φ_n زاوية الضغط الناطمية ، وتقع في المستوي الناطمي على محور السن .

إذا كان العزم المؤثر في عمود الدوران هو T ، ونصف قطر أسطوانة الخطوة هو R ، فإن المركبة المماسية تعطى بالعلاقة:

$$F_t = \frac{T}{R} \quad (40-7)$$

تحدد بقية المركبات بدلالة F_t ، استناداً إلى (الشكل-7-30) ، من العلاقات الآتية:

$$F_a = F_t \cdot \tan y \quad (41-7)$$

$$F_r = F_t \cdot \tan f_t \quad (42-7)$$

أو بالتعويض من المعادلة (24-7):

$$F_r = F_t \cdot \tan f_n \cdot \sec y \quad (43-7)$$

وكذلك فإن:

$$F_n = \frac{1}{\sin f_n} F_r \quad (44-7)$$

أي بالتعويض من F_r من المعادلة (43-7):

$$F_n = F_t \cdot \sec f_n \cdot \sec y \quad (45-7)$$

من المناسب أن نستخدم محصلة القوتين F_r و F_a ، فإذا رمزنا لهذه القوة بـ F_ϕ ، فإنها تحدد بالمعادلة الآتية:

$$F_\phi = F_r + F_a \quad (46-7)$$

يلاحظ من هذه المعادلات أن قيم F_n , F_r , F_a تزداد بازدياد زاوية الحزون ψ عند نقل عزم معين ، وزاوية ضغط ناظرية Φ_n معينة ؛ لذا فإن قيم ψ تحدد عادة ضمن المجال 15° - 25° في المسننات الحزونية المفردة ، بينما يمكن استعمال قيم أكبر في المسننات المزوجة . إضافة إلى ذلك فإن تصغير ψ يخفف من الخطأ الناتج بسبب إهمال الاحتكاك ، واعتبار سرعة الانزلاق النسبي ؛ وبالتالي زاوية الاحتكاك تزداد بازدياد ψ .

لا يختلف مبدأ تحليل القوى في المسننات الحزونية المتصالبة عما هو عليه في المسننات الحزونية المتوازية ، إلا من حيث اختلاف زاويتي الحزون ψ_1 , ψ_2 لكل من المسننين المترافقين . يحدث هذا الاختلاف تغييراً في قيمة كل من المركبتين المماسية ، والمحورية ، واتجاههما عند سطح التماس . ينتج ذلك استناداً إلى المبدأ الأساسي في تساوي الفعل ورد الفعل الذي يؤدي إلى ثبات القوة المحصلة الناظرية F_n المؤثرة في السنين المترافقين عند نقطة الخطوة التي تميل بزاوية الضغط Φ_n على المستوي المماسي لسطحي الخطوة . يلاحظ من المعادلة (44-7) عندئذ أن المركبة القطرية F_r هي ثابتة أيضاً للمسننين .

تجدر الإشارة إلى أنه نظراً لاختلاف آلية تعشيق الأسنان في المسننات الحزونية المتصالبة ، عما هو عليه في المسننات الحزونية المتوازية في الفقرة (7-7-1) ، فإن الاحتكاك يؤثر تأثيراً مهماً في تخفيض مردود النقل ؛ خاصة عند كون الزاوية Σ بين عمودي الدوران كبيرة نسبياً ؛ إذ إن هذا المردود نادراً ما يتجاوز 90% .

يعطى المردود الأعظمي η_{\max} بالعلاقة:

$$h_{\max} = \frac{1 + \cos(\Sigma + b)}{1 + \cos(\Sigma - b)} \quad (47-7)$$

حيث تحدد الزاوية β ، بدلالة معامل الاحتكاك بين الأسنان μ ، وزاوية الضغط الناظرية Φ_n ، من العلاقة:

$$\tan b = m / \cos f_n = m_e \quad (48-7)$$

حيث μ_e تمثل معامل الاحتكاك الفعال .

مسألة-7-2

يبين المخطط a في (الشكل-7-31) مجموعة مسننات (Gear Train) مؤلفة من ثلاثة مسننات حلزونية ، ومراكز أعمدتها واقعة على خط مستقيم . المسنن القائد يميني (Right Hand) ، ونصف قطر دائرة خطوته يساوي 4 cm ، وزاوية الضغط العرضية تساوي 20° ، وزاوية اللولب تساوي 30° ، وفي المجموعة مسنن وسيط (Idler Gear) أسنانه يسارية ، ونصف قطر دائرة خطوته يساوي 6.5 cm ، ولا ينقل أي قدرة لعموده ، والمسنن المقود أسنانه يمينية ، ونصف قطر خطوته يساوي 5 cm .
فإذا كانت القوة المنقولة تساوي 2400 N . المطلوب إيجاد قوى العمود التي تؤثر على المسننات كلها .

الحل:

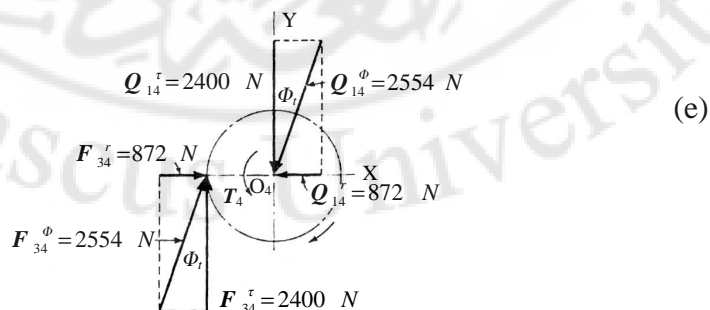
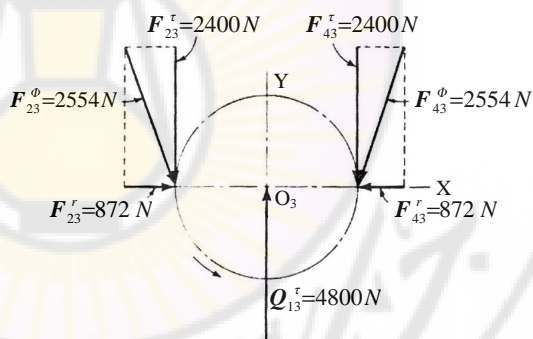
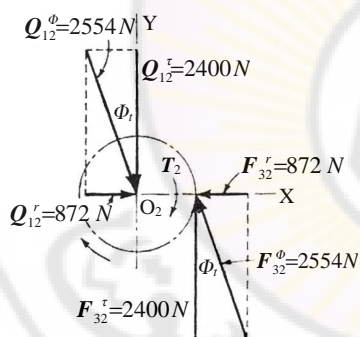
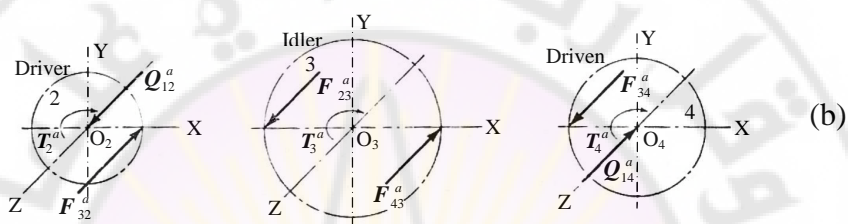
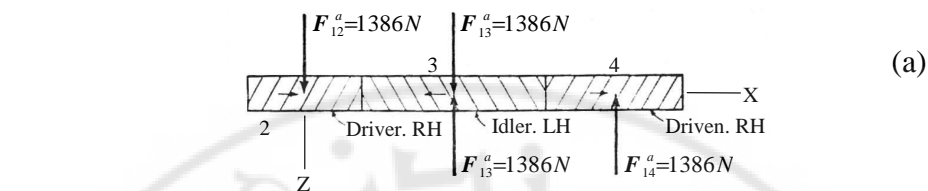
نحسب القوة المحورية لكل زوج من الأسنان المعشقة باستخدام المعادلة (7-38):

$$F^a = F^t \cdot \tan y = 2400 \tan 30^\circ = 1385.6 \text{ N}$$

يبين المخطط a في (الشكل-7-31) منظراً أفقياً للمسننات الثلاثة ، بالنظر إلى الأسفل إلى المستوي الذي تشكل محاور الدوران الثلاثة ، ونعد أن الدوران حول المحور Z لكل من المسننات .

ويبين المخطط b في (الشكل-7-31) مخطط الجسم الحر المنظوري لكل من المسننات الثلاثة ، وعلى هذه المخططات رسمت محاور الإحداثيات الثلاثة ، ونرى من الشكل أن المسنن الوسيط ينقل القوة F_{32}^a على المسنن القائد ، وتقاوم هذه القوة قوة العمود المحورية Q_{12}^a ، والقوتان F_{32}^a و Q_{12}^a تشكلان مزدوجة يقاومها العزم T_2^a ، ونلاحظ هنا أن هذا العزم سالب حول المحور Y ، ولذلك فإنه يحاول أن يدير عمود المسنن القائد من طرف إلى الطرف الآخر ، وأن مقدار هذا العزم يساوي:

$$T_2^a = F_{32}^a \cdot r_2 = 1385.6 \times 0.04 = 55.4 \text{ N.m}$$



(الشكل-7-31) تحليل القوى في مجموعة مسننات .

ندرس الآن المسنن الوسيط ، ونلاحظ من المخططين a و b في (الشكل-7-31) أن القوة المحورية لعمود المسنن الوسيط تساوي الصفر . إن المركبة المحورية للقوة التي يؤثر بها المسنن القائد على المسنن الوسيط هي F_{23}^a ، والمركبة المحورية للقوة التي يؤثر بها المسنن المقود على المسنن الوسيط هي F_{43}^a ، وهاتان القوتان متساويتان ، وتشكلان مزدوجة تحاول أن تدوير عمود المسنن من طرف إلى الطرف الآخر ، ويقاوم هذه المزدوجة العزم T_3^a ، ومقداره:

$$T_3^a = F_{23}^a \cdot r_3 = 1385.6 \times 0.065 = 90 \text{ N. m}$$

تؤثر في المسنن المقود القوة المحورية F_{34}^a المسببة عن المسنن الوسيط ، وتؤثر هذه القوة في خط الخطوة ، وتقاومها قوة رد فعل العمود المحورية Q_{14}^a ، ويبدو من المخطط e في (الشكل-7-31) أن هاتين القوتين متساويتان ، وتشكلان مزدوجة تحاول أن تدوير عمود المسنن من طرف إلى آخر ، ويقاوم هذه المزدوجة العزم T_{14}^a . وبما أن $(F_{34}^a = 1385.6 \text{ N})$ ، فإن مقدار هذا العزم السالب حول المحور Y ، يساوي:

$$T_{14}^a = F_{34}^a \cdot r_4 = 1385.6 \times 0.05 = 69.3 \text{ N. m}$$

من المفيد أن نؤكد مرة أخرى بأن العزوم المقاومة T_2^a ، T_3^a ، T_4^a ناتجة فقط عن المركبات المحورية لردود الفعل بين الأسنان . وهذه العزوم تحدث ردود فعل ساكنة عند المساند ، ولا تأثير لها على مقدار القدرة المنقولة .

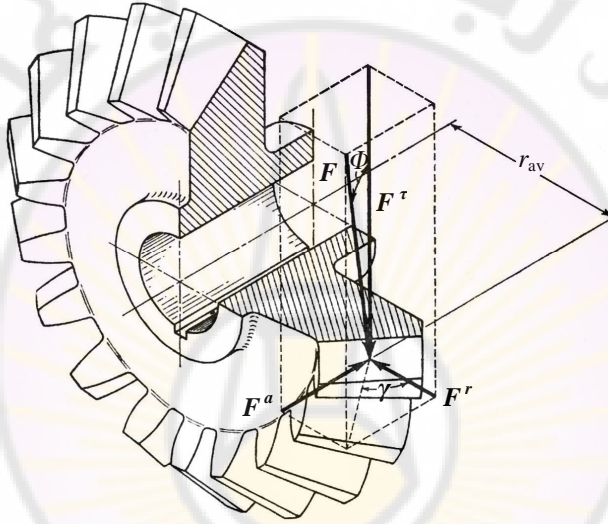
ويدرس تأثير باقي مركبات القوى ، كما لو كانت مستقلة عن القوى المحورية ، والمخططات e و d و c في (الشكل-7-31) تبين مخططات الجسم الحر ، وهي توضح القوى المؤثرة في مستوي الدوران لكل من المسننات القائد ، والوسيط ، والمقود . يمكن أن نحصل على القوى بطريقة تخطيطية ، كما هو مبين في الأشكال ، أو بتطبيق المعادلتين (42-7) و (46-7) .

ليس من الضروري أن نجمع المركبات للحصول على القوى المحصلة ؛ لأن ما نحتاج إليه في تصميم الآلات هو هذه المركبات ذاتها .

Straight Bevel Gears

3-10-7- المسننات المخروطية المستقيمة

عند تعيين القوى المؤثرة في سن المسنن المخروطي المستقيم ، من المألوف أن نحدد القوى التي تؤثر عند نقطة منتصف السن في مخروط الخطوة ، والقوة المحصلة المماسية ربما كانت تؤثر عند نقطة ما واقعة بين نقطة المنتصف وبين الطرف الأكبر للسن ، ولكن الخطأ الذي ينتج من افتراضنا بأن القوة تؤثر في نقطة المنتصف صغير .



(الشكل-7-32) تحليل القوى المؤثرة في سن المسنن المخروطي المستقيم .

إن القوة المماسية أو المنقولة (*Transmitted Force*) مبيّنة في العلاقة الآتية:

$$F^t = T / r_{av} \quad (49-7)$$

حيث r_{av} يمثل نصف القطر المتوسط لمخروط الخطوة ، كما هو مبين في (الشكل-7-32) ، و T تمثل عزم الدوران (*Torque*) .

يبين (الشكل-7-32) أيضاً مركبات القوة المحصلة جميعها التي تؤثر في نقطة منتصف السن ، ويمكن استنتاج العلاقات الآتية من دراسة الشكل المذكور:

$$F = F^t + F^a + F^r \quad (50-7)$$

$$F^r = F^t \cdot \tan f \cdot \cos g \quad (51-7)$$

$$F^a = F^t \cdot \tan f \cdot \sin g \quad (52-7)$$

مسألة-3-7

يدور المسنن المخروطي الصغير (*Bevel Pinion*) بسرعة 600 r.p.m في الاتجاه المبين في (الشكل-7-33) ؛ لينقل قدرة مقدارها 5 hp إلى المسنن الكبير ، كما يبين الشكل المسافات بين المسننات ومواقع المساند على كل من العمودين .

فإذا كان باستطاعة المسننين A و C أن يتحملا الأحمال المحورية والقطرية (*Radial and Axial*) ، بينما يقوم المسندان B و D بتحمل الأحمال نصف القطرية فقط ، وكانت زاوية ضغط الأسنان تساوي 20° . المطلوب إيجاد مركبات القوى التي تبذلها المساند على العمودين في الاتجاهات X , Y , Z .

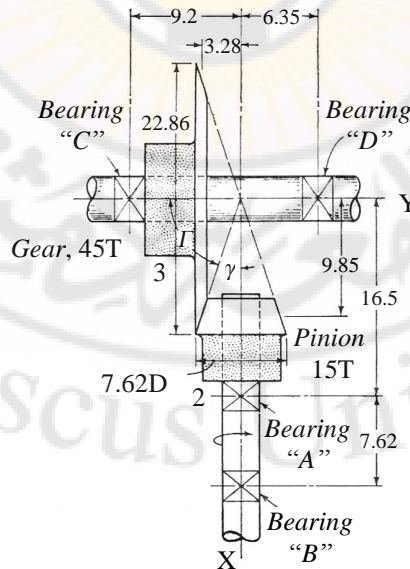
الحل:

إن زاوية الخطوة (*Pitch Angles*) لكل من المسنن الصغير ، والكبير ، هما:

$$g = \tan^{-1}(7.62/22.86) = 18.4^\circ , \quad \Gamma = \tan^{-1}(22.86/7.62) = 71.6^\circ$$

وإن نصفي القطرين عند نقطة المنتصف لكل من المسننين الصغير 2 ، والكبير 3 مبيان في (الشكل-7-33) ، ويساويان إلى:

$$r_{3av} = 9.85 \text{ cm} , \quad r_{2av} = 3.28 \text{ cm}$$



(الشكل-7-33) مسنن مخروطي صغير مع مسنن مخروطي كبير .

تعين القوة المماسية F^t التي تؤثر في المسنن الصغير ، من علاقة الاستطاعة:

$$P = T \cdot w_2 = F_t \cdot r_{2av} \cdot w_2 \Rightarrow F^t = \frac{P}{r_{2av} \times w_2}$$

$$F^t = \frac{P \times 60}{r_{2av} \times 2p \times n_2} = \frac{5 \times 735.5 \times 60}{3.28 \times 10^{-2} \times 2p \times 600} = 1784.4 \text{ N}$$

حيث تؤثر هذه القوة بالاتجاه السالب للمحور Z الذي يكون موجبا في الاتجاه الصاعد من سطح الورقة .

بالتالي تعين المركبة نصف القطرية F^r ، من العلاقة (51-7):

$$F^r = F^t \cdot \tan f \cdot \cos g = 1784.4 \times \tan 20^\circ \times \cos 18.4^\circ = 616.26 \text{ N}$$

وتتجه بالاتجاه الموجب للمحور Y .

وتعين المركبة المحورية F^a ، من العلاقة (49-7):

$$F^a = F^t \cdot \tan f \cdot \sin g = 1784.4 \times \tan 20^\circ \times \sin 18.4^\circ = 205 \text{ N}$$

وتتجه بالاتجاه الموجب للمحور X .

بالتالي هذه القوى الثلاث تمثل مركبات القوة F التي تؤثر في الموقع P ، وتعين بالعلاقة:

$$F = F^a \cdot i + F^r \cdot j - F^t \cdot k = 205 i + 616.26 j - 1784.4 k$$

كما يعين عزم الدوران T_2 المطبق على العمود الذي يساوي:

$$T_2 = -F^t \cdot r_{2av} \cdot i = -1784.4 \times 3.28 i = -5852.8 i \text{ N.cm}$$

والرسم التخطيطي للجسم الحر للمسنن الصغير وعموده مبين في a في (الشكل-7-34) .

من معرفة عزم الدوران T_2 والقوة F والأبعاد ، يمكن تعيين ردي فعل

المسندين F_A و F_B ، فتعين F_B من علاقة العزم حول A ($\Sigma T_A = 0$):

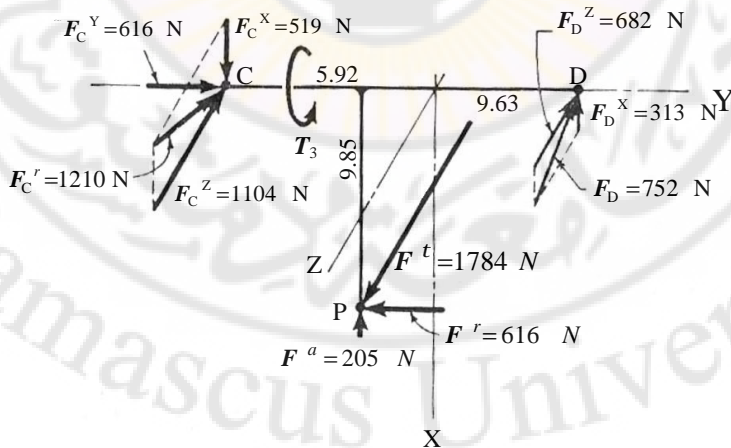
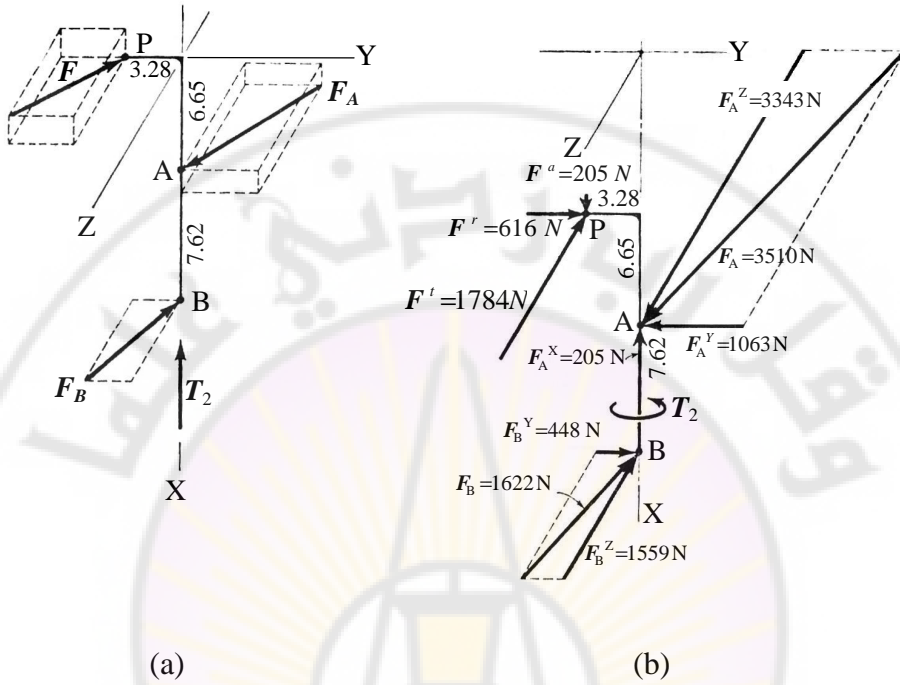
$$T_2 + R_{BA} \wedge F_B + R_{PA} \wedge F_A = 0$$

حيث R_{PA} تمثل المتجه النسبي للموقع P بالنسبة للمسند A ، ويساوي:

$$R_{PA} = -6.65 i - 3.28 j$$

و R_{BA} تمثل المتجه النسبي للمسند B بالنسبة للمسند A ، ويساوي:

$$R_{BA} = 7.62 \cdot i$$



(c)

(الشكل-7-34) مخططات الجسم الحر للمسنن الصغير وعموده ، والمسنن الكبير وعموده .

ومنه فإن عزم القوة F_A حول A يساوي:

$$R_{PA} \wedge F_A = \begin{vmatrix} i & j & k \\ -6.65 & -3.28 & 0 \\ 205 & 616.26 & -1784.4 \end{vmatrix} = 5852.8i - 11866.26j - 3425.7k$$

ومنه فإن عزم القوة F_B حول A يساوي:

$$R_{BA} \wedge F_B = \begin{vmatrix} i & j & k \\ 7.62 & 0 & 0 \\ 0 & F_B^Y & F_B^Z \end{vmatrix} = -7.62 F_B^Z j + 7.62 F_B^Y k$$

وذلك لأن $(F_B^X = 0)$ ، كما هو مبين في المخطط b في (الشكل-7-34) .

بالتعويض في علاقة العزم بالقيم المعروفة:

$$(-5852.8i) + (-7.62 F_B^Z j + 7.62 F_B^Y k) + (5852.8i - 11866.2j - 3425.7k) = 0$$

وحل هذه المعادلة يعطي:

$$F_B = 448 j - 1559.47 k \Rightarrow F_B = 1622 \text{ N}$$

ومنه يمكن إيجاد F_A من المعادلة $(\Sigma F = 0)$ ؛ أي:

$$F + F_A + F_B = 0$$

بالتعويض بالقيم المعروفة:

$$(205 i + 616.26 j - 1784.4 k) + F_A + (448 j - 1559.47 k) = 0$$

وحل هذه المعادلة يعطي:

$$F_A = -205 i - 1063 j + 3342.7 k \Rightarrow F_A = 3510 \text{ N}$$

بهذا تم تعيين القوى المؤثرة في عمود المسنن الصغير ، والنتائج مبينة في المخطط

b في (الشكل-7-34) ، ونحصل على القوى المؤثرة في عمود المسنن الكبير ، وهذه

الحسابات غير مبينة هنا ، إلا أن المخطط c في (الشكل-7-34) يعطي نتائج الحل لمنفعة

من يريد التحقق من ذلك .

4-10-7- المسننات الدودية

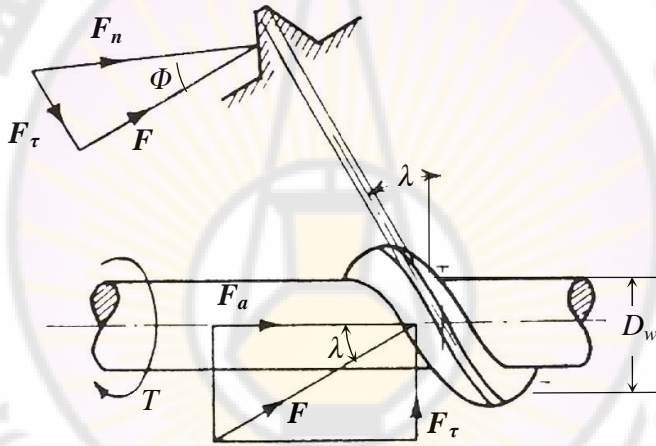
Worm Gears

يبين (الشكل-7-35) القوى المؤثرة عند إهمال الاحتكاك في سن لولب دودة ، يخضع لعزم دوران T .

تعاكس المركبة المماسية F_t القوة المحركة الناتجة من تأثير العزم T ، وهي تعطى بالعلاقة:

$$F_t = \frac{2T}{D_w} \quad (53-7)$$

حيث D_w تمثل قطر دائرة خطوة الدودة.



(الشكل-7-35) القوى المؤثرة على سن لولب دودة .

يلاحظ أن F_t هي قيمة قوة الدفع المحوري المؤثرة في عمود المسنن الدودي ، لكن باتجاه معاكس ، كما هو مبين في (الشكل-7-35) . إذا كانت زاوية الضغط هي ϕ في مستو ناظمي على سطح التماس بين الدودة ، والمسنن ، والزاوية λ هي زاوية القودة للدودة ، فإن القوة المحورية F_a المؤثرة في سن الدودة تعطى بالعلاقة:

$$F_a = F_t \cdot \cot I \quad (54-7)$$

تساوي هذه القوة في الوقت نفسه إلى القوة المماسية المحركة المؤثرة في المسنن الدودي بحيث ينتج منها ، بدلالة نصف قطر خطوة هذا المسنن ، والعزم المنتقل إلى عمود دوران المسنن الدودي .

إن محصلة F_a و F_r في المستوي المماسي لأسطوانة الخطوة هي القوة F ،
حيث:

$$F = F_t \cdot \operatorname{cosec} l \quad (55-7)$$

وتكون القوة المحصلة الناعمية F_n المؤثرة في السن في مستو ناعمي على
سطحي التماس ، هي:

$$F_n = F \cdot \sec f \quad (56-7)$$

أما المركبة القطرية F_r المؤثرة في كل من الدودة ، والمسند ، فهي:

$$F_r = F \cdot \tan f \quad (57-7)$$

يفضل أحياناً تحليل القوى في المسننات الدودية على أساس الاحتكاك ؛ بسبب حدوث
سرعات عالية للانزلاق النسبي بين المترافقة .

يعطى المردود الأعظمي η_{\max} بالعلاقة:

$$h_{\max} = \frac{[1 - \tan(b/2)]^2}{[1 + \tan(b/2)]^2} \quad (58-7)$$

حيث تحدد الزاوية β ، بدلالة معامل الاحتكاك بين الأسنان μ ، وزاوية الضغط Φ ، من العلاقة:

$$\tan b = m / \cos f_n = m_e \quad (59-7)$$

قد يبدو لأول وهلة أن المعادلة (58-7) لا تتأثر بزاوية القودة λ للدودة ، إلا أن
ذلك غير صحيح ؛ لأن الزاوية β تتعلق بقيمة زاوية الضغط Φ تبعاً للمعادلة (59-7) .
وبما أن زاوية الضغط Φ تؤثر مباشرة في تحديد قيمة زاوية الحزون ψ للمسند الدودي ،
فإنها تؤثر أيضاً في تحديد قيمة زاوية القودة λ للدودة ؛ إذ إن التعشيق الصحيح بين الأسنان
يستوجب أن تساوي الزاوية λ زاوية الحزون ψ للمسند الدودي .

رغم ذلك فقد بينت التجارب أن قيم المردود الأعظمي لا يتأثر فعلياً بقيم λ في
المجال $30^\circ - 60^\circ$ ، عند كون زاوية الاحتكاك صغيرة لا تزيد قيمتها على 5° ؛ وإنما تتأثر
فقط بقيمة الاحتكاك الموجود بين سطحي التماس . يمكن بتصميم جيد للمسننات الدودية ؛
إضافة إلى تزييت ملائم الحصول على مردود بحدود 97% .

تجدر الإشارة إلى أنه في تصميم المسننات الدودية واللولبية ، يتم التركيز على الفقد الحاصل في المردود أكثر من القيمة المطلقة للمردود . يعود ذلك إلى تأثير كمية الحرارة الناتجة من الاحتكاك التي يجب تبديدها بهذا الفقد . مثال ذلك أن انخفاض المردود من 98% إلى 97% يعني نقصان هذا المردود بمقدار 1% تقريباً ، بينما ينتج من ذلك في الواقع زيادة كمية الحرارة اللازم تبديدها بمقدار 50% ؛ بسبب زيادة الفقد في المردود بهذا المقدار .



مسائل غير محلولة Problems

م-7-1

يقوم مسننان عدلان بنقل الحركة بين عمودين بنسبة 1 : 3 ، حيث الأسنان أنفليوتية الشكل ، طول ساقها يساوي الموديول 6 mm ، وزاوية الضغط 18° .

فإذا دار التريس بسرعة 100 r.p.m ؛ لينقل قدرة 6 kW ، المطلوب تعيين:

1. أقل عدد أسنان لكل من المسننين لمنع حدوث تداخل بين الأسنان .
2. طول كل من مسار التماس ، وقوس العمل ، ومن ثم نسبة التماس .
3. السرعة العظمى للانزلاق بين الأسنان .
4. القوة الناطمية المؤثرة في زوج من الأسنان علماً أن الاحتكاك مهمل .

*

م-7-2

يتعشق تريس أنفليوتي عدد أسنانه 20 سناً مع جريدة مسننة . حيث قطر دائرة خطوة التريس 125 mm ، وطول الساق لكل من التريس والجريدة 6 mm .

المطلوب تحديد:

1. أقل زاوية ضغط ممكنة لمنع حدوث تداخل بين الأسنان .
2. طول قوس التماس ، ونسبة التماس .

*

م-7-3

إذا كان عدد أسنان مسننين عدلين 38 و 22 سناً ، والأسنان أنفليوتية الشكل بموديول 3 mm .

المطلوب تعيين:

1. قطر دائرة الخطوة لكل من المسننين ، ومن ثم البعد بين مركزيهما .
2. قيمة الخطوة الدائرية .

م-7-4

يشكل مسننان عدلان بطريقة التوليد ، باستعمال جريدة مسننة أسنانها أنفليوتية بموديول 6 mm وزاوية ضغط 20° .

- فإذا كان عدد أسنان التريس 14 سنّاً ، وعدد أسنان المسنن 42 سنّاً . المطلوب:
1. عند تشكيل المسننين أن يتم تعديل ساق كل سن من أسنانها بالحد الأدنى الذي يمنع حدوث تداخل فيما بينها .
 2. إذا كان العمق الفعال ثابتاً ، ويساوي 12 mm ، فما هو القطر الخارجي اللازم لكل من خامة التريس والمسنن .

*

م-7-5

ينقل مسننان حلزونيّان مفردان الحركة بين عمودين متوازيين . عدد أسنان التريس 30 سنّاً ، والمسنن 48 سنّاً .

فإذا كانت زاوية الحلزون 22° ، الخطوة القطرية الناعمية $1/3$ ، وزاوية الضغط الناعمية 20° ، المطلوب تعيين:

1. الخطوة القطرية في مستوى الدوران .
2. قطر دائرة الخطوة لكل من المسننين ، والبعد بين مركزيهما .
3. الخطوة الدائرية الناعمية ، والخطوة الدائرية في مستوى الدوران .

*

م-7-6

ينقل مسننان حلزونيّان متصالبان الحركة بين عمودين متخالفين الزاوية بين محوريهما 45° .

فإذا كانت أسنان التريس يمينية الحلزون ، عددها 36 سنّاً ، وزاوية حلزونها 20° ، وكانت أسنان المسنن يمينية الحلزون ، عددها 48 سنّاً ، وموديولها الناعمي 2.5 mm . المطلوب تحديد:

1. زاوية حلزون المسنن .
2. الخطوة الدائرية الناعمية ، والخطوة القطرية للتريس في مستوي دورانه .
3. البعد بين مركزي المسنن ، والتريس .
4. سرعة الانزلاق بين الأسنان علماً أن التريس يدور بسرعة 400 r.p.m .

*

م-7-7

يصل مسننان مخروطيان بين عمودين متعامدين . عدد أسنان التريس 18 سنناً ، والمسنن 36 سنناً ، والأسنان مستقيمة خطوتها القطرية 1/4 ، أنفليوتية الشكل بزواوية ضغط 20° ، طول الساق لكل من أسنان المسننين واحد ويساوي الموديول m ، بينما طول الجذر لكل من أسنانهما يساوي 1.25 m .

المطلوب تعيين القيم التالية بالنسبة للمسنن:

1. زاوية الخطوة ، زاوية الوجه ، وزاوية الجذر .
2. قطر دائرة الخطوة ، والقطر الخارجي .
3. البعد المخروطي ، وبعد المخروط الخلفي .
4. عدد الأسنان الافتراضي .

*

م-8-7

تتقل الحركة بين عمودين متخالفين ، الزاوية بين محوريهما 90° بواسطة دودة ، ومسنن دودي بنسبة تخفيض 1 : 15 .

فإذا كانت أسنان الدودة ثلاثية الأبواب ، وزاوية القودة 20° ، بينما الخطوة المحورية 10 mm . المطلوب تحديد القيم الآتية:

1. عدد أسنان المسنن الدودي .
2. قطر دائرة الدودة والمسنن الدودي ، والبعد بين مركزيهما .
3. زاوية الحلزون للمسنن الدودي .

م-7-9

ينقل مسننان حلزونيان مفردان الحركة بين عمودين متوازيين بنسبة تخفيض 1 : 4.2 .

- فإذا كان الموديول الناظمي هو 3 mm ، وزاوية الضغط 20° ، وزاوية الحلزون 30° ، وكان البعد التقريبي بين مركزي المسننين هو 400 mm . المطلوب:
1. تحديد عدد أسنان كل من المسننين ، ومن ثم البعد المركزي الصحيح بينهما .
 2. تعيين قوة الدفع المحوري على عمود التريس ، والحمل الناظمي على كل من محمليه ، علماً أن التريس ينقل قدرة 75 kW عند سرعة دوران 1000 r.p.m .

*

م-7-10

يستعمل مسننان حلزونيان متصلان في نقل الحركة بين عمودين متخالفين، والزاوية بين محوريهما 90° بنسبة تخفيض 1 : 2 .

فإذا كان الموديول الناظمي للأسنان يساوي 6 mm . وعدد أسنان المسنن المتصل بالعمود المنخفض السرعة يساوي 16 سناً . وكان قطراً دائرتي الخطوة لكل من المسننين متساويين . المطلوب:

1. تعيين زاويتي الحلزون ، وقطري دائرتي الخطوة لكل من المسننين .
2. تعيين الدفع المحوري على كل من العمودين ، إذا كان العزم على العمود القائد هو 100 N.m ، علماً أن المسنن المقاد يميني الحلزون ، والاحتكاك مهمل .
3. تحديد التعديلات اللازم تحقيقها في التصميم المذكور أعلاه للحصول على أعظم مردود نقل .

*

م-7-11

يستعمل مسننان حلزونيان متصلان في نقل الحركة بين عمودين متخالفين محاورهما متعامدان بنسبة نقل 1 : 4 .

فإذا كان قطري دائرتي الخطوة لكل من المسننين متساويان ، والبعد بين مركزيهما يقع بين 100 – 105 mm . والموديول الناظمي لكل منهما 2.5 mm . المطلوب تحديد:

1. قيمة كل من زاويتي الحلزون .
2. البعد المركزي الصحيح .
3. قطر كل من خامة المسننين اللازمة لقطعهما .
4. عدد الأسنان الافتراضي لكل من المسننين .

*

م-7-12

يستعمل مسننان حلزونيان متصلان في نقل الحركة بين عمودين متخالفين ، الزاوية بين محوريهما 72° ، ونسبة التخميف المطلوبة 1 : 2.5 ، والمسافة بين مركزي المحورين هي بحدود 100 ± 5 mm .

فإذا كان عدد الأسنان الأصغر يجب ألا يقل عن 20 سناً ، وزاوية حلزون المسنن القائد 40° ، المطلوب:

1. تعيين الموديول الناظمي العياري المناسب .
2. البعد الصحيح بين المركزين ، ومردود النقل الأعظمي إذا كانت زاوية الاحتكاك 5° .

*

م-7-13

تنتقل القدرة في آلية عبر مردود رباعية الأبواب، حيث قطر دائرة خطوتها 75 mm ، العزم المطبق عليها 50 N.m ، وعدد أسنان المسنن الدودي المتعشق معها 22 سناً ، وقطر دائرة خطوته 412.5 mm .

فإذا كان معامل الاحتكاك الفعال بين السطحين المتماسين ($\mu_e = 0.05$) . المطلوب:
تعيين الدفع المحوري المؤثر في كل من محوري الدودة ، والمسنن إضافة إلى مردود النقل.

م-7-14

تنتقل الحركة بين عمودين متخالفين متعامدين بوساطة دودة ، ومسنن دودي . حيث قطر دائرة الخطوة لكل منهما 90 mm ، و 510 mm على التوالي .
فإذا كانت الدودة يمينية الحلزون ، وتقع تحت المسنن ، وزاوية قودتها 25° ، وزاوية الضغط الناعمية على سطح الأسنان ($\Phi = 20^\circ$) ، وكان عمود المسنن محمول على مضجعين البعد بينهما 225 mm ، ومركز المسنن يقع في منتصف المسافة بين المضجعين .
وكانت القدرة المنقولة 50 kW عند سرعة 1000 r.p.m باتجاه دوران عقارب الساعة . المطلوب بإهمال الاحتكاك تعيين الحمل على كل من المضجعين قيمة واتجاهاً .

الفصل الثامن

Gear Trains مجموعات المسننات

يتم تصميم التركيبات الآلية وفقاً لطبيعة تطبيقاتها العملية ، فهي إما أن تقوم بتحويل القدرة أو نقلها في الآلات ، أو تستعمل لأداء وظيفة حركية معينة ، أو لتحقيق هاتين الغايتين معاً .

تتألف هذه التركيبات في أغلب التطبيقات من وحدات حركية متصلة فيما بينها ، حيث تكون الوصلة المقودة من الوحدة الحركية الأولى هي الوصلة القائدة للوحدة الثانية وهكذا دواليك ، تسمى جملة هذه الوحدات المتتالية بـ مجموعة أو سلسلة تركيبات (*Mechanism Train*) . يمكن أن تتكون هذه المجموعات من أي من المكونات الميكانيكية المتنوعة أو بعضها كالوصلات المرفقية بأنواعها ، والكامات وتوابعها ، والمسننات والجنائزير ، والحبال والسيور ، وغيرها .

تصادف سلاسل التركيبات في مختلف الآلات مهما كانت طبيعة عملها ، حيث يمكن من خلالها تأمين أي أداء مطلوب يتعلق بحركات الوصلات المختلفة ، وبمستوي حركة الوصلة النهائية واتجاهها ، وبطبيعة هذه الحركة دورانية كانت أو ترددية أو منقطعة أو غير منتظمة . كما يجب على هذه السلاسل ، عند قيامها بتحويل القدرة أو نقلها من مصدرها إلى موقع استهلاكها ، أن تؤمن منفردة أو مجتمعة نسبة سرعة معينة ؛ إضافة إلى إمكان تغيير هذه النسب وفقاً لطبيعة العمل ، وذلك بمردود ميكانيكي محدد ، ومن البديهي أن حجمها يجب أن يلائم الحيز المتاح لتركيبها . تعد مجموعات نقل الحركة المعقدة نسبياً في آلات التشغيل الأوتوماتيكية ؛ وبخاصة آلات قطع المسننات ؛ إضافة إلى خطوط الإنتاج الآلي أوضح مثال على تطبيقات مجموعات التركيبات .

أما من حيث التحليل الحركي ، والديناميكي لهذه المجموعات أو السلاسل الآلية ، فيمكن أن يتم استناداً إلى تحليل حركة كل تركيبة من التركيبات المكونة لها ؛ وفقاً للأسس التي تم استنتاجها ، وتوضيحها في الفصول السابقة ، بحسب نوع كل تركيبة على حدة . تشكل المعطيات الناتجة من تحليل التركيبة الأولى في المجموعة مدخلاً لتحليل التركيبة التي تليها ، وهكذا يستمر التحليل حتى الحصول على النتيجة النهائية . رغم أن هذه الطريقة في التحليل هي كافية ، ومرضية تماماً ، إلا أنه يمكن في أغلب الأحيان اتباع طريقة مختصرة فيما لو نظرنا إلى المجموعة كوحدة حركية متكاملة . كما أن هذا المفهوم الإجمالي للمجموعة يصبح أساسياً عند إنشاء مجموعة ما أو تصميمها .

1-8- مقدمة

Introduction

تعد مجموعات المسننات أهم أنواع المجموعات الحركية ؛ بسبب مجمل الميزات التي أوردناها في مقدمة الفصل السابع ؛ إضافة إلى ما تتمتع به من خصائص حركية لم نتطرق إليها سابقاً ، حيث تم التركيز على تحليل آلية التعشيق بين أسنان زوج من المسننات فقط . تستعمل مجموعات المسننات عادة لتخفيض السرعة ، أو تغيير اتجاهها أو نقل الحركة إلى مستوي دوران آخر .

تصنف مجموعات المسننات بشكل عام في نوعين:

1. مجموعات المسننات العادية

وهي التي تتألف من مسننات يدور كل منها حول محور ثابت ، ونميز ضمن هذا النوع مجموعتين:

§ مجموعة مسننات بسيطة .

§ مجموعة مسننات مركبة .

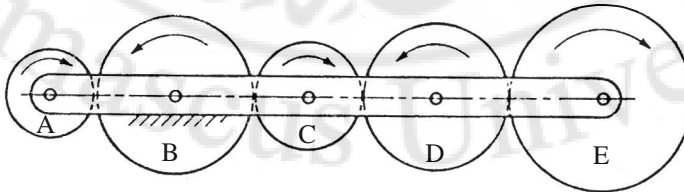
2. مجموعات المسننات الكوكبية أو الدويرية

وهي التي يكون فيها محور دوران مسنن أو أكثر متحركاً بالنسبة لبقية المحاور الثابتة .

2-8- مجموعة المسننات البسيطة

Simple Gear Trains

وهي التي يحمل فيها كل عمود دوران مسنناً واحداً فقط ، كما في (الشكل-1-8) ، حيث تم تمثيل كل مسنن في المجموعة بدائرة خطوته .



(الشكل-1-8) مجموعة مسننات بسيطة .

يفضل عادة عند دراسة حركة المجموعات المسننة عموماً الاستعاضة من السرعة الزاوية ω لكل مسنن ، بسرعة دورانه n التي تعين بدلالة عدد الدورات بالدقيقة r.p.m . تُعدّ سرعة الدوران موجبة عندما تكون عكس اتجاه دوران عقارب الساعة ، بينما تكون سالبة عند دوران المسنن باتجاه دوران عقارب الساعة ، ويفضل توضيحها على الشكل عوضاً من كتابة إشارتها في المعادلات ، وهذا ما سننتبه في هذا البحث .

إذا رمزنا إلى عدد أسنان كل مسنن في المجموعة بالرمز Z ، فإن نسبة سرعة المسنن الأول A في (الشكل-8-1) ، إلى سرعة المسنن الأخير E هي نسبة سرعة المجموعة:

$$\frac{n_A}{n_E} = \frac{n_A}{n_B} \cdot \frac{n_B}{n_C} \cdot \frac{n_C}{n_D} \cdot \frac{n_D}{n_E}$$

وبما أن نسبة سرعة كل مسننين مترافقين تتناسب عكسياً مع عدد أسنانها ؛ لأن الحركة تدحرجية بين دائرتي خطوتهما ، فإن:

$$\frac{n_A}{n_E} = \frac{Z_B}{Z_A} \cdot \frac{Z_C}{Z_B} \cdot \frac{Z_D}{Z_C} \cdot \frac{Z_E}{Z_D}$$

أي إن:

$$\frac{n_A}{n_E} = \frac{Z_E}{Z_A} \quad (1-8)$$

تُعدّ نسبة السرعة موجبة عند دوران المسننين بالاتجاه نفسه ، وتكون سالبة عندما يدوران باتجاهين متعاكسين .

يتضح من المعادلة (1-8) أن نسبة السرعة لمجموعة مسننات بسيطة تتعلق فقط بعدد أسنان المسننين الأخير والأول ، ولا تتأثر هذه النسبة بعدد أسنان المسننات الوسيطة بينهما مهما كان عددها . تسمى هذه المسننات بـ المسننات الخاملة (*Idler Gears*).

تستعمل المسننات الخاملة لتحقيق هدفين:

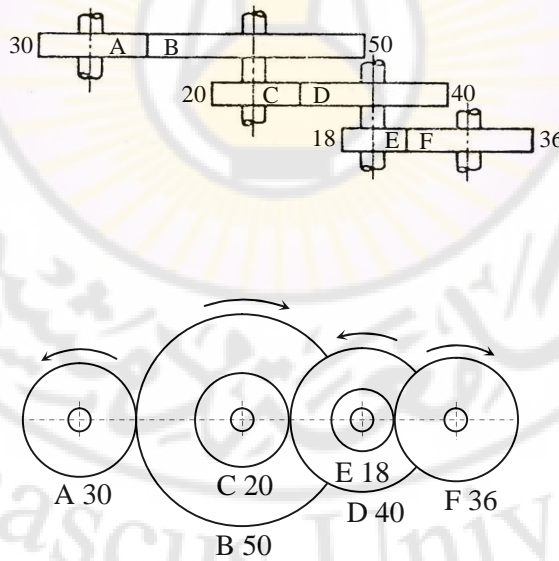
1. الوصل بين المسننين الأول ، والأخير عندما يكون البعد بين محوريهما كبيراً نسبياً .
2. التحكم باتجاه الدوران النسبي بين هذين المسننين ، إذ يلاحظ من (الشكل-8-1) أن كل مسنن يضاف بينهما ، يغير اتجاه دوران المسنن الأخير بالنسبة إلى الأول .

إن العلاقة (1-8) لنسبة سرعة مجموعة مسننة ، هي صحيحة مهما كان نوع المسننات المكونة للمجموعة بخلاف المسننات الدودية ؛ لأننا اعتمدنا التعبير عن نسبة السرعة بدلالة عدد الأسنان ، لذا يفضل دوماً عند تحليل أي نوع من المجموعات المسننة ، إيجاد علاقة نسبة سرعتها استناداً إلى عدد أسنان المسننات ؛ إذ إن التعبير عن هذه النسبة بدلالة أقطار دوائر الخطوة ، قد يؤدي إلى أخطاء في حال وجود مسننات حلزونية متصالبة المعادلة (23-7) . أما اتجاهات الدوران ، فيفضل عادة استنتاجها من الشكل التخطيطي للمجموعة .

Compound Gear Trains

3-8- مجموعة المسننات المركبة

يقال عن مسننين إنهما مركبان عندما يثبتان على عمود دوران واحد ، بحيث يدوران بالسرعة نفسها قيمة ، واتجاهاً . يبين (الشكل-2-8) مجموعة مسننات مركبة ، حيث المسننان C , B لهما المحور نفسه ، وكذلك الأمر بالنسبة للمسننين E , D .



(الشكل-2-8) مجموعة مسننات مركبة .

بما أن:

$$n_D = n_E \quad , \quad n_B = n_C$$

فإنه يمكن كتابة نسبة السرعة للمجموعة على الشكل الآتي:

$$\frac{n_A}{n_F} = \frac{n_A}{n_B} \cdot \frac{n_C}{n_D} \cdot \frac{n_E}{n_F}$$

وبالتعويض من نسب عدد الأسنان ينتج أن:

$$\frac{n_A}{n_F} = \frac{Z_B \cdot Z_D \cdot Z_F}{Z_A \cdot Z_C \cdot Z_E} \quad (2-8)$$

أي: إن نسبة سرعة مجموعة مسننات مركبة ، هي:

$$\frac{\text{جداء عدد أسنان المسننات المقودة}}{\text{جداء عدد أسنان المسننات القائدة}} = \frac{\text{سرعة المسنن الأول}}{\text{سرعة المسنن الأخير}}$$

حيث يكون المسنن قائداً ، عندما تنتقل الحركة منه إلى المسنن المقود المترافق معه ، والمركب على عمود الدوران الذي يليه .

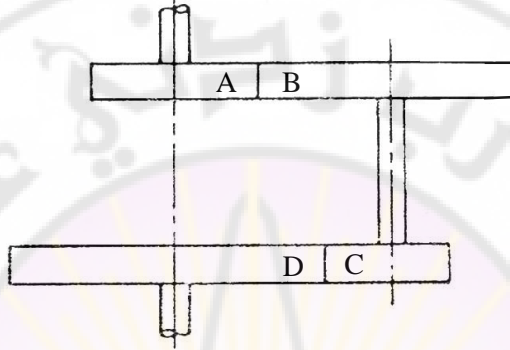
إذا كانت الأرقام المبينة في (الشكل-2-8) ، بجانب رمز كل مسنن تدل على عدد أسنان هذا المسنن ، فإنه ينتج من تطبيق المعادلة (2-8) أن:

$$\frac{n_A}{n_F} = -\frac{20}{3}$$

حيث تدل إشارة السالب إلى أن اتجاه دوران المسنن الأخير F ، هو عكس اتجاه دوران المسنن الأول A .

تمتاز المجموعات المركبة عن المجموعات البسيطة بصغر الحيز الذي تشغله لتأمين نسبة سرعة معينة ؛ وبالتالي إمكان الحصول على نسبة تخفيض سرعة أكبر باستعمال مسننات صغيرة . يفضل عادة عدم استعمال المجموعات البسيطة لنسب تخفيض سرعة تزيد على 1 : 7 ، حيث تستخدم عندئذ مجموعة مركبة أو مسننات دودية . كما أنه يمكن في مجموعة مركبة أن تصمم المسننات المترافقة ذات السرعة العالية نسبياً ، على أساس قيم أصغر للخطوة عن تلك ذات السرعات المنخفضة ؛ مما يؤدي إلى مزيد من التصغير في حجم المجموعة .

يمكن تأمين تصغير إضافي لحجم المجموعة المركبة باستعمال الترتيب المبين في (الشكل-8-3) ، حيث المسنن الأخير D متحد المحور مع المسنن الأول A ، تسمى هذه المجموعة بـ مجموعة مسننات مرتدة أو متعكسة (*Reverted*) .



(الشكل-8-3) مجموعة مسننات مرتدة أو متعكسة .

تستعمل المجموعات المتعكسة في علب السرعة للمركبات الآلية ، المخارط ، مخفضات السرعة الصناعية ، وفي الساعات حيث يكون عقربا بيان الساعة والدقيقة متحدي المحور .

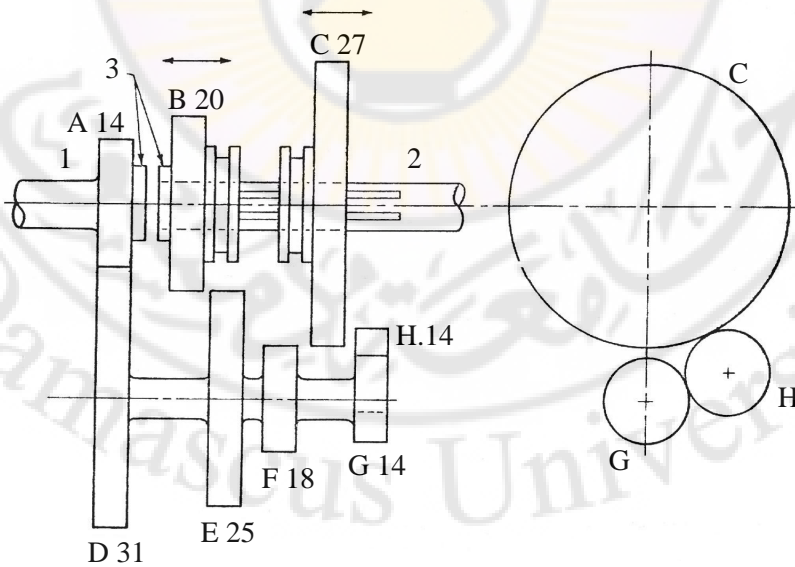
يفضل عادة عند تحليل مجموعة مسننات تعيين سرعة المسنن المقود النهائي كحاصل جداء سرعة المسنن الأول القائد بمعامل معين للمجموعة . من الواضح أن هذا المعامل هو مقلوب نسبة السرعة ، ويمثل نسبة المسنن الأخير إلى سرعة المسنن الأول . يسمى هذا المقلوب بـ قيمة المجموعة (*Train Value*) . مثال ذلك ، إن قيمة مجموعة مسننات (الشكل-8-2) تساوي $(-3/20)$. إذا كانت قيمة المجموعة أقل من الواحد ، فإنها مجموعة لتخفيض السرعة ، بينما إذا كانت هذه القيمة أكبر من الواحد ، فهي مجموعة لرفع السرعة وهي نادرة الاستعمال عملياً .

مسألة-8-1

يبين (الشكل-8-4) تخطيطاً لعلبة سرعة تؤمن ثلاث سرعات متغيرة ، وسرعة خلفية بين عمودين 1 , 2 متحدي المحور . من أهم تطبيقات هذه المجموعة علب السرعة المستعملة في السيارات الصغيرة ، حيث يتصل عمود الدوران 1 بالمحرك ، بينما تنتقل الحركة عبر علب السرعة إلى عمود الدوران 2 الذي ينقل الحركة إلى العجلات عبر المجموعة النفاضلية .

يبين الشكل الوضع الحياضي حيث المسننان A , D متعشقان دوماً ، لكن من دون وجود توصيل حركي بين المحرك والعجلات ؛ أي في حالة الوقوف . التوصيلة 3 هي قارنة كلاية ذات قرصين ، يمكن أن يتعشقا من خلال نتوءات ، وأخاديد مشكلة في كل منهما . تشير الأرقام إلى عدد أسنان كل مسنن .

فإذا كان تحريك المسننين B , C على طول العمود المخدّد 2 ، والمسنن الخامل H يتعشق مع المسنن G ، كما هو موضح في المسقط الجانبي . والمسننات D , E , F , G مركبة ، وتدور كوحدة متكاملة واحدة . المطلوب تعيين نسب السرعات المختلفة .



(الشكل-8-4) مخطط لعلبة سرعة تؤمن ثلاث سرعات متغيرة وسرعة خلفية .

الحل:

1. في حالة السرعة الأولى أو المنخفضة

تتم إزاحة المسنن C إلى اليسار ليعشق مع المسنن F ، حيث يصبح نقل الحركة من 1 إلى 2 عبر المجموعة (A - D) و (F - C) . إن نسبة السرعة في هذه الحالة ، هي:

$$n_A / n_C = (31/14).(27/18) = 3.32$$

2. في السرعة الثانية أو المتوسطة

تتم إزاحة المسنن B إلى اليمين ليعشق مع المسنن E ، ومجموعة نقل الحركة عندئذ هي (A - D) و (E - B) ، حيث تصبح نسبة سرعة النقل:

$$n_A / n_B = (31/14).(20/25) = 1.77$$

3. في السرعة الثالثة أو العليا

تتم إزاحة المسنن B إلى اليسار ، بحيث يتعشق مع المسنن A عبر القارنة 3 . يعطي ذلك نقلاً مباشراً للحركة من 1 إلى 2 ، ونسبة السرعة تساوي 1.00 .
يلاحظ في حالات النقل الثلاث أعلاه أن نسبة السرعة موجبة ؛ لأن المسنن الأخير في كل مجموعة نقل حركة يدور باتجاه المسنن الأول A نفسه .

4. في حالة الحصول على حركة خلفية

يكفي إزاحة المسنن C حتى يعشق مع المسنن الخامل H ، ومجموعة النقل عندئذ هي (G , H - C) و (A - D) ، حيث تصبح نسبة السرعة:

$$\frac{n_A}{n_C} = \frac{31 \times 14 \times 27}{14 \times 14 \times 14} = -4.27$$

وتشير الإشارة السالبة إلى أن اتجاه دوران المسنن الأخير C هو عكس اتجاه دوران المسنن الأول A .

يلاحظ أن وظيفة المسنن H هي فقط تغيير اتجاه الدوران ، وعدد أسنانه يساوي عدد أسنان المسنن G في هذه الحالة ، إلا أن هذا التساوي ليس ضرورياً دوماً .

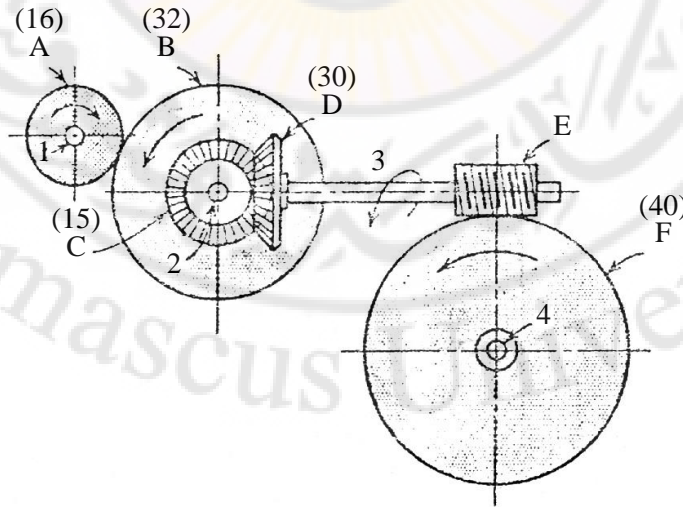
4-8- مجموعة المسننات ذات المحاور غير المتوازية

Non-Parallel Axes Gear Trains

يلاحظ من الفقرتين السابقتين ، أننا تطرقنا إلى مجموعات حيث محاور المسننات المختلفة المكونة لها متوازية . يحدث أحياناً أن أداء الآلة يستلزم نقل الحركة عبر أعمدة دوران غير متوازية ، إما بسبب الحيز المتاح ، أو لضرورة نقل الحركة من مستوى إلى مستوى آخر يوازيه ، أو يتعامد عليه ، أو يميل عليه بزاوية ما ؛ بالتالي يجب استعمال مسننات من أنواع مختلفة مركبة على محاور غير متوازية .

أن هذا التحليل لا يختلف من حيث الأسس العامة التي بينها سابقاً ، شرط الانتباه إلى حساب نسبة السرعة لكل مسننين مترافقين ، بشكل يلائم نوعهما ، وتأثيرهما في تغيير اتجاه الدوران ؛ بخاصة عند وجود مسننات حلزونية متصالبة أو مسننات دودية ، حيث يؤثر اتجاه الحلزون إضافة إلى عدد الأبواب في لولب الدودة .

يبين (الشكل-8-5) مجموعة نقل حركة من المسنن A المركب على العمود 1 ، إلى المسنن الدودي F المركب على العمود 4 ، حيث مستويا حركة كل منهما متوازيان . لذا فقد تم استعمال المسننين المخروطيين C , D لتأمين ذلك ، ونقل الحركة إلى المسنن الدودي عبر الدودة E المركبة على العمود 3 .



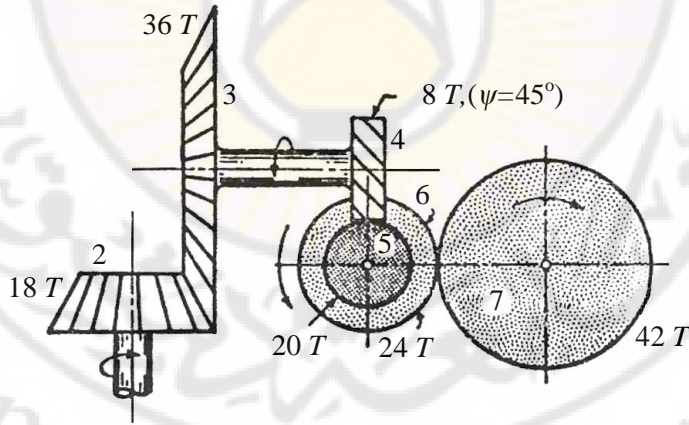
(الشكل-8-5) مجموعة نقل حركة من المسنن A إلى المسنن الدودي F .

إذا كان عدد الأسنان لكل من المسننات هو المبين بين قوسين إلى جانب كل منها ، فإنه يمكن حساب نسبة سرعة المجموعة على أساس أن الدودة لولب بباب واحد ، وحلزون يميني ، حيث ينتج أن:

$$n_A / n_F = (32/16).(30/15).(40/1) = -160$$

علماً أن نسبة السرعة بين الدودة ومسننها الدودي وفقاً للمعادلة (7-34) تساوي في هذه الحالة (40/1) . كما أن قيمة هذه المجموعة هي بالتالي (1/160) ، بحيث إذا دار المسنن A بسرعة 320 r.p.m ، فإن المسنن F يدور بسرعة 2 r.p.m ، وتدل الإشارة السالبة لنسبة السرعة على أن المسنن F يدور عكس اتجاه دوران المسنن A ، كما يتضح من تتبع الاتجاهات في (الشكل-8-5) .

يبين (الشكل-8-6) مجموعة مسننات لنقل الحركة ، من مستوي دوران المسنن المخروطي 2 إلى مستوي يتعامد معه هو مستوي دوران المسنن 7 ، وذلك عبر مسننين حلزونيين متصاليين 4 ، 5 يدوران بالاتجاهين المبينين في الشكل .



(الشكل-8-6) مجموعة مسننات لنقل الحركة من مستوي دوران إلى مستوي يتعامد معه .

يمكن البرهان بسهولة على أن قيمة هذه المجموعة ، هي:

$$n_7 / n_2 = 4/35$$

وبالاتجاهات المبينة في (الشكل-8-6).

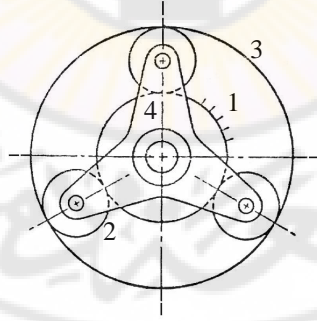
Planetary Gear Trains

5-8- مجموعة المسننات الكوكبية

تسمى هذه المجموعات أحياناً بـ المجموعات الدويرية أو السيكلويدية . تتميز هذه المجموعات بدوران محور مسنن أو أكثر حول محور آخر ؛ إضافة إلى دوران المسنن حول محوره . تتكون هذه المجموعة من مسنن يسمى عادة بـ المسنن الشمسي ، ومن مسنن كوكبي أو أكثر ، ومن ذراع يحمل المسننات الكوكبية التي تدور حول محاورها ؛ إضافة إلى دورانها حول المسنن الشمسي ؛ لذا يتضح سبب تسمية هذه المجموعة نظراً لكونها تماثل النظام الشمسي .

تستعمل هذه المجموعات للحصول على مجال واسع لتغير السرعة ، باستعمال عدد محدود نسبياً من المسننات ؛ لذا فإنها تجد عدة تطبيقات في الآلات الحاسبة الميكانيكية ، وأنظمة التحكم الميكانيكية ، وآلات النقل والرفع ، والمجموعة التفاضلية في المركبات الآلية ، وغيرها .

يبين (الشكل-8-7) تخطيطاً لمجموعة كوكبية تستعمل لتخفيض السرعة في عدة تطبيقات ، منها في المركبات للحصول على تخفيض إضافي للسرعة الناتجة من علب السرعة ، وفي نقل الحركة من المحرك إلى المراوح في الطائرات والسفن . يكفي حركياً وجود مسنن واحد 2 ، إلا أن المسننين الآخرين هما للحفاظ على الموازنة وتوزيع الحمل ؛ مما يسمح باستعمال مسننات أصغر من حالة مسنن واحد .



(الشكل-8-7) مجموعة كوكبية تستعمل لتخفيض السرعة .

يدير عمود دوران المحرك المسنن الداخلي 3 ، بينما تتعشق المسننات الثلاثة 2 مع المسنن 3 والمسنن الثابت 1 ، بحيث تكون حركتها كوكبية . يتصل الذراع 4 الذي يحمل المسننات الكوكبية 2 بعمود دوران المروحة أو الآلة بوجه عام ، بحيث يحدث تخفيض في السرعة الناتجة عن سرعة دوران المحرك أي المسنن 3 .

يمكن في بعض التطبيقات ، أن يكون المسنن 1 متحركاً حول محوره الثابت ، لكن يجب الانتباه في هذه الحالة إلى أن المجموعة تصبح ذات درجتي طلاقة ؛ أي: إن حركة كل من مكونات المجموعة لا يمكن تعيينها إلا إذا علمت حركة عنصرين من عناصرها ؛ لذا فإن المجموعات الكوكبية هي بوجه عام ذات درجتي طلاقة ، إلا إذا ثبت أحد عناصرها ؛ أي درجة طلاقته تساوي الصفر ، حيث تصبح عندئذ ذات درجة طلاقة واحدة ، أو تم إدخال تقييد إضافي في المجموعة (راجع المسألة م-8-6) .

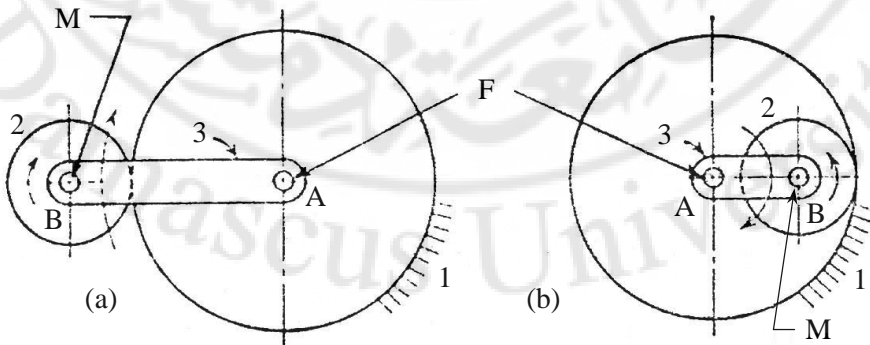
يتم عادة تحليل المجموعات الكوكبية ، وإنشاؤها ، إما باستنتاج نسبة السرعة تحليلياً ، أو من خلال تنظيم جدول يبين الحركة النسبية بين مختلف عناصرها . سنوضح هاتين الطريقتين من خلال تحليل حركة بعض المجموعات البسيطة ، والمركبة ، والتفاضلية .

Simple Planetary Trains

1-5-8- المجموعات الكوكبية البسيطة

إن أبسط أنواع المجموعات الكوكبية هي التي تتألف من ثلاثة عناصر ، كما في (الشكل-8-8) . يحمل الذراع 3 في المجموعة a المسنن الكوكبي 2 الذي يتعشق خارجياً مع المسنن الشمسي الثابت 1 ، أما في المجموعة b ، فإن التعشيق بين المسننين هو داخلي .

يشير السهمان F إلى محور الدوران الثابت للذراع 3 ، بينما يشير السهمان M إلى محور دوران المسنن 2 ، وهو متحرك بالنسبة إلى المسنن 1 في الحالتين . إن نقطة من المسنن 2 تولد عند تحركها منحنيًا دويريًا ؛ وبالتالي سبب تسمية هذه المجموعات في بعض المراجع بـ المجموعات الدويرية .



b- مسنن كوكبي يتعشق داخلياً مع مسنن شمسي ثابت a- مسنن كوكبي يتعشق خارجياً مع مسنن شمسي ثابت

(الشكل-8-8)

من الواضح أن تعيين نسبة السرعة في مجموعة كوكبية ، هو أصعب منه في مجموعة مسننات عادية بسبب الدوران المزدوج للمسنن الكوكبي . إذا كانت سرعة دوران الذراع بالنسبة إلى 1 هي n_{31} معلومة ، فإنه يمكن تعيين n_{21} إما تحليلياً أو بطريقة الجدول .

a. الطريقة التحليلية

تعتمد هذه الطريقة على كتابة علاقات السرعات النسبية بين العناصر المكونة للمجموعة ؛ إضافة إلى مبدأ انعكاس الحركة بين وصلتين ، حيث تبقى السرعة النسبية نفسها بين الوصلتين ، كما أوضحنا سابقاً في الفصل الأول في تعريف متحول تركيبة (التركيبة العكسية) .

نفرض أنه تم في المجموعة a في (الشكل-8-8) تثبيت الذراع 3 بدلاً من المسنن 1 ؛ وبالتالي فإنه تنتج لدينا مجموعة بسيطة من مسننين 2, 3 ، حيث نسبة السرعة لهما هي:

$$n_{23}/n_{13} = -Z_1 / Z_2 \quad (3-8)$$

استناداً إلى مبدأ انعكاس الحركة تبقى هذه النسبة نفسها ، إذا عدنا إلى الوضع الأصلي الفعلي للمجموعة a في (الشكل-8-8) . يمكن بدلالة هذه النسبة تعيين n_{21} حيث لدينا:

$$n_{21} = n_{23} + n_{31}$$

ومنه:

$$n_{21}/n_{31} = 1 + n_{23}/n_{31} = 1 - n_{23}/n_{13}$$

بالتعويض من المعادلة (3-8) ينتج أن:

$$n_{21} = n_{31}(1 + Z_1 / Z_2) \quad (4-8)$$

أما بالنسبة للمجموعة b في (الشكل-8-8) ، فإن نسبة السرعة المعطاة في المعادلة (3-8) تصبح موجبة ؛ لأن التشويق بين المسننين 2, 3 داخلي ؛ وبالتالي فإن الحالة b :

$$n_{21} = n_{31}(1 - Z_1 / Z_2) \quad (5-8)$$

تتضح من ذلك ضرورة تعيين الإشارة الجبرية الصحيحة لنسبة السرعة في المعادلة (3-8) .

b. طريقة الجدول

يمكن توضيح هذه الطريقة استناداً إلى المجموعة a في (الشكل-8-8) ، حيث نفرض القيام بالخطوات الآتية:

1. إن العناصر جميعها مثبتة بعضها إلى بعض ، ونعطي الذراع 3 دورة واحدة موجبة +1 ؛ وبالتالي يدور كل من المسننين 1 , 2 دورة واحدة موجبة أيضاً +1 ، يقال في هذه الحالة: إن المجموعة مقفلة ، وتتحرك بالنسبة للمستوي الثابت .

2. إن المجموعة ليست مقفلة ؛ وإنما الذراع 3 ثابت ، ويعطى المسنن 1 دورة واحدة سالبة -1 ، لإعادته إلى وضعه الفعلي في المجموعة ؛ نظراً لكونه ثابتاً في الشكل . ينتج من ذلك أن سرعة الذراع في هذه الحالة هي صفر 0 ، أما المسنن 2 ، فإنه بالاتجاه الموجب $(+Z_1 / Z_2)$.

3. تنتج الحركة الفعلية للمجموعة a من إيجاد محصلة الخطوتين السابقتين ، حيث يمكن تعيينها بسهولة من تنظيم جدول يبين نتائج كل خطوة:

المسنن 1 المسنن 2 الذراع 3

a. المجموعة مقفلة ، وكلها تتحرك بدورة موجبة واحدة +1 +1 +1

b. الذراع ثابت ، والمسنن 1 يدور دورة سالبة واحدة -1 $+Z_1/Z_2$ 0

c. محصلة الحركة بالنسبة للمستوي الثابت 0 $1+Z_1/Z_2$ +1

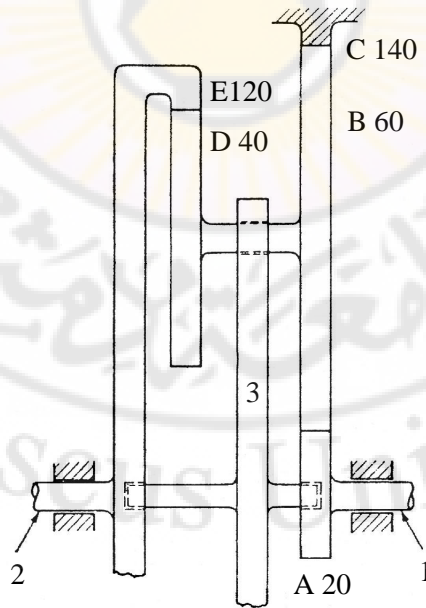
يتضح من هذا الجدول أن نسبة سرعة المسنن 2 إلى سرعة الذراع 3 (n_{21}/n_{31}) عند كون المسنن 1 ثابتاً ، هي مطابقة لما تم الحصول عليه تحليلياً في المعادلة (8-4) . يمكن تنظيم جدول مماثل لتحليل حركة المجموعة b في (الشكل-8-8) .

2-5-8- المجموعات الكوكبية المركبة Compound Planetary Trains

وهي مجموعات تحوي مسننين مركبين أو أكثر؛ أي إن لهما محور دوران واحد يتحرك بالنسبة لبقية المحاور في المجموعة .

بما أن عدد العناصر المكونة لهذه المجموعة هو عادة كبير ، فإنه يفضل إجراء تحليل الحركة بطريقة الجدول بدلاً من كتابة علاقات السرعات النسبية بين العناصر المختلفة ؛ نظراً لأن تطبيق المعادلات يؤدي في أغلب الأحيان إلى ضرورة حل معادلتين أو أكثر آنياً للحصول على النتائج ؛ إضافة إلى ذلك فإن طريقة الجدول تسمح بتعيين نسبة سرعة أي من العناصر مباشرة . يفضل توضيح خطوات الحل من خلال دراسة المجموعة الكوكبية المركبة في (الشكل-9-8) .

يتصل عمود الدوران 1 بالمسنن الأول القائد A ، بينما يتصل عمود الدوران 2 بالمسنن الأخير المقود E ، حيث المسننان B , D مركبان على عمود واحد ، ويتعشقان داخلياً مع C , E على التوالي . الذراع 3 يحمل المسننات الكوكبية بينما المسنن C ثابت . تشير الأرقام المبينة بجانب المسننات إلى عدد أسنان كل منها .



(الشكل-9-8) مجموعة كوكبية مركبة .

1. إذا أُقلّعت المجموعة ؛ أي ثبتت عناصرها كلها بعضها إلى بعض ، فإن تدوير الذراع 3 دورة واحدة موجبة يؤدي إلى دوران العناصر كافة الدورة نفسها .
2. يثبت الذراع 3 ويعطى المسنن C دورة سالبة ؛ لأنه في المجموعة هو العنصر الثابت ، فإنه يمكن تعيين نسبة سرعة كل مسنن بالنسبة إلى المستوي الثابت (الذراع) على أساس تعشيق مسننات بسيطة أو مركبة بحسب الحال .

ينتج من ذلك أن عدد دورات كل مسنن ، هو :

$$\begin{array}{ll}
 \text{المسنن C} & : -1 \\
 \text{المسننان D , B} & : (-140/60) = -7/3 \\
 \text{المسنن A} & : (-140/60)(-60/20) = +7 \\
 \text{المسنن E} & : (-140/60)(+40/120) = -7/9
 \end{array}$$

مع ملاحظة أن اتجاه الدوران يبقى نفسه عند تعشيق داخلي ، وينعكس عند تعشيق خارجي ، وأن المسننين B , D يدوران بالسرعة نفسها قيمة ، واتجاهاً . يمكن عندئذ تنظيم الجدول الآتي :

الذراع 3	A	B	C	D	E
a. مجموعة مقفلة ذات دورة واحدة موجبة	+1	+1	+1	+1	+1
b. الذراع ثابت، C يدور دورة واحدة سالبة 0	+7	-7/3	-1	-7/3	-7/9
c. محصلة الحركة الفعلية	+1	+8	-4/3	0	-4/3
	+1	+2/9			

يتضح من ذلك أنه كلما دار العمود القائد أي المسنن A ثماني دورات موجبة ، فإن العمود المقود أي المسنن E يدور 2/9 دورة موجبة ؛ وبالتالي فإن المجموعة الكوكبية في (الشكل-8-9) تؤمن تخفيضاً في السرعة قدره 1 : 36 . يمكن عندئذ تعيين سرعة العمود المقود بدلالة سرعة الدوران الفعلية المعلومة للعمود القائد ، ويكفي تنظيم الجدول على أساس دورة واحدة فقط .

يلاحظ من الجدول ، أنه يمكن تعيين أية نسبة من المطلوب تحديدها ضمن المجموعة قيمة ، واتجاهاً ، يعد ذلك أهم ميزات طريقة الجدول ؛ بخاصة عند احتواء المجموعة على عدد كبير من العناصر المطلوب تعيين نسبة سرعة كل منها .

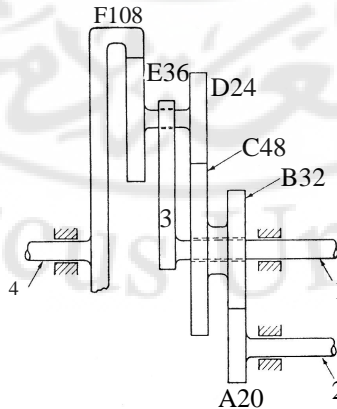
3-5-8- المجموعات الكوكبية التفاضلية Planetary Differential Trains

وهي بوجه عام مجموعات كوكبية جميع عناصرها متحركة بالنسبة إلى المستوي ، بخلاف المجموعات التي بينهاها في الفقرات السابقة ، حيث كان لدينا دوماً أن أحد مسننات المجموعة ثابت ، إلا أن المجموعة تصبح في هذه الحالة ذات درجتي طلاقة ، كما أشرنا سابقاً ؛ لذا فإن حركتها تعين بدلالة سرعتين معلومتين ؛ وبالتالي تسمى أحياناً بمجموعات كوكبية ذات مدخلين .

يتم تحليل هذه المجموعات وفق الأسس نفسها التي اتبعت في الفقرات السابقة ، حيث يطبق مبدأ التتضيد ؛ أي: إن الدوران المحصل لعمود الخرج النهائي ، هو المجموع الجبري للدوران الناتج من حركة عمود الدخول الأول عندما يكون عمود الدخول الثاني ثابتاً ، والدوران الناتج من حركة عمود الدخول الثاني عندما يكون الأول ثابتاً ؛ وبالتالي يمكن تحليل كل من الحالتين على حدة باستعمال إحدى طريقتي التحليل ، ومن ثم جمع النتيجةين جبرياً .

يمكن توضيح ذلك عملياً بدراسة المجموعة الكوكبية المبينة في (الشكل-8-10) ، حيث يدور عمود الدخول 1 بسرعة n_1 ، وعمود الدخول 2 بسرعة n_2 ، والمطلوب تعيين سرعة عمود الخرج n_4 .

إن عناصر المجموعة كافة تتحرك بالنسبة للمستوي الثابت . المسنن A مركب على عمود الدخول 2 ، بينما الذراع 3 يتصل بعمود الدخول 1 من جهة ، ويحمل المسننين الكوكبيين D , E من جهة أخرى . تنتقل الحركة إلى عمود الخرج عبر المسنن الداخلي F المركب عليه . أما عدد أسنان كل مسنن ، فهو كما في الشكل.



(الشكل-8-10) مجموعة كوكبية .

إذا ثبتنا عمود الدخل 2 ، فإن هذا يؤدي إلى أن المسننات A , B , C هي ثابتة أيضاً ، وتصبح المجموعة ماثلة لمجموعة كوكبية يقودها الذراع 3 المتصل بعمود الدخل 1 حيث المسنن C ثابت . يمكن عندئذ تنظيم الجدول التالي بالطريقة نفسها التي اتبعت في الفقرة السابقة .

الذراع 3	C	D,E	F
a. مجموعة مقفلة ذات دورة واحدة موجبة	+1	+1	+1
b. الذراع ثابت ، C يدور دورة واحدة سالبة	0	+2	+2/3
c. محصلة الحركة الفعلية ، عمود الدخل 2 ثابت	+1	+3	+5/3

بما أن الذراع 3 في هذه الحالة يدور مع عمود الدخل 1 ، فإن نسبة السرعة عند ثبات العمود 2 ، هي:

$$(n_4/n_1)_2 = +5/3 \quad (6-8)$$

نثبت في الحالة الثانية عمود الدخل 1 ، حيث نلاحظ أن المجموعة تتحول مباشرة إلى مجموعة مسننات عادية مركبة ، تعين نسبة السرعة فيها استناداً إلى الفقرة (2-8) ؛ أي تطبيق المعادلة (2-8) دون الحاجة إلى تنظيم جدول . ينتج إذن أن:

$$(n_4/n_2)_1 = n_F/n_A = \frac{20 \times 48 \times 36}{32 \times 24 \times 108} = +5/12 \quad (7-8)$$

والإشارة موجبة ؛ لأن تتبع تغير اتجاه الدوران من المسنن A إلى المسنن F ، يبين أنهما يدوران بالاتجاه نفسه عندما يكون العمود 1 ثابتاً .

تنتج سرعة الدوران المحصلة n_4 من الجمع الجبري لقيمتها المعينة في كل من الحالتين وفق المعادلتين (6-8) و (7-8) ؛ وبالتالي فإن:

$$n_4 = +\frac{5}{3}n_1 + \frac{5}{12}n_2$$

مثال ذلك إذا دار العمود 1 بسرعة 120 r.p.m عكس اتجاه عقارب الساعة ؛ أي موجبة ، ودار العمود 2 بسرعة 360 r.p.m باتجاه عقارب الساعة ؛ أي سالبة ، فإن عمود الخرج 4 يدور بسرعة:

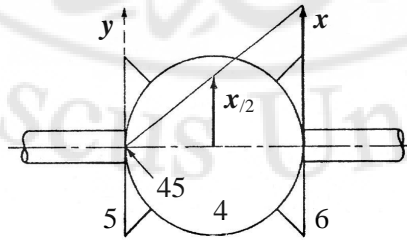
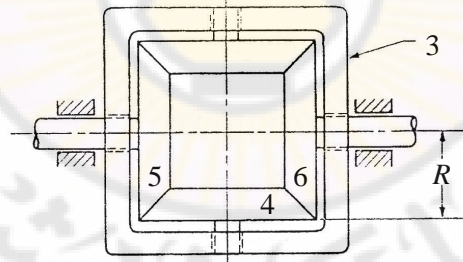
$$n_4 = \frac{5}{3}(+120) + \frac{5}{12}(-360) = +50 \text{ r.p.m}$$

حيث تدل الإشارة الموجبة إلى دوران عمود الخرج عكس اتجاه عقارب الساعة .

يتضح من هذا التحليل سبب تسمية هذه المجموعات بـ المجموعات التفاضلية ، فهي تقوم في الواقع بإعطاء قيمة لسرعة الخرج تمثل التفاضل الجبري لسرعتي دخل بنسب متفاوتة ، يمكن التحكم بها من خلال تغيير ترتيب المسننات ، أو عددها ، أو عدد أسنانها .

إن للمجموعات التفاضلية تطبيقات عملية في الحاسبات التماثلية (Analogue) وأنظمة التحكم الميكانيكية ، حيث يلزم عادة مقارنة قيمتين ، والحصول على نتيجة تتناسب معهما . يكون المكان المتاح لترتيب هذه المجموعات في أغلب الأحيان محدوداً ؛ لذا يفضل استعمال المسننات المخروطية ؛ مما يؤدي إلى تصميم مجموعات تفاضلية صغيرة الحجم نسبياً ؛ إضافة إلى إمكان تأمين نسب تخفيض عالية بعدد قليل من المسننات .

يبين (الشكل-8-11) مجموعة تفاضلية تستعمل لإعطاء سرعة خرج للذراع 3 ، تساوي المجموع الجبري لسرعتي دوران المسننين المخروطيين المتساويين 6 ، 5 ، عبر المسنن المخروطي 4 المركب على الذراع 3 . يلاحظ من الشكل أنه ليس من الضروري حركياً وجود المسنن المخروطي المقابل للمسنن 4 ، إلا أنه يوضع عادة لتأمين متانة أكبر للمجموعة ؛ لذا فإنه لا يعد وصلة إضافية عند تحليل حركة المجموعة ، كذلك الأمر بالنسبة للذراع 3 الذي يمكن ألا يغلف كامل المجموعة .



(الشكل-8-11) مجموعة كوكبية تفاضلية مخروطية .

يبين (الشكل-8-11) مجموعة تفاضلية تستعمل لإعطاء سرعة خرج للذراع 3 ، تساوي المجموع الجبري لسرعتي دوران المسننين المخروطيين المتساويين 6 ، 5 ، عبر المسنن المخروطي 4 المركب على الذراع 3 . يلاحظ من الشكل أنه ليس من الضروري حركياً وجود المسنن المخروطي المقابل للمسنن 4 ، إلا أنه يوضع عادة لتأمين متانة أكبر للمجموعة ؛ لذا فإنه لا يعد وصلة إضافية عند تحليل حركة المجموعة ، كذلك الأمر بالنسبة للذراع 3 الذي يمكن ألا يغلف كامل المجموعة .

يمكن تحليل الحركة بسهولة استناداً إلى مفهوم المركز اللحظي للسرعات ، حيث تمثل النقطة 45 في المسقط الأفقي المركز اللحظي للمسننين 5 ، 4 .

لنكن السرعة الخطية لنقطة تماس المسننين 6 ، 4 عند كون المسنن 5 ثابتاً هي x ، والبعد بين محور دوران المسنن 6 ، وهذه النقطة هو R ، فإن السرعة الزاوية ω_6 ، هي:

$$w_6 = x / R$$

وبما أن 45 هو مركز لحظي ، فإن سرعة مركز المسنن 4 هي $x/2$. تمثل هذه السرعة أيضاً سرعة نقطة من الذراع 3 ، وبالتالي فإن:

$$w_3 = x / 2R$$

ينتج من تطبيق التحليل نفسه في حالة كون المسنن 6 ثابتاً ، أن:

$$w_5 = y / R \quad , \quad w_3 = y / 2R$$

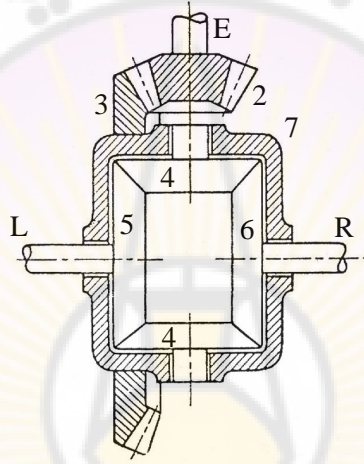
حيث y تمثل السرعة الخطية لنقطة تماس المسننين 5 ، 4 في هذه الحالة . أما في حالة دوران المسننين 6 ، 5 بأن واحد ، فإن السرعة $x/2$ تجمع أو تطرح من $y/2$ بحسب اتجاه دوران كل من المسننين 6 ، 5 ؛ لذا فإن السرعة الزاوية المحصلة ω_3 في هذه الحالة تعطى بالعلاقة الشعاعية ، الجبرية:

$$2w_3 = w_5 + w_6 \quad (8-8)$$

إن المعادلة (8-8) هي العلاقة العامة لمجموعة تفاضلية مخروطية ، ومن (الشكل-8-11) يلاحظ أنه في حال:

- تساوي السرعتين ω_5 ، ω_6 قيمة ، واتجاهاً ، فإن $(\omega_5 = \omega_6 = \omega_3)$.
- تساوي السرعتين ω_5 ، ω_6 قيمة ، وتعاكستا بالاتجاه ، فإن $(\omega_3 = 0)$.

يعد الجهاز التفاضلي المستعمل في المركبات الآلية من أهم التطبيقات العملية لمجموعة كوكبية تفاضلية مخروطية . يبين (الشكل-8-12) تخطيطاً نموذجياً لهذا الجهاز حيث يتصل المحور الحامل للمسنن 2 بمحور نقل الحركة من المحرك E ، بينما يتصل المسنن 5 بمحور العجلة الخلفية الأيسر L ، ويتصل المسنن 6 بالمحور الأيمن R . المسنن 3 مثبت إلى الذراع 7 بحيث يشكلان وصلة واحدة . يدور المسننان 4 حول محورين متصلين بالذراع 7 . إن المسننين 2 , 3 هما عادة مخروطيان لولبيان ، هيبوديان .



(الشكل-8-12) جهاز تفاضلي يستعمل في المركبات الآلية .

يؤمن الجهاز التفاضلي إمكان سير المركبة على طريق منحني دون انزلاق العجلات الخلفية . عند تحرك المركبة على مسار مستقيم ، فإن المسننات 4 , 5 , 6 تدور كوحدة متكاملة مع الذراع 7 ، ولا توجد حركة نسبية فيما بينها ، ويدور المسننان 5 , 6 ؛ وبالتالي المحوران R , L بالسرعة نفسها .

أما عند الحركة على مسار منحني ، فإن العجلة الخارجية يجب أن تدور بسرعة أكبر من سرعة دوران العجلة الداخلية لتفادي انزلاق العجلتين . يلاحظ من المعادلة (8-8) أن المجموعة التفاضلية تؤمن آلياً حدوث ذلك عند سرعة معينة للذراع 7 ؛ وبالتالي للمحرك ، حيث سرعة الذراع تتناسب مع سرعة المحرك تبعاً لعدد أسنان كل من المسننين 2 , 3 . ينتج ذلك من كون أية زيادة في سرعة إحدى العجلتين ، ω_5 مثلاً ، دوران المركبة نحو اليمين ، يجب أن يكافئها نقصان في سرعة العجلة الأخرى ω_6 حتى تبقى المعادلة محققة .

تجدر الإشارة إلى أنه عند تثبيت إحدى العجلتين ، فإن العجلة الأخرى تدور بضعفي سرعة الذراع وفق المعادلة (8-8) . تماثل هذه الحالة وجود إحدى العجلتين على الجليد أو الطين ، بينما العجلة الأخرى على أرض جافة ؛ مما يؤدي إلى عدم تحرك المركبة . يمكن تفسير ذلك استناداً إلى أن المجموعة التفاضلية تنقل العزم الناتج من المحرك بالتساوي إلى محوري العجلتين الخلفيتين في كلتا حالتها المسار المستقيم أو المنحني . أما عند وجود مقاومة شبه معدومة عند إحدى العجلتين ، أرض جليدية أو زلقة . فإن العزم المنقل صغير جداً لا يكفي لتحريك المركبة ؛ وإنما يحدث دوران سريع للعجلة ذات المقاومة القليلة ؛ أي الموجودة في الجليد أو الطين .

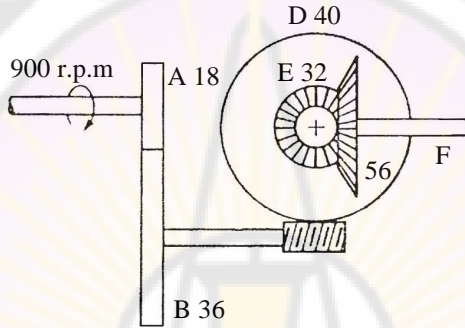
لم نتطرق هنا إلا إلى بعض مجموعات المسننات النموذجية بهدف بيان أسس تحليلها الحركي ، بشكل يساعد على تحليل أية مجموعة يراد استعمالها في تطبيق معين . أما التحليل الديناميكي ، وتعيين القوى والعزوم ، فإنه يتم انطلاقاً من مجمل المفاهيم التي أوضحت في الفصل السابع الفقرة (7-10) ، تبعاً لنوع المسننات المستعملة في المجموعة مع الانتباه إلى عدّ العزم الثابت المؤثر في المجموعات الكوكبية التي يكون أحد عناصرها ثابتاً .

أما إنشاء المجموعات المسننة ؛ بخاصة تحديد عدد الأسنان ، فإنه يتم استناداً إلى المعطيات الأساسية لأسنان المسننات المترافقة في المجموعة ، والأبعاد العيارية للأسنان والخطوة التي تحدد عادة تبعاً للدراسة الإجهادية ؛ إضافة إلى ذلك يجب ملائمة هذه المعطيات مع نوعية المجموعة ، وترتيب الأوضاع النسبية لمحاوير العناصر المختلفة المكونة لها ، ونسب السرعات الوسيطة بين المسننين الأول والأخير . يفضل في أغلب التطبيقات أن تتساوى نسب السرعات الوسيطة ، أو أن تشكل سلسلة هندسية ذات أساس معين . يلاحظ إذن أن عملية الإنشاء تعتمد إلى حد ما على طريقة الخطأ والتجريب للوصول إلى الحل الأمثل المطلوب ؛ إضافة إلى اعتمادها على مدى الدقة المطلوبة في تأمين نسب سرعات معينة والأبعاد النسبية لعناصرها .

م-8-1

يبين الشكل (م-8-1) مجموعة مسننات مركبة ، حيث تشير الأرقام إلى عدد كل من الأسنان .

فإذا كان لولب الدودة C يسارياً وذا بابين . المطلوب تعيين سرعة العمود F قيمة واتجهاً ، عندما يدور عمود المسنن A بالسرعة المبينة في الشكل .



الشكل (م-8-1)

*

م-8-2

إذا كان عدد أسنان كل من مسننات المجموعة الكوكبية في (الشكل-8-7) ، هو :

$$Z_1 = 15 , \quad Z_2 = 45 , \quad Z_3 = 105$$

وكانت سرعة دوران المسنن القائد 3 هي 900 r.p.m . المطلوب تحليل الحركة بالطريقة التحليلية ، وبطريقة الجدول . وتعيين سرعة دوران كل من الذراع 4 والمسنان 2 قيمة ، واتجهاً .

*

م-8-3

تستعمل مجموعة المسننات المبينة في الشكل (م-8-3) في تغيير سرعة أداة القطع في آلة تفريز شاقولية . تدخل القدرة عند البكرة P ، وتنتج عند المسنن 12 . يمكن للمسننات المركبة (10,11) ، (3,4) ، (1,2) أن تنزلق بالاتجاهات المبينة في الشكل لتأمين عدة إمكانات للتعشيق ؛ وبالتالي لنسب سرعة مختلفة بين الدخل ، والخرج .

الشكل (م-3-8)

*

م-4-8

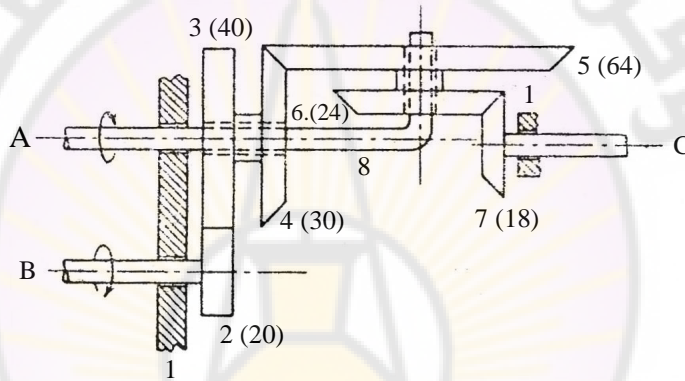
يبين الشكل (م-4-8) مجموعة كوكبية ، حيث يحمل الذراع 6 المسننين المركبين 3 , 4 . يعشق المسنن 4 داخلياً مع المسنن الثابت 7 . عدد الأسنان لكل مسنن مبين في الشكل ضمن قوسين .

يبين الشكل (م-4-8) مجموعة كوكبية ، حيث يحمل الذراع 6 المسننين المركبين 4, 3 . يعشق المسنن 4 داخلياً مع المسنن الثابت 7 . عدد الأسنان لكل مسنن مبين في الشكل ضمن قوسين .

الشكل (م-8-4)

م-8-5

يبين الشكل (م-8-5) مجموعة كوكبية تفاضلية ، يحمل فيه الذراع 8 المسننين المركبين المخروطيين 5 , 6 .
فإذا كانت سرعة دوران A هي 350 r.p.m ، وسرعة دوران B هي 2000 r.p.m بالاتجاه المبين في الشكل لكل منهما . المطلوب تعيين سرعة عمود الخرج C قيمة ، واتجاهاً بأية طريقة مناسبة ، علماً أن الأرقام المبينة ضمن قوسين تشير إلى عدد أسنان كل مسنن .



الشكل (م-8-5)

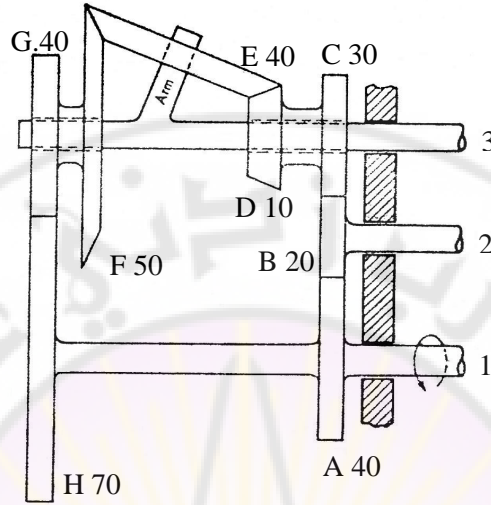
*

م-8-6

يبين الشكل (م-8-6) مجموعة كوكبية عناصرها جميعها متحركة ، حيث الذراع (Arm) مركب على عمود الخرج 3 . المسننان C , D مركبان عليه ، وكذلك الأمر بالنسبة للمسننين F , G .
فإذا دار عمود الدخل 1 بسرعة 500 r.p.m بالاتجاه المبين في الشكل .
المطلوب تعيين سرعة دوران عمود الخرج قيمة واتجاهاً بأية طريقة مناسبة ، علماً أن عدد الأسنان هو كما في الشكل .

ملاحظة:

إن هذه المجموعة هي في الواقع ذات درجة طلاقة واحدة رغم تحرك عناصرها جميعها ، بسبب وجود المسنن B الذي يقيد حركة العمود الوسيط 2 بين الدخل ، والخرج .



الشكل (م-8-6)

*

م-8-7

إذا كان عدد أسنان مسننات المجموعة التفاضلية المستعملة في السيارات والمبينة في (الشكل-8-12) ، هو :

$$Z_2 = 11 \quad , \quad Z_3 = 54 \quad , \quad Z_4 = 11 \quad , \quad Z_5 = Z_6 = 16$$

وكان عمود نقل الحركة E يدور بسرعة 1200 r.p.m ، فما هي سرعة العجلة اليمنى عند رفعها عن الأرض ، بينما تبقى العجلة اليسرى مستندة إلى الأرض .

*

م-8-8

تتحرك سيارة مركب فيها الجهاز التفاضلي العائد إلى التمرين السابق (م-8-7) ، على مسار منحنٍ نحو اليمين بسرعة 50 km/h ، حيث نصف قطر انحناء المسار 24 m مقاساً عند محور السيارة ، القطر الخارجي للعجلات 60 cm ، والمسافة بين مركزي العجلتين الخلفيتين 140 cm .

فإذا كان عدد الأسنان كما في الشكل (م-8-7) ، المطلوب :

1. تعيين سرعة كل من العجلتين الخلفيتين .
2. سرعة الذراع 7 .

الفصل التاسع

إنشاء التركيبات الآلية Mechanism Synthesis

تطرقنا في الفصول السابقة بشكل عام إلى دراسة التركيبات الآلية من منطلق تحليل حركة نقاط ، ووصلات تركيبية ما معلومة الأبعاد ، والأوضاع النسبية ، إلا أن الانطلاق من حركة مطلوبة معينة في محاولة لتحديد الأبعاد النسبية لتركيبية يشكل موضوعاً مختلفاً يسمى بـ إنشاء التركيبات الآلية (Synthesis) ؛ أي: إن عملية الإنشاء هي في الواقع تجميع عناصر بسيطة نسبياً ، وتركيبها ، للحصول من خلال ترتيب معين لهذه العناصر ، على تركيبية كاملة تحقق العلاقة الحركية المطلوبة بين الوصلة القائدة ؛ أي الدخل ، والوصلة المقودة ، أي الخرج .

إن الأسلوب الأمثل للإنشاء ، هو تحديد متطلبات الأداء ، وشروطه ، ثم استعمالها بطريقة منهجية معينة للحصول على تركيبية فريدة وحيدة تحقق الأداء المطلوب ، إلا أنه للأسف توجد في أغلب الأحيان تركيبات عدة تحقق الحركة المطلوبة نفسها . هذا يعني مثلاً أنه من غير المحتمل - إن لم يكن مستحيلاً - إيجاد نظام إنشاء محدد يؤدي إلى تجميع مجموعة من المسننات ، المرافق والكامات وفق ترتيب معين وجيد ، يشكل حلاً لمسألة إنشاء ميكانيكي ما .

ينتج من ذلك أن عملية إنشاء تركيبية آلية تعتمد إلى حد كبير على الإنشاء التجريبي ، ومن الممكن أن هذه الطبيعة التجريبية للعملية هي السبب الذي يجعل المصمم يتوقع دوماً وجود حل أفضل ؛ وبالتالي يجعل دراسة التركيبات الآلية وإنشاءها موضوعاً شائقاً . رغم أن هذا الموضوع قد حظي باهتمام الباحثين منذ فترة طويلة ، إلا أن الدافع الأكبر للاهتمام بالإنشاء قد جاء نتيجة تطور الحاسبات التماثلية ، وأنظمة القياس والتحكم الميكانيكية . يلزم عادة في هذه المجالات توليد توابع اختيارية بوسائل ميكانيكية ، حيث يمكن أحياناً وجود تركيبية معلومة سابقاً تحقق التابع المطلوب ، إلا أن أغلب الحالات تتطلب إنشاء تركيبية جديدة ؛ لذا فإن على المصمم الميكانيكي أن يكون ملماً بعدد كبير من التركيبات المتنوعة ، حيث يؤهله ذلك لإنشاء عناصر التركيبية ، وترتيبها بأفضل شكل يحقق الأداء المطلوب . يمكن الحصول على إلمام جيد من الاطلاع الدائم ، والمستمر على الاكتشافات ، والكتابات العلمية الحديثة ؛ أي بمعنى آخر أن يتمتع المصمم - إلى حد ما - بفضول علمي يدفعه دوماً إلى الاطلاع على كل جديد .

لقد بينا في الفصل السادس بعض الطرائق التخطيطية ، والتحليلية لإنشاء الكامة انطلاقاً من حركة معينة مطلوبة للتابع ، وهي في الواقع عملية الإنشاء الوحيدة التي يمكن حلها دوماً . كما أنه يتضح من دراسة المسننات ، ومجموعاتها إمكان إنشاء عناصر هذه المجموعات بسهولة ؛ بخاصة تحديد عدد الأسنان ، ضمن مجال تحدده عادة المعطيات الإجهادية ، ومختلف العيارات النازمة لبعض الأبعاد في المسننات . يلاحظ من ذلك أن التحليل والإنشاء هما عموماً مترافقان حيث يكمل أحدهما الآخر في أي تصميم هندسي ؛ وبالتالي فإن مسؤولية المصمم هي إذن أن يوائم بين حسن تقديره للمشكلة قيد الدراسة ، وخبرته ، وقدرته على التحليل للحصول على أفضل حل ممكن .

يمكن إذن تلخيص مراحل إنشاء تركيبة كالآتي:

1. اختيار نوع التركيبة التي يمكن أن تستعمل لتحقيق التصميم المطلوب ، وهو ما يسمى بـ الإنشاء النوعي .
2. تعيين عدد الوصلات ، والازدواجات اللازمة لتأمين الحركة المطلوبة ، وهو ما يسمى بـ الإنشاء العددي .
3. تحديد الأبعاد النسبية اللازمة للوصلات ، وهو ما يسمى بـ الإنشاء البعدي .

أدت الطرائق التخطيطية دوراً أساسياً في بداية تطور إنشاء التركيبات ، وتعتمد هذه الطرائق عموماً على مفهوم الخطأ ، والتجريب ؛ إضافة إلى الحدس والاستقراء . لا زالت بعض الطرائق التخطيطية التي تعطي النتائج مباشرة لتركيبات بسيطة تستعمل عند عدم إمكان تطوير إنشاء تحليلي لمسألة ما ، مثال ذلك بعض إنشاءات الكامات التي بيناها سابقاً ، إلا أن الحاجة المتزايدة إلى إنشاء تركيبات معقدة نسبياً ، قد أدت إلى تطوير طرائق تحليلية تمتاز بدقة نتائجها ، رغم أن التحليل الرياضي لبعض مسائل الإنشاء معقد ، حتى في حالة تركيبة رباعية الوصلات ، إلا أن التطور الهائل ، والمستمر في استعمال الحاسبات الرقمية ساعد على إيجاد طرائق تحليلية جديدة .

2-9- مفهوم نقاط الدقة

Concept of Accuracy Points

يجب دوماً عند إجراء عملية إنشاء ميكانيكي الانتباه إلى عامل أساسي ، ألا وهو الدقة المطلوبة للتركيبية ، حيث من النادر أن يتمكن المصمم من تصميم تركيبية تحقق الحركة المطلوبة تماماً ؛ لذا فإن عليه ، في أغلب الأحيان ، أن يكتفي بحل تقريبي ، حيث يسمى الفارق بين الحركة المطلوبة ، وتلك الناتجة فعلياً من التركيبية بـ الخطأ الإنشائي . هذا إضافة إلى الخطأ الميكانيكي أو التصنيعي الذي يحدث عند تصنيع التركيبية ، وتجميعها ؛ بسبب الخوصات في أطوال الوصلات ، والازدواجات .

ينتج من ذلك أنه يستحيل عملياً الحصول على الحركة المطلوبة الصحيحة ، إلا عند بضع نقاط تسمى بـ نقاط الدقة التي يجب تحديد مواقعها لتقليل الخطأ الحاصل بين هذه النقاط . يمكن التعبير عن الخطأ الإنشائي Δ ، بالعلاقة الآتية:

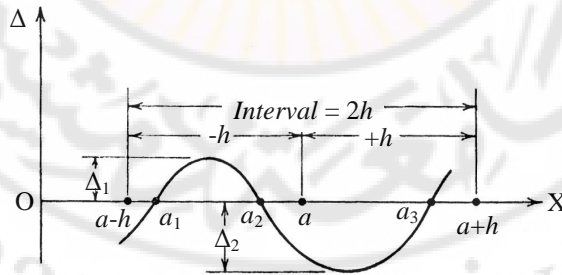
$$\Delta = f(x) - g(x)$$

حيث:

$f(x)$ يمثل تابع الحركة المطلوبة .

$g(x)$ يمثل التابع الناتج من التركيبية الفعلية .

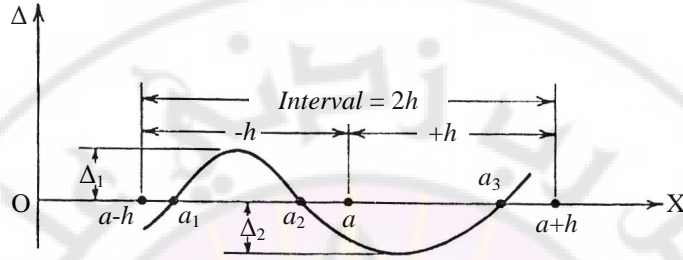
يبين (الشكل-9-1) التمثيل البياني لتغيرات الخطأ الإنشائي بالنسبة لمتغير الحركة X ضمن مجال $2h$ ، مركزه عند الإحداثي $(x = a)$.



(الشكل-9-1) التمثيل البياني لتغيرات الخطأ الإنشائي .

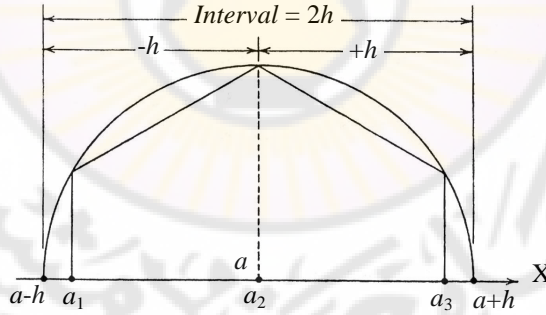
يساوي الخطأ الصفر عند نقاط الدقة a_1, a_2, a_3 ، ويلاحظ من هذا الشكل أن الخطأ الأعظمي Δ_1 الناتج من التركيبية في المجال a_1, a_2 ، هو أصغر من الخطأ الأعظمي Δ_2 الناتج ضمن المجال a_2, a_3 .

يمكن استناداً إلى نظرية أوجدها الباحث تشيبشيف (Tchebyshev) تعيين مواقع نقاط الدقة a_1, a_2, a_3 ، بحيث يصبح لدينا $(\Delta_1 = \Delta_2)$ ، كما في (الشكل-2-9) .



(الشكل-2-9) تعيين مواقع نقاط دقة a_1, a_2, a_3 بحيث يصبح الخطأ الأعظمي $(\Delta_1 = \Delta_2)$.

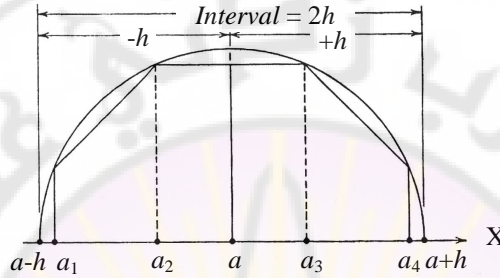
يوضح (الشكل-3-9) طريقة تخطيطية لتحديد مواقع نقاط الدقة وفقاً للنظرية المذكورة أعلاه ، حيث ترسم نصف دائرة على المحور X مركزها عند $(x = a)$ ونصف قطرها يساوي h .



(الشكل-3-9) الطريقة التخطيطية لتحديد مواقع نقاط الدقة وفقاً لنظرية تشيبشيف .

يرسم عندئذ نصف مضلع منتظم ضمن نصف الدائرة ، وهو في حالة ثلاث نقاط دقة نصف مسدس منتظم ، حيث يكون ضلعان منه متعامدين مع المحور X . تحدد الخطوط الشاقولية على المحور X ، والمرسومة من ذرى أي رؤوس نصف المضلع ، ومواقع نقاط الدقة a_1, a_2, a_3 .

يبين (الشكل-9-4) عملية إنشاء لتحديد مواقع أربع نقاط دقة ، بحيث يكون الخطأ الإنشائي الأعظمي ضمن مجال كل نقطتين متتاليتين هو نفسه . يلاحظ في هذه الحالة ضرورة رسم نصف مئمن منتظم ؛ أي: إن عدد أضلاع المضلع بشكل عام يساوي ضعف عدد نقاط الدقة المراد تحديد مواقعها .



(الشكل-9-4) تحديد مواقع أربع نقاط دقة بحيث يكون الخطأ الإنشائي الأعظمي هو نفسه .

يساعد تحديد عدد نقاط الدقة ، وتعيين مواقعها ؛ أي التباعد فيما بينها في تبسيط طريقة الإنشاء تحليلياً أو تخطيطياً ، حيث تصبح عملية الإنشاء ، هي إيجاد العلاقات النسبية بين أطوال التركيبة التي تحقق تابع الحركة المطلوبة عند هذه النقاط ؛ إضافة إلى تحقيقها ضمن حدود دقة معينة في المجالات بين هذه النقاط .

3-9- إنشاء تركيبة رباعية القضبان لقيم آنية للسرعة والتسارع

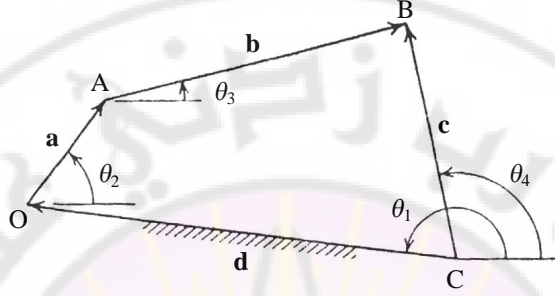
Synthesis of Four-bar Mechanism for Instantaneous Values of Speed and Acceleration

لقد طورَ الباحث روزناور (Rosenauer) طريقة تحليلية لإنشاء تركيبة رباعية القضبان ، تحقق قيمة آنية معينة للسرعة الزاوية ، والتسارع الزاوي لكل وصلة من وصلاتها.

يبين (الشكل-9-5) تخطيطاً للتركيبة ، حيث تم تمثيل وصلاتها الأربع بأشعة تكون مضلعاً مغلقاً مبدؤه عند O ، كما تمثل الزوايا $\theta_1, \theta_2, \theta_3, \theta_4$ ميل كل وصلة منها على الخط الأفقي ، مقاسة باتجاه عكس دوران عقارب الساعة ، كما في الشكل . إذا كانت الوصلات OA , AB , BC , CO تمثل بالمتجهات **a** , **b** , **c** , **d** على التوالي ، فإنه يمكن كتابة المعادلة الشعاعية الآتية للمضلع المغلق:

$$\mathbf{a} + \mathbf{b} - \mathbf{c} + \mathbf{d} = 0 \quad (1-9)$$

يجب الانتباه إلى أن الشعاع c الذي يمثل الوصلة BC هو سالب في المعادلة (1-9) ؛ لأن اتجاهه هو من C إلى B .



(الشكل-9-5) تمثيل الوصلات الأربع لتركيبة بأشعة تكون مضلعاً مغلقاً .

يمكن تبسيط التحليل الشعاعي باستعمال الأعداد المركبة ، حيث يمثل العدد المركب تخطيطياً بنقطة في المستوي إحداثيتها الأفقية x هو الجزء الحقيقي من هذا العدد ، بينما يمثل إحداثيتها الشاقولي y الجزء التخيلي منه . يمكن إذن - استناداً إلى مفهوم الأعداد المركبة - كتابة الأشعة الأربعة التي تمثل وصلات التركيبة على النحو التالي جبرياً ، وفقاً للمعادلة (1-9):

$$a.e^{iq_2} + b.e^{iq_3} - c.e^{iq_4} + d.e^{iq_1} = 0 \quad (2-9)$$

بما أن السرعة الزاوية لوصلة هي مشتق وضعها الزاوي بالنسبة للزمن ، فإنه ينتج أن:

$$\frac{dq_2}{dt} = w_2 \quad , \quad \frac{dq_3}{dt} = w_3 \quad , \quad \frac{dq_4}{dt} = w_4 \quad , \quad \frac{dq_1}{dt} = 0$$

ومنه باشتقاق المعادلة (2-9) ، وبالتعويض نحصل على:

$$i.w_2.a.e^{iq_2} + i.w_3.b.e^{iq_3} - i.w_4.c.e^{iq_4} + 0.d.e^{iq_1} = 0 \quad (3-9)$$

بالاشتقاق مرة ثانية للوضع الزاوي بالنسبة للزمن ينتج أن التسارعات الزاوية للوصلات ، هي:

$$\frac{dw_2}{dt} = e_2 \quad , \quad \frac{dw_3}{dt} = e_3 \quad , \quad \frac{dw_4}{dt} = e_4 \quad , \quad \frac{dw_1}{dt} = 0$$

ومنه بالاشتقاق مرة ثانية للمعادلة (3-9) ، وبالتعويض نحصل على:

$$(i.e_2 - w_2^2)a.e^{iq_2} + (i.e_3 - w_3^2)b.e^{iq_3} - (i.e_4 - w_4^2)c.e^{iq_4} + 0.d.e^{iq_1} = 0 \quad (4-9)$$

يمكن عندئذ إعادة كتابة المعادلات (2-9) ، (3-9) ، (4-9) بالشكل الشعاعي ، حيث ينتج أن:

$$\mathbf{a} + \mathbf{b} - \mathbf{c} + \mathbf{d} = 0$$

$$w_2.\mathbf{a} + w_3.\mathbf{b} - w_4.\mathbf{c} + 0.\mathbf{d} = 0 \quad (5-9)$$

$$(i.e_2 - w_2^2)\mathbf{a} + (i.e_3 - w_3^2)\mathbf{b} - (i.e_4 - w_4^2)\mathbf{c} + 0.\mathbf{d} = 0$$

يفضل حل مجموعة المعادلات (5-9) آنياً باستعمال المعينات P أي المحددات ، حيث يرمز للمعينة المشتركة المستعملة في حل مجموعة المعادلات بالرمز D .

تتكون صفوف هذه المعينة المشتركة من أمثال الأشعة \mathbf{a} , \mathbf{b} , \mathbf{c} في المعادلات الثلاث على التوالي . ينتج من تطبيق هذه الطريقة استناداً إلى التحليل الرياضي أن علاقة الشعاع \mathbf{a} ، هو:

$$\mathbf{a} = \frac{\begin{vmatrix} -\mathbf{d} & 1 & 1 \\ 0 & w_3 & -w_4 \\ 0 & (i.e_3 - w_3^2) & -(i.e_4 - w_4^2) \end{vmatrix}}{D}$$

$$\mathbf{a} = -\frac{\mathbf{d}}{D} [-w_3(i.e_4 - w_4^2) + w_4(i.e_3 - w_3^2)]$$

$$\mathbf{a} = \frac{\mathbf{d}}{D} [(w_3.e_4 - w_4.e_3)i + w_3.w_4(w_3 - w_4)]$$

وبطريقة مماثلة ينتج أن علاقة الشعاع \mathbf{b} هي:

$$\mathbf{b} = \frac{\mathbf{d}}{D} [(w_4.e_2 - w_2.e_4)i + w_4.w_2(w_4 - w_2)]$$

وأن علاقة الشعاع \mathbf{c} هي:

$$\mathbf{c} = \frac{\mathbf{d}}{D} [(w_3.e_2 - w_2.e_3)i + w_2.w_3(w_3 - w_2)]$$

بما أن كل شعاع هو مكون من حد ضمن قوسين مضروب بالحد المشترك \mathbf{d}/D ، فإنه يمكن عدّه يساوي إلى $(\mathbf{d}/D = -1)$. إن هذا التعويض صحيح ؛ لأن الأشعة \mathbf{a} , \mathbf{b} , \mathbf{c} هي كلها منسوبة إلى الشعاع \mathbf{d} ، ويفضل استعمال الإشارة السالبة للحصول على وضع التركيبية في المجال الموجب للإحداثيات .

ينتج من إجراء هذا التعويض ، والإصلاح أن:

$$\begin{aligned} \mathbf{a} &= w_4 \cdot w_3 (w_4 - w_3) + (w_4 \cdot \mathbf{e}_3 - w_3 \cdot \mathbf{e}_4) i \\ \mathbf{b} &= w_2 \cdot w_4 (w_2 - w_4) + (w_2 \cdot \mathbf{e}_4 - w_4 \cdot \mathbf{e}_2) i \\ \mathbf{c} &= w_2 \cdot w_3 (w_2 - w_3) + (w_2 \cdot \mathbf{e}_3 - w_3 \cdot \mathbf{e}_2) i \end{aligned} \quad (6-9)$$

ومن المعادلة (1-9) أن:

$$\mathbf{d} = \mathbf{c} - \mathbf{a} - \mathbf{b}$$

إذا رمزنا للأجزاء الحقيقية في مجموعة المعادلات (6-8) بالرموز a_1, b_1, c_1, d_1 ، وبالرموز a_2, b_2, c_2, d_2 للأجزاء التخيلية منها ، فإنه يمكن كتابة الأشعة الممثلة للوصلات الأربع للتركيبية على الشكل الآتي:

$$\mathbf{a} = a_1 + a_2 \cdot i \quad , \quad \mathbf{b} = b_1 + b_2 \cdot i \quad , \quad \mathbf{c} = c_1 + c_2 \cdot i \quad , \quad \mathbf{d} = d_1 + d_2 \cdot i \quad (7-9)$$

وبالتالي ، فإن الأطوال تتناسب مع:

$$\begin{aligned} a &= (a_1^2 + a_2^2)^{1/2} \quad , \quad b = (b_1^2 + b_2^2)^{1/2} \\ c &= (c_1^2 + c_2^2)^{1/2} \quad , \quad d = (d_1^2 + d_2^2)^{1/2} \end{aligned} \quad (8-9)$$

مسألة-1-9

المطلوب إنشاء تركيبية رباعية القضبان تحقق القيم الآتية الآتية:

$\omega_2 = 6 \text{ rad/sec}$	$\varepsilon_2 = 0$	المرفق OA
$\omega_3 = 1 \text{ rad/sec}$	$\varepsilon_3 = 10 \text{ rad/sec}^2$	الوصلة AB
$\omega_4 = 3 \text{ rad/sec}$	$\varepsilon_4 = 5 \text{ rad/sec}^2$	الوصلة CB

الحل:

ينتج من مجموعة المعادلات (6-9) أن الأجزاء الحقيقية للأشعة بدلالة وحدة الطول المختارة ، هي:

$$a_1 = 6 \quad , \quad b_1 = 54 \quad , \quad c_1 = 30 \quad , \quad d_1 = -30$$

وأن الأجزاء التخيلية بدلالة وحدة الطول نفسها ، هي:

$$a_2 = 25 \quad , \quad b_2 = 30 \quad , \quad c_2 = 60 \quad , \quad d_2 = 5$$

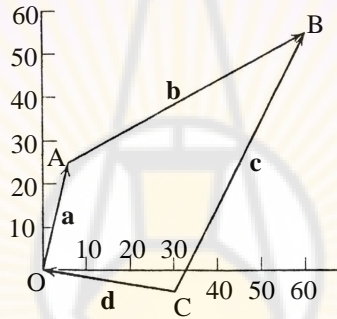
ومنه فإن الوصلات تمثل بالأعداد المركبة الآتية وفقاً لمجموعة المعادلات (7-9):

$$\mathbf{a} = 6 + 25i \quad , \quad \mathbf{b} = 54 + 30i \quad , \quad \mathbf{c} = 30 + 60i \quad , \quad \mathbf{d} = -30 + 5i$$

أما أطوالها ، فإنها تتناسب وفقاً لمجموعة المعادلات (8-9) مع:

$$a = 25,71 \quad , \quad b = 61,78 \quad , \quad c = 67,08 \quad , \quad d = 30,41$$

يبين (الشكل-9-6) التركيبة المطلوبة OABC ، حيث توضح هذه التركيبة الأطوال النسبية للوصلات فيما بينها ، وأوضاعها الزاوية ، الموافقة لتحقيق القيم الآتية المعطاة لكل من السرعة الزاوية ، والتسارع الزاوي .



(الشكل-9-6) تركيبة توضح الأطوال النسبية للوصلات فيما بينها وأوضاعها الزاوية .

يمكن إذن باختيار طول مناسب لإحدى الوصلات ، يلانم التطبيق العملي للتركيبة تحديد أطوال الوصلات الأخرى استناداً إلى النسب a, b, c, d المحسوبة أعلاه ؛ أي: إنه يمكن تغيير الأطوال الفعلية للوصلات طالما تم الحفاظ على هذه النسب ، إلا أن الأوضاع الزاوية لا يمكن تغييرها . يمكن اختيار أية وحدة قياسية لتمثيل الأجزاء الحقيقية ، والتخيلية شرط أن تكون هي نفسها لكليهما .

يمكن تطوير هذه الطريقة لإنشاء تركيبة مكونة من أكثر من أربع وصلات ، حيث تطبق المعادلة الشعاعية (9-1) مرتين باتباع مسار مختلف لإغلاق مضلع الأشعة ، بحيث يشمل الوصلات الإضافية ، ومن ثم اتباع خطوات الاشتقاق نفسها ، وتحويل المعادلات الناتجة إلى شكل يشابه مجموعة المعادلات (6-9) لكن عددها سيكون أكبر ؛ وبالتالي حل هذه المجموعة آنياً لتعيين نسب أطوال الوصلات .

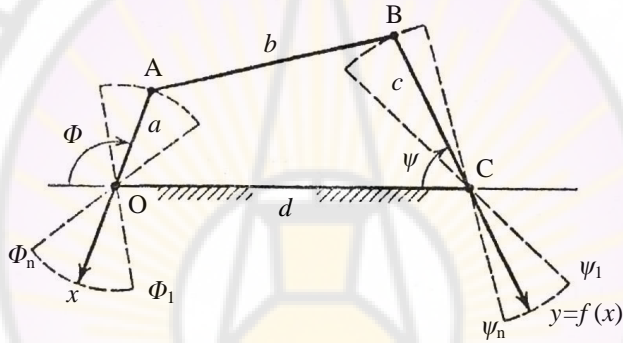
4-9- إنشاء تركيبة رباعية القضبان لتوليد تابع ما

Synthesis of Four-bar Mechanism to Generate a Function

يحدث أحياناً أنه يلزمنا تصميم تركيبة لتوليد تابع معين ، وليكن :

$$y = \log x$$

يبين (الشكل-9-7) تركيبة رباعية القضبان مصممة لتوليد التابع $[y = f(x)]$ ضمن مجال محدّد ، بحيث أن تحرك الوصلة OA بين الحدين Φ_1 , Φ_n وفق قيمة دخل ما x ، يؤدي إلى تحرك الوصلة BC وفقاً للقيمة $[y = f(x)]$ بين الحدين ψ_1 , ψ_n .



(الشكل-9-7) تركيبة رباعية القضبان مصممة لتوليد تابع .

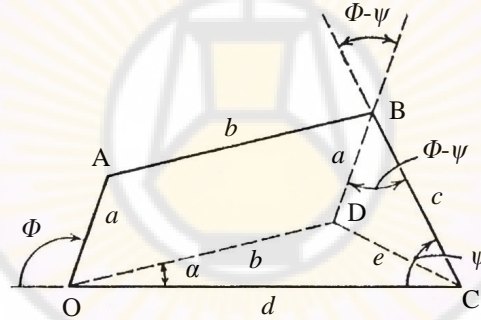
يلاحظ بسهولة وجود ثلاث قيم مستقلة لنسب أضلاع التركيبة التي تحدد الأطوال النسبية لهذه التركيبة . كما يجب تحديد مجال كل من Φ , ψ ؛ إضافة إلى كل من الزاويتين الابتدائيتين Φ_1 , ψ_1 ؛ وبالتالي يجب عدّ المتغيرات السبعة كافة عند إنشاء التركيبة لتوليد التابع المطلوب .

من الواضح مباشرة صعوبة العملية الإنشائية وتعقيدها ، لا بل استحالة إيجاد التركيبة التي تحقق تابعاً ما تماماً على كامل المجال المطلوب . إن عدد التتابع التي يمكن توليدها تماماً بواسطة تركيبة رباعية القضبان قليل جداً ، وضمن مجالات محددة ، وضيقة نسبياً . لقد استنتج الباحثان شافر و كوشين (Shaffer & Cochlin) معادلة ، أسمياها معادلة الملاءمة (Compatibility) ، يمكن استعمالها لتحديد إمكان توليد تابعاً ما تماماً ضمن مجال معين .

لقد وضع الباحث فرودنشتاين (Freudenstein) طريقة لتصميم تركيبية رباعية القضبان تولّد تابعاً صحيحاً عند عدد من النقاط المحددة التي تمثل في الواقع نقاط دقة ، لكن تعطي قيماً تقريبية للتابع في المجالات الواقعة بين هذه النقاط ؛ أي: إن التابع $[f(x)]$ في حالة (الشكل-9-7) يكون صحيحاً تماماً عند ψ_1, ψ_n ، وعند عدد محدود من النقاط بينهما ، تبعاً للإمكانات ، والوسائل المتاحة لإنشاء التركيبية .

تعتمد هذه الطريقة على أن يتم أولاً تحديد العلاقة بين ψ و Φ بدلالة الحد الأدنى للعلاقات النسبية بين أطوال الوصلات . يمكن استنتاج هذه العلاقة استناداً إلى (الشكل-9-8) ، حيث تم رسم خط مواز للوصلة OA من النقطة B للحصول على متوازي الأضلاع OABD . بما أن وصلات التركيبية تشكل حلقة مغلقة ، فإن مجموع مساقط الأطوال a, b, c باتجاه OC يجب أن تساوي طول الوصلة d ، ينتج من ذلك أن:

$$a.\cos(\phi - f) + b.\cos a + c.\cos y = d \quad (9-9)$$



(الشكل-9-8) تصميم فرودنشتاين لتركيبية رباعية القضبان تولّد تابعاً صحيحاً .

كما ينتج من تطبيق علاقات المثلث في الهندسة المستوية على كل من المثلثين DBC و DOC ، أن:

$$e^2 = b^2 + d^2 - 2b.d.\cos a \quad (10-9)$$

وأن أيضاً:

$$e^2 = a^2 + c^2 - 2a.c.\cos(f - y) \quad (11-9)$$

وبالتالي ينتج من المعادلتين (10-9) و (11-9) ، أن:

$$b.\cos a = \frac{b^2 + d^2 - a^2 - c^2 + 2a.c.\cos(f - y)}{2d} \quad (12-9)$$

وبالتعويض من (12-9) في (9-9) مع ملاحظة أن:

$$\cos(p - f) = -\cos f$$

نحصل على العلاقة:

$$a^2 - b^2 + c^2 + d^2 + 2a.d.\cos f - 2c.d.\cos y = 2a.c.\cos(f - y) \quad (13-9)$$

وبالقسمة على $2a.c$ نحصل على:

$$\frac{a^2 - b^2 + c^2 + d^2}{2a.c} + \frac{d}{c}.\cos f - \frac{d}{a}.\cos y = \cos(f - y) \quad (14-9)$$

يمكن كتابة المعادلة (14-9) بالشكل الآتي:

$$R_1.\cos f - R_2.\cos y + R_3 = \cos(f - y) \quad (15-9)$$

حيث النسب المستقلة الثلاث للأطوال ، هي:

$$R_1 = \frac{d}{c} , \quad R_2 = \frac{d}{a} , \quad R_3 = \frac{a^2 - b^2 + c^2 + d^2}{2a.c} \quad (16-9)$$

تمثل المعادلة (15-9) أبسط علاقة ممكنة بين Φ و ψ بدلالة نسب الأطوال . يمكن استعمال هذه المعادلة العامة لتصميم تركيبة رباعية القضبان تولد تابعاً صحيحاً فقط عند نقاط دقة محددة ، حيث تنتج لكل نقطة دقة Φ_1 , ψ_1 مثلاً ، معادلة موافقة للمعادلة (15-9) . يكتفى عادة بثلاث نقاط دقة ، إلا أنه تم تطوير الحلول للحصول على أربع نقاط دقة ، وكذلك خمس نقاط ، لكن طرائق الحل تصبح معقدة .

تعطي المعادلة (15-9) في حالة الإنشاء على أساس ثلاث نقاط دقة للتابع ، تحدث

عند $(\Phi_1 , \psi_1) , (\Phi_2 , \psi_2) , (\Phi_3 , \psi_3)$ ثلاث معادلات ، هي بشكل عام:

$$\begin{aligned} R_1.\cos f_1 - R_2.\cos y_1 + R_3 &= \cos(f_1 - y_1) \\ R_1.\cos f_2 - R_2.\cos y_2 + R_3 &= \cos(f_2 - y_2) \\ R_1.\cos f_3 - R_2.\cos y_3 + R_3 &= \cos(f_3 - y_3) \end{aligned} \quad (17-9)$$

ينتج من حل المعادلات (17-9) أنياً ثلاث قيم ، هي: R_1 , R_2 , R_3 ، حيث يمكن بعدها تحديد العلاقات النسبية للأطوال استناداً إلى مجموعة المعادلات (16-9) . إن ظهور إشارة سالبة في تحديد الطولين a و c يؤدي إلى ضرورة تمثيلها شعاعياً عند رسم التركيبة الناتجة .

مسألة-9-2

ليكن المطلوب تعيين أطوال وصلات تركيبة رباعية القضبان لتوليد التابع:

$$y = x^{1.5}$$

حيث تتغير x بين القيمتين (1.0 - 4.0) ، علماً أن الوضع الأولي للمرفق القائد هو $(\Phi_s = 30^\circ)$ ، والمجال الموافق هو $(\Delta\Phi = 90^\circ)$ ، وأن الوضع الأولي للوصلة المقودة ؛ أي المولدة للتابع ، هو $(\psi_s = 90^\circ)$ ضمن مجال $(\Delta\psi = 90^\circ)$ ، وبفرض أن طول الوصلة $(d = 5 \text{ cm})$.

الحل:

يفضل عادة اختيار نقاط الدقة وفق طريقة التباعد المذكورة سابقاً في الفقرة (2-9) إلا إذا ذكر خلاف ذلك . لدينا من معطيات المثال القيم الحدية الآتية:

$$x_s = 1.0 \quad , \quad y_s = 1.0 \quad , \quad x_f = 4.0 \quad , \quad y_f = 8.0$$

حيث يشير الدليل السفلي s لكل رمز أينما ورد في هذا المثال إلى قيمة ابتدائية للمجال ، بينما الدليل السفلي f إلى قيمة نهاية المجال . أما الدلائل السفلية 1 ، 2 ، 3 ، فإنها تشير إلى القيم عند نقاط الدقة التي يمكن تحديد مواقعها استناداً إلى الشكل (9-3) ، حيث:

$$2h = x_f - x_s = 3.0$$

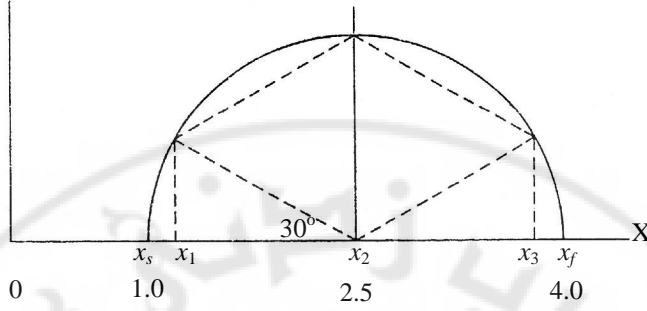
أي إن مركز نصف الدائرة يقع عند $(x = 2.5)$ ونصف قطرها $(h = 1.5)$ ، وبما أن المضلع المرسوم ضمنها هو نصف مسدس منتظم ، فإن نقاط الدقة الثلاث ، هي:

$$x_1 = 2.5 - 1.5 \cos 30^\circ = 1.201 \quad , \quad y_1 = 1.317$$

$$x_2 = 2.5 \quad , \quad y_2 = 3.960$$

$$x_3 = 2.5 + 1.5 \cos 30^\circ = 3.800 \quad , \quad y_3 = 7.400$$

وهي مبينة في (الشكل-9-9) عند النقاط x_1 ، x_2 ، x_3 .



(الشكل-9-9) استنتاج علاقة عامة لكل من ψ و Φ الموافقتين لقيم x و y .

يمكن استناداً إلى (الشكل-9-9) استنتاج علاقة عامة لكل من ψ و Φ الموافقتين لقيم x و y ضمن مجال عمل التركيبية ، حيث ينتج أن:

$$f = f_s \frac{x - x_s}{x_f - x_s} \Delta f \quad (18-9)$$

$$y = y_s \frac{y - y_s}{y_f - y_s} \Delta y \quad (19-9)$$

وبالتالي ، فإنه يمكن تعيين قيم Φ_1 , Φ_2 , Φ_3 الموافقة للنقاط x_1 , x_2 , x_3 على التوالي ، علماً أن $(\Delta \Phi = 90^\circ)$ ، ومنه:

$$f_1 = 36.03^\circ , \quad f_2 = 75.03^\circ , \quad f_3 = 114.0^\circ$$

وبطريقة مماثلة يمكن تعيين ψ_1 , ψ_2 , ψ_3 الموافقة للقيم y_1 , y_2 , y_3 على التوالي ، حيث ينتج أن:

$$y_1 = 94.08^\circ , \quad y_2 = 128.02^\circ , \quad y_3 = 172.25^\circ$$

بالتعويض من قيم ψ و Φ ، المعينة أعلاه ، في مجموعة المعادلات (17-9) ، ومن ثم حل هذه المعادلات آنياً ينتج أن:

$$R_1 = 0.440 , \quad R_2 = 0.578 , \quad R_3 = 0.132$$

وبما أن طول الوصلة ($d = 5$ cm) معلوم ، فإنه يمكن تحديد طول بقية الوصلات من تطبيق مجموعة المعادلات (16-9) ، حيث ينتج أن:

$$a = 8.65 \text{ cm} , \quad b = 14.25 \text{ cm} , \quad c = 11.365 \text{ cm}$$

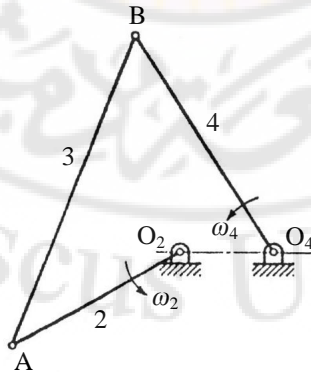
وبالتالي يمكن رسم التركيبة في أي وضع ضمن المجال من $(\Phi_s = 30^\circ)$ حتى $(\Phi_f = 120^\circ)$ ، والتأكد من النتائج عند نقاط الدقة الثلاث ؛ إضافة إلى حساب الخطأ الإنشائي في تحقيق التابع $(y = x^{1.5})$ من القيمة $(x_s = 1.0)$ حتى $(x_f = 4.0)$.

من الواضح أنه يمكن إنشاء تركيبة رباعية القضبان تحقق ثلاث نقاط دقة لأي تابع ، باتباع الأسس نفسها الموضحة في هذا المثال .

5-9- نظرية القيم العظمى والصغرى Maxima & Minima Values Theorem

يعد تعيين أوضاع التركيبة أو أطوارها التي تحدث عندها القيم العظمى والصغرى للميزات الحركية أمراً مهماً في تحليل التراكيب الآلية ، وإنشائها . يعود ذلك إلى الدور الأساسي ، والحرّج الذي تؤديه هذه القيم الحدية في التصميم الميكانيكي الإجهادي لعناصر التركيبة . كان يتم تعيين هذه القيم حتى فترة قصيرة باستعمال مبدأ الخطأ والتجريب ، إلا أنه يفضل عادة إيجاد وسيلة أو طريقة مباشرة ، وسريعة لتحديد الأوضاع الحدية للتركيبة . رغم الأبحاث ، والمحاولات الكثيرة التي جرت ، فإن هذا الموضوع لا زال قيد البحث ، ولا يمكن القول إنه قد وجد حلاً شاملاً ، وتاماً .

من أوائل الباحثين في موضوع تعيين القيم الحدية الباحث كراوس (Krause) ، الذي أعلن في دراسة له عام 1939 ، تتعلق بتركيبة السحب أو الجر رباعية القضبان المبينة في (الشكل-10-9) .

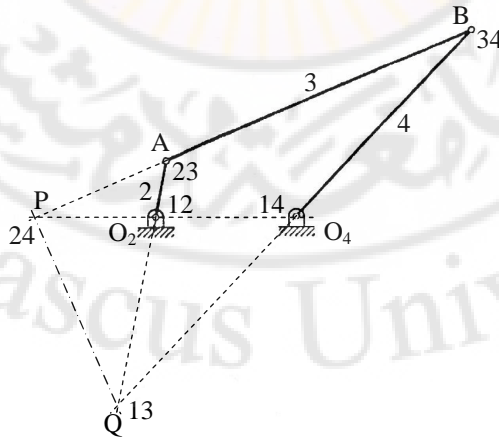


(الشكل-10-9) تركيبة السحب أو الجر رباعية القضبان .

أن نسبة السرعة (ω_4 / ω_2) تصل إلى قيمة حدية عندما تصبح الوصلة القارئة 3 ، والوصلة المقودة 4 متعامدتين ، إلا أن الباحث روزناور (Rosenauer) بين لاحقاً أن ذلك غير صحيح دوماً ، وقام بإجراء دراسة تحليلية تعتمد على التمثيل الشعاعي لأطوال الوصلات كأعداد مركبة ، ويمكن من خلالها الحصول على القيم الحدية لسرعة الوصلة المقودة .

لا يسمح مجال البحث هنا باستعراض خطوات هذه الدراسة ، لذا فإننا سنكتفي بإعطاء فكرة موجزة لنظرية وضعها الباحث فرودنشتاين (Freudenstein) ، يمكن تطبيقها تخطيطياً لتعيين الأوضاع الحدية لتركيبية رباعية القضبان من دون الحاجة إلى تقديم البرهان على صحتها الذي قام به الباحث هال (Hall) . إلا أننا سنوضح بطريقة مختصرة ومبسطة الأسس اللازمة لتطبيق هذه النظرية عند تحليل تركيبية من هذا النوع ، وإنشائها .

تعتمد هذه النظرية على المركزين اللحظيين المتحركين 13 و 24 للتركيبية رباعية القضبان المبينة في (الشكل-9-11) ، حيث تمّ الرمز لهما بالنقطتين Q و P على التوالي تسهيلاً للشرح . استناداً إلى مفهوم المركز اللحظي ، فإن النقطة P هي نقطة مشتركة في الوصلتين 4 و 2 ، ولها السرعة اللحظية نفسها في كل منهما . كما أن النقطة Q هي مركز مسندي تدور حوله الوصلة 3 بالنسبة للمستوي الثابت . يسمى الخط PQ — محور التسامت أو التآلف (Collineation Line) .



(الشكل-9-11) تركيبية رباعية القضبان .

أما نص النظرية فهو:

عند قيمة حدية لنسبة سرعة تركيبة رباعية القضبان يكون محور التسامت عمودياً على الوصلة القارئة AB .

إن المقصود بنسبة سرعة التركيبة هي نسبة سرعة الوصلة المقودة 4 إلى سرعة الوصلة القائدة 2 ، حيث يمكن البرهان بسهولة انطلاقاً من تعريف المركز اللحظي ، وتطبيقه في حساب السرعات ، أن:

$$\frac{w_4}{w_2} = \frac{PO_2}{PO_4} = \frac{PO_2}{PO_2 \pm O_2O_4} \quad (20-9)$$

حيث تكون الإشارة سالبة عندما تقع P بين المركزين O_2 و O_4 .

بما أن المسافة O_2O_4 ثابتة ، فإن القيم الحدية لنسبة سرعة التركيبة تحدث عندما يكون البعد PO_2 أعظماً . يمكن لهذه الأوضاع أن تحدث عند أحد جانبي النقطة O_2 أو كليهما ؛ وبالتالي فإن المسألة تؤول فقط إلى تحديد الشكل الهندسي للتركيبة عندما يكون البعد PO_2 أعظماً .

يلاحظ أن النقطة P تتحرك على طول الخط PO_2 ، لكن عند الوضع الحدي لنسبة سرعة عظمى أو صغرى ، فإن هذه النقطة يجب أن تكون متوقفة ، وسرعتها صفر أنياً على الخط PO_2 . وإذا عدت النقطة P كنقطة من الوصلة 3 ، فإن سرعتها إذن عند هذه الشروط يجب أن تكون على طول الخط AB . إن هذا صحيح فقط عندما تتعامد الوصلة القارئة 3 أو امتدادها مع محور التسامت PQ ؛ لأن النقطة Q هي المركز اللحظي لدوران الوصلة 3 .

يمكن إذن استعمال نظرية فرودنشتاين (Freudenstein) هذه ؛ لتعيين أوضاع التركيبة الموافقة لنسب السرعات الحدية ، إلا أن الاستعمال الأكثر أهمية لهذه النظرية ، هو في إنشاء تركيبة رباعية تؤمن نسبة سرعة معينة ، عظمى أو صغرى ، كما سيتضح من المثال التالي .

مسألة-3-9

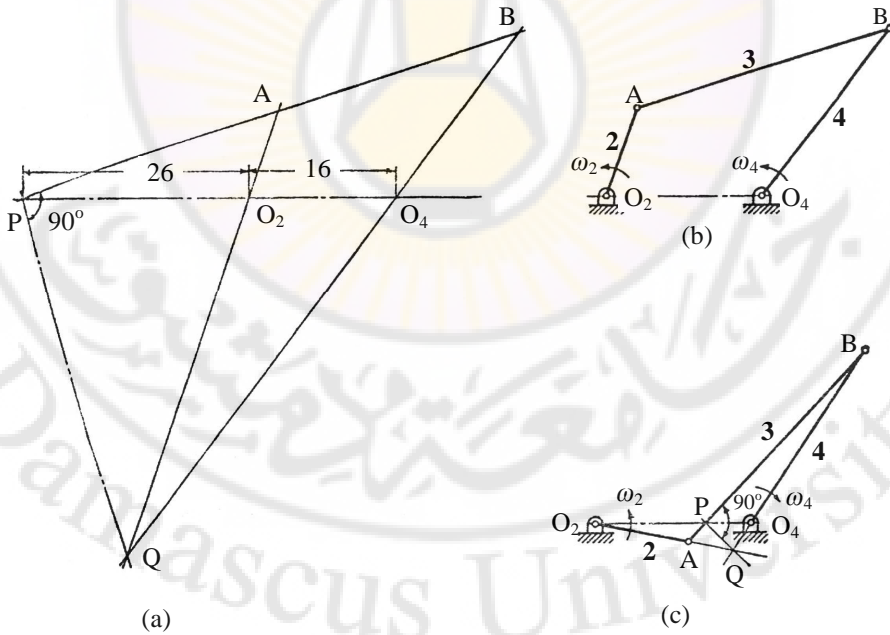
المطلوب إنشاء تركيبة رباعية القضبان بحيث تعطي نسبة سرعة عظمى قدرها 0.619 . علماً أن طول الوصلة الثابتة يساوي 16 cm ، وطول الوصلة القائدة لا يقل عن 4 cm .

الحل:

يعين موقع النقطة P على طول O_2O_4 من المعادلة (9-20) ، وعلى أساس نسبة سرعة عظمى حيث ينتج أن:

$$PO_2 = \frac{0.619 \times 16}{1 - 0.619} = 26 \text{ cm}$$

نبدأ برسم التركيبة ، كما في a في (الشكل-9-12) ، وتحدد النقاط O_2 ، O_4 ، P وفقاً للبعدين PO_2 و O_2O_4 .



(الشكل-9-12) إنشاء تركيبة رباعية القضبان .

يتم بعدئذ رسم أي خطين PQ و PB متعامدين بعضهما على بعض . نختار نقطة ما Q على طول الخط PQ ، ونصل الخطين QB و QA ، حيث يمكن تغيير وضع النقطة Q ، والزاوية $\angle APO_2$ ؛ للحصول على نسب أطوال مختلفة .

يبين الوضع b في (الشكل-9-12) التركيب المصممة ؛ لتحقيق نسبة السرعة العظمى المطلوبة ، وشرط الحد الأدنى لطول الوصلة القائدة 2 .

رغم صحة الإنشاء ، فإنه يجب دراسة التركيب الناتجة ؛ لبيان فيما إذا كان الوضع المنشأ يعطي نسبة عظمى أو صغرى أو نقطة انعطاف .

يبين الوضع c في (الشكل-9-12) التركيب نفسها ، وقد صممت ؛ لتعطي قيمة حدية أخرى . إن نسبة السرعة في هذه الحالة سالبة ذات قيمة مطلقة أعلى من الحالة السابقة ، بحدود أربعة أمثالها .

يوجد تطوير آخر لنظرية القيم العظمى ، والصغرى لن نتطرق إلى مناقشته ؛ وإنما سنكتفي بذكر ما ينص عليه:

تحدث نسبة سرعة حدية للوصلة القارنة 3 بالنسبة للوصلة القائدة 2 ؛ أي (ω_3 / ω_2) ، في تركيب رباعية القضبان ، عندما يكون محور التماسات PQ عمودياً على الوصلة المقودة 4 .

6-9- إنشاء تركيب ذات تماس مباشر تدرجي

Synthesis of Rolling Contact Mechanism

يمكن أحياناً تصميم تركيبات ذات تماس مباشر تدرجي صرف ، لتوليد تابع ما يمثل العلاقة الحركية بين المنحنيين المشكلين لوصلتي التماس المباشر . سنوضح أسس الإنشاء من خلال مثال نموذجي .

لتكن العلاقة المطلوب تحقيقها ، هي:

$$y = 1.5 x^2$$

في المجال من $(x = 1.0)$ إلى $(x = 5.0)$.

المطلوب إنشاء منحنى التماس المباشر ، حيث يمثل الدخل x بالزاوية الموافقة Φ في المجال $(0 - 120^\circ)$ ، كما يمثل الخرج y بالزاوية الموافقة ψ في المجال نفسه .

يمكن إيجاد علاقة خطية بين كل من Φ , x و ψ , y استناداً إلى المعادلتين (19-9) , (18-9) ، مع ملاحظة أن هاتين المعادلتين صحيحتان بشكل عام ؛ لأنهما تتعلقان بوصلتي الدخل والخرج بغض النظر عن نوع التركيبة . ينتج إذن أن:

$$f = 0^\circ + \frac{x-1}{5-1} 120^\circ = 30(x-1) \quad (21-9)$$

$$y = 0^\circ + \frac{y-1.5}{37.5-1.5} 120^\circ = \frac{10}{3}(y-1.5) \quad (22-9)$$

لأن:

$$x_s = 1.0 \quad , \quad y_s = 1.5 \quad , \quad x_f = 5.0 \quad , \quad y_f = 37.5$$

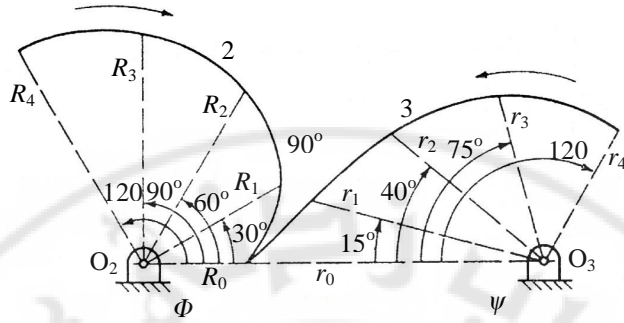
$$f_s = y_s = 0^\circ \quad , \quad \Delta f = \Delta y = 120^\circ$$

يمكن عندئذ حساب كل من Φ , ψ بدلالة قيم كل من x , y على التوالي ضمن المجال المحدد للمتغير x . يتم ذلك بإعطاء قيم معينة يكون عندها التابع المولد صحيحاً وفقاً للدقة التي ستجري الحسابات على أساسها .

إذا فرضنا النقاط (5 , 4 , 3 , 2 , 1) x ، فإنه ينتج من التعويض في المعادلتين (21-9) ، (22-9) ، وبعد تعيين قيم y الموافقة لهذه النقاط من معادلة التابع ($y = 1.5 x^2$) ، أن:

الوضع	x	y	Φ°	Ψ°
0	1	1.5	0	0
1	2	6	30	15
2	3	13.5	60	40
3	4	24	90	75
4	5	37.5	120	120

يبين (الشكل-9-13) التركيبة ، وقد رسمت عليه الزوايا Φ , ψ عند الأوضاع الخمسة ، وبفرض أن المسافة بين مركزي الدوران معلومة ، ولتكن ($O_2O_3 = 10 \text{ cm}$) .



(الشكل-9-13) إنشاء تركيبة ذات تماس مباشر تدرجي

أوضحنا سابقاً في الفقرة (3-9-3) أن شرط حدوث تدرج صرف بين الوصلتين المتماستين ، هو أن تقع نقطة التماس دوماً على الخط الواصل بين مركزي الدوران . وبالتالي فإنه ينتج من (الشكل-9-13) أنه يجب أن تتحقق العلاقة الآتية دوماً:

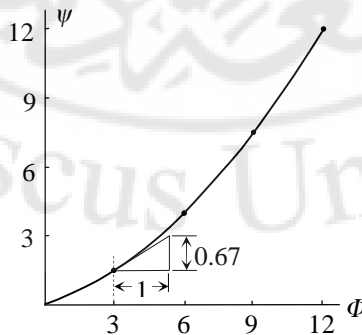
$$R + r = O_2O_3 \quad (23-9)$$

أي: إن مجموع نصفي قطري انحناء الوصلتين ثابت دوماً عند نقطة التماس ، ويساوي في هذه الحالة 10 cm .

يمكن الحصول على العلاقة الرياضية لتغيرات ψ بالنسبة إلى Φ من حلّ المعادلتين (22-9) ، (21-9) ، بعد التعويض من قيمة y بدلالة معادلة التابع ، حيث نحصل على:

$$y = 5\left(\frac{f}{30} + 1\right)^2 - 5 \quad (24-9)$$

يبين (الشكل-9-14) التمثيل البياني للمعادلة (24-9) ضمن مجال تغيرات ψ ، Φ .



(الشكل-9-14) التمثيل البياني لمعادلة .

بما أن الزاويتين ψ , Φ تمثلان الأوضاع الزاوية لكل من الوصلتين 2 , 3 على التوالي ، فإن ميل (Slope) المماس لمنحني (الشكل-9-14) يمثل نسبة السرعة الزاوية للوصلة 3 إلى الوصلة 2 ؛ أي: إن:

$$dy / df = w_3 / w_2 = R / r \quad (25-9)$$

لأن نسبة السرعة الزاوية في حالة تدرج صرف تتناسب عكسياً مع نصف قطري نقطة تماس الوصلتين الفقرة (3-9-3) .

ينتج من حل المعادلتين (23-9) , (25-9) ، أن:

$$r = \frac{O_2O_3}{1 + (dy / df)} \quad (26-9)$$

يمكن عندئذ تنظيم الجدول التالي لقيم R , r , $d\psi/d\Phi$ عند الأوضاع الخمسة التي بينت في الجدول السابق على أساس أن ($O_2O_3 = 10$ cm) :

الوضع	$d\psi/d\Phi$	$r(\text{cm})$	$R(\text{cm})$
0	0.33	7.5	2.5
1	0.67	6.0	4.0
2	1.00	5.0	5.0
3	1.33	4.3	5.7
4	1.67	3.8	6.2

وبالتالي فإنه يمكن رسم المنحنيين الممثلين لجانبية تماس كل من الوصلتين ؛ لتحقيق التابع ($y = 1.5x^2$) ، حيث تمثل الوصلة 2 في (الشكل-9-13) تغيرات الدخل x ، بينما تمثل الوصلة 3 تغيرات التابع y .

من الواضح أن دقة التابع تتعلق بدقة رسم كل من المنحنيين المارين بالنقاط الخمس المعينة وفق الجدول أعلاه .

يتضح من هذا البحث الموجز في طرائق إنشاء التركيبات الآلية ، أنه من الصعب وضع منهجية عامة يمكن تطبيقها دوماً ، رغم أنه توجد بعض المبادئ الأساسية التي يمكن الاعتماد عليها في أغلب عمليات الإنشاء ، إلا أن كل تصميم له خصائصه التي يجب إدراكها جيداً ؛ لتحقيق نتائج أفضل .

Problems

مسائل غير محلولة

م-9-1

المطلوب إنشاء تركيبة رباعية القضبان تحقق ميزات الحركة الآتية الآتية:

$$w_2 = 6 \text{ rad/sec} , \quad w_3 = 1 \text{ rad/sec} , \quad w_4 = 4 \text{ rad/sec}$$
$$e_2 = 0 \text{ rad/sec}^2 , \quad e_3 = 8 \text{ rad/sec}^2 , \quad e_4 = 4 \text{ rad/sec}^2$$

ومن ثم رسم تخطيط للتركيبة على أساس أن كل واحد سنتمتر يساوي وحدة قياس .

*

م-9-2

المطلوب إنشاء تركيبة رباعية القضبان تحقق ميزات الحركة الآتية الآتية:

$$w_2 = -3 \text{ rad/sec} , \quad w_3 = 1 \text{ rad/sec} , \quad w_4 = 3 \text{ rad/sec}$$
$$e_2 = 0 \text{ rad/sec}^2 , \quad e_3 = 10 \text{ rad/sec}^2 , \quad e_4 = 6 \text{ rad/sec}^2$$

ومن ثم رسم تخطيط للتركيبة على أساس أن كل واحد سنتمتر يساوي 10 وحدة قياس .

*

م-9-3

المطلوب تعيين نسب الأطوال لتركيبية رباعية القضبان لتوليد التابع:

$$y = \tan x$$

في المجال من $(x = 0^\circ)$ إلى $(x = 45^\circ)$ ، باستعمال مفهوم تباعد نقاط الدقة (الفقرة-9-2) ،
علماً أن:

$$f_s = 45^\circ , \quad \Delta f = 90^\circ , \quad y_s = 90^\circ , \quad \Delta y = 90^\circ$$

ومن ثم رسم التركيبية على أساس أن طول الوصلة الثابتة 3 cm .

م-9-4

المطلوب تصميم تركيبة رباعية القضبان تحقق التابع:

$$y = \frac{1}{x}$$

في المجال من $(x = 2.0)$ إلى $(x = 1.0)$ ، بحيث يكون التابع الناتج صحيحاً عند نقاط الدقة 2 , 1.5 , 1 . علماً أن الوصلة الثابتة تساوي 5 cm ، وأن:

$$f_s = 30^\circ , \quad \Delta f = 100^\circ , \quad y_s = 120^\circ , \quad \Delta y = 90^\circ$$

ومن ثم رسم التركيبة بمقياس 1 : 1 عند أوضاع نقاط الدقة المطلوبة الثلاث .

*

م-9-5

تستعمل تركيبة ذات تماس مباشر في نظام تحكم آلي لتوليد التابع:

$$y = \ln x$$

في المجال من $(x = 1.0)$ إلى $(x = 2.0)$.

المطلوب:

1. تصميم هذه التركيبة حيث Φ تتغير من $(0^\circ - 100^\circ)$ ، بينما ψ تتغير من $(0^\circ - 150^\circ)$ ، وذلك باستعمال تباعد متساو قدره 0.2 ضمن مجال المتغير x .
2. ارسم التركيبة في حالة البعد بين المركزين يساوي 8 cm .

*

References المراجع العلمية

1. **Anvoner, S.** *Solution of Problems in Theory of Machines*
Pitman, 1970
2. **Beggs, J. S.** *Mechanism*
McGraw - Hill, 1965
3. **Bevan, T.** *Theory of Machines*
Longmans, 1967
4. **Black, P. H.** *Machine Design*
McGraw - Hill, 1955
5. **Carver, W.B. & B. E. Quinn**
An Analytical Method of Cam Design
Mech. Eng. August 1945
6. **Dyson, F.** *Principles of Mechanism*
Oxford University Press, 1964
7. **Faires, V. M.** *Mechanism*
McGraw - Hill, 1960
8. **Freudenstein, F.** *Approximate Synthesis of Four-Bar linkages*
Trans, ASME, Vol. 77, 1955
9. **Frost,** *Kinetics and Mechanism*
John Wiley, 1986
10. **Green, W. G.** *Theory of Machines*
Blackie, 1967
11. **Ham, C. W. & E. J. Crane & W. L. Rogers**
Mechanics of Machinery
McGraw - Hill, 1958

- 12. Hannah, J. & R. C. Stephens**
Mechanics of Machines
Arnold. 1987
- 13. Hartenberg, R. S. & J. Denavit**
Kinematic Synthesis of Linkages
McGraw - Hill, 1964
- 14. Hinkle, R. T.** *Kinematic of Machines*
Prentice - Hill, 1964
- 15. Hirschorn, J.** *Kinetics & Dynamics of Plane Mechanisms*
McGraw - Hill, 1962
- 16. Howard, P. J.** *Theory of Machines*
Macdonald, 1966
- 17. Kent, R. T.** *Mechanical Engineers Handbook,*
John Wiley, 1987
- 18. Khurmi, R. S. & J. K. Gupta**
Theory of Machines
Schand & Co ltd 2005 NewDelhi
- 19. Kloomok, M. & R. V. Muffley**
Plate Cam Design,
Prod. Eng. May/September 1955
- 20. Le Borzec, R.** *Principe de la Théorie des Mécanismes*
Dunod, 1975
- 21. Lent, D.** *Analysis and Design of Mechanisms*
Prentice - Hill, 1970
- 22. Mabie, H. H. & C. F. Reinholtz**
Mechanisms and Dynamics
of Plane Machinery
John Wiley, 1987

- 23. Maleev, V. L. & J. B. Hartman**
Machine Design
International Textbook Co. 1960
- 24. Martin, G. H.** *Kinematics & Dynamics of Machines*
McGraw - Hill, 1976
- 25. Rosenauer, N.** *Complex Variable Method*
for Synthesis of Four Bar Linkages
Australian J. Appl. Sci. Vol. 5, N° 4, 1954
- 26. Rothbart, H. A.** *Cams*
John Wiley, 1956
- 27. Shigley, J. E.** *Theory of Machines*
McGraw - Hill, 1988
- 28. Shigley, J. E.** *Kinematics Analysis of Mechanisms*
McGraw - Hill, 1969
- 29. Toft, L. & A. J. Kersey**
Theory of Machines
Pitman, 1959
- 30. Varnum, E. C.** *Circular Monogram*
Theory and Construction Technique
Prod. Eng. August 1951
- 31. Winston, S. E.** *Mechanisms*
American Technical Society, 1961
- 32. О.Н. Левитская & Н.И. Левитская**
Курс Теории Механизмов и Машин
Москва, "Высшая Школа" 1985
- 33. А.А. Яблонский**
Сборник Заданий для Курсовых Работ по
Теоретической Механике
Москва, "Высшая Школа" 1985

ج. حنا & ر. س. ستيفنس - النظريات الأساسية في ميكانيكا الآلات - أمثلة ومسائل محلولة .

ترجمة أ. د. صلاح الدين محمد المهدي - أ. د. أحمد محمد حسين

الدار العربية للنشر والتوزيع - 1998



<i>Abscissa</i>	إحداثي أفقي
<i>Absolute</i>	مطلق
<i>Acceleration</i>	تسارع
<i>Acceleration diagram</i>	مخطط تسارع
<i>Accuracy</i>	دقة
<i>Active</i>	فعال
<i>Addendum</i>	ساق السن
<i>Addendum angle</i>	زاوية الساق
<i>Addendum circle</i>	دائرة الساق
<i>Advance</i>	تقدم
<i>Alignment</i>	تسامت
<i>Amplitude</i>	سعة - مطال
<i>Analogue computer</i>	حاسب تمثيلي أو تشابهي
<i>Analysis</i>	تحليل
<i>Analytical</i>	تحليلي
<i>Analytical method</i>	طريقة تحليلية
<i>Angle</i>	زاوية
<i>Angle of action</i>	زاوية العمل
<i>Angle of advance</i>	زاوية التقديم أو التسبيق
<i>Angle of approach</i>	زاوية الاقتراب أو التجاوب
<i>Angle of friction</i>	زاوية الاحتكاك
<i>Angle of obliquity</i>	زاوية الميل
<i>Angle of recess</i>	زاوية الابتعاد أو الانحسار
<i>Angular</i>	زاوي
<i>Angular acceleration</i>	تسارع زاوي
<i>Angular displacement</i>	إزاحة زاوية

<i>Angular position</i>	وضع زاوي
<i>Angular velocity</i>	سرعة زاوية
<i>Annular</i>	حلقي
<i>Annular gear</i>	مسنن حلقي أو داخلي
<i>Annulus</i>	حلقة - طوق
<i>Anti - clockwise direction</i>	اتجاه عكس دوران عقارب الساعة
<i>Apex</i>	ذروة
<i>Apparatus</i>	جهاز
<i>Approximation</i>	تقريب
<i>Arc</i>	قوس
<i>Arc of approach</i>	قوس الاقتراب أو التجارب
<i>Arc of contact (action)</i>	قوس التماس أو العمل
<i>Arc of recess</i>	قوس الابتعاد أو الانحسار
<i>Argument of a vector</i>	زاوية شعاع - السعة الزاوية أو الطور
<i>Arm</i>	ذراع
<i>Arrangement</i>	ترتيب
<i>Assembly</i>	مجموعة - تجميع
<i>Assumption</i>	افتراض
<i>Asymmetry</i>	لا تماثل - لا تناظر
<i>Automatic</i>	آلي - تلقائي أو أوتوماتيكي
<i>Average</i>	معدل - متوسط
<i>Average velocity</i>	سرعة وسطية
<i>Axial</i>	محوري
<i>Axial pitch</i>	خطوة محورية
<i>Axial thrust</i>	دفع محوري
<i>Axis</i>	محور
<i>Axis of rotation</i>	محور الدوران
<i>Axis of symmetry</i>	محور التناظر
<i>Axle</i>	محور الدولاب - جزع

B

<i>Back cone</i>	مخروط خلفي
<i>Backlash</i>	فوت
<i>Balance</i>	ميزان - توازن
<i>Balancing</i>	موازنة
<i>Ball</i>	كرة
<i>Ball bearing</i>	محمل الكرات أو خرداق
<i>Ball governor</i>	منظم سرعة ذو كرات
<i>Base circle</i>	دائرة الأساس - دائرة أساسية
<i>Basic Pitch</i>	خطوة أساسية
<i>Basic rack</i>	جريدة أساسية
<i>Bearing</i>	محمل
<i>Bell - crank lever</i>	رافعة مرفقية
<i>Belt</i>	سير
<i>Bending</i>	انحناء - ثني
<i>Bevel gear</i>	مسنن مخروطي
<i>Binary</i>	ثنائي
<i>Body</i>	جسم
<i>Brake</i>	مكبج
<i>Bull pump</i>	مضخة نطاحة

C

<i>Cam</i>	كام
<i>Cam follower</i>	تابع الكام
<i>Cam lift</i>	رفع الكام
<i>Cam lobe - Cam nose</i>	نتوء الكام - أنف الكام
<i>Cam profile</i>	جانبية الكام
<i>Camshaft</i>	عمود الكامات
<i>Car steering gear</i>	تركيبية توجيه السيارة
<i>Casing</i>	غلاف - حوض

<i>Centre</i>	مركز
<i>Centre distance</i>	بعد مركزي
<i>Centre line</i>	خط المركز - خط التناظر
<i>Centre of curvature</i>	مركز الانحناء
<i>Centre of gravity</i>	مركز الثقل
<i>Centre of rotation</i>	مركز الدوران
<i>Centre of suspension</i>	مركز التعليق
<i>Centrifugal</i>	ناذب - طارد من المركز
<i>Centrifugal force</i>	قوة نابذة
<i>Centrifugal governor</i>	منظم نابذ - منظم بالطرد المركزي
<i>Centripetal acceleration</i>	تسارع ناظمي أو جاذب
<i>Chain</i>	سلسلة
<i>Characteristic</i>	ميزة - خاصة - مميز
<i>Circular</i>	دائري
<i>Circular motion</i>	حركة دائرية
<i>Circular path</i>	مسار دائري
<i>Circular pitch</i>	خطوة دائرية
<i>Clamp</i>	ممسك
<i>Clearance</i>	خلوص
<i>Clockwise direction</i>	اتجاه دوران عقارب الساعة
<i>Close fit</i>	توافق دقيق
<i>Co - axial</i>	متحد المحور
<i>Coefficient</i>	معامل
<i>Coefficient of fluctuation of energy</i>	معامل تراوح القدرة
<i>Coefficient of fluctuation of speed</i>	معامل تراوح السرعة
<i>Coefficient of friction</i>	معامل الاحتكاك
<i>Collineation axis</i>	محور التآلف - التسامت
<i>Common</i>	مشارك - مألوف
<i>Common axis</i>	محور مشترك

<i>Common normal</i>	ناظم مشترك
<i>Common tangent</i>	مماس مشترك
<i>Comparison</i>	مقارنة
<i>Compatibility</i>	إنسجام - ملائمة - توافق
<i>Complex</i>	مركب - معقد التركيب
<i>Complex number</i>	عدد مركب
<i>Component</i>	مركبة
<i>Component of a vector</i>	مركبة شعاع
<i>Compound</i>	مركب - مجمع
<i>Compound Chain</i>	سلسلة مركبة
<i>Compound link</i>	وصلة مركبة
<i>Compound pendulum</i>	نواس مركب
<i>Compression</i>	ضغط - انضغاط
<i>Compression spring</i>	نابض انضغاط
<i>Compression stroke</i>	شوط الانضغاط
<i>Concentric</i>	متحد المركز
<i>Condition</i>	شرط
<i>Cone</i>	مخروط
<i>Cone angle</i>	زاوية المخروط
<i>Conjugate teeth</i>	أسنان مترافقة
<i>Connecting rod</i>	ذراع توصيل
<i>Connection</i>	توصيل - ربط
<i>Conservation of energy</i>	حفظ القدرة
<i>Constant</i>	ثابت
<i>Constrained motion</i>	حركة مقيدة
<i>Constraint</i>	قيد - تقييد
<i>Contact</i>	تماس
<i>Contact ratio</i>	نسبة التماس
<i>Continuous</i>	مستمر

<i>Control</i>	تحكم
<i>Controlling force</i>	قوة منظمة
<i>Coordinate</i>	إحداثي
<i>Coordinate axes</i>	محاور الإحداثيات
<i>Coordinate system</i>	جملّة إحداثيات
<i>Copying Machine</i>	آلة ناسخة
<i>Coriolis acceleration</i>	تسارع كوريوليس
<i>Correction</i>	تصحيح
<i>Correction factor</i>	معامل تصحيح
<i>Correction torque</i>	عزم تصحيح
<i>Corresponding</i>	موافق - مناظر
<i>Corresponding lines</i>	خطوة متناظرة
<i>Corresponding points</i>	نقاط متناظرة
<i>Cosine motion</i>	حركة تجيبية
<i>Counter clockwise direction</i>	عكس اتجاه دوران عقارب الساعة
<i>Countershaft</i>	عمود مناولة - عمود وسيط
<i>Coupler</i>	وصلة قارئة
<i>Coupling</i>	قارئة
<i>Crank</i>	مرفق
<i>Crank pin</i>	مسمار أو وتد المرفق
<i>Crankshaft</i>	عمود المرفق
<i>Critical</i>	حدي - حرج
<i>Cross hatching</i>	ترقيين عرضي - تهشير
<i>Crown gear</i>	مسنن تاجي
<i>Curvature</i>	انحناء
<i>Curve</i>	منحني
<i>Curvilinear motion</i>	حركة منحنية
<i>Cusp</i>	رأس مؤنف أو مدبب
<i>Cutting</i>	قطع

<i>Cutting angle</i>	زاوي القطع
<i>Cutting stroke</i>	شوط القطع
<i>Cutting tool</i>	عدة القطع
<i>Cycle</i>	دورة
<i>Cycloid</i>	منحني دويري أو سيكلويدي
<i>Cycloidal motion</i>	حركة دويرية
<i>Cylinder</i>	أسطوانة
<i>Cylinder block</i>	مجموعة الأسطوانات
<i>Cylinder casing</i>	غلاف الأسطوانة
<i>Cylindrical</i>	أسطواني
<i>Cylindrical Cam</i>	كامة أسطوانية
<i>Cylindrical surface</i>	سطح أسطواني
D	
<i>Deal load</i>	حمل ميت
<i>Deal point</i>	نقطة ميتة
<i>Deal weight</i>	وزن ميت
<i>Deal weight governor</i>	منظم محمل بحمل ميت
<i>Deceleration</i>	تباطؤ
<i>Dedendum</i>	جذر السن
<i>Dedendum angle</i>	زاوية الجذر
<i>Dedendum circle</i>	دائرة الجذر
<i>Definition</i>	تعريف
<i>Degree</i>	درجة
<i>Degree of accuracy</i>	درجة الدقة
<i>Degree of freedom</i>	درجة الطلاقة
<i>Density</i>	كثافة
<i>Derivative</i>	مشتق
<i>Design</i>	تصميم
<i>Determinant</i>	محدد - معينة

<i>Deviation</i>	انحراف
<i>Diagram</i>	مخطط
<i>Diameter</i>	قطر
<i>Diametric</i>	قطري - باتجاه القطر
<i>Diametric increment</i>	فرق - زيادة قطرية
<i>Diametric pitch</i>	خطوة قطرية
<i>Diametric plane</i>	مستوي قطري
<i>Difference</i>	فرق
<i>Differential</i>	تفاضلي
<i>Differential equation</i>	معادلة تفاضلية
<i>Differential mechanism</i>	تركيبة تفاضلية
<i>Differential motion</i>	حركة تفاضلية
<i>Differential stroke engine</i>	آلة تفاضلية الشوط
<i>Differentiation</i>	مفاضلة - تفاضل
<i>Dimensional synthesis</i>	إنشاء بعدي
<i>Direct</i>	مباشر
<i>Direct contact</i>	تماس مباشر
<i>Direct method</i>	طريقة مباشرة
<i>Direction</i>	اتجاه
<i>Direction of force</i>	اتجاه القوة
<i>Direction of motion</i>	اتجاه الحركة
<i>Direction of rotation</i>	اتجاه الدوران
<i>Disc</i>	قرص
<i>Disc cam</i>	كامة قرصية
<i>Disc flywheel</i>	حذافة قرصية
<i>Displacement</i>	إزاحة
<i>Displacement curve</i>	منحني الإزاحة
<i>Displacement of follower</i>	إزاحة التابع
<i>Distance</i>	مسافة - بعد

<i>Distortion</i>	تشويه - تشويه
<i>Double crank</i>	مرفق مضاعف
<i>Double helical gear</i>	مسنن حلزوني مزدوج
<i>Double rocker</i>	متأرجح مضاعف
<i>Double slider - crank mechanism</i>	تركيبية المنزلقتين والمرفق
<i>Down-stroke</i>	شوط الخفض أو النزول
<i>Drive - Driving</i>	قيادة - إدارة
<i>Drive axle</i>	محور تدوير
<i>Drive belt</i>	سبير نقل الحركة
<i>Drive gear</i>	مسنن قائد
<i>Drive mechanism</i>	آلية إدارة
<i>Drive motor</i>	محرك إدارة
<i>Drive ratio</i>	نسبة النقل
<i>Drive shaft</i>	عمود إدارة
<i>Drive wheel</i>	دولاب - عجلة إدارة
<i>Driven</i>	مقود - مدار
<i>Driven gear</i>	مسنن مقود
<i>Driven link</i>	وصلة مقودة
<i>Driving shaft</i>	عمود إدارة
<i>Driving wheel</i>	دولاب إدارة
<i>Driver</i>	قائد
<i>Dwell angle</i>	زاوية السكون
<i>Dynamic</i>	ديناميكي
<i>Dynamic analysis</i>	تحليل ديناميكي
<i>Dynamic balance</i>	اتزان ديناميكي
<i>Dynamic equilibrium</i>	توازن ديناميكي
<i>Dynamic load</i>	حمل ديناميكي
<i>Dynamics</i>	علم الديناميك

E

<i>Eccentric</i>	لا مركزي - مختلف المركز
<i>Eccentric circles</i>	دوائر لا مركزية
<i>Eccentric load</i>	حمل لا مركزي
<i>Eccentric shaft</i>	عمود إدارة لا مركزي
<i>Eccentricity</i>	لا مركزية
<i>Edge</i>	حرف - حافة
<i>Effective</i>	فعال
<i>Effective depth</i>	عمق فعال
<i>Effective force</i>	قوة فعالة
<i>Effective length</i>	طول فعال
<i>Effective torque</i>	عزم فعال
<i>Efficiency</i>	مردود
<i>Efficiency curve</i>	منحني المردود
<i>Efficiency of a machine</i>	مردود آلة
<i>Effort</i>	جهد
<i>Elasticity</i>	مرونة
<i>Element</i>	عنصر - جزء
<i>Ellipse</i>	قطع ناقص
<i>Elliptic trammel (Ellipsograph)</i>	راسم القطع الناقص
<i>Empirical</i>	تجريبي
<i>Energy</i>	طاقة - قدرة
<i>Energy input</i>	طاقة مبذولة
<i>Energy output</i>	طاقة ناتجة
<i>Energy transfer</i>	تحول أو انتقال الطاقة
<i>Engage</i>	عشق
<i>Engagement</i>	تعشيق
<i>Engine</i>	محرك - آلة
<i>Engine block</i>	مجموعة المحرك

<i>Engine efficiency</i>	مردود المحرك
<i>Engine frame</i>	هيكل المحرك
<i>Engine indicator</i>	رأس منحنى المحرك
<i>Engine performance</i>	أداء المحرك
<i>Engine power</i>	قدرة - استطاعة المحرك
<i>Engine shaft</i>	عمود المحرك
<i>Engine speed</i>	سرعة المحرك
<i>Epicycle</i>	دويري
<i>Epicycle gear (planet)</i>	مسنن دويري أو كوكبي
<i>Equation</i>	معادلة
<i>Equation of equilibrium</i>	معادلة التوازن
<i>Equation of motion</i>	معادلة الحركة
<i>Equilibrium</i>	توازن
<i>Equilibrium conditions</i>	شروط التوازن
<i>Equilibrium of forces</i>	توازن القوى
<i>Equilibrium of moments</i>	توازن العزوم
<i>Equilibrium speed</i>	سرعة الاتزان
<i>Equilibrium state</i>	حالة التوازن أو الاتزان
<i>Equivalent</i>	مكافئ
<i>Equivalent dynamical systems</i>	مجموعات متكافئة ديناميكية
<i>Equivalent length</i>	طول مكافئ
<i>Equivalent mechanism</i>	تركيبة مكافئة
<i>Equivalent weight</i>	وزن مكافئ
<i>Error</i>	خطأ
<i>Exhaust</i>	العادم - غازات مستهلكة
<i>Exhaust pressure</i>	ضغط العادم
<i>Exhaust stroke</i>	شوط الانفلات
<i>Expansion</i>	تمدد - توسيع
<i>Expansion stroke</i>	شوط التمدد

<i>Experience</i>	خبرة
<i>Experiment</i>	تجربة - اختبار
<i>Exponent</i>	أس
<i>Expression</i>	عبارة - تعبير
<i>External</i>	خارجي
<i>External force</i>	قوة خارجية
<i>External gearing</i>	مسننات ذات تعشيق خارجي
<i>Extreme</i>	حدي - قصي
<i>Extreme position</i>	وضع حدي
<i>Extreme pressure</i>	ضغط حدي
<i>Extreme value</i>	قيمة حدية
F	
<i>Face</i>	وجه - سطح خارجي
<i>Factor</i>	عامل
<i>Factor of safety</i>	عامل الأمان
<i>Feather key</i>	خابور انزلاقي متوازي
<i>Feed</i>	تغذية - تلقيم
<i>Feed gear</i>	آلية التغذية
<i>Feed rate</i>	معدل التغذية
<i>Field</i>	مجال - حقل
<i>Field of force</i>	مجال القوة
<i>Fit</i>	توافق - ازواج
<i>Flank</i>	جانب
<i>Flat</i>	مسطح - مستو
<i>Flat follower</i>	تابع مسطح
<i>Flat plate</i>	صفيحة مستوية
<i>Flexible</i>	لين - مرن - قابل للانثناء
<i>Flexible link</i>	وصلة مرنة
<i>Fluctuation</i>	تراوح - تذبذب

<i>Fluctuation of energy</i>	تراوح القدرة
<i>Fluctuation of speed</i>	تراوح السرعة
<i>Flywheel</i>	حذافة - دولاب معدل
<i>Follower</i>	تابع
<i>Force</i>	قوة
<i>Force closed</i>	مغلق قسريا
<i>Force of friction</i>	قوة الاحتكاك
<i>Force of gravity</i>	قوة الجاذبية
<i>Force polygon</i>	مضلع القوى
<i>Form</i>	شكل - صيغة
<i>Form closure</i>	إغلاق - تقييد بالشكل
<i>Formative</i>	تكويني - تشكيلي
<i>Forming</i>	تشكيل
<i>Forming cutter (tool)</i>	عدة تشكيل
<i>Forming press</i>	مكبس تشكيل
<i>Four bar mechanism</i>	تركيبة رباعية القضبان
<i>Frame</i>	هيكل - إطار
<i>Free body diagram</i>	مخطط الجسم الحر
<i>Frequency</i>	تواتر - تردد
<i>Friction</i>	احتكاك
<i>Friction circle</i>	دائرة الاحتكاك
<i>Friction disk</i>	قرص احتكاك
<i>Friction drive</i>	آلية إدارة بالاحتكاك
<i>Friction force</i>	قوة الاحتكاك
<i>Friction torque</i>	عزم الاحتكاك
<i>Full - load</i>	حمل كلي - حمل كامل
<i>Function</i>	دالة - تابع
<i>Functional</i>	وظيفي
<i>Fundamental</i>	أساسي

G

<i>Gear</i>	مسنن
<i>Gear assembly</i>	جملة أو مجموعة مسننات
<i>Gear box</i>	علبة مسننات - علبة السرعة
<i>Gear cutter</i>	عدة قطع المسننات
<i>Gear drive</i>	آلية إدارة بالمسننات
<i>Gear features</i>	مقومات المسننات
<i>Gear tooth</i>	سن المسنن
<i>Gear train</i>	سلسلة أو مجموعة مسننات
<i>Gearing</i>	تعشيق أو مجموعة المسننات
<i>Gearing ratio</i>	نسبة التعشيق
<i>Generating</i>	توليد - تكوين
<i>Generating line</i>	خط مولد - راسم
<i>Generating set</i>	مجموعة توليد
<i>Generator</i>	مولد كهربائي
<i>Governor</i>	منظم - حاكم
<i>Governor arms</i>	أذرع المنظم
<i>Governor balls</i>	كرات المنظم
<i>Governor effort</i>	جهد المنظم
<i>Governor spindle</i>	عمود دوران أو محور المنظم
<i>Graph</i>	رسم منحنى بياني
<i>Graphical</i>	تخطيطي
<i>Gravitational</i>	انجاذبي - ثقالي
<i>Gravitational acceleration</i>	تسارع الجاذبية
<i>Gravitational force</i>	قوة الجاذبية أو الثقالة
<i>Gravity</i>	جاذبية - ثقالة
<i>Groove</i>	مجرى - اخدود
<i>Gudgeon pin</i>	إصبع المكبس
<i>Guide</i>	دليل - مرشد - موجه

H

<i>Harmonic</i>	توافقي
<i>Harmonic analysis</i>	تحليل توافقي
<i>Harmonic curve</i>	منحني الحركة التوافقية
<i>Harmonic frequency</i>	تواتر توافقي
<i>Harmonic function</i>	دالة توافقية
<i>Harmonic motion</i>	حركة توافقية
<i>Helical</i>	حلزوني - لولبي
<i>Helical gear</i>	مسنن حلزوني
<i>Helical motion</i>	حركة حلزونية أو لولبية
<i>Helical teeth</i>	أسنان حلزونية
<i>Helix</i>	حلزون
<i>Helix angle</i>	زاوية الحلزون
<i>Herringbone (Double helical) gear</i>	مسنن حلزوني مزدوج
<i>Higher pair</i>	ازدواج علوي
<i>Hinge</i>	مفصل
<i>Hob</i>	عدة تشكيل المسننات
<i>Hobbling machine</i>	آلة تشكيل المسننات
<i>Homogeneous</i>	متجانس
<i>Homogeneity</i>	تجانس
<i>Hooke Law</i>	قانون هوك
<i>Hub</i>	جزعة - صرة
<i>Hydraulic</i>	هيدروليكي
<i>Hydraulic control</i>	تحكم هيدروليكي
<i>Hydraulic drive</i>	إدارة هيدروليكية
<i>Hydraulic press</i>	مكبس هيدروليكي
<i>Hyperboloid</i>	سطح زائد دوراني
<i>Hypoid gear</i>	مسنن هيبودي
<i>Hysteresis</i>	تخلف - تأخر - مرن

I

<i>Identical</i>	مماثل - متطابق
<i>Identical degree of freedom</i>	درجات الطلاقة المتطابقة
<i>Idle</i>	عاطل - خامل
<i>Idle gear (Idler)</i>	مسنن وسيط
<i>Idle shaft</i>	عمود إدارة وسيط أو مناوِل
<i>Idle stroke</i>	شوط عاطل
<i>Ignition</i>	إشعال
<i>Image</i>	خيال
<i>Imaginary</i>	تخيلي - خيالي
<i>Impact</i>	صدم
<i>Impulse</i>	نبضة - دفع
<i>Inclined plane</i>	مستوي مائل
<i>Incompressible</i>	غير قابل للانضغاط
<i>Increment</i>	زيادة - فرق
<i>Index</i>	دليل - مؤشر
<i>Index pin</i>	مسمار التعليم أو التأشير
<i>Index plate - wheel</i>	لوحة أو قرص التعليم
<i>Inertia</i>	عطالة
<i>Inertia force</i>	قوة العطالة
<i>Inertia governor</i>	منظم عطالي
<i>Inertia torque</i>	عزم عطالي - عزم قوة العطالة
<i>Initial</i>	ابتدائي - أولي
<i>Insensitiveness</i>	عدم الحساسية
<i>Instantaneous</i>	لحظي - آني
<i>Instantaneous centre</i>	مركز لحظي
<i>Instantaneous value</i>	قيمة آنية
<i>In-stroke</i>	شوط العودة أو الاقتراب
<i>Instrument</i>	جهاز قياس

<i>Integration</i>	تكامل - مكاملة
<i>Interchangeable</i>	قابل للتبادل
<i>Interference</i>	تداخل
<i>Intermediate</i>	متوسط - وسيط
<i>Intermediate shaft</i>	عمود إدارة وسيط
<i>Intermittent</i>	متقطع - متناوب
<i>Internal</i>	داخلي
<i>Internal combustion engine</i>	محرك احتراق داخلي
<i>Internal gearing</i>	مسننات ذات تعشيق داخلي
<i>Inverse</i>	عكسي - مقلوب
<i>Inverse cam</i>	كامة عكسية
<i>Inverse operation</i>	عملية عكسية
<i>Inversion</i>	انعكاس - انقلاب
<i>Inversion mechanism</i>	تركيبة عكسية - متحول تركيبة
<i>Inversion of motion</i>	انعكاس الحركة
<i>Inversion point</i>	نقطة الانقلاب
<i>Involute curve</i>	منحني انفليوتي
<i>Involute teeth</i>	أسنان انفليوتية
<i>Isochronism</i>	ثبات السرعة - توافقت
<i>Isochronous governor</i>	منظم وحيد السرعة
<i>J</i>	
<i>Jack</i>	مرفاع السيارة
<i>Jam</i>	زلق - حشر
<i>Jamming</i>	صدب - كربة
<i>Jaw</i>	فك - لقمة
<i>Jerk</i>	رجفة - هزة شديدة - نخعة
<i>Jig borer</i>	مثقب حفر دقيق
<i>Joint</i>	مفصل - توصيلة
<i>Journal bearing</i>	محمل مقعد العمود-محمل قطري إنزلاقي

K

<i>Key</i>	خابور
<i>Kinematic</i>	حركي
<i>Kinematic analysis</i>	تحليل حركي
<i>Kinematic chain</i>	سلسلة حركية
<i>Kinematic diagram</i>	مخطط حركي
<i>Kinematic pair</i>	ازدواج حركي
<i>Kinematics</i>	علم الحركة
<i>Kinetic energy</i>	طاقة - قدرة حركية
<i>Kinetics</i>	علم التحريك
<i>Knife - edge</i>	حد السكين
<i>Knife follower</i>	تابع مدبب
<i>Knuckle joint</i>	وصلة مفصلية
<i>Lathe</i>	مخرطة
<i>Lay shaft</i>	عمود مناوئ أو وسيط
<i>Lead</i>	قودة - تقدم
<i>Lead angle</i>	زاوية القودة
<i>Left - hand spiral</i>	لولب يساري
<i>Left thread</i>	سن يساري اللولبة
<i>Length</i>	طول
<i>Level</i>	مستوي - منسوب
<i>Lift - Lift-stroke</i>	رفع - شوط الرفع
<i>Lift angle</i>	زاوية الرفع
<i>Limit</i>	حد - نهاية
<i>Limit load</i>	حمل حدي
<i>Line</i>	خط
<i>Line of action</i>	خط العمل
<i>Line of centers</i>	خط المراكز

<i>Line of contact</i>	خط التماس
<i>Line of stroke</i>	خط الشوط
<i>Linear</i>	خطي
<i>Linear motion</i>	حركة خطية
<i>Link</i>	وصلة - حلقة
<i>Linkage</i>	تركيبة مرفقية
<i>Locked chain</i>	سلسلة مقفلة
<i>Locking plate</i>	لوحة إحكام أو تثبيت
<i>Locknut</i>	عزقة تثبيت
<i>Locus</i>	محل هندسي
<i>Lower pair</i>	إزدواج سفلي
<i>Lubrication</i>	تزييت
<i>Machine</i>	آلة
<i>Machine design</i>	تصميم الآلات
<i>Machine foundation</i>	قاعدة تثبيت الآلة
<i>Machine tool</i>	آلة تشغيل
<i>Magnification</i>	تكبير
<i>Magnitude</i>	مقدار - قيمة مطلقة
<i>Major axis</i>	المحور الأكبر
<i>Mass</i>	كتلة
<i>Matching</i>	مواءمة - مطابقة
<i>Maximum value</i>	قيمة عظمى
<i>Mechanical drive</i>	آلية إدارة أو قيادة ميكانيكية
<i>Mechanism</i>	تركيبة آلية
<i>Milling machine</i>	آلة تفريز
<i>Minimum value</i>	قيمة دنيا أو صغرى
<i>Minor axis</i>	المحور الأصغر
<i>Miter gears</i>	مسننات مخروطية مشطوبة

<i>Model</i>	نموذج
<i>Module</i>	موديول - وحدة قياس
<i>Modulus of vector</i>	طويلة أو قيمة مطلقة لشعاع
<i>Moment</i>	عزم
<i>Moment of inertia</i>	عزم العطالة
<i>Momentum</i>	كمية الحركة أو الدفع
<i>Motion</i>	حركة
<i>Motor</i>	محرك
<i>Multi - cylinder engine</i>	محرك متعدد الأسطوانات
<i>Multiple pair</i>	ازدواج مضاعف
<i>Negative</i>	سالبة
<i>Neutral</i>	محايد - حيادي
<i>Noise</i>	ضجيج - تشويش
<i>No - load</i>	لا حمل - بدون حمل
<i>Nominal</i>	اسمي
<i>Nominal value</i>	قيمة اسمية
<i>Nomogram</i>	نوموغرام - رسم بياني ثلاثي المتغيرات
<i>Normal</i>	ناظمي - متعامد
<i>Normal acceleration</i>	تسارع ناظمي
<i>Normal axis</i>	محور متعامد
<i>Normal component</i>	مركبة ناظمية أو عمودية
<i>Normal pitch</i>	خطوة ناظمية
<i>Normal plane</i>	مستوي ناظمي أو عمودي
<i>Number synthesis</i>	إنشاء عددي
<i>Nut</i>	عزقة - صامولة

O

<i>Oblique</i>	مائل
<i>Obvious centre</i>	مركز لحظي ابتدائي أو واضح

<i>Offset</i>	حيد - مجنب
<i>Offset follower</i>	تابع مجنب
<i>Operation</i>	عملية
<i>Opposite direction</i>	اتجاه معاكس أو مضاد
<i>Optimum</i>	أفضل
<i>Ordinate</i>	إحداثي رأسي - ترتيب
<i>Original</i>	أصلي
<i>Orthogonal</i>	عمودي - متعامد
<i>Oscillation</i>	نوسان - تذبذب - تأرجح
<i>Out-stroke</i>	شوط الذهاب أو الابتعاد
<i>Overall</i>	كلي - اجمالي
<i>Overwinding</i>	لف زائد
<i>Pair</i>	إزدواج - زوج
<i>Pantograph</i>	منساخ أو بانتوغراف
<i>parallel</i>	موازي
<i>Parameter</i>	بارامتر - مقدار تغير القيمة - وسيط
<i>Path</i>	مسار - منحنى
<i>Path of contact</i>	مسار التماس
<i>Path of motion</i>	مسار الحركة
<i>Pawl</i>	لسين إيقاف - ظفر
<i>Pendulum</i>	نواس
<i>Pendulum pump</i>	مضخة نواصة
<i>Performance</i>	أداء
<i>Period</i>	دور - زمن دورة
<i>Periodical</i>	دوري
<i>Permissible</i>	مسموح به
<i>Perpendicular</i>	عمودي - متعامد
<i>Phase</i>	طور

<i>Pin</i>	مسمار - وتد صغير
<i>Pinion</i>	تريس
<i>Piston</i>	مكبس - كباس
<i>Pitch</i>	خطوة
<i>Pitch circle</i>	دائرة الخطوة
<i>Pitch cone</i>	مخروط الخطوة
<i>Pitch cylinder</i>	اسطوانة الخطوة
<i>Pitch line</i>	خط الخطوة
<i>Pitch point</i>	نقطة الخطوة
<i>Pitch surface</i>	سطح الخطوة
<i>Pivot</i>	محور ارتكاز - مرتكز
<i>Pivot centre</i>	مركز لحظي مسندي
<i>Plane</i>	مستوي
<i>Plane mechanism</i>	تركيبة مستوية
<i>Plane motion</i>	حركة مستوية
<i>Plane of motion</i>	مستوي الحركة
<i>Plane of rotation</i>	مستوي الدوران
<i>Planetary</i>	كوكبي
<i>planetary gear train</i>	مجموعة مسننات كوكبية
<i>Planet carrier (Arm)</i>	حامل مسننات كوكبية
<i>Planimeter</i>	ممساح - جهاز قياس المساحات
<i>Polar</i>	قطبي
<i>Polar Coordinates</i>	إحداثيات قطبية
<i>Pole</i>	قطب
<i>Polynomial</i>	متعدد حدود
<i>Position</i>	وضع - موضع
<i>Positive</i>	موجب
<i>Potential energy</i>	طاقة أو قدرة كامنة

<i>Power</i>	قدرة - استطاعة
<i>Precision</i>	دقة - ضبط
<i>Press</i>	مكبس - آلة كبس
<i>Pressure angle</i>	زاوية الضغط
<i>Primary</i>	ابتدائي - أولي
<i>Primary centre</i>	مركز لحظي ابتدائي
<i>Prime circle</i>	دائرة أولية
<i>Principal</i>	رئيسي - رئيس
<i>Principle</i>	مبدأ
<i>Projection</i>	إسقاط
<i>Proportional</i>	تناسبي - متناسب
<i>Pulley</i>	بكرة
<i>Pulse</i>	نبضة
<i>Pump</i>	مضخة
<i>Punch</i>	عدة تخريم - سنك
<i>Punch press</i>	مكبس تخريم
Q	
<i>Quadrant</i>	ربع دائرة
<i>Quadratic</i>	تربيعي
<i>Quadratic Equation</i>	معادلة من الدرجة الثانية
<i>Quality</i>	نوعية - جودة
<i>Quantity</i>	كمية
<i>Quick</i>	سريع
<i>Quick return motion</i>	حركة سريعة الارتداد
<i>Quotient</i>	حاصل - خارج القسمة
R	
<i>Rack</i>	جريدة مسننة
<i>Radial</i>	نصف قطري - باتجاه القطر أو المركز
<i>Radial cam</i>	كامة قرصية

<i>Radial component</i>	مركبة نصف قطرية أو ناظرية
<i>Radius</i>	نصف القطر
<i>Radius of curvature</i>	نصف قطر الانحناء
<i>Radius of gyration</i>	نصف قطر العطالة
<i>Ratchet</i>	سقاطة
<i>Ratchet mechanism</i>	تركيبية السقاطة
<i>Ratchet pawl</i>	لسين أو ظفر السقاطة
<i>Ratchet wheel</i>	دولاب أو ترس السقاطة
<i>Range</i>	مجال
<i>Rate</i>	معدل
<i>Reaction</i>	رد فعل
<i>Real</i>	حقيقي
<i>Reciprocating</i>	ترددي
<i>Reciprocating engine</i>	محرك ترددي
<i>Reciprocating motion</i>	حركة ترددية
<i>Reduction</i>	تصغير - تخفيض
<i>Reference</i>	مرجع - إسناد
<i>Reference axes</i>	محاور الاسناد
<i>Reference line</i>	خط إسناد
<i>Reference plane</i>	مستوي الاسناد
<i>Regulation</i>	تنظيم - ضبط
<i>Relative</i>	نسبي
<i>Relative error</i>	خطأ نسبي
<i>Relative motion</i>	حركة نسبية
<i>Relative position</i>	وضع نسبي
<i>Relative velocity</i>	سرعة نسبية
<i>Restoring torque</i>	عزم إرجاع
<i>Resultant</i>	محصلة - ناتج - محصل
<i>Resultant force</i>	قوة محصلة

<i>Resultant torque</i>	عزم محصل
<i>Return stroke</i>	شوط العودة
<i>Reverted gear train</i>	مجموعة مسننات مرتدة أو متعكسة
<i>Revolution</i>	دورة - دوران
<i>Revolutions per minute (r.p.m)</i>	عدد الدورات بالدقيقة
<i>Right - hand spiral</i>	لولب يميني
<i>Right - hand thread</i>	سن يميني اللولبة
<i>Rigid</i>	جاسئ - صلب
<i>Rigid body</i>	جسم صلب
<i>Rigid frame</i>	هيكل ثابت
<i>Ring</i>	حلقة
<i>Rock crusher</i>	كسارة صخور
<i>Rocker</i>	متأرجح - وصلة متأرجحة
<i>Rocker arm</i>	ذراع متأرجحة
<i>Rocker Crank</i>	مرفق متأرجح
<i>Roller</i>	دحروج
<i>Roller bearing</i>	محمل دحاريج
<i>Roller follower</i>	تابع دحروجي
<i>Rolling</i>	تدحرج
<i>Rolling contact</i>	تماس تدحرجي
<i>Rolling motion</i>	حركة تدحرجية
<i>Rolling pair</i>	ازدواج تدحرجي
<i>Root</i>	جذر
<i>Root circle</i>	دائرة الجذر في المسنن
<i>Rope</i>	حبل
<i>Rotary motion</i>	حركة دورانية
<i>Rotating</i>	دوّار
<i>Rotating body</i>	جسم دوّار
<i>Rotating polarity</i>	قطبية دوّارة

<i>Rotation</i>	دوران
<i>Rotor</i>	الجزء الدوّار في آلة
<i>Rubbing speed</i>	سرعة التّحاك
S	
<i>Sample</i>	عينة - نموذج
<i>Scalar</i>	عددي - غير موجه - سلّمي
<i>Scalar product</i>	جداء عددي أو سلّمي
<i>Scalar quantity</i>	كمية عددية أي غير موجهة
<i>Scale</i>	مقياس الرسم
<i>Scale factor</i>	عامل المقياس
<i>Screw</i>	لولب
<i>Screw pair</i>	ازدواج لولبي
<i>Screw thread</i>	سن اللولب
<i>Section</i>	قطاع - مقطع
<i>Selection</i>	انتقاء - اختيار
<i>Self - closed</i>	مغلق ذاتيا
<i>Sensitiveness - Sensitivity</i>	حساسية
<i>Series</i>	سلسلة متتالية
<i>Servo control</i>	تحكم مؤازر
<i>Servo drive</i>	آلية إدارة مؤازرة
<i>Set</i>	مجموعة
<i>Shaft</i>	عمود إدارة
<i>Shaft angle</i>	الزاوية بين محوري دوران
<i>Shaft governor</i>	منظم مرفقي
<i>Shaking couple</i>	عزم الارتجاج
<i>Shaking force</i>	قوة الارتجاج
<i>Shaper</i>	مقشطة
<i>Shear</i>	قص

<i>Shear stress</i>	إجهاد القص
<i>Simple</i>	بسيط
<i>Simple chain</i>	سلسلة بسيطة
<i>Simple harmonic motion</i>	حركة توافقية بسيطة
<i>Simple link</i>	وصلة بسيطة
<i>Simple pendulum</i>	نواس بسيط
<i>Simultaneous</i>	آني - مترامن
<i>Simultaneous equations</i>	معادلات آنية
<i>Sine motion</i>	حركي جيبية
<i>Size</i>	حجم - مقاس
<i>Skeleton diagram</i>	مخطط هيكلية أو حركي
<i>Skew</i>	متخالف
<i>Skew Shafts</i>	عمودان متخالفان
<i>Sleeve</i>	جلبة
<i>Slider</i>	منزلة
<i>Slider crank mechanism</i>	تركيبة المنزلة والمرفق
<i>Sliding</i>	انزلاقي - انزلاق
<i>Sliding pair</i>	ازدواج انزلاقي
<i>Slot</i>	شق ضيق - فرضه
<i>Slotted lever</i>	ذراع مشقوق
<i>Smooth</i>	أملس
<i>Smooth curve</i>	منحني أملس
<i>Space</i>	فراغ - حيز
<i>Spacing</i>	تباعد
<i>Spatial mechanism</i>	تركيبة فراغية
<i>Specific</i>	نوعي - محدد
<i>Specific gravity (weight)</i>	الوزن النوعي
<i>Specific mass</i>	الكتلة النوعية
<i>Speed</i>	سرعة

<i>Speeder spring</i>	نابض تسريع - نابض تحكم مساعد
<i>Speed reducer</i>	مجموعة تخفيض السرعة
<i>Sphere</i>	كرة
<i>Spherical</i>	كروي
<i>Spherical joint</i>	وصلة كروية
<i>Spherical motion</i>	حركة كروية
<i>Spherical pair</i>	ازدواج كروي
<i>Spiral</i>	لولب - لولبي
<i>Spiral gear</i>	مسنن لولبي
<i>Spring</i>	نابض
<i>Spring Constant</i>	ثابت مرونة النابض أو عامل صلابته
<i>Spring loaded governor</i>	منظم محمل بنابض
<i>Spring rate</i>	معدل النابض أي معدل عامل صلابته
<i>Spur gear</i>	مسنن عدل
<i>Stability</i>	استقرار
<i>Stable</i>	مستقر
<i>Standard</i>	عيارى - قياسي - معيار
<i>Standard gear</i>	مسنن ذو مقومات أي أبعاده عيارية
<i>Standard specification</i>	مواصفات قياسية
<i>Standard unit</i>	وحدة قياسية
<i>Static</i>	استاتي - ساكن
<i>Static analysis</i>	تحليل استاتي
<i>Static equilibrium</i>	توازن استاتي
<i>Static load</i>	حمل استاتي
<i>Statics</i>	علم التوازن أو السكون
<i>Stepped gear</i>	مسنن متدرج
<i>Stiffness coefficient</i>	عامل الصلابة أو الكزازة
<i>Stop</i>	إيقاف - توقيف
<i>Stop block</i>	كتلة إيقاف - مصد

<i>Stop gear</i>	آلية إيقاف
<i>Stop pawl</i>	سقاطة إيقاف أو لسين إيقاف
<i>Straight</i>	مستقيم
<i>Stress</i>	اجهاد
<i>Stroke</i>	شوط
<i>Structural error</i>	خطأ إنشائي
<i>Structure</i>	هيكل - منشأ
<i>Stub - tooth gear</i>	مسنن - أبتر الأسنان
<i>Suction</i>	سحب - شفط
<i>Suction stroke</i>	شوط السحب
<i>Sun gear</i>	مسنن شمسي
<i>Superposition</i>	تنضيد - تضام - تراكب
<i>Superposition principle</i>	مبدأ التنضيد أو التضام
<i>Surface</i>	سطح
<i>Surface of revolution</i>	سطح الدوران
<i>Synthesis</i>	إنشاء - تركيب
<i>System</i>	نظام - جملة - مجموعة
<i>T</i>	
<i>Tangent</i>	مماس
<i>Tangent cam</i>	كامة مماسية
<i>Tangential</i>	مماسي
<i>Tangential component</i>	مركبة مماسية
<i>Tension</i>	شد
<i>Tension screw</i>	لولب شد
<i>Tension spring</i>	نابض شد
<i>Tension Stress</i>	اجهاد شد
<i>Theoretical</i>	نظري
<i>Thickness</i>	سماعة

<i>Thread</i>	سن اللولب
<i>Time</i>	زمن
<i>Time ratio</i>	النسبة الزمنية
<i>Toggle mechanism</i>	آلية ركبكية أو مفصلية
<i>Tool</i>	عدة - أداة
<i>Tooth</i>	سن
<i>Tooth space</i>	فراغ السن
<i>Torque</i>	عزم
<i>Torsion</i>	فتل - التواء
<i>Transfer</i>	تحويل
<i>Transfer point</i>	نقطة التحويل
<i>Transient</i>	عابر
<i>Translation</i>	انتقال
<i>Translation cam</i>	كامة انتقالية
<i>Transmission</i>	نقل - آلية نقل الحركة
<i>Transmission angle</i>	زاوية النقل
<i>Transmission line</i>	خط نقل الحركة
<i>Transmission of motion</i>	نقل الحركة
<i>Transmission ratio</i>	نسبة النقل
<i>Transmission shaft</i>	عمود نقل الحركة
<i>Tribology</i>	علم الزيوت والاحتكاك
<i>Trigonometry</i>	علم المثلثات
<i>Turning</i>	دوران
<i>Turning moment</i>	عزم الدوران
<i>Turning pair</i>	إزدواج دوراني
<i>Type synthesis</i>	إنشاء نوعي
<i>Typewriter</i>	آلة كاتبة
<i>Typical</i>	نموذجي
<i>Tyre - Tire</i>	عجلة - إطار

U

<i>Unconstrained</i>	غير مقيد
<i>Undercut</i>	قطع سفلي
<i>Uniform</i>	منتظم
<i>Unit</i>	وحدة
<i>Unit vector</i>	وحدة قياس شعاع - شعاع قياسي
<i>Unstable</i>	غير مستقر

V

<i>Valve</i>	صمام
<i>Valve timing</i>	توقيت الصمامات
<i>Variation</i>	تغير - اختلاف
<i>Vector</i>	شعاع - كمية موجهة
<i>Vector analysis</i>	تحليل شعاعي
<i>Vector components</i>	مركبات شعاعية
<i>Vector equation</i>	معادلة شعاعية
<i>Velocity</i>	سرعة
<i>Velocity diagram</i>	مخطط السرعة
<i>Velocity vector</i>	شعاع السرعة
<i>Vertical</i>	عمودي
<i>Vibration</i>	اهتزاز
<i>Virtual</i>	افتراضي
<i>Volume</i>	حجم

W

<i>Wear</i>	تآكل
<i>Wedge</i>	إسفين
<i>Weight</i>	وزن
<i>Wheel</i>	دولاب - عجلة
<i>Width</i>	عرض
<i>Work</i>	عمل

Working depth

عمق فعال

Worm

دودة - بريمة

Worm gear

مسنن دودي

Wrapping machine

آلة تغليف أو آلة لف

Wrench

مفتاح ربط



جدول الرموز		List of Symbols
- متجه التسارع	A	- Acceleration Vector
- متجه تسارع مركز الكتلة	A_G	- Acceleration of Mass Center
- متجه التسارع المطلق	A_a	- Absolute Acceleration
- متجه تسارع كوريوليس	A_c	- Coriolis Acceleration
- متجه التسارع النسبي	A_r	- Relative Acceleration
- متجه التسارع النسبي للنقطة B بالنسبة للنقطة A	$A_{B/A}, A_{BA}$	- Relative Acceleration of B with Respect to A
- مساحة مقطع	A	- Section Area
- طول راسم المخروط لمسنن مخروطي	A	- Cone of Liner Length of Bevel Gear
- التسارع الأعظمي للتابع خلال شوط الرفع	A_o	- Maximum Acceleration of Follower in Lift-stroke
- التسارع الأعظمي للتابع خلال شوط الخفض	A_r	- Maximum Acceleration of Follower in Down-stroke
- نقاط	$A, B, C,$	- Points
- نصف المحور الكبير لقطع ناقص	a	- Semi major axis of ellipse
- ساق السن في المسنن	a	- Addendum of Gear
- الفوت في المسنن	B	- Backlash of Gear
- نصف المحور الصغير لقطع ناقص	b	- Semi minor axis of ellipse
- جذر السن في المسنن	b	- Dedendum of Gear
- مزدوجة	C	- Couple
- البعد المركزي بين مسننين	C	- Centric Distance between two Gears
- النسبة الزمنية	C_R	- Carnal ratio
- الخلوص في المسنن	c	- Clearance of Gear
- قطر دائرة الخطوة في المسنن	D	- Pitch Circle Diameter of Gear
- قطر أسطوانة الخطوة لمسنن الدودة	D_W	- Pitch Cylinder Diameter of Worm
- قطر دائرة الخطوة للمسنن الدودي	D_g	- Pitch Circle Diameter of Worm Gear
- قطر دائرة	D, d	- Diameter of Circle
- البعد بين مركزي الدائرة الأساسية ودائرة أنف الكامنة	d	- Centric Distance between Base Circle and Nose Circle
- مسافة	$a, b, c, d,$	- Distance
- الطاقة الحركية لجملة مادية	E_c	- Kinetic Energy of a System
- متجه قوة	F	- Force
- عرض وجه سن المسنن	F	- Face Width of Gear tooth

F^a	- Active Force - Axial Force	- متجه القوة الفاعلة - متجه القوة المحورية
F^c	- Centrifugal Force	- متجه القوة النابذة
F^e	- External Force	- متجه القوة الخارجية
F^i	- Internal Force	- متجه القوة الداخلية
F_f	- Friction Force	- متجه قوة الاحتكاك
F_k	- Elastic Force	- متجه قوة المرونة لنابض
F_n	- Resultant Force - Normal Force	- متجه القوة المحصلة - متجه القوة الناعظمية
F_r	- Radial Force	- متجه القوة النصف القطرية
F_τ	- Tangential Force	- متجه القوة المماسية
F^{in}	- Inertia Force	- متجه قوة العطالة
f	- Function - Coefficient of Friction	- تابع - معامل الاحتكاك
f_k	- Coefficient of Kinetic Friction	- معامل الاحتكاك الحركي أو التحريكي
f_s	- Coefficient of Static Friction	- معامل الاحتكاك السكوني
G	- Center of Gravity - Mass Center	- مركز الثقالة - مركز الكتل - ثابت الجاذبية
g	- Acceleration of Gravity	- تسارع الجاذبية
$H - h$	- Height	- ارتفاع
h_k	- Working Depth of Gear	- العمق الفعال في المسنن
h_t	- Whole Depth of Gear	- العمق الكلي في المسنن
I	- Instantaneous Center of Rotation	- المركز الآني للدوران
I_G	- Mass Moment of Inertia about G	- عزم العطالة لكتلة جسم حول مركز كتلة G
I_Z	- Mass Moment of Inertia about OZ	- عزم العطالة لكتلة جسم حول محور OZ
i	- Tooth Number of Worm	- عدد أسنان مسنن الدودة
$\mathbf{i}, \mathbf{j}, \mathbf{k}$	- Unitary Vector for Axis X, Y, Z	- المتجه الواحد للمحاور الإحداثية
k	- Spring Constant - Proportion Factor	- عامل المرونة لنابض - عامل تناسب
L	- Path of Contact Length	- طول مسار التماس في المسننات
L	- Lead of Worm	- القودة لمسنن الدودة
L, l	- Length	- طول
M, m	- Mass of System	- كتلة جملة مادية - كتلة جسم صلب
m	- Module of Gear	- موديول المسنن
m_c	- Contact Ratio of Gears	- نسبة التماس في المسننات
m_G	- Ratio of Gear	- نسبة التعشيق في المسننات

N	- Normal Component of Reaction	- متجه مركبة رد الفعل الناطمي
N	- Instantaneous Centers Number	- عدد المراكز اللحظية
N	- Geneva Wheel Fissures Number	- عدد الشقوق في دولاب جينيفا
n	- Unitary Vector of Principal Normal	- المتجه الواحد للناظم الرئيسي
n	- Principal Normal Direction	- اتجاه الناطم الرئيسي
n	- Number of Revolutions per Minute	- عدد الدورات في الدقيقة
n	- Number of Mechanism Links	- عدد وصلات تركيبية
n	- Number of Engine Cylinders	- عدد أسطوانات محرك
O	- Origin of Coordinates - Pole	- مبدأ الإحداثيات - قطب
P	- Power	- القدرة - الاستطاعة
P	- Circular Pitch of Gear	- الخطوة الدائرية في المسنن
P	- Axial Pitch of Worm	- الخطوة المحورية لمسنن الدودة
P_a	- Axial Pitch of Helical Gear	- الخطوة المحورية لمسنن حلزوني
p_b	- Base Pitch	- الخطوة الأساسية لمسنن
p_d	- Diametric Pitch of Gear	- الخطوة القطرية لمسنن
p_n	- Normal Circular Pitch of Helical Gear	- الخطوة الدائرية الناطمية في المسنن الحلزوني
p_{dn}	- Normal Diametric Pitch of Helical Gear	- الخطوة القطرية الناطمية في المسنن الحلزوني
Q	- Governor Effort	- جهد المنظم
R	- Reaction at Support - Resultant Force	- متجه رد فعل مسند - متجه محصلة القوى
R^{in}	- Resultant Vector of the Inertia Forces	- المتجه الرئيسي لقوى العطالة
R	- Pitch Circle Radius of Gear	- نصف قطر دائرة الخطوة في المسنن
R	- Base Circle Radius of Cam	- نصف قطر الدائرة الأساسية في الكام
R_b	- Base Circle Radius of Gear	- نصف قطر الدائرة الأساسية في المسنن
R_o	- Addendum Circle Radius	- نصف قطر دائرة الساق لمسنن
R, r	- Radius of Circle	- نصف قطر دائرة
r	- Radius Vector - Position Vector	- نصف القطر الموجّه - متجه الموضع
r_G	- Position of Mass Center	- متجه موضع مركز الثقل
r	- Nose Circle Radius of Cam	- نصف قطر دائرة أنف الكام
r_f	- Fillet Radius of Gear	- نصف قطر منحنى الاتصال في المسنن
r_o	- Roller Radius of Follower	- نصف قطر الدحرج لتابع

r_{av}	- Average Radius of Pitch Cone	- نصف القطر المتوسط لمخروط الخطوة
S	- Section - Tooth Space - Follower Stroke	- مقطع - عرض فراغ سن المسنن - شوط التابع
T	- Tension in the String	- متجه قوة الشد لسلك
T	- Oscillation Period of a Pendulum	- دور الحركة النوسية
T	- Frame of Reference - Torque	- جملة إحداثية - عزم دوران
T_O	- Total Moment about Point O	- العزم الحاصل حول نقطة O
T_X, T_Y, T_Z	- Total Moment about Axis X, Y, Z	- العزم الحاصل حول المحاور X, Y, Z
T_G^{in}	- Resultant Couple of the Inertia Forces	- العزم الرئيسي لقوى العطالة
t	- Time - Thickness - Tooth Thickness	- زمن - سماكة - سماكة سن المسنن
t_o	- Follower Lift-stroke Time	- زمن شوط رفع التابع
t_r	- Follower Down-stroke Time	- زمن شوط خفض التابع
V	- Velocity Vector	- متجه السرعة
V_G	- Velocity of Mass Center	- متجه سرعة مركز الكتلة
V_S	- Velocity of Slide of Gear	- متجه سرعة الانزلاق لمسنن
V_a	- Absolute velocity	- متجه السرعة المطلقة
V_r	- Relative Velocity	- متجه السرعة النسبية
$V_{B/A}, V_{BA}$	- Relative Velocity of B with Respect to A	- متجه السرعة النسبية للنقطة B بالنسبة للنقطة A
V	- Volume	- الحجم
V_{av}	- Average velocity	- السرعة الوسطية
V_o	- Maximum velocity of Follower in Lift-stroke	- السرعة العظمى للتابع خلال شوط الرفع
V_r	- Maximum velocity of Follower in Down-stroke	- السرعة العظمى للتابع خلال شوط خفض
W	- Weight	- الوزن - قوة الثقالة
w	- Work - Specific Weight	- العمل - الوزن النوعي
Z	- Gear tooth Number	- عدد أسنان المسنن
Z_e	- Gear presumptive tooth Number	- عدد الأسنان الافتراضي للمسنن
Z_g	- Worm Gear tooth Number	- عدد أسنان المسنن الدودي
X, Y, Z	- Rectangular Cartesian Coordinates	- جملة محاور إحداثية ديكارتية قائمة
x, y, z	- Rectangular Cartesian Coordinates	- الإحداثيات الديكارتية القائمة
x, y, z	- Distance	- المسافة
$\dot{x}, \dot{y}, \dot{z}$	- First Time derivative of Coordinates x,y,z	- المشتق الأول للإحداثيات الديكارتية
$\ddot{x}, \ddot{y}, \ddot{z}$	- Second Time Derivative of Coordinates x,y,z	- المشتق الثاني للإحداثيات الديكارتية

θ	- Angular Coordinate	- إحداثي زاوي
θ_o	- Follower Lift-stroke Angle	- زاوية شوط رفع التابع
θ_r	- Follower Down-stroke Angle	- زاوية شوط خفض التابع
α	- Approach Angle of Gear - Angle of Lift or Down-stroke of Follower	- زاوية الاقتراب في المسنن - زاوية شوط الرفع أو شوط الخفض للتابع
β	- Recess Angle of Gear	- زاوية الابتعاد في المسنن
φ	- Angle of Friction - Helix Angle of Helical Gear	- زاوية الاحتكاك - زاوية الحلزون في المسنن الحلزوني
ψ	- Follower Motion Angle in Contact with Flank Cam	- زاوية حركة التابع على جانب كامه
Φ	- Pressure Angle of Gear - Pressure Angle of Cam	- زاوية الضغط في المسنن - زاوية الضغط في الكامه
Φ_a	- Pressure Axial Angle of Helical Gear	- زاوية الضغط المحورية في المسنن الحلزوني
Φ_τ	- Transverse Pressure Angle of Helical Gear	- زاوية الضغط العرضية في المسنن الحلزوني
Φ_n	- Pressure Normal Angle of Helical Gear - Lead Angle of Helical Gear	- زاوية الضغط الناعظمية في المسنن الحلزوني - زاوية القودة للمسنن الحلزوني
γ	- Follower Motion Angle in Contact with Nose in Tangent Cam	- زاوية حركة التابع على أنف الكامه المماسية
λ	- Lead Angle of Worm	- زاوية القودة لمسنن الدودة
Σ	- Shaft Angle of Crossed Helical Gears	- زاوية بين محوري دوران متقاطعين لمسننين حلزونيين متصلين
Γ	- Pitch Angle of Bevel Gear	- زاوية الخطوة لمسنن مخروطي
$\alpha, \beta, \gamma, \theta$	- Angles	- زوايا
Δ	- Interval - Structural Error	- تغير - الخطأ الإنشائي
Δl	- Elongation - Radius of Curvature	- استطالة نابض - نصف قطر الانحناء
ρ	- Radius of Inertia - Density - Radius of Cam Flank	- نصف قطر العطالة - الكثافة - الكتلة النوعية - نصف قطر انحناء جانب كامه
τ	- Unitary Vector for Tangential Direction - Tangential Direction	- المتجه الواحدي للمماس - اتجاه المماس
τ	- Period - Periodic Time	- الدور - الزمن الدوري
Ω	- Angular Velocity Vector	- متجه السرعة الزاوية
ω	- Angular Velocity	- السرعة الزاوية

E	- Angular Acceleration Vector	- متجه التسارع الزاوي
ε	- Angular Acceleration	- التسارع الزاوي
η	- output	- المردود
	- Proportion Factor	- عامل تناسب
μ	- Coefficient of Friction between teeth	- معامل الاحتكاك بين الأسنان
	- Efficacy Coefficient of Friction	- معامل الاحتكاك الفعال بين الأسنان
μ_e	between teeth	
μ_n	Insensitiveness of Governor	- عدم حساسية المنظم
μ_s	- Sensitiveness of Governor	- حساسية منظم
ζ	- Addendum Coefficient of Gear	- معامل الساق في المسنن

وحدات النظام العالمي المستخدمة في الميكانيك

Principal SI Units Used in Mechanics

Formula	Unit	Symbol	Quantity	الكمية
الصيغة	الوحدة	الرمز		
†	Radian	Rad	Angle	الزاوية
rad/s ²	Radian per second squared	...	Angular acceleration	التسارع الزاوي
rad/s	Radian per second	...	Angular velocity	السرعة الزاوية
m ²	Square meter	...	Area	المساحة
m ⁴	Double square meter	...	Area Moment of Inertia	عزم العطالة للسطح
kg/m ³	Kilogram per cubic meter	...	Density	الكثافة - الكتلة النوعية
N.m	Joule	J	Energy	الطاقة
kg.m/s ²	Newton	N	Force	القوة
s ⁻¹	Hertz	Hz	Frequency	التردد (التواتر)
N.s	Newton second	...	Impulse	الدفع
‡	Meter	m	Length	الطول
m/s ²	Meter per squared second	...	Linear acceleration	التسارع الخطي
kg.m/s	Kilogram meter per second	...	Linear Momentum	كمية الحركة الخطية
m/s	Meter per second	...	Linear Velocity	السرعة الخطية
‡	Kilogram	kg	Mass	الكتلة
Kg.m ²	Kilogram squared meter	...	Mass Moment of Inertia	عزم العطالة للكتلة
N.m	Newton meter	...	Moment of force	عزم القوة
kg.m ² /s	Kilogram squared meter per second	...	Moment of Momentum (Angular Momentum)	العزم الحركي (العزم الزاوي)
J/s	Watt	W	Power	القدرة - الاستطاعة
N/m ²	Pascal	Pa	Pressure	الضغط

N/m^3	<i>Newton per cubic meter</i>	...	<i>Specific weight</i>	الوزن النوعي
N/m^2	<i>Pascal</i>	Pa	<i>Stress</i>	الإجهاد
s	<i>Second</i>	s	<i>Time</i>	الزمن
M^3	<i>Cubic meter</i>	...	<i>Volume solids</i>	الحجم (مادة صلبة)
$10^{-3}m^3$	<i>Liter</i>	l	<i>Volume liquids</i>	الحجم (مادة سائلة)
N.m	<i>Joule</i>	J	<i>Work</i>	العمل

وحدة إضافية: $(1 \text{ revolution} = 2\pi \text{ rad} = 360^\circ)$

وحدة أساسية: \ddagger

القيم النموذجية لمعامل الاحتكاك

Typical Values of Coefficient of Friction

<i>Contacting Surface</i>	<i>Kinetic</i>	<i>Static</i>	سطح الاحتكاك
	حركي	سكوني	
<i>Steel on Steel (Dry)</i>	0.6	0.4	فولاذ على فولاذ (جاف)
<i>Steel on Steel (Greasy)</i>	0.1	0.05	فولاذ على فولاذ (مشحم)
<i>Teflon on Steel</i>	0.04	0.04	تفلون على فولاذ
<i>Steel on Babbitt (Dry)</i>	0.4	0.3	فولاذ على سطح مبطن بمعدن (جاف)
<i>Steel on Babbitt (Greasy)</i>	0.1	0.07	فولاذ على سطح مبطن بمعدن (مشحم)
<i>Brass on Steel (Dry)</i>	0.5	0.4	نحاس على فولاذ (جاف)
<i>Brake lining on Cast iron</i>	0.4	0.3	بطانة مكبح على حديد صب
<i>Rubber tires on Smooth Pavement (Dry)</i>	0.9	0.8	إطار مطاطي على سطح ناعم (جاف)
<i>Wire rope on Iron pulley (Dry)</i>	0.2	0.15	سلك معدني ملفوف على بكرة حديد (جاف)
<i>Hemp rope on Metal</i>	0.3	0.2	حبل قنب على معدن
<i>Metal on Ice</i>		0.02	معدن على ثلج

اللجنة العلمية

الأستاذ الدكتور محمد علي سلامة

الأستاذ الدكتور حسين تينة

الأستاذ الدكتور علي خلوف

المدقق اللغوي

الأستاذ الدكتور فخري بوش

حقوق الطبع والترجمة والنشر محفوظة لمديرية الكتب والمطبوعات